arXiv:1009.5100v1 [gr-qc] 26 Sep 2010

Université de la Méditerranée - Aix-Marseille II
Faculté des Sciences

Thèse

Présentée par

Valentin Bonzom

Pour obtenir le grade de

Docteur de l'université de la Méditerranée
École doctorale : Physique et Sciences de la matière
Spécialité : Physique des particules, Physique mathématique

Géométrie quantique dans les mousses de spins

De la théorie topologique BF vers la relativité générale

Soutenue le 23 septembre 2010, devant la commission d'examen composée de

Mr Alejandro Perez	Président du Jury
Mr Carlo Rovelli	Directeur de thèse
Mr Laurent Freidel	Rapporteur
Mlle Bianca Dittrich	Rapporteur
Mr Etera Livine	Examinateur

Remerciements

C'est un grand plaisir de remercier l'ensemble des personnes que j'ai pu cotoyer et qui m'ont entouré durant ces trois années.
Je dois remercier en premier lieu Etera Livine, qui fut mon directeur officieux durant une bonne partie de la thèse : toujours disponible, toujours prêt à discuter tout sujet scientifique et à proposer quatre projets de recherche simultanés ! Je le remercie pour son aide indispensable. Lui et Carlo Rovelli m'ont de plus laissé une totale liberté aussi bien de penser que dans mon mode de travail. C'est quand même agréable de faire ce que l'on a vraiment envie de faire !
Je remercie l'ensemble du CPT et du groupe de gravité quantique pour son accueil et son ambiance collaborative, pêle-mêle Carlo, Francesca, Eugenio, Antonino, Claudio, Elena et Roberto, toujours compréhensifs à l'heure des pauses café, et plus particulièrement Simone Speziale avec qui j'ai le plaisir de travailler régulièrement, et dont l'aide me fut précieuse.
L'accueil fut toujours chaleureux auprès de Bianca Dittrich et de Daniele Oriti, qui furent les premiers à m'extirper de mon hermitage. J'espère pouvoir rendre un jour toutes les invitations que j'ai eu le plaisir de recevoir de leur part. Je remercie aussi Laurent Freidel et Lee Smolin pour leur enthousiasme lors de ma visite hivernale.
Finalement, ça ne se voit pas sur les équations, mais trois ans de thèse, c'est trois ans dans la vie, avec une implication quotidienne. Content, pas content, trois fois par jour. Une pensée profonde pour celle qui m'a supporté tout en m'encourageant sans relâche !

Résumé

Géométrie quantique dans les mousses de spins
De la théorie topologique BF vers la relativité générale

La gravité quantique à boucles a fourni un cadre d'étude particulièrement bien adapté aux théories de jauge définies sans métrique fixe et invariantes sous difféomorphismes. Les excitations fondamentales de cette quantification sont appelées réseaux de spins, et dans le contexte de la relativité générale donnent un sens à la géométrie quantique au niveau canonique. Les mousses de spins constituent une sorte d'intégrale de chemins adaptée aux réseaux de spins, et donc destinée à permettre le calcul des amplitudes de transition entre ces états. Cette quantification est particulièrement efficace pour les théories des champs topologiques, comme Yang-Mills 2d, la gravité 3d ou les théories BF, et des modèles ont aussi été proposés pour la gravité quantique en dimension 4.

Nous discutons dans cette thèse différentes méthodes pour l'étude des modèles de mousses de spins. Nous présentons en particulier des relations de récurrence sur les amplitudes de mousses de spins. De manière générique, elles codent des symétries classiques au niveau quantique, et sont susceptibles de permettre de faire le lien avec les contraintes hamiltoniennes. De telles relations s'interprètent naturellement en termes de déformations élémentaires sur des structures géométriques discrètes, telles que simplicielles. Une autre méthode intéressante consiste à explorer la façon dont on peut réécrire les modèles de mousses de spins comme des intégrales de chemins pour des systèmes de géométries sur réseau, en s'inspirant à la fois des modèles topologiques et du calcul de Regge. Cela aboutit à une vision très géométrique des modèles, et fournit des actions classiques sur réseau dont on étudie les points stationnaires.

Mots clé : relativité générale, théorie des champs topologique, gravité quantique, mousses de spins, réseaux de spins.

Quantum geometry in spin foams
From the topological BF theory towards general relativity

Loop quantum gravity has provided us with a canonical framework especially devised for background independent and diffeomorphism invariant gauge field theories. In this quantization the fundamental excitations are called spin network states, and in the context of general relativity, they give a meaning to quantum geometry. Spin foams are a sort of path integral for spin network states, supposed to enable the computations of transition amplitudes between these states. The spin foam quantization has proved very efficient for topological field theories, like 2d Yang-Mills, 3d gravity or BF theories. Different models have also been proposed for 4-dimensional quantum gravity.

In this PhD manuscript, I discuss several methods to study spin foam models. In particular, I present some recurrence relations on spin foam amplitudes, which generically encode classical symmetries at the quantum level, and are likely to help fill the gap with the Hamiltonian constraints. These relations can be naturally interpreted in terms of elementary deformations of discrete geometric structures, like simplicial geometries. Another interesting method consists in exploring the way spin foam models can be written as path integrals for systems of geometries on a lattice, taking inspiration from topological models and Regge calculus. This leads to a very geometric view on spin foams, and gives classical action principles which are studied in details.

Keywords : general relativity, topological field theory, quantum gravity, spin networks, spin foams.

Centre de Physique Théorique de Luminy - UMR 6207

Table des matières

Introduction **11**

I Théorie BF et relativité générale classiques **17**

1 Théorie BF **19**
1.1 Équations classiques 19
1.2 En dimensions 2 et 3 21

2 Relativité générale à la Palatini et Plebanski **25**
2.1 L'action de Holst 25
2.2 L'action de Plebanski 27

3 Calcul de Regge **29**

II Géométrie dans l'approche canonique **33**

4 Description hamiltonienne **35**
4.1 Théorie BF 35
4.2 Relativité générale 38

5 Quantifier des théories de jauge **43**
5.1 Les réseaux de spins 44
5.2 Opérateurs géométriques 48
5.2.1 Géométrie quantique : Aires, volumes, longueurs 49
5.2.2 Le tétraèdre quantique et les opérateurs d'angles 52

6 Géométries sur un graphe fixé **55**
6.1 Géométries tordues et à la Regge 55
6.2 La contrainte de courbure nulle 60
6.3 Contraintes hamiltoniennes en calcul de Regge 64

III Les mousses de spins : introduction et premiers calculs **69**

7 Les mousses de spins **71**
7.1 Dynamique des réseaux de spins 71
7.2 Modèle pour la théorie BF 76
7.2.1 En deux dimensions 79

7.2.2 Modèle de Ponzano-Regge, en 3d . . . 79
7.2.3 Modèle d'Ooguri, en 4d . . . 84

8 Calculer avec les mousses de spins 87
8.1 Les fonctions de corrélations . . . 87
8.2 Corrélations entre deux longueurs dans un modèle en 3d . . . 89
8.2.1 Présentation du modèle . . . 90
8.2.2 Développement asymptotique aux grandes distances . . . 96
8.3 Développement asymptotique du 6j isocèle . . . 99

IV Contraintes hamiltoniennes et relations de récurrence 105

9 Contrainte hamiltonienne sur le 6j : mouvement de Pachner 2-3 111
9.1 Le 6j comme état physique . . . 111
9.2 L'identité de Biedenharn-Elliott et la contrainte hamiltonienne . . . 112

10 Invariance topologique et relations de récurrence en 4d 115
10.1 Relations entre les symboles 3nj . . . 115
10.2 Par le mouvement de Pachner 4-2 . . . 118
10.2.1 Régularisation du mouvement 4-2 . . . 119
10.2.2 Choix des données de bord . . . 122
10.2.3 Interprétation géométrique . . . 123
10.2.4 Les formules pour différents cycles . . . 123

11 Contrainte hamiltonienne et mouvement « tente » en 3d 129
11.1 Contrainte hamiltonienne sur le 6j : mouvement de Pachner 1-4 . . . 129
11.2 Interprétation comme mouvement « tente » . . . 131
11.3 Mouvements « tente » pour des sommets de valences quelconques . . . 133

12 Une relation non-topologique pour le 6j isocèle 137
12.1 Lien avec l'identité de Biedenharn-Elliott . . . 138

V Modèles de mousses de spins pour la gravité quantique 141

13 De la théorie BF discrète au calcul de Regge 143
13.1 Formulation classique sur réseau et contraintes de simplicité . . . 144
13.2 La géométrie à partir des bivecteurs et des normales . . . 147
13.3 Sur le collage des simplexes . . . 150
13.4 Traduction en calcul de Regge aires-angles . . . 151

14 Modèles pour la gravité quantique 157
14.1 La quantification de Engle-Pereira-Rovelli-Livine . . . 157
14.2 La quantification de Freidel-Krasnov . . . 159
14.3 Résumé des différents modèles . . . 163
14.3.1 En langage mousses de spins . . . 163
14.3.2 Avec des intégrales plutôt que des sommes . . . 166

15 Simplicité d'un seul bivecteur et représentations simples de Spin(4) 169

16 Le modèle de Barrett-Crane **175**
16.1 Une action discrète pour le modèle BC 176
16.2 Quelques généralisations : de l'importance des amplitudes des tétraèdres et triangles . 180
16.2.1 Le secteur non-géométrique et les représentations simples de Spin(4) 180
16.2.2 Apparition des coefficients de fusion 182
16.3 Le modèle BC au niveau classique : problème de collage 183
16.4 Une relation de récurrence sur l'amplitude du 4-simplexe 185
16.4.1 De la matrice de Gram à la relation de récurrence 185
16.4.2 La relation de récurrence comme contrainte de fermeture 187
16.4.3 Invariance sous des mouvements géométriques 189
16.5 Conclusion sur le modèle BC 190

17 Intégrales sur les géométries du réseau : le modèle EPR/FK **193**
17.1 Retour sur les modèles topologiques 195
17.1.1 L'action en variables « aires - angles dihédraux » 195
17.1.2 Calcul de l'amplitude 197
17.1.3 Insertions d'observables géométriques locales 198
17.2 Action discrète pour les nouveaux modèles 201
17.2.1 Action de transport parallèle pour le collage des simplexes 202
17.2.2 Action de Regge avec paramètre d'Immirzi 204
17.2.3 Les géométries stationnaires 205
17.3 Calcul de l'intégrale de chemins sur la triangulation en mousses de spins 208
17.3.1 Pour les nouveaux modèles 208
17.3.2 Avec un collage générique 210

Conclusion **213**

A Appendice **217**

Introduction

For some hundred years, human beings enjoy two beautiful physical theories, that are very accurate descriptions of natural phenomena in their own domain of application, namely quantum mechanics and general relativity. Quantum mechanics turned out to be so powerful that people used it even before a correct interpretation arose. Its interpretation has been indeed challenging, and pushed us to reconsider interactions between systems, including observation and measuring processes. The greatest achievement is certainly quantum field theory, our ultimate description of microscopic physics, describing interactions of matter with fundamental forces of nature, except gravitation. On the other hand, general relativity is a theory of the dynamics of our universe, thus at very large scales, where it has been experimentally successful.

The attempt to include gravitation into the quantum field theory picture was unsuccessful, the theory being said to be perturbatively non-renormalizable, which makes it not predictible! Still, a theory of *quantum gravity* is expected to exist, and would then describe physics around the Planck scale. The latter is based on using both constants of quantum mechanics, i.e Planck constant $\hbar$, and Newton constant G which is the coupling constant of gravitation, together with the maximal speed of propagation c. One can form the Planck length, $\ell_P = \sqrt{\hbar G/c^3} \approx 1.6 \times 10^{-35}$m, and we expect new physics to appear when probing objects at a few Planck lengths. Quantum gravity effects are typically expected to be relevant to describe the early stages of the universe and black hole physics.

Such scales look quite extreme to us, so that we do not have at our disposal quantum gravity experiments. So the failure of general relativity (GR) to be perturbatively renormalizable has led to various speculative roads aiming at unifying the quantum view of physics with gravitation, in which for instance GR is believed to be an effective theory, only valid at large scales. The most studied framework is that of string theory. It goes far beyond what is experimentally known in particle physics, adding new symmetries and extended objects instead of particles for instance. String theory is quite ambitious and would result in a great unification of all fundamental interactions.

However, it is worth looking closely at GR to realize it is not a standard gauge theory like electromagnetism for instance. Instead, it has brought new insights which make us drastically revise our picture of quantum field theory (QFT). In the latter, spacetime has a fixed, flat geometry, which hence enjoys a global symmetry coming from the principles of special relativity. This Lorentz symmetry is a foundation of the QFT framework, so that matter and interactions take place in this spacetime. This gives a picture of fundamental fields *over* a spacetime background. But, the basic idea of GR is that spacetime geometry is the gravitational field, and is hence dynamical, and so typically does not enjoy the special symmetry used in QFT! This means that spacetime geometry is *not a background*, but evolves and interacts with other fields of particle physics. In agreement with this new picture, the fundamental symmetry of GR is the possibility of performing local changes of coordinates, called diffeomorphisms, which leave invariant the physical laws of nature. Consequently, there is physically speaking no intrinsic locations of phenomena with respect to a background, but instead phenomena are defined in relations to the dynamical geometry.

Thus, starting with the idea of merging GR with quantum physics, more modest than a great unification, one is led to reconsider the foundations of quantum field theory ! The aim is to build an intrinsically non-perturbative and background-independent framework which could apply to go beyond the perturbative non-renormalizability of GR. Many efforts, started in the eighties, have focused on this issue. The result is a mathematically rigourous and background-independent definition of quantum states on a canonical hypersurface (space). It is based on the same phase space as in Yang-Mills theory, and so potentially applies to any diffeomorphism invariant gauge theory with this phase space. The elementary excitations are called *spin network states*, supported by embedded closed graphs, which can be made diffeomorphism invariant, and on which some operators depending on the connection and its momentum are well-defined. When applied to quantum gravity, it is called *loop quantum gravity*, and gives a very nice picture of geometry at the quantum level ! A region of space containing a node of a spin network graph will get a non-trivial volume from this node. If a surface joins two such regions, with two nodes connected by a link of a graph, then this link carries an excitation of area for the surface. Moreover, these volumes and areas only take discrete values !

Next we expect these spin network states to evolve under the Hamiltonian. As it has been so far very hard to define a Hamiltonian operator for gravity on spin network states, understanding the corresponding dynamics is the purpose of a new formalism, the *spin foam* formalism, which gives a general scheme to compute transition amplitudes between such states. In an analoguous way to spin networks, a spin foam is based on a discrete structure, a two-dimensional complex, which may be dual to a triangulation of spacetime. Summing over spin foams is supposed to give a clean implementation of the 'sum-over-histories', or path integral approach. Thus, spin foams applied to GR are expected to provide a picture of *spacetime* geometry. Like for spin networks, we can distinguish the spin foam *kinematics*, and their *dynamics*. We will refer to kinematics to describe the structures of spin foams and their basic building blocks, while the dynamics is encoded in the sum over spin foams.

As there is no quantum gravity experiments and no well-established method to quantize a theory through spin foams, there exist different proposals referred to as *spin foam models*. Also it seems bold to apply such new quantization processes to general relativity (and it is to some extend !). But we have two ideas to help us. The first one is a field theory used as a starting point to propose models, and the second consists in looking at the semi-classical limit. The starting point to propose spin foam models for quantum gravity is *BF field theory*. It is a topological field theory of Schwarz's type, that is without local degrees of freedom, so that the latter come in finite numbers from the spacetime topology, and no metric is indeed to define it. It is closely related to other field theories of interest : in 2 and 4 dimensions, it is the zero coupling limit of Yang-Mills theory, and in 3 dimensions, it is gravity (but with degenerate metrics), describing flat spacetimes. It has been much studied in 2 and 3 dimensions, in connection with other topological field theories (like Chern-Simons theory) and with topological invariants of manifolds (like the Turaev-Viro invariant). Further, in 4 dimensions, it is possible to add constraints on the field variables to the topological action, so as to recover GR and its local degrees of freedom ! The nice point with this BF theory is that it is known : (i) that the kinematical framework can be described through spin network states, just like in LQG, (ii) how to quantize it with spin foams (which implies that its dynamics also is under control), (iii) how to relate this to a quantization of the Hamiltonian on spin network states, (iv) how to show the equivalence to other quantization schemes, at least in 3d ! Thus, this suggests to take advantage of the relation between 4d BF theory and GR to consequently modify the spin foam quantization of the former. The main idea is pictured on the diagram :

$$\begin{tikzcd}
\text{spin network states} \arrow[r] \arrow[dr, "\text{flatness constraint}"'] & \text{LQG Hamiltonian} & \text{spin foams models} \arrow[l, "?"'] \\
& \text{BF Hamiltonian} \arrow[r, "\text{topological invariance}"] & \text{spin foams for BF theory} \arrow[u, "\text{constraints}"]
\end{tikzcd}$$

Once a model for quantum gravity is proposed, the natural test is to investigate its semi-classical behaviour. A method has been proposed some years ago to compute correlation functions from spin foams so that they can be compared with standard QFT. This is a non-trivial task in a diffeomorphism invariant context, and relevant approximations have to be identified. So far, one considers a truncation of the sum over spin foams to a single 2-complex, and expand the summand around a given background with large, macroscopic area eigenvalues. This background is introduced to provide a mean geometry, necessary to make sense of correlation functions in real space. Since spin foams are usually considered on a dual complex to a spacetime triangulation, we expect their semi-classical limit to be related to an *approximation* of GR on a triangulation. This is indeed what happens in the completely solved 3d gravity theory : there, the large area regime gives a semi-classical limit in which spin foam amplitudes are approximated by a form of quantum Regge calculus ! At this time, let us say that *Regge calculus* is an approximation of GR on a triangulation, using piecewise flat metrics, where the basic variables are the lengths of edges, and curvature is encoded into the dihedral angles between simplices.

It is important to keep in mind that *a priori* there is more about spin foams than Regge calculus. Even in the asymptotics, corrections to the exponential of the Regge action are to be expected, and mainly spin foams are designed for the deep quantum regime. In addition, for the topological models, they provide a well-defined unambiguous measure for the path integral, and we expect this to hold for quantum gravity. Once this is stated, one may all the same ask for further connections with Regge calculus, beyond the semi-classical limit ! Indeed, there are strong pieces of evidence from the way spin networks and spin foams are built, as discrete structures of geometry, that their restrictions to a fixed graph and a fixed 2-complex can be naturally related and compared to Regge geometries. This means that the exploration of spin network and spin foam structures could be done by taking inspiration in Regge calculus.

The purpose is multifold. One is kinematical : to understand how much they differ in the canonical and spacetime formalisms, to get a deeper picture of the emergence of the so-called quantum 3-geometry and 4-geometry. At the dynamical level, it is somehow unknown what the Wheeler-de-Witt equation looks like on spin networks, while Regge equations of motion give an account of Einstein's dynamics on discrete structures. It is also commonly believed that the action of the quantized Hamiltonian of GR on spin network states could be geometrically pictured as elementary deformations of polyhedra. Such moves are known in the context of Regge calculus (and they enable to define a Hamiltonian formalism for these geometries), like tent moves for instance. Another interesting aspect is computional. To handle the kind of sums and integrals involved in sums over spin foams, it is really helpful to have at our disposal a nice and well-known geometric interpretation of the summand/integrand of the partition function. The scheme of the relations between LQG, spin foams and Regge calculus is depicted in the following diagram :

$$\begin{tikzcd}
\text{spin networks on a single graph} \arrow[r, "\text{deformation moves ?}"] \arrow[d] & \text{spin foams on a single graph} \arrow[d, "\text{semi-classical limit, only ?}"'] \\
\text{canonical Regge/twisted geometries} \arrow[r, "\text{tent moves}"] & \text{Regge calculus}
\end{tikzcd}$$

The purpose of my doctoral work was to investigate in the most detailed way the content of the arrows of both the above diagrams. The directions of the arrows should not be taken too literally, as they may as well be reversed – most of them contain speculative arguments. Another way to put it is to think of a 3-dimensional array, with two entries on each dimension. On one dimension, we have two field theories : BF and GR, which are physically totally different but surprisingly also technically related. The second dimension is about two quantization schemes : spin networks for the canonical quantization, and spin foams for the spacetime formalism. The third dimension describes two level

of quantizations. First the kinematical level corresponds to the structure of states, or the type of geometries, encoded into spin networks and spin foams (they can be different for the two schemes), and the dynamical level which describes the evolution of spin network states (via a Hamiltonian operator or a sum over spin foams). Then, we are interested in filling the array, by precisely describing the geometries and their dynamics. This will be done partially taking inspiration from Regge calculus.

A typical result which will be presented here is the following. At the kinematical level, the variables which are quantized in spin foam models form genuine 4d Regge geometries, and it is possible to describe explicitly the quantum fluctuations around them within the partition function, while trying to construct similar geometries within the framework of LQG one rather arrives at some twisted, discontinuous 3d Regge geometries. Another example, coming from my work, is that spin foam evolution of spin network states and recurrence relations for these amplitudes can be derived from the action of the Hamiltonian operator in the topological BF case and should be interpreted as tent moves on simplices of a canonical hypersurface together with a nice geometric gauge fixing.

I had the pleasure to begin my work exactly as the new spin foam models, from Engle-Pereira-Rovelli, Livine-Speziale and Freidel-Krasnov, were proposed. This has been an exciting period, with a lot to understand. Basically, how do they correct the previous attempts, what about their semi-classical limit, and how do they fit in the LQG picture ? Because both the formalism, devised for background-independent theories, and the quantum gravity physics are new and somehow speculative, there are two levels of reading of my work. On the one side, I tried to elaborate *methods*, potentially useful for any spin foam models. On the other side, I obtained *results* concerning specific models, namely the topological BF models in 3 and 4d, the old-fashioned Barrett-Crane model and the most recent ones.

I will focus along this manuscript on three methods. The first method is used to extract correlation functions from spin foams, proposed by Rovelli and collaborators some years ago. Actually, I will only illustrate this method in the context of a toy model in 3d, to show that it can be used to explicitly compute in the asymptotics at any desired order ! For this purpose, one has to find a way to include all corrections to the quantum Regge calculus (first order of the spin foam asymptotics) coming from the exact spin foam amplitude. It also answers interesting questions about the large spin limit of the 3d model beyond the first order, showing for instance that the Regge action is the only relevant frequency, and expliciting the full pattern of oscillations.

The second method is fully original, and aims at filling the gap between LQG and spin foams through recurrence relations on spin foam amplitudes. These relations are to be understood as Wheeler-de-Witt equations on boundary spin networks, or more generally as quantum implementations of symmetries. Interestingly, they admit geometric interpretations in terms of elementary deformations of simplices, such as tent moves, thus prefigurating possible Hamiltonian pictures of spin foams. I mainly focus on the topological models to develop the main ideas, but also found recurrence relations on non-topological models.

Finally, I looked at a third method to unfold the geometry of spin foams. The main idea is to rewrite a spin foam model on a triangulation as a path integral for a classical system of discrete geometries. For this, I developped a formalism to identify usual quantities of Regge calculus among the variables used to build spin foams, and applied it to the most well-known models. In particular for the new model, it shows how the BF discrete action reduces to a Regge-like action with the Immirzi parameter. The corresponding stationnary points are Regge geometries, and the formalism makes the path integral explicit and so the quantum fluctuations.

For a more complete résumé of the methods and of the results, the reader is invited to have a look at the conclusion. The first part of the manuscript, I, presents the classical BF and general relativity field theories, and gives a brief introduction to the set-up of Regge calculus. Then, the second part, II, is devoted to the Hamiltonian framework. There, I compare the Hamiltonian analyses of BF and GR, present the spin network quantization, relevant for both BF and GR, and I finally restrict attention to the geometric content of this quantization on a single graph, looking at the kinematical aspects, and at the dynamics in simplified situations. The third part, III, is a first contact with spin foams :

the general heuristic ideas, and how they are explicitly carried out in BF theory. I also present in this part the way correlation functions can be recovered with spin foams, together with some explicit computations in the 3d toy model. The fourth part, IV, is dedicated to recurrence relations in the 3d and 4d topological spin foam models as quantization of the Hamiltonian constraint, and their geometric interpretations, with the help of spacetime Pachner moves and canonical tent moves. The last part of the manuscript, V, focuses on spin foam models for quantum gravity. It fully explores the classical setting, the different quantizations that have been proposed, from the Barrett-Crane model to the most recent ones. I also there develop the programme to build spin foam models out of path integrals for geometries on the lattice. It leads to geometrically clear derivations of all these models and more!

Première partie

Théorie BF et relativité générale classiques

Chapitre 1

Théorie BF

Notre présentation des théories de type BF est fortement inspirée de [22] qui constitue une très jolie introduction aux modèles de mousses de spins. Bien sûr, les articles originaux de Blau et Thompson [53], ainsi que d'Horowitz [112] restent incontournables.

1.1 Équations classiques

Soit P un fibré principal de groupe de structure G, au-dessus d'une variété lisse M, notre espace-temps, de dimension n. Nous prendrons presque systématiquement dans cette thèse $G = \mathrm{SU}(2)$ ou $\mathrm{Spin}(4)$. Considérons une connexion A sur P, qui sera vue localement comme une 1-forme à valeurs dans l'algèbre de Lie $\mathfrak{g}$ de G (A^{IJ} avec $I, J = 0, 1, 2, 3$ des indices euclidiens 4d, ou A^i, $i = 1, 2, 3$ dans le cas de $\mathrm{SU}(2)$) et possédant une loi de transformation particulière, que nous rappelons plus bas, sous l'effet des transformations de jauge. Nous avons également besoin d'une $(n-2)$-forme B à valeurs dans le fibré adjoint $\mathrm{Ad}(P)$, i.e. le fibré vectoriel associé à P via l'action adjointe de G sur son algèbre $\mathfrak{g}$. Localement, nous verrons B comme une $(n-2)$-forme sur M à valeurs dans $\mathfrak{g}$ et se transformant sous la représentation adjointe de G. Finalement, l'action de la théorie topologique BF se construit à l'aide d'une forme bilinéaire invariante non-dégénérée sur l'algèbre $\mathfrak{g}$, que nous notons 'tr', et

$$S_{\mathrm{BF}}\big(B, A\big) = \int_M \mathrm{tr}\Big(B \wedge F(A)\Big), \tag{1.1}$$

où $F(A) = dA + \frac{1}{2}[A, A]$ est la 2-forme de courbure de A. Le groupe $\mathcal{G}$ des transformations de jauge usuelles est constitué des champs à valeurs dans G, et engendre les transformations suivantes

$$A \mapsto \mathrm{Ad}_g\, A + g\, dg^{-1}, \qquad B \mapsto \mathrm{Ad}_g\, B, \tag{1.2}$$

qui laisse l'action invariante. L'action adjointe s'écrit matriciellement : $\mathrm{Ad}_g\, X = gXg^{-1}$. La linéarisation de ces transformations correspond aux variations : $\delta A = -d_A\phi$ and $\delta B = [\phi, B]$, telles que $\delta F = -[F, B]$. De même, étant formulée comme l'intégrale d'une forme différentielle, S_{BF} est bien invariante sous les difféomorphismes de M.

Les équations du mouvement sont particulièrement simples :

$$d_A\, B = 0, \tag{1.3}$$

$$F(A) = 0, \tag{1.4}$$

où $d_A = d + [A, \cdot]$ est la différentielle covariante. Nous allons montrer qu'en fait toutes les solutions sont localement identiques à des transformations de jauge près ! La deuxième équation provient du

fait que B est un multiplicateur de Lagrange pour la courbure, et signifie simplement que A est une connexion plate. Or toutes les connexions plates ne diffèrent localement que par des transformations de jauge. Par ailleurs, puisque A est plate, toute forme fermée B satisfaisant $d_A B = 0$ est localement exacte, et s'écrit donc comme $d_A \psi$ pour une forme ψ. Mais, la spécificité de cette théorie est que l'on peut éliminer ψ en un certain sens. En effet, l'action bénéficie d'une invariance locale particulière en plus de celle sous l'action de $\mathcal{G}$:

$$A \mapsto A, \qquad B \mapsto B + d_A\, \eta, \tag{1.5}$$

pour toute $(n-3)$-forme η sur M à valeurs dans $\mathfrak{g}$. Il s'agit en fait d'une symétrie de jauge au sens usuel, parfois appelée symétrie de translation, en raison de son action sur B. En notant $\mathcal{T}$ le groupe de ces symétries de translation, le groupe complet des symétries de la théorie BF est le produit semi-direct $\mathcal{G} \ltimes \mathcal{T}$. Il est clair que de telles transformations permettent toujours de transformer une solution B en la solution triviale localement. Ainsi, toutes les solutions des équations sur les champs sont localement équivalentes à la solution triviale. En termes physiques, cela signifie qu'il n'y a pas de degrés de liberté locaux.

Ces équations admettent une interprétation cohomologique utile. En effet, l'action de la différentielle covariante au carré sur une forme est proportionnelle à la courbure, $d_A^2 \omega = [F(A), \omega]$. Dès lors que $F = 0$, nous pouvons utiliser d_A pour définir des classes de cohomologie. L'ensemble des solutions non-équivalentes de jauge est donc formé par les connexions plates non-équivalentes de jauge avec les éléments du $(n-2)$-ième groupe de cohomologie, ce dernier étant par dualité de Poincaré isomorphe au deuxième groupe de cohomologie.

La théorie BF et la relativité générale telle que nous la présentons à la section suivante partagent des caractéristiques essentielles à l'idée de formuler une géométrie de l'espace-temps qui soit dynamique. Toutes deux sont en effet formulées en termes de formes différentielles, sans référence à une métrique, et sont ainsi invariantes sous les difféomorphismes. Il est donc de première importance de comprendre que c'est la symétrie de jauge de translation (1.5) qui distingue la théorie topologique de la relativité générale. La symétrie de jauge standard avec la symétrie de translation constituent l'ensemble des symétries de la théorie BF, et en particulier les difféomorphismes. En effet, si ξ est un champ de vecteurs sur M, en utilisant le produit intérieur i_ξ, nous pouvons former une fonction ϕ_ξ à valeurs dans le fibré adjoint $\mathrm{Ad}(P)$, $\phi_\xi \equiv i_\xi A$, ainsi qu'une $(n-3)$-forme η_ξ à valeurs dans $\mathrm{Ad}(P)$, $\eta_\xi \equiv i_\xi B$. Alors l'action de ξ sur la connexion est

$$\delta_\xi A = \mathcal{L}_\xi A, \tag{1.6}$$

$$= d_A\, \phi_\xi + i_\xi F, \tag{1.7}$$

où $\mathcal{L}_\xi$ représente la dérivée de Lie selon ξ. Autrement dit, un difféomorphisme infinitésimal s'écrit comme une simple transformation de jauge, plus un terme proportionnel à la variation de l'action $\delta S/\delta B = F$. De même, l'action de ξ sur B est

$$\delta_\xi B = \mathcal{L}_\xi B, \tag{1.8}$$

$$= d_A\, \eta_\xi + [\phi_\xi, B] + i_\xi\, d_A B. \tag{1.9}$$

Les deux premiers termes sont bien sûr des transformations de jauge, tandis que le troisième est proportionnel à la variation de l'action $\delta S/\delta A = d_A B$. Or comme le note Horowitz [112], on sait que deux symétries qui diffèrent par de telles variations de l'action, s'annulant sur l'espace des solutions des équations du mouvement, sont *de facto* équivalentes. La différence majeure entre la théorie topologique et la relativité générale est donc la possibilité dans la théorie topologique de réexprimer les difféomorphismes on-shell comme une symétrie de jauge sur un espace « interne ».

Signalons finalement le fait que les symétries spécifiques de la théorie BF ont été interprétées dans le formalisme BRST (ou Batalin-Vilkovisky) comme une supersymétrie vectorielle [128, 104], essentielle à la résolution de la cohomology locale de l'opérateur BRST, et au final à la renormalisabilité

perturbative [127] ! Un aspect important de l'analyse de la théorie BF par les méthodes algébriques standards de la théorie quantique des champs est le fait que l'algèbre BRST n'est pas fermée *off-shell*, l'opérateur BRST n'étant nilpotent que on-shell, et que la symétrie de translation (1.5) est réductible en dimension ≥ 4. En effet, il y a des modes zéro pour la transformation de translation : si la $(n-3)$-forme η est prise comme $\eta = d_A\,\psi$, alors B est changé en $B + [F_A, \psi]$, et cela n'a aucun effet on-shell ! Ce processus peut se poursuivre jusqu'à $d_A^{(n-2)}\kappa$, pour une fonction κ. Il faut donc être prudent dans la formulation de l'intégrale de chemins, ce qui passe par l'introduction de fantômes de fantômes (« ghosts of ghosts ») pour gérer les symétries de jauge sur les fantômes.

1.2 En dimensions 2 et 3

La théorie topologique BF est intimement reliée à d'autres théories des champs de basses dimensions bien connues.

Yang-Mills en 2 dimensions

A priori, la théorie de Yang-Mills nécessite d'équiper notre variété d'une métrique. Néanmoins, pour une variété M_2 fermée et orientée de dimension 2, une forme de volume ε est suffisante. La courbure d'un connexion A se décompose alors en $F(A) = f_A\varepsilon$, où f_A est une fonction sur M_2 à valeurs dans $\mathfrak{g}$ se transformant sous l'adjointe. L'action de Yang-Mills avec une constante de couplage notée e^2 est alors

$$S_{\mathrm{YM2d}} = -\frac{1}{2e^2}\int_{M_2} \varepsilon\ \mathrm{tr}\, f_A^2. \tag{1.10}$$

Il est bien connu que la fonction de partition, définie formellement par

$$Z_{\mathrm{YM2d}}(e^2\rho) = \int DA\ e^{iS_{\mathrm{YM2d}}(A)}, \tag{1.11}$$

ne dépend que la combinaison $e^2\rho$, où $\rho = \int_{M_2}\varepsilon$ est le volume de M_2.

Pour voir le lien avec la théorie BF, considérons la fonctionnelle suivante

$$S_{\mathrm{BFYM2d}} = \frac{e^2}{2}\int_{M_2} \varepsilon\ \mathrm{tr}\, B^2 + \int_{M_2} \mathrm{tr}\ BF(A). \tag{1.12}$$

B est ici une fonction à valeurs dans $\mathfrak{g}$ se transformant sous l'adjointe. Le deuxième terme de l'action est bien sûr la fonctionnelle BF en dimension 2, auquel nous avons ajouté un terme quadratique en B à l'aide de la forme de volume ε. La fonction de partition correspondante est

$$Z_{\mathrm{BFYM2d}}(e^2\rho) = \int DA\,DB\ e^{i\frac{e^2}{2}\int_{M_2}\varepsilon\ \mathrm{tr}\, B^2}\ e^{i\int_{M_2}\varepsilon\ \mathrm{tr}\ Bf_A}. \tag{1.13}$$

Il est possible d'effectuer formellement l'intégrale gaussienne sur B. Celle-ci se localise autour du point stationnaire

$$B = -\frac{2}{e^2}\,f_A, \tag{1.14}$$

et conduit à l'égalité avec la fonction de partition de Yang-Mills,

$$Z_{\mathrm{BFYM2d}}(e^2\rho) = Z_{\mathrm{YM2d}}(e^2\rho). \tag{1.15}$$

Cela nous permet de voir la limite de couplage faible (ou de petit volume de M_2) comme la théorie topologique BF, ne dépendant plus de la forme de volume ε.

La méthode la plus efficace pour calculer cette fonction de partition est certainement la régularisation sur un réseau, du fait qu'elle est invariante par subdivision du réseau (à une renormalisation standard près) ! Ce calcul a déjà été utilisé par Witten [173] pour calculer le volume symplectique de l'espace de module des connexions plates sur le fibré choisi au-dessus de M_2. Dans notre perspective, cela correspond précisément à un calcul de l'intégrale de chemins en forme de mousses de spins ! Dans ce cas, l'expression combinatoire fournie par la somme sur les mousses de spins est particulièrement simple, et c'est de plus la forme la plus simple que l'on peut donner à $Z_{\mathrm{YM2d}}(e^2\rho)$. Nous donnerons la formule explicite pour la limite topologique en 7.2.

La gravité en dimension 3

Dans le formalisme dit du premier ordre, la gravité riemannienne en trois dimensions fait intervenir une connexion de spin A^i $(i = 1, 2, 3)$ à valeurs dans $\mathfrak{su}(2)$, et une co-triade e^i, i.e. 1-forme à valeurs dans $\mathfrak{su}(2)$, se transformant sous l'adjointe, et non-dégénérée. Les indices internes sont contractés grâce à la forme de Killing sur $\mathfrak{su}(2)$, i.e. le tenseur δ_{ij} (qui s'écrit par ailleurs en fonction de la trace matricielle). L'action de la gravité en 3d avec une constante cosmologique Λ est

$$S_{\mathrm{GR3d}}(e, A) = \frac{1}{4\pi G} \int_{M_3} \left[e^i \wedge F_i(A) \, + \, \frac{\Lambda}{6} \, \epsilon_{ijk} \, e^i \wedge e^j \wedge e^k \right]. \tag{1.16}$$

Nous omettrons systématiquement la constante de Newton G en posant : $4\pi G \equiv 1$. L'action est bien invariante sous les difféomorphismes de M_3, puisque formulée comme intégrale d'une forme différentielle. Mise à part la condition de non-dégénérescence sur e, nous reconnaissons dans le premier terme ci-dessus l'action BF pour SU(2), le deuxième terme correspondant au volume de M_3.

Les équations d'Einstein prennent une forme particulièrement simple en trois dimensions (phénomène que l'on ne retrouve évidemment pas en dimension 4),

$$d_A e^i = 0, \tag{1.17}$$

$$F^i + \frac{\Lambda}{2} \, \epsilon^i{}_{jk} \, e^j \wedge e^k = 0. \tag{1.18}$$

La première équation correspond à la condition usuelle de torsion nulle en relativité générale. Elle permet d'exprimer la connexion A comme une fonction de la co-triade dès lors que e est bien inversible. La seconde équation quant à elle signifie que l'espace-temps a une courbure homogène donnée par Λ.

Il pourrait sembler *a priori* que la présence du terme de volume proportionnel à Λ dans S_{GR3d} fasse disparaître l'invariance de l'action sous la symétrie de translation (1.5). Néanmoins, l'action possède toujours une symétrie particulière qui fait de cette théorie une théorie topologique, ne possédant pas de degré de liberté locaux ! Cette symétrie apparaît comme une déformation de la symétrie de translation (1.5),

$$\delta A = \Lambda \, [e, \eta], \qquad \delta e = d_A \eta. \tag{1.19}$$

Notons que les difféomorphismes peuvent être générés à partir de ces transformations et des transformations de jauge usuelles. Pour une étude détaillée des symétries dans le formalisme BRST, je renvoie par exemple à [72].

La manière la plus efficace de traiter la gravité 3d comme une théorie des champs, et montrer en particulier sa renormalisabilité, a été donnée par Witten dans [170]. Il s'agit en fait de la formuler comme une théorie de Chern-Simons pour un groupe de structure bien choisi. La théorie de Chern-Simons est une théorie des champs topologique qui a fait l'objet d'intenses recherches, en raison de ses liens avec la théorie des invariants des 3-variétés et des invariants de noeuds, comme l'a montré Witten [171]. Cette théorie n'est pas directement intéressante pour nous puisqu'on ne lui connaît pas de formulation de type somme sur les mousses de spins. Elle n'existe par ailleurs pas en dimension 4, mais seulement en dimensions impaires. Néanmoins, il s'agit d'une incontournable à laquelle il est

souvent fait référence. Un de ses aspects fascinants est qu'elle est tout à la fois reliée au modèle dit "G/G-gauged Wess-Zumino-Witten" en dimension 2, et à la théorie BF en quatre dimensions, notamment via le fameux état de Kodama, [20]. Par ailleurs, mon premier travail de (pré-)thèse fut l'étude d'une ambiguité dans l'action de la gravité 3d, ambiguité qui ressemble au paramètre d'Immirzi de la gravité 4d, et qui prend son sens plus aisément dans le cadre de la théorie de Chern-Simons. Nous en donnons donc une brève exposition.

L'idée est pour nous de combiner la symétrie de jauge standard et la symétrie de translation en une seule symétrie de jauge pour un groupe de structure élargi, $\widetilde{G}$. Ce groupe élargi est Spin(4), ISU(2) ou SO(3, 1) selon que la constante cosmologique est positive, nulle ou négative. Les générateurs de l'algèbre de Lie $\widetilde{\mathfrak{g}}$ satisfont aux relations de commutation :

$$[J_i, J_j] = \epsilon_{ij}{}^k J_k, \qquad [J_i, K_j] = \epsilon_{ij}{}^k K_k, \qquad [K_i, K_j] = s\ \epsilon_{ij}{}^k J_k, \tag{1.20}$$

ou $s = -1, 0, 1$ est le signe de la constante cosmologique. Nous pouvons maintenant considérer une connexion pour le groupe élargi, $\omega = A^i J_i + \sqrt{|\Lambda|}\ e^i K_i$. Dans le groupe des transformations de jauge correspondant, une rotation générée par un élément de la forme $u = u^i J_i$ engendre une transformation de jauge SU(2), tandis qu'un boost $v = v^i K_i$ engendre une transformation (1.19). Pour construire l'action de Chern-Simons, nous devons choisir une forme bilinéaire invariante non-dégénérée sur l'algèbre,

$$\langle J_i, K_j\rangle = \delta_{ij} \qquad\qquad \langle J_i, J_j\rangle = \langle K_i, K_j\rangle = 0. \tag{1.21}$$

Alors, pour $\Lambda \neq 0$ [1], l'action de la gravité en 3d s'écrit aussi bien comme une action de Chern-Simons,

$$S_{\mathrm{CS}}(\omega) = \frac{1}{2\sqrt{|\Lambda|}} \int_{M_3} d^3x\ \epsilon^{\mu\nu\rho} \big(\langle \omega_\mu, \partial_\nu \omega_\rho\rangle + \frac{1}{3}\langle \omega_\mu, [\omega_\nu, \omega_\rho]\rangle\big), \tag{1.22}$$

$$= S_{\mathrm{GR3d}}(e, A). \tag{1.23}$$

L'équation du mouvement de Chern-Simons dit simplement que la courbure $R(\omega)$ de la connexion ω s'annule. Les composantes de la courbure $R(\omega)$ selon les générateurs $(J_i)_i$ et $(K_i)_i$ sont telles que nous retrouvons les équations d'Einstein,

$$R(\omega) = \big(F^i + \frac{\Lambda}{2}\,[e, e]^i\big)\ J_i + \big(d_\omega e\big)^i\ K_i = 0. \tag{1.24}$$

Introduisons désormais une ambiguité, caractérisée par un paramètre noté γ dont l'origine est complètement analogue à celle du paramètre d'Immirzi en 4 dimensions. Cette ambiguité fut remarquée par Witten, mais ne fut pas à ma connaissance étudiée avant [58]. Elle trouve en fait son origine dans l'existence, pour les cas $\Lambda \neq 0$, d'une deuxième forme bilinéaire invariante non-dégénérée sur l'algèbre $\widetilde{\mathfrak{g}}$,

$$(J_i, J_j) = \delta_{ij}, \qquad (K_i, K_j) = s\ \delta_{ij} \quad \text{and} \quad (J_i, K_j) = 0. \tag{1.25}$$

L'existence d'une telle deuxième forme invariante est spécifique à ces groupes d'isométries et peut se comprendre en observant que ceux-ci admettent une factorisation : Spin(4) = SU(2) × SU(2), et de même pour SO(3, 1) après complexification [2]. Ainsi, notre deuxième forme invariante n'est autre que la première introduite, dans laquelle un des arguments se voit appliqué l'opérateur de dualité de Hodge $\star$ qui échangent les générateurs des rotations $(J_i)_i$ avec ceux des boosts $(K_i)_i$.

Cela siginifie que nous pouvons introduire une deuxième action de Chern-Simons,

$$\widetilde{S}_{\mathrm{CS}}(\omega) = \frac{1}{2\sqrt{|\Lambda|}} \int_{M_3} d^3x\ \epsilon^{\mu\nu\rho} \big((\omega_\mu, \partial_\nu \omega_\rho) + \frac{1}{3}(\omega_\mu, [\omega_\nu, \omega_\rho])\big), \tag{1.26}$$

1. Le cas $\Lambda = 0$ est simplement décrit en prenant $s = 0$ et $\sqrt{|\Lambda|} = 1$ ou n'importe quelle constante.

2. Dans le cas lorentzien, c'est le groupe SO(2, 2) qui intervient pour $\Lambda \leq 0$; ce groupe s'écrit de manière analogue, $\mathrm{SO}(2,2) = SL(2,\mathbb{R}) \times SL(2,\mathbb{R})$.

qui conduit naturellement à la même équation du mouvement, $R(\omega) = 0$. En termes de la co-triade et de la connexion de spin, cette action s'écrit :

$$\widetilde{S}_{\mathrm{CS}}(\omega) = \frac{1}{2\sqrt{|\Lambda|}} S_{\mathrm{CS}}(A) + \frac{s}{2}\sqrt{|\Lambda|} \int_{M_3} \mathrm{tr}\big(e \wedge d_A e\big). \tag{1.27}$$

$S_{\mathrm{CS}}(A)$ représente l'action de Chern-Simons SU(2) pour la connexion A, et le deuxième terme s'interprète comme un terme de torsion. De plus, il est possible de former une combinaison des deux actions à notre disposition à l'aide d'un paramètre γ réel,

$$S_{\mathrm{GR3d}\gamma}(\omega) = S_{\mathrm{CS}}(\omega) + \gamma^{-1}\, \widetilde{S}_{\mathrm{CS}}(\omega). \tag{1.28}$$

Tant que la condition $\gamma^2 \neq s$ est vérifiée [3], les équations de stationarité par rapport à A et e reproduisent bien les équations d'Einstein.

Ne disposant pas de modèle type mousses de spins pour la théorie de Chern-Simons, nous ne poursuivrons pas plus avant dans ce mémoire de thèse l'étude de cette ambiguité. Le lecteur est renvoyé à [58] pour plus de détails. Dans cet article, j'ai étudié avec E. R. Livine l'algèbre des contraintes pour les crochets de Poisson modifiés par γ. Nous avons rapproché cette structure symplectique de celle de la théorie de Yang-Mills 3d avec masse topologique (induite par un terme de Chern-Simons), et étudié la déformation du spectre des longueurs par γ dans la quantification par les réseaux de spins. Une comparaison précise avec la situation en 4d suggère que le paramètre γ introduit ici, bien qu'ayant la même origine que le paramètre d'Immirzi en 4d, se rapproche plutôt des termes topologiques-θ, du point de vue de la structure symplectique. L'étude de cette ambiguité a été reprise dans [132], en lien avec le rôle des symétries dites kappa-Poincaré en gravité 3d.

3. Les cas où $\gamma^2 = s$ correspondent à des théories de Chern-Simons pour la connexion self-duale ou anti-self-duale. Cela se vérifie grâce à la décomposition

$$S_{\mathrm{GR3d}\gamma}(\omega) = \big(\gamma^{-1} + s\sigma\big)\; S_{CS}(\omega_+) \;+\; \big(\gamma^{-1} - s\sigma\big)\; S_{CS}(\omega_-), \tag{1.29}$$

dans laquelle les connexions (anti-)self-duales sont $\omega^i_\pm = A^i \pm \sigma\sqrt{|\Lambda|}e^i$, avec : $\star\omega_\pm = \pm\sigma\omega_\pm$, le coefficient σ étant 1 pour $\Lambda > 0$ et i pour $\Lambda < 0$.

Chapitre 2

Relativité générale à la Palatini et Plebanski

Nous nous intéressons désormais à la relativité générale *riemannienne* (comme dans le reste de cette thèse), sous sa formulation utilisée en gravité dite à boucles qui a pour action l'action de Holst. Nous expliciterons le lien entre l'action de Holst et celle dite de Plebanski qui établit un lien précis avec la théorie BF. C'est de plus laction de Plebanski, à travers son lien à la théorie BF, qui sert de base pour la quantification en mousses de spins.

2.1 L'action de Holst

Nous choisissons un fibré noté $\mathcal{T}M$, sur notre variété d'espace-temps M de dimension 4, qui soit isomorphe au fibré tangent TM mais pas de manière canonique. L'idée est que chaque fibre de $\mathcal{T}M$ peut être vue comme une sorte d'imitation de l'espace tangent à M, pour reprendre le langage de Baez dans [26], qu'on appelle en théorie de jauge l'espace interne. Sur ces fibres, on introduit une métrique euclidienne (ou minkowskienne) et on considérera que la physique s'y comporte et s'y formule de manière euclidienne (ou minkowskienne). Ainsi, le champ gravitationnel n'est autre que l'isomorphisme entre $\mathcal{T}M$ et TM dont la tâche est de transposer la dynamique du fibré d'imitation au fibré tangent ! Sur une telle interprétation du champ gravitationnel, j'invite à lire pour le plus grand profit les sections consacrées du livre de Rovelli [153]. Cette isomorphisme prend donc la forme une 1-forme à valeurs dans $\mathcal{T}M$, ou autrement dit d'une cotétrade notée e.

Si A est une connexion sur le fibré P des repères orthonormaux de M, sa courbure F est une 2-forme à valeurs dans $\mathrm{Ad}(P)$ ou de manière équivalente dans $\Lambda^2\mathcal{T}M$. Localement, nous verrons $A = A_\mu^{IJ} J_{IJ} dx^\mu$ comme une 1-forme sur M à valeurs dans l'algèbre de Lie $\mathfrak{so}(4)$, dont les générateurs sont notés J_{IJ}. De même, la cotétrade a pour composantes $e^I = e_\mu^I dx^\mu$. Les indices internes, i.e. sur les fibres de $\mathcal{T}M$, sont manipulés à l'aide de la métrique euclidienne δ_{IJ}. Avec ces préliminaires, nous sommes en mesure d'écrire l'action de Holst pour un paramètre d'Immirzi γ,

$$S_{\mathrm{H}}(e, A) = \frac{1}{2}\int_M \epsilon_{IJKL}\; e^I \wedge e^J \wedge F(A)^{KL} + \frac{1}{\gamma}\int_M e^I \wedge e^J \wedge F(A)_{IJ}. \tag{2.1}$$

Cette action ne fait pas intervenir de métrique sur M mais se formule plutôt en termes de formes différentielles et est ainsi naturellement invariante sous les difféomorphismes de M. Pour retrouver le formalisme d'origine d'Einstein-Hilbert, il faut former une métrique sur M via : $g = \delta_{IJ}\,(e^I \otimes e^J)$, ce qui fonctionne uniquement si la cotétrade est non-dégénérée. Notons à cet effet que S_{H} reste bien définie même lorsque e est dégénérée, $\det e = 0$. Par ailleurs, en plus d'apparaître comme préférable

ou attirant du point de vue physique [153], l'utilisation de la cotétrade à la place de la métrique est nécessaire pour coupler la gravité aux fermions.

La théorie est ici dans un formalisme du premier ordre, ce qui signifie que e (ou la métrique) et A sont des variables indépendentes. Pour retrouver une connexion compatible avec la métrique, il faut utiliser les équations du mouvement. Oublions pour cela dans un premier temps le second terme de l'action de Holst et formons simplement l'action de dite de Hilbert-Palatini,

$$S_{\mathrm{HP}}(e,A) = \frac{1}{2}\int_M \epsilon_{IJKL}\; e^I \wedge e^J \wedge F(A)^{KL}. \tag{2.2}$$

En extremisant cette action par rapport à A, on obtient les équations suivantes,

$$d_A(e\wedge e) = 0 \quad \overset{\det e\neq 0}{\Longrightarrow} \quad d_A\, e = 0. \tag{2.3}$$

Toujours pour e non-dégénérée, cette dernière relation permet d'exprimer la connexion comme une fonction de la cotétrade, $A(e)$. Celle-ci peut ensuite être ramenée sur l'espace tangent (en utilisant e) pour donner la connexion de Levi-Civita. C'est pour cette raison que l'équation : $d_A e = 0$, est appelée la condition de torsion nulle. Par ailleurs, la variation de l'action par rapport à la cotétrade fournit l'équation

$$\epsilon_{IJKL}\; e^J \wedge F^{KL} = 0. \tag{2.4}$$

En ramenant l'équation sur l'espace tangent et en utilisant $A(e)$, cela correspond précisément aux équations d'Einstein imposant à la courbure de Ricci de s'annuler.

Revenons maintenant à l'action de Holst (2.1) pour considérer l'influence du deuxième terme. Ce terme, pris isolément, n'a été étudié que très récemment [116]. Les auteurs ont montré qu'il s'agit d'un terme topologique, i.e. ne possédant pas de degrés de liberté localement. Ce résultat était attendu dans la mesure où son effet au sein de l'action de Holst était déjà connu : les équations du mouvement pour l'action de Holst sont exactement les mêmes que celles de l'action de Hilbert-Palatini (2.2). Cela signifie en particulier que le paramètre d'Immirzi γ est classiquement invisible en gravité pure. En fait, le passage de l'action de Palatini-Cartan à l'action de Holst se traduit en termes hamiltoniens par une transformation canonique sur l'espace des phases. Néanmoins, les résultats de [116] peuvent paraître surprenants d'un autre point de vue. En effet, le terme en $e^I \wedge e^J \wedge F_{IJ}$ dans (2.1) ne conduit qu'à l'équation du mouvement (2.3), du fait que l'équivalent de (2.4),

$$e^I \wedge F_{IJ} = 0, \tag{2.5}$$

est satisfaite dès lors que A est la connexion de torsion nulle $A(e)$. On pourrait alors penser que l'ensemble des solutions classiques est beaucoup plus grand que celui associé à S_{H}. Cette assertion se révèle en fait fausse, car le terme supplémentaire de l'action de Holst jouit d'un groupe de symétrie de jauge beaucoup plus large que S_{HP}, ce qui permet d'identifier des solutions a priori non-équivalentes. Les auteurs de [116] obtiennent ce résultat par une analyse hamiltonienne complète. Mais la formulation lagrangienne de ces symétries de jauge supplémentaires semble compliquée et n'est toujours pas connue.

D'autres travaux ont été menés précédemment pour apporter des éclaircissements sur le paramètre d'Immirzi qui reste malgré tout aujourd'hui mal compris. Classiquement, il définit une famille à un paramètre de théories équivalentes pour la gravité pure. Néanmoins, le couplage à la matière est susceptible d'apporter des effets physiques particulièrement intéressants. En effet, il est connu que le couplage minimal de fermions dans la théorie d'Einstein-Cartan apporte de la torsion, sous la forme : $d_A e =$« courant fermionique ». En prenant pour base l'action de Holst, les auteurs de [142] trouvent alors que l'action effective comporte un terme d'interactions à quatre fermions dont la constante de couplage dépend explicitement de γ,

$$S_{\mathrm{int}}(e,\psi) = -\frac{3}{2}\pi G\frac{\gamma^2}{\gamma^2+1}\int_M d^4x\sqrt{g}\;\left(\overline{\psi}\gamma_5\gamma_I\psi\right)\;\left(\overline{\psi}\gamma_5\gamma^I\psi\right). \tag{2.6}$$

Dans [99] sont aussi étudiés le couplage non-minimal en présence de torsion et du paramètre d'Immirzi, et l'influence sur la violation de la parité.

Du point de vue mathématique le paramètre d'Immirzi tire son origine de la présence de deux formes bilinéaires invariantes non-dégénérées sur l'algèbre $\mathfrak{spin}(4)$, exactement de la même manière que le paramètre γ introduit en section 1.2 dans la formulation à la Chern-Simons de la gravité 3d. Ces deux formes permettent deux contractions différentes entre $e^I \wedge e^J$ et la courbure F et sont reliées par dualité de Hodge comme le montre l'écriture de l'action,

$$S_{\mathrm{H}}(e, A) = \frac{1}{2} \int_M \epsilon_{IJKL}\ e^I \wedge e^J \wedge \big(F + \gamma^{-1} \star F\big)^{KL}. \tag{2.7}$$

Il s'agit bien sûr des formes invariantes précédemment définie, en (1.21) et (1.25). Étant donné la possibilité de construire ces deux termes de l'action, le fait essentiel reste que la deuxième forme invariante ne modifie pas les équations du mouvement.

2.2 L'action de Plebanski

Nous présentons ici l'action de Plebanski SO(4), qui fut initialement introduite en relation avec les solutions self-duales de la relativité générale complexifiée. Pour de récentes présentations en liens avec les modèles de mousses de spins, nous renvoyons à [73] et [147].

Comme le suggère l'écriture (2.7) de l'action de Holst, celle-ci peut être vue comme une action BF,

$$\int_M \mathrm{tr}\ B \wedge \big(F + \gamma^{-1} \star F\big), \tag{2.8}$$

pour laquelle on ne regarde que les configurations de B prenant la forme

$$B = \star(e \wedge e). \tag{2.9}$$

Ici, nous avons normalisé la trace pour que $\mathrm{tr}(AB) = A^{IJ} B_{IJ}$. Plus généralement, on a l'habitude de dire que B est simple s'il s'écrit $\pm(e \wedge e)$ ou $\pm \star (e \wedge e)$ pour une 1-forme e. Ainsi, si les configurations simples $\pm \star (e \wedge e)$ correspondent à l'action de Holst pour un paramètre d'Immirzi γ, les configurations simples $\pm(e \wedge e)$ donnent l'action de Holst pour un paramètre d'Immirzi γ^{-1}. Par ailleurs, soulignons que l'opérateur $(\mathrm{id} + \gamma^{-1} \star)$ étant inversible sur l'algèbre $\mathfrak{so}(4)$, une simple redéfinition de B dans l'action (2.8) montre qu'il s'agit bien d'une théorie BF authentique.

Bien sûr, il ne s'agit pas pour nous de restreindre l'espace des solutions de la théorie BF aux 2-formes simples, mais bien plutôt d'introduire cette condition comme une contrainte dans l'action, à respecter lorsque l'on regarde les variations de celle-ci. Cela nous conduit à l'action de Plebanski SO(4) dont les variations conduisent aux équations du mouvement voulues. Nous introduisons donc un multiplicateur de Lagrange ϕ qui force B à être simple :

$$S_{\mathrm{Pl}}(B, A, \phi) = \frac{1}{2} \int_M \mathrm{tr}\ B \wedge \big(F + \gamma^{-1} \star F\big) + \frac{1}{2} \int_M \phi_{IJKL}\ B^{IJ} \wedge B^{KL}. \tag{2.10}$$

Le multiplicateur ϕ doit en outre être antisymétrique dans l'échange des indices I et J, et K et L, $\phi_{IJKL} = \phi_{[IJ][KL]}$, symétrique dans l'échange des paires $[IJ]$ et $[KL]$, et de trace nulle, $\epsilon^{IJKL}\phi_{IJKL} = 0$. Il contient donc 20 composantes indépendantes, qui conduisent à 20 équations algébriques sur les 36 composantes de B,

$$\epsilon^{\mu\nu\rho\sigma}\ B^{IJ}_{\mu\nu}\, B^{KL}_{\rho\sigma} = \frac{\mathcal{V}}{4!}\ \epsilon^{IJKL}, \tag{2.11}$$

pour

$$\mathcal{V} = \epsilon^{\mu\nu\rho\sigma}\, \epsilon_{IJKL}\, B^{IJ}_{\mu\nu}\, B^{KL}_{\rho\sigma}. \tag{2.12}$$

Les contraintes (2.11) sont appelées contraintes de simplicité, et lorsqu'elles sont satisfaites $\mathcal{V}$ représente le déterminant de la cotétrade associée à B. Plus précisément, les solutions des contraintes de simplicité ont été étudiées et classifiées par différents auteurs. Je renvoie à Freidel-De Pietri [73] et à Reisenberger [147] pour les détails des preuves (et spécifiquement à [147] pour l'étude des cas dégénérés), et à [91] pour la généralisation des contraintes de simplicité aux dimensions supérieures.

Lorsque la condition de non-dégénérescence $\mathcal{V} \neq 0$ est satisfaite, les contraintes (2.11) sont vérifiées si et seulement B est simple, c'est-à-dire s'il existe une cotétrade e reliée à B par l'une des égalités suivantes :

$$\text{secteur topologique } (I\pm) \qquad B = \pm(e \wedge e), \tag{2.13}$$

$$\text{secteur gravitationnel } (II\pm) \qquad B = \pm \star (e \wedge e). \tag{2.14}$$

Nous avons rapporté les appellations de secteur topologique/gravitationnel qui restent couramment utilisées, bien que toutes les solutions aboutissent à l'action de Holst en présence du paramètre d'Immirzi dans (2.10) (à une redéfinition près de ce paramètre).

De plus, toujours pour $\mathcal{V} \neq 0$, il est possible de troquer l'ensemble des contraintes (2.11) pour un autre en échangeant le rôle des indices internes et tangents,

$$\epsilon_{IJKL}\, B^{IJ}_{\mu\nu}\, B^{KL}_{\rho\sigma} = \frac{\mathcal{V}}{4!}\, \epsilon_{\mu\nu\rho\sigma}. \tag{2.15}$$

Celles-ci s'obtiennent à partir de l'action suivante :

$$\widetilde{S}_{\mathrm{Pl}}(B, A, \phi) = \frac{1}{2}\int_M \mathrm{tr}\Big(B \wedge \big(F + \gamma^{-1} \star F\big)\Big) + \int_M d^4x\; \phi^{\mu\nu\rho\sigma}\; \mathrm{tr}\big(B_{\mu\nu}\,(\star B_{\rho\sigma})\big), \tag{2.16}$$

où $\mathrm{tr}(A(\star B)) = \frac{1}{2}\epsilon_{IJKL}A^{IJ}B^{KL}$. Le nouveau multiplicateur de Lagrange doit satisfaire aux mêmes symétries que dans la formulation précédente, $\phi^{\mu\nu\rho\sigma} = -\phi^{\nu\mu\rho\sigma} = -\phi^{\mu\nu\sigma\rho} = \phi^{\rho\sigma\mu\nu}$ et $\epsilon_{\mu\nu\rho\sigma}\phi^{\mu\nu\rho\sigma} = 0$. C'est en fait cette formulation qui est implicitement utilisée pour construire la plupart des modèles de mousses de spins en gravité quantique. En fait, seul le modèle de Reisenberger [146], qui ne sera pas étudié dans cette thèse, s'appuie sur la formulation (2.11) des contraintes de simplicité (mais dans une version self-duale).

Une autre description des contraintes de simplicité est intéressante en ce qu'elle permet d'apprécier l'information géométrique contenue dans la théorie BF. On utilise pour cela la décomposition de l'algèbre $\mathfrak{so}(4)$ en deux facteurs $\mathfrak{su}(2)$, self-dual et anti-self-dual, pour écrire $B = B_+ \oplus B_-$, avec $\star B_+ = B_+$ et $\star B_- = -B_-$. A partir de chacune de ces formes à valeurs dans $\mathfrak{su}(2)$, il est possible de construire une métrique sur M, donnée par la formule d'Urbantke,

$$g_{\pm\mu\nu} = -\frac{2}{3\mathcal{V}}\, \epsilon_{ijk}\, \epsilon^{\alpha\beta\gamma\delta}\; B^i_{\pm\mu\alpha}\, B^j_{\pm\beta\gamma}\, B^k_{\pm\delta\nu}. \tag{2.17}$$

Cela nous donne donc deux métriques pour un champ B à valeurs dans $\mathfrak{so}(4)$. Lorsque les contraintes de simplicité sont satisfaites, ces expressions se simplifient et les secteurs topologique et gravitationnel se distinguent du fait de la relation induite par la cotétrade entre les métriques g_+ et g_-,

$$\text{secteur topologique } (I\pm) \qquad g_{+\mu\nu} = -g_{-\mu\nu} = \pm\delta_{IJ}\; e^I_\mu e^J_\nu, \tag{2.18}$$

$$\text{secteur gravitationnel } (II\pm) \qquad g_{+\mu\nu} = g_{-\mu\nu} = \pm\delta_{IJ}\; e^I_\mu e^J_\nu. \tag{2.19}$$

Chapitre 3

Calcul de Regge

Nous verrons en discutant le formalisme canonique de la LQG que les graphes qui constituent les excitations du champ gravitationnel portent une certaine forme de géométrie associée aux liens et noeuds de chaque graphe. Cela se transmet en mousses de spins où la quantification se fait directement à partir d'une triangulation fixée de l'espace-temps, dont les propriétés géométriques doivent être quantifiées. Il est donc essentiel de comparer, voire de s'inspirer d'une approche à la relativité générale déjà connue, fondée sur la géométrie de structures discrètes : le calcul de Regge [144]. A la vue des résultats existants, notamment en 3d, on peut s'attendre à ce que la limite semi-classique des mousses de spins soit en effet donnée par une forme de calcul de Regge quantique ! Cela va nous motiver pour présenter une formulation récente [78] des géométries de Regge utilisant les aires et angles dihédraux 3d comme variables fondamentales.

Le calcul de Regge est une approximation de la relativité générale dans laquelle l'espace-temps est une variété triangulée dont les blocs sont des n-simplexes. Le champ dynamique, i.e. la métrique, est décrit par la donnée des longueurs (ℓ_e) de toutes les arêtes de la triangulation. On peut voir une géométrie de Regge comme un cas de variété riemannienne continue dite plate par morceaux : les n-simplexes sont plats, et la courbure est concentrée autour des $(n-2)$-simplexes. Nous nous en tiendrons ici à une présentation des bases du calcul de Regge (classique), et d'une de ces variantes récemment introduite, le but étant d'y avoir recours lorsqu'il sera pertinent dans l'étude des mousses de spins, ou de toute géométrie discrète. Néanmoins, il s'agit d'une approche offrant une multitude de facettes intéressantes, du point de vue mathématique, sur la géométrie des variétés plates par morceaux, analytiquement mais aussi numériquement. Je renvoie le lecteur au très bon exposé [101], aux revues [168, 169, 126] sur le calcul de Regge et d'autres approches discrètes, à [145, 103] sur le formalisme classique, et [151, 150, 109, 110] pour des résultats au niveau quantique.

Toutes les grandeurs géométriques sont déterminées par l'ensemble des longueurs. Celles-ci formant une métrique plate par morceaux, il s'agit donc d'un formalisme du second ordre. Les angles dihédraux entre deux $(n-1)$-simplexes (tétraèdres en 4d), $\vartheta_{tt'}(\ell_e)$, sont des fonctions explicites des longueurs, et permettent de définir une notion de courbure discrète. Pour cela, par exemple en 4d, on colle un ensemble de 4-simplexes le long de tétraèdres partagés deux à deux, et ayant tous un triangle f en commun, et on mesure l'angle de déficit :

$$\varepsilon_f(\ell_e) \;=\; 2\pi - \sum_{(tt')} \vartheta_{tt'}(\ell_e), \tag{3.1}$$

par la somme des angles dihédraux autour du triangle. De même, les longueurs donnent accès aux volumes $A_f(\ell_e)$ des $(n-2)$-simplexes (les aires des triangles en 4d, et en 3d les longueurs elles-mêmes). Ces volumes discrétisent la $(n-2)$-forme dans le continu formée par le produit extérieur du vielbein (cotétrade en 4d) $(n-2)$ fois avec lui-même, $\bigwedge^{n-2} e$. On peut alors former l'action de Regge se

décomposant sur les $(n-2)$-simplexes de l'intérieur de la triangulation :

$$S_{\mathrm{R}}(\ell_e) \;=\; \sum_f A_f(\ell_e)\,\varepsilon_f(\ell_e). \tag{3.2}$$

Les équations de Regge associées s'obtiennent par variations de l'action par rapport aux longueurs. Un phénomène important est que les termes de variation des angles dihédraux n'interviennent pas. La raison en est l'identité de Schlăfli, établissant que dans chaque n-simplexe v :

$$\sum_{f\subset\partial v} A_f\,\delta\theta_{tt'} = 0, \tag{3.3}$$

pour toute variation de la géométrie du n-simplexe ((t,t') représentent la paire de $(n-1)$-simplexes dans v partageant f). Ainsi les équations de Regge sont :

$$\frac{\partial S_{\mathrm{R}}}{\partial \ell_e} \;=\; \sum_{f\,/\,\partial f\supset e} \frac{\partial A_f}{\partial \ell_e}\,\varepsilon_f \;=\; 0. \tag{3.4}$$

En 3d, cela dit simplement que les angles de déficit s'annulent.

Il nous sera en fait surtout utile de connaître la structure détaillée des géométries de Regge, et les relations entre les différentes grandeurs. En 3 dimensions, où la théorie continue est topologique, la quantification est bien connue – via Cherns-Simons [170], en boucles [134] ou en mousses de spins [135] – et on sait relier la quantification exacte donnée par le modèle de mousses de spins de Ponzano-Regge au calcul de Regge dans la limite semi-classique : il s'agit d'une forme de calcul de Regge quantique, dans lequel les longueurs prennent des valeurs discrètes. Cela fut pressenti dans le travail fondateur de Ponzano-Regge [143], et je renvoie à plus [79] pour les travaux les plus récents sur l'asymptotique du modèle pour une certaine classe de variétés. Cette quantification des longueurs, initialement un ansatz, fut comprise par Rovelli, [152], à la lumière de quantification en boucles. Cela entre autres indications incita à suivre une voie similaire en 4d, à savoir de se fonder sur la quantification du modèle topologique 4d [136], offrant une mesure bien définie. Les nombres quantiques qui émergent sont alors plus naturellement interprétés comme des aires de triangles, ce qui coincide avec la description de la géométrie quantique en gravité à boucles, où les aires sont plus naturelles que les longueurs. Cela suggère donc [152] que le régime asymptotique des grandes distances pourrait mieux s'appréhender en termes d'un calcul de Regge utilisant plutôt les aires que les longueurs. Malgré des efforts certains dans cette direction, le problème reste ouvert. La principale difficulté réside dans le fait qu'il y a plus de triangles que d'arêtes dans une triangulation régulière [1], de sorte que toutes les aires ne sont pas indépendantes. Il en résulte des contraintes sur les aires, qui sont non-locales et difficiles à contrôler.

Pour surmonter ces difficultés, il a récemment été proposé par Dittrich et Speziale, [78], d'introduire des variables supplémentaires, qui mettent en avant le rôle des angles dihédraux dans la construction des géométries de Regge. C'est un pas en avant certain dans la compréhension des articulations entre calcul de Regge et mousses de spins, car les angles dihédraux, comme nous le verrons, peuvent être rassemblés pour former des objets vivant dans des groupes de Lie (chapitre 13). De telles structures algébriques se prètent particulièrement bien à un développement en mousses de spins. Ainsi nous pourrons obtenir une vision complètement géométrique des modèles de mousses de spins (chapitre 17) ! Mais ces structures algébriques forment aussi le cadre naturel du formalisme canonique de la LQG, de sorte que Dittrich et Ryan [77] ont pu explorer la géométrie de l'espace des phases de la LQG au regard du calcul de Regge « aires - angles 3d« (voir section 6.1) !

Nous oublions donc les longueurs, et nous concentrons sur les angles dihédraux 3d, $\phi^t_{ff'}$, entre les triangles f, f' dans le tétraèdre t. Ceux-ci permettent de décrire la forme de chaque tétraèdre de

1. Chaque triangle a exactement trois arêtes, tandis que chaque arête est partagée par au moins triangles.

manière unique (i.e. à l'échelle près). Mais dans t, les six angles ne sont pas indépendants ; il n'y a que cinq degrés de liberté. Il nous faut donc une contrainte s'exerçant sur chaque tétraèdre en reliant ces six angles. Une telle contrainte est bien connue et consiste à former la matrice $G^t_{ff'} = \cos\phi^t_{ff'}$ (avec par convention $\phi_{ff} = \pi$, et les entrées étant les triangles de t). Alors, le tétraèdre t est fermé si et seulement si :

$$\det G^t_{ff'} \,=\, 0. \tag{3.5}$$

Cela revient à interpréter $G_{ff'}$ comme la matrice de Gram d'une famille de quatre vecteurs $\vec{n}_f \in \mathbb{R}^3$, représentants les directions orthogonales aux triangles dans l'espace 3d engendré par t. Alors :

$$\cos\phi^t_{ff'} = -\frac{\vec{n}_f \cdot \vec{n}_{f'}}{|\vec{n}_f|\,|\vec{n}_{f'}|}. \tag{3.6}$$

En formant les produits vectoriels de ces vecteurs, on a accès à des vecteurs décrivant l'orientation des arêtes dans l'espace 3d, et par suite aux angles dihédraux 2d, entre les arêtes de chaque triangle f. Dans le tétraèdre t, l'angle entre les arêtes e, e' du triangle f, qui se rencontrent en un sommet partagé avec les triangles f_1, f_2, est donné en fonction des trois angles 3d autour de ce sommet :

$$\cos\alpha^{ft}_{ee'} \;=\; \frac{\cos\phi^t_{f_1f_2} \,+\, \cos\phi^t_{ff_1}\cos\phi^t_{ff_2}}{\sin\phi^t_{ff_1}\,\sin\phi^t_{ff_2}}. \tag{3.7}$$

Néanmoins, lorsque l'on colle deux tétraèdres t, t', il n'est pas du tout clair que leur frontière commune, le triangle disons f, ait la même forme selon qu'il soit vu de t ou de t' ! En fait, sa forme se caractérise par les angles dihédraux 2d entre ses trois arêtes, qui peuvent alors être calculés en fonction des angles 3d de t, soit : $\cos\alpha^{ft}_{ee'}(\phi^t_{ff'})$, ou des angles 3d de t' : $\cos\alpha^{ft'}_{ee'}(\phi^{t'}_{ff'})$. La consistence géométrique requiert alors :

$$C^f_{ee'} \equiv \cos\alpha^{ft}_{ee'} \,-\, \cos\alpha^{ft'}_{ee'} \,=\, 0. \tag{3.8}$$

Suivant [78], les contraintes (3.5) et (3.8) permettent d'utiliser les angles 3d pour décrire les géométries de Regge. Les contraintes (3.8) ont une jolie interprétation géométrique et comme nous le verrons en 6.1, selon [77], forment la clé pour comprendre la différence entre le type de géométrie décrit par la LQG et le calcul de Regge.

Néanmoins, le formalisme des mousses de spins, triangulant l'espace-temps et utilisant les holonomies d'une connexion entre tétraèdres, pousse plus naturellement à considérer les angles dihédraux 4d, entre tétraèdres adjacents, que les angles 2d. Aussi, nous ferons souvent référence à la section 13.4 à un jeu de contraintes différent mais équivalent à (3.8), déjà présenté dans [78]. L'idée est que dans un 4-simplexe, il est possible de calculer de plusieurs manières l'angle dihédral $\vartheta_{t_1t_2}$ en fonctions des angles 3d. Pour cela, on considère que t_1, t_2 se rencontrent le long de f. Dans le 4-simplexe correspondant, nous choisissons un des trois tétraèdres restants, disons t. Celui-ci partage avec t_1 le triangle f_1, et avec t_2 le triangle f_2. Alors, on calcule :

$$\cos\,\vartheta_{t_1t_2}(t) \;=\; \frac{\cos\phi^t_{f_1f_2} - \cos\phi^{t_1}_{f_1f}\cos\phi^{t_2}_{ff_2}}{\sin\phi^{t_1}_{f_1f}\sin\phi^{t_2}_{ff_2}}. \tag{3.9}$$

Cette formule fait donc intervenir les angles dihédraux du tétraèdre t. Ainsi, en choisissant un autre tétraèdre intermédiaire t', rencontrant t_1, t_2 le long des triangles f'_1, f'_2, nous formons une autre expression pour le même angle, $\vartheta_{t_1t_1}(t')$, faisant intervenir les angles 3d $\phi^{t'}_{f'_1f'_2}$. Le jeu de contraintes que nous cherchons prend donc la forme :

$$\cos\vartheta_{t_1t_2}(t) - \cos\vartheta_{t_1t_2}(t') = \frac{\cos\phi^t_{f_1f_2} - \cos\phi^{t_1}_{f_1f}\cos\phi^{t_2}_{ff_2}}{\sin\phi^{t_1}_{f_1f}\sin\phi^{t_2}_{ff_2}} - \frac{\cos\phi^{t'}_{f'_1f'_2} - \cos\phi^{t_1}_{f'_1f}\cos\phi^{t_2}_{ff'_2}}{\sin\phi^{t_1}_{f'_1f}\sin\phi^{t_2}_{ff'_2}} = 0. \tag{3.10}$$

Bien sûr un tel jeu de contraintes semble peu aisé à manipuler... Mais nous verrons à la section 13.4 comment écrire cela avec de simples produits d'éléments du groupe SU(2), et formuler un ensemble de contraintes covariantes équivalentes à (3.5) et (3.10) !

Ces contraintes décrivent donc la forme de la triangulation, mais nous n'avons ici pas mis d'échelle, et plutôt mis en avant le rôle des angles. Il reste que les aires sont des variables naturelles en LQG et en mousses de spins, que l'on souhaite prendre en compte dans cette formulation du calcul de Regge. Nous considérons donc des variables A_f, a priori indépendantes. Pour qu'elles puissent s'identifier aux aires des triangles, il faut revenir aux contraintes (3.5) décrivant la géométrie d'un tétraèdre isolé. L'annulation du déterminant de la matrice de Gram $G_{ff'}$ traduit simplement une relation de dépendance linéaire entre les quatre vecteurs $\vec{n}_f$, dont on peut facilement se convaincre que les coefficients sont précisément (proportionnels) aux aires. On forme ainsi la relation de fermeture du tétraèdre :

$$\sum_{f\subset\partial t} A_f\,\vec{n}_f \;=\; 0. \tag{3.11}$$

Cette relation s'exprime en fonction des angles 3d simplement en la projetant sur chacun des quatre $\vec{n}_f$:

$$A_f - \sum_{f'\neq f} A_{f'}\,\cos\phi^t_{ff'} = 0. \tag{3.12}$$

Deuxième partie

Géométrie dans l'approche canonique

Chapitre 4

Description hamiltonienne

4.1 Théorie BF

L'action BF étant linéaire en les dérivées des champs, elle se prête aisément à une analyse hamiltonienne, qui permet un traitement complet des symétries de jauge. Pour simplifier les notations nous choisissons une variété M de dimension 4, et demandons à pouvoir la décomposer en $M = \Sigma \times \mathbb{R}$. Nous prenons des coordonnées adaptées, et notons t celle sur $\mathbb{R}$. L'action se réécrit alors :

$$S_{\mathrm{BF}} = \int d^4x \; \epsilon^{\mu\nu\rho\sigma} \; \mathrm{tr}\left(B_{\mu\nu} \, F_{\rho\sigma}\right) \tag{4.1}$$

$$= \int dt \int d^3x \; \mathrm{tr}\big(B^a \; \partial_t A_a\big) - \mathrm{tr}\big(A_t \; D_a B^a\big) + \mathrm{tr}\big(B_{at} \; \epsilon^{abc} \, F_{bc}\big), \tag{4.2}$$

où les indices a, b, c représentent les indices des coordonnées sur Σ, et ϵ^{abc} est défini à partir du tenseur complètement antisymétrique $\epsilon^{\mu\nu\rho\sigma}$ par : $\epsilon^{abc} = \epsilon^{abct}$. L'opérateur D représente la dérivée covariante pour la restriction de la connexion A à Σ. On constate facilement que le moment conjugué à la partie spatiale de la connexion est

$$B^a = \epsilon^{abc} \, B_{bc}, \tag{4.3}$$

ce qui conduit aux crochets de Poisson fondamentaux,

$$\big\{B_i^a(x), A_b^j(y)\big\} = \delta_b^a \, \delta_i^j \, \delta^{(3)}(x-y), \tag{4.4}$$

que nous avons exprimé à l'aide d'une base orthonormée de $\mathfrak{g}$, indicée par des lettres du milieu de l'alphabet i, j.

De manière équivalente, si $P_{|\Sigma}$ est la restriction du fibré P à la surface Σ, l'espace des phases est constitué par l'ensemble des connexions $\mathcal{A}$ sur ce fibré et des $(n-2)$-formes à valeurs dans $\mathrm{Ad}(P_{|\Sigma})$. Il s'identifie à l'espace cotangent $T^*\mathcal{A}$ muni de la structure symplectique naturelle

$$\omega\big((\delta A, \delta B), (\delta A', \delta B')\big) = \int \mathrm{tr}\big(\delta A \wedge \delta B' - \delta A' \wedge \delta B\big). \tag{4.5}$$

A ce stade, c'est donc le même espace des phases que dans la théorie de Yang-Mills !

Par ailleurs, il apparaît clairement dans (4.2) que les variables A_t et B_{at} ne sont pas dynamiques. Ce sont des multiplicateurs de Lagrange imposant les parties spatiales des équations du mouvement,

$$D_a B^a = 0, \tag{4.6}$$

$$F_{ab} = 0. \tag{4.7}$$

Ces équations n'impliquant pas de dérivées temporelles, on dit que ce sont des contraintes (primaires en l'occurence) sur l'espace des phases $T^*\mathcal{A}$. Il apparaît de plus que le hamiltonien, issu de de la décomposition (4.2), n'est qu'une combinaison linéaire de ces contraintes, et doit donc s'annuler ! Il s'agit d'un phénomène assez général pour les théories invariantes sous les reparamétrisations des cordonnées [111] ; c'est en particulier aussi le cas en relativité générale. Lorsque la décomposition hamiltonienne génère des contraintes, il faut s'assurer que celles-ci sont préservées par l'évolution sous l'action du hamiltonien. Puisque le hamiltonien est une combinaison des contraintes, cela revient à calculer l'algèbre des contraintes pour les crochets de Poisson. Celle-ci est particulièrement simple, car elle reflète les symétries de la théorie. Intégrons tout d'abord les contraintes contre des fonctions quelconques pour former

$$\mathcal{C}_G(\Lambda) = \int dx \ \mathrm{tr}\big(\Lambda(x)\, D_a B^a(x)\big), \tag{4.8}$$

$$\mathcal{C}_F(N) = \int dx \ \epsilon^{abc} \ \mathrm{tr}\big(N_c(x)\, F_{ab}(x)\big). \tag{4.9}$$

Un calcul simple montre que ces contraintes génèrent, via les crochets de Poisson, des transformations sur les variables canoniques qui correspondent aux parties spatiales des transformations covariantes standards (1.2),

$$\big\{\mathcal{C}_G(\Lambda), A^i_a(x)\big\} = D_a\Lambda^i(x), \qquad \big\{\mathcal{C}_G(\Lambda), B^a_i(x)\big\} = -[\Lambda, B^a]_i(x), \tag{4.10}$$

et des transformations de translation (1.5),

$$\big\{\mathcal{C}_F(N), A^i_a(x)\big\} = 0, \qquad \big\{\mathcal{C}_F(N), B^a_i(x)\big\} = -2\,\epsilon^{abc}\, D_b N_{ci}(x). \tag{4.11}$$

L'ensemble des transformations de jauge covariantes est retrouvé en prenant en compte les lois de transformations des multiplicateurs de Lagrange. Le fait que ces contraintes génèrent les symétries de jauge est confirmé par le calcul de l'algèbre des contraintes qui prend la structure attendue,

$$\big\{\mathcal{C}_G(\Lambda), \mathcal{C}_G(\Lambda')\big\} = \mathcal{C}_G([\Lambda, \Lambda']), \tag{4.12}$$

$$\big\{\mathcal{C}_G(\Lambda), \mathcal{C}_F(N)\big\} = \mathcal{C}_F([\Lambda, N]), \tag{4.13}$$

$$\big\{\mathcal{C}_F(N), \mathcal{C}_F(N')\big\} = 0, \tag{4.14}$$

où la notation $[\cdot,\cdot]$ représente le commutateur dans $\mathfrak{g}$ (en particulier $[\Lambda, N]_c = [\Lambda, N_c]$). Il s'agit donc de contraintes de première classe dans la terminologie de Dirac, i.e. que leurs crochets s'annulent sur la surface définie par (4.6) et (4.7). En particulier, les crochets du hamiltonien avec $\mathcal{C}_G(\Lambda)$ et $\mathcal{C}_F(N)$ ne font pas apparaître de contraintes secondaires.

La prise en compte de contraintes de première classe en géométrie symplectique se fait en deux étapes. Tout d'abord, il faut restreindre l'espace des phases, ici $T^*\mathcal{A}$, à la portion satisfaisant les contraintes, (4.6) et (4.7). Puisque les contraintes commutent au sens des crochets de Poisson, leurs flots laissent ce sous-espace invariant. Finalement, l'espace des phases réduit est formé par les orbites correspondantes : autrement dit, une configuration physique de l'espace des phases réduit est une solution des contraintes à des transformations de jauge près.

La réduction par rapport à la contrainte dite de Gauß, $D_a B^a = 0$, conduit comme dans les théories de jauge usuelles (Yang-Mills) à l'espace $T^*(\mathcal{A}/\mathcal{G})$. Puis la contrainte $F_{ab} = 0$ nous demande de ne regarder que l'ensemble des connexions plates $\mathcal{A}_0$, tout en identifiant les moments conjugués B^a qui diffèrent d'un terme du type $\epsilon^{abc} D_b \eta_c$. Puisque pour une connexion plate l'opérateur D permet de définir des classes de cohomologie, ces derniers apparaissent comme des éléments de la seconde classe de cette cohomologie. On montre finalement [112] que l'espace des phases réduit, formé des connexions plates modulo l'action de $\mathcal{G}$ et des éléments de la seconde classe de cohomologie, possède la structure d'un espace cotangent, $T^*(\mathcal{A}_0/\mathcal{G})$.

Notons que la définition précise de l'espace quotient $\mathcal{A}/\mathcal{G}$ fait intervenir quelques subtilités qui naturellement se retrouvent dans les approches discrètes à la quantification. En particulier, dans les modèles topologiques de mousses de spins de type BF, ces subtilités doivent être prises en compte dans l'étude des propriétés de finitude/divergence des amplitudes [41, 63, 62] (visant à renormaliser les mousses de spins) ! L'idée est que toutes les connexions n'ont pas le même type d'orbite sous l'action de $\mathcal{G}$. En regardant les connexions ayant le plus petit type de groupe d'isotropie, on peut voir qu'il existe un ensemble ouvert et dense de $\mathcal{A}/\mathcal{G}$ qui est une variété lisse de dimension infinie. Les points manquants sont dus aux connexions ayant plus de symétries et dites réductibles. Néanmoins, on peut montrer que l'ensemble des connexions admet une stratification en sous-variétés lisses ayant chacune un type d'orbite donné.

Il est possible de donner, assez qualitativement au moins, une description de l'espace réduit $\mathcal{A}_0/\mathcal{G}$. Une connexion plate se caractérise par le fait que ses holonomies le long de courbes fermées ne dépendent que des classes d'homotopie des courbes. Autrement dit, une connexion plate définit un morphisme du groupe fondamental $\pi_1(\Sigma)$ dans le groupe de structure G. Sous une transformation de jauge, ce morphisme se trouve conjugué par la valeur de la transformation au point utilisé pour définir $\pi_1(\Sigma)$. Ainsi, G agissant par conjugaison sur l'espace des homomorphismes de $\pi_1(\Sigma)$ dans G, nous avons,

$$\mathcal{A}_0/\mathcal{G} \subseteq \mathrm{Hom}\big(\pi_1(\Sigma), G\big)/G. \tag{4.15}$$

L'espace $\mathrm{Hom}(\pi_1(\Sigma), G)/G$ est connu comme l'espace de modules des G-fibrés plats sur Σ, ou l'espace des classes de conjugaison des représentations de $\pi_1(\Sigma)$ dans G. Pour G un groupe matriciel et Σ compacte, c'est une variété algébrique réelle. Malgré tout, comme pour $\mathcal{A}/\mathcal{G}$, il y a génériquement des singularités, mais il admet une structure stratifiée en sous-variétés lisses (de même pour $\mathcal{A}_0/\mathcal{G}$). Cet espace a été très largement étudié lorsque Σ est une surface fermée orientable, où il admet une structure symplectique naturelle (voir le travail fondateur de Goldman [106]). Cette approche est particulièrement efficace dans la résolution de Yang-Mills en 2d (par intégrales de chemins [173]), et de la théorie de Chern-Simons/gravité 3d (quantification canonique, [170]). Il semble aussi que ce soit une bonne approche pour évaluer les divergences dans les modèles de mousses de spins topologiques, comme le suggère fortement le travail de Barrett et Naish-Guzman [41]. C'est le point de vue que j'ai récemment développé avec M. Smerlak dans [63, 62].

En dimension 3

En trois dimensions, où cette théorie décrit la gravité, il est possible d'extraire du multiplicateur imposant les contraintes $F_{ab} = 0$ les variables de lapse et de shift. Cela permet de décomposer ces contraintes en une contrainte qui génèrent les difféomorphismes de Σ et une contrainte dite scalaire [162]. Cela rend les contraintes de la relativité générale en dimension 3 et en dimension 4 formellement identiques. Naturellement il n'est pas possible de faire de même à partir de la théorie BF en dimension 4 dans la mesure où les contraintes de la théorie topologique $F_{ab} = 0$ sont alors plus fortes que celles associées aux difféomorphismes en relativité générale.

Lorsque le champ B est non-dégénéré, il s'interprête comme une co-triade que nous noterons e. Le multiplicateur imposant la courbure nulle est e_t, et le moment conjugué à la connexion est

$$B^a_i = \epsilon^{ab}\,\delta_{ij}\,e^j_b. \tag{4.16}$$

Introduisons le vecteur normal dans l'espace interne :

$$n^i = \epsilon^{ijk}\,\epsilon_{ab}\,B^a_j\,B^b_k = \big(\vec{e}_1 \times \vec{e}_2\big)^i, \tag{4.17}$$

en utilisant la notation vectorielle pour les indices internes. On définit également le vecteur de courbure, $F^i = \epsilon^{ab}F^i_{ab}$. On peut alors remarquer que la norme du vecteur $\vec{n}$ est précisément le déterminant de

la 2-métrique induite par e sur Σ, $|\vec{n}|^2 = \det({}^2g)$. Par ailleurs, l'orthogonalité avec B^a, i.e. $n^i B^a_i = 0$, permet de décomposer la contrainte de courbure nulle en deux types de termes :

$$\vec{e}_t \cdot \vec{F} = N^a V_a + NH, \tag{4.18}$$

où N^a et N sont respectivement le shift et le lapse, définis par

$$N^a = \frac{1}{\det({}^2g)} \epsilon^i{}_{jk} B^a_i e^j_t n^k, \qquad N = \frac{1}{\sqrt{\det({}^2g)}} \vec{e}_t \cdot \vec{n}. \tag{4.19}$$

Cette réécriture fait apparaître la contrainte vectorielle V_a, qui impose l'invariance sous les difféomorphismes de Σ, et la contrainte scalaire H qui n'est autre que la projection de F le long de la direction normale $\vec{n}$,

$$V_a = B^b_i F^i_{ab} = \vec{e}_a \cdot \vec{F}, \tag{4.20}$$

$$H = \frac{1}{2\sqrt{\det({}^2g)}} \epsilon^i{}_{jk} B^a_j B^b_k F^i_{ab} = \frac{\vec{n}}{|\vec{n}|} \cdot \vec{F}. \tag{4.21}$$

4.2 Relativité générale

L'analyse hamiltonienne des actions de Holst ou Plebanski est relativement lourde, bien que directe, du fait de l'algorithme des contraintes de Dirac. En particulier, cela n'a été fait qu'assez récemment pour l'action de Plebanski $\widetilde{S}_{\mathrm{Pl}}$ dans [64] et pour S_{Pl} dans [12]. L'analyse hamiltonienne de l'action de Holst a été effectuée par Barros dans [44] et approfondie dans un formalisme complètement SO(4)-covariant par Alexandrov [8]. Ces approches sont naturellement équivalentes entre elles, voir en particulier [11]. Par ailleurs l'approche initiale au paramètre d'Immirzi s'est faite par une transformation canonique sur l'espace des phases de l'action de Hilbert-Palatini, par Barbero [33, 32]. Bien sûr, l'approche de Barbero fut décisive pour la gravité à boucles *lorentzienne* en ce sens qu'elle permet de rester dans un formalisme réel, par opposition au formalisme self-dual d'Ashtekar qui introduisait une complexification de la théorie, tout en gardant la plupart des avantages offerts par les variables d'Ashtekar (le formalisme self-dual dans la théorie riemanienne que nous présentons ne nécessite naturellement pas de complexification). Nous ne présentons pas ici les détails de l'analyse hamiltonienne qui se trouvent dans les références ci-dessus, mais seulement les points essentiels. Notons enfin les travaux connexes de Perez et ses collaborateurs, qui ont étudié l'ajout de termes topologiques à l'action de Holst dans [148] et l'action topologique obtenue dans la limite $\gamma \to 0$ [116].

Rappelons à toutes fins utiles les bases usuelles du formalisme hamiltonien pour ce type d'action, telles que l'on peut les trouver dans [19]. Supposons que M est de la forme $\Sigma \times \mathbb{R}$, et prenons une coordonnée t de « temps » sur $\mathbb{R}$ qui indexe les surfaces $\Sigma_t \sim \Sigma \times \{t\}$. Notons ∂_t le champ de vecteurs associé sur M, n le champ de vecteurs orthonormal aux surfaces Σ_t (pour la métrique riemanienne provenant de la cotétrade, $g(n,n) = 1$). On peut alors décomposer de manière unique le champ de vecteurs ∂_t et sa contraction avec la cotétrade,

$$\partial_t = Nn + \vec{N} \qquad \Rightarrow \qquad e^I_t = Nn^I + e^I_a N^a, \tag{4.22}$$

en prenant le vecteur $\vec{N}$ orthogonal à n. Les quantités N et $\vec{N}$ sont respectivement appelés le *lapse* et le *shift*. Ils permettent de décrire l'évolution « temporelle » selon t de manière adaptée à la métrique, en une évolution normale et une évolution tangentielle. Le vecteur n^I est le vecteur interne d'imitation de n, $n^I = e^I(n)$. Les indices latins a, b, c du début de l'alphabet font référence à un jeu de coordonnées quelconques sur Σ.

Contraintes de simplicité hamiltonienne

La première étape importante est de voir qu'il existe des contraintes sur le moment conjugué à la partie spatiale de la connexion A_a^{IJ} pour l'action de Holst (2.1). En effet, on trouve facilement que celui-ci est donné par :

$$P_{IJ}^{(\gamma)a} = P_{IJ}^a + \gamma^{-1}(\star P^a)_{IJ}, \tag{4.23}$$

où P_{IJ}^a est le moment conjugué à la connexion lorsque $\gamma \to \infty$,

$$P_{IJ}^a = \frac{1}{2}\epsilon^{abc}\,\epsilon_{IJKL}\,e_b^K\,e_c^L = \sqrt{q}\big(n_I e_J^a - n_J e_I^a\big). \tag{4.24}$$

On utilise ici l'inverse de la cotétrade, et la racine carrée du déterminant de la 3-métrique sur Σ, $\sqrt{q}$. Mais il est clair que l'on ne peut pas utiliser P_{IJ}^a comme une variable libre et indépendante, car tous les vecteurs à valeurs dans $\mathfrak{so}(4)$, du type X_{IJ}^a, ne sont pas de la forme (4.24). A la vue de la section précédente, on comprend que le moment doit venir de la projection d'une 2-forme *simple* sur Σ, ce qui nous permet, par projection de (2.15), de deviner les contraintes à satisfaire :

$$C^{ab} = \epsilon^{IJKL}\,P_{IJ}^a\,P_{KL}^b. \tag{4.25}$$

Il s'agit de contraintes primaires à prendre en compte dans le hamiltonien. On trouve par ailleurs par un calcul standard [19] que celui-ci est une combinaison linéaire de contraintes,

$$H = \int d^3x\,\big(-A_t^{IJ}\,G_{IJ} + N^a\,V_a - N\,S + \psi_{ab}\,C^{ab}\big), \tag{4.26}$$

avec

$$G_{IJ} = D_a P_{IJ}^{(\gamma)a}, \tag{4.27}$$

$$V_a = P_{IJ}^{(\gamma)b}\,F_{ab}^{IJ}, \tag{4.28}$$

$$S = \frac{1}{\sqrt{q}}\,P_{IJ}^{(\gamma)a}\,P^{bJ}{}_K\,F_{ab}^{IK}, \tag{4.29}$$

du fait que le lapse, le shift et les composantes A_t^{IJ} ne sont pas des variables dynamiques. En calculant les crochets de Poisson, on montre que les contraintes G_{IJ} constituent la loi de Gauß : elles engendrent les transformations de jauge $\mathfrak{so}(4)$. On peut également montrer que sur la surface des contraintes, V_a et S génèrent respectivement les difféomorphismes de Σ et les difféomorphismes dans la direction normale n (modulo l'action de G_{IJ}), de la même manière que dans le formalisme ADM. Elles sont appelées contraintes vectorielle et scalaire (ou hamiltonienne pour cette dernière, par un léger abus de langage qui nous montre bien où se situent les difficultés). Ces trois ensembles de contraintes forment entre elles un système de *première classe* (et il n'y en a pas d'autres). Autrement dit, le flot de ces contraintes sur la surface des contraintes est pure jauge, et identifie différentes solutions sous l'action de SO(4) et des difféomorphismes.

L'algèbre des contraintes (que nous donnons plus bas avec le fixage de jauge usuel de la gravité à boucles) montre en outre qu'il existe des contraintes secondaires, dues à la stabilisation des contraintes de simplicité (4.25) sous l'effet de C, de la forme $PP(DP)$. Ces contraintes secondaires forment un système de contraintes de *seconde classe* avec les C^{ab} [44, 8] [1]. L'élimination des contraintes de seconde classe de l'algèbre peut se faire en passant aux crochets de Dirac. Ceux-ci ont été explicitement calculés dans [8]. Dans cette situation, les variables canoniques initiales perdent leur statut privilégié. En particulier, la principale difficulté de cette approche est que la connexion ne commute plus avec elle-même pour les crochets de Dirac. Cela est assez gênant, et même rédhibitoire jusqu'à présent, pour une quantification de type boucles, qui utilise les réseaux de spins comme représentation de l'algèbre des holonomies d'une connexion.

1. Dans le formalisme complexe d'Ashtekar, il est intéressant que de noter ces contraintes secondaires se retrouvent sous la forme de contraintes de réalité.

Dans la jauge « temps »

Afin de comprendre l'origine de la non-commutativité de la connexion et la solution proposée à l'origine de la gravité à boucles, il nous faut étudier l'influence des contraintes de seconde classe sur les variables canoniques et la structure symplectique. Pour cela, on utilise le fait que l'on connaît les solutions de C^{ab}, qui ne sont autres que (4.24) ! En introduisant une quantité E^a_i définie comme la partie « boost » du moment P :

$$E^a_i := P^a_{0i} = \frac{1}{2}\epsilon^{abc}\,\epsilon_{ijk}\,e^j_b\,e^k_c, \tag{4.30}$$

la partie « rotation spatiale » de P s'écrit

$$P^a_{ij} = n_i\,E^a_j - n_j\,E^a_i. \tag{4.31}$$

Les indices $i, j = 1, 2, 3$ sont ici les indices des rotations 3d de SO(4) selon la décomposition standard. S'il est possible de réexprimer la structure symplectique et les contraintes en fonction de E^a_i et du vecteur n^i [44], il est très avantageux d'effectuer une fixation de jauge partielle, en considérant $n^I \in S^3$ fixé, disons à $n^I = (1, 0, 0, 0)$. Ce choix de jauge est dénommé jauge « temps » (en anglais, time gauge) et est équivalent à $e^0_a = 0$. Avec une telle fixation de jauge, les seules composantes non-nulles du moment sont les $P^a_{0i} = E^a_i$ qui forment de la sorte une triade pour la 3-métrique q_{ab} sur Σ,

$$q\,q^{ab} = \delta^{ij}\;E^a_i\,E^b_j. \tag{4.32}$$

Nous devons alors résoudre la partie « boost », i.e. relative à notre choix de n^I, des contraintes G_{IJ}, ce qui nous permet dans le même temps de résoudre les contraintes secondaires de seconde classe. Le résultat est que la partie boost de la connexion, A^{0i}_a, reste libre, tandis que la partie rotation 3d, A^{ij}_a est complètement déterminée par la triade E^a_i. On définit

$$K^i_a := A^{0i}_a, \tag{4.33}$$

qui s'interprête géométriquement comme la courbure extrinsèque dès lors que la connexion A sur M satisfait la condition de torsion nulle, $d_A e = 0$. Quant à la partie rotationnelle de la connexion, les contraintes secondaires et la contrainte de Gauß la contraignent à être la connexion compatible avec la triade sur Σ, au sens suivant :

$$A^{ij}_a = \epsilon^{ij}{}_k\;\Gamma^k_a(E), \tag{4.34}$$

où $\Gamma(E)$ est définie par l'équation

$$\epsilon^{abc}\;\left(\partial_a e^i_b + \epsilon^i{}_{jk}\;\Gamma^j_a\,e^k_b\right) = 0. \tag{4.35}$$

Ainsi, les termes de l'action de Holst linéaires en la dérivée temporelle se réécrivent :

$$P^{(\gamma)a}_{IJ}\,\partial_t A^{IJ}_a = \gamma^{-1}\;E^a_i\,\partial_t A^i_a, \tag{4.36}$$

A^i_a étant une connexion SU(2) sur Σ, appelée la *connexion d'Ashtekar-Barbero* et définie comme

$$A^i_a := \Gamma^i_a(E) + \gamma K^i_a. \tag{4.37}$$

Comme on le voit aisément, les variables canoniques de l'action de Hilbert-Palatini, i.e. lorsque $\gamma \to \infty$, sont les couples (E^a_i, K^i_a). De ce point de vue, le passage de K^i_a à la connexion d'Ashtekar-Barbero (à un scaling par γ près) est une transformation canonique [32]. Le fait remarquable est naturellement que les crochets $\{A^i_a, A^j_b\}$ s'annulent étant donnée la définition de la connexion d'Ashtekar-Barbero. Cela nous donne comme seuls crochets non-triviaux :

$$\{E^a_i(x), A^j_b(y)\} = \gamma\,\delta^a_b\,\delta^j_i\,\delta^{(3)}(x-y). \tag{4.38}$$

Dans ces nouvelles variables, les contraintes de Gauß SU(2), vectorielle et scalaire gardent une forme relativement similaire à la précédente (SO(4)) malgré l'utilisation de la nouvelle connexion,

$$G_i = D_a E^a_i := \partial_a E^a_i + \epsilon_{ij}{}^k A^j_a E^a_k, \tag{4.39}$$

$$V_a = E^b_i F^i_{ab} + \text{termes proportionnels à la contrainte de Gauß}, \tag{4.40}$$

$$S = \frac{E^a_i E^b_j}{\sqrt{\det E}} \big(\epsilon^{ij}{}_k F^k_{ab} + 2(1-\gamma^2) K^i_{[a} K^j_{b]}\big) + \text{termes proportionnels à la contrainte de Gauß}. \tag{4.41}$$

Nous avons noté : $F^i_{ab} = \partial_a A^i_b - \partial_b A^i_a + \epsilon^i{}_{jk} A^j_a A^k_b$, la courbure de la connexion d'Ashtekar-Barbero, et utilisé des crochets droits pour l'antisymétrisation. Ces contraintes forment une algèbre de première classe. Pour le voir, on les intègre sur Σ contre des fonctions test,

$$\mathcal{C}_G(\Lambda) = \int_\Sigma d^3x\ \Lambda^i\, G_i, \qquad \mathcal{C}_{\text{Diff}}(\vec{N}) = \int_\Sigma d^3x\ N^a \big(E^b_i F^i_{ab} - A^i_a G_i\big), \tag{4.42}$$

$$\text{et} \qquad \mathcal{C}_S(N) = \int_\Sigma d^3x\ N\, \frac{E^a_i E^b_j}{\sqrt{\det E}} \big(\epsilon^{ij}{}_k F^k_{ab} + 2(1-\gamma^2) K^i_{[a} K^j_{b]}\big). \tag{4.43}$$

On vérifie que l'algèbre est bien celles des transformations de jauge $\mathfrak{su}(2)$ et des difféomorphismes,

$$\{\mathcal{C}_G(\Lambda), \mathcal{C}_G(\Lambda')\} = \mathcal{C}_G([\Lambda, \Lambda']), \tag{4.44}$$

$$\{\mathcal{C}_G(\Lambda), \mathcal{C}_{\text{Diff}}(\vec{N})\} = -\mathcal{C}_G(\mathcal{L}_{\vec{N}} \Lambda), \tag{4.45}$$

$$\{\mathcal{C}_{\text{Diff}}(\vec{N}), \mathcal{C}_{\text{Diff}}(\vec{N}')\} = \mathcal{C}_{\text{Diff}}(\mathcal{L}_{\vec{N}} \vec{N}'), \tag{4.46}$$

$$\{\mathcal{C}_G(\Lambda), \mathcal{C}_S(N)\} = 0, \tag{4.47}$$

$$\{\mathcal{C}_{\text{Diff}}(\vec{N}), \mathcal{C}_S(M)\} = -\mathcal{C}_S(\mathcal{L}_{\vec{N}} M). \tag{4.48}$$

Le dernier crochet est responsable du fait que l'algèbre est ouverte au sens BRST, car il fait apparaître des *fonctions* de structure,

$$\{\mathcal{C}_S(N), \mathcal{C}_S(M)\} = \mathcal{C}_{\text{Diff}}(\vec{S}) + \text{termes proportionnels à la contrainte de Gauß}, \tag{4.49}$$

pour un vecteur $S^a = E^a_i E^{bi}(N\partial_b M - M\partial_b N)/|\det(E)|$. Pour finir cette présentation des contraintes, notons que la triade et la connexion d'Ashtekar-Barbero se transforment de manière naturelle sous la contrainte de Gauß,

$$\{A^i_a, \mathcal{C}_G(\Lambda)\} = -D_a \Lambda^i, \qquad \{E^a_i, \mathcal{C}_G(\Lambda)\} = \epsilon_{ij}{}^k \Lambda^j E^a_k, \tag{4.50}$$

et sous les 3-difféomorphismes,

$$\{A^i_a, \mathcal{C}_{\text{Diff}}(\vec{N})\} = \mathcal{L}_{\vec{N}} A^i_a, \qquad \{E^a_i, \mathcal{C}_{\text{Diff}}(\vec{N})\} = \mathcal{L}_{\vec{N}} E^a_i. \tag{4.51}$$

Les équations de Hamilton décrivent l'évolution des variables canoniques en fonction du paramètre arbitraire t, en posant que les dérivées $\partial_t A^i_a$ et $\partial_t E^a_i$ sont obtenues en prenant les crochets de A^i_a et E^a_i avec le hamiltonien, $\mathcal{C}_G(\Lambda) + \mathcal{C}_{\text{Diff}}(\vec{N}) + \mathcal{C}_S(N)$.

Pour plus de détails sur le formalisme réel SU(2), je renvoie aux excellentes introductions à la gravité quantique en boucles [139, 17, 164, 166].

Résumons les étapes clés de cette analyse, pour comparaison avec la théorie BF. Les contraintes de simplicité de Plebanski se retrouvent en formalisme hamiltonien comme des contraintes de seconde classe ; elles contraignent la forme du moment conjugué à la connexion et n'engendrent pas des transformations de jauge. Par une fixation de jauge adéquate, on voit que les contraintes de seconde classe

obligent à exprimer la partie « rotation 3d » interne de la connexion en termes de la triade sur Σ. Comme cette triade est conjuguée est la partie « boost » de la connexion, cela explique que la partie rotation et la partie boost de la connexion SO(4) ne commutent plus pour les crochets de Dirac[2]. Notons à ce propos les travaux d'Alexandrov, souvent cités comme *covariant loop quantum gravity*, qui replace les discussions ci-dessus dans un contexte complètement SO(4)-covariant. Cela permet d'adopter un point de vue qui va au-delà de la fixation de jauge usuelle, et ainsi d'étudier différents choix possibles de connexions [9] aux niveaux classique et quantique. Pour une revue de cette approche et des références supplémentaires, voir [119]. Dans le cadre de travail discret et SO(4)-covariant des mousses de spins, nous verrons des choses similaires dues à des contraintes de simplicité discrètes. En particulier nous trouverons un analogue au champ de normales internes n^I qui jouera un rôle important.

Pour l'action de Hilbert-Palatini, nous trouvons après résolution des contraintes de seconde classe que c'est la courbure extrinsèque K_a^i qui se retrouve conjugué à la triade [19]. Puisque la courbure extrinsèque se transforme sous l'adjointe de SU(2), il semble que tout contact avec l'espace des phases de Yang-Mills, et *a fortiori* de la théorie BF, soit rompu. C'est ici que l'introduction du paramètre d'Immirzi est fondamentale, en ce qu'elle permet de se ramener à une variable canonique qui soit une connexion. Cela est tout à fait essentiel à la gravité en boucles qui utilise le sens géométrique profond d'une connexion comme outil de transport parallèle.

Malgré tout, il serait dommage d'avoir obtenu des simplifications au niveau cinématique, i.e. de l'espace des phases non-réduit, mais de se retrouver avec des contraintes davantage compliquées. Notons donc que les contraintes sont complètement polynomiales excepté le terme $(\det(E))^{-1}$ dans la contrainte scalaire. Pour une discussion sur la pertinence de ce terme qui est tel que S est de densité 1, je renvoie au livre de Thiemann, [166].

2. Les crochets de Dirac donnent les crochets dans l'espace des phases réduit par les contraintes de seconde classe, sans avoir à résoudre explicitement celles-ci, et donc sans avoir à chercher de paramétrisation de cet espace réduit.

Chapitre 5

Quantifier des théories de jauge

Face à des théories avec contraintes, nous disposons de deux stratégies différentes pour la quantification. Il est possible de quantifier l'espace des phases réduit. C'est potentiellement l'approche la plus simple, à condition que les contraintes et leur sens physique soit bien maîtrisés. Pour la théorie BF, cela revient à une quantification sur $T^*(\mathcal{A}_0/\mathcal{G})$, $\mathcal{A}_0$ étant le sous-espace des connexions plates, qui peut être plus ou moins explicitée selon Σ, [112] (et particulièrement efficace en gravité 3d, [170], où l'on voit tout de suite que la théorie a un nombre fini de degrés de liberté). Mais il y a peu de chances que cela nous aide et puisse servir de bases pour des théories plus compliquées comme la relativité générale en dimension 4, ayant un nombre infini de degrés de liberté. Nous allons donc suivre le programme de Dirac, consistant à quantifier l'espace des phases non-réduit, puis contraindre la théorie au niveau quantique (voir par exemple [130] pour une introduction).

Nous nous contenterons de traiter le cas où le groupe de structure est $G = \mathrm{SU}(2)$ (le cas Spin(4) s'obtient immédiatement en prenant deux copies de SU(2)), le lecteur pourra trouver généralisations et détails dans la thèse de Livine [118], en particulier pour le cas physiquement aussi intéressant de $\mathrm{SL}(2,\mathbb{C})$. Nous avons obtenu dans l'analyse hamiltonienne de la théorie BF SU(2) et de la relativité générale le même espace des phases (au paramètre d'Immirzi près), dont les variables canoniques consistent en une connexion SU(2) sur Σ, A^i_a, et son moment conjugué, qu'on notera maintenant E^a_i, se transformant sous l'adjointe. C'est exactement le même espace des phases que dans la théorie de Yang-Mills SU(2) ! Par analogie avec le cas abélien, l'électrodynamique, on appelle parfois le champ E^a_i champ électrique. De même, dans l'analyse de l'action de Holst avant la prise en compte des contraintes de seconde classe et la fixation de jauge partielle, l'espace des phases est similaire mais pour le groupe SO(4), avec les paires canoniques $(A^{IJ}_a, P^{a(\gamma)}_{IJ})$. Ainsi, nous souhaitons bénéficier d'une procédure de quantification commune à ces situations (permettant notamment d'étudier leurs différences – dues aux contraintes de simplicité, à la fixation de jauge, et bien sûr la dynamique ! – au niveau quantique).

Pour cela nous devrons former une algèbre de fonctions sur l'espace des phases, à représenter sur un espace de Hilbert dit cinématique [1]. Nous choisirons une polarisation où la variable de configuration est la connexion, à la Schrődinger. L'espace de Hilbert cinématique sera muni d'un produit scalaire, grâce à la mesure d'Ashtekar-Lewandowski μ_{AL},

$$\langle \phi \,|\, \psi \rangle = \int d\mu_{\mathrm{AL}}(A)\, \overline{\phi}(A)\, \psi(A). \tag{5.1}$$

Sur cet espace (ou son dual), on doit alors chercher les états physiques de la théorie considérée. Ils sont définis comme les états annihilés par la promotion en opérateurs des contraintes de première

1. On utilisera aussi le terme cinématique pour désigner l'espace de Hilbert obtenu après imposition de l'invariance de jauge due à G.

classe (nous discuterons les contraintes de seconde classe dans les parties mousses de spins). Pour la relativité générale, cela donne formellement :

$$\widehat{G_i}\,\psi(A) = 0, \tag{5.2}$$

$$\widehat{V_a}\,\psi(A) = 0, \tag{5.3}$$

$$\widehat{S}\;\;\psi(A) = 0. \tag{5.4}$$

Au niveau quantique, la prise en compte des symétries de jauge se fait donc en une seule étape, en comparaison de la réduction au niveau classique qui implique de se placer sur la surface des contraintes puis de quotienter par les orbites des transformations. La contrainte de Gauß et la contrainte vectorielle jouissent d'une interprétation simple, comme transformations de jauge SU(2) et difféomorphismes de Σ. Cela permet de les imposer en moyennant les états cinématiques le long de leurs orbites. En revanche, la contrainte scalaire résiste toujours a une description satisfaisante.

Néanmoins, la prise en compte des contraintes de Gauß et vectorielle est une réussite, rigoureuse, et de plus pertinente pour toute théorie de jauge invariante sous les difféomorphismes. Un des résultats majeurs [115] est que le choix qui est fait de l'algèbre à représenter conduit à une unique représentation invariante sous les difféomorphismes ! L'approche développée a en particulier l'avantage de ne pas faire intervenir de métrique privilégiée et fixée, et respecte de manière naturelle l'invariance fondamentale de la théorie sous les difféomorphismes. Un des aspects essentiels de cette quantification est, par contraste avec la théorie quantique des champs usuelle où les états (de Fock) sont particulaires donc ponctuels, que les excitations élémentaires sont portées par des *graphes*, donc de dimension 1, appelés *réseaux de spins*. Dans la suite de cette thèse, nous travaillerons la plupart du temps sur un graphe fixé. Mais il est fondamental de garder à l'esprit que la théorie complète (exacte) contient l'ensemble des (classes d'équivalence sous difféomorphismes) des graphes ! Ainsi, tout résultat obtenu sur un graphe donné doit : soit se comprendre en termes d'une troncature des degrés de liberté de la théorie au graphe considéré, soit être prolongé à la théorie complète en « sommant » sur tous les graphes, ce qui peut se révéler difficile. Le cas de la théorie BF est particulier : il s'agit d'une théorie topologique, dont on peut donc capter l'ensemble des degrés de liberté (fini) à l'aide d'un seul graphe, comme une triangulation.

Je présente la quantification en réseaux de spins à la section 5.1. Cela a permis l'avènement d'une géométrie quantique 3d ! C'est-à-dire que l'on peut définir sur cet espace des états cinématiques des opérateurs dont les valeurs propres sont reliées directement aux nombres quantiques caractérisant les états de réseaux de spins. Ces opérateurs s'interprètent en gravité 4d comme des opérateurs d'aire de surfaces, et de 3-volumes, et prennent des valeurs propres discrètes ! Je présente les résultats essentiels à la section 5.2. Je m'attarde aussi sur le formalisme du tétraèdre quantique, bien adapté à l'étude des noeuds (4-valents) des réseaux de spins, et qui permet de retrouver très facilement la 3-géométrie quantique. Cela donne une approche intuitive que j'utilise pour introduire des opérateurs d'angles, sans entrer dans les détails de la construction de [129], angles que j'ai étudié comme observables d'angles dihédraux dans les mousses de spins, section 17.1.3.

5.1 Les réseaux de spins

Pour construire l'algèbre des observables cinématiques, au lieu d'intégrer les champs sur tout Σ contre des fonctions test comme c'est l'usage en théorie des champs, nous utilisons le sens géométrique profond (au sens de la geómétrie différentielle et des théories de jauge) des objets impliqués, la connexion et la 2-forme qui lui est conjuguée. La connexion, en tant que 1-forme localement sur Σ s'intègre naturellement sur des courbes. Etant donnée une courbe e, cela permet de définir l'holonomie,

$$U_e(A) \;=\; Pe^{-\int_e A}, \tag{5.5}$$

où P désigne le fait que l'exponentielle est ordonnée. Pour une paramétrisation $x(t)$ de la courbe, $t \in [0,1]$, on a : $\int_e A = \int_0^1 A_a(x(t)) \frac{dx^a}{dt}(x(t))\, dt$. L'holonomie, vue comme un élément du groupe G, définit une notion de transport parallèle, en permettant de transporter un objet vivant dans une fibre au-dessus de $x(0)$ jusqu'à la fibre au-dessus de $x(1)$ par l'action de $U_e(A)$. Dans une transformation de jauge telle que $A^g = gAg^{-1} + g\, dg^{-1}$, l'holonomie se transforme à gauche au point d'arrivée et à droite au point de départ de e :

$$U_e(A^g) \;=\; g(x(1))\, U_e(A)\, g(x(0))^{-1}. \tag{5.6}$$

Avec ces objets, nous allons construire non plus une quantification à la Fock, pour des états particulaires (de dimension 0), mais une quantification dite en réseaux de spins, dans laquelle les excitations élémentaires ont pour support des courbes ! Pour cela nous formons l'algèbre Cyl des fonctions dites *cylindriques* de la connexion A. Soit un graphe orienté et fermé Γ, avec E liens $(e_1, \ldots, e_E)$ et V noeuds. L'idée est de sonder la géométrie de la connexion à travers un nombre fini de variables : les holonomies le long des liens du graphe. Une fonction cylindrique $\psi_{\Gamma,f} \in \mathrm{Cyl}_\Gamma$ est donc formée à l'aide d'une fonction f continue à valeurs complexes sur $\mathrm{SU}(2)^E$:

$$\psi_{\Gamma,f}(A) \;=\; f\big(U_{e_1}(A), \ldots, U_{e_E}(A)\big). \tag{5.7}$$

L'algèbre de ces fonctions possède un produit scalaire naturel, provenant de la mesure de Haar sur $\mathrm{SU}(2)^E$, $d\mu_\Gamma = \prod_e dg_e$, soit

$$\langle \phi_{\Gamma,h} | \psi_{\Gamma,f} \rangle \;=\; \int \prod_{e=1}^{E} dg_e\; \bar{h}(g_1, \ldots, g_E)\, f(g_1, \ldots, g_E). \tag{5.8}$$

En prenant la complétion de cet espace pour la norme associée à ce produit, nous arrivons naturellement à l'espace $L^2(\mathrm{SU}(2)^E, d\mu_\Gamma)$.

Pour construire l'espace de Hilbert « cinématique » de la LQG, et en fait adapté à toute théorie de jauge invariante sous les difféomorphismes et sans métrique (« background independent »), il faut considérer les fonctions cylindriques sur tous les graphes possibles sur Σ, $\mathrm{Cyl} = \cup_\Gamma \mathrm{Cyl}_\Gamma$! Cela peut se faire rigoureusement en considérant une limite projective des espaces sur chaque graphe. L'espace de Hilbert qui en résulte peut être vu comme l'espace $L^2(\bar{\mathcal{A}}, d\mu_{\mathrm{AL}})$ des fonctionnelles de carré intégrable sur $\bar{\mathcal{A}}$. Ce dernier espace est appelé l'espace des « connexions généralisées », qui sont arbitrairement discontinues mais assignent à chaque courbe une holonomie ! La mesure μ_{AL} est la mesure d'Ashtekar-Lewandowski, provenant naturellement de l'ensemble des mesures $d\mu_\Gamma$, et qui rend orthogonaux les fonctionnelles cylindriques associées à des graphes différents.

Nous n'aurons pas vraiment besoin dans cette thèse de considérer l'intégralité de cet espace de Hilbert, même si c'est bien sûr son existence qui justifie en partie l'intérêt des travaux que j'ai pu effectuer ! En fait, dans la perspective de dévoiler la géométrie codée dans les mousses et réseaux de spins, il sera suffisant de tronquer cet espace à un graphe fixé, soit un nombre fini de variables ! Ce n'est toutefois bien sûr qu'en considérant $L^2(\bar{\mathcal{A}}, d\mu_{\mathrm{AL}})$ dans sa totalité que l'on peut pleinement apprécier le travail fourni depuis des années pour traiter un nombre infini de degrés de liberté, dans un cadre « background independent ». A cette fin, je renvoie aux excellentes revues [17, 139, 164, 22], et au livre [166] pour plus de détails, avec force références. Aussi, je me concentre maintenant sur la description de l'espace $L^2(\mathrm{SU}(2)^E, d\mu_\Gamma)$ et de son secteur invariant de jauge $\mathcal{H}_\Gamma$.

Sur un graphe Γ fixé, nous invoquons la décomposition de $L^2(\mathrm{SU}(2))$ sur chaque lien, par le théorème de Peter-Weyl. Cela permet de considérer une base hilbertienne formée de tous les éléments de matrices des représentations irréductibles. Celles-ci sont indicées par un spin $j \in \mathbb{N}/2$, et les éléments de matrices sont les fonctions : $g \mapsto D^{(j)}_{mn}(g) = \langle j, m | g | j, n \rangle$ en notation bra-ket. Les vecteurs

de base sont ainsi des réseaux de spins non-invariants de jauge, caractérisés par la donnée d'un spin j_e sur chaque lien, et de deux nombres magnétiques, m_e, n_e, un pour chaque extrémités du lien :

$$s^{\{j_e\}}_{\Gamma\{m_e,n_e\}} \,:\, (g_1,\cdots,g_E) \mapsto \prod_{e=1}^{E} D^{(j_e)}_{m_e n_e}(g_e). \tag{5.9}$$

Ces fonctions sont orthogonales pour le produit (5.8), et peuvent être normalisées en multipliant chaque élément de matrice par $\sqrt{d_{j_e}}$, où $d_j = (2j+1)$ est la dimension de la représentation de spin j.

La contrainte de Gauß impose classiquement l'invariance de jauge SU(2) pour l'espace interne. Lorsque que l'on sonde la connexion sur le graphe Γ, nous avons vu que les transformations de jauge agissent uniquement aux extrémités des liens, (5.6). Autrement dit, sur le graphe Γ, il s'agit d'une action de $\mathrm{SU}(2)^V$. Ainsi, il est possible de se restreindre au secteur invariant de jauge sur le graphe Γ en moyennant simplement sur $\mathrm{SU}(2)^V$ à l'aide de la mesure de Haar correspondante (qui est bien invariante par translation),

$$\int \prod_{v=1}^{V} dh_v \; f\big(h_{t(e)}\, g_e\, h^{-1}_{s(e)}\big), \tag{5.10}$$

$s(e)$ et $t(e)$ désignant le noeud source et le noeud d'arrivée de chaque lien. De telles fonctions forment l'espace invariant $\mathcal{H}_\Gamma$,

$$\mathcal{H}_\Gamma = L^2\big(\mathrm{SU}(2)^E/\,\mathrm{SU}(2)^V, d\mu_\Gamma\big). \tag{5.11}$$

On peut de plus en exhiber une base orthogonale, dite des réseaux de spins ! Pour cela regardons un noeud, avec des liens entrants (e_{in}), et des liens sortants (e_{out}). En utilisant le processus de moyenne ci-dessus sur les vecteurs de base non-invariants (5.9), on peut voir que les intégrales entrainent l'insertion à chaque noeud d'un tenseur entrelaceur entre les représentations entrantes et sortantes, i.e. $\otimes_{e_{\mathrm{in}}}\mathcal{H}_{j_e} \to \otimes_{e_{\mathrm{out}}}\mathcal{H}_{j_e}$, si $\mathcal{H}_j$ est l'espace de Hilbert de dimension d_j portant la représentation de spin j. Par dualité, cet entrelaceur peut être vu comme un objet dans la représentation triviale : $\otimes_{e_{\mathrm{in}}}\mathcal{H}_{j_e} \otimes_{e_{\mathrm{out}}} \overline{\mathcal{H}}_{j_e} \to \mathbb{C}$.

Pour former une base des réseaux de spins, nous avons donc besoin d'une base d'entrelaceurs à chaque noeud. Pour un noeud trivalent, il n'existe qu'un seul vecteur invariant $|\iota_{j_1 j_2 j_3}\rangle$ dans le produit tensoriel des trois représentations : c'est le symbole $3mj$ de Wigner (ou le coefficient de Clebsch-Gordan) à la normalisation près, soit $\langle j_1, m_1; j_2, m_2; j_3, m_3|\iota_{j_1 j_2 j_3}\rangle = \left(\begin{smallmatrix} j_1 & j_2 & j_3 \\ m_1 & m_2 & m_3 \end{smallmatrix}\right)$ (plus de détails en appendice, A). Dans le cas d'un noeud de valence n, il faut déplier celui-ci en un graphe, avec n pattes externes, ne contenant que des noeuds trivalents. A chaque lien virtuel, i.e. interne, on assigne un spin (virtuel), et chaque noeud interne porte alors un symbole $3mj$ (à dualisation près). Un entrelaceur ι_v est donc déterminé par le choix d'une décomposition en un arbre trivalent et la donnée de spins virtuels sur les liens internes. On forme les réseaux de spins par contraction des nombres magnétiques :

$$s^{\{j_e,\iota_v\}}_\Gamma(g_1,\ldots,g_E) \;=\; \sum_{\{m_e,n_e\}} \prod_{e=1}^{E} \langle j_e, m_e|g_e|j_e, n_e\rangle \;\prod_{v=1}^{V} \langle \otimes_{e\,\mathrm{in}}\, j_e, m_e|\iota_v|\otimes_{e\,\mathrm{out}}\; j_e, n_e\rangle. \tag{5.12}$$

En sommant sur tous les graphes Γ, l'ensemble des réseaux de spins, $(s^{\{j_e,\iota_v\}}_\Gamma)_{\Gamma,(j_e),(\iota_v)}$, constitue une base de l'espace des états cinématiques invariants de jauge,

$$\mathcal{H}_{\mathrm{kin}} = \bigoplus_\Gamma \mathcal{H}_\Gamma = L^2(\bar{\mathcal{A}}/\mathcal{G}, d\mu_{\mathrm{AL}}). \tag{5.13}$$

Il faut prendre garde à exclure la représentation triviale dans les réseaux de spins, ce qui est nécessaire pour que des réseaux de spins associés à des graphes différents soient orthogonaux,

$$\langle s^c_\Gamma\,|s^{c'}_{\Gamma'}\rangle = \delta_{\Gamma,\Gamma'}\;\delta_{c,c'}\;N_c, \tag{5.14}$$

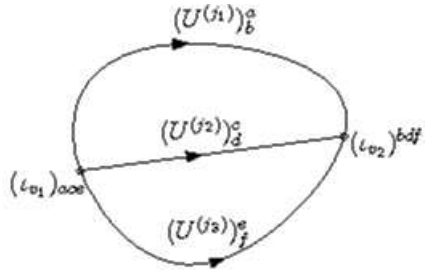

FIGURE 5.1 – Un graphe de réseau de spins en « theta ». Les liens sont coloriés par des représentations et les noeuds par des entrelaceurs. A la normalisation près (et à dualisation près des représentations incidentes), il n'existe qu'un seul entrelaceur entre 3 représentations de SU(2), qui est donc spécifié par les trois spins. La fonctionelle de réseau de spins est obtenue en contractant les éléments matriciels des holonomies d'une connexion le long des 3 courbes dans les représentations considérées avec les entrelaceurs, ce qui donne bien un résultat invariant sous les transformations de jauge agissant aux noeuds.

en notant $c = \{j_e, \iota_v\}$ le coloriage des graphes (et N_c étant la normalisation des vecteurs de base).

Ce sont ces objets que nous considérerons, à la partie IV, pour traduire l'action de la contrainte hamiltonienne de la théorie topologique en relations de récurrence sur les amplitudes de mousses de spins. Avant cela il nous faut un peu plus de pratique. Le graphe fermé le plus simple est une boucle. Alors nous retrouvons la boucle de Wilson bien connue et bien invariante de jauge, $\mathrm{tr}(D^{(j)}(g))$, la trace étant prise dans la représentation de spin j. Regardons ensuite le graphe « theta », figure 5.1. Pour vraiment définir la fonction d'onde de réseau de spins, nous avons besoin (i) sur le graphe lui-même, d'une orientation des liens, et d'une orientation (positive-sens trigo, négative sinon, nous utilisons les conventions graphiques de [167]) autour des noeuds, (ii) d'un coloriage des liens par des spins j_1, j_2, j_3 (les vertexes sont trivalents, donc pas de spins virtuels). Alors :

$$s_\Gamma^{\{j_e\}}(g_1, g_2, g_3) = \sum_{\substack{n_1,n_2,n_3\\ m_1,m_2,m_3}} D^{(j_1)}_{m_1 n_1}(g_1)\, D^{(j_2)}_{m_2 n_2}(g_2)\, D^{(j_3)}_{m_3 n_3}(g_3) \begin{pmatrix} j_1 & j_2 & j_3 \\ m_1 & m_2 & m_3 \end{pmatrix} \times (-1)^{\sum_{e=1}^3 (j_e - n_e)} \begin{pmatrix} j_1 & j_2 & j_3 \\ -n_1 & -n_2 & -n_3 \end{pmatrix} \quad (5.15)$$

Dans l'étude des relations de récurrence associées à la contrainte de courbure nulle de la théorie topologique, nous serons amené à évaluer les réseaux de spins sur la connexion triviale. Cela donne ici :

$$s^{\{j_e\}}_{\Gamma|g_e=\mathbb{1}} = \sum_{m_1,m_2,m_3} \begin{pmatrix} j_1 & j_2 & j_3 \\ m_1 & m_2 & m_3 \end{pmatrix} (-1)^{\sum_{e=1}^3 (j_e - m_e)} \begin{pmatrix} j_1 & j_2 & j_3 \\ -m_1 & -m_2 & -m_3 \end{pmatrix}, \quad (5.16)$$

$$= \sum_{m_1,m_2,m_3} \begin{pmatrix} j_1 & j_2 & j_3 \\ m_1 & m_2 & m_3 \end{pmatrix} \begin{pmatrix} j_1 & j_2 & j_3 \\ m_1 & m_2 & m_3 \end{pmatrix}, \quad (5.17)$$

$$= 1, \quad (5.18)$$

pourvu que les inégalités triangulaires soient satisfaites entre les trois spins, et 0 sinon.

Nous avons construit l'espace de Hilbert $\mathcal{H}_\Gamma$ des fonctions L^2 de la connexion sur le graphe, invariantes de jauge. Cet espace porte une représentation de l'algèbre des holonomies sur Γ. En effet, on peut vérifier que n'importe quel réseau de spins sur Γ devient un opérateur hermitien en agissant par

multiplication sur les réseaux de spins. Ce sont les observables de réseaux de spins, qui généralisent la boucle de Wilson. Mais nous souhaitons aussi représenter la triade, i.e. le champ E_i^a ! Des observables dites de *flux* se construisent en gardant à l'esprit que E_i^a est une densité, i.e. provient d'une 2-forme sur Σ, et s'intègre donc naturellement sur des 2-surfaces. Soit $S \subset \Sigma$ une telle surface, et une fonction $f : S \to \mathrm{SU}(2)$. Le flux de E_i^a est alors défini comme :

$$E_{S,f} = \int_S E_i\, f^i = \int_S f^i\, E_i^a\, \epsilon_{abc}\, dx^b \wedge dx^c. \tag{5.19}$$

Il se trouve que la $*$-algèbre fondamentale de cette quantification, voir par exemple [115], est l'algèbre des holonomies et des flux ! On peut notamment vérifier que l'action de ce flux non-abélien sur une surface fermée au voisinage d'un noeud d'un réseau de spins portant un entrelaceur est nulle. Je ne développerai pas plus avant ce formalisme, mais je présenterai des observables proches des flux, dont le sens physique n'est autre que l'aire de la surface S.

Après avoir traité la contrainte de Gauß, il est possible de construire un espace de Hilbert invariant sous les difféomorphismes de Σ. L'idée est que les difféomorphismes agissent de façon simple sur les fonctions cylindriques, en déplaçant leur graphe. En effet, si ϕ est un difféomorphisme, alors : $\psi_{\Gamma,f}(\phi^* A) = \psi_{\phi\Gamma,f}(A)$. Ainsi, alors que l'espace $L^2(\bar{\mathcal{A}}/\mathcal{G})$ voyait des fonctions cylindriques ayant des graphes différents comme orthogonales, une base de l'espace invariant est obtenue en considérant les réseaux de spins (et leur données) pour les classes d'équivalence de graphes sous les difféomorphismes – la mesure d'Ashtekar-Lewandowski passant au quotient. Ces états sont appelés *s-knots*, soulignant bien le fait qu'ils dépendent de la façon dont ils sont noués (et donc de la topologie de Σ). Je renvoie aux références données précédemment pour plus de détails. Travaillant le plus souvent sur un graphe fixé, je n'utiliserai pas cette construction ici. En accord avec les résultats de la LQG et des mousses de spins en 3d, on s'attend à ce qu'un « bon » modèle de mousses de spins prenne soin cette symétrie de jauge, tout comme il est sensé implémenter la projection sur le noyau de la contrainte scalaire !

Pour compléter la théorie, il faudrait ensuite implémenter les symétries de la contrainte scalaire S, et projeter sur les états invariants ou les classes d'équivalence de cette action pour obtenir enfin lespace des états physiques de gravité quantique. Après d'importants efforts de la part de nombreux auteurs, Thiemann a pu proposer une définition d'un opérateur $\hat{S}$, [163], sans anomalies, agissant sur les noeuds des réseaux de spins, et en modifiant les spins mais aussi le graphe par la création de nouveaux noeuds. Une idée importante à signaler en LQG est que la limite dans laquelle on élimine la régularisation de la contrainte hamiltonienne doit être trivialisée par l'invariance sous les difféomorphismes, donnant une dynamique finie à la LQG. Néanmoins, un certain nombre d'aspects reste difficile à aborder avec cette quantification de S. C'est en partie pour cela que le formalisme des mousses de spins s'est développé, pour construire d'une manière « propre » l'exponentielle de la contrainte scalaire (et donc la réalisation de l'intégrale de chemins sur les réseaux de spins), et avoir accès à la bonne limite semi-classique. Des progrès ont permis dans les dernières années une convergence intéressante avec la LQG, notamment exploitée dans [4, 7] pour construire des opérateurs susceptibles d'engendrer la même dynamique que les récents modèles de mousses de spins.

5.2 Opérateurs géométriques

Les réseaux de spins portent une représentation de l'algèbre des holonomies et flux. Il est aussi possible de définir des opérateurs qui en LQG ont un sens géométrique fort : les aires de surfaces, et les 3-volumes. Nous allons voir que ce sont les excitations de réseaux de spins qui fournissent des valeurs non-nulles de ces quantités. Ainsi, cette quantification aboutit à une vision précise et mathématiquement rigoureuse de la 3-géométrie quantique ! Notons néanmoins que ces opérateurs ne commutent pas avec la contrainte hamiltonienne (ce ne sont pas des observables de Dirac, invariantes de jauge au sens de l'ensemble des symétries de jauge de la théorie). Leur quantification reposant sur la

construction de l'espace cinématique en représentation de connexions, il est aussi possible de définir ces opérateurs dans le contexte de la théorie BF, ou toute théorie ayant un espace des phases paramétré par une connexion et son moment conjugué vivant dans l'adjointe. L'interprétation géométrique est alors toutefois différente (et il faut enlever le paramètre d'Immirzi des formules que nous allons donner).

Ces résultats sont valides dans la théorie complète, formée par l'ensemble des graphes de réseaux de spins. Il est toutefois utile d'en donner une vision simplifiée, comme nous le faisons dans une sous-section sur le tétraèdre quantique 5.2.2. L'espace des phases d'un tétraèdre correspond en fait à l'algèbre des observables associée à un noeud 4-valent d'un réseau de spins en LQG. Ainsi, une quantification géométrique de cet espace des phases conduit de manière simplifiée aux résultats de la théorie complète. Cela offre une vision intuitive et géométrique utile, que nous utiliserons pour comprendre précisément les nombres quantiques caractérisant un noeud 4-valent, et pour discuter la quantification d'opérateurs d'angles dihédraux sans se lancer dans la quantification au sein de la théorie complète. Ajoutons que cette approche du tétraèdre quantique, mais avec le groupe Spin(4) à la place de $SU(2)$, a eu une influence majeure sur la construction des modèles de mousses de spins et le lien avec la théorie de Plebanski !

5.2.1 Géométrie quantique : Aires, volumes, longueurs

L'observable invariante de jauge SU(2) la plus simple est l'aire d'une surface. Nous formons d'abord pour une surface S, paramétrée par des cooordonnées $x(\sigma)$, $\sigma = (\sigma^1, \sigma^2)$, la quantité :

$$E_i(S) = \int_S d\sigma^1 d\sigma^2 \; \epsilon_{abc} \frac{\partial x^a}{\partial \sigma_1}(\sigma) \frac{\partial x^b}{\partial \sigma_2}(\sigma) \; E_i^c(x(\sigma)), \tag{5.20}$$

qui n'est pas invariante de jauge. Malgré cela, l'action de l'opérateur correspondant sur les réseaux de spins est particulièrement simple. Supposons que S ne croise un lien e d'un réseau de spins, portant le spin j, qu'en un point p, alors $\widehat{E}_i(S)$ insère dans l'holonomie le long de e un générateur $\tau_i \in \mathfrak{su}(2)$ dans la représentation de spin j au point p. Cela provient du crochet fondamental,

$$\big\{E_i(S), U_e(A)\big\} = \gamma \; U_{e>p}(A) \, \tau_i \, U_{e<p}(A). \tag{5.21}$$

Cela signifie que l'action de $E_i(S)$ est locale : elle n'agit qu'à l'intersection de S et e. De plus, on en déduit que $E_i(S)E^i(S)$ produit le Casimir du spin j, i.e. $\tau_i \tau_j \delta^{ij}$, de sorte que les réseaux de spins sont des vecteurs propres de cet opérateur !

Nous pouvons alors calculer l'aire d'une surface S par sa somme de Riemann. Découpons S en N petites plaquettes S_n de taille d'ordre $1/N$, et formons (classiquement) :

$$A(S) = \lim_{N\to\infty} \sum_{n=1}^{N} \sqrt{E_i(S_n) \, E^i(S_n)}. \tag{5.22}$$

Cela correspond bien la quantité recherchée, comme on le voit par exemple en prenant des coordonnées telles que S correspond à $x^3 = 0$, et $\sigma^1 = x^1, \sigma^2 = x^2$. Alors le membre de droite de (5.22) est la somme de Riemann de :

$$\int_S d\sigma^1 d\sigma^2 \; \sqrt{E_i^3(x) \, E^{3i}(x)} = \int_S d\sigma^1 d\sigma^2 \; \sqrt{q^{33}(x) \; \det({}^3q)} = \int_S d\sigma^1 d\sigma^2 \; \sqrt{\det({}^2q)} = A(S), \tag{5.23}$$

par définition de la triade, (4.32). Au niveau quantique, imaginons que S croise le graphe Γ d'un réseau de spins en un nombre fini de point, et pas de manière tagentielle. Alors la régularisation (5.22) ne fait agir $\widehat{E}_i(S_n)$ qu'en ces intersections, et l'aire ne reçoît de contributions qu'en croisant le graphe d'un réseau de spins ! De plus, elle est diagonale sur ceux-ci :

$$\widehat{A(S)} \; s_\Gamma^{\{j_e\}} = \gamma \left(\sum_{e, e\cap S \neq \emptyset} \sqrt{j_e(j_e+1)} \right) s_\Gamma^{\{j_e\}}. \tag{5.24}$$

Nous avons tenu compte ici de l'échelle de la structure symplectique de la gravité, donnée par le paramètre d'Immirzi. Néanmoins, toutes ces constructions et les résultats associés tiennent toujours pour une théorie d'une connexion et de son moment conjugué (sans le paramètre γ) ou la théorie BF, [22]. Seule l'interprétation géométrique doit être changée. A nouveau les références précitées contiennent tous les détails sur l'action générique des aires. Mentionnons tout de même un aspect technique : une ambiguité dans la quantification des opérateurs quadratiques en la triade évalués au même point, qui peut conduire à des spectres différant du Casimir en $j(j+1)$ par une constante et/ou un terme linéaire. Parmi les choix naturels, on trouve j^2 et $(j+\frac{1}{2})^2$, qui donnent des spectres ayant toujours le même écart, discutés à propos de l'entropie des trous noirs [2], et que l'on retrouvera dans les modèles des mousses de spins [83].

Des calculs similaires peuvent être conduits à partir de la structure symplectique SO(4) covariante. Mais pour interpréter les flux de la norme du moment P^a_{IJ} comme des aires, il faut prendre en compte les contraintes de seconde classe, autrement dit utiliser les crochets de Dirac pour la quantification. Etant donné qu'il n'y a plus de connexions privilégiées pour les crochets de Dirac, plusieurs choix sont possibles. Un choix naturel (par rapport aux symétries) conduit alors à un spectre des aires donné par la partie boost du Casimir de SO(4) (par rapport au champ de normales n^I définissant la direction temps de l'espace interne) [2] [119], et indépendant du paramètre d'Immirzi. De manière remarquable, la quantification en mousses de spins des contraintes de simplicité, voir section 14.1, permet de relier directement ce spectre à celui de la LQG, (5.24), voir [83].

Ainsi, les liens des réseaux de spins portent des excitations qui s'interprètent directement comme les aires de surfaces duales aux liens. On peut donc s'attendre à ce qu'un noeud porte une excitation de volume de la région 3d duale contenue dans les surfaces duales aux liens qui s'y rencontrent. C'est précisément ce qui se passe ! Classiquement, le volume d'une région R s'exprime en fonction de la triade par :

$$V(R) = \int_R d^3x \, \sqrt{\det({}^3q)} = \int_R d^3x \, \sqrt{\frac{1}{3!} \, |\epsilon_{abc} \, \epsilon^{ijk} \; E^a_i(x) \, E^b_j(x) \, E^c_k(x)|}. \tag{5.25}$$

Cette observable peut être quantifiée, basiquement en remplaçant les triades par des dérivations (insertions de générateurs de l'algèbre dans les holonomies), en un opérateur hermitien $\widehat{V(R)}$ bien défini [166]. Il n'agit qu'au niveau des noeuds des réseaux de spins, sans modifier le graphe, ni les spins des liens. Il annihile les noeuds de valence inférieurs à trois. Cela se comprend intuitivement par le fait que les surfaces duales aux liens accrochés à un tel noeud ne peuvent former que des polyèdres dégénérés. En revanche, $\widehat{V(R)}$ agit de manière non-triviale à partir des noeuds de valence 4 : il fait intervenir l'entrelaceur ι_v en plus des spins j_e sur les pattes du noeud, et prend des valeurs propres discrètes. Mais il n'est pas diagonal sur la base des réseaux de spins construites ci-dessus (qui demande de spécifier une décomposition en vertexes trivalents et des spins virtuels), et son spectre n'est pas complètement connu.

Nous avons donc le tableau suivant d'une 3-géométrie quantique. Un réseau de spins correspond à un graphe Γ immergé dans une 3-variété, dont les liens portent des représentations (spins) de SU(2) et les noeuds des entrelaceurs entre les représentations qui s'y rencontrent. Un noeud permet alors de définir une 3-cellule duale ayant un volume non-trivial, prenant des valeurs discrètes. Un lien est dual à une surface qui délimite les deux régions de l'espace duales aux extrémités. L'aire de cette surface est bien définie et donnée par le casimir de la représentation portée par le lien.

Dans cette vision duale, un noeud connecté à deux autres noeuds permet de considérer le lieu de l'intersection des deux surfaces duales qui est une courbe. On peut alors se demander s'il existe un opérateur de longueur associé à cette courbe. Cela permettrait d'approfondir la géométrie quantique,

2. Cela donne un spectre continu dans la théorie lorentzienne, contrastant avec le spectre discret de la LQG, qui reste associé aux Casimir de SU(2) dans la théorie lorentzienne.

mais aussi de répondre à une question naturelle : est-il possible d'assigner à un réseau de spins des quanta de longueurs duales, et de les interpréter comme la donnée d'une métrique à la Regge sur le complexe dual ? Une construction d'un opérateur de longueur a été donnée par Bianchi, [45], (voir aussi Thiemann [161]) bien adaptée au complexe dual au réseau de spins.

Pour définir correctement ces courbes duales, nous supposons que Γ est le 1-squelette dual à une décomposition cellulaire de la 3-variété Σ. Les courbes qui nous intéressent sont alors les 1-cellules de cette décomposition, duales aux faces du 2-squelette qui contient Γ. Une telle courbe γ est alors caractérisée par deux liens se rencontrant en un noeud, ce qui définit une portion, appelée *wedge*, d'une 2-cellule bordée par un cycle fermé de Γ. Mais il faut identifier les courbes associées aux différents wedges d'une 2-cellule. Classiquement, la longueur d'une courbe $\gamma : s \in [0,1] \mapsto \gamma^a(s) \in \Sigma$ est donnée par :

$$L(\gamma) = \int_0^1 ds \, \sqrt{\delta_{ij} \, G^i(s) \, G^j(s)}, \tag{5.26}$$

où $G^i(s)$ est une fonction de la triade :

$$G^i(s) = \frac{1}{2\sqrt{\det({}^3q)}} \, \epsilon^{ijk} \, \epsilon_{abc} \, \dot{\gamma}^a(s) \, E^b_j(\gamma(s)) \, E^c_k(\gamma(s)). \tag{5.27}$$

L'expression du déterminant de la 3-métrique en fonction de la triade est donnée en (5.25).

Je renvoie à [45] pour les détails de la régularisation et l'étude des propriétés de l'opérateur construit. Il existe un opérateur de longueur $L_w(\gamma)$ par wedge w, mesurant la longueur de la courbe γ, qui agit alors sur le noeud du wedge, sans modifier le graphe, ni les spins coloriant les liens. Ainsi, ses éléments de matrices sont indicés par les entrelaceurs sur le noeud. Il n'est pas diagonal sur les réseaux de spins, mais on sait que ces valeurs propres sont discrètes ! Il commute avec les opérateurs d'aires des surfaces duales aux liens, et avec les opérateurs de volume des régions duales aux noeuds différents de celui du wedge considéré. Il possède la limite semi-classique attendue : pour un état piqué sur la géométrie classique d'un tétraèdre, il mesure les longueurs des arêtes de celui-ci.

Par ailleurs, il est possible de diagonaliser simultanément les opérateurs d'aires et les opérateurs de longueurs associés à différents wedges d'une même 2-cellule. Comme le montre Bianchi, les nombres quantiques de longueurs correspondants, caractérisant une seule courbe, sont génériquement différents ! Cela signifie que la longueur d'une courbe dépend du wedge, ou encore de la 3-cellule duale au noeud de Γ dans laquelle elle est vue. Cela suggère fortement d'aller regarder la même situation mais au niveau classique, dans le but de voir si de manière générique, l'espace des phases de la LQG, restreint à un graphe dual à une décomposition cellulaire ou simplicielle, donne naissance à des *métriques discontinues* d'une 3-cellule à l'autre, i.e. assignant des longueurs qui dépendent de la cellule dans laquelle elles sont considérées. Nous verrons, comme le montrent Dittrich et Ryan, [77], à la section 6.1, que c'est en effet le cas.

Mais auparavant, pour préciser le sens géométrique des entrelaceurs, regardons un noeud 4-valent. A celui-ci, on peut associer un tétraèdre dual, tel que les pattes du noeud sont duaux aux triangles. Les spins portés par les liens sont alors les aires quantifiées de ces quatre triangles. Néanmoins, la géométrie d'un tétraèdre n'est pas complètement spécifiée par ces aires. Certes, l'action de l'opérateur de volume, tenant compte de l'entrelaceur, apporte une information supplémentaire. Mais on sait que classiquement, il nous suffit de prendre deux angles dihédraux non-opposés en plus des aires pour caractériser le tétraèdre. Cela suggère de s'intéresser à une quantification des observables d'angles dihédraux entre les surfaces duales aux liens des réseaux de spins. Une proposition dans ce sens a été faite par Major, [129], qui s'insère très bien dans la vision de la 3-géométrie duale. Major donne des définitions précises d'opérateurs d'angles et de leur cosinus, et discute les conditions qui permettent de reproduire la bonne limite semi-classique.

5.2.2 Le tétraèdre quantique et les opérateurs d'angles

Il sera intéressant pour nous de comprendre les idées principales de la construction des observables d'angles du point de vue de la quantification de l'espace des géométries d'un tétraèdre. Cette approche a été initiée par Barbieri [34], et procède, de façon mathématiquement rigoureuse, par quantification géométrique [23]. Etant proche de la LQG, dont elle décrit les observables cinématiques, fonctions de la triade, agissant au niveau d'un vertex 4-valent, elle peut servir de guide pour la définition rigoureuse d'opérateurs en LQG. Mais il faut prendre garde à ce qu'elle ne traite qu'un simplexe *isolé* ! Cela signifie que les holonomies ne sont pas prises en compte, elles qui sont fondamentales à la LQG bien sûr, et comme nous le verrons très largement par la suite, tout aussi fondamentales pour définir les théories de jauge sur réseau et assurer la *consistence* des géométries discrètes. (En particulier dans cette dernière approche, nous devrons prendre soin du collage des simplexes, en utilisant le transport parallèle, pour étendre les résultats de la quantification géométrique du tétraèdre à une triangulation et in fine construire des intégrales de chemins sur des géométries discrètes consistentes.)

On décrit un tétraèdre par les normales aux triangles, notées[3] $\vec{b}_e \in \mathbb{R}^3$. Ces vecteurs satisfont une relation de fermeture,

$$\vec{b}_1 + \vec{b}_2 + \vec{b}_3 + \vec{b}_4 = 0. \tag{5.28}$$

Ces sont en fait des bivecteurs, éléments de $\Lambda^2\mathbb{R}^3$, formés par les produits vectoriels des vecteurs décrivant les arêtes du triangle dans $\mathbb{R}^3$. Une structure de Poisson sur ces bivecteurs est obtenue en les regardant comme des éléments de l'algèbre duale $\mathfrak{so}(3)^*$,

$$\{b_e^i, b_e^j\} \;=\; \epsilon^{ij}{}_k\, b_e^k, \tag{5.29}$$

les crochets s'annulant entre liens différents[4]. La contrainte de fermeture (5.28) est le générateur pour ces crochets des rotations dans $\mathbb{R}^3$, i.e. la contrainte de Gauß. On peut former des observables invariantes,

$$A_e = |\vec{b}_e|, \quad \text{et} \qquad A_{ee'} = |\vec{b}_e + \vec{b}_{e'}|. \tag{5.30}$$

A_e correspond à l'aire du triangle dual à e, tandis que $A_{ee'}$ représente l'aire du parallélogramme dont les sommets sont les milieux des arêtes des triangles duaux à e et e', sauf l'arête partagée par ces deux triangles. Cela revient à couper en deux le tétraèdre. Remarquons que seules trois de ces variables sont distinctes, correspondants aux trois façons de couper le tétraèdre en deux. On peut s'assurer qu'un ensemble complet d'observables qui commutent pour les crochets de Poisson est formée par les quatre aires A_e plus une variable $A_{ee'}$. En effet, les aires des parallélogrammes ne commutent pas entre elles, typiquement : $\{A_{12}^2, A_{13}^2\} = 4V_{\text{tet}}$, V_{tet} étant le volume du tétraèdre. Cela nous indique que le tétraèdre quantique est caractérisé par cinq nombres quantiques, la différence avec les six degrés de liberté classiques provenant des relations d'incertitude !

Mais on peut aussi quantifier avant d'imposer la contrainte de Gauß, comme en LQG. La quantification géométrique [23], associe à chaque triangle un espace de Hilbert formé par l'ensemble des représentations irréductibles de SU(2), et donc au tétraèdre l'espace de Hilbert

$$\mathcal{H}_{\text{tet}} = \bigotimes_{e=1,2,3,4} \bigoplus_{j_e \in \frac{\mathbb{N}}{2}} \mathcal{H}_{j_e}. \tag{5.31}$$

3. Nous utilisons ici les notations associées au graphe Γ du réseau de spins. Dans les sections suivantes, nous travaillerons avec un graphe *fixé* dual à une triangulation. Nous aurons alors recours aux notations désignant les simplexes de la triangulation. Le sens des variables sera tout à fait similaire.

4. Puisque les vecteurs $\vec{b}_e$ sont sensés correspondre à la triade, ou à ses flux à travers les triangles, il peut paraître surprenant qu'ils ne commutent pas comme c'est le cas dans la théorie complète. En fait, en passant des variables de connexion et triade à l'algèbre des holonomies et des flux, il est nécessaire que les flux ne commutent plus entre eux pour que les crochets de Poisson satisfassent l'identité de Jacobi (voir [16]) ! Cela est tout à fait standard lorsque l'on travaille avec le fibré cotangent à un groupe de Lie, et sera repris dans les sections suivantes.

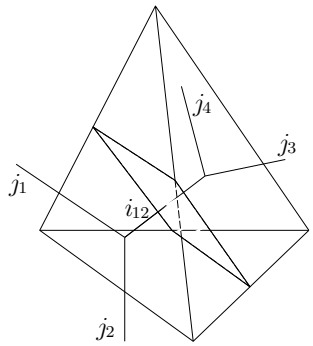

FIGURE 5.2 – Un tétraèdre et une représentation graphique des états du tétraèdre quantique. De l'extérieur du tétraèdre, on voit un noeud 4-valent portant un entrelaceur. Les pattes externes sont duales aux triangles et sont coloriées par des représentations $(j_e)_{e=1,\dots,4}$ qui sont les valeurs propres, discrètes, des aires des triangles. Une base d'entrelaceurs, et donc des états quantiques, est définie en diagonalisant un des opérateurs $\hat{A}_{ee'}$, ici $\hat{A}_{12}$, dont les valeurs propres i_{12} représentent l'aire du parallélogramme dessiné, joignant les milieux de 4 arêtes. Algébriquement, on peut décomposer cet entrelaceur en deux noeuds trivalents reliés par un spin i_{12} virtuel, comme en (A.20), alors porté par un lien dual au parallélogramme !

Les composantes b_e^i des vecteurs normaux sont alors promues en générateurs J_e^i de $\mathfrak{su}(2)$ agissant sur $\mathcal{H}_{\text{tet}}$, et satisfaisant les relations de commutation : $[J_e^i, J_e^j] = i\epsilon^{ij}{}_k J_e^k$. La contrainte de Gauß restreint alors les états physiques aux vecteurs invariants sous SU(2) :

$$\mathrm{Inv}\big(\mathcal{H}_{\text{tet}}\big) = \bigoplus_{j_1,j_2,j_3,j_4} \mathrm{Inv}\big(\mathcal{H}_{j_1} \otimes \mathcal{H}_{j_2} \otimes \mathcal{H}_{j_3} \otimes \mathcal{H}_{j_4}\big), \tag{5.32}$$

autrement dit, aux entrelaceurs. Une base se forme donc en choisissant quatre spins (j_e) et un entrelaceur entre ces représentations. Cela se fait par le choix d'un appariement de ces spins deux à deux, disons j_1 avec j_2, et d'un spin virtuel i_{12} dans la décomposition $\mathcal{H}_{j_1} \otimes \mathcal{H}_{j_2} = \oplus_{i_{12}} \mathcal{H}_{i_{12}}$. Ainsi, nous avons nos cinq degrés de liberté quantiques, qui s'avèrent être les valeurs propres des quatre aires $\widehat{A}_e$ et de $\widehat{A}_{12}$:

$$\widehat{A}_e \;\; |(j_1 j_2), i_{12}, (j_3 j_4)\rangle = \sqrt{j_e(j_e+1)} \;\; |(j_1 j_2), i_{12}, (j_3 j_4)\rangle, \qquad e = 1,2,3,4, \tag{5.33}$$

$$\widehat{A}_{12} \; |(j_1 j_2), i_{12}, (j_3 j_4)\rangle = \sqrt{i_{12}(i_{12}+1)} \; |(j_1 j_2), i_{12}, (j_3 j_4)\rangle. \tag{5.34}$$

Remarquons que les trois façons de couper le tétraèdre en deux pour mesurer l'aire d'un parallélogramme se traduit au niveau quantique par les trois choix d'appariements possibles entre les quatre spins j_e. Le développement de tels entrelaceurs 4-valents en arbre trivalent est donné algébriquement en appendice, (A.20), et se traduit graphiquement en considérant le lien virtuel portant i_{12} comme dual au parallélogramme dont il donne l'aire, voir figure 5.2.

La donnée des variables $A_{ee'}$ est naturellement équivalente classiquement à celle des angles dihédraux $\phi_{ee'}$ entre les triangles, car :

$$A_{ee'}^2 = A_e^2 + A_{e'}^2 - 2\, A_e A_{e'} \cos\phi_{ee'}. \tag{5.35}$$

On extrait alors le spectre :

$$\widehat{\cos\phi_{12}} \; |(j_1 j_2), i_{12}, (j_3 j_4)\rangle = \frac{j_1(j_1+1) + j_2(j_2+1) - i_t(i_t+1)}{2\sqrt{j_1(j_1+1)\, j_2(j_2+1)}} \; |(j_1 j_2), i_{12}, (j_3 j_4)\rangle, \tag{5.36}$$

et l'on comprend bien qu'on ne peut donner en même temps les valeurs de deux angles non-opposés du fait de la non-commutativité des $A_{ee'}$.

Nous avons donc exposé l'idée principale à l'origine de la quantification des opérateurs d'angles dans [129]. De manière assez remarquable, nous retrouverons ce résultat, section 17.1.3, par une route totalement différente et originale. Nous n'utiliserons que des grandeurs classiques, et considérerons des insertions d'observables géométriques dans une intégrale sur les géométries d'une triangulation. En plus de la méthode (quantification canonique versus intégrale de chemins), une différence essentielle est que pour passer d'un simplexe isolé à une triangulation, des relations de collage, telles que (3.10) en calcul de Regge aires - angles 3d doivent être prises en compte, et ce dans l'intégrale sur les géométries, ce qui est non-trivial !

L'approche que nous avons présentée, la quantification d'un simplexe isolé, est à la base du modèle de mousses de spins de Barrett-Crane (BC), qui décrit un 4-simplexe quantique. Nous avons au cours de cette thèse formulé une dérivation de ce modèle, [59], qui met en évidence des soucis au niveau du collage des simplexes. Et c'est en prenant soin de ce collage, i.e. en implémentant les contraintes sur les angles 3d (3.10) au niveau des mousses de spins que j'ai pu dériver une vision de type intégrale de chemins pour les nouveaux modèles de mousses de spins EPR/FK [56, 57]. L'idée de la démarche est assez similaire au travail initial de Freidel-Krasnov [89], mais formulée très différemment.

Pour terminer cette section, notons que les résultats obtenus ici peuvent aussi être vus du point de vue du calcul sur les invariants de SU(2) (comme les symboles 6j de Wigner) comme des règles dites de grasping, permettant notamment d'évaluer des insertions d'observables en mousses de spins [108].

Chapitre 6

Géométries sur un graphe fixé

Puisque la quantification en réseaux de spins met en évidence des graphes comme excitations fondamentales, nous nous intéressons plus en détails aux aspects cinématiques et dynamiques de la théorie sur un graphe fixé. En fait, nous allons regarder et comparer de manière très précise différents types de géométrie sur un graphe, au niveau canonique : celles correspondant aux variables de la LQG, et les géométries de Regge. Une importante partie de mon travail de thèse ayant consisté à extraire la géométrie des mousses de spins, qui donnent l'évolution des réseaux de spins, il est important pour comprendre l'action des mousses de spins sur les états cinématiques de cerner la différence entre la théorie complète (la LQG), et l'approximation qu'est le calcul de Regge. C'est ce que je décris dans la section 6.1, suivant [77], avec la notion de géométries tordues pour caractériser la LQG, récemment approfondie dans [100].

Une des difficultés pour traiter la contrainte scalaire en relativité générale est que l'on ne dispose pas d'une interprétation claire de son effet géométrique. Ainsi connaître le lien entre la géométrie de la LQG sur un graphe et le calcul de Regge suggère l'utilisation de ce dernier comme source d'inspiration. Nous discutons alors brièvement à la section 6.2 une contrainte de courbure nulle présentée dans [77]. Pour prolonger la discution, nous utilisons le modèle topologique de gravité en 3 dimensions, où la LQG sur un graphe et le calcul de Regge coincident. Nous dérivons dans ce cadre explicitement une forme géométrique, reliant courbure intrinsèque et courbure extrinsèque, de la contrainte de courbure nulle de la théorie BF. Cela nous sera important pour relier les relations de récurrence sur les mousses de spins en 3d aux contraintes classiques de la théorie canonique.

Puis dans la section 6.3, je décris le formalisme des mouvements « tente » qui permettent d'obtenir une description hamiltonienne de la dynamique de l'action de Regge. En plus de s'intéresser aux symétries de cette dernière, par comparaison avec les symétries du continu, qui s'avèrent être généralement brisées au niveau discret comme le montre [27], cela définit un cadre d'étude adapté aux actions discrètes, potentiellement utile pour la théorie complète. Comme application de cette idée, nous verrons aux chapitres suivants comment, dans le modèle topologique en 3d, la contrainte hamiltonienne agit sur les réseaux de spins en générant ces mouvements « tente » et conduit dans la base des spins à des équations au différences finies sur les amplitudes de mousses de spins !

6.1 Géométries tordues et à la Regge

Nous avons vu que la quantification d'une théorie de jauge par les réseaux de spins fournit des excitations fondamentales sous forme de graphes, et des opérateurs géométriques associés à des nombres quantiques sur les liens et les noeuds. Nous nous intéressons ici aux espaces des phases classiques de différents types de géométries discrètes, vivant sur le graphe dual à une triangulation d'une 3-variété, avec la logique suivante :

- Tout d'abord, l'espace des phases issu de la théorie BF Spin(4) tronqué au graphe dual à la triangulation.
- Puis sa réduction à l'espace des phases SU(2) de la LQG tronqué au même graphe, conduisant à des géométries dites *tordues*.
- Puis une nouvelle réduction conduisant aux géométries de Regge sur la triangulation.

On peut également considérer le premier point comme la discrétisation naturelle de la théorie BF Spin(4) canonique sur une triangulation. Comme dans le continu, nous verrons qu'il existe des contraintes dites de *simplicité* qui permettent de se ramener à un espace des phases SU(2) comme en LQG. Une question naturelle est de savoir si cela aboutit à une notion de tétrade discrète, par analogie avec le continu où les contraintes de simplicité font passer d'une 2-forme B à une cotétrade e. La réponse est qu'il existe alors une notion de métrique sur la triangulation, mais *discontinue* d'un tétraèdre à un autre ! C'est-à-dire que de telles métriques n'accordent pas les mêmes longueurs aux arêtes de la triangulation selon le tétraèdre dans lequel elles sont calculées : on parle, suivant Freidel et Speziale, [100], de géométries *tordues*. Ainsi, il ne s'agit pas de géométries de Regge. Puis nous reproduisons des contraintes proposées dans [77] qui réduisent l'espace des phases SU(2) aux géométries de Regge. Il s'agit en fait de contraintes proposées dans la formulation aires - angles 3d du calcul de Regge dans [78]. Au final, cela donne une vision très précise des liens existants entre ces types de géométries discrètes. De plus, cela permet de relier le formalisme utilisé dans les réseaux de spins et celui des variables scalaires typiques du calcul de Regge. Nous verrons dans les chapitres suivants une analyse similaire dans l'approche covariante, et nous montrerons que les contraintes nécessaires si l'on souhaite des géométries de Regge sont naturellement présentes dans le formalisme des mousses de spins !

Nous décrivons donc le cadre d'étude et quelques résultats essentiels de Dittrich et Ryan, [77]. Il s'agit d'une discrétisation de la théorie *canonique*, reposant sur une triangulation 3d. Le départ s'effectue avec l'espace des phases des holonomies et flux de Spin(4) sur la triangulation, en présence du paramètre d'Immirzi. Autrement dit, l'espace des phases issu de l'action de Holst, avant réduction par les contraintes de seconde classe, est tronqué à un nombre fini de degrés de liberté, vivant sur la triangulation. Les triangles et tétraèdres sont indiqués par les lettres f et t. Un triangle peut aussi être déterminé par la paire de tétraèdres (tt') qui se le partagent ; nous utiliserons plutôt cette notation pour désigner un lien dual à un triangle, qui relie les tétraèdres t et t'. Ainsi, les holonomies sont associées au 1-squelette dual, notées $G_{tt'} \in \mathrm{Spin}(4)$, et représentent le transport parallèle entre les deux tétraèdres t et t'. Le changement d'orientation d'un lien se traduit par une inversion, $G_{t't} = G_{tt'}^{-1}$.

Ce transport parallèle relie des repères locaux de $\mathbb{R}^4$ associés à chaque tétraèdre. Ceux-ci sont donc considérés comme *plats*, et comme en calcul de Regge (3d), la courbure se concentre autour des arêtes de la triangulation. Elle est déterminée par le produit des $G_{tt'}$ autour de ces arêtes. Du point de vue dual, il s'agit du produit le long du bord de la face duale à une arête ℓ, $G_\ell = G_{t_0 t_n} \cdots G_{t_2 t_1} G_{t_1 t_0}$. Les triangles permettent de construire les flux, et donc de « discrétiser » la 2-forme B en $B_f \in \mathfrak{spin}(4)$. Nous avons bien sûr besoin du référentiel local d'un tétraèdre pour définir chacune de ces variables, appelée *bivecteur*, $B_f(t)$. Les bivecteurs d'un triangle donné considérés dans des tétraèdres adjacents t_1, t_2 partageant f ne sont pas indépendants mais reliés par du transport parallèle, $B_f(t_1) = -G_{t_1 t_2}\, B_f(t_2)\, G_{t_1 t_2}^{-1}$, si $G_{t_1 t_2}$ va de t_2 à t_1.

Nous pouvons alors considérer la structure symplectique héritée de l'action,

$$\int_M \mathrm{Tr}\left(B \wedge F + \gamma^{-1} \star B \wedge F\right) = (1+\gamma^{-1}) \int_M \mathrm{tr}\left(b_+ \wedge f_+\right) + (1-\gamma^{-1}) \int_M \mathrm{tr}\left(b_- \wedge f_-\right), \tag{6.1}$$

que nous avons décomposeée en parties self-duale et anti-self-duale, selon $\mathfrak{spin}(4) = \mathfrak{su}(2)_+ \oplus \mathfrak{su}(2)_-$. Du fait du paramètre d'Immirzi, B_f n'est pas le moment canonique de l'holonomie $G_{tt'}$, comme nous l'avons vu en (4.23). Celui-ci est en effet,

$$J_f(t) = B_f(t) + \frac{1}{\gamma} \star B_f(t) \quad \Leftrightarrow \quad B_f(t) = \frac{\gamma^2}{\gamma^2 - 1}\Big(J_f(t) - \frac{1}{\gamma} \star J_f(t)\Big), \tag{6.2}$$

et la structure symplectique associée se traduit dans les crochets de Poisson en fonction des B_e par :

$$\{g_{\pm tt'}, g_{\pm t''t'''}\} = 0, \tag{6.3}$$

$$\{b^i_{\pm f}(t), g_{\pm tt'}\} = \frac{\gamma}{\gamma \pm 1}\, \tau^i_{\pm}\, g_{\pm tt'}, \tag{6.4}$$

$$\{b^i_{\pm f}(t), b^j_{\pm f}(t)\} = \frac{\gamma}{\gamma \pm 1}\, \epsilon^{ij}{}_k\, b^k_{\pm f}(t). \tag{6.5}$$

Ces crochets ne sont autres que les crochets issus des variables canoniques $(A^{IJ}_a, P^{(\gamma)a}_{IJ})$, (4.23), de la théorie continue, qui donnent naissance à l'algèbre des holonomies et des flux, celle-ci étant alors tronquée à un seul graphe. (Quant au fait que les moments commutent dans la théorie continue, mais pas ici, on consultera [16]. Un tel phénomène est naturel sur le fibré cotangent d'un groupe de Lie, et nécessaire pour satisfaire l'identité de Jacobi). Nous avons utilisé les générateurs anti-hermitiens $\tau^i_{\pm} = -i\sigma^i/2$ des secteurs $\mathfrak{su}(2)_{\pm}$, satisfaisant $[\tau^i_{\pm}, \tau^j_{\pm}] = \epsilon^{ij}{}_k \tau^k_{\pm}$, tandis que $t(e)$ représente le vertex d'arrivée du lien e. Les cas limites $\gamma \to 0$ et $\gamma \to \infty$ sont intéressants car ils correspondent respectivement aux secteurs topologique et gravitationnel. Les moments conjugués aux holonomies sont :

$$J_f(t) = \gamma^{-1} \star B_f(t), \quad \text{et} \qquad J_f(t) = B_f(t). \tag{6.6}$$

Les deux structures symplectiques associées, remarquées dans [23], sont en un sens les structures symplectiques naturelles de $T^\star \mathrm{Spin}(4)$. Elles sont reliées par un « flip », provoqué par l'opérateur de dualité de Hodge : celui-ci change les crochets anti-self-duaux en leurs opposés (à un rescaling près par γ au voisinage de 0). Ainsi la non-unicité de la structure symplectique a la même origine que celle de l'existence de deux formes bilinéaires invariantes sur l'algèbre $\mathfrak{spin}(4)$, qui permet d'introduire le paramètre d'Immirzi dans l'action de Palatini-Hilbert, à savoir la décomposition $\mathfrak{spin}(4) = \mathfrak{su}(2) \oplus \mathfrak{su}(2)$. Comme pour former l'action de Holst, la bonne structure symplectique consiste à prendre une combinaison des deux situations particulières ci-dessus avec comme paramètre γ.

Les transformations de jauge changent les référentiels locaux des tétraèdres. Une transformation K agit par une famille d'éléments ($K_t \in \mathrm{Spin}(4)$) selon :

$$K \cdot G_{tt'} = K_t\, G_{tt'}\, K_{t'}^{-1}, \tag{6.7}$$

$$K \cdot B_f(t) = \mathrm{Ad}\big(K_t\big)\, B_f(t), \tag{6.8}$$

en notation matricielle, Ad étant l'adjointe (ici sur $\mathfrak{su}(2) \oplus \mathfrak{su}(2)$). L'invariance de jauge se traduit au niveau canonique par la contrainte de Gauß,

$$\sum_{f \subset \partial t} B_f(t) = 0, \tag{6.9}$$

qui génère via les crochets de Poisson les transformations linéarisées. Physiquement, cette contrainte n'est autre que la relation de fermeture du tétraèdre t !

Comme dans le continu, des choix de B_f ou des moments J_f quelconques ne peuvent décrire la géométrie de la triangulation, y compris celle d'un tétraèdre plat ! Autrement dit, nous souhaitons contraindre ces variables, avec comme objectif de retrouver deux types de configurations, et de comprendre en quoi elles diffèrent : l'espace des phases SU(2) de la LQG sur le graphe, et les géométries de Regge de la triangulation. Dans ce dernier cas, les variables B_f sont contraintes de manière à provenir de 4-vecteurs $E^I_\ell(t)$ décrivant la direction (dans l'espace interne) et la longueur des arêtes ℓ de la triangulation. Cela revient donc à obtenir une projection consistente de la cotétrade sur la triangulation 3d, de sorte que : $(\star B_f(t))^{IJ} = E^{[I}_{\ell_1} E^{J]}_{\ell_2}$, si ℓ_1, ℓ_2 sont deux arêtes du triangle dual à e (et les crochets indiquant l'antisymétrisation).

Les contraintes permettant cela peuvent se trouver directement au niveau discret [23] ou être tirées d'une discrétisation directe des contraintes de simplicité utilisées dans le formalisme hamiltonien (4.25),

$C^{ab} = \mathrm{Tr}(\star P^a\, P^b) = 0$. Lorsque ces contraintes sont discrétisées sur un unique triangle, elles donnent les contraintes *diagonales*, et sur deux triangles d'un même tétraèdre les contraintes dites *croisées* :

$$\text{Simplicité diagonale} \qquad \mathrm{Tr}\left(\star B_f(t)\, B_f(t)\right) = 0, \tag{6.10}$$

$$\text{Simplicité croisée} \qquad \mathrm{Tr}\left(\star B_f(t)\, B_{f'}(t)\right) = 0. \tag{6.11}$$

La résolution de ces contraintes souffre de la même ambiguité que dans le continu : des bivecteurs d'un tétraèdre les satisfaisant, ainsi que la relation de fermeture, s'écrivent [23] : $B_f^{IJ}(t) = \pm E_{\ell_1}^{[I}(t) E_{\ell_2}^{J]}(t)$ ou bien $B_f^{IJ}(t) = \pm\frac{1}{2}\epsilon^{IJ}{}_{KL} E_{\ell_1}^{[I}(t) E_{\ell_2}^{J]}(t)$, ce qui correspond à nouveau aux secteurs topologique et gravitationnel. Des bivecteurs de cette forme sont appelés des bivecteurs *simples*.

Mais ces contraintes qui permettent de reconstruire la géométrie de chaque tétraèdre ne sont pas suffisantes pour recoller ces derniers de manière consistente ! Cela peut paraître surprenant car les contraintes du continu fonctionnent très bien. En revanche, on sait que la stabilisation des contraintes de simplicité par le hamiltonien engendre des contraintes secondaires, de la forme $B\, B \star (D_A B) = 0$. On peut imaginer que des contraintes similaires vont permettre dans le discret d'assurer la géométricité (avant même de regarder la dynamique). C'est ce que montre Dittrich et Ryan [77], en complétant (6.10) et (6.11) par :

$$\mathrm{Tr}\left(\star B_f(t)\ \ \mathrm{Ad}\big(G_{tt'}\big)\, B_{f'}(t')\right) = 0. \tag{6.12}$$

Cette contrainte concerne des triangles f et f' ayant une arête commune et dans le bord de tétraèdres voisins t et t'. Notons que comme les contraintes secondaires de la théorie continue, celle-ci nécessite l'intervention de la connexion/transport parallèle, pour « transporter » le triangle f' dans le référentiel de t. Cette condition assure que tous les bivecteurs partageant une arête de la triangulation engendrent un sous-espace (de l'espace interne $\mathbb{R}^4$) de dimension 3 (au plus), du fait que tous ces bivecteurs doivent être orthogonaux à l'arête en commun. Ce type d'interprétation sera très utile pour les mousses de spins, section 13.1.

Pour étudier l'algèbre des contraintes et l'espace des phases réduit, i.e. des géométries simplicielles, en détails (ce que nous ne présenterons pas), les auteurs de [77] introduisent des variables scalaires, invariantes de jauge. Formons d'abord :

$$A_{\pm f} = |\vec{b}_{\pm f}|, \quad \text{et} \qquad \cos\phi_{\pm ff'} = \frac{\vec{b}_{\pm f}(t)\cdot\vec{b}_{\pm f'}(t)}{A_{\pm f}\, A_{\pm f'}}, \tag{6.13}$$

en utilisant la notation vectorielle sur $\mathfrak{su}(2) \simeq \mathbb{R}^3$. Les contraintes (6.10) et (6.11) se réécrivent exactement

$$A_{+f} - A_{-f} = 0, \quad \text{et} \qquad \cos\phi_{+ff'} - \cos\phi_{-ff'} = 0. \tag{6.14}$$

$A_{\pm f}$ et $\phi_{\pm ff'}$ s'interprètent alors comme les aires des triangles, et les angles dihédraux 3d entre les triangles f et f'. Pour prendre en compte les holonomies, on forme le produit scalaire entre les « normales » $\vec{N}_{\pm ff'}(t) = \vec{b}_{\pm f}(t) \wedge \vec{b}_{\pm f'}(t)$ (toujours avec la notation vectorielle, et le produit vectoriel) :

$$\cos\theta_{\pm t't''} = \frac{\vec{N}_{\pm ff'}(t')\cdot R(g_{\pm t't''})\vec{N}_{\pm f''f}(t'')}{\sqrt{\vec{N}^2_{\pm ff'}\,\vec{N}^2_{\pm f''f}}}, \tag{6.15}$$

où $R(g)$ est simplement la représentation vectorielle de SU(2). Les triangles f, f' (et f, f'') sont dans le tétraèdre t' (t''). Ces deux tétraèdres partagent le triangle f. A priori, cette quantité dépend du choix des triangles utilisés pour la calculer, mais ce n'est en fait pas le cas dans le secteur gravitationnel lorsque les contraintes sont satisfaites. La contrainte additionnelle (6.12) *implique, mais n'est pas équivalente à* :

$$\cos\theta_{+tt'} - \cos\theta_{-tt'} = 0, \tag{6.16}$$

La variable $\theta_{\pm tt'}$ s'interprète alors naturellement comme l'angle dihédral entre t et t' [77] (mais c'est à ce stade une variable indépendante des aires et des angles $\phi_{ff'}$).

Ainsi, nous sommes partis de l'espace des phases des holonomies-flux de Spin(4) sur un graphe, réexprimé avec les variables invariantes de jauge $A_{\pm f}, \phi_{\pm ff'}$ et $\theta_{\pm tt'}$. Alors les contraintes de simplicité réduisent cet espace à un seul secteur indépendant, disons le secteur self-dual. C'est précisément l'espace des phases, en variables scalaires, provenant des holonomies et flux de SU(2) sur le graphe. Autrement dit, nous arrivons au même espace des phases en partant de l'algèbre holonomies-flux de la théorie BF SU(2), celle qu'utilise la LQG non-réduite, tronquée par le graphe fixé. Avec ces variables, $b_f(t) \in \mathfrak{su}(2), g_{tt'} \in \mathrm{SU}(2)$, nous pouvons en effet former directement les aires A_f, angles 3d $\phi_{ff'}$, et angles 4d $\theta_{tt'}$.

La question est alors de savoir si tout le contenu des contraintes (6.12) a bien été pris en compte. Ce n'est pas le cas, même pour une triangulation de cinq tétraèdres formant le bord d'un 4-simplexe, comme on peut le voir par un simple argument de comptage ! On s'attend dans cette situation à un espace des phases correspondant aux géométries de Regge, formée de 20 variables, typiquement les longueurs des 10 arêtes et leurs moments conjugués. Avec les variables précédentes, nous avons 10 aires (pour les 10 triangles), 10 angles dihédraux 4d, ainsi que 10 angles dihédraux 3d indépendants. En effet, la géométrie d'un tétraèdre est déterminée par six variables, typiquement les 4 aires, et 2 angles dihédraux non-opposés (ce qui fait bien 10 angles 3d au bord du 4-simplexe). Cela fait donc 10 variables en trop ! L'idée principale est la même que dans la proposition de calcul de Regge en variables aires-angles 3d [78], exposée à la section 3. Considérons deux tétraèdres voisins. Les variables A_f et $\phi_{ff'}$ permettent de calculer toutes les longueurs dans chaque tétraèdre indépendamment, mais rien ne garantit qu'elles attribuent les mêmes longueurs aux trois arêtes du triangle en commun ! C'est en ce sens qu'on parlera de géométrie *tordue*, comme étant la géométrie codée par les holonomies-flux de SU(2) sur un graphe fixé. Ce type de géométrie correspond à une métrique plate par morceaux, comme en calcul de Regge, mais discontinue d'un tétraèdre à l'autre !

Pour passer d'une géométrie tordue à une géométrie simplicielle authentique, avec une métrique de Regge continue, des contraintes supplémentaires sont nécessaires, assurant que les triangles ont la même forme dans les deux tétraèdres voisins. Si l'on peut pour cela essayer de se ramener aux variables de longueurs, d'autres choix sont possibles. En particulier, dans [78], il est proposé de demander que les angles dihédraux 2d entre les arêtes des triangles, comme fonctions des angles 3d, prennent les mêmes valeurs quelque soit le tétraèdre utilisé pour le calcul. L'expression standard des angles 2d en fonction des angles 3d conduit à choisir 10 contraintes du type (3.8). Un autre choix, peut-être plus naturel, consiste à se dire que les contraintes de recollement recherchées doivent permettre de calculer toute la géométrie intrinsèque de manière consistente en fonction des longueurs, ou bien des aires [1], de sorte que l'on peut choisir des contraintes

$$\cos \phi_{ff'} = F_{ff'}(A), \tag{6.17}$$

qui expriment les angles 3d en termes des aires. Malheureusement, il n'existe pas de d'expressions explicites pour ces fonctions $F_{ff'}$. Elles sont par ailleurs *non-locales*, par opposition à (3.8) qui n'implique que les variables de deux tétraèdres voisins, et au sens où elles nécessitent a priori l'utilisation des 10 aires du 4-simplexe pour calculer chaque angle 3d.

Terminons cette section en mentionnant la structure des crochets de Dirac issus de la réduction par les contraintes de simplicité [77]. Comme en LQG dans la jauge « temps », les crochets entre la triade (ici les aires) et le moment conjugué, ici les angles dihédraux 4d, sont proportionnels au paramètre d'Immirzi,

$$\{A_f, \theta_{tt'}\} = \sqrt{2}\,\gamma\ \delta_{f,(tt')}, \tag{6.18}$$

La notation $\delta_{f,(tt')}$ signifie que les crochets sont nuls sauf si f est le triangle commun à t et t'. De plus, les aires commutent entre elles, de même que les angles 3d du fait des contraintes (6.17) qui

1. Une triangulation a génériquement plus de triangles que d'arêtes, car si chaque triangle a exactement trois arêtes, chaque arête est partagée par au moins triangles.

les expriment comme fonctions des aires. Quant aux crochets entre les angles 4d, ils nont pas été calculés explicitement, mais les auteurs de [77] conclut à leur annulation par un argument indirect. Un tel phénomène serait très intéressant à comparer avec l'approche Spin(4) covariante de l'analyse hamiltonienne, dans la théorie continue, dans laquelle la connexion ne commute plus avec elle-même pour les crochets de Dirac.

6.2 La contrainte de courbure nulle

Ainsi, nous disposons d'une étude détaillée de l'espace des phases des géométries discrètes de la LQG, au niveau cinématique. Et il nous faudrait maintenant des équivalents des contraintes vectorielles et scalaire, imposant l'invariance sous les difféomorphismes, et qui soient de première classe. Mais de telles contraintes ne sont pas connues et il n'est pas clair qu'elles existent ! A dire vrai, il manque une bonne compréhension des difféomorphismes sur les espace-temps discrets. C'est ce qui empêche de raisonner géométriquement pour construire la contrainte scalaire sur les réseaux de spins en LQG, et c'est également une difficulté pour comprendre quelle dynamique engendre les modèles de mousses de spins. Dans ce dernier cadre, de plus, le contrôle des symétries a un rôle crucial pour discuter la présence d'anomalies [55] et les divergences, associées aux bulles. Par exemple, dans le modèle topologique de Ponzano-Regge pour la gravité 3d, des divergences proviennent d'une symétrie de jauge au niveau discret, qui déplace les sommets de la triangulation, ce qui se comprend bien du fait que l'espace-temps est strictement plat. Cette symétrie peut être vue comme une discrétisation de la symétrie de jauge de translation (1.5) de la théorie BF continue [97], dont on sait qu'elle est équivalente aux difféomorphismes !

On pourrait tenter d'utiliser le calcul de Regge comme guide, à nouveau, mais aucune algèbre fermée n'est connue en calcul de Regge. Il semble même que les symétries de jauge soient génériquement brisées en calcul de Regge, comme le montre les travaux de Dittrich et ses collaborateurs [27, 29, 76](nous y reviendrons à la section suivante) ! Néanmoins, pour des solutions particulières des équations de Regge, on peut s'attendre à trouver une symétrie de jauge. Typiquement, une solution plate reste inchangée si on modifie les longueurs des arêtes autour d'un sommet en déplaçant celui-ci. La symétrie étant intuitive, il reste à trouver des contraintes associées à cette géométrie plate.

A partir de travaux similaires en 3d de Dittrich et Freidel (non parus), Dittrich et Ryan [77] proposent un ensemble de contraintes pour la courbure nulle applicable aux triangulations de la 3-sphère pouvant être vues comme le bord d'une triangulation 4d ne possédant pas de triangles internes. Pour voir l'idée principale, regardons simplement la triangulation de bord d'un unique 4-simplexe. On souhaite à partir des variables d'aires A_f et d'angles 4d $\theta_{tt'}$ construire un 4-simplexe *plat*. Un tel simplexe est bien connu, et construit en demandant que les angles $\theta_{tt'}$ soient bien les angles dihédraux $\vartheta_{tt'}(A)$ déterminés par les longueurs ou les aires,

$$\theta_{tt'} - \vartheta_{tt'}(A_f) = 0. \tag{6.19}$$

Pour comprendre les transformations engendrées par ces relations, les auteurs de [77] utilisent d'abord la contrainte de courbure nulle du modèle topologique, $G_\ell = \mathbb{1}$, pour les holonomies Spin(4) autour des arêtes. Ils construisent des combinaisons de cette contrainte dont les flots laissent les contraintes de simplicité invariantes sur l'espace des connexions plates. Ces combinaisons engendrent des déplacements des sommets de la triangulation, et sont de première classe pour les crochets de Dirac. Ensuite, ils montrent que (6.19) est formé de combinaisons invariantes de jauge de ces générateurs de transation des sommets.

Cela laisse envisager la possibilité d'un traitement complet de la dynamique des géométries plates, du classique au quantique, et du formalisme canonique pour les géométries de Regge au formalisme plus covariant des mousses de spins. Cela nous amènera à considérer des relations de récurrence sur les amplitudes de mousses de spins comme traduisant les symétries classiques au niveau quantique

dans les modèles topologiques, partie IV. Pour aller plus loin et voir vraiment, i.e. algébriquement, ces relations de récurrence comme des quantifications des contraintes géométriques (6.19), ce que nous allons faire pour la gravité 3d, nous avons besoin d'établir une correspondance directe entre les contraintes en variables scalaires, (6.19) et la contrainte de courbure nulle en variables covariantes (holonomies).

Pour initier un tel programme, nous simplifions les choses en regardant la théorie topologique en 3d, et nous présentons un résultat simple mais efficace (pas encore publié). Nous considérons une triangulation 2d de la surface canonique Σ. Le graphe dual est formé de faces duales aux sommets, de liens duaux aux arêtes, et de vertexes duaux aux triangles. Les holonomies g_e permettent le transport parallèle $SU(2)$ entre triangles adjacents, i.e. le long des liens duaux e. La courbure se concentre autour des sommets de la triangulation, et est codée par l'holonomie $g_f = \prod_{e\subset f} g_e$ le long du bord de la face duale f. La 1-forme e^i_a, (4.16), se discrétise en un vecteur $\vec{l}_e(v)$ sur les arêtes, dans le référentiel d'un triangle dual au vertex v, qui décrit la direction de l'arête dans $\mathbb{R}^3$, et dont la norme est la longueur de l'arête l_e. La relation de fermeture des triangles s'écrit :

$$\vec{l}_{e_1}(v) + \vec{l}_{e_2}(v) + \vec{l}_{e_3}(v) \;=\; 0, \tag{6.20}$$

pour les trois liens attachés au vertex v (et à des signes d'orientation près). La structure symplectique est celle du fibré cotangent $T^*\,\mathrm{SU}(2)$ sur chaque lien, pour laquelle la relation de fermeture est la contrainte de Gauß. Il faut bien sûr relier les directions d'une même arête vue dans les référentiels de triangles voisins. C'est le rôle du transport parallèle :

$$\vec{l}_e(v) \;=\; R(g_e)\,\vec{l}_e(v'), \tag{6.21}$$

si le lien e va du vertex v' à v. $R(g)$ désigne la reprsentation vectorielle de SU(2) (qui se confond avec l'adjointe en regardant les vecteurs $\vec{l}$ dans l'algèbre $\mathfrak{su}(2)$). Il n'y a bien sûr pas de contraintes de seconde classe (type simplicité) en 3d. La contrainte de courbure nulle (hamiltonienne) est :

$$g_f = \prod_{e\subset f} g_e = \mathbb{1}. \tag{6.22}$$

Elle est de première classe : elle engendre des translations des sommets de la triangulation dans $\mathbb{R}^3$.

Nous souhaitons réexprimer cette contrainte en termes de variables géométriques à la Regge. Pour cela, nous allons introduire une paramétrisation particulière, qui sera aussi utilisée dans les mousses de spins (et qui décrit bien les géométries tordues en 4d, voir [100, 156]). Techniquement, l'idée est de trouver un cadre intermédiaire entre les variables $(g_e, \vec{l}_e)$ et les variables scalaires invariantes de jauge, en « rentrant » ces dernières dans des éléments de groupe. On distingue explicitement les normes des directions des vecteurs $\vec{l}_e(v)$. Soit $n_{ev} \in \mathrm{SU}(2)$ une rotation qui envoie l'axe de référence $\hat{z} = (0,0,1)$ de $\mathbb{R}^3$ sur la direction de $\vec{l}_e$,

$$\vec{l}_e(v) \;=\; l_e\; R(n_{ev})\,\hat{z}. \tag{6.23}$$

On voit bien que seuls deux des trois paramètres de n_{ev} sont définis par $\vec{l}_e(v)$: n_{ev} n'est définie qu'à une rotation près autour de $\hat{z}$. Dans la paramétrisation d'Euler, $n = e^{-\frac{i}{2}\alpha\sigma_z}\, e^{-\frac{i}{2}\beta\sigma_y}\, e^{-\frac{i}{2}\gamma\sigma_z}$, l'angle γ n'est pas physique. Il faudra donc prendre soin de cette ambiguité. En particulier, la relation de transport parallèle (6.21) peut se réécrire en utilisant les rotations n_{ev} au prix de l'introduction d'angles supplémentaires ξ_e,

$$n_{ev} \;=\; g_e\, n_{ev'}\, e^{\frac{i}{2}\xi_e\sigma_z}. \tag{6.24}$$

Autrement dit, la résolution des équations de transport parallèle pour les holonomies en fonction des vecteurs $\vec{l}_e(v), \vec{l}_e(v')$ laisse un degré de liberté, ξ_e :

$$g_e \;=\; n_{ev}\, e^{-\frac{i}{2}\xi_e\sigma_z}\, n^{-1}_{ev'}. \tag{6.25}$$

Ce formalisme sera plus largement développé aux sections 13.4 et 17, en 4d. Avant d'injecter ces expressions des holonomies dans la contrainte (6.22), regardons les variables scalaires desquelles nous aimerions nous rapprocher.

Les variables invariantes de jauge SU(2) sont les longueurs l_e, et leur moment conjugué θ_e, construit comme en (6.15) : on forme une normale au triangle (dual à v) par le produit vectoriel des deux arêtes, $\vec{N}_{ee'}(v) = \vec{l}_e(v) \wedge \vec{l}_{e'}(v)$. L'angle θ_e est donné par le produit scalaire des normales à deux triangles voisins, mais pour comparer ces normales, il faut en transporter une dans le référentiel de l'autre triangle,

$$\cos\theta_e = -\frac{\vec{N}_{ee'}(v') \cdot R(g_e)\,\vec{N}_{ee''}(v'')}{\sqrt{\vec{N}^2_{ee'}\,\vec{N}^2_{ee''}}}. \tag{6.26}$$

Ici e est le lien joignant les vertexes v' et v''. Ces moments ne sont pas fixés par les longueurs : ils dépendent des holonomies. Les angles dihédraux 2d, entre arêtes d'un triangle, en revanche, sont complètement déterminés par les longueurs via la relation de fermeture,

$$\cos\phi^v_{ee'} \;=\; -\epsilon_{ee'}\,\frac{\vec{l}_e(v)\cdot\vec{l}_{e'}(v)}{l_e\,l_{e'}}. \tag{6.27}$$

Le signe $\epsilon_{ee'} = \pm 1$ est positif si les liens duaux e, e' sont tous deux entrants ou sortant du vertex v, et négatif sinon. A ce stade, remarquons que les rotations n_{ev} qui codent les directions des arêtes fournissent une expression très simple des angles 2d,

$$\cos\phi^v_{ee'} \;=\; -\epsilon_{ee'}\;\langle 1,0|n^{-1}_{ev}\,n_{e'v}|1,0\rangle, \tag{6.28}$$

via la représentation de spin 1, dans l'état $|1,0\rangle$ invariant sous le sous-groupe U(1) selon $\hat{z}$. Ainsi, si les rotations n_{ev} ne sont bien sûr pas déterminées par les longueurs, l'angle β d'Euler dans la décomposition des produits $n^{-1}_{ev}\,n_{e'v}$ l'est. Nous écrivons :

$$n^{-1}_{ev}\,n_{e'v} = e^{-\frac{i}{2}\alpha^v_{ee'}\sigma_z}\,e^{-\frac{i}{2}\phi^v_{ee'}\sigma_z}\,e^{-\frac{i}{2}\gamma^v_{ee'}\sigma_z}, \tag{6.29}$$

ce qui définit les angles $\alpha^v_{ee'}$ et $\gamma^e_{ee'}$. Une question est de savoir comment ces angles, et les angles ξ_e, interviennent dans les quantités physiques. Nous allons présenter une réponse.

Nous regardons maintenant la contrainte de courbure nulle en fonction de ces variables pour en dégager une interprétation (de la contrainte et des variables à la fois !). On ne s'attend bien sûr pas à ce que cette contrainte impose une courbure nulle sur la triangulation 2d, mais plutôt qu'elle nous donne des relations entre courbures intrinsèque et extrinsèque. Concentrons-nous sur une face duale triangulaire, i.e. que trois triangles se rencontrent deux à deux le long d'arêtes, et tous les trois autour d'un sommet. Notons les rotations n_{ev} aux deux extrémités d'un lien n_e et $\widetilde{n}_e$. Nous avons alors selon la figure 6.1 :

$$n_1\,e^{-\frac{i}{2}\xi_1\sigma_z}\,\widetilde{n}^{-1}_1\,n_2\,e^{-\frac{i}{2}\xi_2\sigma_z}\,\widetilde{n}^{-1}_2\,n_3\,e^{-\frac{i}{2}\xi_3\sigma_z}\,\widetilde{n}^{-1}_3 \;=\; \mathbb{1}. \tag{6.30}$$

Nous réécrivons cela comme :

$$e^{\frac{i}{2}\xi_1\sigma_z}\,\widetilde{n}^{-1}_1\,n_2\,e^{\frac{i}{2}\xi_2\sigma_z} \;=\; \big(n^{-1}_1\widetilde{n}_3\big)\,e^{\frac{i}{2}\xi_3\sigma_z}\,\big(n^{-1}_3\widetilde{n}_2\big). \tag{6.31}$$

Il suffit alors de projeter cette équation sur lélément de matrice diagonal dans l'état $|1,0\rangle$, et d'utiliser explicitement la représentation de spin 1 (voire appendice, A) pour aboutir à :

$$\cos\phi_{12} = \cos\phi_{23}\cos\phi_{31} - \sin\phi_{23}\sin\phi_{31}\,\cos\big(\xi_3 + \alpha_{31} + \gamma_{23}\big). \tag{6.32}$$

Pour des triangles non-dégénérés, on peut alors extraire l'angle $(\xi_3 + \alpha_{31} + \gamma_{23})$. La surprise est que cela produit la forme de la relation donnant les angles dihédraux 3d en fonction des angles dihédraux

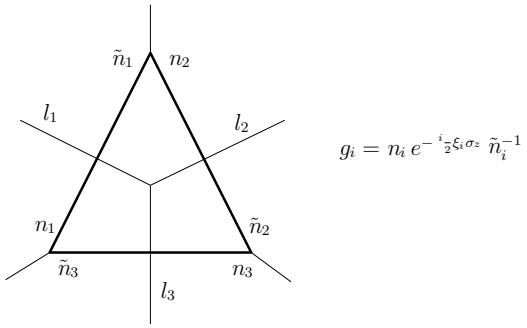

FIGURE 6.1 – Un bout de triangulation 2d et de la décomposition duale. Les trois arêtes se rencontrant au centre font partie de la triangulation, et ont des longueurs l_1, l_2, l_3. En gras sont dessinés les liens duaux qui portent des holonomies faisant le lien entre les référentiels de différents triangles. Comme on le voit, un sommet de la triangulation est dual à une 2-cellule, ici triangulaire car le sommet est trivalent. La contrainte de courbure nulle s'applique ainsi à cette plaquette. Les variables n_e et $\tilde{n}_e$ sont attachées aux extrémités des liens duaux et codent la direction des arêtes dans les différents référentiels. Elles peuvent aussi paramétrer les holonomies selon la formule donnée à droite.

2d ! De plus, on sait que les angles $\phi_{ee'}$ sont vraiment les angles 2d, c'est-à-dire fonctions des longueurs grâce à la relation de fermeture. De la sorte, nous voyons que cette contrainte impose à la combinaison $(\xi_3 + \alpha_{31} + \gamma_{23})$ d'être l'angle dihédral entre les triangles duaux aux vertexes v_{23} et v_{31} (cette paire de triangles est caractérisée par l'arête qu'ils partagent, duale au lien e_3), déterminé par les longueurs ! Explicitement :

$$\cos\big(\xi_3 + \alpha_{31} + \gamma_{23}\big) = -\frac{\cos\phi_{12} - \cos\phi_{23}\,\cos\phi_{31}}{\sin\phi_{23}\,\sin\phi_{31}} = -\cos\vartheta_3(l). \tag{6.33}$$

Ainsi, la contrainte des géométries plates imposent une relation entre la courbure intrinsèque, donnée par les angles $\phi_{ee'}$, et la courbure extrinsèque, codée par les angles dihédraux 3d : ces derniers sont déterminés par les premiers, selon la formule permettant de former des 3-simplexes plats (des tétraèdres, voir plus bas). Cela confirme donc l'idée de la contrainte (6.19) (en 4d) pour les géométries plates, en termes des variables scalaires, tout en suggérant une forme légèrement différente, avec les cosinus :

$$\cos\theta_e \;-\; \cos\vartheta_e(l) \;=\; 0. \tag{6.34}$$

Il faudrait alors étudier ces contraintes plus précisément (comme cela a apparemment été fait par Dittrich et Freidel dans des travaux encore non parus).

Ce résultat nous permet de discuter l'influence de la triangulation d'une façon plus géométrique que dans [135], dans un modèle topologique certes. Cette question en contient en fait deux : le choix de la triangulation de la surface canonique, et si celle-ci est un bord, le choix de la triangulation à l'intérieur. Pour le premier point, nous pouvons voir dans le modèle en gravité 3d qu'en fait les contraintes (6.34) permettent d'effectuer pour une face duale triangulaire un mouvement de Pachner 3-1 ! En effet, ce mouvement consiste à changer un morceau d'une triangulation 2d pour obtenir une triangulation de la même variété topologique, en transformant trois triangles autour d'un sommet en un seul triangle, dont les arêtes sont celles des triangles initiaux non-connectées au sommet éliminé. A un tel sommet, nous avons vu que les angles dihédraux de la courbure extrinsèque se calculent, via la contrainte de courbure nulle, comme les angles dihédraux d'un tétraèdre plat en fonction des longueurs. Pour visualiser le tétraèdre correspondant, il suffit de considérer les trois triangles initiaux, formant

le « haut » du tétraèdre et d'y ajouter une « base » : un triangle formé des trois arêtes des triangles initiaux ne touchant pas le sommet. Alors, on ne change clairement pas la géométrie et la physique en éliminant les trois triangles et le sommet qui les attache, et en considérant à la place le triangle formant la base du tétraèdre plat. On s'attend de la même façon à pouvoir faire des mouvements de Pachner 2-2 en transformant des deux triangles voisins. De plus amples recherches sur le sujet sont en cours.

Revenons à une surface canonique telle que la 3-sphère, comme dans [77]. Se pose alors la question du changement de la triangulation intérieure. Du point de vue des variables scalaires, combien de solutions aux équations de Regge y a-t-il pour des longueurs fixées au bord, et comment se comporte les solutions dans les changements de triangulations ? On peut typiquement effectué un mouvement de Pachner 1-5 (en 4d), divisant un 4-simplexe (plat) en cinq 4-simplexes. Une solution est bien sûr la solution plate, mais il est possible que des solutions avec courbure existent.

Les modèles topologiques, comme celui présenté ci-dessus sont des terrains intéressants pour élaborer des méthodes en vue d'illustrer ces questions et pour étudier des dynamiques simplifiées. Il s'agit bien sûr de situations particulières : dire que le modèle est topologique, c'est dire qu'il ne dépend que de la topologie de la variété, et est donc invariant sous les changements de la triangulation. Cette symétrie est bien sûr le coeur de ces modèles. Mais en faisant le lien avec les variables géométriques du calcul de Regge, nous pouvons espérer aller plus loin. A l'heure actuelle, nous pouvons présenter différents résultats, partie IV sur le modèle de gravité 3d. En ce qui concerne l'invariance de la triangulation intérieure, nous verrons que le mouvement de Pachner 2-3 (transformant deux tétraèdres en trois) se traduit par une relation de récurrence qui s'interprète directement comme une quantification des contraintes (6.34) ! De plus, le mouvement de Pachner 1-4 est généré par l'action des modes de Fourier SU(2) de la contrainte (6.22) sur un réseau de spins associé à un tétraèdre. En prenant le point de vue du bord, nous pourrons généraliser cela en écrivant des relations de récurrence exactes sur les amplitudes correspondant à des évolutions sous des mouvements « tente ». Avant cela, nous allons présenter ces mouvements « tente » et montrer comment ils permettent de définir une formulation canonique du calcul de Regge !

6.3 Contraintes hamiltoniennes en calcul de Regge

Je présente ici, de manière succinte quelques éléments du travail de Bahr et Dittrich, [27], dont le but est d'étudier les symétries du calcul de Regge, avec en toile de fond la recherche de la symétrie sous les difféomorphismes au niveau discret. Un point que nous retrouverons dans la suite est l'évolution de la surface canonique triangulée sous des transformations appelées « mouvement tente ». Ces mouvements définissent un formalisme hamiltonien qui reproduit exactement la dynamique de l'action. Les auteurs argumentent pour montrer que le problème bien connu de trouver une algèbre des contraintes fermée et consistente dans les théories de gravité discrète revient à trouver une action bénéficiant d'une notion d'invariance exacte sous les difféomorphismes. Plus concrètement, il est montré qu'une solution des équations de Regge impliquant de la courbure ne jouit généralement pas de symétries exactes. Dans le formalisme hamiltonien, cela signifie qu'il n'existe pas de contraintes, mais plutôt des pseudo-contraintes !

Les mouvements de type tente, introduits par Sorkin, permettent de définir une évolution *locale et en temps discret* d'une hypersurface triangulée, dont l'un des aspects est que les triangulations générées sont identiques à celles de départ. Ainsi, le nombre de variables canoniques est inchangé, ce qui représente un avantage par rapport à d'autres outils autorisant ce type d'évolution en temps discret comme les mouvements de Pachner. Considérons donc une triangulation $\Delta_{(d-1)}$, $(d-1)$-dimensionnelle. Nous allons décrire un mouvement élémentaire, i.e. n'agissant que sur un seul sommet de $\Delta_{(d-1)}$, disons s de valence n. Les mouvements tente sont locaux au sens où ils agissent de manière indépendante sur chaque vertex de la triangulation, ou plutôt sur l'étoile autour d'un vertex, i.e. ici

l'ensemble des arêtes se rencontrant en s. Ajoutons alors un vertex s^* (dans le « futur » de s), que l'on connecte à s. Cette arête est le « pole » de la tente. Si les $(s_i), i = 1, \ldots, n$, sont les sommets de $\Delta_{(d-1)}$ connectés à s, on les relie maintenant à s^*. Nous avons alors une nouvelle triangulation $\Delta^*_{(d-1)}$, dont les simplexes sont obtenus à partir de ceux de $\Delta_{(d-1)}$ en remplaçant s par s^*.

Pour écrire des équations d'évolution, décrivant la dynamique entre les deux hypersurfaces, il faut considérer le morceau de triangulation d-dimensionnelle, collé entre $\Delta_{(d-1)}$ et $\Delta^*_{(d-1)}$, dont les d-simplexes s'obtiennent à partir des $(d-1)$-simplexes de $\Delta_{(d-1)}$ contenant s par l'ajout du sommet s^* et des arêtes adéquates (si $ss_{i_1} \cdots s_{i_{d-2}}$ est un $(d-1)$-simplexe de $\Delta_{(d-1)}$, alors $ss^*s_{i_1} \cdots s_{i_{d-2}}$ est un d-simplexe). Notons également que cette transformation de $\Delta_{(d-1)}$ peut s'effectuer par des combinaisons de mouvements de Pachner.

On peut procéder ainsi sur les sommets de notre choix pour créer des morceaux de plus en plus larges de triangulations d-dimensionnelle. Le choix des sommets utilisés peut s'interpréter comme le choix d'un « lapse » discrétisé. L'évolution de $\Delta_{(d-1)}$ se décompose en temps discret, par un certain nombre de ces étapes élémentaires. Cette décomposition permet d'étudier un nombre réduit d'équations à chaque étape, par opposition à un schéma d'évolution qui ferait évoluer l'hypersurface en une seule fois. Si T est un morceau de triangulation d-dimensionnelle, la dynamique est gérée par l'action de Regge correspondante, fonction des longueurs des arêtes, avec termes de bord,

$$S_{\mathrm{R}} = -\sum_{f \subset \mathrm{int} T} A_f(l_e)\ \varepsilon_f(l_e) - \sum_{f \subset \partial T} A_f(l_e)\ \psi_f^T(l_e) + \Lambda \sum_v V_v. \tag{6.35}$$

Les angles de déficit autour des $(d-2)$-simplexes, notés f, de l'intérieur et du bord sont respectivement :

$$\varepsilon_f(l_e) = \big(2\pi - \sum_{v \supset f} \vartheta_{fv}(l_e)\big), \qquad \text{et} \qquad \psi_f^T(l_e) = \big(\pi - \sum_{v \supset f} \vartheta_{fv}(l_e)\big), \tag{6.36}$$

tandis que A_f désigne le volume de ces $(d-2)$-simplexes, V_v le d-volume des d-simplexes, et Λ la constante cosmologique.

Imaginons donc une série de mouvements tente à partir d'un sommet s et appliqués successivement au sommet s^n généré à l'issue de la n-ième étape. Notons s_i les sommets auxquels s est initialement relié, l_i^n les longueurs des arêtes $(s^n s_i)$, et t^n la longueur du pole $(s^n s^{n+1})$. Soit S_n l'action de Regge pour la d-triangulation créée autour du pole $(s^n s^{n+1})$, délimitée par les arêtes $(s_i s_j)$ (non-dynamiques), $(s^n s_i)$ et $(s^{n+1} s_i)$. On introduit des « moments » qui vont permettrent de donner une vision canonique des équations de Regge,

$$p_i^n = -\frac{\partial S_n}{\partial l_i^n}, \tag{6.37}$$

$$\widetilde{p}_i^n = \frac{\partial S_n}{\partial l_i^{n+1}}, \tag{6.38}$$

$$p_t^n = -\frac{\partial S_n}{\partial t^n}. \tag{6.39}$$

L'équation du mouvement obtenue par variation de l'action par rapport à la longueur du pole donne bien sûr :

$$p_t^n = 0. \tag{6.40}$$

Par ailleurs, en effectuant deux mouvements consécutifs, nous obtenons deux moments pour les longueurs l_i^{n+1}. Mais les équations de Regge correspondantes donnent tout juste :

$$\widetilde{p}_i^n = p_i^{n+1}, \tag{6.41}$$

de sorte qu'il y a bien un moment par longueur. Cette réécriture permet de construire des solutions des équations avec courbure, dans le langage des mouvements tente, pour des triangulations ayant des

sommets internes. L'idée est de partir avec des données initiales l_i^1, l_i^2 et d'utiliser l'équation $p_t^n = 0$ pour obtenir une solution pour la longueur du pole t^1. Par suite, cela détermine les moments p_i^2. On a ainsi un jeu complet de données canoniques initiales, qui permettent de faire un deuxième mouvement tente, et de trouver des solutions pour l_i^3, t^2.

Les symétries d'une solution sont codées dans les valeurs propres nulles de la matrice hessienne de l'action évaluée sur cette solution. Les auteurs de [27] construisent d'abord une solution plate, qui possèdent naturellement des valeurs propres nulles : celles-ci correspondent aux degrés de liberté de lapse et shift, i.e. la possibilité de déplacer le vertex interne v^1 sans changer les données de bord ni le fait que la géométrie est plate. Puis, les auteurs s'intéressent à des solutions avec courbure « proches » de la géométrie plate. La question est bien sûr de savoir si la symétrie de cette dernière persiste, ou bien si elle est brisée (même faiblement) par la courbure. Il est alors montré que celle-ci est généralement brisée.

En suivant [27], il est intéressant de regarder le cas 3d. Le modèle est alors strictement plat lorsque la constante cosmologique Λ est nulle. On peut donc utiliser celle-ci pour créer des solutions de courbure homogène faible, de facçon à observer voire contrôler la brisure de la symétrie de la solution plate. Dans ce cas, les $(d-2)$-simplexes sont simplement les arêtes, et les équations précédentes prennent une forme assez simples :

$$p_i^n = \psi_i^{n+} - \Lambda \frac{\partial V_n}{\partial l_i^n}, \tag{6.42}$$

$$p_i^{n+1} = -\psi_i^{(n+1)-} + \Lambda \frac{\partial V_n}{\partial l_i^{n+1}}, \tag{6.43}$$

$$p_t^n = \varepsilon_t^n - \Lambda \frac{\partial V_n}{\partial t^n} = 0. \tag{6.44}$$

Ici, ψ_i^{n+} est l'angle dihédral autour de l'arête $(s^n s_i)$ dans le morceau de triangulation entre les étapes n et $(n+1)$, et $\psi_i^{(n+1)-}$ l'angle dihédral autour de $(s^{n+1} s_i)$ dans cette même triangulation dont le 3-volume est V_n.

Cosidérons pour simplifier que s^n est trivalent, et regardons d'abord le cas $\Lambda = 0$. Alors, on peut facilement construire une solution, plate, par des considérations géométriques : t^n est la longueur entre les sommets de deux toits de pyramides ayant la même base triangulaire – celle qui serait formée par les trois arêtes $(s_i s_j)$ de longueur l_{ij}. Cette solution permet de réexprimer p_i^n de manière simple :

$$p_i^n = -\pi + \vartheta_{s^n s_i}(l_i^n, l_{ij}), \tag{6.45}$$

où $\vartheta_{s^n s_i}$ est l'angle dihédral en $(s^n s_i)$ pour un tétraèdre (plat) constitué par les quatre sommets s^n et (s_i), $i = 1, 2, 3$. Autrement dit, il n'y a pas de dépendance en les longueurs l_i^{n+1}, et on aboutit à des relations n'impliquant que les longueurs et les moments de la triangulation 2d au temps n, i.e. une contrainte ! Le lecteur des sections précédentes aura bien sûr remarquer qu'il s'agit de la contrainte que l'on avait déjà proposée et dérivée à la section précédente !

Mais ce formalisme permet d'aller un peu plus loin que dans les sections précédentes, en introduisant un peu de courbure via $\Lambda \neq 0$. On peut alors chercher une solution de $p_t^n = 0$ pour t^n, perturbativement en Λ autour de la solution plate. Les auteurs de [27] montrent que la contrainte dérivée dans le cas plat est affectée de sorte que la dépendance en les longueurs l_i^{n+1} ne disparaît plus. Ainsi, la nouvelle relation fait intervenir les données canoniques des deux hypersurfaces consécutives, aux temps n et $(n+1)$, traduisant une dépendance en le lapse et le shift ! On peut donc former une « pseudo-contrainte », i.e. en fait une équation du mouvement, du type

$$p_i^n - p_i^n(l_j^n, l_j^{n+1}) = 0. \tag{6.46}$$

En fait, on sait que la gravité 3d avec constante cosmologique est topologique, car il existe une transformation de jauge exacte qui généralise (1.5) au cas $\Lambda \neq 0$. L'intuition physique est naturellement

que comme dans le cas plat, une courbure homogène ne propage pas de degré de liberté locaux. Ainsi, on peut comprendre que les contraintes de l'analyse en mouvement tente, qui ne font que traduire les symétries de l'action autour de certaines solutions, sont brisées par la constante cosmologique car l'action de Regge utilisée n'est pas adaptée à la physique de la courbure homogène. Ceci vient du fait que la discrétisation de Regge utilise comme blocs élémentaires des tétraèdres plats, plutôt adaptés aux solutions plates. Mais pour les solutions avec courbure, il est clair que l'on ne peut plus déplacer les sommets de ces tétraèdres plats sans changer la physique. Dans une telle situation, il est en fait beaucoup plus naturel de discrétiser la théorie sur des simplexes ayant eux-mêmes la courbure homogène Λ ! De cette façon la courbure n'est plus codée dans un collage spécial de simplexes plats, mais dans les blocs élémentaires eux-mêmes. Et il est clair qu'une telle formulation autorise à déplacer les sommets de la triangulation, comme dans le cas plat, traduisant une symétrie de jauge retrouvée.

On doit donc considérer des tétraèdres bénéficiant de la courbure homogène de l'espace que l'on veut décrire. Les équations des mouvements tente (pour des sommets trivalents) permettent de former d'authentiques contraintes :

$$p_i^n = -\pi + \vartheta^{(\Lambda)}_{s^n s_i}(l_i^n, l_{ij}), \tag{6.47}$$

où l'angle dihédral $\vartheta^{(\Lambda)}_{s^n s_i}$ est maintenant calculé pour un tétraèdre à la géométrie courbe homogène. Il est possible de développer cette expression en puissance de Λ, pour obtenir des contraintes tronquées à un ordre souhaité. Par exemple, au premier ordre en Λ,

$$p_i^n = -\pi + \vartheta_{s^n s_i}(l_i^n, l_{ij}) + \Lambda \frac{\partial V}{\partial l_i^n} + \mathcal{O}(\Lambda^2), \tag{6.48}$$

V étant le volume du tétraèdre.

Ainsi, nous voyons qu'il est possible en gravité discrète d'identifier des symétries de jauge, et de les décrire par des contraintes sur des variables canoniques, mêmes pour des géométries courbes. La présence de ces symétries est en fait intimement liée au choix de l'action discrète. Ce point de vue a été affiné dans [29], pour répondre à la question : comment construire une action ayant les symétries recherchées à partir d'une discrétisation naïve ? L'idée est de mettre en place un processus de « coarse-graining »classique. On considère une triangulation initiale Δ_1, dont les arêtes sont notées E, et formée de blocs de simplexes d'une subdivision Δ_2 de celle-ci, dont les arêtes sont notées e. A partir de l'action de Regge standard, pour des simplexes plats, sur la triangulation plus fine, on peut former une action dite *améliorée* pour l'autre triangulation. L'idée est de fixer les longueurs L_E et de résoudre les équations du mouvement pour une géométrie courbe homogène sur Δ_2, déterminée par Λ, pour les longueurs l_e, avec la contrainte $\sum_{e\subset E} l_e = L_E$. L'action améliorée est alors

$$S_{\Delta_2}(L_E) = S_{\Delta_1}(l_e^*)_{|\sum_{e\subset E} l_e^* = L_E}, \tag{6.49}$$

pour des longueurs l_e^* décrivant une courbure homogène Λ sur Δ_2. Autrement dit, elle prend en compte la dynamique de la triangulation plus fine. En répétant le processus un grand nombre de fois, on comprend que les simplexes de Δ_1 voit leur géométrie interne peu à peu courbée par la résolution des équations de Regge pour $\Lambda \neq 0$. Dans cette limite, on construit alors l'action de Regge pour des simplexes ayant la courbure homogène voulue ! Je renvoie naturellement à [29] pour une discussion plus complète du procédé.

Troisième partie

Les mousses de spins : introduction et premiers calculs

Chapitre 7

Les mousses de spins

7.1 Dynamique des réseaux de spins

Nous avons décrit, en termes de réseaux de spins, un espace de Hilbert s'interprétant comme $L^2(\mathcal{A}/\mathcal{G})$. Celui-ci est formé des états « cinématiques », fonctionnelles de la connexion (généralisée) et invariants de jauge, pour une théorie de jauge background independent, bien adaptés à l'invariance sous les difféomorphismes. La dynamique de ces états est ensuite gérée par le hamiltonien, spécifique à la théorie considérée.En particulier, en relativité générale, si l'invariance sous les 3-difféomorphismes de la surface canonique est maîtrisée, la contrainte scalaire, formant la dernière partie du hamiltonien, reste mystérieuse en gravité quantique à boucles. Et c'est précisément pour contourner et surmonter les obstacles de la quantification canonique que se sont développés les modèles de mousses de spins pour la gravité quantique, depuis une dizaine d'années (la première proposition étant le modèle BC, [37]), l'idée étant de passer à une représentation de type intégrales de chemins sur les géométries de l'espace-temps. Cette interprétation géométrique (comme intégrales de chemins) est un résultat essentiel et subtil, qui permet de distinguer les modèles topologiques des autres, et qu'il convient d'analyser en détails.

L'un des principaux objectifs de la théorie quantique est de parvenir au calcul d'amplitudes (puis de probabilité) de transition entre différents états quantiques. En mécanique quantique, cela revient à connaître les éléments de matrices de l'opérateur d'évolution. En théorie quantique des champs standard, il faut calculer les éléments de la matrice S de diffusion entre états « in » et « out ». Ces calculs se font typiquement par un développement en diagrammes de Feynman. Dans ce cadre, les états de Fock sont particulaires, ce sont des excitations de dimension 0, et les diagrammes de Feynman qui représentent des transitions entre ces excitations sont des graphes. Ici, nos états de base sont des excitations portées par des graphes. On s'attend donc à ce que les transitions entre états de réseaux de spins prennent la forme de surfaces reliant les graphes considérés !

On peut voir cela qualitativement de la manière suivante. Imaginons que l'on souhaite imposer une contrainte $H(x) = 0$ et que l'opérateur correspondant soit bien défini sur les réseaux de spins. Dans une théorie où le hamiltonien est une contrainte de première classe, comme dans BF ou la relativité générale, l'opérateur d'évolution est remplacé par un opérateur de projection sur le sous-espace de Hilbert (ou un sous-espace du dual) satisfaisant la contrainte au niveau quantique :

$$P = \prod_x \delta(\hat{H}(x)) = \int DN \; e^{i \int_\Sigma N(x)\hat{H}(x)dx}. \tag{7.1}$$

Ici N est un multiplicateur de Lagrange – typiquement le lapse N et le shift $\vec{N}$ en relativité générale. L'amplitude de transition entre deux états cinématiques s, s' est alors donnée par l'élément de matrice

de P entre s et s',

$$\langle s|P|s'\rangle = \langle s\,|s'\rangle_{\text{phys}}. \tag{7.2}$$

Cette quantité est appelée le *produit scalaire physique* entre les états cinématiques. Développons (au moins formellement) le projecteur selon :

$$\langle s\,|s'\rangle_{\text{phys}} = \sum_{n\geq 0} \frac{1}{n!} \int DN\ \langle s| \left(\int_\Sigma N(x)\,\hat{H}(x)\,dx \right)^n |s'\rangle. \tag{7.3}$$

Pour un terme de cette somme à n fixé, nous pouvons introduire dans le produit scalaire cinématique une résolution de l'identité, typiquement dans la base des réseaux de spins, écrite formellement comme :

$$\text{id}_{\mathcal{H}_{\text{kin}}} = \sum_{\Gamma,c} |s^c_\Gamma\rangle\ \langle s^c_\Gamma|, \tag{7.4}$$

entre chacune des n actions de l'opérateur hamiltonien. Pour simplifier la notation, écrivons $\int_\Sigma N(x)\hat{H}(x)dx = NH$. Il vient

$$\langle s\,|s'\rangle_{\text{phys}} = \sum_{n\geq 0} \frac{1}{n!} \sum_{\substack{\Gamma_1,\ldots,\Gamma_{n-1}\\ c_1,\ldots,c_{n-1}}} \int DN\ \langle s|NH|s^{c_{n-1}}_{\Gamma_{n-1}}\rangle\ \cdots\ \langle s^{c_2}_{\Gamma_2}|NH|s^{c_1}_{\Gamma_1}\rangle\ \langle s^{c_1}_{\Gamma_1}|NH|s'\rangle. \tag{7.5}$$

Imaginons que NH envoie un réseau de spins sur une combinaison linéaire de réseaux de spins en modifiant le graphe initial par l'ajout de noeuds et de liens coloriés en nombre fini. Par définition du produit scalaire cinématique, sur $L^2(\mathcal{A}/\mathcal{G})$, l'élément $\langle s_j|NH|s_i\rangle$ est non nul uniquement si le graphe du réseau $|s_j\rangle$ est le même que celui de $NH|s_i\rangle$. Ainsi, en regardant une famille de réseaux (s_j), à n fixé, telle que les amplitudes sont non-nulles, nous avons en fait déplié la transition de s à s' en mettant en évidence une « histoire », ou une série d'évolutions élémentaires transformant s en s'. Cela se visualise par un 2-complexe cellulaire reliant les graphes de s et s'. Dans cette évolution, les arêtes de s donnent naissance à des faces, i.e. des 2-cellules, et les noeuds du graphe évoluent en des liens, i.e. les 1-cellules du 2-complexe. Si l'on prend une tranche de ce 2-complexe, on trouve précisément un des réseaux de spins intermédiaires. Ainsi, le complexe hérite sur ces faces des représentations de G coloriant les liens des graphes, et sur ces liens des entrelaceurs des graphes. Quant aux vertexes du 2-complexe, ils sont le lieu des évolutions des graphes et coloriages des réseaux de spins !

On appelle ces 2-complexes, dont les coloriages par des représentations et entrelaceurs sont sommés pour produire une amplitude, des *mousses de spins*. Et le produit scalaire physique s'écrit comme une somme sur les mousses de spins reliant les réseaux de spins au bord, $F : s \to s'$,

$$\langle s\,|s'\rangle_{\text{phys}} = \sum_{F:s\to s'} Z(F). \tag{7.6}$$

Bien sûr la quantité qui définit un modèle de mousses de spins est l'amplitude $Z(F)$ qui représente une histoire de réseaux de spins avec un nombre fini de transitions (i.e. de vertexes). On peut résumer cela par comparaison avec les diagrammes de Feynman. Un diagramme de Feynman correspond à un opérateur sur l'espace de Fock, qui est déterminé par une séquence de créations et d'annihilations de particules virtuelles. De manière similaire, une mousse de spins décrit une série de créations et d'annihilations de réseaux de spins virtuels, permettant de passer de s à s' !

En s'inspirant de la théorie quantique des champs topologique, il est possible de formaliser ces idées [21, 22]. L'idée est d'associer à chaque variété Σ (compacte orientée) de dimension $(n-1)$ un espace de Hilbert cinématique $\mathcal{H}_\Sigma$, engendré par les réseaux de spins invariants de jauge. Puis à chaque cobordisme $M : \Sigma \to \Sigma'$ représentant un espace-temps, on associe une mousse de spins $F : \mathcal{H}_\Sigma \to \mathcal{H}_{\Sigma'}$. Néanmoins, en tentant de faire cela, on voit poindre une difficulté qui distingue les modèles de mousses

de spins non-topologiques. En effet, pour former un 2-complexe sur lequel vit la mousse de spins F, on prend typiquement le 2-squelette dual à une triangulation de M. Dans un modèle topologique, on s'attend bien sûr à ce que l'amplitude $Z(F)$ ne dépende pas de la triangulation, et donc du 2-complexe utilisé. Mais, dans une théorie possédant des degrés de liberté localement, la formule (7.6) suggère que pour propager ceux-ci, il est nécessaire de sommer sur toutes les séquences de création et annihilation de réseaux de spins virtuels, i.e. de sommer sur toutes les mousses de spins reliant les états cinématiques choisis sur Σ et Σ'.

Par ailleurs, nous n'avons pas précisément mentionné le choix de l'espace-temps associé aux mousses de spins. On peut en effet imaginer que l'on se contente de sommer sur les mousses de spins vivant dans un espace-temps fixé, et en particulier avec une topologie fixée, comme dans la définition de l'action de Hilbert-Einstein. Mais il peut être plus satisfaisant d'imaginer la topologie comme une donnée non-fixée a priori et émergeant de la dynamique quantique, comme c'est le cas en 2d grâce aux modèles de matrices. Dans ce cas, la somme sur les mousses de spins peut être comprise dans un sens général, où l'on somme sur tous les 2-complexes cellulaires reliant les réseaux de spins considérés. Cette approche permet de pousser l'analogie entre mousses de spins et diagrammes de Feynman : en effet, il est possible de voir les amplitudes de mousses de spins $Z(F)$ comme des diagrammes de Feynman pour des théories d'un champ scalaire formulée sur le groupe de structure G et non-locale. Ainsi, la théorie des champs sur le groupe, appelée « group field theory »(GFT), permet de construire la somme sur les amplitudes de mousses de spins, [87, 138].

La réalisation non-triviale la plus complète du programme des mousses de spins comme dynamique de la LQG a été obtenue en gravité 3d, en grande partie par Noui et Perez, [134]. Cela permet de comprendre comment la représentation en mousses de spins peut se construire explicitement, et comment elle s'articule avec le formalisme canonique de la LQG. La gravité 3d se formule au niveau hamiltonien par une paire de variables canoniques sur une surface Σ, (A^i_a, E^a_i), formée d'une connexion SU(2) et d'une 1-forme conjuguée à valeurs dans l'adjointe, plus précisément $E^a_i = \epsilon^{ab}\delta_{ij}e^j_b$.

Le formalisme de la LQG s'applique donc, et un espace de Hilbert cinématique est obtenu par les fonctionnelles cylindriques, ou les réseaux de spins non-invariants de jauge, sur l'ensemble des graphes possibles. L'espace des phases est soumis à la contrainte de Gauß, $D_aE^a_i = 0$, imposée au niveau quantique en se restreignant aux réseaux de spins portant des entrelaceurs aux noeuds. De plus, les spins j_l coloriant les liens des états de réseaux de spins sont les nombres quantiques associés aux valeurs propres de l'opérateur de longueur pour des liens duaux à ceux du graphe, [95]. Si l^* est une courbe qui intersecte en un point un lien l portant le spin j_l, elle acquiert une longueur $L^2_{l^*} = j_l(j_l+1)$, ou à un ordering près (comme le suggère les études asymptotiques) $L^2_{l^*} = (j_l + \frac{1}{2})^2$. C'est bien sûr l'équivalent de l'opérateur d'aire en LQG.

Il reste alors une contrainte, de première classe (abélienne), caractérisant l'absence de degrés de liberté locaux, $F(A)^i = 0$, qui exprime le fait que la connexion doit être plate sur Σ. Il nous faut donc trouver l'espace des solutions de cette contrainte quantifiée et le produit scalaire physique. On forme donc le projecteur :

$$P = \int DN \ \exp\left(i \int_\Sigma \mathrm{tr}\left[N\widehat{F(A)}\right]\right), \tag{7.7}$$

qui permet d'identifier l'espace des états physiques comme :

$$\mathcal{H}_{\mathrm{phys}} = \overline{\mathrm{Cyl}\,/\mathcal{I}}, \qquad \text{pour} \qquad \mathcal{I} = \{|s\rangle,\ \langle s\,|s\rangle_{\mathrm{phys}} = 0\}. \tag{7.8}$$

$\mathcal{I}$ est l'ensemble des états de norme nulle, et la barre représente la complétion de Cauchy [1].

Il nous faut bien sûr définir l'opérateur de courbure sur les fonctionnelles cylindriques, ou de manière équivalente sur les réseaux de spins. Pour cela, nous utilisons une régularisation sur un réseau,

1. Pour simplifier les notations, nous entendons par Cyl les fonctionnelles cylindriques de la connexion invariantes sous l'action de G.

celui-ci étant choisi bien adapté aux graphes des réseaux de spins dont on veut calculer le produit scalaire. Soit Γ et Γ' les graphes des réseaux de spins s, s'. On prend donc un réseau dont les liens passent le long de ceux de Γ, Γ'. Sur ce réseau, la courbure s'interprète comme l'holonomie autour de chaque plaquette élémentaire, via l'approximation :

$$W_p(A) = \mathbb{1} + \epsilon^2 F_p(A) + o(\epsilon^2). \tag{7.9}$$

Ici, $W_p(A)$ est la boucle de Wilson autour de la plaquette p, et ϵ la taille typique des liens du réseau. Ainsi, on régularise le projecteur P comme :

$$P = \prod_p \delta(W_p(A)). \tag{7.10}$$

Mais on peut déjà intuiter que P ne dépend pas du régulateur ! Cela tient à deux points importants : le fait que P projette sur les connexions plates, et le fait que les réseaux de spins ne dépendent que d'un nombre fini d'holonomies. Ainsi, il est possible de fusionner les plaquettes adjacentes en éliminant les liens communs. Pour le dire simplement, comme P contient les conditions de trivialité autour de chaque plaquette, il impose la même condition sur la plaquette résultant de leur fusion [2]. Cette transformation, effectuée sur les liens qui ne sont pas contenus dans Γ ni Γ', n'affecte pas le produit scalaire.

Bien sûr, comme on sait que la boucle de Wilson est un opérateur bien défini sur les fonctionnelles cylindriques, nous pouvons écrire le produit scalaire physique :

$$\langle s \,|s'\rangle_{\text{phys}} = \langle s \,| \prod_{p=1}^{N} \delta(W_p(A)) \,|s'\rangle. \tag{7.11}$$

Pour obtenir la représentation en mousses de spins, il faut développer l'opérateur de plaquette sur les représentations de SU(2),

$$\delta(W_p(A)) = \sum_{j_p} (2j_p + 1)\, \chi_{j_p}(W_p(A)), \tag{7.12}$$

et introduire la résolution de l'identité (7.4) sur $\mathcal{H}_{\text{kin}}$ entre chacune des plaquettes (notons que l'ordre des plaquettes n'importe pas). On a donc :

$$\langle s \,|s'\rangle_{\text{phys}} = \sum_{\{j_p\}} \sum_{\substack{\Gamma_1,\ldots,\Gamma_N \\ c_1,\ldots,c_N}} \prod_{p=1}^{N} (2j_p + 1)\, \langle s^{c_p}_{\Gamma_p} | \chi_{j_p}(W_p(A)) | s^{c_{p-1}}_{\Gamma_{p-1}} \rangle. \tag{7.13}$$

Par définition de la mesure d'Ashtekar-Lewandowski, seuls les réseaux de spins $|s^{c_p}_{\Gamma_p}\rangle$ dont le graphe Γ_p diffèrent du graphe Γ_{p-1} par l'ajout de la boucle autour de la plaquette p contribuent. Ainsi, la somme sur les graphes intermédiaires disparaît et leur choix est déterminé par l'action successive des plaquettes. On peut bien sûr visualiser les transitions de façon continue, ce qui correspondrait à faire tendre la taille des plaquettes vers zéro et N vers l'infini. On obtient alors une sorte d'évolution « temporelle » de s vers s', i.e. un 2-complexe dont les faces sont coloriées par des spins et les liens par des entrelaceurs. Une tranche « spatiale » de ce complexe correspond à un graphe Γ_p, colorié par (c_p).

Un 2-complexe sans vertex correspond à une transition entre des états ayant des graphes homéomorphes. Cela se voit bien en considérant deux graphes qui ne diffèrent qu'entre deux vertexes par le choix de chemins γ et γ' différents mais dans la même classe d'homotopie. Un vertex dans un

2. Cela est naturellement relié au fait que les bords des plaquettes sont homotopes à un point, en même temps que l'holonomie d'une connexion *plate* le long d'une courbe ne dépend que du type d'homotopie de la courbe

2-complexe signifie la création/annihilation de liens et noeuds du graphe du réseau de spins. En fait, comme le montre précisément [134], cette construction permet de montrer que des réseaux de spins dont les graphes sont dans la même classe d'homotopie sont physiquement équivalents ! Je ne détaille pas ici les amplitudes de transition explicitement, car elles sont données, pour des réseaux à noeuds trivalents, par le modèle de Ponzano-Regge que je présente à la section suivante.

Notons que la forme du 2-complexe dépend de l'ordre des plaquettes. Néanmoins, le produit scalaire physique ne fait pas intervenir ici de sommes sur les 2-complexes reliant $s \to s'$! C'est bien sûr une manifestation attendue du caractère topologique de la théorie. Ainsi, (7.13) est une réalisation de la forme générique (7.6), dans laquelle la somme sur les mousses de spins est juste une somme sur les coloriages d'un 2-complexe, et avec :

$$Z(F) = \prod_{p=1}^{N} (2j_p + 1) \ \langle s_{\Gamma_p}^{c_p} | \chi_{j_p}(W_p(A)) | s_{\Gamma_{p-1}}^{c_{p-1}} \rangle. \tag{7.14}$$

La mousse de spins $F : s \to s'$ est ici déterminée par les spins des plaquettes j_p, et les coloriages à chaque transition c_p. Quant au 2-complexe, il se construit de proche en proche via le fait que Γ_p est issu de l'ajout de la plaquette p à Γ_{p-1}.

Nous avons déjà vu de quelle façon les réseaux de spins décrivent la 3-géométrie quantique, en tant qu'états propres des opérateurs d'aires, et via les opérateurs de volume associés aux noeuds (en gravité 3d, ce sont plutôt les opérateurs de longueurs pour des courbes duales aux liens des réseaux et des opérateurs d'aires autour des noeuds). Puisque les mousses de spins fournissent l'évolution hamiltonienne des réseaux de spins, on peut naturellement penser qu'elles offrent une vision 4-dimensionnelle de la géométrie quantique ! Cela est vrai, mais de manière assez subtile. Vrai, car on s'attend à pouvoir écrire le produit scalaire physique comme une intégrale de chemins sur les géométries, pour l'exponentielle de l'action classique. Vrai également par dualité cellulaire, car les représentations associées aux faces des 2-complexes s'interprètent comme les aires de surfaces duales (en 4d), les entrelaceurs des liens sont associés à des 3-volumes duaux, et il est donc naturel de voir des 4-volumes duaux aux vertexes des mousses de spins. Dans notre exemple en 3d, les spins j_p ne sont autres que les nombres quantiques déterminant les longueurs d'arêtes duales aux faces du 2-complexe, et les entrelaceurs sont associés aux aires de surfaces duales aux liens du 2-complexe.

La subtilité de cette interprétation tient au fait que le hamiltonien est dans les théories qui nous intéressent une contrainte. La dynamique engendrée est donc une dynamique de transformations de jauge. Et, ainsi, les histoires des réseaux de spins que décrivent les mousses de spins sont des histoires de jauge, [140] ! Comme nous l'avons vu ci-dessus dans le modèle en 3d, les mousses de spins émergent du dépliement de l'action de la contrainte de courbure nulle, $\delta(W_p(A))$, répétée sur chaque plaquette, et permettent d'identifier comme physiquement équivalents les graphes homotopes.

Nous allons maintenant présenter les modèles de mousses de spins pour la théorie topologique BF, appelés en dimensions 3 et 4 modèles de Ponzano-Regge et d'Ooguri, en les dérivant à partir de l'intégrale fonctionnelle discrétisée, à la manière de ce qui a été fait dans Yang-Mills 2d pour calculer le volume de l'espace des modules des connexions plates [173]. Plus tard, nous présenterons les modèles de gravité quantique, issus du mélange des modèles topologiques et de l'implémentation des contraintes de simplicité de Plebanski au niveau quantique. Autant dire tout de suite que l'interprétation géométrique des données des mousses de spins, est très importante dans cette construction. A la suite de cela, je présenterai une partie importante de mes travaux de thèse qui a visé à pousser le plus loin possible l'interprétation des mousses de spins comme une intégrale sur les géométries d'un réseau dual au 2-complexe, en écrivant explicitement cette intégrale en termes de l'action classique discrétisée.

7.2 Modèle pour la théorie BF

Pour appliquer la dérivation heuristique précédente des mousses de spins concrètement, il faut bien sûr un opérateur hamiltonien bien défini sur les réseaux de spins. Si un tel opérateur existe en LQG, développé par Thiemann, des doutes subsistent quant à sa pertinence, pour des raisons intuitives (comme le fait que cet opérateur agit de manière très locale). Aussi, pour contourner les difficultés habituelles de la quantification canonique, on peut espérer obtenir des modèles de mousses de spins à partir de l'approche covariante, par intégrales de chemins. C'est du moins ce que nous a appris la théorie des champs, pour le calcul des amplitudes de transition. Nous nous concentrons ici sur les modèles les plus simples, associés à la théorie topologique BF.

La quantité la plus simple formée à partir d'une intégrale fonctionnelle est la fonction de partition qui intègre sur toutes les configurations des champs sans données externes. Pour obtenir des amplitudes de transition, il faut en revanche fixer des données de bord dans l'intégrale fonctionnelle. Néanmoins, les ressorts du calcul sont les mêmes que ceux du calcul de la fonction de partition, de sorte que nous nous concentrons sur celle-ci. De manière formelle, elle prend la forme suivante dans la théorie BF, sur une variété M de dimension n,

$$Z_{\mathrm{BF}}(M) = \int DA\,DB\ \exp\big(i\int_M \mathrm{tr}(B\wedge F_A)\big), \tag{7.15}$$

$$= \int DA \quad \delta(F_A). \tag{7.16}$$

L'intégrale sur les $(n-2)$-formes B est interprétée formellement comme une projection sur les connexions plates. Ainsi, on s'attend à ce que cette intégrale calcule le « volume » de l'espace des connexions plates ! Ainsi, nous avons d'un côté un objet mathématique, l'espace des connexions plates, dont on souhaite calculer le volume, celui-ci s'exprimant a priori comme une intégrale fonctionnelle (donc un objet assez complexe). Un tel volume n'est par ailleurs pas défini sans une mesure déterminée. D'un autre côté, nous allons montrer que la représentation en mousses de spins fournit une formulation combinatoire de ce volume (et donc une mesure appropriée) qui respecte l'invariance topologique du modèle.

Il est important de savoir que cette fonction de partition a été largement étudiée par les méthodes standards de la théorie des champs ! Les travaux les plus connus sont peut-être ceux de Witten, en 2d [173] et en 3d [170, 172], et ceux de Blau et Thompson, [53, 52]. Signalons également l'approche de Gegenberg et Kunstatter par décomposition de Hodge des connexions [102], et la preuve de la renormalisabilité, à la BRST et en exhibant une supersymétrie vectorielle, par Lucchesi, Piguet et Sorella, [127], en toutes dimensions. Ces approches ont permis de montrer que la fonction de partition peut s'écrire comme une intégrale sur l'espace des connexions plates modulo les transformations de jauge usuelles, la mesure étant donnée par la torsion analytique de Ray-Singer. Mais ce traitement nécessite l'introduction d'une métrique sur la variété (typiquement pour la fixation de jauge), ce qui n'est pas compatible avec notre ambition de développer un formalisme background independent [3].

L'avantage du formalisme des mousses de spins est donc d'être totalement background independent, et donc bien adapté pour traiter une géométrie pleinement dynamique. De plus, comme nous l'avons expliqué, les mousses de spins émergent naturellement du formalisme canonique, en tant qu'évolution (de jauge) des excitations fondamentales de réseaux de spins ! En particulier, les données combinatoires des sommes sur les mousses de spins s'interprètent naturellement comme les valeurs propres des opérateurs géométriques de la théorie canonique.

Etant donné que la théorie BF ne possède pas de degrés de liberté locaux, on peut s'attendre à calculer la fonction de partition de manière *exacte* à partir d'une discrétisation de la théorie. On considère pour cela une triangulation de la variété d'espace-temps M. Le rôle clé est en fait joué par le

3. Même si la torsion au final ne dépend pas de la métrique choisie.

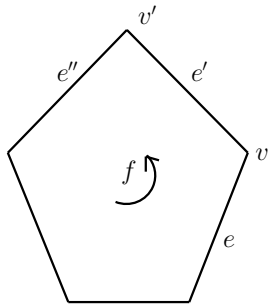

FIGURE 7.1 – Représentation typique d'une face duale du complexe cellulaire à la triangulation. C'est autour de ces faces qu'est concentrée la courbure. La face f est duale à un $(n-2)$-simplexe (arête en 3d, triangle en 4d), et son bord est formé de liens duaux à des $(n-1)$-simplexes (triangle en 3d, tétraèdre en 4d), et de vertex duaux aux n-simplexes (tétraèdre en 3d, et 4-simplexe en 4d).

2-squelette dual Γ à cette triangulation. Celui-ci est formé de V vertexes, duaux aux n-simplexes, de E liens duaux aux $(n-1)$-simplexes et de F faces duales aux $(n-2)$-simplexes. Notons Γ_i, $i = 0, 1, 2$, l'ensemble des i-cellules duales de Γ. L'idée est ensuite, comme en calcul de Regge de concentrer la courbure autour des $(n-2)$-simplexes. Pour cela, on discrétise la connexion et sa courbure de la manière suivante. Une connexion sur Γ est une collection d'éléments de groupe sur les liens,

$$A = \big(g_e\big)_{e\in\Gamma_1} \in G^E. \tag{7.17}$$

Les cellules doivent être orientées, et le changement d'orientation d'un lien se traduit par le changement de g_e en g_e^{-1}. Une notion de courbure est alors définie par le produit orienté des g_e le long du bord de chaque face,

$$H_f(A) = \prod_{e\in\partial f} g_e^{[f:e]}, \tag{7.18}$$

ce qui nécessite un vertex de référence et une orientation pour chaque face, $[f : e]$ étant le nombre d'incidence de la face f sur le lien e. Géométriquement, on peut comprendre les éléments g_e comme des opérateurs de transport parallèle entre les n-simplexes duaux aux extrémités des liens de Γ_1, ou comme les holonomies d'une connexion sur M le long d'un nombre fini de liens. Ainsi, $H_f(A)$ peut être vue comme l'holonomie autour d'une boucle fermée délimitant la face f, de sorte que l'on définit une connexion plate telle que pour toute face,

$$H_f(A) = \mathbb{1}. \tag{7.19}$$

Il est alors possible de donner un sens à la fonction de partition de la théorie BF en considérant

$$Z_{\mathrm{BF}}(M) = \int_{G^E} dA \prod_{f\in\Gamma_2} \delta(H_f(A)), \tag{7.20}$$

où la mesure dA est la mesure de Haar sur G^E, $dA = \prod_{e\in\Gamma_1} dg_e$. Etant construit avec la mesure de Haar dg_e sur chaque lien, on s'attend à ce que dA s'accorde naturellement avec la mesure d'Ashtekar-Lewandowski dans le calcul des amplitudes de transition.

Les transformations de jauge changent le référentiel local interne sur chaque n-simplexe (plat au sens de l'espace interne). Cela définit une action de G^V sur les connexions, selon

$$h \cdot A = \big(h_{t(e)}\, g_e\, h_{s(e)}^{-1}\big)_{e\in\Gamma_1}. \tag{7.21}$$

Ici $h = (h_v)_{v\in\Gamma_0}$ est un ensemble de V éléments du groupe, et $t(e)$ (respectivement $s(e)$) est le vertex d'arrivée (respectivement de départ) du lien e. L'élément de courbure $H_f(A)$ se transforme par conjugaison sous h_{v_f}, si v_f est le vertex de référence de f. On voit donc la fonction de partition est invariante sous ces transformations de jauge.

Bien sûr, il y a de forts risques pour que le produit de delta sur G soit mal défini, conduisant à des divergences. Mais ignorons ce souci et calculons cette quantité formellement par transformée de Fourier. Cela commence par le développement

$$\delta(g) = \sum_{\rho} \dim(\rho)\ \chi_\rho(g), \tag{7.22}$$

sur les représentations irréductibles de G, χ_ρ étant le caractère de la représentation ρ, pour chaque face. Notons $\mathcal{H}_\rho$ l'espace de représentation de ρ. Nous sommes conduits à :

$$Z_{\mathrm{BF}}(M) = \sum_{(\rho_f)_{f\in\Gamma_2}} \int dA \prod_{f\in\Gamma_2} \dim(\rho_f)\ \chi_{\rho_f}\big(H_f(A)\big). \tag{7.23}$$

Dans l'expression formelle (7.15) de la fonction de partition, le champ B était conjugué à la courbure par transformée de Fourier fonctionnelle en un sens. Ici, ce rôle est joué par l'ensemble des représentations $(\rho_f)_{f\in\Gamma_2}$. Celles-ci colorent les faces de Γ, c'est-à-dire que ce sont les modes de Fourier de la courbure sur les $(n-2)$-simplexes de la triangulation. C'est bien sûr les mêmes données que celles portées par les liens des réseaux de spins dans le formalisme canonique.

L'avantage de travailler sur le complexe cellulaire dual à une triangulation est que le nombre de faces se rencontrant sur chaque lien est constant. Ce nombre n'est autre que le nombre de $(n-2)$-simplexes formant le bord d'un $(n-1)$-simplexe, égal à n. Cela signifie que chaque holonomie g_e intervient exactement une fois dans n holonomies de courbure H_f. Pour des représentations (ρ_f) fixés, on doit donc intégrer sur G le produit de n éléments de matrices de g_e. Cela donne :

$$\int_G dg\ D^{(\rho_1)}(g) \otimes \cdots \otimes D^{(\rho_n)}(g) = \mathrm{id}_{\mathrm{Inv}(\mathcal{H}_{\rho_1}\otimes\cdots\otimes\mathcal{H}_{\rho_n})}\,. \tag{7.24}$$

Ici $\mathrm{Inv}(\mathcal{H}_{\rho_1}\otimes\cdots\otimes\mathcal{H}_{\rho_n})$ est le sous-espace invariant sous G du produit tensoriel des représentations se rencontrant en e. Il s'agit bien sûr d'un processus de moyenne sur le groupe qui produit l'identité sur le sous-espace invariant. Sans surprise, cette identité se développe sur une base orthogonale d'entrelaceurs $\iota : \otimes_{i=1}^n \mathcal{H}_{\rho_i} \to \mathbb{C}$,

$$\mathrm{id}_{\mathrm{Inv}(\mathcal{H}_{\rho_1}\otimes\cdots\otimes\mathcal{H}_{\rho_n})} = \sum_{\iota:\otimes_{i=1}^n \mathcal{H}_{\rho_i}\to\mathbb{C}} \iota\,\iota^*, \tag{7.25}$$

chacun d'eux assurant l'invariance à gauche et à droite sous G. On peut donc remplacer les intégrales sur G par des coloriages des $(n-1)$-simplexes de la triangulation par des entrelaceurs. On obtient ainsi :

$$Z_{\mathrm{BF}}(M) = \sum_{(\rho_f)_{f\in\Gamma_2}} \sum_{(\iota_e)_{e\in\Gamma_1}} \prod_{f\in\Gamma_2} \dim(\rho_f) \prod_{v\in\Gamma_0} W_v(\rho_f, \iota_e). \tag{7.26}$$

La fonction de partition est donc constituée par l'assemblage d'une amplitude de référence sur chaque $(n-2)$-simplexe, $W_f = \dim(\rho_f)$, appelée *amplitude de face*, et d'une amplitude de référence sur chaque n-simplexe, également appelée *amplitude de vertex* par dualité, W_v. Cette dernière est construite de la manière suivante. Un n-simplexe possède $(n+1)$ $(n-1)$-simplexes, portant des entrelaceurs ι_e. Il faut alors contracter les indices de ces entrelaceurs deux à deux, avec une contraction par $(n-2)$-simplexe dans la représentation ρ_f. En fait, un $(n-1)$-simplexe porte un entrelaceur qui est donc contracté avec n entrelaceurs des $(n-1)$-simplexes voisins. Remarquons que l'amplitude des liens duaux, i.e. sur les $(n-1)$-simplexes, peut être absorbée de manière générique dans l'amplitude de vertex (car un $(n-1)$-simplexe est toujours partagé par exactement deux n-simplexes).

Ces amplitudes de vertex se représentent par des graphes de réseaux de spins (et correspondent à l'évaluation de fonctionnelles de réseaux de spins sur la connexion triviale). Les entrelaceurs ι_e sont des vertexes de valence n, et leurs pattes correspondent aux indices libres des représentations $(\rho_1, \ldots, \rho_n)$. Ces vertexes peuvent être « dépliés » en arbres trivalents, avec des liens virtuels portant les représentations virtuelles qui caractérisent ι_e. L'amplitude est obtenue par contraction deux à deux des indices libres des entrelaceurs, ce qui se traduit graphiquement par des liens entre vertexes portant les représentations ρ_f. Ainsi, les vertexes du graphe sont associés aux $(n-1)$-simplexes et les liens aux $(n-2)$-simplexes. Cela forme un graphe qui combinatoirement parlant a précisément la structure d'un n-simplexe.

7.2.1 En deux dimensions

Nous détaillons maintenant ces amplitudes de manière plus précise en basses dimensions, $n = 2, 3, 4$. En dimension 2, notre démarche n'est autre que celle de Witten, [173], pour la théorie de Yang-Mills et sa limite de couplage faible qu'est la théorie BF. L'intégrale sur G du produit de deux éléments de matrices peut se lire comme la relation d'orthogonalité des éléments matriciels de représentations,

$$\int_G dg\ D^{(\rho_1)}_{ab}(g)\ \overline{D^{(\rho_2)}_{cd}(g)} = \frac{1}{\dim \rho_1}\, \delta_{\rho_1\rho_2}\ \delta_{ac}\, \delta_{bd}. \tag{7.27}$$

La barre correspond à la conjugaison complexe. Ainsi, en 2 dimensions, toutes les représentations sont égales ! Cela explique la « trivialité » des théories de jauge en 2d de notre point de vue. Les seules amplitudes qui interviennent sont donc les dimensions des espaces de représentations. Le facteur $\dim \rho$ est présent F fois dans le développement des delta de Dirac, puis $-E$ fois du fait de la relation d'orthogonalité ci-dessus, et finalement la contraction des indices restants le donne encore V fois, ce qui fait $F - E + V = \chi(M)$, c'est-à-dire la caractéristique d'Euler de la variété, qui est un invariant topologique.

Cela donne une expression particulièrement simple de la fonction de partition. Par ailleurs, on sait par Goldman [106] que l'espace $\mathcal{M}$ des modules des connexions plates sur un fibré au-dessus d'une variété M fermée et orientée admet une structure symplectique naturelle Ω. Witten a montré que la fonction de partition calcule en fait ce volume symplectique de l'espace des connexions plates (modulo les transformations de jauge), et en égalisant avec l'expression en mousses de spins, a obtenu l'élégante correspondance

$$Z_{\mathrm{BF}} = \int_{\mathcal{M}} \Omega = \sum_{\rho} \big(\dim(\rho)\big)^{\chi(M)}, \tag{7.28}$$

à des coefficients inessentiels (pour nous) près. Pour une surface fermée orientée de genre g, $\chi(M) = 2-2g$. Comme $\chi(M)$ est un invariant topologique, il est clair que l'expression obtenue est *indépendante de la triangulation.*

7.2.2 Modèle de Ponzano-Regge, en 3d

En dimension 3, un raisonnement similaire conduit au *modèle de Ponzano-Regge*, qui pour $G = \mathrm{SU}(2)$ est une quantification de la gravité 3d riemannienne [4]. Chaque élément de groupe g_e apparaît maintenant dans trois faces duales, correspondant aux trois arêtes de chaque triangle. Les intégrales produisent donc des entrelaceurs trivalents. Concentrons-nous sur le cas $G = \mathrm{SU}(2)$, la généralisation étant évidente. Dans ce cas, les représentations irréductibles sont données par des spins demi-entiers $(j_f)_{f\in\Gamma_2}$ coloriant les faces. A spins fixés, il existe un unique entrelaceur à la normalisation près entre

4. Ce n'est en fait pas exactement la gravité, du fait de la présence de métriques dégénérées.

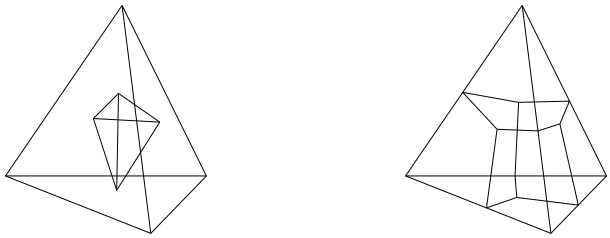

FIGURE 7.2 – L'amplitude d'un tétraèdre du modèle PR, i.e. le symbole 6j, est obtenue en mettant des entrelaceurs trivalents sur les triangles et des spins sur les arêtes, et en contractant les entrelaceurs, selon la structure du tétraèdre dual dessiné à gauche. On peut aussi le voir comme un réseau de spins au bord du tétraèdre, dessiné à droite.

$\mathcal{H}_{j_1} \otimes \mathcal{H}_{j_2} \otimes \mathcal{H}_{j_3}$ et $\mathbb{C}$, qui est le symbole 3mj de Wigner, voir appendice A,

$$\int_{\mathrm{SU}(2)} dg \prod_{a=1}^{3} D^{(j_a)}_{m_a n_a}(g) = \begin{pmatrix} j_1 & j_2 & j_3 \\ m_1 & m_2 & m_3 \end{pmatrix} \begin{pmatrix} j_1 & j_2 & j_3 \\ n_1 & n_2 & n_3 \end{pmatrix}. \tag{7.29}$$

Dans une triangulation 3d, un triangle est partagé par exactement deux tétraèdres. Les deux symboles 3mj ci-dessus d'un triangle sont alors contractés avec les symboles 3mj portés par les autres triangles de chacun de ces deux tétraèdres. Cela donne comme amplitude fondamentale d'un tétraèdre :

$$W_v^{\mathrm{PR}}(j_f) = (-1)^{\sum_{i=1}^{6} j_i} \begin{Bmatrix} j_1 & j_2 & j_3 \\ j_4 & j_5 & j_6 \end{Bmatrix}, \tag{7.30}$$

où la quantité entre accolades est le symbole 6j de Wigner, défini en appendice, qui est issu de la contraction des 3mj invariants de SU(2). Ce type de symboles se représente graphiquement comme le graphe colorié d'un réseau de spins. Un symbole 3mj est un vertex trivalent, dont les pattes portent des indices libres vivant dans les représentations (j_1, j_2, j_3). Les contractions de ces indices correspondent à l'établissement de liens entre ces vertexes dans les représentations concernées. Pour l'amplitude de vertex de Ponzano-Regge, il faut voir que chaque triangle porte un entrelaceur trivalent, de sorte que le graphe du symbole 6j est tétraédral, comme à la figure 7.2.

On peut aussi comprendre cette amplitude comme l'évaluation des fonctionnelles de réseaux de spins vivant au bord de chaque tétraèdre. En effet, le graphe du symbole 6j peut être vu comme *dual à la triangulation du bord* d'un tétraèdre. Aussi on peut associer à ce graphe (fixé) un espace de Hilbert cinématique, engendré par les réseaux de spins. Les spins induits par le modèle de Ponzano-Regge forment les mêmes données que celles de la quantification en réseaux de spins.

Pour terminer la présentation du modèle, il faut donner l'amplitude de face. Pour les représentations irréductibles de SU(2), on a : $\dim \mathcal{H}_j = (2j+1)$, et :

$$Z_{\mathrm{PR}} = \sum_{(j_f)_{f\in\Gamma_2}} \prod_f (-1)^{2j_f} (2j_f+1) \prod_v W_v^{\mathrm{PR}}(j_f). \tag{7.31}$$

L'interprétation, provenant du formalisme canonique, des spins j_f comme longueurs quantifiées des arêtes de la triangulation, duales aux faces de Γ, est renforcée par l'analyse asymptotique du symbole 6j ! On considère un tétraèdre ayant pour longueurs $\ell_i = (j_i + \frac{1}{2})$, et on note $V(\ell)$ son volume. Introduisons aussi l'action de Regge correspondante, $S_{\mathrm{R}}(\ell_i) = \sum_{i=1}^{6} \ell_i \vartheta_i(\ell_j)$, comme fonction des longueurs des arêtes, et $\vartheta_i(\ell)$ désignant les angles dihédraux. Alors, Ponzano et Regge ont conjecturé, [143], à l'aide d'analyses numériques, la formule asymptotique suivante, lorsque les spins sont envoyés vers l'infini de manière homogène, $j_i \to \lambda j_i$ pour λ très grand[5] [143, 158] (voir plus récemment

5. En général, la solution est une combinaison de fonctions d'Airy, qui se réduit à (8.6) quand $V(\ell_e)^2 > 0$.

[149, 96, 107, 79]),

$$\begin{Bmatrix} j_1 & j_2 & j_3 \\ j_4 & j_5 & j_6 \end{Bmatrix} \sim \frac{1}{\sqrt{12\pi V(\ell_i)}} \cos\left(S_{\mathrm{R}}(\ell_i) + \frac{\pi}{4}\right), \tag{7.32}$$

Le régime des grands spins fournit ainsi une notion de limite semi-classique des mousses de spins sous la forme d'un calcul de Regge quantique, i.e. avec des longueurs quantifiées. Cette quantification des longueurs, qui était initialement un ansatz de Ponzano et Regge, se trouve justifiée par la quantification en boucles, comme l'a remarqué Rovelli [152].

Mais le modèle de Ponzano-Regge offre plusieurs avantages sur le calcul de Regge. Il nous fournit en effet une mesure d'intégration, compatible avec les inégalités triangulaires qui assurent que la métrique de Regge, définie par les longueurs (ℓ_f), est bien définie positive, et ce grâce au symbole 6j issu de la théorie des représentations de SU(2). De plus, la mesure déterminée par l'amplitude de face, est telle que le modèle est topologique, i.e ne dépend pas de la triangulation choisie !

Mais avant de voir cela, il faut s'attarder un peu sur les divergences. Les divergences les plus simples, étudiées dans la littérature, proviennent de distributions delta sur le groupe G *redondantes*. De telles redondances se produisent dès que la triangulation possède un sommet interne. Car alors, ce sommet est duale à une 3-cellule b appelée *bulle*, et il est possible de trouver un ordre des faces formant le bord de la bulle telle que :

$$\prod_{f\in\partial b} H_f^{\epsilon_f} = \mathbb{1}, \tag{7.33}$$

où $\epsilon_f = \pm 1$ et à une conjugaison près de certaines H_f. Cela signifie que ces faces ne sont pas indépendantes : il est possible d'exprimer une des holonomies autour d'une face en fonction des autres, de sorte qu'une des fonctions delta sur G est redondante à chaque bulle. Cela donne une divergence formelle du type $\delta(\mathbb{1})$ pour chaque sommet de la triangulation, comme l'avait conjecturé Ponzano et Regge, proposant également une régularisation adaptée à cette situation. L'équation (7.33) peut se comprendre géométriquement comme une version discrète de l'identité de Bianchi du continu, $d_A F_A = 0$, sur chaque 3-cellule duale. Cette interprétation a été renforcée par Freidel et Louapre, [97], qui ont donné une explication de ces divergences par l'existence d'une symétrie de jauge, équivalent discret de la symétrie de translation de la théorie BF (1.5). En conséquence, les auteurs proposent une fixation de jauge qui éliminent ces divergences ! Cette fixation consiste à éliminer les fonctions delta associées aux arêtes le long d'un arbre maximal de la triangulation (c'est-à-dire touchant tous les sommets sans former de boucles), ou de manière équivalente à ne selectionner que le mode trivial $j = 0$ dans la décomposition $\delta(g) = \sum_j (2j+1)\chi_j(g)$, le long de cet arbre.

Nous verrons aux chapitres consacrés aux relations de récurrence l'intérêt de sélectionner un mode $j \neq 0$ de la contrainte de courbure nulle, et comment cela permet de relier l'action de la contrainte hamiltonienne sur les réseaux de spins aux amplitudes de mousses de spins. Signalons aussi que les divergences présentées ci-dessus sont les divergences les plus simples et naïves, la conjecture de Ponzano et Regge, étant fausse de manière générale. Pour une étude plus complète des divergences dans les modèles de mousses de spins pour la théorie BF, et plus généralement sur un 2-complexe arbitraire, je renvoie aux travaux que j'ai récemment effectué en collaboration avec M. Smerlak, [63, 62] (et à [41] plus spécifiquement pour le modèle PR), et que je ne présenterai pas ici par manque de temps et de place.

L'invariance topologique du modèle provient de l'invariance sous des transformations de la triangulations, appelés mouvements de Pachner. Ces mouvements relient les triangulations de variétés homéomorphes. En dimension 3, ces transformations s'écrivent comme des séquences de deux mouvements élémentaires locaux et de leur inverse. Le mouvement 3-2 relie l'amplitude de Ponzano-Regge pour une configuration à trois tétraèdres partageant une arête commune à l'amplitude d'une configuration à deux tétraèdres voisins, comme illustré en figure 7.3. L'égalité entre les deux amplitudes est immédiate lorsque l'on écrit le modèle comme une intégrale sur les connexions discrètes $A = (g_e)_{e\in\Gamma_1}$. Mais, cela apparaît moins trivial dans la représentation en mousses de spins ! L'identité qui correspond

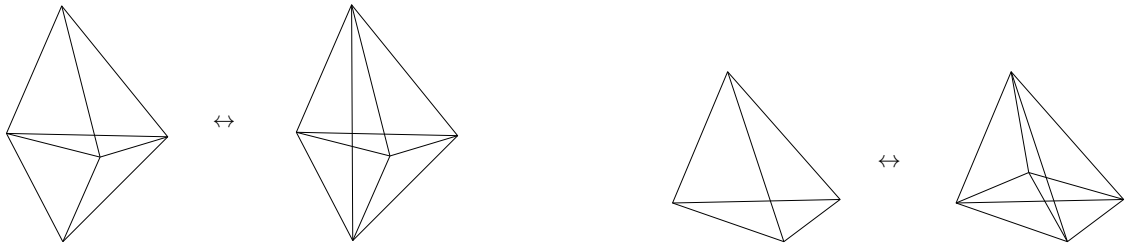

FIGURE 7.3 – Les mouvements de Pachner relient les triangulations de variétés homéomorphes. En 3d, les mouvements élémentaires sont le mouvement 2-3, à gauche, et le mouvement 1-4, à droite. Sur la gauche, deux tétraèdres sont collés le long d'un triangle, et le mouvement consiste à enlever ce triangle, ajouter une arête reliant les deux sommets opposés et trois triangles partageant cette arête. Le mouvement 1-4 consiste à ajouter un sommet au centre d'un tétraèdre en le reliant aux 4 autres sommets pour former 4 tétraèdres.

à ce mouvement est néanmoins bien connue en théorie des représentations : il s'agit de l'identité de Biedenharn-Elliott (aussi appelée dans un contexte plus général identité du pentagone),

$$\sum_l (-1)^{S+l}(2l+1) \begin{Bmatrix} k & f & l \\ d & a & g \end{Bmatrix} \begin{Bmatrix} a & d & l \\ c & b & j \end{Bmatrix} \begin{Bmatrix} b & c & l \\ f & k & h \end{Bmatrix} = \begin{Bmatrix} j & h & g \\ k & a & b \end{Bmatrix} \begin{Bmatrix} j & h & g \\ f & d & c \end{Bmatrix}, \tag{7.34}$$

où S est la somme des neuf spins fixés. On a bien trois 6j pour trois tétraèdres dans le membre de gauche, et deux à droite. La somme sur l est précisément la somme sur le spin, et donc la longueur de l'arête commune aux trois tétraèdres. Ainsi, cette identité est intrinsèquement *dynamique* : elle permet de faire explicitement la somme sur les spins pour des arêtes partagées par trois tétraèdres !

Le deuxième mouvement élémentaire est le mouvement 1-4, qui remplace un tétraèdre par quatre, en ajoutant un sommet à l'intérieur du tétraèdre initial, 7.3. Ce nouveau sommet est alors relié aux quatre autres sommets. Néanmoins, une telle configuration contient un sommet interne, de sorte que le mouvement est en fait divergent. L'invariance est donc purement formelle : l'amplitude asosciée aux quatre tétraèdres est un simple 6j, fois un facteur $\delta(\mathbb{1})$. Notons que la procédure de fixation de jauge de [97] qui impose $j_f = 0$ le long d'un arbre maximal transforme directement l'amplitude divergente à quatre tétraèdres en un 6j.

Nous verrons en détails aux chapitres sur les relations de récurrence comment l'invariance sous ces mouvements de Pachner implémente la contrainte hamiltonienne de la théorie. La possibilité de considérer le modèle de Ponzano-Regge comme un projecteur sur les états physiques, satisfaisant la contrainte hamiltonienne au niveau quantique a été montrée par Ooguri, [135]. Pour cela, il faut étendre le modèle PR de sorte qu'il traite les variétés à bord, et identifier des états de la gravité sur réseau au bord. Dans ce cas, une triangulation de la 3-variété M induit une triangulation Δ du bord. De même la décomposition cellulaire duale Γ induit la décomposition cellulaire duale à la triangulation du bord. Nous pouvons donc considérer au bord les données des fonctionnelles de réseaux de spins, permettant de définir un espace de Hilbert cinématique. Ces données sont des coloriages des liens duaux à Δ, ou de manière équivalente des arêtes de Δ, par des spins $c = (j_e)$, et l'espace naturel est :

$$\mathcal{H}_{\text{kin}}(\Delta) = \Big\{ \sum_c \phi_\Delta(c)\, |s^c_\Delta\rangle \Big\}, \tag{7.35}$$

muni du produit scalaire $\langle s^{c'}_\Delta | s^c_\Delta \rangle = \delta_{c'c}$. Cela coincide bien sûr avec l'espace cinématique de la LQG mais sur un graphe fixé ! Les fonctions des coloriages, $\phi_\Delta(c)$, sont les fonctions d'onde de la gravité sur réseau.

On se souvient aussi qu'une tranche du 2-squelette duale à la triangulation s'interprète naturellement comme un graphe de réseaux de spins, ce qui est ici le cas pour le 1-squelette dual à la triangulation du bord. Pour finir, un ensemble de spins coloriant les faces duales de la 3-variété induit un coloriage par ces spins du 1-squelette dual à Δ, ou par dualité des arêtes de Δ. On peut alors calculer la fonction de partition à la Ponzano-Regge en fixant un coloriage $c = (j_e)$ des arêtes au bord, ce qui fixe le coloriage des faces duales de Γ touchant le bord,

$$Z_\Delta(c) = \prod_{e\in\Delta} i^{j_e}\sqrt{(2j_e+1)} \sum_{(j_f)} \prod_{\text{faces internes}} (-1)^{2j_f}(2j_f+1) \prod_{\text{vertexes internes}} W_v^{\mathrm{PR}}(j_f). \tag{7.36}$$

On cherche maintenant à voir le modèle PR comme un projecteur. Considérons donc une surface Σ fermée orientable, qui sera notre surface canonique initiale et finale. Soit N une 3-variété ayant la topologie de $\Sigma\times[0,1]$. On peut alors calculer le modèle PR pour des coloriages c_1, c_2 fixés sur les deux composantes du bord de N, triangulées par Δ_1, Δ_2. Cela fournit la quantité $Z_{\Delta_1\Delta_2}(c_1, c_2)$. On peut alors composer de telles fonctions en ajoutant un autre cobordisme $\Sigma\times[0,1]$. Grâce à l'indépendance en la triangulation, on met en évidence la propriété remarquable suivante :

$$\Lambda(\Delta_2) \sum_{c_2 \text{ de } \Delta_2} Z_{\Delta_1\Delta_2}(c_1,c_2)\; Z_{\Delta_2\Delta_3}(c_2,c_3) = Z_{\Delta_1\Delta_3}(c_1,c_3), \tag{7.37}$$

$\Lambda(\Delta_2)$ étant une constante qui ne dépend que du nombre de sommets de Δ_2. Cela suggère de définir comme opérateur sur l'espace cinématique $\mathcal{H}_{\mathrm{kin}}(\Delta)$ d'une triangulation Δ,

$$P_\Delta(\phi_\Delta)(c) = \Lambda(\Delta) \sum_{c' \text{ de } \Delta} Z_{\Delta\Delta}(c,c')\; \phi_\Delta(c'), \tag{7.38}$$

qui est bien un projecteur, puisque $P_\Delta \circ P_\Delta = P_\Delta$! On définit les états physiques de la sorte :

$$\phi_\Delta \in \mathcal{H}_{\mathrm{phys}}(\Delta) \quad \text{si} \qquad \phi_\Delta(c) = P_\Delta(\phi_\Delta)(c). \tag{7.39}$$

Il faut voir cette condition comme l'équation de Wheeler-De-Witt pour la théorie discrète ! Le produit scalaire physique est donné par la contraction du noyau $Z_{\Delta\Delta}$ avec deux états sur le graphe dual à Δ,

$$\langle\phi_\Delta|\psi_\Delta\rangle_{\mathrm{phys}} = \Lambda(\Delta)^2 \sum_{c,c'} \phi_\Delta(c)\; Z_{\Delta\Delta}(c,c')\; \psi_\Delta(c'). \tag{7.40}$$

Il s'agit précisément d'une réalisation de l'équation générique (7.6), dans laquelle le 2-complexe est fixé, comme 2-squelette dual à la triangulation de N.

Ce formalisme a l'avantage de pouvoir traiter des situations inaccessibles au formalisme hamiltonien et à la quantification canonique. Une restriction évidente du formalisme canonique est la seule prise en compte de la topologie du type $\Sigma\times[0,1]$. Par contraste, le formalisme du modèle PR conduit naturellement à considérer des amplitudes de transition entre des surfaces de topologie différentes, Σ_1, Σ_2, reliées par des cobordismes, (M, Σ_1, Σ_2), comme dans [172]. Il est aussi possible de construire des états à la Hartle-Hawking. Supposons que Σ soit homéomorphe au bord d'une 3-variété M. Fixons une triangulation de M et Δ la triangulation induite sur le bord. Alors on peut considérer en représentations de spins l'état

$$\phi_{M,\Delta}(c) = Z_{M,\Delta}(c), \tag{7.41}$$

ou en représentations de connexion,

$$\phi_{M,\Delta}(A) = \sum_c Z_{M,\Delta}(c)\; s^c_\Delta(A). \tag{7.42}$$

Ces aspects ont été étudiés en détails par Witten, [172], pour M un « handlebody », dans la théorie continue, et l'équivalence avec la théorie sur réseau est donnée dans [135].

Le lien avec la quantification de la contrainte hamiltonienne par Noui et Perez, [134], tient d'abord à la représentation de cette quantification en mousses de spins, comme ébauchée à la section précédente. En restreignant l'action de la contrainte aux réseaux de spins trivalents, les amplitudes correspondant au produit scalaire physique sont précisément les amplitudes PR. Il nous reste donc à expliquer pourquoi une telle restriction n'en est en fait pas une, ou de manière équivalente, pourquoi l'espace physique $\mathcal{H}_{\text{phys}}(\Delta)$ ne dépend pas de Δ. Cela vient de la contrainte de courbure nulle, $F^i_{ab} = 0$, qui pousse à chercher les fonctionnelles des connexions plates (invariantes de jauge). Or les holonomies d'une connexion plate ne dépendent que des classes d'homotopie des courbes. On peut donc se restreindre à un nombre fini de degrés de liberté, sur une triangulation, qui contient toutes les informations topologiques de la variété. Au niveau canonique, il suffit en fait de considérer les réseaux de spins construits le long d'un ensemble de générateurs de $\pi_1(\Sigma)$, la contrainte de courbure nulle se réduisant aux relations qui existent entre ces générateurs.

7.2.3 Modèle d'Ooguri, en 4d

Le modèle similaire en dimension 4 est appelé modèle d'Ooguri, [136]. Il se présente sous la forme d'une amplitude associée à chaque type de cellules, via des coloriages des faces par des spins et des liens par des entrelaceurs. La fonction de partition est obtenue en faisant le produit de ces amplitudes sur toute la triangulation, puis en sommant sur tous les coloriages – et au final en sommant sur tous les 2-complexes. En 4d, chaque lien est partagé par quatre faces duales, correspondant aux quatre triangles d'un tétraèdre. Cela signifie que l'on a à intégrer un produit de quatre éléments matriciels de représentations, aboutissant à l'identité sur l'espace invariant du produit tensoriel de quatre représentations, $\text{Inv}(\mathcal{H}_{j_1} \otimes \mathcal{H}_{j_2} \otimes \mathcal{H}_{j_3} \otimes \mathcal{H}_{j_4})$. Il nous faut donc exhiber une base des entrelaceurs 4-valents, en développant ceux-ci en deux entrelaceurs trivalents. On choisit un des trois appariements possibles entre les quatre représentations j_f, ainsi qu'une représentation intermédiaire i. Un entrelaceur s'écrit par exemple $|(j_1 j_2), (j_3 j_4); i\rangle$, où i est choisi dans la décomposition en représentations irréductibles de $\mathcal{H}_{j_1} \otimes \mathcal{H}_{j_2} = \oplus_{i_{12}} \mathcal{H}_{i_{12}}$ et de $\mathcal{H}_{j_3} \otimes \mathcal{H}_{j_4} = \oplus_{i_{34}} \mathcal{H}_{i_{34}}$. On a alors :

$$\int_{\text{SU}(2)} dg \prod_{a=1}^{4} D^{(j_a)}_{m_a n_a}(g) = \langle (j_a, m_a) | \ \text{id}_{\text{Inv}(\mathcal{H}_{j_1} \otimes \cdots \otimes \mathcal{H}_{j_4})} \ | (j_a, n_a) \rangle, \tag{7.43}$$

$$= \sum_i (2i+1) \ \langle (j_a, m_a) \, | (j_1 j_2), (j_3 j_4); i \rangle \ \langle (j_1 j_2), (j_3 j_4); i \, | (j_a, n_a) \rangle. \tag{7.44}$$

Les états $|(j_a, m_a)\rangle$ représentent les états de moments magnétiques bien définis, $\otimes_{a=1}^4 |j_a, m_a\rangle$. Leur contraction avec les entrelaceurs $|(j_1 j_2), (j_3 j_4); i\rangle$ sont données explicitement en appendice A. L'amplitude de vertex s'obtient en contractant les indices libres des quantités $\langle (j_a, m_a) \, | (j_1 j_2), (j_3 j_4); i \rangle$ au sein de chaque 4-simplexe. Il y a alors 10 spins sur les faces, et cinq entrelaceurs (caractérisé par un appariement et un spin virtuel) sur les tétraèdres. La structure combinatoire peut être comprise en regardant le graphe dual à la triangulation du bord. Les entrelaceurs sur les 5 tétraèdres sont représentés par 5 noeuds 4-valents, et les 10 faces deviennent des liens reliant ces noeuds, comme sur la figure 7.4. Le graphe correspondant a bien sûr la même structure que le 4-simplexe, et l'amplitude résultante est appelée symbole 15j.

L'interprétation canonique de ce 15j, en termes d'états de bord du 4-simplexe, est immédiate : les états $|(j_1 j_2), (j_3 j_4); i\rangle$ ne sont autres que les états du tétraèdre quantique, présentés en section 5.2.2, et états propres des opérateurs d'aires [6], et de l'opérateur d'aire d'un parallélogramme coupant le tétraèdre en deux, (5.33), (5.34) (ou d'un angle dihédral) !

6. Les états cinématiques de la LQG et de la théorie BF 4d SU(2) sont les mêmes, et sauf à considérer la gravité complète, il faudrait plutôt parler des flux du moment conjugué à la connexion à travers les triangles à la place d'aires physiques.

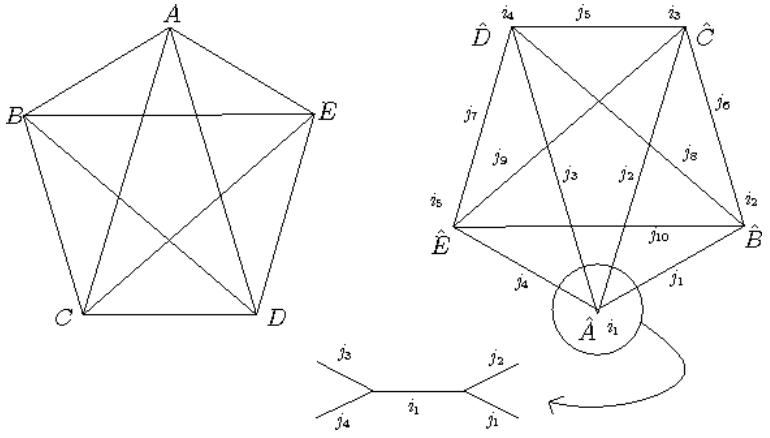

FIGURE 7.4 – Sur la figure de gauche est représenté un 4-simplexe, de sommets A, B, C, D, E (les tétraèdres étant formé par des collections de 4 de ces points et ainsi de suite). Sur la droite, il s'agit du réseau dual au bord du 4-simplexe. Ainsi, un tétraèdre, disons $(ABCD)$ (donc obtenu en éliminant le sommet E), est représenté par un vertex, appelé $\hat{E}$. Les liens sont de même duaux aux triangles, et donc colorés par des spins j_f. Pour écrire le modèle d'Ooguri en termes de mousses de spins, on développe chaque entrelaceur 4-valent en deux vertex trivalents reliés par un spin virtuel, dont les caractéristiques ont été donnés à la section 5.2.2.

Le lecteur attentif aura noté que la structure de chaque 15j dépendra du choix des appariements pour chacun des cinq entrelaceurs d'un 4-simplexe. Il est néanmoins possible d'écrire le modèle en n'utilisant qu'un seul type de 15j, mais cela requiert généralement des choix d'appariements différents pour les deux entrelaceurs impliqués dans (7.44). L'invariance de jauge est alors garantie par l'apparition de symboles 6j appropriés à chaque tétraèdre pour recoupler correctement les deux appariements différents. Sans préciser le détails des 15j, nous pouvons donc écrire la fonction de partition comme :

$$Z_{\mathrm{BF4d}} = \sum_{(j_f)_{f\in\Gamma_2}} \sum_{(i_e)_{e\in\Gamma_1}} \prod_f (2j_f+1) \prod_e (2i_e+1) \prod_v \{15j\}(j_f, i_e). \tag{7.45}$$

Comme en dimension 3, des mouvements de Pachner permettent de relier deux triangulations d'une même variété topologique. Il existe trois mouvements élémentaires (et leur inverse) : le mouvement 1-5, qui se construit comme le mouvement 1-4 en 3d, en ajoutant un sommet au centre d'un 4-simplexe, le mouvement 2-4 que nous étudierons en détails à la section 10.2, et le mouvement 3-3. Seul ce dernier est une invariance rigoureuse du modèle tel que nous l'avons défini. En effet, il ne possède qu'une invariance formelle sous les autres mouvements, du fait de divergences. Comme en 3d, ces divergences sont associées à la présence de bulles, i.e. de 3-cellules duales, dans les configurations mises en scène dans ces mouvements. A nouveau, ces bulles sont le lieu de fonctions delta sur le groupe redondantes, mais il n'y a pas eu jusqu'ici de proposition de fixation de jauge. Une des difficultés est la suivante : le mouvement 1-5, typiquement, produit cinq 3-cellules, de sorte que l'argument de Ponzano et Regge incite à attendre 5 delta redondants. Mais, seulement 4 le sont. Cela vient du fait que les cinq 3-cellules ne sont pas indépendantes, mais forment le bord d'une 4-cellule duale au sommet ajouté. Bien sûr ce phénomène est relié à la réductibilité de la symétrie de jauge de translation (1.5) de la théorie continue, se traduisant dans le formalisme BRST par la nécessité d'introduire des fantômes de fantômes (« ghosts of ghosts »), [127]. Il serait certainement intéressant d'étudier précisément les symétries de jauge au niveau discret en dimension quelconque, pour généraliser [97], et comprendre la structure des divergences associées dans la fonction de partition !

Comme cela devient clair, l'invariance sous les mouvements de Pachner du modèle topologique est la clé de la dynamique du modèle. Cette invariance (formelle) est facile à vérifier dans la formulation du modèle en termes d'intégrales sur les connexions discrètes, (7.20). En revanche, cela est nettement moins trivial dans la représentation en mousses de spins. Une autre façon de le dire est que l'action de la contrainte hamiltonienne $F^i_{ab} = 0$ reste simple sur les états en représentations de Schrődinger, fonctionnelles de la connexion, mais prend une forme moins évidente en représentations de coloriages par des spins,

$$\widehat{F_A}\, \phi_\Delta(c) = 0. \tag{7.46}$$

Naturellement, cela doit donner des équations au différences finies sur les coloriages des états physiques, contenues dans l'invariance du modèle de mousses de spins sous les mouvements de Pachner ! Ce sont ces équations que nous étudions à la partie IV.

Chapitre 8

Calculer avec les mousses de spins

8.1 Les fonctions de corrélations

Si nous avons précédemment discuté les amplitudes de transition entre réseaux de spins, i.e. leur produit scalaire physique, nous n'avons encore pas parlé des observables standards en théorie quantique des champs que sont les fonctions de Green/de corrélations. Elles sont pourtant essentielles pour dériver la limite semi-classique, de basse énergie, et ainsi vérifier son bon comportement, mais aussi si l'on veut pouvoir comparer nos modèles, pour l'opérateur hamiltonien ou de mousses de spins, à d'autres approches. Le régime semi-classique peut aussi nous permettre de développer des approximations et méthodes perturbatives originales, différentes de celles de la gravité linéarisée, à partir de nos modèles de mousses de spins intrinsèquement non-perturbatifs. Nous discutons donc dans cette section une approche générique pour définir proprement les fonctions de corrélations dans un contexte généralement covariant et sans métrique d'espace-temps privilégiée a priori. Cette approche a été initiée dans [133], et est à la base de tous les calculs d'observables type graviton dans les modèles de mousses de spins, en particulier celui que je développe en gravité 3d à la section suivante. Pour une présentation plus complète de la méthode, je renvoie le lecteur à [49].

En théorie quantique des champs conventionnelle, les fonctions de Green à n points sont formellement les insertions de n champs dans l'intégrale de chemins,

$$W(x_1, \ldots, x_n) = Z^{-1} \int D\phi \; \phi(x_1) \cdots \phi(x_n) \; e^{iS(\phi)}, \tag{8.1}$$

où $S(\phi)$ est l'action de la théorie, et Z l'intégrale de chemins sans insertion de champs $\phi(x)$. Les points $x_1, \ldots, x_n$ sont des points de l'espace-temps. De tels quantités se calculent explicitement, en théorie des perturbations à la Feynman, ou avec une régularisation sur réseau, à l'aide d'une renormalisation appropriée. Il faut cependant remarquer que l'espace-temps est alors muni d'une métrique physiquement privilégiée et fixée, i.e. non-dynamique, comme la métrique de Minkowski. Celle-ci nous permet de mesurer la distance entre les points x_i, et est essentielle à l'invariance de $W(x_1, \ldots, x_n)$ sous le groupe de Poincaré typiquement. Par ailleurs, si la mesure et l'action, $D\phi \, e^{iS}$, sont invariantes sous les difféomorphismes, alors il est clair que W est localement indépendants des points x_i.

Il nous faut donc une stratégie pour traiter ces difficultés, et être capable de traduire (8.1) en termes de mousses de spins. Si R est une région de l'espace-temps dont le bord, $\Sigma = \partial R$ abrite les points $x_1, \ldots, x_n$, notons φ la restriction du champ ϕ à Σ, et réécrivons (8.1) comme :

$$W(x_1, \ldots, x_n) = Z^{-1} \int D\varphi \; \varphi(x_1) \cdots \varphi(x_n) \; W(\varphi, \Sigma) \; \Psi_0(\varphi), \tag{8.2}$$

où $W(\varphi, \Sigma)$ n'est autre que l'intégrale de chemins sur R,

$$W(\varphi, \Sigma) = \int D\phi_R|_{\phi_{R|\Sigma}=\varphi} \; e^{iS_R(\phi_R)}, \tag{8.3}$$

avec la condition de champ fixe, $\phi_{R|\Sigma} = \varphi$, sur Σ, et $S_R(\phi_R)$ étant l'action restreinte à R. Du fait de la covariance générale, $W(\varphi, \Sigma)$ est invariant sous les petites déformations de Σ. On peut donc simplement noter le noyau de propagation du champ à l'intérieur de R, $W(\varphi)$. En gravité quantique, la géométrie sur Σ utilisée pour calculer ce noyau n'est donc naturellement pas liée à une métrique privilégiée, mais déterminée par φ qui n'est autre que le champ gravitationnel au bord. Disons tout de suite qu'un intérêt pour nous de ce découpage est la possibilité de décrire les configurations de bord, φ, en termes des réseaux de spins qui forment une base de l'espace des états cinématique, et d'observer alors que $W(\varphi)$ est précisément ce que les modèles de mousses de spins cherchent à calculer !

Quant à $\Psi_0(\varphi)$, il s'agit de l'intégrale de chemins sur l'extérieur de R. Si l'on peut supposer que la théorie est (approximativement) libre en dehors de R, alors $\Psi_0(\varphi)$ résulte d'une intégrale gaussienne (avec des conditions à l'infini bien sûr) et n'est autre que l'état du vide de la théorie (libre) en représentation de Schrődinger. En gravité linéarisée autour d'une métrique de fond, $g_{\mu\nu} = g^0_{\mu\nu} + h_{\mu\nu}$, cet état décrit une géométrie quantique piquée autour de $h_{ab} = 0$ et $\pi^{ab} = 0$, ce dernier étant le moment conjugué à h. Cela suggère une généralisation à des états de type cohérent sur Σ, i.e. de $\Psi_0(\varphi)$ à un état $\Psi_q(\varphi)$ qui serait piqué autour d'une 3-géométrie q, décrivant la géométrie intrinsèque *et* la géométrie extrinsèque de Σ. De telles données permettent alors de situer les entrées $x_1, \ldots, x_n$ des fonctions de Green en lien avec la métrique introduite sur Σ issue de q, et donc en lien avec les valeurs que prend le champ gravitationnel sur Σ.

En régime quelconque de la gravité quantique, on souhaite bien sûr considérer des surfaces Σ arbitraires. Mais, pour étudier la limite semi-classique des mousses de spins, en comparaison avec la gravité quantique linéarisée, il nous est suffisant de regarder sur deux hyperplans de genre espace de petites perturbations h'_{ab} et h''_{ab} qui s'annulent asymptotiquement. Dans ce cadre, le noyau de propagation $W[h', h'', T]$ en relativité générale linéarisée a été étudié (voir [131] pour un calcul explicite en jauge temporelle et pour plus de détails et références sur le sujet), T étant le temps propre asymptotique entre les deux hypersurfaces. Alors, la fonction à deux points est donnée par :

$$W_{abcd}(\vec{x}, \vec{y}; T) = \frac{1}{\mathcal{N}} \int Dh' \, Dh'' \; W[h', h'', T] \; \Psi_0(h') \, h'_{ab}(\vec{x}, 0) \; \Psi_0(h'') \, h''_{cd}(\vec{y}, T), \tag{8.4}$$

où $\mathcal{N}$ est une constante de normalisation. Notons que si le noyau et l'état du vide sont bien invariants de jauge, ce n'est pas le cas des insertions, qui nécessitent donc des choix de fixations de jauge spatiales. Nous pouvons alors donner une formulation en termes de mousses de spins,

$$W_{\mu\nu\rho\sigma}(x, y) = \frac{1}{N} \sum_s W[s] \; \Psi_0(s) \; \langle s|h_{\mu\nu}(x)|s\rangle \; \langle s|h_{\rho\sigma}(y)|s\rangle. \tag{8.5}$$

Ici, la somme est prise sur l'ensemble des réseaux de spins. Le noyau $W[s]$ est fourni explicitement par un modèle de mousses de spins choisi, et prend en compte la somme sur tous les 2-complexes (ou sur toutes les mousses) compatibles avec le réseau s. $\Psi_0(s)$ est une fonctionnelle sur les réseaux de spins qui doit être piqué sur ceux décrivant l'espace plat dans la limite semi-classique.

Une telle formule (avec des approximations comme nous le verrons) a permis dans tous les modèles étudiés pour linstant de reproduire correctement le comportement du propagateur avec la distance, en $1/\ell^2$. Mais ces calculs sont aussi à l'origine de la déchéance du modèle de Barrett-Crane, dont on a pu montrer [5, 6] qu'il ne produisait pas la structure tensorielle de $W_{\mu\nu\rho\sigma}$ attendue, dans le cas d'un 4-simplex isolé. Je renvoie notamment à [46] pour des résultats encourageants sur le nouveau modèle dit EPR, toujours pour un unique 4-simplex, mais avec le paramètre d'Immirzi, et une comparaison *explicite* à la même quantité calculée par le calcul de Regge (dans [48]) et par la relativité générale

linéarisée. Signalons également une approche assez similaire concernant aussi la limite semi-classique du modèle EPR, mais à travers la cosmologie, pour retrouver les équations de Friedmann [51].

Certains de ces calculs utilisent les formes asymptotiques de $W[s]$, tronqué à un seul vertex, i.e. un seul 4-simplex, et à l'ordre dominant dans la limite des grands spins. Je renvoie à [39] pour le symbole 15j, [38, 40] pour le modèle EPR riemannien et lorentzien, et à [69] pour le modèle FK, qui montrent tous la proximité du développement semi-classique (asymptotique à grands spins) des mousses de spins avec le calcul de Regge !

8.2 Corrélations entre deux longueurs dans un modèle en 3d

Nous regardons ici un modèle simplificateur, en gravité 3d, fondé sur le modèle de Ponzano-Regge avec un unique tétraèdre. Il fut introduit par S. Speziale [159], puis développé aux premiers ordres dans [125], avant d'obtenir un développement complet dans [60]. Bien que la théorie ne possède aucun degré de liberté localement, il est possible de calculer la fonction à deux points dans une jauge où elle ne s'annule pas (même si les gravitons sont alors de purs effets de jauge). Cela va nous permettre de discuter plus aisément le choix de l'état de bord, et de parvenir à un développement asymptotique complet dans la limite des grandes distances. Ce développement reproduit à l'ordre le plus bas le comportement en $1/\ell$ du propagateur en 3d dans la jauge adéquate. De plus, la même méthode pourra s'appliquer au symbole 6j, dans un cas particulier dit isocèle, et nous donnera un développement asymptotique complet ! Celui-ci a par la suite été confirmé et généralisé dans [81, 80] par Dupuis et Livine, notamment en utilisant des relations de récurrence sur le symbole 6j, telles que celles que nous regardons à la partie IV dans différents modèles de mousses de spins !

Ce modèle en 3d permet de constater explicitement comment le calcul de Regge intervient. A l'ordre le plus bas, il en effet possible, comme mentionné en fin de section précédente, de se contenter de l'asymptotique du modèle, ici du symbole 6j, qui est basiquement [1] le cosinus de l'action de Regge 3d S_{R} [143, 158],

$$\begin{Bmatrix} j_1 & j_2 & j_3 \\ j_4 & j_5 & j_6 \end{Bmatrix} \sim \frac{1}{\sqrt{12\pi V(\ell_e)}} \cos\left(S_{\mathrm{R}}[\ell_e] + \frac{\pi}{4}\right), \tag{8.6}$$

où $V(\ell_e)$ est le volume du tétraèdre dont les longueurs sont données par $\ell_e = j_e + \frac{1}{2}$, et possédant des angles dihédraux $\theta_e(\ell)$ fonctions des longueurs. L'action de Regge est $S_{\mathrm{R}} = \sum_e \ell_e\, \theta_e(\ell)$. Le régime des grands spins fournit ainsi une notion de limite semi-classique des mousses de spins sous la forme d'un calcul de Regge quantique (avec des longueurs quantifiées). Mais le modèle de Ponzano-Regge offre plusieurs avantages sur le calcul de Regge. Il nous fournit en effet une mesure d'intégration, compatible avec les inégalités triangulaires qui assurent que la métrique de Regge est bien définie positive, et ce grâce au symbole 6j issu de la théorie des représentations de SU(2). Cette mesure est par ailleurs fixée par la condition de faire un modèle topologique, ne dépendant pas de la triangulation.

Ce modèle topologique est bien sûr basé sur l'utilisation du 6j complet, et pas seulement de son asymptotique (8.6), comme en atteste les relations de résurrence *exactes* sur le 6j qui caractérisent les symétries de la théorie au niveau quantique. En ce qui concerne le calcul du propagateur, il a été montré dans [125] que les déviations du 6j à l'asymptotique de Ponzano et Regge engendrent des corrections à partir du deuxième ordre sous-dominant (le next-to-next-to-leading order, NNLO) aux grands spins. La méthode que nous utilisons ici repose sur une forme intégrale du 6j et du propagateur, suivie d'une approximation du point col. Cette représentation intégrale, exacte, prend donc en compte les corrections à l'asymptotique (8.6) de manière naturelle !

1. En général, la solution est une combinaison de fonctions d'Airy, qui se réduit à (8.6) quand $V(\ell_e)^2 > 0$.

8.2.1 Présentation du modèle

Le modèle est présenté en détails dans [159], nous en donnons ici les grandes lignes. Nous considérons un tétraèdre dans l'espace(-temps) 3d euclidien, et souhaitons calculer les corrélations entre les fluctuations des longueurs ℓ_1', ℓ_2' de deux arêtes opposées, autour de valeurs moyennes ℓ_1, ℓ_2, suivant la figure 8.1. Comme fixation de jauge, nous imaginons que le temps propre T entre ces deux arêtes a été mesuré, fixant les longueurs des quatre autres arêtes à une valeur commune, $\ell_t = (j_t + \frac{1}{2})\ell_P = \sqrt{2}T$, où ℓ_P est la longueur de Planck. En considérant que les vecteurs ℓ_1^μ et ℓ_2^μ sont dans les directions x^1 et x^2, nous projetons le propagateur $W_{\mu\nu\rho\sigma}(x,y)$ selon

$$\ell_1^2 \ell_2^2 W_{1122}(T) := \ell_1^\mu \ell_1^\nu \ell_2^\rho \ell_2^\sigma \; W_{\mu\nu\rho\sigma}(x,y). \tag{8.7}$$

Du fait de la mesure du « temps » T, la somme sur les réseaux de spins dans (8.5) est ici réduite à une somme sur les coloriages j_1', j_2' des arêtes e_1, e_2, qui sont reliés aux longueurs par $\ell_e' = (j_e' + \frac{1}{2})\ell_P$, ces longueurs étant quantifiées en gravité 3d en boucles, en accord avec le modèle de Ponzano-Regge. On a donc :

$$\ell_1^2 \ell_2^2 W_{1122}(T) = \frac{1}{\mathcal{N}} \sum_{j_1', j_2'} W[j_1', j_2', j_t] \; \Psi_0(j_1', j_2') \; \langle j_1' | \ell_1^\mu \ell_1^\nu h_{\mu\nu}(x) | j_1' \rangle \, \langle j_2' | \ell_2^\rho \ell_2^\sigma h_{\rho\sigma}(y) | j_2' \rangle. \tag{8.8}$$

Le noyau est donné par l'amplitude de Ponzano-Regge pour le tétraèdre avec quatre spins fixés,

$$W[j_1', j_2', j_t] = \begin{Bmatrix} j_1' & j_t & j_t \\ j_2' & j_t & j_t \end{Bmatrix}. \tag{8.9}$$

L'idée principale pour calculer la fonction à deux points est d'effectuer un développement vis-à-vis de la géométrie du bord, qui se comporte donc comme une géométrie de fond admettant des perturbations. Pour cela nous devons spécifier les géométries intrinsèque et extrinsèque du bord, ici données par ℓ_t, les longueurs moyennes ℓ_1, ℓ_2, et leurs moments conjugués. Ces derniers sont des variables angulaires η_e sur chaque arête. Ils doivent satisfaire les équations du mouvement, qui comme nous l'avons vu établissent que ces variables angulaires sont les angles dihédraux associés aux longueurs. Notre étude montre par ailleurs, de façon claire, que les développements s'écrivent beaucoup plus naturellement avec les variables de longueur qu'avec les spins eux-mêmes. Nous utiliserons en fait des variables adimensionnées équivalentes aux longueurs, $d_j = 2\ell_j/\ell_P = 2j+1$, soit la dimension de la représentation de spin j de SU(2). Ce choix peut paraître physiquement plus naturel dans la mesure où nous nous intéressons à un développement asymptotique aux grandes longueurs. Cet aspect avait auparavant été peu considéré car il s'agit de la première étude qui allant au delà de l'ordre dominant aux grandes longueurs nécessite d'avoir vraiment les bons paramètres pour simplifier les formules au possible. Posons

$$k_e = \frac{\ell_e}{2\ell_t}, \tag{8.10}$$

pour $e = e_1, e_2$, qui seront gardés *fixés*, i.e. que ℓ_t, ou de manière équivalente d_{j_t}, fixe l'échelle du tétraèdre. Les angles dihédraux ϑ_1, ϑ_2 et ϑ_t sont donnés en fonction des longueurs par :

$$\vartheta_{1,2} = 2 \arccos\Big(\frac{k_{2,1}}{\sqrt{1-k_{1,2}^2}}\Big) \quad \text{and} \quad \vartheta_t = \arccos\Big(\frac{-k_1 k_2}{\sqrt{1-k_1^2}\sqrt{1-k_2^2}}\Big), \tag{8.11}$$

pourvu que $k_e < 1$, condition assurée par les inégalités triangulaires. Notons la relation pariculièrement simple qui existe entre ces angles : $\cos\vartheta_t = -\cos(\frac{\vartheta_1}{2})\cos(\frac{\vartheta_2}{2})$.

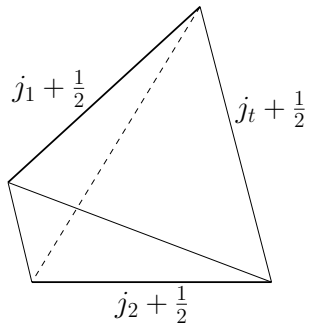

FIGURE 8.1 – Le cadre du calcul de la fonction à 2 points. Les deux liens pour lesquels nous allons calculer les corrélations de fluctuations de longueur son en gras, et ont pour longueur moyenne $(j_1+\frac{1}{2})$ et $(j_2+\frac{1}{2})$. Ces données sont prises en compte à travers l'état de bord du tétraèdre. Dans la jauge temps, les quatre autres liens ont des longueurs imposées, $(j_t+\frac{1}{2})$, à interpréter comme le temps propre d'une particule se propageant le long de ces liens. De manière équivalente, le temps entre deux plans contenant les liens e_1, e_2 a été mesuré : $T = (j_t+\frac{1}{2})/\sqrt{2}$.

L'état de bord

Nous avons maintenant besoin d'expliciter un état de bord, $\Psi_0(j_1', j_2')$, que nous prenons factorisé, c'est-à-dire : $\Psi_0(j_1', j_2') = \Psi_{e_1}(j_1')\Psi_{e_2}(j_2')$. Le rôle de cet état est de piquer l'amplitude sur la géométrie classique du tétraèdre telle que décrite ci-dessus. On s'inspire pour cela des états cohérents de la mécanique quantique standard, en proposant une forme gaussienne sur les spins, et une phase sur les moments conjugués,

$$\Psi_e^{\text{Gauss}}(j) \propto e^{-\frac{(j-j_e)^2}{\gamma_e}}\ e^{\frac{i}{2}d_j\vartheta_e}. \tag{8.12}$$

Il s'agit de l'ansatz utilisé initialement par Rovelli dans [154] (premier calcul de ce type dans le cadre du modèle de Barrett-Crane). Le coefficient γ_e doit se comporter en fonction de j_e de sorte que les incertitudes relatives tendent vers zéro aux grandes distances,

$$\frac{\langle \Delta j_e' \rangle}{\langle j_e' \rangle} \sim \frac{\sqrt{\gamma_e}}{j_e} \to 0, \qquad \frac{\langle \Delta \phi_e \rangle}{\langle \phi_e \rangle} \sim \frac{1}{\sqrt{\gamma_e}\vartheta_e} \to 0, \tag{8.13}$$

ce qui autorise une gamme de scaling pour γ_e. Mais, il a été montré [159] que le bon choix correspond à $\gamma_e \propto j_e$. Comme nous l'avons déjà mentionné, il sera plus aisé d'utiliser les longeurs (ou les dimensions d_j) que les spins. Une autre petite modification de γ_e s'avère commode, que l'on prend

$$\gamma_e = d_{j_t}(1-k_e^2). \tag{8.14}$$

On s'attend à ce que la phase ait un rôle essentiel, comme en mécanique quantique, dans l'émergence des trajectoires classiques. Cela se réalise par le fait que cette phase compense dans l'analyse au point col une phase opposée provenant du noyau, phénomène déjà observé dans [154]. On souhaiterait aussi comprendre cette phase par dualité de Fourier, i.e. en exprimant l'état de bord en représentation « moments ». On s'attend alors à voir une inversion des rôles entre longueurs et angles dans (8.12). La structure naturelle de la théorie provenant du groupe SU(2), on utilise la transformée de Fourier sur ce groupe, ou plutôt sur SO(3),

$$\widehat{\Psi}_e(\phi) = \sum_{j\in\mathbb{N}} \Psi_e(j)\,\chi_j(\phi), \qquad \Psi_e(j) = \int dg\ \widehat{\Psi}_e(\phi)\,\chi_j(\phi). \tag{8.15}$$

La mesure de Haar normalisée est donné par $dg = \sin^2\phi\, d\phi\, d^2\vec{n}$ pour $\vec{n} \in S^2$. Avec cette paramétrisation, les caractères sont : $\chi_j(\phi) = \sin d_j\phi / \sin\phi$. Notre volonté d'utiliser pleinement la structure mathématique à disposition montre alors une limite de l'état gaussien (8.12). La transformée de celui-ci se comportant en $e^{-\gamma_e(\phi-\vartheta_e)^2}$, elle n'est pas bien définie sur le groupe. Un choix plus naturel est de considérer des fonctions du type : $\exp(-\gamma_e \sin^2(\phi - \vartheta_e))$. C'est ce qui a été fait à partir de [125], et que nous faisons aussi en prenant à la place de l'ansatz gaussien :

$$\Psi_e(j) = \frac{e^{-\gamma_e/2}}{N} \left[I_{|j-j_e|}(\frac{\gamma_e}{2}) - I_{j+j_e+1}(\frac{\gamma_e}{2}) \right] \cos(d_j\alpha_e), \quad \text{pour} \quad \alpha_e = \vartheta_e/2. \tag{8.16}$$

N est une normalisation qui dépend de γ_e. Les fonctions $I_n(z)$ sont les fonctions de Bessel modifiées du premier type, définies par : $I_n(z) = \frac{1}{\pi}\int_0^\pi d\phi\, e^{z\cos\phi}\cos(n\phi)$. Quant à $\alpha_e = \vartheta_e/2$, ce sont les demi-angles dihédraux [2]. Le comportement asymptotique reproduit une gaussienne, centrée sur j_e, de largeur au carré γ_e,

$$\Psi_e(j) \sim \frac{1}{N}\sqrt{\frac{4}{\pi\gamma_e}}\; e^{-\frac{(j-j_e)^2}{\gamma_e}} \;\cos(d_j\alpha_e). \tag{8.17}$$

Le rôle du cosinus est similaire à celui de la phase dans (8.12), tout en fournissant un état de bord réel. Il permet de piquer la variable duale à j, i.e. l'angle ϕ, sur l'angle dihédral classique. Cela se voit maintenant très bien par dualité :

$$\widehat{\Psi}_e(\phi) = \frac{1}{2}\sum_{\eta=\pm1} \widehat{\Psi}_e^{(\eta)}(\phi) \tag{8.18}$$

$$\text{avec} \quad \widehat{\Psi}_e^{(\eta)} = \frac{1}{N\sin(\phi)}\; \sin\big(d_{j_e}(\phi + \eta\,\alpha_e)\big)\; e^{-\gamma_e \sin^2(\phi+\eta\,\alpha_e)} \tag{8.19}$$

Notons qu'il s'agit d'une fonction de classe sur SU(2), grâce à l'invariance sous $\phi \to \pi - \phi$ (et à l'invariance sous $\phi \to -\phi$), ce qui n'est pas le cas de $\widehat{\Psi}^{(\eta)}$ seule. Cet état est donc centré autour de $\phi = \alpha_e$ et $\phi = \pi - \alpha_e$.

Insistons finalement sur le fait que nos états de bord sont des ansatz, calqués sur les états cohérents standards. Une autre approche, physiquement plus satisfaisante, voire nécessaire, est de demander à ces états de bord d'être des états physiques de la théorie, comme c'est le cas dans (8.2). Un critère d'évolution physique dans notre situation avec quatre spins fixés a été proposé dans [124], fondé sur le 6j isocèle comme noyau de propagation, et les auteurs montrent que ce critère est bien satisfait dans l'asymptotique par les états gaussiens.

Analyse des points col du noyau

Les insertions de champs s'obtiennent en écrivant $\ell_1^\mu\ell_1^\nu h_{\mu\nu} = \ell_1^\mu\ell_1^\nu g_{\mu\nu} - \ell_1^\mu\ell_1^\nu\delta_{\mu\nu}$. Le deuxième terme correspond à la géométrie moyenne fixée comme fond, $\ell_1^\mu\ell_1^\nu\delta_{\mu\nu} = \ell_P^2 d_{j_1}^2/4$, où ℓ_P est la longueur de Planck. Le premier terme agit simplement comme l'opérateur de longueur sur le réseau de spins dual au tétraèdre. Celui-ci étant un état propre, on aboutit à [159]

$$\langle j_1'|\ell_1^\mu\ell_1^\nu\, h_{\mu\nu}(x)|j_1'\rangle = \frac{\ell_P^2}{4}\big(d_{j_1'}^2 - d_{j_1}^2\big), \tag{8.20}$$

et de même pour la deuxième insertion. Cela est géométriquement assez clair : la contraction diagonale de $h_{\mu\nu}$ mesure bien les fluctuations de longueur dans la direction de contraction. Ces longueurs apparaissent ici comme les valeurs propres des opérateurs correspondants en LQG.

2. On utilisera conjointement les quantités α_e et d_{j_e}. On aurait très bien pu prendre à la place $\vartheta_e = 2\alpha_e$ et $\ell_e/\ell_P = d_{j_e}/2$, d'interprétation peut-être encore plus immédiate.

Le propagateur W_{1122} s'écrit donc :

$$W_{1122} = \frac{1}{\mathcal{N}} \sum_{j_1', j_2'} \begin{Bmatrix} j_1' & j_t & j_t \\ j_2' & j_t & j_t \end{Bmatrix} \mathcal{O}_{j_1}(j_1')\Psi_{e_1}(j_1')\ \mathcal{O}_{j_2}(j_2')\Psi_{e_2}(j_2'), \tag{8.21}$$

$$\text{avec} \quad \mathcal{O}_{j_e}(j') = \frac{1}{d_{j_e}^2}\Big(d_{j'}^2 - d_{j_e}^2\Big). \tag{8.22}$$

Le facteur de normalisation $\mathcal{N}$ est donné par la même somme, sans les insertions d'observables $\mathcal{O}_{j_e}(j_e')$. La clé de notre formulation réside dans l'existence d'une formule intégrale simple pour le 6j isocèle[3], dont nous prenons les spins entiers,

$$\begin{Bmatrix} j_1 & j_t & j_t \\ j_2 & j_t & j_t \end{Bmatrix} = \int_{\mathrm{SU}(2)^2} dg_1 dg_2\ \chi_{j_t}(g_1 g_2)\ \chi_{j_t}(g_1 g_2^{-1})\ \chi_{j_1}(g_1)\ \chi_{j_2}(g_2). \tag{8.23}$$

Grâce à cette formule et la transformée de Fourier de l'état de bord, nous pourrons également écrire le propagateur comme une intégrale sur le groupe. Cela va nous permettre d'effectuer un développement asymptotique, via la méthode du point col/phase stationnaire, pour les grands spins. Par rapport à [125] sur le même sujet, notre méthode offre l'avantage d'inclure naturellement les corrections à l'ordre dominant provenant de l'action de Regge, mais aussi les corrections du 6j à l'action de Regge.

Commençons par regarder les points col de la formule (8.23) pour le 6j isocèle. Le calcul pour W_{1122} offrira en fait une structure très similaire. Nous avons d'abord besoin des angles de classe des éléments de groupe $g_1 g_2$ et $g_1 g_2^{-1}$,

$$\phi_{12}^{\pm} = \arccos\big(\cos\phi_1 \cos\phi_2 \mp u\ \sin\phi_1 \sin\phi_2\big) \tag{8.24}$$

avec la notation $u = \vec{n}_1 \cdot \vec{n}_2$. Les phases oscillant rapidement se développent sous forme exponentielle pour amener

$$\begin{Bmatrix} j_1 & j_t & j_t \\ j_2 & j_t & j_t \end{Bmatrix} = \frac{1}{8\pi^2} \sum_{\epsilon_1, \epsilon_2, \epsilon_{12}^+, \epsilon_{12}^- = \pm 1} \epsilon_1\ \epsilon_2\ \epsilon_{12}^+\ \epsilon_{12}^- \int d\phi_1 d\phi_2 du\ f(\phi_1, \phi_2, u)\ e^{i d_{j_t} \Phi_{\{\epsilon\}}}, \tag{8.25}$$

où la « mesure » $f(\phi_1, \phi_2, u)$ et la phase $\Phi_{\{\epsilon\}}$, indépendantes de l'échelle (j_t, j_1 et j_2 ayant la même échelle) sont données par

$$f(\phi_1, \phi_2, u) = \frac{\sin(\phi_1)\sin(\phi_2)}{\sin(\phi_{12}^+)\sin(\phi_{12}^-)}, \tag{8.26}$$

$$\Phi_{\{\epsilon\}}(\phi_1, \phi_2, u) = (\epsilon_{12}^+ \phi_{12}^+ + \epsilon_{12}^- \phi_{12}^-)\ +\ 2k_1\epsilon_1\ \phi_1\ +\ 2k_2\epsilon_2\ \phi_2. \tag{8.27}$$

Recherchons maintenant les points stationnaires de $\Phi_{\{\epsilon\}}$. La variable u n'intervient que dans $\phi_{12}^{\pm}$, et l'équation de stationnarité associée, $\epsilon_{12}^+ \partial_u \phi_{12}^+ + \epsilon_{12}^- \partial_u \phi_{12}^- = 0$, se résout par : $u = \vec{n}_1 \cdot \vec{n}_2 = 0$ et $\epsilon_{12}^+ = \epsilon_{12}^- = \epsilon_{12}$. Les variations de ϕ_1 et ϕ_2 conduisent aux équations :

$$d_{j_t}\big(\epsilon_{12}^+ \partial_{\phi_e} \phi_{12}^+ + \epsilon_{12}^- \partial_{\phi_e} \phi_{12}^-\big) + d_{j_e}\epsilon_e = 0, \qquad e = 1, 2, \tag{8.28}$$

dont les solutions dans $[0, \pi[$ sont :

$$\begin{cases} \bar{\phi}_1 = -\epsilon_{12}\ \epsilon_2 \arccos\left(\frac{k_2}{\sqrt{1-k_1^2}}\right) + (1 + \epsilon_{12}\ \epsilon_2)\frac{\pi}{2} \\ \bar{\phi}_2 = -\epsilon_{12}\ \epsilon_1 \arccos\left(\frac{k_1}{\sqrt{1-k_2^2}}\right) + (1 + \epsilon_{12}\ \epsilon_1)\frac{\pi}{2} \end{cases} \tag{8.29}$$

3. Pour une configuration générique, seul le 6j au carré admet une telle représentation sous forme intégrale, à moins d'utiliser plus de données au bord, comme avec les états cohérents SU(2). Pour les modèles en 4d, l'amplitude du 4-simplex est bien donnée par une intégrale, avec des données de bord un peu plus évoluées qu'ici, notamment ces mêmes états cohérents de SU(2).

Cela nous permet d'accéder à une interprétation géométrique simple des angles de classe intervenant dans l'intégrale (8.23), semblable à celle, connue, pour les variables de l'intégrale définissant le 6j au carré. Le symbole 6j isocèle provient d'une amplitude piquée aux grands spins sur les (demi-)angles dihédraux, internes ou externes, de la géométrie classique. En effet, par exemple, lorsque $\epsilon_{12}\epsilon_2 = -1$, l'angle stationnaire $\bar{\phi}_1$ est $\bar{\phi}_1 = \alpha_1 = \vartheta_1/2$, tandis que pour $\epsilon_{12}\epsilon_2 = 1$, c'est : $\bar{\phi}_1 = \pi - \alpha_1$. Cette interprétation n'est pas une surprise dans la mesure où le symbole 6j, générique, est le seul état physique pour une triangulation formée par le bord d'un tétraèdre, dans la base des réseaux de spins. Il satisfait la contrainte de courbure nulle au niveau quantique, et c'est lui qui doit être utilisé comme état de bord dans le cadre d'un bord générique, sans la fixation de jauge sur T [124].

Nous utilisons en complément cette analyse pour dériver le développement asymptotique complet du 6j isocèle, plus bas en section 8.3.

Une intégrale pour le propagateur

Nous insérons l'expression (8.23) dans (8.21), ce qui nous oblige à constater que les sommes sur j_1', j_2' forment dorénavant et précisément les transformées de Fourier des états de bord ! Regardons d'abord la normalisation $\mathcal{N}$,

$$\mathcal{N} = \int dg_1 dg_2 \; \chi_{j_t}(g_1 g_2^{-1}) \; \chi_{j_t}(g_1 g_2) \; \Big[\sum_{j_1'} \Psi_{e_1}(j_1')\chi_{j_1'}(g_1)\Big] \; \Big[\sum_{j_2'} \Psi_{e_2}(j_2')\chi_{j_2'}(g_2)\Big], \tag{8.30}$$

$$= \int dg_1 dg_2 \; \chi_{j_t}(g_1 g_2^{-1}) \; \chi_{j_t}(g_1 g_2) \; \widehat{\Psi}_{e_1}(g_1) \; \widehat{\Psi}_{e_2}(g_2). \tag{8.31}$$

On développe les phases oscillant rapidement sous formes exponentielles,

$$\mathcal{N} = \frac{1}{32\pi^2} \sum_{\substack{\epsilon_1,\epsilon_2,\epsilon_{12}^+,\epsilon_{12}^-,\\ \eta_1,\eta_2=\pm 1}} \epsilon_1 \; \epsilon_2 \; \epsilon_{12}^+ \; \epsilon_{12}^- \int d\phi_1 d\phi_2 du \; f(\phi_1,\phi_2,u) \; e^{d_{j_t} S_{\{\epsilon,\eta\}}(\phi_1,\phi_2,u)}, \quad \text{pour} \tag{8.32}$$

$$S_{\{\epsilon,\eta\}}(\phi_1,\phi_2,u) = i\big(\epsilon_{12}^+\phi_{12}^+ + \epsilon_{12}^-\phi_{12}^-\big) + \sum_{e=1,2} 2ik_e\epsilon_e(\phi_e + \eta_e\alpha_e) - \big(1-k_e^2\big)\sin^2(\phi_e + \eta_e\alpha_e). \tag{8.33}$$

Le label $\{\epsilon,\eta\}$ fait état de la dépendance en les signes, et f est donné par (8.26). Le point remarquable est que la partir imaginaire de $S_{\{\epsilon,\eta\}}$ n'est autre que $\Phi_{\{\epsilon\}}$, (8.27), à des termes constants en $\alpha_{1,2}$ près qui ne jouent aucun rôle dans la méthode de la phase stationnaire. En particulier, les points stationnaires de $S_{\{\epsilon,\eta\}}$ sont à rechercher parmi ceux de $\Phi_{\{\epsilon\}}$.

Le numérateur de W_{1122} se prête à la même analyse. Pour prendre en compte les observables $\mathcal{O}_{j_e}$, remarquons que le caractère de SU(2) est une fonction propre du laplacien sur la sphère S^3, ayant le Casimir de la représentation pour valeur propre,

$$\Delta_{S^3}\chi_j(\phi) = \frac{1}{\sin^2\phi} \; \partial_\phi\big(\sin^2\phi \; \partial_\phi \; \chi_j\big) = -(d_j^2 - 1) \; \chi_j(\phi). \tag{8.34}$$

Cela permet à nouveau de faire les sommes sur j_1', j_2' en introduisant les transformées de Fourier $\widehat{\Psi}_e$. Le résultat de ces opérations est également développé en exponentielles,

$$W_{1122} = \frac{1}{32\pi^2\,\mathcal{N}} \; \frac{k_1 k_2}{4\cos^2\vartheta_t} \sum_{\substack{\epsilon_1,\epsilon_2,\epsilon_{12}^+,\epsilon_{12}^-,\\ \eta_1,\eta_2=\pm 1}} \epsilon_1 \; \epsilon_2 \; \epsilon_{12}^+ \; \epsilon_{12}^- \int d\phi_1 d\phi_2 du \; f(\phi_1,\phi_2,u) \; e^{d_{j_t} S_{\{\epsilon,\eta\}}(\phi_1,\phi_2,u)}$$
$$\times \Big(a_{\{\epsilon,\eta\}}(\phi_1,\phi_2) + \frac{b_{\{\epsilon,\eta\}}(\phi_1,\phi_2)}{d_{j_t}} + \frac{c_{\{\epsilon,\eta\}}(\phi_1,\phi_2)}{d_{j_t}^2}\Big). \tag{8.35}$$

Les fonctions $a_{\{\epsilon,\eta\}}$, $b_{\{\epsilon,\eta\}}$ et $c_{\{\epsilon,\eta\}}$ représentent les insertions des observables, et sont données explicitement par :

$$a_{\{\epsilon,\eta\}}(\phi_1,\phi_2) = \prod_{e=1,2}\Big(\frac{1-k_e^2}{2k_e}\sin^2 2(\phi_e+\eta_e\ \alpha_e) - 2i\epsilon_e \sin 2(\phi_e+\eta_e\ \alpha_e)\Big), \tag{8.36}$$

$$b_{\{\epsilon,\eta\}}(\phi_1,\phi_2) = -\frac{1}{k_2}\cos 2(\phi_2+\eta_2\ \alpha_2)\ \Big(\frac{1-k_1^2}{2k_1}\sin^2 2(\phi_1+\eta_1\ \alpha_1) - 2i\epsilon_1 \sin 2(\phi_1+\eta_1\ \alpha_1)\Big) + (e_1 \leftrightarrow e_2), \tag{8.37}$$

$$c_{\{\epsilon,\eta\}}(\phi_1,\phi_2) = \frac{1}{k_1k_2}\ \cos 2(\phi_1+\eta_1\ \alpha_1)\ \cos 2(\phi_2+\eta_2\ \alpha_2). \tag{8.38}$$

Tout comme $f(\phi_1,\phi_2,u)$, elles sont indépendantes de l'échelle.

L'écriture (8.35) envisage donc W_{1122} comme la valeur moyenne de la fonction $a_{\{\epsilon,\eta\}}+\frac{b_{\{\epsilon,\eta\}}}{d_{j_t}}+\frac{c_{\{\epsilon,\eta\}}}{d_{j_t}^2}$ pour une théorie non-linéaire définie par l'action $S_{\{\epsilon,\eta\}}$ et la mesure d'intégration f. La stratégie est donc de calculer séparément $\mathcal{N}$ et le numérateur, en perturbations, à l'aide d'un développement autour des points stationnaires de l'action $S_{\{\epsilon,\eta\}}$.

Comme remarqué ci-dessus, les points stationnaires de la partie imaginaire de $S_{\{\epsilon,\eta\}}$ sont les mêmes que ceux du 6j isocèle, i.e $u=0$ et $\bar\phi_e$ donné par (8.29), indépendamment des signes η_1 et η_2. De son côté, la stationnarisation de la partie réelle de $S_{\{\epsilon,\eta\}}$ va contraindre les signes η_1,η_2. En effet, pour une solution $(\bar\phi_1,\bar\phi_2)$ de (8.29), caractérisée par les signes ϵ_1,ϵ_2 et ϵ_{12}, le signes η_1 et η_2 doivent satisfaire :

$$\sin 2\big(\bar\phi_e+\eta_e\ \alpha_e\big) = 0, \qquad \text{pour } e=1,2. \tag{8.39}$$

Ces conditions demandent de prendre : $\eta_1 = \epsilon_2\epsilon_{12}$, et $\eta_2 = \epsilon_1\epsilon_{12}$. Cela laisse quatre possiblités, détaillées dans le tableau suivant,

	$\eta_1=-1$	$\eta_1=1$
$\eta_2=-1$	$\bar\phi_1=\alpha_1,$ et $\bar\phi_2=\alpha_2,$ $\epsilon_1=\epsilon_2=-\epsilon_{12}$	$\bar\phi_1=\pi-\alpha_1,$ et $\bar\phi_2=\alpha_2,$ $\epsilon_1=-\epsilon_2=-\epsilon_{12}$
$\eta_2=1$	$\bar\phi_1=\alpha_1,$ et $\bar\phi_2=\pi-\alpha_2,$ $-\epsilon_1=\epsilon_2=-\epsilon_{12}$	$\bar\phi_1=\pi-\alpha_1,$ et $\bar\phi_2=\pi-\alpha_2,$ $\epsilon_1=\epsilon_2=\epsilon_{12}$

Les conditions $\epsilon_{12}^+=\epsilon_{12}^-=\epsilon_{12}$ et $\eta_1=\epsilon_2\epsilon_{12}$ ainsi que $\eta_2=\epsilon_1\epsilon_{12}$ permettent de se débarrasser de trois sommes dans (8.35), puis, les configurations pour lesquelles il n'y a pas de points col étant exponentiellement supprimées,

$$W_{1122} = \frac{1}{32\pi^2\,\mathcal{N}}\ \frac{k_1k_2}{4\cos^2\vartheta_t}\sum_{\epsilon_1,\epsilon_2,\epsilon_{12}=\pm1}\epsilon_1\,\epsilon_2\ \int d\phi_1 d\phi_2 du\ f(\phi_1,\phi_2,u)\ e^{d_{j_t}S_{\{\epsilon\}}(\phi_1,\phi_2,u)} \times\Big(a_{\{\epsilon\}}(\phi_1,\phi_2)+\frac{b_{\{\epsilon\}}(\phi_1,\phi_2)}{d_{j_t}}+\frac{c_{\{\epsilon\}}(\phi_1,\phi_2)}{d_{j_t}^2}\Big), \tag{8.40}$$

et la même chose pour $\mathcal{N}$ sans l'insertion de $\frac{k_1k_2}{4\cos^2\vartheta_t}(a_{\{\epsilon\}}+b_{\{\epsilon\}}/d_{j_t}+c_{\{\epsilon\}}/d_{j_t}^2)$. Le label $\{\epsilon\}$ indique simplement la dépendance des fonctions en les signes ϵ_1,ϵ_2 et ϵ_{12}.

8.2.2 Développement asymptotique aux grandes distances

Le développement asymptotique de la fonction de corrélation se formule comme une série en puissances de $1/d_{j_t}$, du type

$$W = \frac{1}{d_{j_t}} \left[w_0 + \frac{1}{d_{j_t}} w_1 + \frac{1}{d_{j_t}^2} w_2 + \dots \right]. \tag{8.41}$$

Rappelons que d_{j_t} définit l'échelle de la géométrie du tétraèdre, car $\ell_t/\ell_P = d_{j_t}/2$ et les rapports k_1, k_2 avec les longueurs ℓ_1, ℓ_2 sont fixés. Puisqu'en 3d la longueur de Planck est $\ell_P = \hbar G$, ce développement rappelle les développements typiques de la théorie quantique des champs pour les fonctions de corrélations, en puissance croissantes de $\hbar$ (ou de la constante de couplage G), et ℓ_t étant l'échelle.

Notre développement s'obtient en étudiant les intégrales autour de chacun des quatre points stationnaires du dénominateur, $\int f \exp d_{j_t} S_{\{\epsilon\}}$, et du numérateur, $\int (a_{\{\epsilon\}} + b_{\{\epsilon\}}/d_{j_t} + c_{\{\epsilon\}}/d_{j_t}^2) f \exp d_{j_t} S_{\{\epsilon\}}$. Plus précisément, nous développons l'action $S_{\{\epsilon\}}$ autour d'un point stationnaire : l'évaluation de S en ce point produit un facteur numérique, il n'y a évidemment pas de termes linéaires, les termes quadratiques définissent la matrice hessienne $A_{\{\epsilon\}}$, et finalement tous les termes d'ordres supérieurs (cubiques et plus) sont regroupés en un potentiel $\Omega_{\{\epsilon\}}$. Ce potentiel contient donc l'ensemble des corrections a l'approximation quadratique de l'action. En tant que tel il n'intervient pas à l'ordre dominant, mais participe largement aux ordres supérieurs du développement – le next-to-leading order (NLO), le next-to-next-to-leading order (NNLO), et ainsi de suite. Puis chaque terme de la série de puissance est évalué comme le moment gaussien pour la matrice hessienne $A_{\{\epsilon\}}$ de termes provenant du développement de $(\exp d_{j_t}) f \Omega_{\{\epsilon\}}$ en puissance de d_{j_t}. En général, de nombreux termes contribuent à un même ordre en puissance de $1/d_{j_t}$. Cette structure complexe est due au fait que le développement de $\exp d_{j_t} \Omega_{\{\epsilon\}}$ apporte des puissaances croissantes de d_{j_t}, tandis que les moments gaussiens produisent des puissances croissantes de $1/d_{j_t}$.

Par ailleurs une simplification dans notre calcul provient du fait que tous les points stationnaires donnent la même contribution. C'est une conséquence de l'invariance des fonctions impliquées sous la transformation $\phi_e \to \pi - \phi_e$. De plus, pour chaque point col, il y a deux configurations des signes $\{\epsilon\}$ possibles, et les termes correspondants s'avèrent être complexe-conjugués l'un de l'autre. Leur somme assure donc la réalité du résultat. Nous pouvons donc nous restreindre sans perte de généralité au calcul autour du point col $(\bar{\phi}_1, \bar{\phi}_2, \bar{u}) = (\alpha_1, \alpha_2, 0)$, avec le choix de signes $\epsilon_{12} = 1 = -\epsilon_1 = -\epsilon_2$. On a dans ce cas :

$$a(\phi_1, \phi_2) = \prod_{e=1,2} \Big(\frac{1-k_e^2}{2k_e} \sin^2 2(\phi_e - \alpha_e) + 2i \sin 2(\phi_e - \alpha_e) \Big), \tag{8.42}$$

$$b(\phi_1, \phi_2) = -\frac{1}{k_2} \cos 2(\phi_2 - \alpha_2) \Big(\frac{1-k_1^2}{2k_1} \sin^2 2(\phi_1 - \alpha_1) + 2i \sin 2(\phi_1 - \alpha_1) \Big) + (e_1 \leftrightarrow e_2), \tag{8.43}$$

$$c(\phi_1, \phi_2) = \frac{1}{k_1 k_2} \cos 2(\phi_1 - \alpha_1) \cos 2(\phi_2 - \alpha_2). \tag{8.44}$$

Le potentiel Ω peut être extrait du développement de Taylor de S au-delà de l'ordre trois, S étant avec les signes choisis

$$S(\phi_1, \phi_2, u) = i\big(\phi_{12}^+ + \phi_{12}^-\big) - \sum_{e=1,2} \big(1 - k_e^2\big) \sin^2(\phi_e - \alpha_e) + \text{termes linéaires}. \tag{8.45}$$

Le développement autour de la géométrie de fond conduit alors à la matrice inverse suivante pour la hessienne, [60],

$$A^{-1} = \frac{1}{4} \begin{pmatrix} \frac{1}{1-k_1^2} & \frac{\cos\vartheta_t}{k_1 k_2} e^{i\vartheta_t} & 0 \\ \frac{\cos\vartheta_t}{k_1 k_2} e^{i\vartheta_t} & \frac{1}{1-k_2^2} & 0 \\ 0 & 0 & \frac{2i \tan\vartheta_t}{1-(k_1^2+k_2^2)} \end{pmatrix}. \tag{8.46}$$

La notation suivante exprimant les moments gaussiens de A va se révèler très utile pour appliquer le théorème de Wick,

$$A^{-1}_{\vec{\beta}} = \sum_{\substack{\text{appariements} \\ \text{de } (\beta_1,\dots,\beta_{2N})}} A^{-1}_{\beta_{i_1}\beta_{i_2}} \dots A^{-1}_{\beta_{i_{2N-1}}\beta_{i_{2N}}}, \tag{8.47}$$

pour $\vec{\beta} \in \{1,2,3\}^{2N}$. Le développement asymptotique recherché prend alors la forme :

$$W_{1122} = \frac{k_1 k_2}{4\cos^2\vartheta_t} \frac{\frac{\sqrt{1-k_1^2}\sqrt{1-k_2^2}}{2d_{j_t}} \sum_{i,j=1,2} \partial^2_{ij} a \; A^{-1}_{ij} + \sum_{P\geq 2} \frac{W_P}{d^P_{j_t}}}{\sum_{P\in\mathbb{N}} \frac{N_P}{d^P_{j_t}}}. \tag{8.48}$$

Le premier terme du numérateur correspond à l'ordre dominant, en $1/d_{j_t}$, comme nous le discutons plus bas. Il provient entièrement de la fonction a dans (8.42). En fait, a et b s'annulent tous deux au point col, de même que le gradient de a, de sorte que le développement de a, b et c est dominé par le terme quadratique de a.

L'ensemble des termes d'ordres supérieurs a été rassemblé dans les sommes. Les coefficients N_P et W_P sont donnés par des sommes finies, et s'expriment en vertu du théorème de Wick comme :

$$N_P = \sum_{n=0}^{2P} \sum_{\vec{\beta}\in\{1,2,3\}^{2(P+n)}} \frac{1}{(2(P+n))!\; n!} \Re\Big(i\; e^{-i(2d_{j_t}-\frac{1}{2})\vartheta_t}\; \partial^{2(P+n)}_{\vec{\beta}} \big(f\Omega^n\big)\; A^{-1}_{\vec{\beta}} \Big)_{|\phi_1=\alpha_1,\phi_2=\alpha_2,u=0}, \tag{8.49}$$

et

$$\begin{aligned} W_P = \sum_{n\geq 0} \frac{1}{n!} \Big\{ & \sum_{\vec{\beta_a}\in\{1,2,3\}^{2(P+n)}} \frac{1}{(2(P+n))!} \Re\Big(i e^{-i(2d_{j_t}-\frac{1}{2})\vartheta_t}\; \partial^{2(P+n)}_{\vec{\beta_a}} \big(af\Omega^n\big)\; A^{-1}_{\vec{\beta_a}} \Big) \\ & + \sum_{\vec{\beta_b}\in\{1,2,3\}^{2(P+n-1)}} \frac{1}{(2(P+n-1))!} \Re\Big(i e^{-i(2d_{j_t}-\frac{1}{2})\vartheta_t}\; \partial^{2(P+n-1)}_{\vec{\beta_b}} \big(bf\Omega^n\big)\; A^{-1}_{\vec{\beta_b}} \Big) \\ & + \sum_{\vec{\beta_c}\in\{1,2,3\}^{2(P+n-2)}} \frac{1}{(2(P+n-2))!} \Re\Big(i e^{-i(2d_{j_t}-\frac{1}{2})\vartheta_t}\; \partial^{2(P+n-2)}_{\vec{\beta_c}} \big(cf\Omega^n\big)\; A^{-1}_{\vec{\beta_c}} \Big) \Big\}_{|\phi_1=\alpha_1,\phi_2=\alpha_2,u=0}. \end{aligned} \tag{8.50}$$

Les trois lignes de (8.50) correspondent aux trois contributions distinctes des insertions de a, b et c. La somme sur n définissant W_P est bien finie pour chacune de ces contributions : n est borné respectivement par $(2P-2)$, $(2P-3)$ et $(2P-4)$ pour a, b et c. Les plus hautes dérivées de Ω impliquées dans W_P sont respectivement d'ordre $2P$, $2P-1$ et $2P-2$, et d'ordre $2(P+1)$ pour N_P, correspondant toutes à $n=1$.

La structure complexe de ces contributions avait été anticipée en début de section. Malgré leur lourdeur apparente, elles restent des expressions algébriques simples à évaluer.

Les premiers ordres dominants

Nous utilisons maintenant (8.49) et (8.50) pour obtenir explicitement les premiers ordres du développement. L'ordre dominant (leading order, LO) et le premier sous-dominant (NLO) avait déjà été calculés différemment dans [125]. Nous les retrouvons ici rapidement. Le calcul du deuxième terme sous-dominant (NNLO) est en revanche tout nouveau. En particulier, ce terme reçoît des contributions provenant de corrections du symbole 6j à la formule asymptotique de Ponzano et Regge (comme il est remarrqué dans [125]), qui sont naturellement prises en compte par notre méthode.

Le LO est obtenu en évaluant au point col $f_0 = f(\alpha_1, \alpha_2, 0)$, et la dérivée seconde de a au numérateur,

$$W^{LO}_{1122} = \frac{k_1 k_2}{4\cos^2\vartheta_t} \frac{\frac{1}{d_{j_t}}\Re\big(ie^{-i(2d_{j_t}-\frac{1}{2})\vartheta_t}\partial^2_{\phi_1,\phi_2} a\ A^{-1}_{12}\big)}{f_0\Re\big(ie^{-i(2d_{j_t}-\frac{1}{2})\vartheta_t}\big)}, \tag{8.51}$$

$$= -\frac{1}{d_{j_t}\cos\vartheta_t}\ \frac{\sin(2d_{j_t}-\frac{3}{2})\vartheta_t}{\sin(2d_{j_t}-\frac{1}{2})\vartheta_t}. \tag{8.52}$$

Cela reproduit bien le comportement en $1/\ell_t$ attendu. La différence avec le coefficient calculé dans [125] provient du choix différent de l'état de bord. En particulier, alors que $\vartheta_t(k_1, k_2)$ reste constant, la dépendance en d_{j_t} de la seconde fraction produit d'étonnantes oscillations. Celles-ci peuvent être réabsorbées dans l'état de bord, en remplaçant $\sin d_{j_e}(\phi + \eta\ \alpha_e)$ dans $\widehat{\Psi}_e$ par : $\sin\big(d_{j_e}(\phi + \eta\ \alpha_e) + \eta\ d_{j_t}\vartheta_t\big)$. La transformée de Fourier devient alors

$$\Psi_e(j) = \frac{e^{-\gamma_e/2}}{N}\ \Big[I_{|j-j_e|}(\frac{\gamma_e}{2})\ \cos(d_j\alpha_e + d_{j_t}\vartheta_t) - I_{j+j_e+1}(\frac{\gamma_e}{2})\ \cos(d_j\alpha_e - d_{j_t}\vartheta_t)\Big], \tag{8.53}$$

ce qui n'affecte pas le comportement gaussien asymptotique. Avec ce changement nous reproduisons exactement le résultat de [125],

$$W^{LO}_{1122} = -\frac{1}{d_{j_t}\cos\vartheta_t}\ \frac{\sin\frac{3}{2}\vartheta_t}{\sin\frac{1}{2}\vartheta_t}. \tag{8.54}$$

Même si le LO est bien celui de [125], les ordres suivants seront différents du fait de l'utilisation d'un état de bord différent.

Pour la simplicité de la présentation, nous nous plaçons désormais dans le cas d'un tétraèdre équilatéral, caractérisé par $k_1 = k_2 = 1/2$, et $\vartheta_t = \arccos -\frac{1}{3}$, les expressions génériques en terme de k_1, k_2 étant en effet assez lourdes. Le NLO est ensuite obtenu à partir de coefficients N_1 et W_2. Pour garder des expressions compactes, nous adoptons la notation symbolique suivante pour les contractions des dérivées avec les moments gaussiens. Pour des fonctions f et h de ϕ_1, ϕ_2 et u, on définit : $(f_n\ h_m\ A^{-1}_{n+m}) := \frac{1}{n!m!}\sum_{i_1,\cdots,i_n=1,2,3}\sum_{j_1,\cdots,j_m=1,2,3}\partial^n_{i_1,\cdots,i_n} f\ \partial^m_{j_1,\cdots,j_m} h\ A^{-1}_{(i_1,\cdots,i_n,j_1,\cdots,j_m)}$, évalué au point col. Par exemple le LO de (8.48) s'écrit : $\frac{1}{d_{j_t}} a_2 A_2^{-1}$. Dans N_1, trois puissances de Ω apparaissent, Ω^0, Ω and Ω^2. En utilisant l'état de bord (8.53), nous avons

$$N_1 = \Re\Big(i\, e^{\frac{i}{2}\vartheta_t}\ \Big[f_2\ A_2^{-1} + \big(f_1\ S_3 + f_0\ S_4\big)A_4^{-1} + \frac{f_0}{2}\ S_3\ S_3\ A_6^{-1}\Big]\Big). \tag{8.55}$$

De même pour les trois contributions à W_2,

$$W_2 = \Re\Big(i\, e^{\frac{i}{2}\vartheta_t}\ \Big[\big(a_2\ f_2 + a_3\ f_1 + f_0\ a_4\big)A_4^{-1} + \big(a_2\ f_1\ S_3 + f_0(a_3\ S_3 + a_2\ S_4)\big)A_6^{-1} + \frac{f_0}{2}\ a_2\ S_3\ S_3\ A_8^{-1}$$
$$+ \big(f_0\ b_2 + b_1\ f_1\big)A_2^{-1} + f_0\ b_1\ S_3\ A_4^{-1} + f_0\ c_0\Big]\Big). \tag{8.56}$$

Après un peu d'algèbre, le premier ordre sous-dominant, en $1/d^2_{j_t}$, se laisse calculer :

$$W^{NLO}_{1122} = \frac{1}{d_{j_t}} - \frac{511}{432\ d^2_{j_t}}. \tag{8.57}$$

Ces résultats pour le LO et le NLO sont bien confirmés numériquement, comme on l'observe en figure 8.2. Un accord avec $0,58\%$ d'erreur pour le LO, et $1,7\%$ d'erreur pour le NLO, est atteint entre les simulations numériques et les coefficients ci-dessus, pour $d_{j_t} = 201$ (soit la représentation de spin $j = 100$).

La recette ci-dessus donne accès à tous les ordres du développement. De ce point de vue, le NNLO n'offre pas de spécificités. Nous avons besoin de développer l'action à l'ordre 6. La normalisation $\mathcal{N}$ nécessite des corrélateurs $A_{\vec{\beta}}^{-1}$ d'ordre 12, et d'ordre respectivement 14, 10 et 6 pour les insertions de a, b et c.

$$\begin{aligned} N_2 = \Re\Big(i\ e^{\frac{i}{2}\vartheta_t}\ \Big[&f_4\ A_4^{-1} + \big(f_3\ S_3 + f_2\ S_4 + f_1\ S_5 + f_0\ S_6\big)A_6^{-1} \\ &+ \frac{1}{2}\big(f_2\ S_3\ S_3 + 2f_1\ S_3\ S_4 + f_0\ S_4\ S_4 + 2f_0\ S_3\ S_5\big)A_8^{-1} \\ &+ \frac{1}{3!}\big(f_1\ S_3\ S_3\ S_3 + 3f_0\ S_3\ S_3\ S_4\big)A_{10}^{-1} + \frac{f_0}{4!}S_3\ S_3\ S_3\ S_3\ A_{12}^{-1}\Big]\Big). \end{aligned} \tag{8.58}$$

Nous écrivons ensuite $W_3 = W_3^{(a)} + W_3^{(b)} + W_3^{(c)}$, avec :

$$\begin{aligned} W_3^{(a)} =&\Re\Big(i\ e^{\frac{i}{2}\vartheta_t}\ \Big[\big(f_0\ a_6 + f_1\ a_5 + f_2\ a_4 + f_3\ a_3 + f_4\ a_2\big)A_6^{-1} \\ +&\big((f_0\ a_5 + f_1\ a_4 + f_2\ a_3 + f_3\ a_2)S_3 + (f_0\ a_4 + f_1\ a_3 + f_2\ a_2)S_4 + (f_0\ a_3 + f_1\ a_2)S_5 + f_0\ a_2\ S_6\big)A_8^{-1} \\ &+ \frac{1}{2}\big((f_0\ a_4 + f_1\ a_3 + f_2\ a_2)S_3\ S_3 + 2(f_0\ a_3 + f_1\ a_2)S_3\ S_4 + f_0\ a_2(S_4\ S_4 + 2S_3\ S_5)\big)A_{10}^{-1} \\ &+ \frac{1}{3!}\big((f_0\ a_3 + f_1\ a_2)S_3\ S_3\ S_3 + 3f_0\ a_2\ S_3\ S_3\ S_4\big)A_{12}^{-1} \\ &+ \frac{f_0}{4!}a_2\ S_3\ S_3\ S_3\ S_3\ A_{14}^{-1}\Big]\Big), \end{aligned} \tag{8.59}$$

$$\begin{aligned} W_3^{(b)} = \Re\Big(i\ e^{\frac{i}{2}\vartheta_t}\ \Big[&\big(f_0\ b_4 + f_1\ b_3 + f_2\ b_2 + f_3\ b_1\big)A_4^{-1} \\ &+ \big((f_0\ b_3 + f_1\ b_2 + f_2\ b_1)S_3 + (f_0\ b_2 + f_1\ b_1)S_4 + f_0\ b_1\ S_5\big)A_6^{-1} \\ &+ \frac{1}{2}\big((f_0\ b_2 + f_1\ b_1)S_3\ S_3 + 2f_0\ b_1\ S_3\ S_4\big)A_8^{-1} \\ &+ \frac{f_0}{3!}b_1\ S_3\ S_3\ S_3\ A_{10}^{-1}\Big]\Big), \end{aligned} \tag{8.60}$$

$$\begin{aligned} W_3^{(c)} = \Re\Big(i\ e^{\frac{i}{2}\vartheta_t}\ \Big[&\big(f_0\ c_2 + f_1\ c_1 + f_2\ c_0\big)A_2^{-1} + \big((f_0\ c_1 + f_1\ c_0)S_3 + f_0\ c_0\ S_4\big)A_4^{-1} \\ &+ \frac{f_0}{2}c_0\ S_3\ S_3\ A_6^{-1}\Big]\Big). \end{aligned} \tag{8.61}$$

On obtient ainsi le NNLO :

$$W_{1122}^{NNLO} = \frac{1}{d_{j_t}} - \frac{511}{432\ d_{j_t}^2} + \frac{520507}{157464\ d_{j_t}^3} \tag{8.62}$$

Ce résultat est lui aussi confirmé par les simulations numériques, voir figure 8.2. Un accord avec $11,3\%$ d'erreur et obtenu pour le coefficient de $1/d_{j_t}^3$ avec $d_{j_t} = 201$. L'erreur peut être réduite en poussant les simulations à de plus grandes valeurs du spin.

8.3 Développement asymptotique du 6j isocèle

La procédure décrite à la section précédente peut en fait s'appliquer directement au 6j isocèle ! Cela reproduit la formule de Ponzano-Regge, mais fournit en plus l'ensemble des corrections. Ceci est intéressant pour un certain nombre de raisons. Les corrections apportées par le 6j à la formule de Ponzano-Regge sont en effet des différences clés en comparaison avec la même quantité considérée

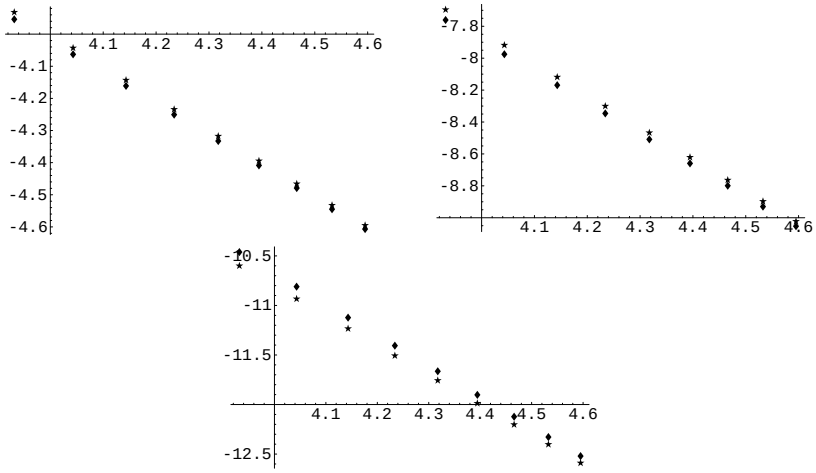

FIGURE 8.2 – Graphes en log-log comparant les simulations numériques aux résultats analytiques. A gauche : une simulation de (8.21) (symbole diamand) comparé à l'ordre dominant de (8.57) (symbole étoile). Au milieu : le premier ordre sous-dominant de (8.57) (symoble étoile), et le numérique (symbole diamand). A droite : le deuxième ordre sous-dominant issu de (8.62).

en calcul de Regge quantique. Le symbole 6j est par ailleurs l'unique état physique de la gravité 3d pour une topologie triviale et une triangulation minimale d'un seul tétraèdre, et il est donc aussi intéressant à ce titre de comprendre la différence avec l'exponentielle (ou plutôt le cosinus) de l'action de Regge. Les modèles de mousses de spins en 4d font apparaître des symboles SU(2)-invariants qui peuvent s'exprimer à l'aide de symboles 6j, celui-ci étant bien sûr plus simple. Ainsi, au regard de nombreux aspects de la gravité quantique, il est essentiel d'acquérir une meilleure connaissance du symbole 6j, au-delà de l'asymptotique de Ponzano et Regge. C'est la tâche que nous entreprenons dans cette section, en effectuant le développement asymptotique du 6j isocèle à partir de l'expression exacte (8.23).

Écrit comme (8.25), le 6j isocèle est la fonction de partition d'une théorie définie par l'action $\Phi_{\{\epsilon\}}$ et la mesure d'intégration f. L'action de Regge, $S_{\mathrm{R}} = \sum d_{j_e} \frac{\vartheta_e}{2}$, apparaît naturellement comme l'évaluation de $\Phi_{\{\epsilon\}}$ au point stationnaire,

$$\begin{cases} e^{i d_{j_t} \Phi_{\{\epsilon\}}(\bar{\phi}_1, \bar{\phi}_2, 0)} = \epsilon_1 \epsilon_2 \; e^{-i \epsilon_1 \epsilon_2 \epsilon_{12} S_{\mathrm{R}}}, \\ S_{\mathrm{R}} = d_{j_t} \big(2\vartheta_t + 2k_1 \alpha_1 + 2k_2 \alpha_2 \big). \end{cases} \tag{8.63}$$

Nous procédons ensuite comme pour le propagateur, sachant que pour chaque configuration des signes le 6j estpiqué sur la géométrie classique du tétraèdre. Le développement autour de cette géométrie plate est donné en termes des moments gaussiens de la hessienne $H_{\{\epsilon\}}$ de $\Phi_{\{\epsilon\}}$, par le théorème de Wick. Contrairement aux études précédentes de l'asymptotique du 6j, nous utilisons comme variable d'échelle la dimension d_{j_t}, avec les rapports k_1, k_2 fixes, et non le spin j_t.

Comme pour le propagateur, les quatre points stationnaires fournissent la même contribution, et les deux configurations de signes possibles pour chacun sont reliées par conjugaison complexe. Nous pouvons ainsi aboutir à des formules assez explicites. Introduisons ω comme $\Phi_{\{\epsilon\}}$ privé de son développement jusqu'à l'ordre 2, autour de $(\alpha_1, \alpha_2, 0)$, avec $\epsilon_{12} = -\epsilon_1 = -\epsilon_2 = 1$. Soit H^{-1} l'inverse

de la hessienne $H_{\{\epsilon\}}$,

$$H^{-1} = \frac{1}{2}\begin{pmatrix} \frac{1}{1-k_1^2}\cot\vartheta_t & -\frac{1}{\sqrt{1-k_1^2}\sqrt{1-k_2^2}\sin\vartheta_t} & 0 \\ -\frac{1}{\sqrt{1-k_1^2}\sqrt{1-k_2^2}\sin\vartheta_t} & \frac{1}{1-k_2^2}\cot\vartheta_t & 0 \\ 0 & 0 & \frac{\tan\vartheta_t}{1-(k_1^2+k_2^2)} \end{pmatrix}. \tag{8.64}$$

Nous avons aussi besoin du volume du tétraèdre, qui intervient dans les intégrales gaussiennes de H,

$$V_t = \frac{d_{j_t}^3}{12}\, k_1 k_2 \sqrt{1-(k_1^2+k_2^2)}. \tag{8.65}$$

Le développement du 6j isocèle est alors donné par (plus de détails dans [60]) :

$$\begin{Bmatrix} j_1 & j_t & j_t \\ j_2 & j_t & j_t \end{Bmatrix} = \frac{1}{\sqrt{1-k_1^2}\sqrt{1-k_2^2}\sqrt{12\pi V_t}} \sum_{p\geq 0}(-1)^p\Big(\frac{C_{2p}}{d_{j_t}^{2p}}\cos\big(S_{\mathrm{R}}+\frac{\pi}{4}\big) + \frac{C_{2p+1}}{d_{j_t}^{2p+1}}\sin\big(S_{\mathrm{R}}+\frac{\pi}{4}\big)\Big), \tag{8.66}$$

les coefficients C_P, pour $P = 2p, 2p+1$, étant donnés par des sommes finies,

$$C_P = \sum_{n=0}^{P}\frac{(-1)^n}{(2(P+n))!n!}\sum_{\vec{\beta}\in\{1,2,3\}^{2(P+n)}}\partial_{\vec{\beta}}^{2(P+n)}\big(f\omega^n\big)_{|(\alpha_1,\alpha_2,0)}\, H_{\vec{\beta}}^{-1}. \tag{8.67}$$

Ainsi, tous les ordres paires sont en phase avec l'ordre dominant l'asymptotique, i.e. la formule originale de Ponzano et Regge, en $\cos(S_{\mathrm{R}}+\pi/4)$. Ce terme dominant est ici facilement retrouvé en calculant le coefficient C_0, avec $f(\alpha_1,\alpha_2,0) = \sqrt{1-k_1^2}\sqrt{1-k_2^2}$,

$$\begin{Bmatrix} j_1 & j_t & j_t \\ j_2 & j_t & j_t \end{Bmatrix} \underset{LO}{\sim} \frac{1}{\sqrt{12\pi V_t}}\cos\big(S_R+\frac{\pi}{4}\big). \tag{8.68}$$

Quant aux ordres impaires, ils sont touts en quadrature avec celui-ci. Si nous avions utilisé le spin, j_t, comme variable d'échelle au lieu de $(2j_t+1)$, le développement asymptotique n'aurait pas mis en évidence une structure si simple, et cosinus et sinus auraient été mélangés à tous les ordres (sauf le premier) !

Ce développement asymptotique pour le tétraèdre isocèle montre que la seule fréquence pertinente est l'action de Regge. Ces calculs ont été confirmés et largement poursuivis par Dupuis et Livine, [81, 80], en utilisant d'autres méthodes, elles aussi intéressantes, faisant notamment appel aux limites asymptotiques des relations de récurrence que nous regarderons plus tard !

Le coefficient d'un ordre donné se calcule simplement par les contractions des dérivées de $\omega^n f$ avec les moments gaussiens. Pour un ordre donné P, les dérivées de ω apparaissent jusqu'à l'ordre $2(P+1)$, pour $n=1$. Par exemple, le NLO s'obtient en regardant $P=1$. Avec les notations de la section précédente, nous avons :

$$C_1 = f_2\, H_2^{-1} - (f_1\,\omega_3 + f_0\,\omega_4)H_4^{-1} + \frac{f_0}{2}\omega_3\,\omega_3\, H_6^{-1}. \tag{8.69}$$

Et en introduisant le volume réduit, $v = V/d_{j_t}^3$, il vient

$$\begin{Bmatrix} j_1 & j_t & j_t \\ j_2 & j_t & j_t \end{Bmatrix} \underset{NLO}{\sim} \frac{1}{\sqrt{12\pi V_t}}\cos\big(S_{\mathrm{R}}+\frac{\pi}{4}\big) - \frac{\cos^2\vartheta_t}{d_{j_t}\sqrt{12\pi V_t}}\frac{P_1(k_1,k_2)}{48(12v)^3}\sin\big(S_{\mathrm{R}}+\frac{\pi}{4}\big), \tag{8.70}$$

où $P(k_1,k_2)$ est un polynôme symétrique en k_1 et k_2,

$$\begin{aligned} P_1(k_1,k_2) = {} & 3(1-k_1^2)^2(1-2k_1^2) + 3(1-k_2^2)^2(1-2k_2^2) - 3 + 46k_1^2k_2^2 + 25k_1^4k_2^4 \\ & - 44(k_1^4k_2^2 + k_1^2k_2^4) + 10(k_1^6k_2^2 + k_1^2k_2^6). \end{aligned} \tag{8.71}$$

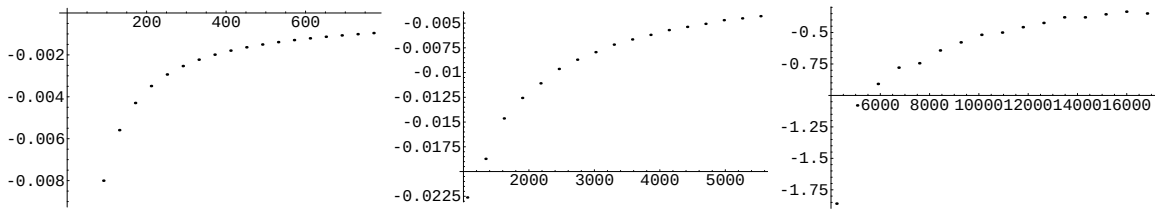

FIGURE 8.3 – Les différences entre le symbole 6j et le développement asymptotique (8.70), pour trois paires $(k_1, k_2) = (k, k)$: de gauche à droite : $k = 1/2$, $k = 3/14$, $k = 3/42$. L'axe des abscisses représente la dimension $d_{j_t} = N d_{j_0}$, où d_{j_0} est fixé respectivement à 1, 7, et 21, tandis que N va de 200 à 800.

Ce polynôme n'est pas relié de manière évidente au volume, et nous ne lui avons pas trouvé d'interprétation géométrique naturelle. Cela serait pourtant très souhaitable pour interpréter physiquement les corrections au propagateur.

Ce polynôme se simplifie pour les valeurs extrèmes de k_1. Pour $k_1 = 0$, en effet, $P_1(0, k) = 3(1-k^2)^2(1-2k^2)$; et pour $k_1 = 1$, $P_1(1, k) = -4k^4(1-k^2)$, avec des racines évidentes en 0 et 1. Néanmoins, k_1 n'atteint jamais ces valeurs, ses bornes dépendant de la représentation j_t (du fait du recouplage des produits tensoriels de représentations) :

$$\frac{1}{2d_{j_t}} \leq k_e \leq 1 - \frac{1}{2d_{j_t}}. \tag{8.72}$$

Lorsque k_1 atteint ces valeurs extrèmes, les coefficients de P_1 sont alors polynomiaux en $1/d_{j_t}^2$.[4]

Le résultat (8.70) est bien confirmé numériquement, figure 8.3. Ces graphes représentent des calculs numériques du 6j moins la formule analytique (8.70), pour trois paires (k_1, k_2). Nous avons pris le cas particulier $k_1 = k_2 = k$, pour lequel

$$P_1(k, k) = (1-k^2)\Big(3 - 21k^2 + 55k^4 - 45k^6\Big), \tag{8.74}$$

dont la seule racine dans $[0, 1]$ est $k = \frac{1}{45}\sqrt{15[(10(81\sqrt{310}+1450))^{\frac{1}{3}} + (10(81\sqrt{310}-1450))^{\frac{1}{3}} + 55]} \approx 0.8248$. Pour mieux mettre en valeur la comparaison, nous avons multiplié les expressions par $d_{j_t}^{5/2}$, pour apprécier la façon dont le coefficient du NLO est approché, et nous avons supprimé les oscillations en divisant par celles du NNLO, $\cos(S_{\mathrm{R}} + \frac{\pi}{4})$. Le numérique confirme ainsi le coefficient et la phase.

Notons que dans le cas équilatéral, $k_1 = k_2 = 1/2$ représente le (demi-)rapport des longueurs, mais aussi des spins. On peut donc se ramener facilement au développement usuel en $1/j_t$,

$$\{6j_t\}^{NLO} = \frac{2^{5/4}}{\sqrt{\pi d_{j_t}^3}} \cos\big(S_{\mathrm{R}} + \frac{\pi}{4}\big) - \frac{31}{72 \cdot 2^{1/4}\sqrt{\pi d_{j_t}^5}} \sin\big(S_{\mathrm{R}} + \frac{\pi}{4}\big), \tag{8.75}$$

$$= \frac{\cos\big(S_{\mathrm{R}} + \frac{\pi}{4}\big)}{2^{1/4}\sqrt{\pi j_t^3}} - \frac{1}{2^{9/4}\sqrt{\pi j_t^5}}\Big[3\cos\big(S_{\mathrm{R}} + \frac{\pi}{4}\big) + \frac{31 \cdot 2^{5/2}}{576}\sin\big(S_{\mathrm{R}} + \frac{\pi}{4}\big)\Big]. \tag{8.76}$$

4. Par exemple lorsque l'arête e_1 a une longueur minimale, $j_1 = 0$ ou $k_1 = \frac{1}{2d_{j_t}}$, les coefficients de P_1 se lisent :

$$P_1\big(\frac{1}{2d_{j_t}}, k_2\big) = 3\big(1 - \frac{1}{d_{j_t}^2} + \frac{5}{16d_{j_t}^4} - \frac{1}{32d_{j_t}^6}\big) + \big(-12 + \frac{23}{2d_{j_t}^2} - \frac{11}{4d_{j_t}^4} + \frac{5}{32d_{j_t}^6}\big)k_2^2 + \big(15 - \frac{11}{d_{j_t}^2} + \frac{25}{16d_{j_t}^4}\big)k_2^4 + \big(-6 + \frac{5}{2d_{j_t}^2}\big)k_2^6. \tag{8.73}$$

Ce point de vue montre bien qu'il est plus judicieux d'utiliser les inverses des longueurs plutôt que des spins. Finalement signalons que notre développement en termes de cosinus et sinus de l'action de Regge ne tient que pour des valeurs « moyennes » de k_1, k_2, et n'est plus valable à proximité des valeurs extrèmes 0 et 1. En effet, pour $k_2 = 0$ on sait que l'asymptotique est donné par des fonctions d'Airy, tandis que pour $k_2 = 1$, il s'agit d'une exponentielle réelle de l'action de Regge [158].

Quatrième partie

Contraintes hamiltoniennes et relations de récurrence

On sait, depuis Perez et Noui [134] et plus particulièrement Ooguri [135] que le modèle de Ponzano-Regge peut être considéré comme un projecteur sur les états physiques (connexions plates), agissant naturellement sur la base des réseaux de spins. On imagine donc qu'il implémente d'une certaine manière une version quantifiée de l'équation de Wheeler-DeWitt en dimension 3. Rechercher un tel lien, plus particulierèrement en dimension 4, est essentiel pour comprendre comment des modèles de mousses de spins peuvent réaliser quantiquement la contrainte hamiltonienne, ou l'équation de Wheeler-DeWitt qui reste une équation mal comprise, dont la quantification canonique, par des méthodes standards, présente de nombreuses écueils. En dimension 4, les modèles de mousses de spins pour la gravité quantique dont nous disposons sont suffisamment compliqués et spéculatifs pour que l'on s'intéresse dans un premier temps à des situations mieux comprises par ailleurs, telle que la gravité 3d. Cela va nous permettre d'élaborer une méthode au potentiel intéressant, fondée sur la dérivation de relations de récurrence pour les mousses de spins, dans le but de traquer les liens entre ces modèles en tant que projecteurs hypothétiques sur les états physiques de la théorie, et la contrainte hamiltonienne, ou l'équation de Wheeler-DeWitt au niveau quantique.

Quelle sont les différentes stratégies envisageables ? Pour l'heure, les amplitudes de mousses de spins sont formulées de manière générique via une somme sur les triangulations de l'intérieur d'une variété topologique. Une quantité importante est le poids donné à chaque simplexe de plus haute dimension – du point de vue dual, ces derniers étant des vertexes, on parle de développement en vertexes. Le poids assigné aux simplexes est calculé algébriquement à partir de la théorie des représentations du groupe de structure considéré. Comme résultat de la construction, on s'attend à ce que les variables de bord soient les données caractérisant les réseaux de spins de la théorie. En relativité générale, cela suggère naturellement de s'intéresser de manière directe aux représentations des contraintes hamiltoniennes, scalaire et vectorielle, sur les réseaux de spins. Mais la contrainte vectorielle est prise en compte en LQG de manière totalement différente (par moyenne sur les difféomorphismes 3d). Quant à la contrainte scalaire, malgré la quantification explicite de Thiemann et les résultats associés, impressionnants en soi, un tel lien reste hors de portée. On pourra néanmoins consulter dans une optique similaire la référence [4], dans laquelle les auteurs s'attachent à touver des opérateurs dont l'action sur les réseaux de spins reproduit, via le produit scalaire, les amplitudes de différents modèles de mousses de spins, dans le cas d'un seul 4-simplexe certes. Le point innovant de cette approche est que les auteurs parviennent à n'utiliser que les réseaux de spins de la LQG, dont le groupe de structure est SU(2), tandis que les mousses de spins sont plus naturellement formulées avec Spin(4). L'aspect plus obscur de leur construction est le manque de transparensce des opérateurs ainsi définis quant à leur interprétation géométrique et leur sens naturel du point de vue hamiltonien.

Une direction différente pour interpréter les contraintes hamiltoniennes se dessine à partir de la géométrie codée par les variables de bord, les réseaux de spins. Cela fut d'abord suggéré par les analyses semi-classiques des modèles de mousses de spins, dans lesquelles les amplitudes sont données par des exponentielles de l'action de Regge. En particulier, les données du bord fournissent dans ces cas des géométries de Regge, et on sait que cela peut se généraliser grâce aux géométries tordues. De plus, notre analyse des modèles de mousses de spins comme intégrales de chemins sur réseau renforce de telles interprétations, y compris en dehors du régime semi-classique. Ces interprétations géométriques orientent donc vers une version hamiltonienne du calcul de Regge. Une telle construction n'a été menée que très récemment, par Dittrich et Bahr, en 3 et 4 dimensions, et il n'y a pas de propositions claires pour les contraintes hamiltoniennes, à l'exception tout de même très intéressante des géométries plates. En fait, à la vue de ces travaux, il semble qu'il n'y ait génériquement pas de contraintes exactes, mais plutôt des pseudo-contraintes, i.e. n'impliquant pas qu'une seule tranche spatiale de la variété. Autrement dit les symétries sont génériquement brisées ! Dittrich et Bahr montrent en 3d dans le cas d'une courbure homogène que les symétries peuvent être restorées par *coarse graining*. Cela dirige naturellement vers les mouvements de Pachner dont on verra qu'ils jouent un rôle prépondérant dans nos équations décrivant les symétries au niveau quantique. Au delà des mouvements de Pachner, mes travaux (au niveau quantique) partagent avec ceux de Dittrich et Bahr (au niveau classique) de

grandes similitudes qui restent à explorer plus profondément.

Une des difficultés pour relier de telles constructions canoniques en calcul de Regge aux mousses de spins tient au passage du classique au quantique. En effet, les géométries de Regge aux bords des mousses de spins sont représentées par des quantités discrètes comme des demi-entiers ! Cela nous suggère deux choses :

- Se contenter de regarder les symétries au niveau *quantique*, directement dans les mousses de spins.
- Chercher à caracteriser ces symétries par des équations *aux différences*, et non des équations différentielles !

En effet, de telles équations aux différences sont assez naturellement susceptibles d'intervenir, comme conséquence de la théorie des représentations du groupe local considéré.

Nous allons donc regarder des équations aux différences sur l'amplitude de vertex de différents modèles, en particulier sur les symboles 6j, 15j, et un peu plus tard sur le 10j de Barrett-Crane. Au moins pour les modèles topologiques, ces objets sont en fait le développement d'états physiques (satisfaisant toutes les contraintes) pour les théories considérées dans la base des réseaux de spins sur le bord d'un simplexe. Ainsi, ces équations aux différences sont des équations définissant (en partie ou complètement) les états physiques, et nous décrirons au possible de quelle manière on peut les voir comme des actions de contraintes hamiltoniennes dans la représentation des états en réseaux de spins. Bien sûr, pour obtenir des équations similaires sur des états physiques à la Hartle-Hawking, sur un bord quelconque, il faudrait étudier les symétries pour les amplitudes de mousses de spins globales, et pas seulement l'amplitude d'un simplexe.

Ce type d'idée – utiliser des équations aux différences – a déjà été mis en oeuvre partiellement dans deux situations. La première est en cosmologie quantique à boucles (LQC) (voir [14, 54, 18]). La réduction du nombre de degrés de liberté par des symétries spéciales (isotropie, homogénéité) permet dans ce cadre de contruire précisément un opérateur hamiltonien agissant exactement par différences finies. Il a de plus été récemment montré [15] que l'opérateur d'évolution, i.e. l'exponentielle du hamiltonien, admet un développement en vertexes, à la manière d'une somme sur des mousses de spins « jouets ».

Le second exemple est le modèle de Ponzano-Regge. Des relations de récurrence exactes pour le symbole 6j sont en effet bien connues [167, 174, 157]. Elles sont à la base de calculs très efficaces de l'asymptotique [158, 81], et sont utilisées pour les évaluations numériques. Le lien entretenu avec l'équation de Wheeler-DeWitt a déjà été approché, notamment dans [36]. Ici nous obtenons une connexion plus précise en utilisant l'écriture de la contrainte de courbure nulle en termes d'angles dihédraux (cet argument n'a pas encore été soumis à publication) et sachant que le 6j est l'unique état physique sur le bord d'un tétraèdre développé dans la base des réseaux de spins, 9. Je vais présenter différentes méthodes pour dériver des relations de récurrence, certaines connues mais aussi de nouvelles. L'une de ces méthodes est standard et utilise l'invariance topologique, mais n'avait jusque là été appliquée qu'en dimension 3. Je montre ici 10 que cette propriété d'invariance contient des relations de récurrence sur le symbole 15j de SU(2), qui est l'unique état physique de la théorie BF sur le bord d'un 4-simplex, et la brique de construction du modèle d'Ooguri en dimension 4. J'insiste par ailleurs sur l'interprétation géométrique de ces relations, dans la perspective d'y voir l'action d'un opérateur hamiltonien agissant sur les réseaux de spins. Cela permet de dégager une interprétation en termes de mouvements élémentaires sur des simplexes.

Une seconde méthode est plus originale : elle est fondée sur l'action des opérateurs d'holonomies sur les fonctionnelles des réseaux de spins, évaluée sur les connexions plates, 11. Cette méthode est très élégante et construit naturellement des analogues quantiques des mouvements « tente », qui sont les mouvements élémentaires utilisés par Dittrich et Bahr dans leur formulation canonique du calcul de Regge ! Par ailleurs, j'obtiens ainsi des relations de récurrence pour des réseaux de spins arbitraires, et qui sont naturellement associées aux cycles de ceux-ci.

J'insiste d'ores et déjà sur le fait que la méthode utilisant l'invariance topologique est *intrinsè-*

quement dynamique, car elle prend en compte les sommes sur les spins internes des modèles. Je dis cela par opposition à la simple donnée du vertex du modèle, i.e de l'amplitude élémentaire de chaque simplexe, qui détermine la structure des états de bord et serait ainsi plutôt de nature *cinématique*. La seconde méthode, utilisant l'opérateur d'holonomie, est plus subtile de ce point de vue, en ce qu'un opérateur d'holonomie n'est qu'une des composantes de Fourier de la contrainte de courbure nulle sur réseau. Cela montre que les réseaux de spins rendent particulièrement simple la description des contraintes du type $F = 0$.

Pour les modèles topologiques, l'invariance sous les mouvements de Pachner contient la dynamique générée par les symétries classiques. Ces symétries sont telles que pour une topologie fixée, toutes les triangulations contribuent avec la même amplitude (après régularisation) à la somme sur les mousses de spins. Ainsi, la projection sur le noyau des contraintes est réalisée à l'aide d'une seule triangulation, disons celle avec le moins de simplexes possibles. Mais ce n'est plus le cas pour les modèles non-topologiques. Dans ces cas, on s'attend à ce que les symétries classiques soient restorées, et ainsi la projection sur le noyau des contraintes réalisée par les mousses de spins, uniquement en sommant sur les triangulations pour un bord fixé. Mais nous ne savons pas à l'heure actuelle obtenir des expressions simples et fermées pour des triangulations non-triviales.

Ce n'est néanmoins pas la fin de l'histoire, et il est certainement intéressant de regarder des équations aux différences sur une triangulation fixée. Si l'on imagine formellement le projecteur physique comme l'exponentiation des contraintes (de difféomorphismes et scalaire), et la somme sur les mousses comme une somme sur les histoires des réseaux de spins, alors on s'attend typiquement à ce que l'amplitude de vertex d'un modèle soit reliée aux éléments de matrices des contraintes. Puisque ceux-ci ne sont pas vraiment accessibles dans le formalisme canonique, il peut être utile de sonder leurs propriétés géométriques de base via des relations de récurrence. C'est dans cette perspective que j'insiste sur l'interprétation géométrique des relations obtenues en termes de déformations élémentaires de simplexes, susceptibles de préfigurer l'action d'un bon opérateur hamiltonien sur les réseaux de spins. Par exemple, dans les modèles topologiques mentionnés ci-dessus, on trouve que les récurrences sont générées par le collage de simplexes aplatis à des simplexes initiaux, ce qui de leur point de vue correspond au déplacement de sommets produisant ainsi des modifications des longueurs ou des aires.

J'ai donc avec E. Livine et S. Speziale également cherché et obtenu des relations de récurrence pour des symboles ne donnant pas lieu à des modèles topologiques. Au chapitre 12, je présente une relation sur un symbole 6j isocèle, qui peut se dériver de différentes manières. En particulier, on montre qu'elle est issue de sommes et successions des mouvement topologiques, ce qui autorise à l'interpréter comme une condition d'invariance sous des *combinaisons* des déformations élémentaires du modèle de Ponzano-Regge. Plus tard, 16.4, je décris une relation de récurrence sur le symbole 10j du modèle, non-topologique, de Barrett-Crane, qui s'interprète naturellement comme la fermeture d'un 4-simplexe au niveau quantique.

Chapitre 9

Contrainte hamiltonienne sur le 6j : mouvement de Pachner 2-3

9.1 Le 6j comme état physique

Rappelons tout d'abord le sens du symbole 6j en tant qu'état physique de la gravité 3d. Considérons S^2 triangulée comme le bord d'un tétraèdre. C'est notre surface canonique. Avec cette topologie et cette triangulation fixées, on sait qu'il n'existe qu'un seul état satisfaisant la contrainte de courbure nulle. L'espace de Hilbert des états invariants de jauge est engendré par les réseaux de spins vivant sur le graphe dual à la triangulation (voir figure 7.2) qui est aussi de forme tétraédrique. En représentation holonomie, cet espace des états cinématiques est constitué des fonctions L^2 pour les 6 éléments de SU(2) vivant sur les arêtes duales, et invariantes par translation à chacun des 4 vertexes duaux. Sans surprise, l'unique état physique n'est pas normalisable et est donné formellement comme $\prod_{(\text{cycles ind})} \delta(g_c)$, où $g_c = \prod_e g_e$ est l'holonomie le long d'un cycle (fermé) formé par des liens du graphe dual. De manière équivalente on peut considérer à la place des cycles les faces duales aux sommets de la triangulation. Le produit sur ces cycles ou faces doit se faire pour des cycles ou faces *indépendants*. Ici cela ne pose aucune difficulté : imposer que les holonomies autour des quatre faces soient triviales conduit typiquement à une divergence évidente, du fait qu'une des quatre contraintes est redondante. On fait donc un choix de trois cycles/faces indépendants, tel que

$$\psi_{\text{phys}}(g_1, \ldots, g_6) = \delta(g_4 g_5 g_6)\, \delta(g_1 g_6 g_2^{-1})\, \delta(g_2 g_4 g_3^{-1}). \tag{9.1}$$

Pour connaître le développement de cet état sur les réseaux de spins, on prend son produit scalaire avec une fonctionnelle de réseau de spins $s_{\{j_e\}}(g_1, \ldots, g_6)$,

$$\psi_{\text{phys}}(j_1, \ldots, j_6) = \int \prod_{e=1}^{6} dg_e \; s_{\{j_e\}}(g_1, \ldots, g_6) \; \psi_{\text{phys}}(g_1, \ldots, g_6), \tag{9.2}$$

$$= \begin{Bmatrix} j_1 & j_2 & j_3 \\ j_4 & j_5 & j_6 \end{Bmatrix}. \tag{9.3}$$

Ce résultat provient simplement du fait que l'état physique en représentation holonomie force l'évaluation de l'intégrale sur les holonomies triviales (à transformations de jauge près), et qu'alors : $s_{\{j_e\}}(\mathbb{1}) = \{6j_e\}$.

9.2 L'identité de Biedenharn-Elliott et la contrainte hamiltonienne

Nous savons par ailleurs que l'invariance topologique du modèle de Ponzano-Regge réside dans l'identité de Biedenharn-Elliott satisfaite par le 6j, que nous rappelons,

$$\begin{Bmatrix} j & h & g \\ k & a & b \end{Bmatrix} \begin{Bmatrix} j & h & g \\ f & d & c \end{Bmatrix} = \sum_l (-1)^{S+l}(2l+1) \begin{Bmatrix} k & f & l \\ d & a & g \end{Bmatrix} \begin{Bmatrix} a & d & l \\ c & b & j \end{Bmatrix} \begin{Bmatrix} b & c & l \\ f & k & h \end{Bmatrix}, \tag{9.4}$$

où S représente la somme des neuf spins impliqués. En prenant la valeur $f = 1$, la somme du membre de droite se réduit à trois termes, $l = k-1, k, k+1$. En évaluant explicitement les symboles avec $f = 1$, on parvient à une relation de récurrence d'ordre 2 sur le symbole 6j,

$$A_{+1}(j) \begin{Bmatrix} j_1+1 & j_2 & j_3 \\ j_4 & j_5 & j_6 \end{Bmatrix} + A_0(j) \begin{Bmatrix} j_1 & j_2 & j_3 \\ j_4 & j_5 & j_6 \end{Bmatrix} + A_{-1}(j) \begin{Bmatrix} j_1-1 & j_2 & j_3 \\ j_4 & j_5 & j_6 \end{Bmatrix} = 0. \tag{9.5}$$

Les coefficients $A_{\pm 1}$ prennent la forme : $A_{+1}(j) = j_1 E(j_1+1)$, et $A_{-1}(j) = (j_1-1)E(j_1)$, pour

$$E(j_1) = \Big[\big((j_2+j_3+1)^2 - j_1^2\big)\big(j_1^2 - (j_2-j_3)^2\big)\big((j_5+j_6+1)^2 - j_1^2\big)\big(j_1^2 - (j_5-j_6)^2\big)\Big]^{\frac{1}{2}}. \tag{9.6}$$

Le coefficient A_0 est donné par :

$$\begin{aligned} A_0(j) = \big(2j_1+1\big)\Big\{ & 2\big[j_2(j_2+1)j_5(j_5+1) + j_6(j_6+1)j_3(j_3+1) - j_1(j_1+1)j_4(j_4+1)\big] \\ & - \big[j_2(j_2+1) + j_3(j_3+1) - j_1(j_1+1)\big]\big[j_5(j_5+1) + j_6(j_6+1) - j_1(j_1+1)\big]\Big\}. \end{aligned} \tag{9.7}$$

L'équation (9.5) permet à l'aide d'une condition initiale de déterminer l'ensemble des valeurs du 6j. Comme en outre, cette relation, caractérisant complètement le 6j, donc l'état physique ψ_{phys}, provient directement de l'invariance topologique, il est tentant de se demander si elle peut s'interpréter comme une équation de Wheeler-DeWitt sur le bord d'un tétraèdre.

On se place pour cela dans une situation où les coefficients se simplifient et prennent un sens géométrique, en regardant la limite homogène des grands spins, $j_e \to N j_e$, pour $N \to \infty$. On définit $f(j_e) = \sqrt{12\pi V(\ell_e)}\,\{6j_e\}$, où $V(\ell_e)$ est le volume du tétraèdre dont les longueurs sont données par $\ell_e = j_e + \frac{1}{2}$, et possédant des angles dihédraux $\theta_e(j_e)$. La relation de récurrence se réécrit alors

$$[\Delta_{j_1} + 2(1-\cos\theta_1(j_l))] \; \frac{1}{\sqrt{\sin\theta_1(j_l)}} f(j_l) = 0. \tag{9.8}$$

Ici Δ est l'opérateur de différences d'ordre 2, défini par : $\Delta f(x) = f(x+1) + f(x-1) - 2f(x)$, et θ_1 est l'angle dihédral entre les deux triangles se rencontrant sur le lien qui porte le spin j_1, calculé en fonction des longueurs ℓ_e. Schulten et Gordon ont montré [158] que cette équation est intimement reliée à une équation différentielle d'ordre 2 qui en fournit des solutions via l'approximation WKB. Cela conduit à l'asymptotique désormais bien connue du 6j en terme de l'action de Regge[1] S_{R} [143, 158],

$$\begin{Bmatrix} j_1 & j_2 & j_3 \\ j_4 & j_5 & j_6 \end{Bmatrix} \sim \frac{1}{\sqrt{12\pi V(\ell_l)}} \cos\Big(S_{\text{R}}[\ell_l] + \frac{\pi}{4}\Big). \tag{9.9}$$

Le régime des grands spins fournit ainsi une notion de limite semi-classique dans laquelle les amplitudes de mousses de spins sont approchées par une forme de calcul de Regge quantique [159, 125, 60].

1. En général, la solution est une combinaison de fonctions d'Airy, qui se réduit à (9.9) quand $V(\ell_e)^2 > 0$.

Montrons maintenant que l'équation (9.8) peut s'obtenir de manière simple et naïve, directement comme quantification de la contrainte hamiltonienne. Rappelons-nous de l'espace des phases pour la gravité sur une triangulation d'une surface 2d. Il y a une paire canonique sur chaque arête, formée par (l_e, θ_e) où l_e est la longueur de l'arête et θ_e une variable angulaire conjuguée. La contrainte de courbure nulle de la théorie BF se traduit dans ces variables par (6.34),

$$\cos\theta_e = \cos\vartheta_e(l), \tag{9.10}$$

c'est-à-dire que le moment θ_e est en fait l'angle dihédral $\vartheta_e(l)$ calculé grâce aux longueurs.

Tentons alors une quantification tout ce qu'il y a de plus naïve, en prenant des fonctions des moments θ_e sur le bord d'un tétraèdre. $\cos\theta_e$ agit basiquement par multiplication, et les longueurs par dérivation sur ces fonctions. On exprime ensuite l'action de (9.10) sur les modes de Fourier $\psi(m_1, \ldots, m_6)$, en développant $\psi(\theta) = \sum_{\{m_e\}} \psi(m_1, \ldots, m_6) \sum_{e=1}^{6} \exp(i \sum_{e=1}^{6} m_e\theta_e)$. Sur ces modes de Fourier, la contrainte (9.10) devient (9.8) !

$$[\Delta_{m_1} + 2(1 - \cos\theta_1(m_l))]\ \psi(m_1, \ldots, m_6) = 0. \tag{9.11}$$

Bien sûr, cette équation ne définit pas proprement ψ du fait qu'il manque le facteur $1/\sqrt{\sin\theta_1(j_l)}$. De même, nous n'avons pas prêté attention au sens des variables m_e et leur lien avec les longueurs l_e ou ℓ_e. Néanmoins, cet argument montre que la relation de récurrence sur le 6j (9.5) n'est rien d'autre qu'une quantification propre de la contrainte de courbure nulle sur le bord d'un tétraèdre !

Interprétation géométrique

Avec une telle conclusion, il est désirable de se donner une vision plus intuitive et géométrique de la relation (9.5). Ceci est illustré en figure 9.1. (Remarquons que trois liens d'un réseau de spins se rencontrant en un vertex, comme ici j_1, j_2, j_3, forment du point de vue de la triangulation un triangle du tétraèdre). L'idée est de coller le long du tétraèdre $ABCD$ un deuxième tétraèdre (c'est le sens du membre de gauche de l'identité de BE) dont une des longueurs est « petite », $\ell_f = f + 1/2$ (c'est le sens de la restriction au cas $f = 1$, nous aurions aussi pu prendre $f = 1/2$). On peut qualifier ce deuxième tétraèdre d'aplati. Dans le membre de droite, le tétraèdre qui nous intéresse est $ABCD'$, de sorte que l'on peut visualiser l'ensemble du mouvement comme un léger déplacement du point D en D' ! Naturellement, cela modifie les longueurs des trois segments qui se rencontrent initialement en D, pour un choix générique de f. Avec le choix spécifique $f = 1$ (et en fait avec tout $f \in \mathbb{N}$), on peut choisir de laisser invariant les longueurs des segments BD et CD, ce qui correspond à faire pivoter le triangle BCD autour de BC. Ainsi, seul la longueur de l'arête AD est modifiée, ce qui donne une relation de récurrence sur un seul spin !

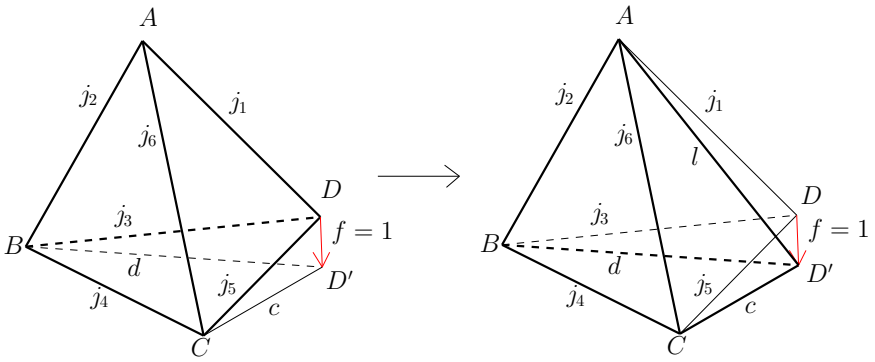

FIGURE 9.1 – La figure représente l'identité (9.5). A gauche, le tétraèdre $(ABCD)$, dont les longueurs sont $\ell_e = (j_e + \frac{1}{2})$, $e = 1, \ldots, 6$, est collé le long du triangle (BCD) à un tétraèdre aplati, $(BCDD')$, dont le spin sur (DD') est $f = 1$. A droite, les trois tétraèdres $(ACDD')$, $(ABDD')$, $(ABCD')$, partagent l'arête (AD') dont le spin prend les valeurs $l = j_1 - 1, j_1, j_1 + 1$. Les tétraèdres $(ACDD')$ and $(ABDD')$ peuvent être considérés comme aplatis du fait qu'ils possèdent l'arête $f = 1$. Ainsi, du point de vue du tétraèdre initial $(ABCD)$, le mouvement peut être vu comme un léger déplacement du point D vers D', dont il résulte des changements de longueur pour les arêtes touchant D. Cependant, il est possible de faire ce mouvement de telle sorte que les spins j_3, j_5 soient inchangés : $c = j_5, d = j_3$.

Chapitre 10

Invariance topologique et relations de récurrence en 4d

En passant du symbole 6j aux symboles de Wigner $\{3nj\}$, pour $n \geq 3$, la littérature devient nettement plus évasive, à l'exception notable du 9j [167]. Ces symboles étant globalement pertinents dans le cadre des mousses de spins pour la gravité quantique (par exemple, le 9j intervient dans les coefficients de fusion du nouveau modèle EPR, voir section 14.3), il est intéressant de voir quelles méthodes utiliser pour les étudier.

Considérons un symbole $\{3nj\}$ arbitraire, représenté par un graphe fermé formé de vertexes trivalents et d'arêtes portant des représentations irréductibles de SU(2) que l'on note collectivement $\{j_i\}$. L'évaluation du graphe conduit à une valeur numérique obtenue en suivant des règles conventionnelles, qui assignent des coefficients de Clebsch-Gordan (ou des coefficients $(3mj)$) aux vertexes. Pour écrire ces symboles sans ambiguité à l'aide de ces graphes de type réseaux de spins, nous utilisons les conventions de [167] pour l'orientation des arêtes et vertexes.

Un moyen direct pour obtenir des relations de récurrence est d'exploiter la décomposition des symboles $\{3nj\}$ en symboles plus petits. Cette décomposition s'effectue en isolant une partie du graphe contenant un cycle, comme sur la figure 10.1. Le cas le plus simple consiste en un cycle de trois arêtes, de sorte que le symbole se décompose alors en : $\{3nj\} = \{6j\}\{3(n-1)j\}$. Pour un cycle de quatre liens, il faut introduire une somme sur des spins intermédiaires, $\{3nj\} = \sum_i \{9j\}_i \{3(n-1)j\}_i$, et ainsi de suite.

Cette procédure que nous allons détailler fonctionne bien pour des 3-cycles et 4-cycles, mais devient plutôt lourde et maladroite pour les cycles plus grands. Nous nous intéresserons donc à une autre méthode pour le cas particulier $n = 5$, qui est le plus pertinent pour les modèles de gravité quantique en dimension 4. Cette méthode fondée sur une version régularisée du mouvement de Pachner 4-2 a de plus l'avantage de fournir une interprétation géométrique simple. Nous verrons aussi que les relations de récurrence obtenues s'appliquent aussi bien à tout symbole ayant des cycles identiques à ceux des 15j étudiés.

10.1 Relations entre les symboles 3nj

La situation la plus simple consiste en un symbole $\{3nj\}$ contenant un cycle de trois arêtes, comme sur le haut de la figure 10.1. Le symbole est alors dit *réductible*, du fait qu'il s'écrit comme le produit d'un plus petit symbole $\{3(n-1)j\}$ par un 6j. Puisque les spins du 6j se découplent totalement du reste du symbole, nous pouvons assez trivialement utilisé les relations de récurrence du 6j pour en

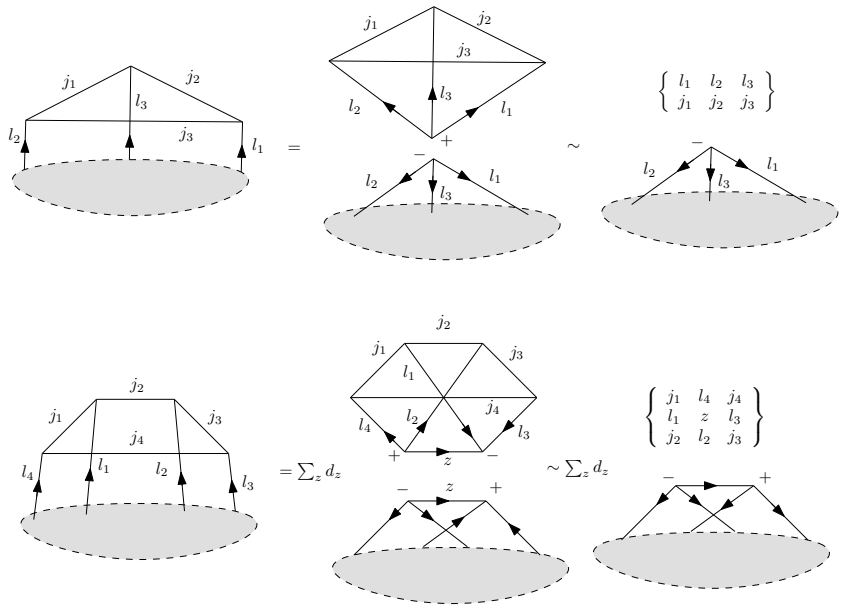

FIGURE 10.1 – La figure du haut montre un symbole réductible : le cycle $(j_1 j_2 j_3)$ se factorise du fait qu'il n'existe qu'un unique entrelaceur entre $\mathcal{H}_{l_1} \otimes \mathcal{H}_{l_2} \otimes \mathcal{H}_{l_3}$ et $\mathbb{C}$. Il est alors possible d'utiliser les relations de récurrence sur le 6j pour générer des translations des spins (j_i). Pour un cycle de quatre arêtes, il faut sommer sur les entrelaceurs z entre $\mathcal{H}_{l_4} \otimes \mathcal{H}_{l_2} \to \mathcal{H}_{l_1} \otimes \mathcal{H}_{l_3}$. On peut alors appliquer des relations de récurrence connues agissant sur les (j_i), si les coefficients ne dépendent pas de z mais tout au plus des spins s'attachant au cycle.

déduire d'identiques sur le $\{3nj\}$. Par exemple,

$$A_{+1}(j)\begin{Bmatrix} l_1 & l_2 & l_3 \\ j_1+1 & j_2 & j_3 \\ \cdots & \cdots & \cdots \end{Bmatrix} + A_0(j)\begin{Bmatrix} l_1 & l_2 & l_3 \\ j_1 & j_2 & j_3 \\ \cdots & \cdots & \cdots \end{Bmatrix} + A_{-1}(j)\begin{Bmatrix} l_1 & l_2 & l_3 \\ j_1-1 & j_2 & j_3 \\ \cdots & \cdots & \cdots \end{Bmatrix} = 0. \tag{10.1}$$

Considérons ensuite un symbole contenant un cycle de quatre arêtes, comme au bas de la figure 10.1. Nous pouvons toujours utilisé la théorie du recouplage (*recoupling theory*, en anglais) pour écrire un tel symbole en termes de plus petits, mais désormais une somme sur les plus petits symboles apparaît : le symbole initial n'est pas réductible. Cela ne nous empêche pas nécessairement d'appliquer les relations de récurrence des plus petits symboles. Mais une attention particulière doit alors être portée pour éviter que ces relations n'impliquent des spins qui sont par ailleurs sommés dans la décomposition du symbole initial. Sur l'exemple de la figure, nous pouvons dériver des relations pour le symbole de gauche à partir des relations sur le 9j à droite, qui n'impliquent pas le spin z entrelaçant les représentations $\{l_i\}$. Typiquement,

$$\begin{aligned}
&\Big[\frac{(j_2+l_2+j_3+1)(j_2+j_3-l_2)(-j_4+j_3+l_3)(j_4+l_3-j_3+1)}{(j_1+l_1+j_2+2)(j_1-l_1+j_2+1)}\Big]^{\frac{1}{2}}\begin{Bmatrix} j_1+\frac{1}{2} & l_4 & j_4+\frac{1}{2} \\ l_1 & z & l_3 \\ j_2-\frac{1}{2} & l_2 & j_3-\frac{1}{2} \\ \cdots & \cdots & \cdots \end{Bmatrix} \\
&+\Big[\frac{(j_2-j_3+l_2)(-j_2+j_3+l_2+1)(j_4+j_3+l_3+2)(j_4+j_3-l_3+1)}{(j_1+l_1+j_2+2)(j_1-l_1+j_2+1)}\Big]^{\frac{1}{2}}\begin{Bmatrix} j_1+\frac{1}{2} & l_4 & j_4+\frac{1}{2} \\ l_1 & z & l_3 \\ j_2-\frac{1}{2} & l_2 & j_3+\frac{1}{2} \\ \cdots & \cdots & \cdots \end{Bmatrix} \\
&+\Big[\frac{(j_2+l_2+j_3+2)(j_2+j_3-l_2+1)(j_4+j_3+l_3+2)(j_4+j_3-l_3+1)}{(j_1+l_1-j_2+1)(-j_1+l_1+j_2)}\Big]^{\frac{1}{2}}\begin{Bmatrix} j_1+\frac{1}{2} & l_4 & j_4+\frac{1}{2} \\ l_1 & z & l_3 \\ j_2+\frac{1}{2} & l_2 & j_3+\frac{1}{2} \\ \cdots & \cdots & \cdots \end{Bmatrix} \\
&-\Big[\frac{(j_2-j_3+l_2+1)(-j_2+j_3+l_2)(-j_4+j_3+l_3)(j_4+l_3-j_3+1)}{(j_1+l_1-j_2+1)(-j_1+l_1+j_2)}\Big]^{\frac{1}{2}}\begin{Bmatrix} j_1+\frac{1}{2} & l_4 & j_4+\frac{1}{2} \\ l_1 & z & l_3 \\ j_2+\frac{1}{2} & l_2 & j_3-\frac{1}{2} \\ \cdots & \cdots & \cdots \end{Bmatrix} \\
&=(2j_2+1)(2j_3+1)\Big[\frac{(j_1+l_4+j_4+2)(j_1+l_4-j_4+1)}{(j_1+l_1-j_2+1)(-j_1+l_1+j_2)(j_1+l_1+j_2+2)(j_1-l_1+j_2+1)}\Big]^{\frac{1}{2}}\begin{Bmatrix} j_1 & l_4 & j_4 \\ l_1 & z & l_3 \\ j_2 & l_2 & j_3 \\ \cdots & \cdots & \cdots \end{Bmatrix}
\end{aligned} \tag{10.2}$$

D'autres relations peuvent ainsi être obtenues à partir de récurrences sur le 9j données dans [167].

Notons que les coefficients de telles relations de récurrence ne dépendent que des spins du cycle et des spins sur les liens directement attachés au cycle. Cette propriété tient aussi bien pour les cycles de 5 ou 6 liens. Néanmoins, la procédure devient alors plus lourde et nécessite de connaître à l'avance des relations sur des symboles $12j$ ou plus. Plus bas, nous dérivons une alternative plus fructueuse pour les cycles plus grands.

Mentionnons finalement une autre méthode utilisée par Jang [113]. Un symbole auxiliaire $\{3(n+1)j\}$ est exprimé en terme d'une somme de produits d'un symbole $\{3nj\}$ et typiquement de symboles 6j. Puis, en utilisant des symétries spécifiques du $\{3(n+1)j\}$, il est possible d'obtenir des relations non-triviales entre les symboles $\{3nj\}$, avec des 6j comme coefficients. Cette méthode fonctionne bien pour les symboles dit du premier type (*of the first kind*, en anglais, dans la terminologie de [174]), mais il n'est pas clair qu'elle soit efficace pour d'autres types de symboles ayant des symétries moins fortes.

De plus, cela ne fournit pas d'interprétation géométrique, en termes de mouvements élémentaires sur des spimplexes, par contraste avec la méthode que nous allons présenter.

10.2 Par le mouvement de Pachner 4-2

Fixons maintenant $n = 5$. Le symbole de Wigner correspondant, le 15j, n'est en fait pas unique, à la différence des 6j et 9j. Suivant la terminologie de [174], on peut déterminer cinq types de symboles irréductibles. Selon leur type, différents cycles seront présents, et les méthodes développées plus haut s'appliquent évidemment. Toutes les arêtes des symboles 15j du premier et du second types peuvent être prises en compte dans des cycles de quatre liens, tandis que des cycles de cinq liens sont nécessaires pour toutes les arêtes du 15j du cinquième type. Les symboles du troisième et quatrième types nécessitent des cycles de cinq liens seulement pour certaines arêtes (et de quatre liens pour les autres).

Tout comme le 6j en tant qu'état physique sur le bord d'un tétraèdre, le 15j admet une interpétation physique, mais en dimension 4. Considérons en effet le bord d'un 4-simplexe. Le graphe dual accueille un espace de Hilbert, engendré par les réseaux de spins formés sur les 5 vertexes et 10 liens duaux. Comme en gravité 3d, le seul état physique sur cette triangulation consiste en des fonctions delta sur les cycles indépendants du graphe dual, ou sur les faces *indépendantes* duales aux arêtes de la triangulation, qui imposent aux holonomies le long de ces cycles d'être triviales. Ainsi pour éviter les redondances, l'état physique s'écrit en choisissant 6 faces indépendantes parmi les 10. Il est tel qu'à des transformations de jauge près, il impose à chacune des 10 holonomies le long des liens duaux d'être triviale – ce qui est fondamentalement dû au fait que le groupe fondamental π_1 de cette triangulation est trivial. Cet état non-normalisable se développe sur la base des réseaux de spins. En 4d, une telle base s'obtient en choisissant un appariement à chaque vertex dual entre les quatre spins j_e qui s'y rencontrent, et en y associant un entrelaceur noté par exemple $|(j_1 j_2), (j_3 j_4); i\rangle$ dont le spin intermédiaire i doit courir sur toutes les valeurs admissibles. Alors un calcul similaire au cas 3d conduit aux coefficients de cet état dans la base des réseaux de spins qui se révèlent être des symboles 15j !

$$\psi_{\text{phys}}(j_1, \ldots, j_{10}; i_1, \ldots, i_5) = \{15 j_e\}, \tag{10.3}$$

du fait que l'évaluation d'un réseau de spins sur l'identité pour chaque arête est exactement un symbole 15j. Bien sûr la forme précise de ces 15j dépend des appariements choisis pour chacun des cinq entrelaceurs.

Tout comme le 6j dans le modèle de Ponzano-Regge, le symbole 15j est la brique de construction du modèle d'Ooguri, modèle de type BF en dimension 4 pour le groupe SU(2), souvent pris comme point de départ pour des modèles de gravité quantique comme nous le verrons. A ce titre ce modèle est construit comme une fonction de partition pour un système de connexions discrètes plates, et la somme sur les mousses de spins en est une réécriture en modes de Fourier SU(2). Les intégrales sur les connexions discrètes se font à l'aide de la formule que nous rappelons,

$$\int_{\text{SU}(2)} dg_t \bigotimes_{f=1}^{4} D^{(j_f)}(g_t) = \text{id}_{\text{Inv}} \,. \tag{10.4}$$

Sur une variété triangulée, g_t représente le transport parallèle entre deux 4-simplexes à travers un tétraèdre. Les quatre représentations j_f sont ainsi attachées une à une aux quatre triangles de ce tétraèdre. Ces triangles apparaissent bien sûr dans d'autres tétraèdres avec les mêmes représentations. L'espace invariant sur le tétraèdre t est le sous-espace SU(2)-invariant du produit tensoriel des quatre représentations se rencontrant en t. Une base orthonormale de tels entrelaceurs quadrivalents est obtenue par développement selon un arbre, i.e. un développement en vertexes trivalents. Il faut pour cela choisir un des trois appariements possibles entre les quatre représentations j_f et sommer sur une

représentation intermédiaire. L'identité est alors donnée par :

$$\mathrm{id}_{\mathrm{Inv}} = \sum_i |(j_1 j_2), (j_3 j_4); i\rangle \, \langle (j_1 j_2), (j_3 j_4); i| \tag{10.5}$$

Chaque tétraèdre reçoit donc un spin entrelaceur i_t. La contraction de tels entrelaceurs le long des triangles donnent naissance à des symboles 15j comme amplitude de chaque 4-simplexe. Le lecteur attentif aura noté que la structure de chaque 15j dépendra du choix des appariements dans (10.5) pour chacun des cinq entrelaceurs d'un 4-simplexe. Il est néanmoins possible d'écrire le modèle en n'utilisant qu'un seul type de 15j, mais cela requiert généralement des choix d'appariements différents pour les deux entrelaceurs entrant dans (10.5). L'invariance de jauge est alors garantie par l'apparition de symboles 6j appropriés à chaque tétraèdre pour recoupler correctement les deux appariements différents.

Une question naturelle à laquelle nous n'avons pas trouvé de réponses dans la littérature est de savoir si l'exploration de tous les choix d'appariements permet de construire les cinq types différents de 15j. Il est assez facile de voir qu'elle engendre bien les 15j des premier, troisième, quatrième et cinquième types, ainsi que des symboles réductibles. Mais nous n'avons pas été en mesure de reproduire le 15j du second type de cette manière, sans preuve toutefois qu'il ne peut apparaître.

La spécificité du modèle d'Ooguri est naturellement son invariance topologique, i.e. qu'il ne dépend pas explicitement de la triangulation choisie, mais seulement de la topologie de la variété. Les preuves les plus simples [136, 105] utilisent les mouvements de Pachner qui relient des triangulations de deux variétés homéomorphes. En dimension 4, il existe trois mouvements indépendants, discutés en détails dans [65] : 3-3, 4-2 et 5-1. Les mouvements 4-2 et 5-1 engendrent en fait des divergences dans le modèle d'Ooguri, ce qui rend l'invariance topologique un peu subtile. Mais comme le mouvement 4-1 dans le modèle de Ponzano-Regge, ces divergences proviennent simplement de fonctions delta redondantes dans la définition du modèle en termes de connexions discrètes plates.

Puisque le 15j donne naissance à un modèle topologique, il semble naturel qu'il existe des relations sur le 15j codant cette invariance topologique ou du moins en découlant, tout comme pour l'identité de Biedenharn-Elliott et les relations de récurrence sur le 6j. Nous allons montrer que c'est bien le cas : des relations de récurrence s'obtiennent à partir du mouvement de Pachner 4-2 (régularisé). Comme ce mouvement de Pachner est une composante de l'invariance du modèle sous les homéomorphismes, ces relations de récurrence peuvent être vues comme des équations aux différences contribuant à l'implémentation de cette symétrie, ou de manière équivalente : comme une version discrète des contraintes classiques de la théorie BF sur le bord d'un 4-simplex dont la solution est l'unique état physique $\psi_{\mathrm{phys}}(j_1, \ldots, j_{10}; i_1, \ldots, i_5)$.

10.2.1 Régularisation du mouvement 4-2

Il s'agit donc d'un mouvement reliant l'amplitude associée à deux 4-simplexes collés le long d'un tétraèdre à celle de quatre 4-simplexes également reliés deux à deux par des tétraèdres distincts, comme sur la figure 10.3. Puisque le modèle est défini intrinsèquement sans choix d'appariements, mais plutôt en termes d'intégrations sur SU(2), nous regardons le mouvement en utilisant cette représentation des amplitudes, qui se dessine plus naturellement sur les 2-complexes duaux aux triangulations concernées, suivant la figure 10.2. Les boîtes noires représentent à la fois les liens duaux aux tétraèdres et les intégrales sur les éléments de groupe correspondants g_t, tandis que les lignes forment les bords des faces duales aux triangles. Chaque boîte est traversée par quatre lignes, correspondant aux quatre triangles de chaque tétraèdre. Dans cette vision, un 4-simplexe est formé de cinq boîtes noires reliées deux à deux. Un triangle interne se repère par une plaquette duale entière, i.e. dont le bord est une ligne fermé, alors que les lignes ouvertes correspondent à des triangles du bord.

Dans les deux configurations du mouvement, le bord est constitué de huit tétraèdres portant les éléments de groupe $(g_i)_{i=1,\ldots,8}$. Dans la configuration de gauche (sur la figure 10.2), le tétraèdre interne,

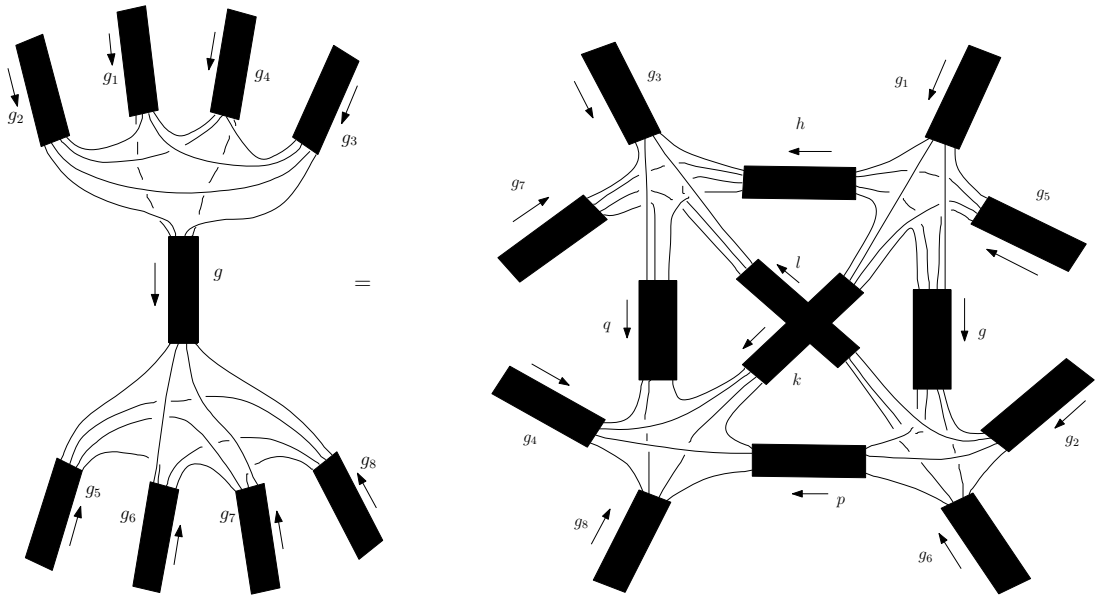

FIGURE 10.2 – Ces figures décrivent le mouvement 2-4 du point de vue du 2-squelette du complexe cellulaire dual à la triangulation. Les tétraèdres du bord sont les 8 boîtes externes. A gauche il y a deux 4-simplexes collés par un tétraèdre (dual à la boîte du milieu), tandis que le graphe de droite donne la structure du collage des quatre 4-simplexes reliés deux à deux par des tétraèdres tous distincts. Les flèches donnent l'orientation des liens duaux, et les boîtes signifient aussi qu'il faut intégrer sur les éléments de groupe portés par ces liens duaux. Une fois que le membre de droite est correctement régularisé, les deux configurations produisent la même amplitude BF. Pour effectuer cette régularisation nécessaire, nous avons enlevé la condition de courbure nulle pour la face interne passant par l, q, p. Par conséquent, puisqu'il n'y plus que trois liens à passer à travers l, q, et p, l'amplitude de trois 4-simplexes va se réduire à des symboles 12j, et nous allons obtenir un seul symbole 15j dans ce membre de droite.

partagé par les deux 4-simplexes, porte un élément noté g. En suivant les orientations données sur la figure, l'amplitude de gauche se calcule par :

$$\int \prod_{t=1}^{8} dg_t \, D^{(j_{12})}(g_1 g_2^{-1}) \, D^{(j_{13})}(g_1 g_3^{-1}) \, D^{(j_{14})}(g_1 g_4^{-1}) \, D^{(j_{23})}(g_2 g_3^{-1}) \, D^{(j_{23})}(g_2 g_3^{-1}) \, D^{(j_{24})}(g_2 g_4^{-1})$$
$$D^{(j_{34})}(g_3 g_4^{-1}) \, D^{(j_{56})}(g_5 g_6^{-1}) \, D^{(j_{57})}(g_5 g_7^{-1}) \, D^{(j_{58})}(g_5 g_8^{-1}) \, D^{(j_{67})}(g_6 g_7^{-1}) \, D^{(j_{68})}(g_6 g_8^{-1}) \, D^{(j_{78})}(g_7 g_8^{-1})$$
$$\int dg \, D^{(j_{15})}(g_1 \, g \, g_5^{-1}) \, D^{(j_{26})}(g_2 \, g \, g_6^{-1}) \, D^{(j_{37})}(g_3 \, g \, g_7^{-1}) \, D^{(j_{48})}(g_4 \, g \, g_8^{-1}). \quad (10.6)$$

Des produits tensoriels sont entendus entre les matrices $D^{(j)}$. Après intégration sur les huit éléments g_t des tétraèdres du bord, les indices libres des entrelaceurs, qui correspondent aux extrémités libres des lignes ouvertes, peuvent être contractés avec huit entrelaceurs choisis et fixés. Cela implique notamment le choix d'appariements pour définir les spins intermédiaires/virtuels. L'intégration sur g produit la somme (10.5), et cela conduit précisément à la partie gauche de la figure 10.4.

Sur la partie droite du mouvement, six éléments de groupe, correspondant aux six tétraèdres internes, doivent être intégrés. Les lignes ouvertes correspondent aux triangles du bord, et les lignes fermées aux triangles internes, qui sont partagés par exactement trois tétraèdres (et trois 4-simplexes). Chaque triangle interne contribue à l'amplitude par un facteur $\delta(\prod_{t \supset f} g_t)$. Après inspection, il s'avère qu'une de ces fonctions delta est redondante, causant une divergence du type $\delta(\mathbb{1})$, exactement comme pour le mouvement 4-1 dans le modèle de Ponzano-Regge. Cette divergence peut être évitée en supprimant brutalement une des quatre conditions de courbure nulle, disons $\delta(lqp^{-1})$, puisque la contrainte $lqp^{-1} = \mathbb{1}$ est garantie par les autres fonctions delta. L'amplitude qui résulte de ce choix est *finie* et se lit

$$\int \prod_{t=1}^{8} dg_t \, D^{(j_{15})}(g_1 g_5^{-1}) \, D^{(j_{26})}(g_2 g_6^{-1}) \, D^{(j_{37})}(g_3 g_7^{-1}) \, D^{(j_{48})}(g_4 g_8^{-1}) \int dg \, dh \, dk \, dl \, dp \, dq$$
$$\delta\big(g \, l \, h^{-1}\big) \, \delta\big(g \, p \, k^{-1}\big) \, \delta\big(h \, q \, k^{-1}\big) \; D^{(j_{12})}(g_1 \, g \, g_2^{-1}) \, D^{(j_{56})}(g_5 \, g \, g_6^{-1}) \; D^{(j_{57})}(g_5 \, h \, g_7^{-1}) \, D^{(j_{13})}(g_1 \, h \, g_3^{-1})$$
$$D^{(j_{58})}(g_5 \, k \, g_8^{-1}) \, D^{(j_{14})}(g_1 \, k \, g_4^{-1}) \, D^{(j_{23})}(g_2 \, l \, g_3^{-1}) \, D^{(j_{67})}(g_6 \, l \, g_7^{-1})$$
$$D^{(j_{24})}(g_2 \, p \, g_4^{-1}) \, D^{(j_{68})}(g_6 \, p \, g_8^{-1}) \, D^{(j_{34})}(g_3 \, q \, g_4^{-1}) \, D^{(j_{78})}(g_7 \, q \, g_8^{-1}). \quad (10.7)$$

Les intégrales sur l'intérieur se font de façon usuelle, en développant les fonctions delta selon la formule de Plancherel et en usant de manière répétée de (10.4). A nouveau, cette étape nécessite un choix d'appariements. Notons que le résultat ne fait apparaître qu'un seul symbole 15j : les éléments de groupe l, q et p n'interviennent plus qu'en trois endroits du fait de la fonction delta éliminée. Ainsi les amplitudes des trois 4-simplexes partageant le triangle correspondant se réduisent à de plus petits symboles 12j.

Les deux expressions coincident après régularisation, puisque nous n'avons fait que supprimer une fonction delta redondante. Cela peut aussi de voir explicitement à l'aide de la méthode graphique de [105]. L'idée est la suivante. Observons d'abord que g, sur la partie gauche, peut être réabsorbé à droite des éléments g_1, g_2, g_3 et g_4, en usant de la propriété d'invariance par translation des mesures de Haar. Décrivons brièvement comment la partie droite se réduit à la même amplitude. La même méthode, dite de fixation de jauge, permet d'éliminer par exemple h et q, forçant ainsi k à être l'identité. g peut aussi être réabsorbé, de sorte que $l = \mathbb{1}$. Finalement, l'intégrale sur p est triviale car les simplifications précédentes ont généré une fonction $\delta(p)$.

Comme préliminaires à une méthode que nous introduirons plus bas en lien avec le mouvement de Pachner 4-1 en gravité 3d, imaginons qu'au lieu de supprimer la fonction $\delta(lqp^{-1})$, nous gardions la composante, disons de spin J, de son développement de Fourier, $\chi_J(lqp^{-1})$, dans l'intégrant. Après avoir effectué les intégrales et choisi des appariements, la configuration de droite est maintenant

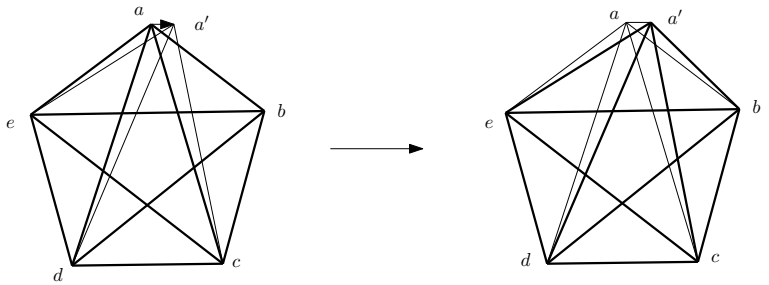

FIGURE 10.3 – Les deux configurations du mouvement 2-4. A gauche, deux 4-simplexes, $(abcde)$ et $(aa'cde)$, sont collés le long du tétraèdre $(acde)$. A droite, nous avons quatre 4-simplexes, $(a'bcde)$, $(a'bacd)$, $(a'bade)$ et $(a'bace)$. Cette configuration a quatre triangles internes, $(a'bc)$, $(a'bd)$, $(a'be)$, $(aa'b)$, chacun partagé par trois 4-simplexes, et six tétraèdres internes formés par les points a', b et tout choix de deux autres sommets. Quand les spins des triangles $(aa'e)$ et $(aa'c)$ sont pris à zéro, nous pouvons considérer a' comme très proche de a. Ainsi, les aires du 4-simplexe initial $(abcde)$ de gauche et celles de $(a'bcde)$ à droite ne diffèrent que par de petites variations pour les trois triangles partageant l'arête (ad).

constituée de quatre symboles 15j, avec une dépendance en J. Cela se traduit dans l'amplitude de gauche de la façon suivante. Puisque les autres fonctions delta (du membre de droite) forcent l'identité $lqp^{-1} = \mathbb{1}$, le caractère $\chi_J(lqp^{-1})$ vaut précisément et simplement $(2J+1)$. Cette quantité peut évidemment se factoriser. Ainsi l'amplitude de gauche se trouve tout juste multipliée par un facteur $(2J+1)$! Au lieu d'écrire explicitement de telles formules pour le mouvement 4-2, nous étudierons cela en détails en gravité 3d, ce qui donnera la formule analogue (11.5).

Nous montrons maintenant comment ce mouvement régularisé permet de dériver des relations de récurrence connues mais aussi de nouvelles.

10.2.2 Choix des données de bord

En suivant la dérivation de la relation (9.5) à partir de l'identité de Biedenharn-Elliott, nous regardons le mouvement 4-2 régularisé avec certains spins fixés de manière spécifique sur le bord. Le choix doit être fait correctement, afin de toujours garder dans le membre de droite un symbole 15j. La situation est illustrée figure 10.3. Nous considérons un 4-simplexe de sommets a, b, c, d, e, et le long du tétraèdre $(acde)$ nous collons un autre 4-simplexe, $(aa'cde)$. Cela forme la partie gauche du mouvement. Chaque triangle est colorié par un spin de SU(2) fixé, et chaque tétraèdre sauf $(acde)$ par un entrelaceur fixé : ce sont les données du bord. Le tétraèdre $(acde)$, partagé par les deux 4-simplexes, porte une somme sur les entrelaceurs (due à l'intégrale sur g dans (10.6)). La partie droite du mouvement est formée des quatre 4-simplexes respectivement obtenus en enlevant les points a, c, d et e.

Pour écrire les indices des spins et entrelaceurs, nous allons utiliser la notation duale standard : les indices correspondant à un simplexe sont les points qui ne sont *pas* des sommets de ce simplexe. Typiquement, la représentation du triangle (cde) est $j_{aa'b}$ et celle du tétraèdre $(bcde)$ est $i_{aa'}$. Pour régulariser le mouvement de Pachner, nous avons besoin de supprimer une fonction delta sur une des faces internes dans le membre de droite ; nous choisissons celle du triangle $(aa'b)$. Ainsi seule l'amplitude du 4-simplexe qui ne partage pas ce triangle, i.e. $(a'bcde)$, est effectivement un 15j, tandis que les trois autres 4-simplexes deviennent des symboles 12j, comme le montre la figure 10.4.

Nous fixons maintenant deux spins du bord à zéro : $j_{bcd} = j_{bde} = 0$. Les liens correspondant sur les graphes des réseaux de spins sont représentés avec des points et des tirets sur la figure 10.4. Ce

choix force l'égalité $j_{abd} = j_{a'bd}$ sur les spins au bord. En conséquence, le 15j sur $(aa'cde)$ dans le membre de gauche se réduit à un symbole 9j, éventuellement réductible. Il s'avère que pour tous les choix d'appariements pour l'entrelaceur du bord i_{ab}, il est possible de développer l'entrelaceur interne (et donc sommé) $i_{a'b}$ de sorte que ce 9j se réduise encore à un simple 6j ou au moins à un produit de deux symboles 6j. De cette façon, le membre de gauche de notre mouvement contient un seul 15j et un ou deux 6j.

Une simplification similaire se produit dans le membre de droite. En particulier, parmi les spins qui sont sommés, deux deviennent fixés : $j_{acd} = j_{a'cd}$ et $j_{ade} = j_{a'de}$. Les trois symboles 12j se réduisent également à des produits de 6j, dont la forme précise dépend du choix des appariements pour les entrelaceurs au bord.

Nous sommes alors en position d'écrire des équations impliquant dans chaque membre un 15j, et avec des 6j pour coefficients. Il est aussi facile de voir que tous ces 6j dépendent du spin $\lambda \equiv j_{bce}$. Ce spin paramètre également les domaines sur lesquels les autres spins sont sommés. Typiquement, on voit sur la figure 10.4 que $|j_{a'ce} - \lambda| \leq j_{ace} \leq j_{a'ce} + \lambda$. Ainsi, tout comme des relations de récurrence pour le 6j sont obtenues à partir de l'équation de Biedenharn-Elliott en spécialisant un des spins du bord à la valeur 1 (ou 1/2 pour avoir des différences de spins $\pm 1/2$), nous pouvons donner de petites valeurs déterminées à λ et obtenir de la sorte des relations de récurrence sur des 15j. Notons que les conditions $j_{bcd} = j_{bde} = 0$ induisent des relations entre les spins au bord qui dépendent aussi de λ, à savoir : $j_{abc} = j_{a'bc} + \alpha$ et $j_{abe} = j_{a'be} + \beta$, pour α et β tels que : $-\lambda \leq \alpha, \beta \leq \lambda$.

10.2.3 Interprétation géométrique

Avant de donner les formules générales, il serait bon de donner une interprétation géométrique de ce que nous avons fait. Une interprétation naturelle des spins sur les triangles et des spins entrelaceurs aux tétraèdres provient de la quantification géométrique d'un tétraèdre (isolé) et de la similarité entre la théorie BF SU(2) et la gravité quantique à boucles au niveau *cinématique*, voir section 5.2 et plus spécifiquement 5.2.2. Cela nous invite à voir les spins j comme étant reliés aux aires des triangles, et les spins entrelaceurs comme les aires de parallélogrammes coupant en deux chaque tétraèdre (les trois appariements possibles correspondent à autant de façon de procéder à cette coupe d'un tétraèdre) [22].

Alors, le choix $j_{bcd} = j_{bde} = 0$ signifie que les triangles $(aa'e)$ et $(aa'c)$ sont « très petits », de sorte que le 4-simplexe $(aa'cde)$ se trouve « aplati ». Du point de vue du 4-simplexe $(abcde)$, le collage du deuxième 4-simplexe, aplati, peut ainsi être considéré comme un léger déplacement du point a en a', comme la figure 10.3 l'illustre. D'une part, les relations $j_{acd} = j_{a'cd}$ et $j_{ade} = j_{a'de}$ signifient que les triangles $(a'be)$ et $(a'bc)$ ont la même aire que les triangles initiaux (abe) et (abc). D'autre part, les aires des triangles partageant l'arête (ad) sont modifées lorsque le sommet a bouge en a' : comme nous l'avons dit, $j_{abc} = j_{a'bc} + \alpha$ et $j_{abe} = j_{a'be} + \beta$, tandis que $j_{a'ce}$ est également changé, d'une quantité qui dépend de λ. Faire varier λ s'interprète comme un déplacement de a', de sorte que l'aire du triangle $(aa'd)$ change, en même temps que les aires de $(aa'c)$ et $(aa'e)$ restent fixes et « petites ».

10.2.4 Les formules pour différents cycles

Le fait que les spins entrelaceurs changent ou non lorsque a bouge en a' (par exemple, si $i_{ab} = i_{a'b}$ ou non) dépend des appariements choisis. Plus précisément, regardons le développement en arbre d'un entrelaceur du point de vue du graphe du réseau de spins. Si deux spins modifiés se rencontrent en un vertex commun avec un spin entrelaceur, alors ce spin n'est pas touché. Mais tout lien inséré entre deux liens dont les spins sont modifiés verra aussi son spin être touché (a priori). De cette façon, nous obtenons des relations de récurrence agissant sur des cycles qui peuvent avoir un nombre de liens différents, en changeant simplement les choix d'appariements des entrelaceurs.

Les relations que nous obtenons pour des cycles formés de trois ou quatre liens sont précisément celles sur le 6j et sur le 9j, sans véritable surprise. Présentons maintenant de nouvelles relations

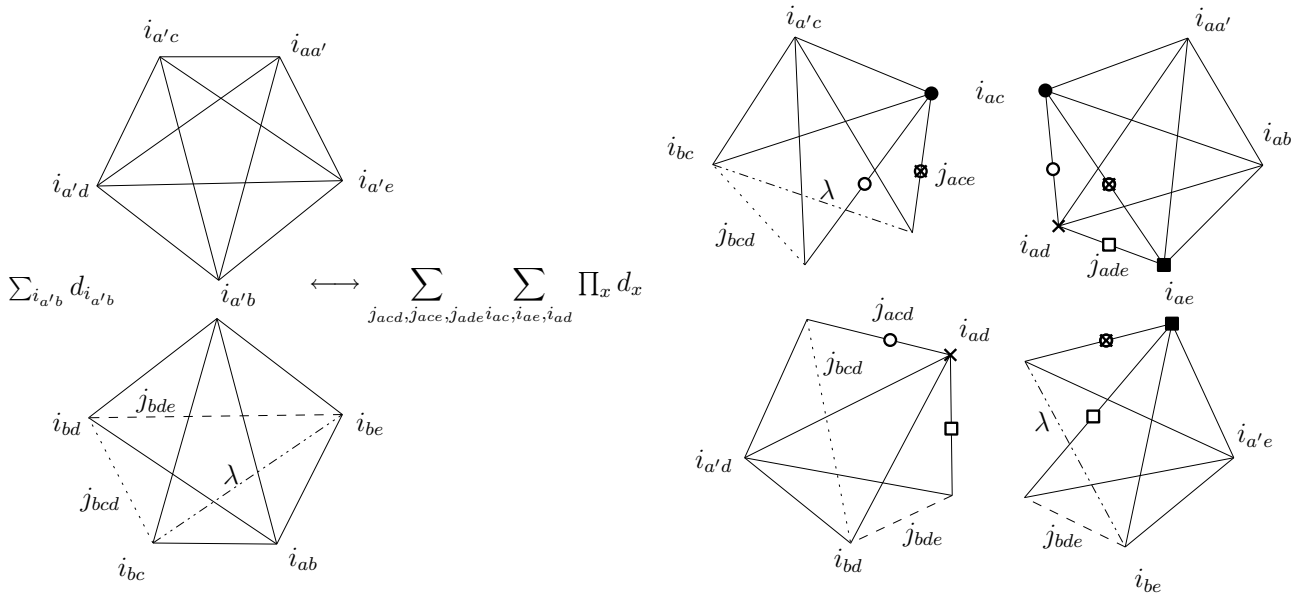

FIGURE 10.4 – Le mouvement de Pachner 2-4 régularisé, exprimé dans le langage des mousses de spins. Seul un des graphes du membre de droite est un symbole 15j du fait que la condition de courbure nulle a été supprimée pour le triangle $(aa'b)$. La notation x représente l'ensemble des spins qui sont sommés, et les liens et vertex (dont les entrelaceurs n'ont pas été explicitement développés) correspondant sont marqués. Par exemple, les trois liens portant un rond vide sont coloriés par le spin j_{acd}. Pour obtenir des formules n'impliquant qu'un seul 15j dans chaque membre du mouvement, nous avons pris $j_{bcd} = j_{bde} = 0$, représentés par des lignes en tirets et pointillés, de sorte que plusieurs graphes se réduisent à de simples produits de symboles 6j. Ensuite, des relations de récurrence explicites sont obtenues en regardant de petites valeurs du paramètre $\lambda \equiv j_{bce}$.

adaptées aux cycles de cinq ou six liens. Il y a deux façons d'insérer un lien avec un spin entrelaceur entre deux autres liens pour obtenir un 5-cycle. Nous pouvons en effet insérer ou non $i_{a'b}$ entre $j_{a'bc}$ et $j_{a'be}$ dans le membre de gauche. Puis, lorsque $i_{a'b}$ est inséré, il est équivalent d'insérer $i_{a'e}$ ou $i_{a'c}$. Nous avons donc deux relations différentes :

$$
\begin{aligned}
(-1)^R \sum_{i_{a'b}=|i_{ab}-\lambda|}^{i_{ab}+\lambda} d_{i_{a'b}} & \begin{Bmatrix} \lambda & i_{a'b} & i_{ab} \\ j_{a'bd} & j_{a'bc}+\alpha & j_{a'bc} \end{Bmatrix} \begin{Bmatrix} \lambda & i_{a'b} & i_{ab} \\ j_{aa'b} & j_{a'be}+\beta & j_{a'be} \end{Bmatrix} \\
& \times \begin{Bmatrix} i_{a'b} & & i_{a'e} & & j_{a'bc} \\ & j_{a'be} & & j_{a'ce} & \\ \multicolumn{5}{c}{\dotfill} \end{Bmatrix} \\
= \sum_{j_{ace},i_{ae}} d_{i_{ae}} d_{j_{ace}} & \begin{Bmatrix} i_{a'c} & j_{a'bc} & j_{a'ce} \\ \lambda & j_{ace} & j_{a'bc}+\alpha \end{Bmatrix} \begin{Bmatrix} \lambda & i_{a'e} & i_{ae} \\ j_{a'de} & j_{abe}+\beta & j_{a'be} \end{Bmatrix} \begin{Bmatrix} \lambda & i_{a'e} & i_{ae} \\ j_{aa'e} & j_{ace} & j_{a'ce} \end{Bmatrix} \\
& \times \begin{Bmatrix} i_{ab} & & i_{ae} & & j_{a'bc}+\alpha \\ & j_{a'be}+\beta & & j_{ace} & \\ \multicolumn{5}{c}{\dotfill} \end{Bmatrix}, \qquad (10.8)
\end{aligned}
$$

où α et β sont des demi-entiers entre $-\lambda$ et λ, $d_j \equiv 2j+1$ et $R = j_{a'de} + j_{a'bd} - j_{aa'e} - j_{aa'b} - i_{ac} + 2j_{a'bc} + \alpha + \lambda$,

$$
\begin{aligned}
\begin{Bmatrix} i_{ab} & j_{a'bc} & j_{a'be} \\ \lambda & j_{a'be}+\beta & j_{a'bc}+\alpha \end{Bmatrix} & \begin{Bmatrix} j_{a'bc} & & i_{a'e} & & i_{a'c} \\ & j_{a'be} & & j_{a'ce} & \\ \multicolumn{5}{c}{\dotfill} \end{Bmatrix} = \sum_{i_{ae},j_{ace},i_{ac}} (-1)^S d_{i_{ae}} d_{j_{ace}} d_{i_{ac}} \\
& \times \begin{Bmatrix} \lambda & i_{a'e} & i_{ae} \\ j_{a'de} & j_{a'be}+\beta & j_{a'be} \end{Bmatrix} \begin{Bmatrix} \lambda & i_{a'e} & i_{ae} \\ j_{aa'e} & j_{ace} & j_{a'ce} \end{Bmatrix} \begin{Bmatrix} \lambda & i_{a'c} & i_{ac} \\ j_{a'cd} & j_{a'bc}+\alpha & j_{a'bc} \end{Bmatrix} \\
& \times \begin{Bmatrix} \lambda & i_{a'c} & i_{ac} \\ j_{aa'c} & j_{ace} & j_{a'ce} \end{Bmatrix} \begin{Bmatrix} j_{a'bc}+\alpha & & i_{ae} & & i_{ac} \\ & j_{a'be}+\beta & & j_{ace} & \\ \multicolumn{5}{c}{\dotfill} \end{Bmatrix}, \qquad (10.9)
\end{aligned}
$$

pour $S = i_{ab} + i_{ac} - i_{a'c} + 2i_{a'e} + 2j_{a'bc} + \alpha + j_{ade} + j_{aa'e} + j_{acd} + j_{aa'c}$.

Il n'y a qu'une seule façon dans notre situation de créer un cycle de six liens, donnant la relation suivante :

$$
\begin{aligned}
\sum_{i_{a'b}=|i_{ab}-\lambda|}^{i_{ab}+\lambda} d_{i_{a'b}} & \begin{Bmatrix} \lambda & i_{a'b} & i_{ab} \\ j_{a'bd} & j_{a'bc}+\alpha & j_{a'bc} \end{Bmatrix} \begin{Bmatrix} \lambda & i_{a'b} & i_{ab} \\ j_{aa'b} & j_{a'be}+\beta & j_{a'be} \end{Bmatrix} \\
& \times \begin{Bmatrix} i_{a'b} & & i_{a'e} & & i_{a'c} \\ & j_{a'be} & & j_{a'ce} & & j_{a'bc} \\ \multicolumn{7}{c}{\dotfill} \end{Bmatrix} \\
= \sum_{i_{ae},j_{ace},i_{ac}} (-1)^T d_{i_{ae}} d_{j_{ace}} d_{i_{ac}} & \begin{Bmatrix} \lambda & i_{a'e} & i_{ae} \\ j_{a'de} & j_{a'be}+\beta & j_{a'be} \end{Bmatrix} \begin{Bmatrix} \lambda & i_{a'c} & i_{ac} \\ j_{a'cd} & j_{a'bc}+\alpha & j_{a'bc} \end{Bmatrix} \\
\times \begin{Bmatrix} \lambda & i_{a'e} & i_{ae} \\ j_{aa'e} & j_{ace} & j_{a'ce} \end{Bmatrix} \begin{Bmatrix} \lambda & i_{a'c} & i_{ac} \\ j_{aa'c} & j_{ace} & j_{a'ce} \end{Bmatrix} & \begin{Bmatrix} i_{ab} & & i_{ae} & & i_{ac} \\ & j_{a'be}+\beta & & j_{ace} & & j_{a'bc}+\alpha \\ \multicolumn{7}{c}{\dotfill} \end{Bmatrix}, \qquad (10.10)
\end{aligned}
$$

avec $T = 2j_{a'bc} + 2\lambda + \alpha + i_{a'c} + i_{ac} + j_{a'bd} + j_{aa'b} + j_{aa'c} + j_{aa'e} + j_{a'de} + j_{a'cd}$. Les coefficients de cette relation sont naturellement ceux du membre de gauche de (10.8), avec ceux du membre de droite de (10.9). Les 15j décrits dans ces équations, (10.8), (10.9) et (10.10), sont représentés en figure 10.5.

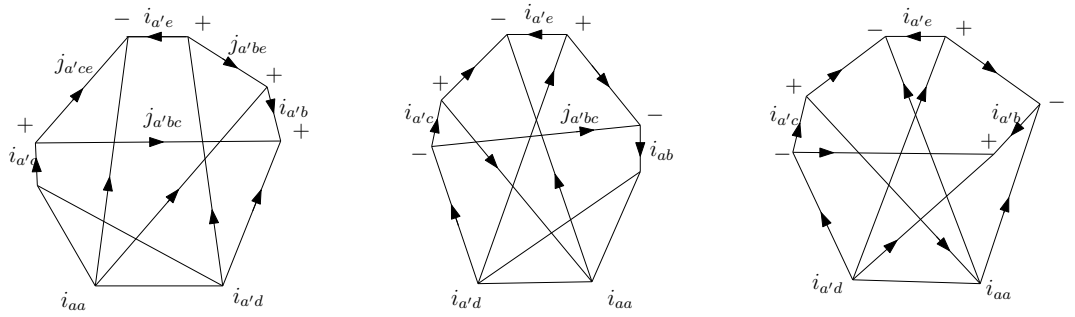

FIGURE 10.5 – Cette figure représente les symboles 15j apparaissant respectivement en (10.8), (10.9), donnant des récurrences sur des cycles de 5 liens, et en (10.10) sur un cycle de six liens. Remarquons que seules les orientations des vertex et des liens de ces cycles et des liens qui les joignent sont nécessaires.

Ces relations impliquent des symboles 15j dont les spins subissent des différences de demi-entiers, entre $-\lambda$ et λ. Pour obtenir des récurrences plus explicitement, le choix le plus simple est de prendre $\lambda = 1/2$. Alors, les paramètres libres sont $\alpha, \beta = \pm 1/2$, et les spins de tous les liens des cycles sont affectés. Dans chacune des trois formules, exactement trois triangles voient leur spin touché, puisque les cycles impliqués ne diffèrent que par les choix d'appariements pour les spins entrelaceurs. Le choix $\lambda = 1$ est aussi très intéressant. Dans ce cas, on est libre de choisir $\alpha, \beta = 0, \pm 1$. Le choix $\alpha, \beta = 0$ a le mérite de simplifier les équations car il laisse invariant deux spins sur chaque cycle. Géométriquement, cela signifie que l'aire d'un seul triangle, portant $j_{a'ce}$, est modifiée par le mouvement (avec deux ou trois entrelaceurs). Ces cas sont résumés par la figure 10.6.

Dans ces formules, seuls les spins le long du graphe d'un réseau de spins sont affectés. Je souhaite insister sur le fait que les coefficients de ces relations ne dépendent que des spins portés par le cycle considéré et ceux des liens attachés aux sommets du cycle. En conséquence, ces relations s'appliquent à tout symbole $\{3nj\}$ contenant de tels cycles. Cela nous donne donc une généralisation de la méthode décrite précédemment pour les plus petits symboles à des symboles arbitraires contenant des cycles de cinq ou six liens.

En résumé, nous sommes partis du mouvement de Pachner 4-2 régularisé, et avons obtenu des relations de récurrence en choisissant des données de bord particulières, comme en gravité quantique 3d avec l'identité de Biedenharn-Elliott. Nous allons dans la suite proposer une nouvelle méthode pour obtenir des relations de récurrence sur les modèles topologiques de type BF, par action de l'opérateur d'holonomie sur les réseaux de spins. Cette méthode, que nous allons présenter en 3d s'appliquerait tout aussi bien en 4d, en relation avec le mouvement 5-1.

Bien que nos relations de récurrence s'appliquent à tout symbole SU(2)-invariant, l'interprétation géométrique provenant du mouvement 4-2 ne tient que pour les symboles 15j, du fait de leur relation à la théorie BF 4d. On pourrait néanmoins imaginer qu'une partie de cette interprétation survive dans les modèles visant à décrire la gravité quantique 4d. En effet, les états quantiques de la LQG sont construits avec les réseaux de spins SU(2), dont les spins et entrelaceurs sont les valeurs propres des opérateurs d'aire et de volume. Si un modèle de mousses de spins parvient à fournir la dynamique de ces réseaux de spins, on est en droit d'attendre que des relations de récurrence sur les amplitudes de mousses de spins traduisent les contraintes (i.e. les symétries) classiques de la théorie au niveau quantique. Ainsi des différences de spins sur les triangles seraient des variations finies d'aires, et il est raisonnable de penser leur description en termes de mouvements élémentaires simpliciels tels que ceux ici présentés.

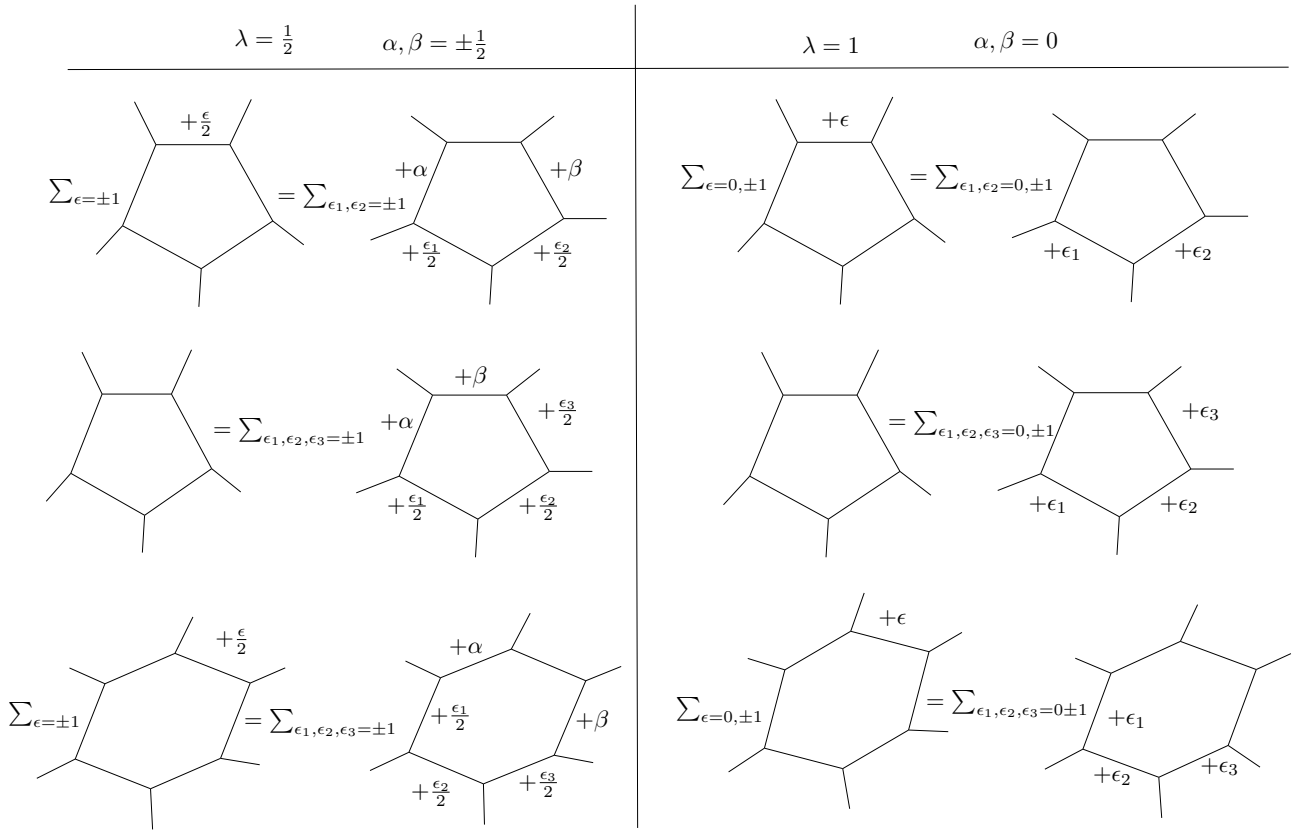

FIGURE 10.6 – Ce tableau résume les résultats obtenus pour des cycles de réseaux de spins, formés de cinq ou six liens, avec des variations des arguments de $\pm\frac{1}{2}$ ou ±1. Par simplicité, les coefficients de ces relations de récurrence ont été omis, mais ils peuvent être explicitement évalués, étant simplement des symboles 6j avec des spins 1/2 ou 1. Ces relations agissent sur des 5-cycles et des 6-cycles de n'importe quels graphes, et pas seulement des 15j. Pour $\lambda = \frac{1}{2}$, on peut choisir les valeurs des paramètres libres $\alpha, \beta = \pm\frac{1}{2}$, et tous les liens d'un cycle sont touchés. Pour $\lambda = 1$, le choix $\alpha = \beta = 0$ des paramètres libres permet de simplifier les équations en laissant invariants certains spins du cycle concerné.

Chapitre 11

Contrainte hamiltonienne et mouvement « tente » en 3d

11.1 Contrainte hamiltonienne sur le 6j : mouvement de Pachner 1-4

Nous nous plaçons à nouveau dans le cadre de la gravité 3d, afin de présenter une nouvelle méthode, qui a l'avantage de posséder une interprétation géométrique simple et directement en lien avec l'approche du formalisme hamiltonien en calcul de Regge de Dittrich et Bahr. On considère donc une triangulation de S^2 par le bord d'un tétraèdre, et l'espace de Hilbert sur le graphe dual. Cet espace est engendré par les fonctionnelles des réseaux de spins $s_{\{j_e\}}(g_1, \ldots, g_6)$, qui sont telles que leur évaluation sur la connexion discrète triviale est simplement le 6j ayant les couleurs correspondantes,

$$s_{\{j_e\}}(g_1, \ldots, g_6)\big|_{g_e=\mathbb{1}} = \begin{Bmatrix} j_1 & j_2 & j_3 \\ j_4 & j_5 & j_6 \end{Bmatrix}. \tag{11.1}$$

Le graphe tétraédral sous-jacent est le graphe dual à la triangulation. Les liens portant les spins j_4, j_5 et j_6 forment une plaquette triangulaire.

Rappelons l'identité formelle satisfaite par le 6j sous l'effet du mouvement de Pachner 4-1 dans le modèle de Ponzano-Regge :

$$\Big(\sum_{l_4} d_{l_4}^2\Big) \begin{Bmatrix} j_1 & j_2 & j_3 \\ j_4 & j_5 & j_6 \end{Bmatrix} = \sum_{l_1 \ldots l_4} (-)^{\sum_{i=1}^6 j_i + \sum_{j=1}^4 l_j} \Big(\prod_{i=1}^4 d_{l_i}\Big) \begin{Bmatrix} j_1 & j_2 & j_3 \\ l_1 & l_2 & l_3 \end{Bmatrix} \begin{Bmatrix} j_6 & j_5 & j_1 \\ l_2 & l_3 & l_4 \end{Bmatrix} \times \begin{Bmatrix} j_4 & j_2 & j_6 \\ l_3 & l_4 & l_1 \end{Bmatrix} \begin{Bmatrix} j_3 & j_5 & j_4 \\ l_4 & l_1 & l_2 \end{Bmatrix}. \tag{11.2}$$

Les coefficients $d_k \equiv (2k+1)$ sont les dimensions des représentations de spins k. Cette relation peut se dériver à partir de l'indentité de BE et des relations d'orthogonalité des 6j. Elle est néanmoins formelle du fait que le membre de gauche diverge très grossièrement (et donc le membre de droite aussi). Cela fut corrigé par Ponzano et Regge en introduisant un cut-off sur les spins, et le modèle qui en résulte est sensé être indépendant de la triangulation dans la limite où le cut-off est envoyé à l'infini (voir à ce propos une discussion détaillée dans [41], et surtout le chapitre consacré aux divergences dans cette thèse !).

On souhaite ici se donner un point de vue canonique sur ce mouvement de Pachner, un peu à la manière de [135]. Aussi, les équations qui viennent ne sont pas toutes nouvelles, mais la perspective

que nous en donnons permet d'aboutir à de jolies généralisations et interprétations. La contrainte de courbure nulle sur la plaquette portant les spins j_4, j_5 et j_6 s'écrit : $\delta(g_4 g_5 g_6)$. Pour la faire agir sur les réseaux de spins, nous la développons selon : $\delta(g_4 g_5 g_6) = \sum_j d_j \chi_j(g_4 g_5 g_6)$. Chaque caractère a une action bien définie, par multiplication sur les réseaux de spins. Nous pouvons alors effectuer du recouplage entre les éléments de matrices d'un même élément de groupe, à l'aide de coefficients de Clebsch-Gordan. Nous obtenons le résultat suivant :

$$\delta\left(g_4 g_5 g_6\right)\, s_{\{j_l\}}(g_1,\ldots,g_6) = \sum_{k_4,k_5,k_6,j} (-1)^{j_1+j_2+j_3+j_4+j_5+j_6+k_4+k_5+k_6+j} d_{k_4} d_{k_5} d_{k_6} d_j \\ \times \begin{Bmatrix} k_4 & j_4 & j \\ j_6 & k_6 & j_2 \end{Bmatrix} \begin{Bmatrix} k_5 & j_5 & j \\ j_4 & k_4 & j_3 \end{Bmatrix} \begin{Bmatrix} k_6 & j_6 & j \\ j_5 & k_5 & j_1 \end{Bmatrix} s_{\{j_1,j_2,j_3,k_4,k_5,k_6\}}(g_1,\ldots,g_6). \quad (11.3)$$

Il est alors clair que le mouvement 4-1 (11.2) résulte de l'action de la contrainte de courbure nulle sur une face, suivi de l'évaluation sur les connexions plates, ce qui explique la divergence. Celle-ci provient formellement de : $\delta(\mathbb{1}) = \sum_j d_j^2$.

Si cela nous fournit un lien évident entre les contraintes classiques et les symétries quantiques, nous aimerions affiner et éviter les divergences ! Cela est suggéré par le fait que la divergence en $\delta(\mathbb{1})$ se factorise dans le membre de gauche. Puisque les relations quantiques, i.e. sur les symboles 6j, s'obtiennent après évaluation des fonctionnelles $s_{\{j_e\}}$ sur les connexions plates en utilisant (11.1), la solution est naturellement de ne pas agir avec $\delta(g_4 g_5 g_6)$, mais seulement avec une des ses composantes de Fourier, i.e. un caractère $\chi_j(g_4 g_5 g_6)$! L'évaluation de celui-ci est en effet bien définie en l'identité. Nous pouvons alors recoupler les éléments de matrices de $\chi_j(g_4 g_5 g_6)$ avec les éléments de matrices de g_4, g_5 et g_6 déjà présents dans $s_{\{j_e\}}$, ce qui fait aboutir à

$$\chi_j(g_4 g_5 g_6)\, s_{\{j_l\}}(g_1,\ldots,g_6) = \sum_{k_4,k_5,k_6} (-1)^{j_1+j_2+j_3+j_4+j_5+j_6+k_4+k_5+k_6+j} d_{k_4} d_{k_5} d_{k_6} \\ \times \begin{Bmatrix} k_4 & j_4 & j \\ j_6 & k_6 & j_2 \end{Bmatrix} \begin{Bmatrix} k_5 & j_5 & j \\ j_4 & k_4 & j_3 \end{Bmatrix} \begin{Bmatrix} k_6 & j_6 & j \\ j_5 & k_5 & j_1 \end{Bmatrix} s_{\{j_1,j_2,j_3,k_4,k_5,k_6\}}(g_1,\ldots,g_6). \quad (11.4)$$

Le recouplage effectué est présenté figure 11.1. En évaluant les deux membres de cette égalité sur la connexion plate triviale, il vient

$$(2j+1) \begin{Bmatrix} j_1 & j_2 & j_3 \\ j_4 & j_5 & j_6 \end{Bmatrix} = \sum_{k_4,k_5,k_6} (-1)^{j_1+j_2+j_3+j_4+j_5+j_6+k_4+k_5+k_6+j} d_{k_4} d_{k_5} d_{k_6} \\ \times \begin{Bmatrix} k_4 & j_4 & j \\ j_6 & k_6 & j_2 \end{Bmatrix} \begin{Bmatrix} k_5 & j_5 & j \\ j_4 & k_4 & j_3 \end{Bmatrix} \begin{Bmatrix} k_6 & j_6 & j \\ j_5 & k_5 & j_1 \end{Bmatrix} \begin{Bmatrix} j_1 & j_2 & j_3 \\ k_4 & k_5 & k_6 \end{Bmatrix}. \quad (11.5)$$

De telles relations de récurrence sur le 6j sont déjà connues [167]. Remarquons alors que le mouvement 4-1 avec un cut-off sur les spins peut être construit simplement en multipliant (11.5) par d_j et en sommant sur j. Lorsque le cut-off est envoyé à l'infini, la somme supplémentaire dans le membre de droite diverge, et le membr de gauche reproduit bien le facteur divergent $\sum_j d_j^2$. La relation de récurrence (11.5) fournit donc une régularisation alternative du mouvement 4-1, dans laquelle le cut-off sur les spins est remplacé par une valeur fixée du spin j. Cette régularisation peut être vue comme une fixation de jauge partielle à a manière de [97]. La régularisation qui y est proposée revient au choix $j = 0$, qui donne ici une identité triviale. Ce n'est en fait rien d'autre que la régularisation que nous avons utilisée pour le mouvement de Pachner 4-2 dans le modèle d'Ooguri à la section précédente. Inversement, (11.5) apparaît comme l'égalité des deux multi-séries impliquées dans le mouvement formel pour tout spin l_4. Dans ce sens, notre relation de récurrence est bien une fixation de jauge de la valeur du spin responsable du facteur divergent.

La chose intéressante avec cette méthode utilisant l'opérateur d'holonomie est qu'elle peut être facilement généralisée à des réseaux de spins plus généraux.

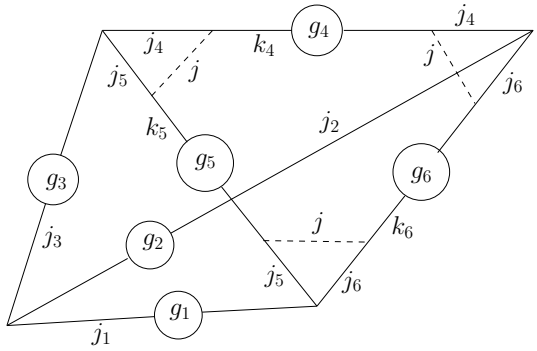

FIGURE 11.1 – La fonctionnelle de réseau de spins $s_{\{j_e\}}$ peut être représentée par un graphe tétraédrique, dont les liens sont coloriés par les spins (j_e) et portent les holonomies (g_e), $e = 1, \ldots, 6$. L'action du caractère $\chi_j(g_4 g_5 g_6)$, qui est une composante de Fourier de la contrainte de courbure nulle sur les cycle (456), se traduit après recouplage en la fonctionnelle dessiné ci-dessus, pour laquelle les intersections des liens donnent des symboles 3mj, et les spins k_1, k_2, k_3 étant sommés. Les lignes en pointillés portent le spin j fixé.

11.2 Interprétation comme mouvement « tente »

Il s'agit ici de
- généraliser la relation (11.4) de la section précédente à des réseaux de spins arbitraires,
- tout en trouvant une interprétation géométrique adéquate,
- et une interprétation en termes de mousses de spins.

Pour cela, regardons la construction que nous avons effectuée pour obtenir (11.4) du point de vue de la triangulation, et non plus du point de vue du graphe dual. Les arêtes duales aux liens portant les spins j_4, j_5 et j_6 ont pour longueur $\ell_e = j_e + \frac{1}{2}$, et sont attachées à un sommet commun noté s. Le caractère $\chi_j(g_4 g_5 g_6)$ agit alors via une boucle autour de ce sommet. On peut imaginer, pour commencer à généraliser, que les autres sommets, en liens avec j_1, j_2 et j_3, sont reliés à des sommets supplémentaires formant au total une certaine triangulation 2d (donc les arêtes duales à j_1, j_2 et j_3 ne supportent pas nécesairement un triangle). Il est assez clair que notre relation (11.4) s'avère inchangée car le recouplage ne concerne pas les arêtes supplémentaires ; seule la fonctionnelle $s_{\{j_e\}}$ doit être adaptée au graphe dual de la triangulation 2d.

Intéressons nous maintenant à ce qui se passe dans le membre de droite de (11.4), i.e. après recouplage, en essayant d'en donner une vision en mousses de spins. Dans le cadre du modèle de Ponzano-Regge, les trois symboles 6j correspondent à trois tétraèdres positionnés comme sur la figure 11.2 Autrement dit, le mouvement s'interprête en ajoutant un sommet s', ensuite relié à s et aux autres sommets avec lesquels s est en contact. On peut voir en cela un processus d'évolution de la triangulation initiale 2d, dans lequel s est remplacé par s', définissant une nouvelle triangulation identique à la première. Ce mouvement est appelé mouvement « tente » pour des raisons évidentes, le support de la tente étant l'arête (ss') ! L'avantage d'un tel mouvement sur les mouvements de Pachner est qu'il ne change pas le nombre de variables entre les deux triangulations. C'est pourquoi il se prète bien à la dérivation d'un formalisme hamiltonien du calcul de Regge, comme dans [27]. Nous avons donc une vision géométrique en termes d'un mouvement « tente ».

Les deux morceaux de triangulations 2d impliqués peuvent être vus comme le bord d'une triangulation 3d, formée de trois tétraèdres partageant l'arête (ss'). Le modèle de Ponzano-Regge associe à ces tétraèdres des symboles 6j, et notre relation de récurrence, (11.4), ne fait que calculer l'évolution de la fonction d'onde $s_{\{j_e\}}$ sous cette transformation via le modèle de Ponzano-Regge ! Il s'agit donc

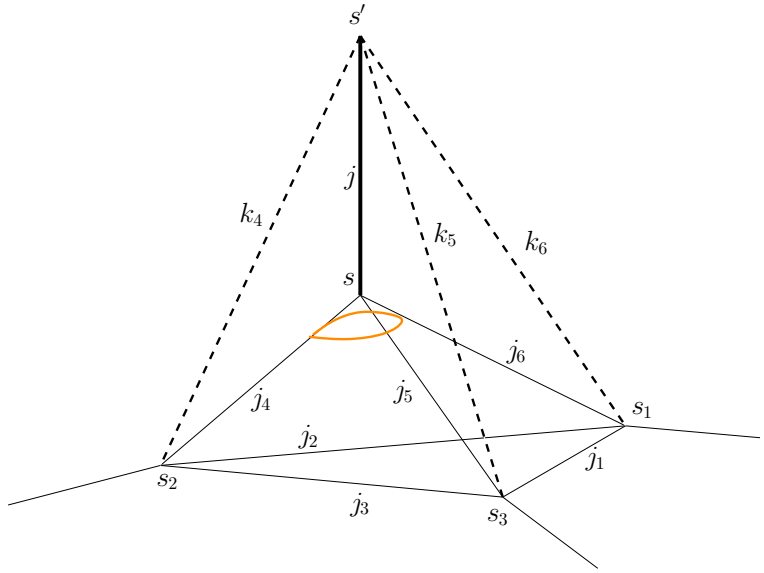

FIGURE 11.2 – Cette figure présente le membre de droite de (11.4), i.e. l'action de l'opérateur d'holonomie autour d'un sommet s, après recouplage, du point de vue de la triangulation d'une surface canonique 2d. Nous avons un morceau d'une surface initiale 2d, formé de 3 triangles ayant pour sommets s, s_1, s_2, s_3. Nous agissons autour du sommet s avec une composante de Fourier, $\chi_j(g_4 g_5 g_6)$, de la contrainte de courbure nulle. Par l'équation (11.4), cela revient à construire une nouvelle triangulation 2d en faisant évoluer s en s', par un segment de longueur $j + \frac{1}{2}$. Entre ces deux triangulations canoniques, nous avons un morceau de triangulation 3d, contenant trois tétraèdres qui se rencontrent en (ss'). Algébriquement, l'action de l'opérateur autour de s se réécrit comme l'amplitude de mousses de spins de Ponzano-Regge pour ce morceau de triangulation 3d, en sommant sur les spins k_e.

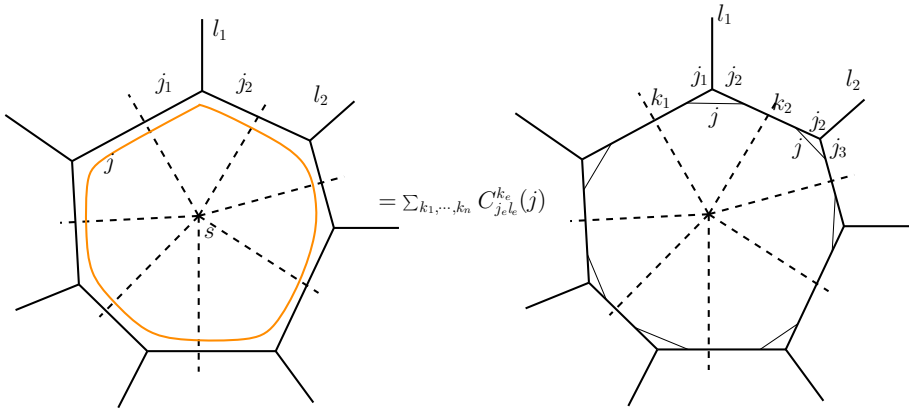

FIGURE 11.3 – Cette figure présente graphiquement la relation (11.6). Nous avons un sommet s d'une triangulation 2d, duale à une plaquette. Nous appliquons dans le membre de gauche sur le bord de cette dernière une composante χ_j de l'opérateur de courbure nulle. Le membre de draoite correspond à la situation après recouplage. De chaque vertex dual (trivalent), on peut extraire un symbole 6j, et l'on doit sommer sur les coloriages $k_1, \ldots, k_n$ des liens duaux.

d'un cas particulier – un mouvement « tente »– des amplitudes de transition génériques calculées par Ooguri dans [135]. En fait, la véritable amplitude de Ponzano-Regge, divergente, nécessiterait d'évaluer les fonctionnelles sur la connexion triviale, et de sommer sur le spin j qui représente la longueur $\ell_{(ss')} = j + \frac{1}{2}$ de l'arête (ss'). Ainsi, le fait d'avoir sélectionné un mode de Fourier χ_j est une fixation de jauge du mouvement, qui consiste simplement à fixer la longueur de l'arête (ss') support de la « tente » ! Cela donne l'interprétation du mouvement en termes de mousses de spins, et permet de remplir les trois objectifs énoncés !

11.3 Mouvements « tente » pour des sommets de valences quelconques

Nous avons donc donné une généralisation de (11.4) pour des sommets trivalents d'une triangulation 2d, en termes de mouvements « tente ». Il en va exactement de même pour un sommet s de valence n quelconque ! La face duale à ce sommet a un bord formée de n liens, portant des spins (j_e) pour $e = 1$ à n. On s'intéresse à une fonctionnelle de réseaux de spins sur le graphe dual, et en particulier sur la partie représentée figure 11.3. L'action de l'opérateur d'holonomie $\chi_j(g_1 \cdots g_n)$ sur le réseau de spins se dessine comme une boucle le long de la face duale, dans la représentation j. On peut alors recoupler les éléments de matrices de ce caractère avec les éléments de matrices de $g_1, \ldots, g_n$ déjà présents dans la fonction d'onde $s_{\{j_e\}}(g_e)$. Cela a pour effet de factoriser un symbole 6j à chaque vertex dual, jusqu'à obtenir

$$\chi_j(g_1 \cdots g_n)\, s_{\{j_e\}}(g_e) = \sum_{k_1,\ldots,k_n} (-)^{j+\sum_{e=1}^n j_e + k_e + l_e} \prod_{e=1}^n d_{k_e} \times \begin{Bmatrix} k_2 & j_2 & j \\ j_1 & k_1 & l_1 \end{Bmatrix} \begin{Bmatrix} k_3 & j_3 & j \\ j_2 & k_2 & l_2 \end{Bmatrix} \cdots \begin{Bmatrix} k_1 & j_1 & j \\ j_n & k_n & l_n \end{Bmatrix} s_{\{j_e\}}(g_e). \quad (11.6)$$

Ce processus est représenté du point de vue dual, figure 11.3.

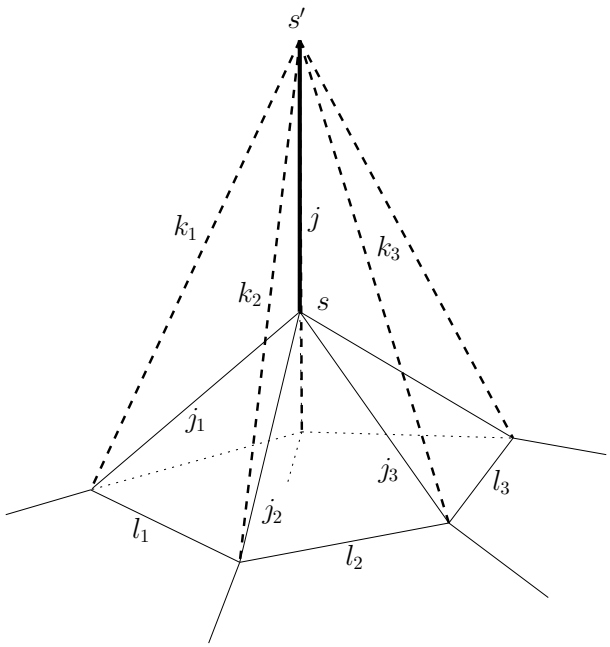

FIGURE 11.4 – Interprétation géométrique de l'action de l'holonomie autour du sommet s comme un mouvement « tente ». L'évolution de s en s' se fait par une arête de longueur $j + \frac{1}{2}$, définissant ainsi une nouvelle triangulation 2d, identique à la première. Par ailleurs, toutes deux délimitent un morceau de triangulation 3d, contenant n tétraèdres qui se rencontrent le long du pole de la tente. Le membre de droite de (11.6) correspond à l'évaluation de l'amplitude de Ponzano-Regge pour cette triangulation, avec la longueur du pole de la tente fixée, et en sommant sur les longueurs des arêtes $k_1, \ldots, k_n$.

L'interprétation est immédiate en regardant la figure 11.4. On fait évoluer la triangulation initiale par l'arête (ss') dont on fixe la longueur $\ell_{(ss')} = j + \frac{1}{2}$. Les deux morceaux de triangulation 2d forment le bord d'une triangulation 3d, constistuée de n tétraèdres. On calcule alors l'évolution de la fonction d'onde $s_{\{j_e\}}(g_e)$ à travers cette triangulation 3d, via le modèle de Ponzano-Regge, avec pour fixation de jauge la valeur fixée de j. En évaluant (11.6) sur la connexion plate (triviale sur cette topologie), on obtient l'amplitude de transition pour les réseaux de spins,

$$(2j+1)\ s(j_e) = \sum_{k_1,\dots,k_n} (-)^{j+\sum_{e=1}^{n} j_e+k_e+l_e} \prod_{e=1}^{n} d_{k_e} \times \begin{Bmatrix} k_2 & j_2 & j \\ j_1 & k_1 & l_1 \end{Bmatrix} \begin{Bmatrix} k_3 & j_3 & j \\ j_2 & k_2 & l_2 \end{Bmatrix} \cdots \begin{Bmatrix} k_1 & j_1 & j \\ j_n & k_n & l_n \end{Bmatrix} s(j_e). \quad (11.7)$$

Chapitre 12

Une relation non-topologique pour le 6j isocèle

Le 6j dit isocèle a plusieurs spins égaux. Il a été notamment utilisé dans des calculs de corrélations de type graviton en 3d [159, 60], du fait qu'il admet une représentation intégrale,

$$\int_{\mathrm{SU}(2)^2} dgdh\, \chi_j(g)\chi_k(h)\chi_J(gh)\chi_K(gh^{-1}) \;=\; (-1)^{2j} \begin{Bmatrix} j & J & K \\ k & J & K \end{Bmatrix}, \tag{12.1}$$

Notons que $(-)^{2j} = (-)^{2k}$ du fait de la condition sur les deux triplets de représentations, $(j+J+K) \in \mathbb{N}$ et $(k+J+K) \in \mathbb{N}$.

Grâce aux symétries de l'intégrant, ces deux intégrales sur SU(2) peuvent se réduire à une intégrale sur trois variables réelles. Il est judicieux de la considérer en termes de quatre variables angulaires sujettes à une contrainte. Notons α et β les angles de classe de g et h, et $\phi^{\pm}$ ceux des produits $gh^{\pm}$. Alors, (12.1) se réécrit comme une intégrale sur ces quatre angles, avec la contrainte

$$\cos\alpha\, \cos\beta - \frac{1}{2}(\cos\phi^+ + \cos\phi^-) = 0 \tag{12.2}$$

Cette contrainte peut s'exprimer à l'aide des caractères de la représentation fondamentale,

$$\chi_{\frac{1}{2}}(g)\chi_{\frac{1}{2}}(h) - \chi_{\frac{1}{2}}(gh) + \chi_{\frac{1}{2}}(gh^{-1}) = 0. \tag{12.3}$$

En particulier, son insertion dans l'intégrale (12.1) donne évidemment zéro. Par ailleurs, nous disposons d'une formule de recouplage entre un spin j quelconque et la représentation fondamentale,

$$\chi_j(g)\,\chi_{\frac{1}{2}}(g) \;=\; \chi_{j-\frac{1}{2}}(g) + \chi_{j+\frac{1}{2}}(g). \tag{12.4}$$

Ainsi, l'insertion de (12.2) dans (12.1) produit une somme de différents 6j isocèles. Cela donne la relation de récurrence suivante :

$$\sum_{\epsilon=\pm} \begin{Bmatrix} j & J+\frac{\epsilon}{2} & K \\ k & J+\frac{\epsilon}{2} & K \end{Bmatrix} + \sum_{\epsilon'} \begin{Bmatrix} j & J & K+\frac{\epsilon'}{2} \\ k & J & K+\frac{\epsilon'}{2} \end{Bmatrix} + \sum_{\eta,\eta'} \begin{Bmatrix} j+\frac{\eta}{2} & J & K \\ k+\frac{\eta'}{2} & J & K \end{Bmatrix} = 0. \tag{12.5}$$

Remarquons la simplicité avec laquelle nous avons dérivé cette relation. Comme nous le savons, les propriétés du 6j sont codées dans l'identité de BE, et donc cette relation en particulier, comme nous le montrons plus bas. Mais il est remarquable qu'une représentation intégrale à notre disposition permette de court-circuiter l'identité de BE pour dériver de telles relations de récurrence.

A la différence des relations de récurrence usuelles, que l'on trouve dans la littérature, celle-ci, toute nouvelle à notre connaissance, se distingue par ses coefficients triviaux. Le prix à payer pour ce bénéfice est le fait que tous les spins sont affectés, et l'accroissement du nombre de termes de la relation, habituellement trois ou quatre contre huit ici. Il s'agit d'une équation aux différences d'ordre 2, car nous avons à faire à la somme et non la différence de termes impliquant des variations de la même variable.

12.1 Lien avec l'identité de Biedenharn-Elliott

Nous avons vu auparavant que l'identité de BE, (9.4), donne naissance, en spécifiant la valeur d'un spin du bord, à une quantification de la contrainte hamiltonienne de la gravité 3d. Toujours dans la perspective de relier les équations quantiques aux contraintes classiques, nous dérivons maintenant la relation (12.5) à partir de l'identité de BE. Bien que la dérivation soit un peu longue, elle met en évidence une intreprétation géométrique simple, comme combinaison des mouvements élémentaires associés à la contrainte $F = 0$.

Nous avions pris dans l'identité de BE,

$$\begin{Bmatrix} j & h & g \\ k & a & b \end{Bmatrix} \begin{Bmatrix} j & h & g \\ f & d & c \end{Bmatrix} = \sum_l (-1)^{S+l}(2l+1) \begin{Bmatrix} k & f & l \\ d & a & g \end{Bmatrix} \begin{Bmatrix} a & d & l \\ c & b & j \end{Bmatrix} \begin{Bmatrix} b & c & l \\ f & k & h \end{Bmatrix},$$

le spin $f = 1$, et interprété ce choix comme le fait de coller un tétraèdre aplati sur un autre tétraèdre, simulant ainsi un léger déplacement d'un sommet de ce dernier. Nous choisissons maintenant de prendre $f = 1/2$, l'interprétation restant donc identique.

Il vient comme conséquence de ce choix, $d = g + \beta$ et $c = h + \alpha$, pour $\alpha, \beta = \pm\frac{1}{2}$. La somme sur l se réduit simplement à deux termes, $l = k \pm \frac{1}{2}$, soit :

$$\begin{Bmatrix} j & h & g \\ \frac{1}{2} & g+\beta & h+\alpha \end{Bmatrix} \begin{Bmatrix} j & h & g \\ k & a & b \end{Bmatrix} = \sum_{l=k\pm\frac{1}{2}} (-1)^{S+l}(2l+1) \begin{Bmatrix} a & g & k \\ \frac{1}{2} & l & g+\beta \end{Bmatrix} \begin{Bmatrix} b & h & k \\ \frac{1}{2} & l & h+\alpha \end{Bmatrix} \begin{Bmatrix} j & h+\alpha & g+\beta \\ l & a & b \end{Bmatrix}. \quad (12.6)$$

Une vision géométrique est donnée en figure 9.1. Considérons les deux premiers symboles 6j du membre de droite : ils correspondent aux tétraèdres $ABCD'$ et $ACDD'$, collés le long du triangle ACD' dont les arêtes portent les spins $(a, g+\beta, l = k \pm \frac{1}{2})$. Nous appliquons à nouveau le mouvement, sous la forme (12.6), mais désormais sur le nouveau tétraèdre $ABCD'$. Géométriquement, un tétraèdre aplati $ACC'D'$ est collé le long du triangle ACD', et le mouvement 2-3 transforme $ABCD'$ en $ABC'D'$, induisant des variations de spins sur les liens qui se rencontrent en C.

Nous choisissons les différences sur les liens AC' et $C'D'$ comme : $\alpha' = \alpha$ et $\beta' = -\beta$. L'effet de ce choix est d'éliminer la variation du spin g due au premier mouvement, tandis que a est modifié d'une quantité α, tout comme h sur l'arête opposée. Finalement, chacun des deux termes de droite dans (12.6) donne naissance à deux termes, BC devenant BC' avec les deux possibilités $j \pm \frac{1}{2}$.

Ces deux mouvements élémentaires successifs conduisent à une relation sur cinq termes :

$$\begin{Bmatrix} j & h & g \\ k & a & b \end{Bmatrix}, \qquad \text{and} \qquad \begin{Bmatrix} j+\frac{\eta_j}{2} & h+\alpha & g \\ k+\frac{\eta_k}{2} & a+\alpha & b \end{Bmatrix}, \quad \text{pour} \quad \eta_j, \eta_k = \pm\frac{1}{2}, \quad (12.7)$$

et pour un α fixé. Les coefficients sont génériquement compliqués. Mais ils se simplifient considérablement dans le cas isocèle de la section précédente ! Prenons à cette fin $h = a$ et $g = b$. Redéfinissons

par ailleurs $a \to a - \alpha$. Nous obtenons pour $\alpha = \frac{1}{2}$:

$$\begin{aligned}
&d_j d_k \begin{Bmatrix} j & a-\frac{1}{2} & b \\ k & a-\frac{1}{2} & b \end{Bmatrix} \\
&= \big(k+b-a+\frac{1}{2}\big)\big(a+b-j+\frac{1}{2}\big) \begin{Bmatrix} j-\frac{1}{2} & a & b \\ k-\frac{1}{2} & a & b \end{Bmatrix} - \big(k+b-a+\frac{1}{2}\big)\big(a+b+j+\frac{3}{2}\big) \begin{Bmatrix} j+\frac{1}{2} & a & b \\ k-\frac{1}{2} & a & b \end{Bmatrix} \\
&+ \big(k+a-b+\frac{1}{2}\big)\big(a+b-j+\frac{1}{2}\big) \begin{Bmatrix} j-\frac{1}{2} & a & b \\ k+\frac{1}{2} & a & b \end{Bmatrix} - \big(k+a-b+\frac{1}{2}\big)\big(a+b+j+\frac{3}{2}\big) \begin{Bmatrix} j+\frac{1}{2} & a & b \\ k+\frac{1}{2} & a & b \end{Bmatrix},
\end{aligned} \tag{12.8}$$

et pour $\alpha = -\frac{1}{2}$,

$$\begin{aligned}
&d_j d_k \begin{Bmatrix} j & a+\frac{1}{2} & b \\ k & a+\frac{1}{2} & b \end{Bmatrix} \\
&= -\big(a+b+k+\frac{3}{2}\big)\big(j+a-b+\frac{1}{2}\big) \begin{Bmatrix} j-\frac{1}{2} & a & b \\ k-\frac{1}{2} & a & b \end{Bmatrix} - \big(a+b+k+\frac{3}{2}\big)\big(j+b-a+\frac{1}{2}\big) \begin{Bmatrix} j+\frac{1}{2} & a & b \\ k-\frac{1}{2} & a & b \end{Bmatrix} \\
&+ \big(a+b-k+\frac{1}{2}\big)\big(j+a-b+\frac{1}{2}\big) \begin{Bmatrix} j-\frac{1}{2} & a & b \\ k+\frac{1}{2} & a & b \end{Bmatrix} + \big(a+b-k+\frac{1}{2}\big)\big(j+b-a+\frac{1}{2}\big) \begin{Bmatrix} j+\frac{1}{2} & a & b \\ k+\frac{1}{2} & a & b \end{Bmatrix}.
\end{aligned} \tag{12.9}$$

Par symétrie, nous obtenons deux relations similaires avec des différences sur b à la place de a. Maintenant, la somme de ces quatre relations est précisément (12.5) ! Notons d'abord que les membres de gauche des relations ci-dessus contiennent exactement la moitié des termes attendus dans (12.5), tandis que les membres de droite contiennent les autres termes. Il s'avère ensuite que leur somme, symétrisée dans l'échange ($j \leftrightarrow k$), conduit bien à des coefficients triviaux.

Nous avions vu que l'identité de BE prise avec la valeur $f = 1$ peut être vue comme une quantification de la contrainte géométrique $\cos\theta_e = \cos\vartheta_e(l)$. Il est naturel de se demander si un tel phénomène a lieu avec $f = 1/2$. Nous n'avons cependant pas eu le temps d'étudier davantage cela. Néanmoins, il s'avère que l'équation de récurrence (9.5) peut s'obtenir uniquement à partir de (12.6), en l'itérant plusieurs fois un peu comme nous venons de le faire dans ce paragraphe. Il en résulte que (9.5) et (12.6) sont en fait *équivalentes*.

Ainsi, les équations (12.8) et (12.9) génèrent deux de ces mouvements successivement, ce qui déforme le tétraèdre initial par l'ajout de deux tétraèdres aplatis. La relation (12.5), qui est plus faible car elle provient de la somme de (12.8) et (12.9), a donc la charge d'implémenter une invariance sous une *combinaison* spécifique de ces mouvements, permettant des compensations entre eux. On voit ainsi comment le symbole 6j isocèle, qui ne donne *pas* naissance à un modèle topologique, satisfait une équation d'invariance sous une combinaison des mouvements fondamentaux codant la contrainte hamiltonienne au niveau quantique.

Cinquième partie

Modèles de mousses de spins pour la gravité quantique

Chapitre 13

De la théorie BF discrète au calcul de Regge

Le cadre de ce chapitre est l'étude au niveau classique du passage de la théorie BF discrétisée en 4d comme à la section 7.2 à une forme discrète de la théorie de Plebanski pour la relativité générale. Le point de départ est donc la discrétisation de la théorie BF qui permet de construire le modèle d'Ooguri, l'idée étant de s'appuyer sur ce modèle et les contraintes de la théorie de Plebanski pour au final imaginer des modèles de mousses de spins pour la gravité quantique. Cette discrétisation de la théorie BF est naturelle puisqu'elle aboutit dans le calcul de la fonction de partition à un modèle topologique, i.e. avec une mesure correctement déterminée. De plus, les états de bord du modèle correspondent aux réseaux de spins ! Autrement dit, nous utilisons une discrétisation telles que les variables de bord coincident avec l'algèbre des holonomies-flux sur une triangulation ! Cela suggère l'existence d'un pont au niveau quantique entre le modèle topologique Spin(4) et la LQG. Il nous faut donc au préalable clarifier la situation au niveau classique.

Pour cela, en plus de la théorie BF, nous devons discrétiser les contraintes de simplicité du continu pour en obtenir une forme qui sera adaptée aux réseaux de spins du bord. Cela est fait suivant l'approche standard, voir [73] par exemple. Nous donnons ici une preuve originale du fait que ces contraintes de simplicité permettent à partir des variables de la théorie BF sur réseau de construire des géométries de Regge. Cela est à mettre en parallèle avec la discussion équivalente au niveau canonique, section 6.1, où des contraintes de simplicité ayant la même forme n'étaient pas suffisantes pour créer des géométries de Regge. Il en va donc différemment au niveau discret covariant (4-dimensionnel). Mais notre preuve donne plus que cela ! Elle offre un formalisme duquel les informations géométriques sont extraites très facilement, comme les corrélations entre les directions orthogonales à des tétraèdres voisins, et les relations entre angles dihédraux 3d et 4d. Cela permet de montrer que la discrétisation des variables de Plebanski utilisée est surtout proche de la formulation de calcul de Regge aires - angles 3d. En particulier, les contraintes apparaissant dans cette formulation et qui possèdent une forme compliquée, (3.10), en prenne ici une très simple, comme produit d'éléments de SU(2) !

Un ingrédient essentiel pour établir la correspondance entre la théorie de Plebanski discrétisée et la formulation aires-angles 3d du calcul de Regge est une prise en compte attentive des relations de transport parallèle sur le réseau. Ces relations sont fondamentales pour décrire correctement les corrélations entre tétraèdres voisins, obtenir les contraintes (3.10), et ainsi assurer la consistence de la géométrie entre ces tétraèdres. C'est donc ce qui permet d'obtenir la continuité de la métrique de Regge et de passer d'une géométrie tordue à une de Regge. Il me semble que l'importance de ces relations de transport parallèle avait jusqu'ici été un peu négligée, l'accent ayant été mis sur l'amplitude de vertex, et la construction de celle-ci ayant notamment comme influence les travaux sur le tétraèdre quantique dans lesquels les holonomies (et donc le transport parallèle) ne jouent pas de rôle.

Notre analyse est relativement proche des analyses semi-classiques effectuées dans [38, 69] pour l'asymptotique des plus récents modèles de gravité quantique. Néanmoins, il faut garder à l'esprit que notre formalisme décrit ici la *formulation classique de la théorie sur réseau.* Avoir un cadre classique le plus clair possible et le mieux compris est essentiel avant la quantification, et ce formalisme sera utilisé dans les chapitres suivants pour dériver les modèles connus de gravité quantique en calculant *explicitement, de manière exacte,* la fonction de partition associée à cette formulation sur réseau. Un point clé est l'utilisation d'éléments de groupe pour coder les contraintes de simplicité, particulièrement bien adaptée à la dérivation de modèles de mousses de spins, comme on l'a vu sur le modèle topologique.

13.1 Formulation classique sur réseau et contraintes de simplicité

Nous reprenons le cadre de définition du modèle d'Ooguri, avec quelques ingrédients supplémentaires. Pour constuire les modèles nous procédons à une discrétisation standard des variables, fixant en premier lieu une triangulation de la variété 4d d'espace-temps. L'avantage de ce choix est de pouvoir considérer sur le graphe dual à la triangulation induite sur le bord d'un ensemble de 4-simplexes l'espace de Hilbert engendré par les réseaux de spins. Nous considérons des repères locaux sur chaque 4-simplexe, comme dans le modèle d'Ooguri, et en plus sur chaque 3-simplexe, i.e. tétraèdre. La courbure est alors concentrée autour des 2-simplexes, les triangles. Ce cadre de travail, inspiré du calcul de Regge, sera tout particulièrement adapté pour établir des liens précis entre mousses de spins pour la théorie BF, pour la gravité quantique et calcul de Regge. Nous utiliserons le complexe dual à la triangulation de manière assez systématique. Dans ce point de vue, les triangles sont duaux aux faces, tous deux notés f, les tétraèdres aux liens, notés t, et les 4-simplexes aux vertexes v. Le bord d'une face duale est formé de liens et de vertexes duaux aux tétraèdres et 4-simplexes qui partagent le triangle f. Les orientations des tétraèdres et des triangles induisent des orientations sur les liens et faces duaux.

Le groupe pertinent est $G = \mathrm{Spin}(4)$ que l'on verra comme deux copies de SU(2). La connection se discrétise comme dans le modèle d'Ooguri, par des éléments de Spin(4) autorisant le transport parallèle entre différents repères locaux, à ceci près qu'il sera très pratique de pouvoir s'arrêter dans les repères des tétraèdres. Nous prenons donc des éléments de Spin(4), G_{vt}, entre les tétraèdres et les 4-simplexes. Du point de vue dual, ces éléments sont attachés à des demi-liens, et le transport entre deux 4-simplexes adjacents, i.e. à travers leur tétraèdre commun, est donné par $G_{vv'} = G_{vt}G_{tv'}$, avec $G_{tv'} = G_{v't}^{-1}$, si v et v'sont les vertexes source et arrivée du lien dual à t. La courbure autour d'un triangle est ainsi mesurée par le produit orienté de ces éléments de groupe le long du bord de sa face duale f, en partant d'un vertex (ou d'un tétraèdre) de référence $v^\star$, $G_f(v^\star) = \prod_{t\subset\partial f} G_{vt}G_{v't}^{-1}$. La condition de courbure nulle se lit alors : $G_f(v) = \mathbb{1}$, pour chaque f.

Dans la théorie, topologique, BF nous construisions la fonction de partition simplement en imposant la contrainte de courbure nulle. Mais en relativité générale le champ B de Plebanski est soumis aux contraintes de simplicité. Nous avons donc besoin de discrétiser également celui-ci. En tant que 2-forme, comme mentionné en introduction, il se discrétise naturellement par des variables de l'algèbre $\mathfrak{spin}(4)$ sur les triangles, appelées *bivecteurs*, dans des référentiels associés à des 4-simplexes v ou à des tétraèdres t, et notées $B_f(v)$ ou $B_f(t)$. Des expressions de B_f dans des référentiels différents sont reliées par transport parallèle le long du bord de f, ce qui se comprend comme une discrétisation de l'équation de torsion nulle, $d_A\, B = 0$:

$$B_f(v) = \mathrm{Ad}\big(G_{vt}\big)\ B_f(t) = G_{vt}\, B_f(t)\, G_{vt}^{-1}, \tag{13.1}$$

pour chaque 4-simplexe v dont le bord contient t (qui contient f). Cette équation est plus importante qu'elle peut le paraître dans la théorie BF, car c'est elle qui permettra la consistence de la géométrie dans les modèles pour la gravité quantique.

Les transformations de jauge se comportent comme dans la théorie BF, suivant la même règle que l'équation précédente. Une transformation de jauge K est une famille d'éléments du groupe, (K_t, K_v) agissant par :

$$K \cdot G_{vt} = K_v \, G_{vt} \, K_t^{-1}, \tag{13.2}$$

$$K \cdot B_f(t) = K_t \, B_f(t) \, K_t^{-1}, \tag{13.3}$$

en notation matricielle. Comme les variables $B_f(t)$ discrétisent la 2-forme B sur les triangles, et que comme en calcul de Regge, nous avons concentré la courbure également sur les triangles, nous pouvons former une action invariante de jauge de type BF discrète ! Elle s'exprime sous la forme d'une somme sur les triangles, comme en calcul de Regge,

$$S_{\mathrm{BF}}\big(B_f(t), G_{vt}\big) = \sum_f \mathrm{Tr}\big(B_f(t) \, G_f(t)\big), \tag{13.4}$$

dans laquelle les variables $B_f(t)$ apparaissent comme multiplicateurs de Lagrange pour la courbure G_f, [88]. La trace sur $\mathrm{Spin}(4) \simeq \mathrm{SU}(2) \times \mathrm{SU}(2)$ est prise comme la somme de la trace sur la partie SU(2) self-duale, $\mathrm{tr}(b_{+f}(t) \, g_{+f}(t))$, et celle sur la partie SU(2) anti-self-duale, notée $\mathrm{tr}(b_{-f}(t) \, g_{-f}(t))$. Du fait des règles simples de transport parallèle, l'action est naturellement indépendante du tétraèdre de référence choisi sur chaque triangle pour définir $B_f(t)$ et $G_f(t)$. On peut ainsi choisir comme variables indépendantes les éléments G_{vt} et un $B_f(t)$ par face.

Les choses ne sont plus si simples lorsque l'on introduit des contraintes de simplicité. On s'attend à ce que les $B_f(t)$ ne soient plus de simples multiplicateurs. En effet, les contraintes de simplicité discrétisées à partir des contraintes du continu vont permettre un changement de variables entre les variables $B_f(t)$ et des 4-vecteurs $E^I_\ell(t)$ qui décrivent la direction (dans l'espace interne) des arêtes ℓ de la triangulation. Ces 4-vecteurs vont former une discrétisation consistente de la cotétrade. Leurs normes donnent accès aux longueurs des arêtes, qui définissent une géométrie de Regge. De manière analogue au continu, les variables $B_f(t)$ vont s'écrire : $(\star B_f(t))^{IJ} = E^{[I}_{\ell_1} E^{J]}_{\ell_2}$, si ℓ_1, ℓ_2 sont deux arêtes du triangle f (et les crochets indiquant l'antisymétrisation). On dit alors que les variables B^{IJ}_f sont des bivecteurs *simples*. Comme tous les ensembles de 10 bivecteurs (pour les dix triangles d'un 4-simplexe) ne décrivent pas nécessairement la géométrie d'un 4-simplexe plat, nous avons besoin de contraintes de simplicité. Celles-ci proviennent du théorème de Barrett et Crane [37], ou bien de la discrétisation des contraintes de simplicité du continu sur un 4-simplexe,

$$\epsilon_{IJKL} \, B^{IJ}_{\mu\nu} \, B^{KL}_{\lambda\sigma} \propto \epsilon_{\mu\nu\lambda\sigma},$$

où $\mu, \nu, \lambda, \sigma$ sont des indices d'espace-temps. Lorsque les deux exemplaires de B ci-dessus sont intégrés sur un même triangle ou sur deux triangles partageant une arête, cela donne les contraintes de simplicité dite diagonale et croisée, exactement comme dans la description canonique, section 6.1. Lorsque μ, ν, ρ et σ sont pris selon quatre directions indépendantes, la contrainte exprime que la quantité $(\star B_f(v))_{IJ} B^{IJ}_{f'}(v)$ est indépendante de la paire de triangles considérée dans le 4-simplexe v, pourvu que ceux-ci ne se rencontrent qu'en un sommet, et elle représente alors le 4-volume de v,

$$\mathrm{Tr}\,\big(\star B_f(v) \, B_{f'}(v)\big) \propto \mathcal{V}_v. \tag{13.5}$$

Une telle contrainte impliquant la géométrie 4d du 4-simplexe n'était évidemment pas présente dans la description des contraintes de simplicité au niveau canonique, section 6.1. Mais nous avions vu qu'alors des contraintes de recollement, (6.12), ressemblant plus ou moins aux contraintes secondaires de la théorie continue, devaient se rajouter aux contraintes diagonales et croisées ! On peut donc imaginer qu'en imposant les contraintes primaires, i.e. diagonales et croisées, sur *tous* les tétraèdres de la triangulation 4d, nous pourrons nous passer de ces contraintes secondaires et oublier du même

coup la contrainte sur le 4-volume (13.5). C'est effectivement le cas, et la contrainte (13.5) apparaît bien comme une contrainte secondaire [123], si l'on utilise pleinement la relation de fermeture des tétraèdres comme une des contraintes de simplicité ! Nous prenons donc :

$$\text{Simplicité diagonale} \qquad \mathrm{Tr}\left(\star B_f(t)\, B_f(t)\right) = 0, \tag{13.6}$$

$$\text{Simplicité croisée} \qquad \mathrm{Tr}\left(\star B_f(t)\, B_{f'}(t)\right) = 0, \tag{13.7}$$

$$\text{Relation de fermeture} \qquad \sum_{f\subset\partial t} \epsilon_{ft}\, B_f(t) = 0, \tag{13.8}$$

où $\epsilon_{ft} = \pm 1$ selon l'orientation relative de la face duale f et du lien dual t. A la seconde ligne, les triangles f et f' sont des triangles d'un même tétraèdre (de manière équivalente, partageant une arête dans un 4-simplexe). Par ailleurs, l'opérateur $\star$ de Hodge est défini comme dans les sections précédentes, $(\star B)^{IJ} = \frac{1}{2}\epsilon^{IJ}{}_{KL}\, B^{KL}$. La première contrainte, diagonale, exprime le fait que chaque bivecteur doit être simple, i.e. le produit antisymétrisé de deux 4-vecteurs, $B_f^{IJ} = u^{[I}v^{J]}$ (et de même pour son dual de Hodge). La deuxième contrainte, croisée, demande que la somme de deux bivecteurs d'un tétraèdre soit aussi simple. Finalement, la relation de fermeture implique que les tétraèdres sont bien fermés. Nous gagnons clairement au change en passant de (13.5) à la relation de fermeture, d'autant plus que celle-ci génère via les crochets de Poisson les transformations de jauge Spin(4). Dans les procédés de quantification en mousses de spins, cette contrainte est donc simplement implémentée en s'assurant de l'invariance de jauge des amplitudes.

Ces contraintes, qui sont formulées pour chaque tétraèdre, permettent de reconstruire la géométrie de chacun d'eux. Il est tout à fait remarquable qu'elles soient en fait suffisantes pour reconstruire la géométrie de chaque 4-simplexe ! Cela simplement en les imposant pour les cinq tétraèdres d'un 4-simplexe, et en définissant les bivecteurs d'un 4-simplexe par transport parallèle entre les tétraèdres et le 4-simplexe considéré, avec G_{vt}. Du point de vue canonique, section 6.1, i.e. avec seulement une triangulation 3d de bord, nous avions vu que même pour reconstruire le bord d'un 4-simplexe à la Regge, des contraintes supplémentaires de recollement (6.12) (ou (3.8), ou (6.17)) sont nécessaires. Ce n'est pas le cas ici, et il s'agit clairement d'un effet du changement de dimension : du passage du bord à l'intérieur d'une triangulation 4d. Plus précisément, nous verrons que les contraintes de simplicité (13.6), (13.7) et la condition de transport parallèle des bivecteurs,

$$B_f(t) = \mathrm{Ad}\big(G_{tt'}\big)\; B_f(t') \tag{13.9}$$

entre tétraèdres adjacents, tirée de (13.1), assurent ensemble que des contraintes équivalentes à celles de recollement (3.8) sont bien satisfaites. Le point crucial qui permet ceci est le fait d'être autorisé dans le cadre 4d à placer tous les bivecteurs d'un 4-simplexe dans un référentiel commun, celui du 4-simplexe. Autrement dit, les variables indépendantes sur le bord sont des holonomies entre tétraèdres, $G_{tt'}$, alors qu'avec une triangulation 4d authentique, ce sont des holonomies entre tétraèdres et 4-simplexes, G_{tv}. En particulier, dans la condition de transport parallèle (13.9), le fait d'avoir la décomposition : $G_{tt'} = G_{vt}^{-1}G_{vt'}$, sera fondamental pour nous. Pour un 4-simplexe, il y a 5 éléments G_{vt}, mais 10 holonomies $G_{tt'}$ sur le bord, d'où les contraintes supplémentaires si l'on considère les holonomies du bord comme variables indépendantes !

Ces contraintes possèdent les mêmes ambiguités que dans le continu : elles impliquent que les bivecteurs d'un 4-simplexe, ou leurs duaux de Hodge, sont les produits antisymétrisés de 4-vecteurs sur les arêtes, à un signe près, $\epsilon = \pm$. L'ambiguité entre les bivecteurs et leurs duaux de Hodge est bien sûr celle qui dans le continu fait passer du secteur gravitationnel, l'action de Palatini-Hilbert, au secteur topologique, i.e. le terme topologique ajouté pour former l'action de Holst. En présence du paramètre d'Immirzi, nous avons vu que le passage d'un secteur à l'autre dans la résolution des

0. Cette ambiguité de signe peut être éliminée grâce à une condition de positivité sur le volume des tétraèdres, comme dans [37]. On ne sait néanmoins pas du tout comment traiter cette condition dans les modèles de mousses de spins.

contraintes de simplicité ne fait que changer le paramètre d'Immirzi en son inverse. Néanmoins il est important de pouvoir distinguer quel secteur nous prenons comme référence (notamment pour comprendre les limites $\gamma \to 0$ et $\gamma \to \infty$). Cela peut se faire d'une manière extrèmement géométrique, et c'est ce qui a permis de s'extraire du modèle de Barrett-Crane pour construire le modèle EPR [85] ! L'idée est que les contraintes de simplicité formulées dans un tétraèdre nous disent que les triangles (ou arêtes) de ce tétraèdre n'engendrent qu'un sous-espace de dimension 3 de l'espace interne $\mathbb{R}^4$. Autrement dit, il existe un 4-vecteur unitaire N_t^I définissant la direction orthogonale au tétraèdre de sorte que

$$\epsilon_{IJKL}\, B_f^{IJ}(t)\, N_t^K = 0, \tag{13.10}$$

pour le secteur gravitationnel, ou

$$B_f^{IJ}(t)\, N_{tI} = 0, \tag{13.11}$$

pour le secteur topologique. Comme il semble bien que la quantification proposée en mousses de spins pour le secteur topologique ne donne pas vraiment un modèle topologique (!), i.e indépendant de la triangulation, nous parlerons souvent, dans le cadre des mousses de spins, plutôt des secteurs *géométrique* et *non-géométrique*. Le choix de (13.10) ou (13.11) remplace alors la contrainte de simplicité croisée. Remarquons que dans le secteur géométrique, le 4-vecteur $B_f^{IJ}(t)\, N_{tI}$ donne la direction orthogonale au triangle au sein du sous-espace 3d orthogonal à N_t.

Nous avons dit que ces contraintes permettent de reconstuire la géométrie plate de chaque 4-simplexe à partir des tétraèdres. Se pose alors la question du collage des simplexes pour reconstruire la géométrie de la triangulation entière. En fait, il suffit également que les bivecteurs définis dans les repères de tétraèdres se transportent de manière consistente pour chaque triangle, suivant (13.9), comme le prouvent Freidel et Conrady dans [69] (en utilisant plutôt les repères des 4-simplexes). (Remarquons alors que l'ambiguité de signe ϵ est globale).

13.2 La géométrie à partir des bivecteurs et des normales

On notera ici : $b_{\pm f} = \vec{b}_{\pm f} \cdot \vec{\tau} \in \mathfrak{su}(2)$, pour des générateurs $(\tau_i)_{i=1,2,3}$ anti-hermitiens satisfaisant $[\tau_i, \tau_j] = -\epsilon_{ij}{}^k \tau_k$. Ainsi, les composantes $b^i_{\pm f}$ peuvent être vues comme celles d'un 3-vecteur réel. De plus, la trace est telle que : $\vec{a} \cdot \vec{b} = -2\,\mathrm{tr}(ab)$.

Puisque les bivecteurs discrétisent une 2-forme à valeurs dans l'algèbre $\mathfrak{spin}(4)$ sur les triangles, comme dans la section 6.1, ils donnent accès aux mêmes grandeurs géométriques, aires et angles dihédraux 3d, soit :

$$A_f^2 = -\,\mathrm{Tr}\big(B_f^2(t)\big) = \vec{b}^2_{+f}(t), \tag{13.12}$$

pour les aires, qui ne dépendent bien sûr pas du référentiel. Comme dans l'analyse canonique, le secteur self-dual est suffisant du fait des contraintes de simplicité diagonale. Quant à l'angle dihédral 3d $\phi^t_{ff'}$ entre les triangles f et f' dans le tétraèdre t, il s'obtient par le produit scalaire des 4-vecteurs $N_{tJ}\, B^{IJ}_{ft}$ et $N_{tJ}\, B^{IJ}_{f't}$ qui représentent respectivement les directions orthogonales aux triangles f et f' dans le sous-espace 3d engendré par t. On montre [86] que cela revient à calculer la trace $\mathrm{Tr}(B_{ft}B_{f't})$, donc :

$$\cos\phi^t_{ff'} = -\epsilon_{ff'}\, \frac{\vec{b}_{+f}(t) \cdot \vec{b}_{+f'}(t)}{A_f\, A_{f'}}, \tag{13.13}$$

où $\epsilon_{ff'} = \epsilon_{ft}\epsilon_{f't}$ représente l'orientation relative des faces duales à f et f'.

Puisque nous avons introduit de nouvelles variables, les normales N_t, il est judicieux de regarder quelles quantités géométriques permettent-elles de décrire. Nous donnons ainsi un premier coup d'oeil aux variables géométriques (scalaires) et aux relations qui existent entre les bivecteurs et les normales aux tétraèdres. Cela nous sera très utile dans la suite, pour comprendre les défauts du modèle de

Barrett-Crane, ou encore pour extraire le calcul de Regge de ces contraintes. Cette discussion est issue de [59, 56] (voir aussi des résultats similaires, indépendamment, dans [38]).

On écrit les contraintes de simplicité croisée à l'aide de la formulation (13.10). En utilisant les parties self-duales et anti-self-duales, $B_f = b_{+f} \oplus b_{-f}$, cela donne en notations matricielles :

$$b_{-f}(t) + s\ \mathrm{Ad}\big(N_t^{-1}\big)\ b_{+f}(t) = 0. \tag{13.14}$$

La variable N_t n'est autre que le 4-vecteur N_t^I unitaire et orthogonal au tétraèdre, vu comme un élément de SU(2) par l'isomorphisme entre SU(2) et S^3. De manière équivalente, la rotation N_t est définie de sorte que la rotation (4d) $(N_t, \mathbb{1}) \in \mathrm{Spin}(4)$ envoie le vecteur de référence $N^{(0)} = (1,0,0,0)$ sur la normale N_t^I, par la représentation standard de SO(4). Le signe $s = \pm$ indique la possibilité de choisir comme référence le secteur topologique, $s = -1$, ou le secteur gravitationnel, comme nous le ferons dans la suite, avec $s = 1$. Remarquons que pour des bivecteurs indépendants, la normale N_t ne souffre aucune ambiguité, excepté un changement d'orientation.

Puisque la simplicité croisée indique l'existence d'une normale au tétraèdre, on peut imaginer que la simplicité diagonale (13.6) s'interprète aussi en termes de vecteurs N_f orthogonaux au triangle B_f, à savoir :

$$\epsilon_{IJKL}\, B_f^{IJ}\, N_f^K = 0. \tag{13.15}$$

C'est bien sûr le cas, comme nous le montrons. Dans les variables précédentes, la contrainte (13.6) donne : $\vec{b}_{+f}^2 = \vec{b}_{-f}^2$, indépendamment du référentiel choisi. Autrement dit, il existe une rotation $N_f \in \mathrm{SU}(2)$ qui envoie la partie self-duale sur la partie anti-self-duale,

$$b_{-f} + \mathrm{Ad}\big(N_f^{-1}\big)\ b_{+f} = 0. \tag{13.16}$$

Naturellement, la rotation N_f définit aussi une normale via l'action de $(N_f, \mathbb{1}) \in \mathrm{Spin}(4)$ sur $N^{(0)}$. De plus, un bivecteur simple dans $\mathbb{R}^4$ possède un *plan* orthogonal. Il n'y a donc pas un choix unique pour N_f. On voit en fait qu'étant donné un choix de référence, toutes les rotations de la forme $\exp(\varphi\, \hat{b}_{+f}) N_f$, où $\hat{b}_{+f} = b_{+f}/|\vec{b}_{+f}| \in \mathfrak{su}(2)$ représente le vecteur unitaire dans la direction de b_{+f}, satisfont aussi (13.16). Cela signifie que le sous-groupe U(1) engendré par $\hat{b}_{+f}$ permet de parcourir l'ensemble des normales du plan orthogonal à B_f ! Plus précisément encore, si $\exp(2\varphi\, \hat{b}_{+f})$ relie deux normales N_f et $\widetilde{N}_f$, alors φ n'est autre que l'angle entre ces deux normales ! En effet, un tel angle est donné par le produit scalaire des 4-vecteurs, $N_f \cdot \widetilde{N}_f$, qui se réécrit avec les éléments de groupe comme :

$$N_f \cdot \widetilde{N}_f = \frac{1}{2}\ \mathrm{tr}\,\big(N_f^{-1}\, \widetilde{N}_f\big) = \frac{1}{2}\ \mathrm{tr}\ \exp(2\varphi\, \hat{b}_{+f}) = \cos\varphi. \tag{13.17}$$

La contrainte de simplicité croisée établit alors qu'il existe une normale commune N_t aux quatre triangles d'un tétraèdre. Pour chaque triangle, cette normale s'obtient en tournant une normale de référence N_f dans le plan orthogonal à $\star B$, d'un angle φ_{ft}, ce qui dans notre langage se formule avec le sous-groupe $\mathrm{U}(1)_{\hat{b}_{+f}}$ stabilisant b_{+f} de sorte que :

$$N_t = \exp(2\varphi_{ft}\, \hat{b}_{+f}(t))\ N_f(t). \tag{13.18}$$

Notons que N_t se laisse définir le plus naturellement dans le repère local du tétraèdre t. Nous pouvons déduire de cette équation, du fait que N_f ne dépend que du triangle f, à un changement de référentiel près par transport parallèle, que les normales à deux tétraèdres t_1 et t_2 collés le long de f sont reliées : il existe un angle $\varphi_{t_1 t_2}$ tel que

$$N_{t_1}(v)\, N_{t_2}(v)^{-1} = \exp(2\varphi_{t_1 t_2}\, \hat{b}_{+f}(v)). \tag{13.19}$$

Nous avons écrit toutes les quantités dans un référentiel commun, disons celui du 4-simplexe v dont le bord contient t_1 et t_2. La notation vient du fait que la paire (f, v) caractérise alors la paire de tétraèdres.

L'interprétation de cette relation est immédiate. Puisque t_1 et t_2 partagent un triangle, leurs normales respectives ne sont pas indépendantes : elles sont toutes deux contenues dans le plan orthogonal au triangle, et séparées d'un angle $\varphi_{t_1 t_2}$! Ainsi, en prêtant attention à ce sous-groupe stabilisant b_{+f}, on peut espérer obtenir l'angle dihédral interne 4d $\vartheta_{t_1 t_2}$ entre les tétraèdres, simplement en suivant la formule :

$$\cos \vartheta_{t_1 t_2} = -N_{t_1}(v) \cdot N_{t_2}(v) = -\cos \varphi_{t_1 t_2}. \tag{13.20}$$

Ces relations, et en particulier (13.19), ne sont pas apparues tout de suite dans la littérature, qui visait surtout à exploiter la formulation (13.10) au niveau quantique. C'est pourtant en regardant le détail des structures exposées ici que j'ai pu traduire les variables des mousses de spins en calcul de Regge classiquement, et dériver les modèles quantiques par intégrales sur les géométries du réseau.

Pour transporter explicitement les normales N_t, nous devons connaître leurs propriétés de transformations. Sous une transformation de jauge K, on déduit de (13.14),

$$K \cdot N_t \,=\, k_{+t}\, N_t\, k_{-t}^{-1}. \tag{13.21}$$

Cette loi de transformation particulière implique que l'on peut toujours choisir la jauge « temps », dans laquelle $N_t = \mathbb{1}$, ou de manière équivalente $N_t^I = N^{(0)I}$, pour tous les tétraèdres. Dans les discussions, le sous-groupe de Spin(4) isomorphe à SU(2) qui laisse invariant la normale N_t interviendra régulièrement. Dans la jauge temps, il s'agit simplement du sous-groupe SU(2) diagonal, dont les éléments sont de la forme (k, k). Pour une normale quelconque, ce sont les rotations du sous-espace 3d engendré par le tétraèdre t dans $\mathbb{R}^4$,

$$\begin{aligned}
\mathrm{SU}(2)_{N_t} &= \big\{K \in \mathrm{Spin}(4), K \cdot N_t \,=\, N_t\big\}, && (13.22)\\
&= \big\{K = \big(N_t\, k_-\, N_t^{-1}, k_-\big),\ k_- \in \mathrm{SU}(2)\big\}, && (13.23)\\
&= \big\{K = \big(k_+, N_t^{-1}\, k_+\, N_t\big),\ k_+ \in \mathrm{SU}(2)\big\}. && (13.24)
\end{aligned}$$

On peut aussi identifier les « boosts », pour lesquels la direction « temps » est bien sûr celle du vecteur N_t^I, et qui sont de la forme : $K = (N_t\, k\, N_t^{-1}, k^{-1})$ pour $k \in \mathrm{SU}(2)$.

Le transport parallèle s'effectue donc de la même manière, permettant de définir la normale au tétraèdre t_2 dans le référentiel du tétraèdre voisin t_1 : $N_{t_2}(t_1) = g_{+t_1 t_2}\, N_{t_2}\, g_{-t_1 t_2}^{-1}$. Cette formule permet de vérifier explicitement le contenu de (13.19) en montrant que $N_{t_1}\, N_{t_2}(t_1)^{-1}$ préserve $b_{+f}(t_1)$. Les ingrédients à utiliser sont les contraintes de simplicité croisée pour t_1, t_2 et le transport parallèle de $B_f(t_1)$ en t_2 :

$$\begin{aligned}
\mathrm{Ad}\Big(N_{t_1}\, N_{t_2}(t_1)^{-1}\Big)\, b_{+f}(t_1) &= \quad \mathrm{Ad}\big(N_{t_1}\, g_{-t_1 t_2}\, N_{t_2}^{-1}\big)\, b_{+f}(t_2), && (13.25)\\
&= -\,\mathrm{Ad}\big(N_{t_1}\, g_{-t_1 t_2}\big)\, b_{-f}(t_2), && (13.26)\\
&= -\,\mathrm{Ad}\big(N_{t_1}\big)\, b_{-f}(t_1), && (13.27)\\
&= \quad b_{+f}(t_1). && (13.28)
\end{aligned}$$

Nous avons présenté naturellement les angles dihédraux comme les angles entre les normales, exprimées dans un référentiel commun,

$$\cos \vartheta_{t_1 t_2} = -\frac{1}{2}\, \mathrm{tr}\,\big(g_{+t_1 t_2}\, N_{t_2}\, g_{-t_1 t_2}^{-1}\, N_{t_1}^{-1}\big). \tag{13.29}$$

Ainsi, dans la jauge temps, $N_t = \mathbb{1}$, les angles dihédraux se retrouvent contenus dans les holonomies uniquement ! Munis des angles dihédraux, nous pouvons essayer d'extraire la courbure, concentrée autour des triangles, et caractérisée par les angles de déficit, $\varepsilon_f = 2\pi - \sum_{(tt')} \vartheta_{tt'}$. Comme nous le montrons précisément à la section 13.4, les angles de déficit s'obtiennent par la courbure vue sur le groupe $G_f(t)$ comme :

$$g_{+f}(t)\, N_t\, g_{-f}^{-1}(t)\, N_t^{-1} = \exp\big(2\, \varepsilon_f\, \hat{b}_{+f}(t)\big), \tag{13.30}$$

ε_f ne dépendant pas du choix du tétraèdre de référence. En particulier, si $G_f(t)$ est dans le sous-groupe SU(2) qui préserve la normale N_t, i.e. une rotation 3d du tétraèdre dans le sous-espace orthogonal à N_t^I, alors l'angle de déficit est nul,

$$\varepsilon_f \,=\, 0 \quad \Leftrightarrow \quad G_f(t) = \big(N_t\, g_{-f}(t)\, N_t^{-1}, g_{-f}(t)\big) \,\in\, \mathrm{SU}(2)_{N_t}. \tag{13.31}$$

Nous sommes ici dans un formalisme du premier ordre, où holonomies et bivecteurs sont initialement des variables indépendantes. Néanmoins, on s'attend bien sûr à ce que les contraintes de simplicité, la relation de fermeture des tétraèdres et le transport parallèle des bivecteurs (tout ce qui permet de reconstruire une cotétrade discrète) nous fassent passer dans un formalisme du second ordre, dans lequel holonomies et angles dihédraux sont des fonctions des vecteurs de la cotétrade discrète – c'est ce que nous montrons en détails à la section 13.4. Ainsi, bien que les équations complètes de la dynamique n'aient pas été écrites dans les variables holonomies/bivecteurs, on s'attend *in fine* à pouvoir les formuler d'une manière équivalente aux équations de Regge, approchant les équations d'Einstein sur la triangulation. Nous souhaitons ici faire une remarque plus modeste qu'un tel objectif, qui justifie (13.30) et décrit l'action générique de l'holonomie de courbure sur les normales aux tétraèdres.

Des équations du mouvement de la théorie continue, on tire facilement que :

$$d_A^2\, B \,=\, [F(A), B] \,=\, 0. \tag{13.32}$$

Sur la triangulation, une telle équation devient :

$$\mathrm{Ad}\big(G_f(t)\big)\, B_f(t) \,=\, B_f(t), \tag{13.33}$$

qui est bien sûr vérifiée du simple fait des relations de transport parallèle (13.1) tout le long du bord des faces duales. Il existe deux sous-groupes U(1) préservant un bivecteur donné, celui généré par B et celui généré par $\star B$, ou de manière équivalente, générés par b_+ et par b_-. En introduisant les angles θ_f^+ et θ_f^- correspondants, et en utilisant les contraintes de simplicité, cela donne :

$$G_f(t) \,=\, \Big(\exp\big(2\,\theta_f^+\, \hat{b}_{+f}(t)\big),\, N_t^{-1}\, \exp\big(2\,\theta_f^-\, \hat{b}_{+f}(t)\big)\, N_t\Big). \tag{13.34}$$

En utilisant (13.30), on relie ces angles à l'angle de déficit,

$$\varepsilon_f \,=\, \theta_f^+ \,-\, \theta_f^+, \tag{13.35}$$

et on vérifie immédiatment que $\theta^+ = \theta^-$ correspond bien à $G_f(t) \in \mathrm{SU}(2)_{N_t}$. De manière générique, on comprend donc que l'holonomie de courbure $G_f(t)$ ne laisse pas la normale invariante, mais la transforme à la place en un autre vecteur toujours contenu dans le plan orthogonal à $\star B_f(t)$,

$$\epsilon_{IJKL}\, \big[G_f(t)\, \cdot\, N_t\big]^J\, B_f^{KL}(t) \,=\, 0. \tag{13.36}$$

Écrit ainsi, il devient évident que l'angle entre les deux vecteurs unitaires N_t et $G_f(t) \cdot N_t$ dans le plan orthogonal à $\star B_f(t)$ n'est autre que l'angle de déficit ε_f autour du triangle f, ce qui est précisément le contenu de l'équation (13.30) (dans le langage SU(2)) !

13.3 Sur le collage des simplexes

Comme nous allons le détailler dans les sections suivantes, les modèles de mousses de spins sont construits en imposant ces contraintes de simplicité sur chaque simplexe/tétraèdre. Se pose ensuite la question du collage (consistent !) de ces simplexes géométriques. Au niveau classique, ce collage n'est

autre que les relations de transport parallèle (13.9) qui assurent la consistence de la géométrie, et contient des informations cruciales telles que les relations entre les normales des tétraèdres adjacents (13.19). Dans les mousses de spins, les méthodes utilisées ne sont pas explicitement mentionné, et il y a eu peu d'études détaillées concernant l'influence de différents procédés (voir [137], et récemment [70], et plus spécifiquement [50]). Si l'on peut penser que le collage ne va pas vraiment jouer sur la structure algébrique de l'amplitude que le modèle associe à chaque 4-simplexe, il est clair qu'il influence le choix des données de bord (c'est-à-dire quelles variables sont sommées pour évaluer les amplitudes), et les amplitudes associées aux triangles (et donc comment les amplitudes des 4-simplexes sont sommées).

Les méthodes utilisées reposent en général sur la façon dont s'effectue le collage dans le modèle d'Ooguri. A ce titre, une méthode souvent employée (voir [70] et [137]) dans la perspective de dériver des modèles à partir d'intégrales de chemins sur réseau, est développée dans [88], pour traiter d'éventuelles perturbations autour du modèle topologique. Cette méthode, que nous utiliserons aussi et décrirons dans le cadre du modèle BC, chapitre 16 (tiré de [59]), repose sur un éclatement de la triangulation en 4-simplexes ou tétraèdres isolés, suivi d'un processus de collage implicite et indirect impliquant des holonomies de bord sur chaque 4-simplexe. Si celui-ci fonctionne bien dans le modèle topologique, il s'avère qu'il n'est plus efficace en présence des contraintes de simplicité, comme nous le montrons en chapitre 16 (du moins s'il est pris tel quel, car [70] s'en accomode, avec d'autres ingrédients).

Pour situer les enjeux, prenons cette perspective d'intégrales sur les géométries du réseau. Nous avons donc a priori un seul bivecteur par face, B_f, défini disons dans le référentiel d'un tétraèdre, $B_f(t)$. Partout ailleurs où il intervient, du transport parallèle doit être *a priori* (implicitement) utilisé, selon (13.1). Ainsi, pour calculer la fonction partition, nous devons utiliser des intégrales contraintes par la simplicité, du type :

$$\int \prod_f dB_f \int \prod_t dN_t \prod_{(f,t)} \delta\big(b_{-f}(t) + \mathrm{Ad}\big(N_t^{-1}\big)\, b_{+f}(t)\big), \tag{13.37}$$

où les contraintes sont imposées pour chaque face, avec des normales N_t différentes dans chaque tétraèdre. Cela contraste pourtant avec les formules que l'on peut trouver dans la littérature. En effet, il est plutôt d'usage d'imposer les contraintes sur des bivecteurs B_{ft} *indépendants* dans chaque tétraèdre. On peut imaginer cela par un éclatement de la triangulation initiale en simplexes disjoints, de sorte qu'il y a autant de copies du triangle f que de tétraèdres l'ayant dans son bord. La relation de transport parallèle (13.9) n'est ensuite pas prise explicitement en compte, ce qui donne des intégrales du type :

$$\int \prod_{(f,t)} dB_{ft} \int \prod_t dN_t \prod_{(f,t)} \delta\big(b_{-ft} + \mathrm{Ad}\big(N_t^{-1}\big)\, b_{+ft}\big). \tag{13.38}$$

L'inconvénient d'une telle approche apparaît sur les corrélations entre simplexes. En effet, supposons ici que N_{t_1} et N_{t_2} sont deux normales pour des tétraèdres voisins, donc respectivement orthogonaux à B_{ft_1} et B_{ft_2}, pour le triangle f en commun. Mais si ces deux bivecteurs ne sont *a priori* pas corrélés, alors N_{t_1} et N_{t_2} sont aussi indépendants. Cela signifie notamment que les corrélations exprimées par le sous-groupe $\mathrm{U}(1)_{\hat{b}_{+f}}$ dans (13.19) ne sont *a priori* pas décrites au niveau quantique dans un tel contexte. Une mesure telle que (13.38), accompagnée du processus de collage mentionné plus haut seront les ingrédients de notre dérivation du modèle BC au chapitre 16.

13.4 Traduction en calcul de Regge aires-angles

Nous avons maintenant deux descriptions de la géométrie sur une triangulation : par une théorie de jauge Spin(4) avec des contraintes de simplicité, et par le calcul de Regge. De plus, nous avons établi une sorte de dictionnaire entre les variables des deux approches à la section 13.2. Celui-ci s'exprime

plus naturellement en termes des aires, angles dihédraux 3d et 4d, plutôt qu'avec les longueurs, ce qui suggère que les bivecteurs et normales sont assez proches de la proposition de calcul de Regge par les variables aires-angles.

Cela nous ouvre plusieurs pistes intéressantes. Typiquement, on peut se demander comment les contraintes de simplicité traitent les contraintes de recollement du calcul de Regge aires-angles. Il s'agit d'une question primordiale, qui vise notamment à comprendre la différence entre le formalisme canonique présenté à la section 6.1 et le formalisme utilisé dans les mousses de spins, i.e. du point de vue espace-temps sur réseau. Nous avons vu en effet à la section 6.1 que les contraintes de simplicité croisée que nous utilisons en mousses de spins n'assurent pas une géométricité à la Regge sur toute une triangulation du point de vue canonique. Elles peuvent alors être complétées par les contraintes (6.12). Or ces dernières induisent en variables aires-angles les contraintes proposées en calcul de Regge aires-angles par Dittrich et Speziale. Puisque du point de vue espace-temps, les contraintes (6.12) ne sont pas nécessaires, essayons de voir comment les contraintes de recollement aires-angles sont prises en compte, grâce à notre dictionnaire de la section 13.2.

Un autre point de vue sur la question est celui du passage d'un formalisme initial du premier ordre, i.e. avec bivecteurs et holonomies indépendants, à un formalisme du second ordre dans lequel les longueurs doivent déterminer toutes les grandeurs géométriques. Nous savons en effet que les normales N_t et les holonomies contiennent les angles dihédraux 4d et les angles de déficit. En calcul de Regge standard, ces grandeurs ne sont pas indépendantes : par définition ce sont des fonctions des longueurs – c'est un formalisme du deuxième ordre. Dans la théorie de Plebanski, qui est par contraste un formalisme du premier ordre, le passage s'effectue via l'équation $d_A B = 0$, qui se transforme, si B est une 2-forme simple, en l'équation de Cartan : $d_A e = 0$, pourvu que e soit une cotétrade non-dégénérée. Alors cette équation admet une unique solution, $A(e)$, la connexion compatible avec la cotétrade, de torsion nulle. Parallèlement, dans notre formalisme (du premier ordre) sur réseau, nous avons discrétisé l'équation $d_A B = 0$ par la relation de transport parallèle (13.9) sur les bivecteurs. Il est donc naturel de se demander ici comment les relations de transport parallèle et les contraintes de simplicité peuvent permettre d'exprimer les angles dihédraux (issus des holonomies) en fonction de la géométrie des bivecteurs, et où intervient le critère de non-dégénérescence.

Notons que Barrett [35] a insisté sur le fait que le calcul de Regge peut être défini dans un formalisme du premier ordre, i.e. avec longueurs et angles dihédraux indépendants, à condition que les angles dihédraux soient ceux d'une géométrie (quelconque). La géométrie naturellement accessible ici est celle codée par les bivecteurs. Nous avons vu, section 13.2, que ces bivecteurs déterminent les aires et angles 3d. On peut donc espérer obtenir une relation donnant les angles 4d directement comme fonctions des angles 3d, comme le propose par exemple le calcul de Regge aires-angles [78].

Cette section contient quatre résultats importants, initialement exposés dans [56]. Nous savons que la contrainte de simplicité croisée (13.14) et la relation de fermeture (13.8) permettent de reconstruire la géométrie de chaque tétraèdre indépendamment. En introduisant des variables géométriques scalaires (angles dihédraux), nous montrons que :

- Les contraintes de simplicité croisée et les relations de transport parallèle (13.9) assurent que l'on peut coller de manière consistente les tétraèdres, car les angles dihédraux 3d satisfont bien les contraintes de recollement proposées en calcul de Regge « aires - angles 3d ».
- Il est possible d'extraire les angles dihédraux 4d, entre tétraèdres, et de montrer qu'ils sont contraints à s'exprimer comme fonctions des angles 3d. C'est la réalisation du passage implicite dans un formalisme du premier ordre.
- Les relations des deux premiers points sont des relations trigonométriques assez évoluées. Il est remarquable qu'elles se formulent ici simplement par des produits d'éléments des groupes SU(2) et U(1). Cette structure algébrique sera particulièrement adaptée à la construction de modèles de mousses de spins, en utilisant les transformées de Fourier sur ces groupes, voir chapitre 17.
- L'introduction des variables U(1) supplémentaires nous conduit à formalisme qui mélange les variables usuelles de la théorie topologique sur réseau et des variables angulaires du calcul de

Regge. Cette interprétation géométrique nous sera utile pour construire des modèles de mousses de spins comme intégrales sur les géométries simplicielles de la triangulation, voir chapitre 17. Naturellement, les modèles annoncés aux points 3 et 4 coincident.

Dans une théorie de jauge Spin(4) sur réseau, il est clair que la norme et la direction des bivecteurs jouent des rôles différents (le transport parallèle n'affectant que les directions). De plus, nous allons devoir extraire minutieusement des phases issues des changement des directions par transport parallèle. Une bonne paramétrisation est donc la suivante :

$$b_{\pm ft} = \frac{i}{2} A_f \, \hat{b}_{\pm ft} \cdot \vec{\sigma}, \quad \text{et} \qquad \hat{b}_{\pm ft} \cdot \vec{\sigma} = \pm \operatorname{Ad}\big(n_{\pm ft}\big) \, \sigma_z, \tag{13.39}$$

pour $n_{\pm ft} \in \mathrm{SU}(2)$. La matrice σ_z est la matrice de Pauli $\mathrm{diag}(1,-1)$, et $\vec{\sigma}$ le 3-vecteur formé par les matrices de Pauli. Avec ces conventions, A_f représente l'aire du triangle f. La direction de $b_{\pm ft}$ est codée dans les éléments de groupe $n_{\pm ft}$: ces rotations envoient la direction de référence $\hat{z}$ sur la direction $\hat{b}_{\pm ft}$. Remarquons que seuls deux paramètres de ces variables sont pertinents, puisque l'on peut changer $n_{\pm ft} \to n_{\pm ft} \, e^{-\frac{i}{2}\lambda_{\pm}\sigma_z}$ sans affecter $\hat{b}_{\pm ft}$. Cela se comprend bien dans la paramétrisation d'Euler de SU(2) (ou la projection de Hopf de SU(2) sur S^2) : $n = e^{-\frac{i}{2}\alpha\sigma_z} e^{-\frac{i}{2}\beta\sigma_y} e^{-\frac{i}{2}\gamma\sigma_z}$, où l'angle γ ne joue aucun rôle.

Avec la paramétrisation (13.39), les contraintes dont nous avons besoin pour reconstruire les vecteurs de la cotétrade sur les arêtes d'un tétraèdre t se réduisent à :

$$\hat{b}_{-ft} + \operatorname{Ad}\big(N_t^{-1}\big) \, \hat{b}_{+ft} \; = \; 0, \tag{13.40}$$

$$\sum_{f \in \partial t} \epsilon_{ft} \; A_f \, \hat{b}_{+ft} \; = \; 0. \tag{13.41}$$

La première équation (13.40) est simplement la contrainte de simplicité croisée de laquelle nous avons éliminée l'aire A_f (ayant explicitement résolu la contrainte de simplicité diagonale). En fait cette contrainte est suffisante pour qu'il existe un *authentique tétraèdre, fermé*, dans $\mathbb{R}^4$, dont les directions des bivecteurs, simples, sont données par $\hat{b}_{\pm ft}$! En effet, les quatre vecteurs $\hat{b}_{+ft} \in S^2$ d'un tétraèdre ne peuvent être linéairement indépendants, ce qui se traduit par une relation de type fermeture, avec certains coefficients x_{ft} réels : $\sum_{f \in \partial t} x_{ft} \, \hat{b}_{+ft} = 0$. Alors ces coefficients x_{ft} s'interprètent comme les aires de chacun des quatre triangles. Mais ces coefficients dépendent en général du tétraèdre et surtout n'ont a priori rien à voir avec les variables A_f ! Autrement dit, la relation de de fermeture (13.41) n'a d'autre but que de forcer les variables A_f, a priori quelconques, à être les aires du tétraèdre déjà déterminé par les $\hat{b}_{+ft}$ et N_t !

Une idée clé est maintenant de remplacer les variables de configuration $\hat{b}_{\pm ft} \in S^2$ par les rotations $n_{\pm ft}$. Nous ne souhaitons pas ici nous donner de prescription pour cela, mais plutôt considérer qu'il y a une ambiguité $\mathrm{U}(1) \times \mathrm{U}(1)$ sur chaque paire (f,t). Nous allons maintenant réécrire les relations de transport parallèle (13.9) et les contraintes de simplicité croisée (13.40), avec ces nouvelles variables. Pour cela nous devons introduire de nouvelles variables angulaires $\theta^{\pm}_{fv}$ et ψ_{ft} indispensables pour gérer les ambiguités U(1) sur la définition de $n_{\pm ft}$. Les relations de transport parallèle expriment que $G_{tt'}$ envoie les 3-vecteurs $\hat{b}_{\pm ft'}$ sur les 3-vecteurs $\hat{b}_{\pm ft}$. Cela se résout pour les rotations $n_{\pm ft}$ d'un référentiel en fonction de celles d'un autre :

$$n_{+ft} = g_{+tt'} \, n_{+ft'} \, e^{\frac{i}{2}\theta^{+}_{fv}\sigma_z}, \qquad \text{et} \qquad n_{-ft} = g_{-tt'} \, n_{-ft'} \, e^{\frac{i}{2}\theta^{-}_{fv}\sigma_z}. \tag{13.42}$$

Une façon équivalente de voir ces relations est de dire que les angles $\theta^{\pm}_{fv}$ permettent de résoudre les équations de transport parallèle pour les holonomies $G_{tt'}$ en fonction des directions des bivecteurs :

$$g_{+tt'} = n_{+ft} \, e^{-\frac{i}{2}\theta^{+}_{fv}\sigma_z} \, n^{-1}_{+ft'}, \qquad \text{et} \qquad g_{-tt'} = n_{-ft} \, e^{-\frac{i}{2}\theta^{-}_{fv}\sigma_z} \, n^{-1}_{-ft'}. \tag{13.43}$$

Insistons tout de même sur le fait que les angles $\theta^{\pm}_{fv}$ ne fixent pas tous les degrés de liberté des holonomies G_{vt}, car ces relations ne donnent que $G_{tt'} = G_{vt}^{-1} G_{vt'}$, et f est le seul triangle commun à t et t'.

Passons aux contraintes de simplicité croisée qui vont relier les rotations des secteurs self-dual et anti-self-dual $n_{\pm ft}$ pour chaque triangle dans chaque tétraèdre. Nous introduisons des angles ψ_{ft} qui permettent de compenser des choix a priori arbitraires de phase dans n_{+ft} et n_{-ft} :

$$n_{-ft} = N_t^{-1}\, n_{+ft}\, e^{\frac{i}{2}\psi_{ft}\sigma_z}. \tag{13.44}$$

Une deuxième formulation permet de considérer également ψ_{ft} comme le degré de liberté restant dans la résolution des contraintes pour exprimer les normales N_t en fonction des variables $n_{\pm ft}$.

$$N_t = n_{+ft}\, e^{\frac{i}{2}\psi_{ft}\sigma_z}\, n_{-ft}^{-1}. \tag{13.45}$$

Ainsi, le passage des variables $\hat{b}_{\pm ft}$ aux variables $n_{\pm ft}$ s'accompagne d'une réécriture des relations de la théorie discrète impliquant de nouvelles variables supplémentaires, $\theta^{\pm}_{fv}, \psi_{ft}$. Nous pouvons bien sûr considérer ces nouvelles variables comme les paramètres libres dans la résolution des contraintes (auquel cas il n'y a plus de contraintes). Au lieu de cela, il est aussi possible de considérer que désormais ces nouvelles variables s'ajoutent aux variables initiales en tant que *variables de configuration a priori indépendantes*. Ces deux approches sont naturellement équivalentes, mais pour éviter toute confusion dans la discussion, nous fixons le statut de ces variables au deuxième choix. Les contraintes de la théorie sont alors données par (13.42) et (13.44) en fonction des variables $(n_{\pm ft}, g_{\pm vt}, N_t, \theta^{\pm}_{fv}, \psi_{ft})$.

L'élargissement de l'espace des configurations implique de prendre en compte une sorte de symétrie de jauge $\mathrm{U}(1) \times \mathrm{U}(1)$ additionnelle, agissant à droite de $(n_{+ft}, n_{-ft}) \in \mathrm{Spin}(4)$. En effet, les angles d'Euler γ dans la décomposition de $n_{\pm ft}$ ne sont pas physiques (pour $n = e^{-\frac{i}{2}\alpha\sigma_z} e^{-\frac{i}{2}\beta\sigma_y} e^{-\frac{i}{2}\gamma\sigma_z}$), et les grandeurs $G_{tt'}, N_t$ ne doivent pas dépendre des choix faits localement pour ces angles. On voit à partir de (13.43) que l'invariance des holonomies $G_{tt'}$ sous de telles transformations entraîne certaines lois de transformations sur les angles $\theta^{\pm}_{fv}$, et de même pour ψ_{ft}. La définition de nos nouvelles variables de configuration s'accompagne donc des propriétés suivantes sous les transformations de jauge K dans $\mathrm{Spin}(4)$ et Λ dans $\mathrm{U}(1) \times \mathrm{U}(1)$,

$$(K,\Lambda)\ \cdot\ n_{\pm ft} = k_{\pm t}\, n_{\pm ft}\, e^{\frac{i}{2}\lambda^{\pm}_{ft}\sigma_z}, \tag{13.46}$$

$$(K,\Lambda)\ \cdot\ \theta^{\pm}_{fv} = \theta^{\pm}_{fv} + \epsilon^{f}_{tt'}\big(\lambda^{\pm}_{ft} - \lambda^{\pm}_{ft'}\big), \tag{13.47}$$

$$(K,\Lambda)\ \cdot\ \psi_{ft} = \psi_{ft} - \big(\lambda^{+}_{ft} - \lambda^{-}_{ft}\big). \tag{13.48}$$

Les angles $\theta^{\pm}_{fv}$ constitue une sorte de connexion discrète $\mathfrak{u}(1) \oplus \mathfrak{u}(1)$ sur chaque face duale. L'angle ψ_{ft} se transforme alors de manière à réserver la covariance $\mathrm{U}(1) \times \mathrm{U}(1)$ dans les contraintes de simplicité. On voit en particuier qu'en plus de la jauge temps, $N_t = \mathbb{1}$, il est possible de choisir $\psi_{ft} = 0$ partout, de sorte que la contrainte de simplicité croisée se simplifie en : $n_{+ft} = n_{-ft}$. Bien sûr les quantités physiques qui nous intéressent sont invariantes sous l'ensemble de ces transformations.

Nous pouvons ensuite réexprimer les grandeurs géométriques en fonction des nouvelles variables. L'angle dihédral 3d entre les triangles f, f' dans le tétraèdre t est donné par la trace dans la représentation fondamentale : $\mathrm{tr}(\hat{b}_{+ft}\, \hat{b}_{+f't})$. Avec les rotations n_{+ft}, on utilise plus naturellement la représentation de spin 1 :

$$\cos\phi^{t}_{ff'} = -\epsilon_{ff'}\ \langle 1,0|n_{+ft}^{-1}\, n_{+f't}|1,0\rangle, \tag{13.49}$$

où $\epsilon_{ff'} = \epsilon_{ft}\epsilon_{f't}$ est l'orientation relative des faces duales à f et f'.Remarquons que l'élément de matrice considéré est un simple polynome de Legendre : $\langle 1,0|g|1,0\rangle = P_1(\cos\beta) = \cos\beta$, pour $g = e^{-\frac{i}{2}\alpha\sigma_z} e^{-\frac{i}{2}\beta\sigma_y} e^{-\frac{i}{2}\gamma\sigma_z}$. Cela nous donne donc l'angle 3d comme l'angle d'Euler β dans l'écriture de $n_{+ft}^{-1} n_{+f't}$.

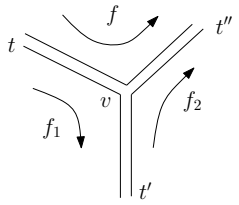

FIGURE 13.1 – Du point de vue dual, les trois tétraèdres t, t', t'' d'un 4-simplexe deviennent des liens se rencontrant au vertex v. Ces tétraèdres se partagent des triangles deux à deux, duaux aux faces f, f_1, f_2. Ici, les tétraèdres t, t'' se rencontrent sur le triangle dual à f. L'angle dihédral $\vartheta_{tt''}$ peut se calculer comme fonction des angles 3d en utilisant comme intermédiaire trois tétraèdres différents (puisqu'il y en a cinq se rencontrant en v, c'est-à-dire que deux ne sont pas dessinés). Cela conduit à des contraintes (13.60) entre des ensembles d'angles 3d, qui sont équivalentes à celles proposées en calcul de Regge aire-angle 3d.

Nous avons vu à la section 13.2 que le cosinus de l'angle dihédral entre les tétraèdres t et t' est donné par l'angle de classe de la rotation dihédrale,

$$D_{tt'} = N_t \, g_{-tt'} \, N_{t'}^{-1} \, g_{+tt'}^{-1}. \tag{13.50}$$

On sait aussi que cette rotation est générée par b_{+ft}. En utilisant les expressions de $g_{\pm tt'}$, (13.43), et de N_t, (13.45), il est possible d'expliciter son angle en fonction de nos nouvelles variables angulaires ! En effet, nous obtenons :

$$D_{tt'} = \exp\left(\left(\epsilon_{tt'}^f (\theta_{fv}^+ - \theta_{fv}^-) + \psi_{ft} - \psi_{ft'} \right) \frac{b_{+ft}}{A_f} \right). \tag{13.51}$$

La quantité $\epsilon_{tt'}^f = \pm 1$ est positive lorsque le chemin de t à t' est orienté comme la face duale f, et négatif sinon. La formule (13.20) nous donne alors les angles dihédraux $\vartheta_{tt'}$ (dont le label est équivalent à (fv)),

$$\cos \vartheta_{tt'} = -\cos \frac{1}{2} \Big(\theta_{fv}^+ - \theta_{fv}^- + \epsilon_{tt'}^f \big(\psi_{ft} - \psi_{ft'} \big) \Big), \tag{13.52}$$

$$\sin \vartheta_{tt'} = \epsilon \, \epsilon_{tt'}^f \, \sin \frac{1}{2} \Big(\theta_{fv}^+ - \theta_{fv}^- + \epsilon_{tt'}^f \big(\psi_{ft} - \psi_{ft'} \big) \Big), \tag{13.53}$$

où ϵ est précisément l'ambiguité de signe sur l'expression des bivecteurs en fonction de la cotétrade discrète [38]. Remarquons au passage que cela permet de dériver proprement l'équation (13.30) qui relie l'angle de déficit (défini par les $\vartheta_{tt'}$ autour d'un triangle) et l'holonomie $G_f(t)$ autour de ce triangle !

On écrira donc simplement :

$$D_{tt'} = -\cos \vartheta_{tt'} + i\epsilon \, \sin \vartheta_{tt'} \, \mathrm{Ad}\big(n_{+ft}\big) \, \sigma_z. \tag{13.54}$$

Considérons maintenant trois tétraèdres t, t' et t'' sur un 4-simplexe v, se rencontrant donc deux à deux sur un triangle comme l'illustre la figure 13.1. On s'attend à ce que nos contraintes permettent d'exprimer les angles 4d entre les tétraèdres du 4-simplexe en termes de angles 3d par la formule standard,

$$\cos \vartheta_{tt''} = \frac{\cos \phi_{f_1 f_2}^{t'} - \cos \phi_{f_1 f}^{t} \, \cos \phi_{f f_2}^{t''}}{\sin \phi_{f_1 f}^{t} \, \sin \phi_{f f_2}^{t''}} \tag{13.55}$$

Il est important ici de voir que le tétraèdre t' utilisé comme intermédiaire pour le calcul, avec les triangles f_1, f_2, peut être n'importe lequel des tétraèdres de v (sauf t et t''). C'est ce phénomène qui conduit à des contraintes sur les angles 3d.

Nous allons montrer que cette relation assez compliquée est contenue de manière naturelle dans notre cadre d'étude, simplement comme des relations entre variables de SU(2) n'impliquant que des produits de groupe. Le tout est donc de reconnaître dans (13.55) la structure de la loi de multiplication de SU(2). Pour cela, nous exprimons la rotation $D_{tt''}$ en fonction de $D_{tt'}$ et $D_{t't''}$:

$$D_{tt''} = D_{tt'}\, g_{+tt'}\, D_{t't''}\, g_{+tt'}^{-1} \tag{13.56}$$

Il s'agit de notre équation clé. Du point de vue des éléments de groupe, elle est relativement triviale, et exprime le fait que le transport parallèle de t à t'' (à travers le triangle f) peut s'effectuer en utilisant t' comme pivot intermédiaire (à travers les triangles f_1 et f_2 à la place). Cette possibilité provient de :

$$g_{+tt''} = g_{+vt}^{-1}\, g_{+vt'}\, g_{+vt'}^{-1}\, g_{+vt''} = g_{+tt'}\, g_{+t't''}. \tag{13.57}$$

Autrement dit, elle provient de l'existence d'un référentiel commun, celui de v, que traversent tous les chemins entre les tétraèdres ! Celui-ci n'était bien sûr pas disponible dans le formalisme canonique de la section 6.1, et c'est ce qui explique basiquement que des contraintes de simplicité supplémentaires (6.12) étaient nécessaires pour reconstruire la géométrie de bord d'un 4-simplexe par exemple.

Maintenant, si les rotations $D_{tt'}$ sont écrites comme des éléments du sous-groupe U(1) qui stabilise b_{+ft}, la relation (13.56) n'est plus du tout triviale, car elle implique alors les variables b_{+ft} des triangles f_1, f_2. En utilisant le transport le long de f_1 entre t et t' et en prenant la trace, il vient :

$$-\cos\vartheta_{tt'} = \frac{1}{2}\,\mathrm{tr}\Big[\big(-\cos\vartheta_{tt'} + i\epsilon\,\epsilon_{tt'}^{f_1}\,\sin\vartheta_{tt'}\,\mathrm{Ad}\big(n_{+f_1t'}\big)\sigma_z\big)\big(-\cos\vartheta_{t't''} + i\epsilon\,\epsilon_{t't''}^{f_2}\,\sin\vartheta_{t't''}\,\mathrm{Ad}\big(n_{+f_2t'}\big)\sigma_z\big)\Big]. \tag{13.58}$$

Il s'ensuit :

$$\cos\vartheta_{tt'} = -\cos\vartheta_{tt'}\,\cos\vartheta_{t't''} + \sin\vartheta_{tt'}\,\sin\vartheta_{t't''}\,\cos\phi_{f_1f_2}^{t'} \tag{13.59}$$

Pour des configurations non-dégénérées telles que $\sin\vartheta_{tt'} \neq 0$, cette relation donne les angles 3d en fonction des angles 4d. De plus, en l'écrivant pour les trois paires de tétraèdres, elle peut être inversée, reproduisant exactement (13.55) ! C'est-à-dire que nous avons montré que les angles 4d sont déterminés par la géométrie issue des bivecteurs, de le même manière que dans [78].

Nous avons maintenant presque prouvé que les contraintes de recollement proposées dans [78] sont bien satisfaites dans le cadre classique de base des mousses de spins. Il nous suffit pour cela de remarquer que notre définition de l'angle dihédral, disons $\cos\vartheta_{t_1t_2}$, par $D_{t_1t_2}$ ne dépend pas du choix du tétraèdre intermédiaire utilisé dans (13.56). Ainsi en reproduisant le raisonnement précédent en passant par un autre tétraèdre (un quatrième différent) de v, nous obtenons une autre expression pour $\cos\vartheta_{t_1t_2}$ ayant la même structure. L'égalité des différentes expressions de l'angle revient à imposer des contraintes sur les angles 3d,

$$\frac{\cos\phi_{f_1f_2}^{t} - \cos\phi_{f_1f}^{t_1}\cos\phi_{ff_2}^{t_2}}{\sin\phi_{f_1f}^{t_1}\sin\phi_{ff_2}^{t_2}} = \frac{\cos\phi_{f_1'f_2'}^{t'} - \cos\phi_{f_1'f}^{t_1}\cos\phi_{ff_2'}^{t_2}}{\sin\phi_{f_1'f}^{t_1}\sin\phi_{ff_2'}^{t_2}}. \tag{13.60}$$

Il s'agit bien d'un ensemble de contraintes proposé dans [78] pour assurer la consistence du collage des tétraèdres en calcul de Regge aires-angles, mais aussi dans [77] comme des contraintes qu'il est nécessaire d'ajouter aux contraintes de simplicité du point de vue canonique. Disons aussi qu'il est remarquable que de telles équations soient si simplement prises en compte par nos relations (13.42), (13.44), qui n'impliquent que des produits d'éléments de groupe – il semble que la structure de SU(2) soit bien adaptée pour construire la géométrie de la triangulation !

Chapitre 14

Modèles pour la gravité quantique

14.1 La quantification de Engle-Pereira-Rovelli-Livine

Si le modèle de mousses de spins correspondant est communément appelé EPR, il est vrai que ses trois auteurs, Engle, Pereira et Rovelli, ne présentèrent d'abord que le modèle pour $\gamma \to 0$, et $\gamma \to \infty$ (qui est alors le modèle déjà connu de Barrett-Crane) [85, 86], puis finalement le modèle pour γ fini vint avec Livine [83]. Je présente ici la dérivation originale du modèle ; pour une présentation plus récente, et peut-être mieux murie, je renvoie à [155].

L'idée est ici d'imposer les contraintes de simplicité sur les états de bord de chaque 4-simplexe de la triangulation, et de les imposer faiblement, celles-ci étant génériquement de seconde classe. Pour cela on considère la structure symplectique sur le graphe dual au bord d'un 4-simplexe, déjà présentée en 6.1. Nous avons donc un lien dual à chaque triangle, et un vertex dual à chaque tétraèdre. Les liens portent chacun une holonomie $G_{tt'}$, effectuant le transport parallèle entre les tétraèdres t et t', et deux bivecteurs $B_f(t)$ (un pour chaque vertex du lien dual), reliés entre eux par transport parallèle. La structure symplectique sur $T^* \operatorname{Spin}(4)$ dont nous avons besoin est telle que les moments conjugués $J_f(t)$ aux holonomies sont déformés par le paramètre d'Immirzi,

$$J_f(t) = B_f(t) + \frac{1}{\gamma} \star B_f(t) \quad \Leftrightarrow \quad B_f(t) = \frac{\gamma^2}{\gamma^2 - 1}\Big(J_f(t) - \frac{1}{\gamma} \star J_f(t)\Big), \tag{14.1}$$

par rapport au cas de l'action de Palatini-Hilbert. Les cas limites $\gamma \to 0$ et $\gamma \to \infty$ donnent respectivement :

$$J_f(t) = \gamma^{-1} \star B_f(t), \quad \text{et} \qquad J_f(t) = B_f(t). \tag{14.2}$$

Les deux structures symplectiques associées, remarquées dans [23], correspondent respectivement aux secteurs topologique et gravitationnel, reliés par un « flip » provoqué par l'opérateur de dualité de Hodge. L'origine de ces différentes structures possibles, déjà discutée en section 6.1, tient à la décomposition particulière $\mathfrak{spin}(4) = \mathfrak{su}(2) \oplus \mathfrak{su}(2)$. Comme on le verra, la structure symplectique « gravitationnelle » mène dans la quantification EPR au modèle déjà connu de Barrett-Crane (BC). Dans la dérivation initiale du modèle EPR, en l'absence du paramètre d'Immirzi, c'est donc l'utilisation de la structure « flippée » qui a permis d'obtenir un autre modèle que celui de BC. L'argument pour ce choix est de dire que le terme topologique est essentiel pour former les variables d'Ashtekar-Barbero, et par suite dans la LQG (dont les mousses de spins doivent fournir la dynamique). Bien sûr, on sait maintenant relier les deux secteurs au niveau classique, et le modèle EPR au modèle BC au niveau quantique, par le paramètre d'Immirzi (mis à part le fait que les cas $\gamma = \pm 1$ sont exclus des différents modèles).

On peut alors réexprimer les contraintes en termes des variables canoniques,

$$\left(1+\gamma^{-2}\right)\mathrm{Tr}\left(\star J_f\, J_f\right) - 2\gamma^{-1}\ \mathrm{Tr}\left(J_f\, J_f\right) = 0, \tag{14.3}$$

pour la simplicité diagonale. Notons que $\mathrm{Tr}(\star J_f\, J_f)$ et $\mathrm{Tr}(J_f\, J_f)$ sont le Casimir et le pseudo-Casimir de Spin(4), dont les spectres s'expriment en termes des Casimir des parties $\mathfrak{su}(2)$ self-duale et anti-self-duale. Contrairement à la contrainte diagonale qui est de prmière classe, la simplicité croisée ne forme pas un ensemble qui commutent pour les crochets de Poisson. De ce fait, les auteurs procèdent subtilement, utilisant une méthode de type « master constraint », dans l'esprit développé dans [165]. L'idée est d'abord d'utiliser la jauge de type « temps », comme dans le continu, $N_t = (1,0,0,0)$, de sorte que les tétraèdres sont tous dans l'espace 3d orthogonal, l'invariance de jauge étant rétablie par moyenne sur le groupe, après avoir imposé les contraintes. La simplicité croisée est ensuite mise au carré pour chaque face,

$$\left(\vec{J}_f - \gamma^{-1}\vec{K}_f\right)^2 = 0, \tag{14.4}$$

pour $J^i = \frac{1}{2}\epsilon^{0i}{}_{jk}J^{jk}$, générateur des rotations SO(3) laissant N_t invariant, et $K^i = J^{0i}$, générateur des « boost ». Cette équation se simplifie grâce à la simplicité diagonale en :

$$\mathrm{Tr}\left(\star J_f\, J_f\right) = 4\gamma\, \vec{J}^2. \tag{14.5}$$

Ces contraintes sont bien sûr à résoudre indépendamment dans chaque tétraèdre [83].

On procède maintenant à la quantification sur le graphe dual au bord du 4-simplex. L'espace de Hilbert, non-invariant de jauge, consiste en les fonctions L^2 sur $\mathrm{Spin}(4) = \mathrm{SU}(2)\times\mathrm{SU}(2)$, engendré par les éléments de matrices des éléments $G_{tt'} = (g_{+tt'}, g_{-tt'})$ vivant sur les liens dans les représentations irréductibles. Ces dernières correspondent à un coloriage (j_f^+, j_f^-) des liens du graphe, où les $j_f^\pm$ sont des demi-entiers. Une base de cet espace est donc formée par les vecteurs :

$$s^{\{j_f^\pm\}}_{\{m_f^\pm, n_f^\pm\}}(G_{tt'}) = \prod_f D^{(j_f^+)}_{m_f^+ n_f^+}\left(g_{+tt'}\right)\ D^{(j_f^-)}_{m_f^- n_f^-}\left(g_{-tt'}\right). \tag{14.6}$$

Ensuite, les moments $J_f(t)$ sont promus au statut d'opérateurs, agissant comme des dérivations à gauche si t est dual au vertex source du lien dual f, et à droite si t est le vertex d'arrivée. Il existe toujours au niveau quantique des ambiguités d'ordering (donnant naissance à des corrections d'ordre $\hbar$ dans les spectres des observables). Il est ici préférable d'utiliser un spectre en j^2 au lieu de $j(j+1)$ pour les Casimir de SU(2). La contrainte de simplicité diagonale fixe alors le rapport entre les spins self-duaux et anti-self-duaux des vecteurs de base ci-dessus, $j_f^+/j_f^- = |(\gamma+1)/(\gamma-1)|$. En particulier, pour $\gamma > 0$, on a $j^+ > j^-$; et pour $\gamma < 0$, $j^- > j^+$. Regardons maintenant le cas $\gamma > 0$. L'action du sous-groupe SU(2) diagonal de Spin(4), qui laisse la normale $N_t = (1,0,0,0)$ invariante, permet de décomposer l'espace $\mathcal{H}_{(j^+,j^-)}$ portant la représentation (j^+, j^-) de Spin(4) sur les représentations irréductibles de ce sous-groupe selon

$$\mathcal{H}_{(j^+,j^-)} = \bigoplus_{k=|j^+-j^-|}^{j^++j^-} \mathcal{H}_k. \tag{14.7}$$

Dans cette équation, k^2 s'interprète comme la valeur du Casimir $\vec{J}^2$, de sorte que les solutions de la simplicité croisée sont

$$k = \begin{cases} j^+ + j^- & \text{si } 0 < \gamma < 1, \\ j^+ - j^- & \text{si } \gamma > 1. \end{cases} \tag{14.8}$$

Ainsi, $\gamma < 1$ sélectionne la plus haute représentation du sous-groupe SU(2) diagonal dans la décomposition de $\mathcal{H}_{(j^+,j^-)}$, tandis que $\gamma > 1$ choisit la plus petite. En résumé, k détermine $j^\pm$ par :

$$j_f^\pm = \gamma_\pm\, k_f, \quad \text{pour} \qquad \gamma_\pm = \frac{|1\pm\gamma|}{2}. \tag{14.9}$$

En termes de réseaux de spins, cela signifie que les représentations self-duale et anti-self-duale sur chaque lien s'entrelacent par la représentation k_f. Il nous faut moyenner cette procédure sur Spin(4) au niveau de chaque tétraèdre (i.e. chaque noeud du réseau). Des intégrales sur Spin(4) produisent alors des entrelaceurs self-duaux et anti-self-duaux entre les quatre liens se rencontrant à chaque noeud, vivants dans $\mathrm{Inv}_{\mathrm{Spin}(4)}(\mathcal{H}_{(j_1^+,j_1^-)} \otimes \cdots \otimes \mathcal{H}_{(j_4^+,j_4^-)})$, selon les formules (10.4) et (10.5). Ces intégrales peuvent aussi passer à travers l'entrelacement des liens self-duaux et anti-self-duaux par k_f, pour produire des entrelaceurs du sous-groupe SU(2) diagonal entre les quatre représentations k_f impliquées à chaque noeud. On obtient ainsi des réseaux de spins invariants de jauge. De cette façon, l'entrelacement par k_f permet de projeter ces entrelaceurs Spin(4) sur des entrelaceurs SU(2) de $\mathrm{Inv}_{\mathrm{SU}(2)}(\mathcal{H}_{k_1} \otimes \cdots \otimes \mathcal{H}_{k_4})$. De manière équivalente, on définit

$$f : \mathrm{Inv}_{\mathrm{SU}(2)}(\mathcal{H}_{k_1} \otimes \cdots \otimes \mathcal{H}_{k_4}) \to \mathrm{Inv}_{\mathrm{Spin}(4)}\big(\mathcal{H}_{(j_1^+,j_1^-)} \otimes \cdots \otimes \mathcal{H}_{(j_4^+,j_4^-)}\big), \tag{14.10}$$

qui associe à un entrelaceur SU(2), défini par un choix d'appariement en les quatre liens et un spin intermédiaire l, un entrelaceur Spin(4). La projection de ce dernier dans la base utilisant les mêmes appariements et les spins intermédiaires i^+, i^- donne les coefficients dit *de fusion*, représentés figure 14.1,

$$f : \iota(k_a, l) \mapsto \sum_{(i^+,i^-)} f^l_{i^+i^-}\big(j_a^+, j_a^-, k_a\big)\ \iota(j_a^+, i^+)\, \iota(j_a^-, i^-). \tag{14.11}$$

On obtient ainsi un espace de Hilbert engendré par les réseaux de spins au bord du 4-simplexe, ayant des entrelaceurs de la forme $f(\iota)$, et des coloriages soumis aux contraintes (14.9),

$$\begin{aligned} s_{\mathrm{EPR}}^{\{k_f,\iota_t(k_f,l_t)\}}(g_1,\ldots,g_{10}) \;=\; & \sum_{\{m_e^\pm,n_e^\pm\}} \prod_{f=1}^{10} \langle j_f^+, m_f^+ | g_{+tt'} | j_f^+, n_f^+\rangle\ \langle j_f^-, m_f^- | g_{-tt'} | j_f^-, n_f^-\rangle \\ & \prod_{t=1}^{5} \sum_{i_t^+,i_t^-} f^{l_t}_{i_t^+ i_t^-}\big(j_f^+, j_f^-, k_f\big)\ \langle \otimes_{f\,\mathrm{in}}\, j_f^+, m_f^+ | i_t^+ | \otimes_{f\,\mathrm{out}}\ j_f^+, n_f^+\rangle\ \langle \otimes_{f\,\mathrm{in}}\, j_f^-, m_f^- | i_t^- | \otimes_{f\,\mathrm{out}}\ j_f^-, n_f^-\rangle. \end{aligned} \tag{14.12}$$

Nous avons utilisé les parties self-duales et anti-self-duales des holonomies, $G_{tt'} = (g_{+tt'}, g_{-tt'})$. Le fait que ces états sont des solutions faibles des contraintes signifie que les éléments de matrices des contraintes entre ces états sont nuls, ce qui est explicitement vérifié dans [75].

Le modèle EPR définit alors l'amplitude d'un 4-simplexe par restriction des coloriages sommés dans le modèle d'Ooguri Spin(4) à ceux des états EPR. Il s'agit donc de la contraction d'un symbole 15j de Spin(4), portant des spins (j_f^+, j_f^-) déterminés par k_f, avec des entrelaceurs $f(\iota)(k_f, l_t)$. De manière équivalente, l'amplitude d'un 4-simplexe dans ce modèle correspond à l'évaluation des réseaux de spins construits, soit :

$$W_v^{\mathrm{EPR}}(j_f^+, j_f^-, k_f, l_t) = \sum_{\{i_t^+,i_t^-\}} 15\mathrm{j}\big(j_f^+, j_f^-; i_t^+, i_t^-\big) \prod_{t\subset v} d_{i_t^+} d_{i_t^-}\ f^{l_t}_{i_t^+ i_t^-}\big(j_f^+, j_f^-, k_f\big), \tag{14.13}$$

où les contraintes (14.9) tiennent. Le collage des simplexes, comme le suggère la notation, se fait simplement en associant la même représentation k_f (et donc $j_f^\pm$) à la face f dans tous les tétraèdres de la triangulation où elle intervient, et le même spin l_t pour les deux entrelaceurs du sous-groupe SU(2) diagonal, intervenant dans les deux 4-simplexes collés le long de t.

Avant de décrire le modèle de mousses de spins en lui-même, il est intéressant de pouvoir comparer cette procédure de quantification avec celle de Freidel et Krasnov.

14.2 La quantification de Freidel-Krasnov

Si les idées de base sont naturellement les mêmes, la méthode, et le résultat pour $\gamma > 1$, sont différents. On cherche à imposer les contraintes de simplicité croisée sur chaque tétraèdre au niveau

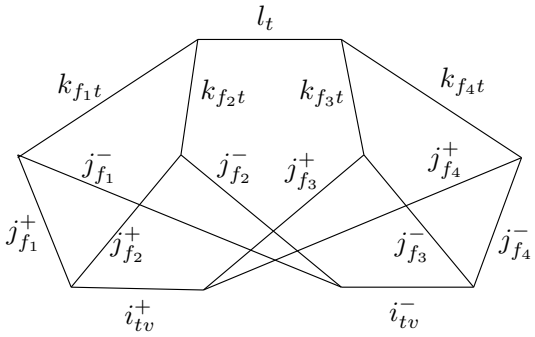

FIGURE 14.1 – L'évaluation de ce graphe est le coeficient de fusion. Chaque spin l_t, i^+_{tv} et i^-_{tv} entrelace 4 représentations associées aux 4 faces du tétraèdre t. La définition complète nécessite des orientations sur les noeuds et les liens, qui doivent être choisies de manière consistente avec celles des symboles 15j et autres coefficients de fusion dans le modèle.

quantique, mais en utilisant des *états cohérents* [89]. Le but est bien sûr de rendre les équations des contraintes transparentes au niveau quantique ! Les états cohérents de SU(2) (ou Spin(4)) employés ont été introduits dans le contexte des mousses de spins par Livine et Speziale, [122]. Ils ont alors reformuler les mousses de spins BF en termes d'entrelaceurs cohérents, autorisant un contrôle géométrique des bivecteurs au niveau quantique. Cela a été directement appliqué dans [123], où Livine et Speziale montrent que la quantification EPR peut se réécrire en termes d'états cohérents ! Cette surprise incita les auteurs EPR à considérer le modèle comme robuste. Mais, Livine et Speziale y remarquent aussi que cette méthode laisse la place à un autre modèle, un peu différent. Celui-ci était dans le même temps développé en détails par Freidel et Krasnov [89] !

Les états cohérents qui nous intéressent sont définis comme $|j, \hat{n}\rangle$, dans la représentation de spin j, et de direction $\hat{n} \in S^2$, par l'action d'une rotation $n \in \mathrm{SU}(2)$ sur le vecteur de référence $|j, m = j\rangle$,

$$|j, \hat{n}\rangle = D^{(j)}(n)\, |j, j\rangle. \tag{14.14}$$

La rotation n envoie l'axe de référence z (utilisé pour définir les états de moment magnétique $|j, m\rangle$) sur la direction $\hat{n}$. Il y a bien sûr une ambiguité dans cette formulation, du fait que n et $n \exp(i\theta\sigma_z)$ envoient tous deux l'axe z sur la même direction. Leurs actions se différencient par une phase dans la définition des états cohérents, de sorte qu'il faut plutôt les définir par l'action de G/H, pour $G = \mathrm{SU}(2)$ et $H = \mathrm{U}(1)$ le sous-groupe engendré par σ_z. Cette ambiguité ne joue aucun rôle dans la définition du modèle. Néanmoins, disons tout de suite que c'est en en prenant soin que l'on pourra apprécier la géométrie 4d codée dans le modèle, comme le montrent [38, 56, 57]. Pour fixer les idées, prenons pour cette partie la forme $n = \exp(-i\alpha\sigma_z/2)\exp(-i\beta\sigma_y/2)$. Les états cohérents jouissent alors de propriétés avantageuses, formant notamment une famille génératrice (non-orthogonale),

$$\mathrm{id}_{\mathcal{H}_j} = \sum_{j=-m}^{m} |j, m\rangle\, \langle j, m|, \tag{14.15}$$

$$= d_j \int_{G/H} d^2\hat{n}\; |j, \hat{n}\rangle\, \langle j, \hat{n}|. \tag{14.16}$$

Si $\vec{J}$ est le 3-vecteur formé par les générateurs hermitiens de SU(2), satisfaisant $[J^i, J^j] = i\epsilon^{ij}{}_k J^k$, la formule suivante est la clé de l'interprétation de ces états,

$$\langle j, \hat{n}|\vec{J}|j, \hat{n}\rangle = j\,\hat{n}. \tag{14.17}$$

Cela signifie que $|j,\hat{n}\rangle$ décrit en moyenne un vecteur de $\mathbb{R}^3$ de norme j et de direction $\hat{n}$. La propriété de cohérence vient du fait que l'incertitude est minimale,

$$\Delta\vec{J}^2 = j, \tag{14.18}$$

tandis qu'en utilisant un état de référence générique $|j,m\rangle$ à la place de $|j,j\rangle$, nous aurions trouvé $\Delta\vec{J}^2 = j + j^2 - m^2$. Cela indique tout de même la possibilité de former des états cohérents similaires avec l'état de référence $|j,-j\rangle$. Ils sont reliés aux précédents de la manière suivante. Introduisons la matrice $\epsilon = i\sigma_y = \left(\begin{smallmatrix} 0 & -1 \\ 1 & 0 \end{smallmatrix}\right)$. Ses éléments de matrice dans la représentation (du groupe) de spin j sont : $D^{(j)}_{mm'}(\epsilon) = (-1)^{j-m'}\delta_{m,-m'}$, de sorte que : $|j,-j\rangle = D^{(j)}(\epsilon)|j,j\rangle$. Il nous faut donc interpréter la multiplication par ϵ sur le groupe. On calcule facilement que : $\epsilon\,\sigma_z\epsilon^{-1} = -\sigma_z$. Donc si $n \in \mathrm{SU}(2)$ amène le vecteur $\hat{z}$ sur $\hat{n}$, alors $n\epsilon$ l'envoie sur $-\hat{n}$. Soit :

$$n\,\sigma_z\,n^{-1} = \vec{\sigma}\cdot\hat{n} \quad \Rightarrow \quad D^{(j)}(n)|j,-j\rangle = D^{(j)}(n\epsilon)|j,j\rangle = |j,-\hat{n}\rangle. \tag{14.19}$$

Par ailleurs, nous utiliserons le fait que la conjugaison matricielle par ϵ est la conjugaison complexe des matrices SU(2), $\epsilon g\epsilon^{-1} = \epsilon^{-1}g\epsilon = \bar{g}$. Ainsi : $\langle j,-j|g|j,-j\rangle = \overline{\langle j,j|g|j,j\rangle}$.

Nous pouvons aussi utiliser ces états pour construire des invariants sous l'action du groupe, autrement dit des entrelaceurs. Cela se fait naturellement en moyennant sur SU(2) des produits tensoriels d'états cohérents. Comme nous sommes en 4d (ou bien comme les tétraèdres ont quatre triangles...), nous sommes surtout intéressés par des entrelaceurs 4-valents,

$$|\iota(j_a,\hat{n}_a)\rangle = \int_{\mathrm{SU}(2)} dg \bigotimes_{a=1}^{4} D^{(j_a)}(g)|j_a,\hat{n}_a\rangle. \tag{14.20}$$

Livine et Speziale ont montré dans [122] que la norme de tels entrelaceurs est piquée sur les configurations satisfaisant la relation de fermeture quantique, $\sum_{a=1}^{4} j_a\hat{n}_a = 0$. Pour un noeud d'un réseau de spins, il est possible d'utiliser une base d'entrelaceurs cohérents, formant une famille complète mais pas orthogonale. On peut alors reformuler le modèle d'Ooguri pour la théorie BF 4d en changeant la représentation de l'amplitude de vertex : on écrit la résolution de l'identité sur les entrelaceurs ι_t, provenant de l'intégrale (7.44), associés aux tétraèdres, dans la base des états cohérents :

$$\int_{\mathrm{SU}(2)} dg \bigotimes_{f=1}^{4} D^{(j_f)}(g) = \mathrm{id}_{\mathrm{Inv}(\mathcal{H}_{j_1}\otimes\cdots\otimes\mathcal{H}_{j_4})}, \tag{14.21}$$

$$= \int \prod_{f=1}^{4} (2j_f+1)\, d^2\hat{n}_f\ |\iota(j_a,\hat{n}_a)\rangle\ \langle\iota(j_a,\hat{n}_a)|. \tag{14.22}$$

Le symbole 15j devient alors un symbole déterminé par les 10 spins sur les triangles et à la place des cinq spins virtuels aux tétraèdres cinq entrelaceurs cohérents.

Revenons maintenant à $G = \mathrm{Spin}(4)$. Contrairement aux variables utilisées dans la version discrète de la théorie BF, nous ne définissons pas un seul bivecteur par triangle, mais une collection (B_{ft}) de bivecteurs associés aux tétraèdres qui ont ce triangle dans leur bord, comme nous l'avons déjà fait remarqué à la section 13.3. Ces bivecteurs sont pris comme *indépendants* a priori ! Autrement dit, on ne cherchera pas à imposer fortement les relations de transport parallèle (13.9) entre des bivecteurs décrivant pourtant le même triangle mais dans des tétraèdres (et donc référentiels) différents. Ces relations seront en fait seulement valables aux points stationnaires de l'intégrale de chemins sur la triangulation, comme nous le montrons plus tard (voir aussi [69]).

On écrit donc les contraintes de simplicité croisée à l'aide de la formulation (13.10). En utilisant les parties self-duales et anti-self-duales, $B_{ft} = b_{+ft} \oplus b_{-ft}$, cela donne en notations matricielles :

$$b_{-ft} + s\ \mathrm{Ad}\big(N_t^{-1}\big)\ b_{+ft} = 0. \tag{14.23}$$

La variable N_t n'est autre que le 4-vecteur N_t^I unitaire et orthogonal au tétraèdre, vu comme un élément de SU(2) par l'isomorphisme entre SU(2) et S^3. De manière équivalente, la rotation N_t est définie de sorte que la rotation (4d) $(N_t, \mathbb{1}) \in \mathrm{Spin}(4)$ envoie le vecteur de référence $N^{(0)} = (1,0,0,0)$ sur la normale N_t^I, par la représentation standard de SO(4). Le signe $s = \pm$ indique la possibilité de choisir comme référence le secteur topologique, $s = -1$, ou le secteur gravitationnel, comme nous le ferons dans la suite, avec $s = 1$.

Puisqu'après avoir imposé les contraintes, nous moyennerons sur Spin(4) pour former des entrelaceurs, nous pouvons sans souci travailler dans la jauge « temps », $N_t = \mathbb{1}$ comme dans la quantification EPR. Nous exprimons les réseaux de spins vivants au bord du 4-simplexe dans la base des états cohérents, à la place des nombres magnétiques comme dans (14.6),

$$s^{\{j_f^\pm\}}_{\{\hat{n}_{\pm ft}\}}(G_{tt'}) = \prod_f \langle j_f^+, \hat{n}_{+ft} | g_{+tt'} | j_f^+, \hat{n}_{+ft'} \rangle \, \langle j_f^-, \hat{n}_{-ft} | g_{-tt'} | j_f^-, \hat{n}_{-ft'} \rangle. \tag{14.24}$$

Le moment conjugué aux holonomies est toujours, selon (14.1), $J_{ft} = B_{ft} + \gamma^{-1} \star B_{ft}$, qui devient au niveau quantique une dérivation à gauche si t est dual au vertex source du lien dual f, et à droite si t est le vertex d'arrivée. On peut alors exprimer la valeur moyenne de la contrainte (13.14) comme :

$$\langle b_{+ft} + b_{-ft} \rangle = j_f^+ \big(1 - \gamma^{-1}\big) \hat{n}_{+ft} + j_f^- \big(1 + \gamma^{-1}\big) \hat{n}_{-ft} = 0. \tag{14.25}$$

Considérons le cas $\gamma > 0$, puisque $\gamma < 0$ se traite alors en inversant les rôles des parties self-duales et anti-self-duales. Cette équation fournit comme dans la quantification EPR, $j_f^+ / j_f^- = |(\gamma+1)/(\gamma-1)|$. La suite diffère de la quantification EPR, si ce n'est que nous devons encore distinguer les cas $\gamma > 1$ et $\gamma < 1$. Dans ce dernier cas, on a $\hat{n}_{+ft} = \hat{n}_{-ft}$, tandis que pour $\gamma > 1$, un signe change, $\hat{n}_{+ft} = -\hat{n}_{-ft}$. Cela se traduit sur les éléments de groupe définissant les états cohérents par :

$$n_{-ft} = \begin{cases} n_{+ft}\, e^{i\psi_{ft}\sigma_z} & \text{si } 0 < \gamma < 1, \\ n_{+ft}\, e^{i\psi_{ft}\sigma_z}\, \epsilon & \text{si } \gamma > 1. \end{cases} \tag{14.26}$$

Le degré de liberté U(1), $e^{i\psi_{ft}\sigma_z}$, provient de l'ambiguité déjà mentionnée sur la définition des états cohérents. Dans l'amplitude du 4-simplexe, il ne génère qu'une phase, qui se trouve être supprimée lorsque l'on colle les 4-simplexes de la triangulation. Nous oublions donc cette phase dans ce qui suit. Il se trouve aussi que le cas $\gamma < 1$ reproduit précisément le modèle EPR ! Nous regardons donc mainntenant plus en détails l'autre situation, $\gamma > 1$ qui donne le modèle FK. On forme pour cela à chaque noeud du graphe un entrelaceur,

$$\int dG \bigotimes_{a=1}^{4} D^{(j_a^+)}(g_+) |j_a^+, \hat{n}_a\rangle \otimes D^{(j_a^-)}(g_-) |j_a^-, -\hat{n}_a\rangle. \tag{14.27}$$

Les représentations sont choisies selon

$$j_f^\pm = |\gamma_\pm| j_f, \qquad \text{pour} \quad \frac{\gamma_+}{\gamma_-} = \frac{\gamma+1}{1-\gamma}, \tag{14.28}$$

dans lequel $\gamma_\pm$ sont les plus petits entiers (en valeur absolue) satisfaisant la seconde relation et $\gamma_+ > 0$, et j_f est un demi-entier.

L'amplitude du 4-simplexe dans le modèle FK est alors obtenue en remplaçant dans le modèle d'Ooguri Spin(4) les deux copies de la résolution de l'identité sur les entrelaceurs coherents (14.22) par une restriction aux entrelaceurs (14.27) munis des contraintes (14.28). De manière équivalente, l'amplitude du 4-simplexe v est obtenue en réunissant les entrelaceurs ci-dessus accrochés aux cinq

tétraèdres du bord, et en les contractant, selon la structure du 4-simplexe, comme pour le symbole 15j de SU(2) :

$$\int \prod_t dG_{vt} \prod_f \langle j_f^+, \hat{n}_{ft}| \, g_{+vt}^{-1} \, g_{+vt'} \, |j_f^+, \hat{n}_{ft'}\rangle \, \overline{\langle j_f^-, \hat{n}_{ft}| \, g_{-vt}^{-1} \, g_{-vt'} \, |j_f^-, \hat{n}_{ft'}\rangle}, \tag{14.29}$$

pour $\gamma > 1$. La conjugaison complexe de la partie anti-self-duale est vraiment due à la matrice ϵ dans (14.26), elle-même due à la condition $\hat{n}_{+ft} = -\hat{n}_{-ft}$. Ainsi, pour $\gamma < 1$ nous pouvons simplement enlever cette conjugaison,

$$\int \prod_t dG_{vt} \prod_f \langle j_f^+, \hat{n}_{ft}| \, g_{+vt}^{-1} \, g_{+vt'} \, |j_f^+, \hat{n}_{f't}\rangle \, \langle j_f^-, \hat{n}_{ft}| \, g_{-vt}^{-1} \, g_{-vt'} \, |j_f^-, \hat{n}_{f't}\rangle. \tag{14.30}$$

Pour écrire l'amplitude dans le langage des mousses de spins, on fait d'abord les intégrales sur G_{vt}, suivant les formules usuelles (10.4) et (10.5). Remarquons que n_{ft} apparaît à la fois dans la partie self-duale et dans la partie anti-self-duale. Ainsi, le fait que les deux directions de $b_{\pm ft}$ soient reliées par les contraintes de simplicité induit un entrelacement des représentations j_f^+ avec j_f^- à travers des représentations k_{ft} du sous-groupe SU(2) diagonal. Mais, pour $\gamma > 1$, contrairement à la prescription EPR que l'on retrouve ici pour $\gamma < 1$, l'ensemble de la décomposition (14.7), $\mathcal{H}_{(j^+,j^-)} = \bigoplus_{k=|j^+-j^-|}^{j^++j^-} \mathcal{H}_k$, intervient, avec des poids que nous préciserons. Lorsque l'on colle les 4-simplexes, on identifie les éléments n_{ft} des triangles pour des 4-simplexes adjacents collés de long de t, et l'on intègre sur toutes les configurations, trivialement puisque cela reproduit l'identité (14.16). Comme dans la quantification EPR, les intégrales sur Spin(4) peuvent passer les entrelacements des liens à travers k_{ft}, pour produire des entrelaceurs SU(2) de $\mathrm{Inv}_{\mathrm{SU}(2)}(\mathcal{H}_{k_1} \otimes \cdots \otimes \mathcal{H}_{k_4})$. Ceux-ci se développent bien sûr à l'aide d'un choix d'appariement entre ces spins et d'un spin intermédiaire l_t. Tout cela fait apparaître à nouveau les coefficients de fusion, et une amplitude :

$$W_v^{\mathrm{FK}\gamma>1}(j_f^+, j_f^-, k_{ft}, l_t) = \sum_{\{i_t^+, i_t^-\}} 15\mathrm{j}\big(j_f^+, j_f^-; i_t^+, i_t^-\big) \prod_{t\subset v} d_{i_t^+} d_{i_t^-} \, f_{i_t^+ i_t^-}^{l_t}\big(j_f^+, j_f^-, k_{ft}\big). \tag{14.31}$$

L'amplitude d'un 4-simplexe ne suffit naturellement pas à définir un modèle de mousses de spins. Encore faut-il préciser comment ces amplitudes sont sommées ! Cela demande d'éxpliciter les variables indépendantes sur lesquelles sommer, ce que nous avons fait ci-dessus (et comme les notations le prennent en compte), et d'attribuer des amplitudes aux triangles et tétraèdres, ce que nous faisons dans la section qui suit. Celle-ci se veut un petit résumé des modèles, d'une manière « unificatrice », inspirée de la présentation de [70].

14.3 Résumé des différents modèles

14.3.1 En langage mousses de spins

Il est possible d'exprimer ces modèles à l'aide de données de bord communes, et de restriction sur celles-ci, dépendantes du modèle, codées dans l'amplitude des tétraèdres. Les données de bord consistent en des spins $j_f^\pm$ reliés par le paramètre d'Immrizi,

$$j_f^\pm = |\gamma_\pm| j_f, \tag{14.32}$$

avec $j_f \in \frac{\mathbb{N}}{2}$, et $\gamma_\pm$ des entiers déterminés par les prescriptions (14.9) pour EPR et (14.28) pour FK. Nous avons ensuite besoin de spins k_{ft} qui entrelacent les représentations j_f^+ et j_f^-, indépendamment à chaque tétraèdre, puis d'entrelaceurs SU(2), de $\mathrm{Inv}_{\mathrm{SU}(2)}(\mathcal{H}_{k_1} \otimes \cdots \otimes \mathcal{H}_{k_4})$, qui se développent bien sûr

à l'aide d'un choix d'appariement entre ces spins et d'un spin intermédiaire l_t. Le spin j_f s'interprète naturellement comme l'aire quantifiée du triangle f, et $j_f^{\pm}$ comme le flux quantifié de la norme de $b_{\pm f}(t)$ (indépendant du référentiel).

On peut alors formuler les modèles par des sommes pondérées sur les états de chaque 4-simplexe,

$$Z = \sum_{\{j_f\},\{k_{ft}\},\{l_t\}} \prod_f W_f \prod_t W_t \prod_v W_v. \tag{14.33}$$

L'amplitude W_v est donnée par :

$$W_v(j_f^+, j_f^-, k_{ft}, l_t) = \sum_{\{i_t^+, i_t^-\}} 15\mathrm{j}\big(j_f^+, j_f^-; i_t^+, i_t^-\big) \prod_{t\subset v} d_{i_t^+} d_{i_t^-} f^{l_t}_{i_t^+ i_t^-}\big(j_f^+, j_f^-, k_{ft}\big). \tag{14.34}$$

Les coefficients de fusion $f^{l_t}_{i_t^+ i_t^-}$ permettent de projeter les entrelaceurs Spin(4) sur des entrelaceurs SU(2) à chaque tétraèdre, en passant par l'entrelacement $j_f^+ \otimes j_f^- \to k_{ft}$. Bien que cette amplitude joue un rôle majeur dans les présentations usuelles que l'on fait de ces modèles, il faut dire qu'elle n'est absolument pas déterminante ! C'est bien plutôt le choix de restrictions sur les données et d'amplitudes sur les triangles et tétraèdres qui sont prépondérants !

Nous verrons en effet que les coefficients de fusion interviennent très naturellement dès lors que l'on s'efforce de construire des modèles avec les contraintes de simplicité qui relient parties self-duale et anti-self-duale des bivecteurs, sans pour autant aboutir au modèles EPR et FK. Par ailleurs, simplement en relâchant la contrainte de simplicité diagonale (14.32), et en gardant l'amplitude W_v, (14.34), il est possible de retrouver le modèle d'Ooguri Spin(4) pour la théorie BF discrète ! Cela se fait en remarquant que les coefficients de fusion peuvent être « inversés » en sommant sur tous les spins k_{ft}. En effet, ils peuvent s'écrire comme de simples produits de symboles 9j [3],

$$f^l_{i^+i^-}(j_f^+, j_f^-, k_{ft}) = \begin{Bmatrix} j_1^+ & j_2^+ & i^+ \\ j_1^- & j_2^- & i^- \\ k_1 & k_2 & l \end{Bmatrix} \begin{Bmatrix} j_3^+ & j_4^+ & i^+ \\ j_3^- & j_4^- & i^- \\ k_3 & k_4 & l \end{Bmatrix}. \tag{14.35}$$

En utilisant alors l'orthogonalité des 9j, on trouve [1]

$$\sum_l \sum_{k_1,\ldots,k_4} \Big(\prod_{a=1}^4 d_{k_a}\Big) f^l_{i^+i^-}(j_a^+, j_a^-, k_a)\, f^l_{i'^+i'^-}(j_a^+, j_a^-, k_a) \;\propto\; \delta_{i^+,i'^+}\, \delta_{i^-,i'^-}. \tag{14.36}$$

Cela montre qu'on peut reproduire le modèle BF avec une amplitude W_t se comportant en fonction des spins k_{ft} comme

$$W_t^{\mathrm{BF}}(k_{ft}) = \prod_{f\subset\partial t} d_{k_{ft}}. \tag{14.37}$$

Si la contrainte diagonale n'est pas relachée, on obtient alors un modèle simplement contraint par (14.32), où les entrelaceurs Spin(4) ne sont pas contraints. Ce modèle sera utilisé en début de la prochaine section.

Dans le modèle FK, $\gamma > 1$, les spins k_{ft} ne sont pas contraints. Cela signifie qu'il se distingue en fait du modèle que nous venons de discuter par un choix spécifique de l'amplitude des tétraèdres, provenant directement de la formule (14.29) en termes d'états cohérents,

$$W_t^{\mathrm{FK}\gamma>1} = d_{l_t} \prod_{f\subset\partial t} d_{k_{ft}} \left[\begin{pmatrix} j_f^+ & j_f^- & k_{ft} \\ j_f^+ & -j_f^- & j_f^- - j_f^+ \end{pmatrix} \right]^2, \tag{14.38}$$

1. Le coefficient de proportionnalité dépend de $i^{\pm}$ bien sûr, et est fondamental pour retrouver un modèle topologique. Nous voulons ici juste regarder comment éliminer les coefficients de fusion grâce aux sommes sur k_{ft}.

la quantité entre crochets étant un symbole 3mj de Wigner. Celui-ci apporte une pondération non-triviale, qui est piquée autour de la valeur $k = j^+ - j^-$, [70]. Cette valeur n'est autre que la restriction définissant les états EPR pour $\gamma > 1$:

$$W_t^{\mathrm{EPR}\gamma>1} = d_{l_t} \prod_{f\subset t} \delta_{k_{ft}, j_f^+ - j_f^-}. \tag{14.39}$$

Ainsi, même si les deux modèles peuvent avoir un comportement proche dans le calcul des amplitudes en mousses de spins, ils sont très différents en ce que le modèle FK, $\gamma > 1$, n'impose aucune restriction sur les états de bord du 4-simplexe (à part (14.32) tout de même), contrairement au modèle EPR dont les données de bord ne sont rien d'autre que celles des réseaux de spins LQG ! Autrement dit, le modèle EPR parvient à réduire les réseaux de spins Spin(4) aux réseaux SU(2) de la LQG, tandis que les données de bord utilisées ici pour le modèle FK décrivent précisément la base des réseaux de spins Spin(4) dits projetés, introduits par Livine et Alexandrov, [10, 13, 117], avec la contrainte (14.32). Pour une discussion comparant les deux méthodes de quantification en lien avec l'algèbre des contraintes de simplicité, on pourra par ailleurs consulter [84].

Lorsque $\gamma = \infty$, le modèle EPR sélectionne le mode $k_{ft} = 0$, du fait qu'alors $j_f^+ = j_f^-$. L'amplitude se réduit alors au modèle longtemps étudié avant, de Barrett-Crane (BC) [37], que nous étudions dans la section suivante.

Pour $\gamma < 1$, les deux modèles coincident, en sélectionnant le plus grand spin dans la décomposition de $\mathcal{H}_{(j^+,j^-)}$ en représentations irréductibles du sous-groupe SU(2) diagonal,

$$W_t^{\gamma<1} = d_{l_t} \prod_{f\subset t} \delta_{k_{ft}, j_f^+ + j_f^-}. \tag{14.40}$$

Pour $\gamma \to 0$, il s'agit de la proposition initiale EPR [86].

Du fait des méthodes de quantification employées, on comprend que l'amplitude des triangles soit relativement ambigue. Cela est bien sûr relié au fait qu'on ne sait pas comment les restrictions que l'on impose aux réseaux de spin génériques Spin(4) doivent être prises en compte dans le produit scalaire cinématique. Très récemment, Bianchi, Regoli et Rovelli ont établi ce lien précisément et montré, [50] que l'amplitude des triangles peut être déterminée de manière unique par : la structure de l'espace de Hilbert au bord, la composition des triangulations, et un troisième critère de « localité ». L'amplitude des triangles est alors donnée par : $W_f = d_{j_f}$. Ainsi, on peut prendre pour produit scalaire entre les états de bord satisfaisant les contraintes, qui sont des fonctions $\Psi(j_f, k_{ft}, l_t)$ sur un bord Γ,

$$\langle\Phi|\Psi\rangle_\Gamma = \sum_{j_f,k_{ft},l_t} \prod_f W_f \prod_t W_t \quad \overline{\Phi}(j_f, k_{ft}, l_t)\, \Psi(j_f, k_{ft}, l_t), \tag{14.41}$$

et on retrouve dans le cas du modèle EPR le produit des réseaux de spins de la LQG sur un graphe (voir également [70]). On sait que dans une théorie possédant des contraintes de seconde classe, comme la relativité générale dans l'action de Holst ou de Plebanski, ces contraintes contribuent de manière non-triviale à la mesure de l'intégrale de chemins [111]. En particulier, dans les variables de l'espace des configurations, l'intégrale de chemins ne se formule plus simplement avec l'exponentielle de l'action lagrangienne [64, 82]. Ce phénomène, connu certes depuis longtemps comme une des difficultés de la gravité quantique, doit être traité d'une certaine manière dans la quantification en mousses de spins, bien qu'il y fut jusqu'ici ignoré en pratique, et intervenir vraisemblablement dans les amplitudes des triangles. Il est donc excellent d'avoir des critères et méthodes pour fixer ces amplitudes, comme ceux fournis par [50]. Nous allons maintenant présenter l'approche poursuivie dans cette thèse consistant à étudier les mousses de spins comme des intégrales de chemins pour des géométries discrètes. Nous verrons en particulier comment une mesure non-triviale dans ces intégrales se traduit dans l'amplitude des triangles en termes de mousses de spins. Il s'agit d'un préliminaire essentiel pour tenter de comprendre précisément la relation entre la mesure due aux contraintes de seconde classe et ces amplitudes de triangles.

14.3.2 Avec des intégrales plutôt que des sommes

Pour finir ce résumé, notons que si les mousses de spins sont intéressantes du point de vue théorique, comme quantification background-independent en relation avec les réseaux de spins, elles impliquent des sommes disons *affreuses* en pratique ! Pour calculer, comme nous l'avons vu explicitement dans le modèle jouet en 3d, 8.2, il peut être plus judicieux de trouver une expression avec des intégrales plutôt que des sommes. Autrement dit, une formulation dans laquelle les variables ne sont plus des quantités discrètes mais des variables continues, de groupe ou d'espace homogène typiquement. C'est d'ailleurs la façon la plus simple de construire et de comprendre les modèles topologiques. Les liens duaux aux $(n-1)$-simplexes t portent des holonomies g_t, et chaque face duale f est pondérée par

$$A_f^{\mathrm{BF}}(g_t) = \sum_j (2j+1)\, \chi_j\big(\prod_t g_t^{[f:t]}\big) = \delta\Big(\prod_t g_t^{[f:t]}\Big), \tag{14.42}$$

le produit étant pris le long du bord de la plaquette f, et $[f:t] = \pm 1$ étant le nombre d'incidence déterminé par l'orientation relative, et

$$Z_{\mathrm{BF}} = \int \prod_t dg_t \, \prod_f A_f^{\mathrm{BF}}(g_t). \tag{14.43}$$

Autrement dit, on comprend que : (i) les entrelaceurs proviennent de moyennes sur le groupe, et (ii) on est en mesure de faire explicitement la somme sur les spins attachés aux faces.

Pour le modèle EPR/FK, on peut reprendre l'expression donnée en (14.30) de l'amplitude d'un 4-simplexe, et développer différemment pour factoriser des amplitudes sur les faces. On colle la formule (14.30) sur tous les 4-simplexes d'une triangulation, en donnant le même spin j_f à la face f chaque fois qu'elle intervient, et avec un état cohérent déterminé par $\hat{n}_{ft} \in S^2$ pour chaque paire triangle-tétraèdre,

$$Z_{\gamma<1} = \sum_{\{j_f\}} \int \prod_{(v,t)} dG_{vt} \prod_{(f,t)} d^2 n_{ft} \prod_{(f,v)} \langle j_f^+, \hat{n}_{ft}|\, g_{+vt}^{-1}\, g_{+vt'}\, |j_f^+, \hat{n}_{f't}\rangle \, \langle j_f^-, \hat{n}_{ft}|\, g_{-vt}^{-1}\, g_{-vt'}\, |j_f^-, \hat{n}_{f't}\rangle, \tag{14.44}$$

$$= \int \prod_{(v,t)} dG_{vt} \prod_{(f,t)} d^2 n_{ft}\; A_f^{\gamma<1}(G_{vt}, n_{ft}), \tag{14.45}$$

où l'on a défini le poids par face comme contenant la somme sur le spin présent à chaque face :

$$A_f^{\gamma<1}(G_{vt}, n_{ft}) = \sum_{j\in\frac{\mathbb{N}}{2}} \prod_{v\in\partial f} \langle j^+, \hat{n}_{ft}|\, g_{+vt}^{-1}\, g_{+vt'}\, |j^+, \hat{n}_{ft'}\rangle \, \langle j^-, \hat{n}_{ft}|\, g_{-vt}^{-1}\, g_{-vt'}\, |j^-, \hat{n}_{ft'}\rangle, \tag{14.46}$$

pour $j^\pm = \gamma_\pm j$. Le point clé est maintenant que le produit scalaire des états cohérents a une dépendance simplement exponentielle en le spin, (voir plus de détails dans [122]),

$$\langle j, \hat{n}|j, \hat{n}'\rangle = e^{2j\; h(\hat{n},\hat{n}')}, \tag{14.47}$$

c'est-à-dire que la fonction h ne dépend pas de j mais seulement des directions des états cohérents. Comme l'action de SU(2) sur un état cohérent est simplement de faire tourner sa direction, cela signifie que la somme sur le spin peut être effectuée de manière exacte dans le modèle ! Ce qui donne :

$$A_f^{\gamma<1}(G_{vt}, n_{ft}) = \frac{1}{1 - \exp\big(\sum_{v\in\partial f} \gamma_+ h(\hat{n}_{ft}, \hat{n}_{ft}, g_{+vt}^{-1}\, g_{+vt'}) + \gamma_- h(\hat{n}_{ft}, \hat{n}_{ft}, g_{-vt}^{-1}\, g_{-vt'})\big)}. \tag{14.48}$$

Il est important d'observer que cette amplitude est partout définie sauf lorsque l'argument de l'exponentielle s'annule. Nous pouvons essayer de tracer un parallèle avec le modèle topologique, pour

anticiper les problèmes potentiels liés à cette singularité. Dans le modèle topologique, l'amplitude est contruite via des fonctions delta sur les holonomies autour des faces. Bien que de tels objets ne soient pas définis comme fonctions usuelles (et intuitivement « divergent » en l'identité), ils le sont au sens des distributions, et permettent donc (dans une certaine mesure) de faire les intégrales sur les holonomies. Les divergences du modèle sont alors liées à « un trop grand nombre de fonctions delta » [97], i.e. que leur produit ne constitue plus une distribution ! Par là on voit bien que ces divergences ne découlent pas directement du fait que $\delta(g)$ n'est pas défini en l'identité. La situation est a priori un peu différente ici, car on ne sait pas à ce stade quelles sont les configurations des variables $(G_{vt}, \hat{n}_{ft})$ qui annulent le dénominateur de (14.48).

Mais ce rappel sur le modèle topologique nous donne une marche à suivre : commencer par définir l'amplitude $A_f^{\gamma<1}$, au moins au sens des *distributions*. Il s'agit d'une route naturelle vers une définition propre du modèle, incluant la régularisation, puis vers l'étude des divergences. Quant à l'interprétation des configurations à l'origine des éventuelles divergences, nous verrons qu'il s'agit de géométries plates 17.2.3 !

Chapitre 15

Simplicité d'un seul bivecteur et représentations simples de Spin(4)

Ce chapitre vise à expliquer sur un exemple simple ce que l'on souhaite faire ensuite sur des modèles plus réalistes, et à introduire quelques ingrédients qui nous re-serviront. On peut donc y voir un exercice avant de s'attaquer à l'ensemble des contraintes de simplicité. En particulier, la dérivation du modèle de Barrett-Crane, qui suivra, utilisera des méthodes très similaires. Bien que notre manière de traiter les contraintes soit complètement originale, la discrétisation de la partie BF que nous utilisons ici est totalement standard : elle reprend le cadre établi dans [88]. On pourra de la sorte apprécier dans quelle mesure les équations classiques de la section 13.1 sont vraiment prises en compte par cette discrétisation. Et c'est en comprenant les problèmes qu'elle soulève que nous pourrons aller au-delà du modèle de Barrett-Crane, et en particulier rencontrer les modèles EPR/FK.

Mais ce chapitre présente bien sûr un intérêt propre : il étudie les contraintes de simplicité diagonale (13.6), pour $\gamma = \infty$. Le modèle qui en résulte a été assez peu considéré dans la littérature, surtout du point de vue intégrale de chemins sur réseau. Le contenu physique de ces contraintes diagonales est simple : elles imposent à chaque bivecteur B_f, ou de manière équivalente au dual de Hodge $\star B_f$, d'être simple, i.e. de s'écrire comme le produit antisymétrisé de deux 4-vecteurs, $u^{[I}v^{J]}$. Ce modèle est ainsi authentiquement non-toplogique. Les contraintes diagonales, comme nous l'avons vu, sont d'habitude imposées au niveau quantique grâce à des procédures de quantification géométrique issues de [23]. L'interprétation géométrique correspondante, motivée par l'analyse canonique de l'action BF [86], permet d'associer les représentations de Spin(4) coloriant les triangles, (j_f^+, j_f^-), à une quantification des aires de ces triangles. Dans le cas $\gamma \to \infty$, cette identification conduit, comme en (14.28), à $j_f^+ = j_f^-$, qui caractérise les représentations dites simples de Spin(4).

Notre but est ici de vérifier dans quelle mesure cette implémentation est correcte du point de vue des intégrales, classiques, sur la triangulation. Rappelons-nous que dans le continu, la 2-forme B est un multiplicateur de Lagrange, (1.1), imposant l'équation de courbure nulle $F(A) = 0$, (1.4). Dans la formulation discrète, il est aussi naturel de considérer que les bivecteurs peuvent servir de multiplicateurs de Lagrange pour imposer la contrainte de courbure nulle, $G_f = \mathbb{1}$, sur les holonomies. En effet, les bivecteurs discrétisent la 2-forme B sur les triangles, tandis que comme en calcul de Regge, nous avons concentré la courbure également sur les triangles ! Cela a permis de forger l'action suivante de type BF,

$$S_{\mathrm{BF}}\big(B_f(t), G_{vt}\big) = \sum_f \mathrm{Tr}\big(B_f(t)\, G_f(t)\big), \tag{15.1}$$

dont on peut vérifier [1] qu'elle restitue la fonction de partition attendue,

$$Z_{\mathrm{BF}} = \int \prod_{(t,v)} dG_{vt} \left[\prod_f dB_f(v^\star)\ e^{i\,\mathrm{Tr}(B_f(v^\star)G_f(v^\star))} \right] \tag{15.2}$$

$$= \int \prod_{(t,v)} dG_{vt}\ \prod_f \delta\big(G_f(t)\big). \tag{15.3}$$

Puisque nous disposons d'une formulation claire des contraintes de simplicité discrètes, (voir en section 13.1), il est tout naturel de chercher à les inserer dans l'intégrale ci-dessus, et de tenter alors de la réécrire en mousses de spins. On pourrait ainsi trouver les conditions permettant d'aboutir à des modèles connus, tels que ceux décrits à la section précédente, ou voir quels sont les modèles qui émergent le plus naturellement, et s'intéresser à l'ambiguité sur la mesure. Autrement dit, nous allons travailler sur des intégrales du type

$$\int \prod_{(t,v)} dG_{vt}\ \prod_f \left[dB_f(v^\star)\ e^{i\,\mathrm{Tr}(B_f(v^\star)G_f(v^\star))} \right] \widetilde{\delta}\big(\text{contrainte}(B_f, G_{vt})\big), \tag{15.4}$$

où $\widetilde{\delta}$ est une fonction plus ou moins piquée et centrée sur la contrainte à imposer...

L'implémentation standard de la simplicité diagonale, issue de la quantification géométrique, produit la fonction de partition

$$Z_{\mathrm{diag}} = \int \prod_t dG_t\ \prod_f Z_f\left(G_f\right), \quad \text{où} \qquad Z_f\left(G_f\right) = \sum_{j_f} d^k_{j_f}\ \chi_{j_f}(g_{+f})\ \chi_{j_f}(g_{-f}). \tag{15.6}$$

L'amplitude des triangles habituellement considérée est $k = 2$, et provient de celle du modèle d'Ooguri Spin(4) avec une fonction delta sur les contraintes, $d_{j_f^+} d_{j_f^-} \delta_{j_f^+, j_f^-}$. Nous allons montrer que le calcul de type intégrale de chemins donne plus naturellement ce même résultat avec $k = 0$, et nous verrons que cela se généralise à :

$$Z_f\left(G_f\right) = \chi(g_{+f})\ \sum_{j_f} \chi_{j_f}(g_{+f})\ \chi_{j_f}(g_{-f}), \tag{15.7}$$

où χ est une fonction de classe sur SU(2), typiquement un caractère, pour assurer l'invariance de jauge. Cette fonction représente une ambiguité de la mesure de l'intégrale, et comme nous le verrons, les modèles du type (15.7) partagent les mêmes propriétés physiques. Lorsque χ est un caractère, cela induit de simples « shifts », i.e. des décalages dans les représentations self-duales (la raison pour laquelle cela ne brise pas la symétrie avec le facteur anti-self-dual sera claire plus bas).

Nous devons trouver une paramétrisation des contraintes (13.6) suffisamment sympathique pour pouvoir effectuer explicitement les intégrales sur les bivecteurs. Les contraintes s'expriment comme : $|\vec{b}_{+f}|^2 = |\vec{b}_{-f}|^2$. Comme nous l'avons détaillé en section 13.2, il existe une rotation $N_f \in \mathrm{SU}(2)$ qui envoie la partie self-duale sur la partie anti-self-duale et qui représente le choix d'une normale au plan défini par $\star B_f$,

$$b_{-f} + \ N_f^{-1}\ b_{+f}\ N_f = 0, \tag{15.8}$$

1. Regardons explicitement le cas $G = \mathrm{SU}(2)$, en écrivant $g = \pm\sqrt{1-\vec{p}^2} + i\vec{p}\cdot\vec{\sigma}$, avec $|\vec{p}| < 1$, et $b = -ib^i\sigma_i/2$. Alors, il vient :

$$\int dbe^{i\,\mathrm{tr}(bg)} = \int d^3be^{i\vec{b}\cdot\vec{p}} = \delta^{(3)}(\vec{p}). \tag{15.5}$$

On montre [98] que cette fonction delta est égale à : $\frac{1}{2}(\delta_{\mathrm{SU}(2)}(g) + \delta_{\mathrm{SU}(2)}(-g)) = \delta_{\mathrm{SO}(3)}(g)$, de sorte que la fonction delta provenant de (15.2) doit être comprise sur $\mathrm{SO}(3)\times\mathrm{SO}(3)$. L'invariance $g \to -g$ provient bien sûr du fait que $\mathrm{tr}(bg)$ ne voit pas le terme $\pm\sqrt{1-\vec{p}^2}$.

en notation matricielle. Puisque les bivecteurs sont définis dans des référentiels déterminés, il faut ici définir les rotations N_f dans ces mêmes repères locaux.

A la place d'imposer ces contraintes directement avec des fonctions delta, nous les introduisons dans l'action à l'aide de multiplicateurs de Lagrange $q_f \in \mathrm{SU}(2)$,

$$S_{\mathrm{diag}} = \sum_f \mathrm{Tr}\big(B_f(v)G_f(v)\big) + \mathrm{tr}\Big[q_f(v)\big(b_{-f}(v) + N_f^{-1} b_{+f} N_f(v)\big)\Big] \tag{15.9}$$

Le choix de multiplicateurs dans SU(2) est ici le plus naturel, du fait que les équations du mouvement obtenues par variations de cette action par rapport à $b_{\pm f}$ leur demandent d'être égaux à des éléments de groupe :

$$g_{-f} = q_f, \quad \text{et} \qquad g_{+f} = N_f\, q_f\, N_f^{-1}. \tag{15.10}$$

Cela implique aussi que g_{+f} et g_{-f} sont dans la même classe de conjugaison.

La mesure de Haar sur SU(2) n'étant pas la mesure de Lebesgue habituellement utilisée pour des multiplicateurs, nous autorisons ici un poids quelconque $\mu(q_f)$ dans la fonction de partition. Cela se traduit bien sûr comme des poids différents sur la quantité à contraindre $(b_{-f} + N_f^{-1} b_{+f} N_f)$ pour chaque face :

$$Z_f = \int dB_f\; e^{i\,\mathrm{tr}(B_f G_f)} \int dh_f\; \widetilde{\delta}_\mu\big(b_{-f} + h_f^{-1} b_{+f} h_f\big), \tag{15.11}$$

avec

$$\widetilde{\delta}_\mu(x_f) = \int_{\mathrm{SU}(2)} dq_f\;\; \mu(q_f)\;\; \exp\big\{i\,\mathrm{tr}[q_f x_f]\big\}. \tag{15.12}$$

A partir des transformations de jauge sur $b_{\pm f}$, on voit que N_f se transforme avec le secteur self-dual à gauche, et le secteur anti-self-dual à droite. q_f se transforme par conjugaison, et on prend donc μ comme une fonction de classe. On peut voir que l'imposition stricte de la contrainte, telle que $\widetilde{\delta}_\mu = \delta$, se produit [2] pour $\mu(q) = |\mathrm{tr}\;\; q|$. Nous allons par la suite trouver une relation précise entre μ et la fonction χ de (15.7).

Puisque l'action est linéaire en les bivecteurs, l'intégrale sur un bivecteur projette les variables restantes sur les équations du mouvement (15.10). Cela s'accompagne d'un facteur de mesure calculé en (A.6) :

$$Z_f = \frac{1}{|\mathrm{tr}(g_{+f})\;\; \mathrm{tr}(g_{-f})|} \int dN_f\, dq_f\;\; \mu(q_f)\;\; \delta\big(g_{-f}\, q_f\big)\;\; \delta\big(g_{+f}\, N_f\, q_f\, N_f^{-1}\big). \tag{15.13}$$

Le multiplicateur de Lagrange a donc pour effet de demander à g_{+f} et g_{-f} d'être conjugués par N_f,

$$Z_f = \frac{\mu(g_{-f})}{|\mathrm{tr}(g_{+f})\;\; \mathrm{tr}(g_{-f})|} \int dN_f\;\; \delta\big(g_{+f}\, N_f\, g_{-f}^{-1}\, N_f^{-1}\big). \tag{15.14}$$

g_{+f} et g_{-f} ont le même angle de classe, et μ est une fonction de classe, donc $\mu(g_{-f}) = \mu(g_{+f})$. La quantité clé dans (15.14), qui fait de ce modèle un modèle non-toplogique, est bien sûr : $\delta(g_{+f} h_f g_{-f}^{-1} h_f^{-1})$, qui concentre l'amplitude sur les configurations classiques (15.10). Remarquons que

$$g_{+f}\, N_f\, g_{-f}^{-1} = G_f \cdot N_f \tag{15.15}$$

n'est autre que le résultat du transport parallèle de la rotation N_f tout autour de la face f, jusqu'à revenir au point de départ. Ainsi l'amplitude sélectionne les holonomies qui laissent le vecteur normal

2. La mesure de Haar sur SU(2) peut être reliée à la mesure de Lebesgue sur $\mathbb{R}^3$ à l'aide du facteur $|\mathrm{tr}\, q|$ qui prend en compte la structure de la loi de composition du groupe et sa compacité (voir en appendice A). Donc nous n'avons pas à strictement parlé $\widetilde{\delta}_\mu = \delta$ dans ce cas, car le domaine d'intégration reste compact. Mais cela a le même effet que la fonction delta, comme on peut le voir en intégrant les bivecteurs en premier lieu. Par ailleurs, un poids trivial donne : $\int dq\; e^{i\,\mathrm{tr}(bq)} = \frac{J_1(|b|)}{|b|}$, dont le maximum est atteint en $|b| = 0$, et J_1 étant la fonction de Bessel de première espèce d'ordre 1, à des coefficients inintéressants près.

N_f^I invariant ! Cette restriction des degrés de liberté des holonomies doit certainement être considérée comme la caractérisation du modèle, de la même manière que l'action de type BF, $\mathrm{Tr}(B_f G_f)$, n'est qu'un principe d'action pour définir le modèle topologique par la condition de courbure nulle, $\delta(G_f)$.

En utilisant le développement standard, $\delta(g) = \sum_j d_j \chi_j(g)$, et l'orthogonalité de ces représentations, les intégrales sur les rotations N_f cnoduisent à :

$$Z_f = \frac{\mu(g_{+f})}{(\mathrm{tr}\ g_{+f})^2} \sum_{j_f} \chi_{j_f}(g_{+f})\ \chi_{j_f}(g_{-f}), \tag{15.16}$$

qui n'est autre que le résultat annoncé (15.7), avec la relation entre les facteurs de mesure : $\mu(g) = (\mathrm{tr}\ g)^2 \chi(g)$. Si l'on souhaite se débarrasser de χ dans l'expression finale, il suffit de choisir $\mu(g) = \mathrm{tr}^2\, g$, ce qui correspond à imposer les contraintes diagonales non pas avec une fonction delta mais plutôt avec

$$\widetilde{\delta}_\mu(\vec{x}) = \frac{J_1(|\vec{x}|) + J_3(|\vec{x}|)}{|\vec{x}|} \quad \Rightarrow \quad \chi = 1. \tag{15.17}$$

Ici, J_1 et J_3 sont des fonctions de Bessel de première espèce, définies par : $J_n(x) = \frac{1}{\pi i^n} \int_0^\pi e^{ix\cos\theta} \cos(n\theta) d\theta$. En particulier, la fonction $(J_1(x) + J_3(x))/x$ est centrée autour de 0 avec une largeur finie. Cela signifie que dse fluctuations autour des contraintes sont autorisées. Mais, ces fuctuations sont très particulières car elles sont telles que l'intégration des bivecteurs amène d'authentiques fonction delta sur le groupe dans (15.14). Puisqu nous souhaitons plutôt construire les modèles de mousses de spins à partir d'intégrales sur le groupe, cette mesure est un choix naturel.

Plus généralement, l'insertion d'un caractère $\mu(g) = \chi_l(g)$ dans la représentation spin l se traduit par le choix :

$$\widetilde{\delta}_{\chi_l}(\vec{x}) = \frac{J_{2l+1}(|\vec{x}|)}{|\vec{x}|} \tag{15.18}$$

De telles fonctions ne sont pas centrées autour de zéro (et s'y annulent même pour tout $l > 1$) ! La maximum est à la place atteint pour une valeur de x qui dépend de l. Le fait que nous obtenons tout de même un modèle du type théorie BF restreinte aux représentations simples de Spin(4) peut se comprendre par la forme spéciale de $\widetilde{\delta}_\mu$, comme transformée de Fourier évaluée sur $b_{-f} + N_f^{-1} b_{+f} N_f$. A la suite de quoi les intégrales sur les bivecteurs, qui apparaissent linéairement dans l'action, projettent sur les configurations satisfaisant la relation clé du modèle, $g_{+f} = N_f g_{-f} N_f^{-1}$.

Introduisons maintenant une nouvelle façon d'insérer les contraintes dans l'intégrale de chemins discrets. Cette façon de procéder se trouve être très naturelle dans le cadre de base utilisé ici et dans la dérivation du modèle BC au chapitre suivant. L'idée est la suivante. Puisque l'équation (15.13) force les variables $q_f \in \mathrm{SU}(2)$ à être des holonomies, il serait préférable d'introduire les contraintes dans l'action d'une manière qui respecte pleinement la structure de groupe et évite les facteurs de mesure du type $(\mathrm{tr}\ g_{-f})^2$. Nous avons en effet procédé plus haut de manière assez naïve. Notre introduction des contraintes dans l'action (15.9) conduit à des formules pas tout à fait naturelles, puisqu'elle donne pour la partie anti-self-duale par exemple, $\mathrm{tr}[b_{-f}(g_{-f} + q_f)]$. C'est justement le fait d'avoir une telle somme d'éléments de groupe qui conduit aux facteurs de mesure $|\mathrm{tr}\, g|$ dans (15.13). Ces derniers n'ont pas un sens physique clair, et il est vraisemblable qu'ils disparaissent si l'on utilise à la place de sommes d'éléments de groupe la loi de composition naturelle de SU(2). L'outil bien adapté à cela est une addition non-commutative, notée ici $\oplus$, qui multiplie les éléments de groupe à la place de les sommer,

$$e^{\mathrm{tr}(bg) \oplus \mathrm{tr}(bh)} \equiv e^{\mathrm{tr}(bgh)} \neq e^{\mathrm{tr}(b(g+h))}. \tag{15.19}$$

Cette opération déforme la composition standard des ondes planes lorsque l'espace des moments est le groupe SU(2), d'une manière naturellement compatible avce la multiplication SU(2). Elle va permettre d'éliminer tous les facteurs de mesure, au sens où elle prend en compte implicitement la mesure (15.17). Cette loi non-commutative est en fait naturelle dès que l'on regarde des théories de jauge sur réseau

impliquant à la fois des éléments d'un groupe de Lie et de son algèbre. En particulier, elle a déjà été considérée dans l'étude des observables dans le modèle de Ponzano-Regge pour la gravité 3d, [92, 93], et plus récemment pour donner une représentation de l'espace de Hilbert des réseaux de spins en termes des flux de la triade (qui sont des variables non-commutatives) [30] ! Une approche équivalente à la notre mais du point de vue plus général des théories des champs sur le groupe de Lie SU(2) (GFT) est présentée par Baratin et Oriti dans [31].

On implémente donc les contraintes diagonales dans l'action par :

$$S^{\oplus}_{\text{diag}} = \sum_f \mathrm{Tr}\Big(B_f(v)\, G_f(v)\Big) \oplus \mathrm{tr}\Big[q_f(v)\big(b_{-f}(v) + N_f^{-1}\, b_{+f}\, N_f(v)\big)\Big], \tag{15.20}$$

$$= \sum_f \mathrm{tr}\big(b_{-f}(v)\, g_{-f}(v)\, q_f(v)\big) + \mathrm{tr}\big(b_{+f}(v)\, g_{+f}(v)\, N_f\, q_f\, N_f^{-1}(v)\big). \tag{15.21}$$

Cette forme est maintenant similaire à celle de l'action (13.4) de type BF, déformée par de faux bivecteurs (i.e. qu'ils ne sont pas dans l'algèbre),

$$\widetilde{B}_f(v) = Q_f(v)\, B_f(v), \qquad \text{with} \qquad Q_f(v) = \big(N_f\, q_f\, N_f^{-1}(v), q_f(v)\big) \tag{15.22}$$

On montre facilement que cette action reproduit les résultats précédents, mais en évitant proprement les facteurs $(\mathrm{tr}\ g_{-f})^2$. Nous obtenons à la place de (15.13),

$$Z^{\oplus}_{\text{diag}} = \int \prod_t dG_t \prod_f Z^{\oplus}_f, \tag{15.23}$$

$$\begin{aligned} \text{avec} \qquad Z^{\oplus}_f &= \int dN_f\ dq_f\ \mu(q_f)\ \delta\big(g_{-f}\, q_f\big)\ \delta\big(g_{+f}\, N_f\, q_f\, N_f^{-1}\big), \\ &= \mu(g_{-f})\ \int dN_f\ \delta\big(g_{+f}\, N_f\, g_{-f}^{-1}\, N_f^{-1}\big). \end{aligned} \tag{15.24}$$

Ainsi, (15.6) est reproduite avec un poids trivial, $k = 0$, et le choix $\mu = 1$. La somme $\oplus$ prend donc en compte de manière naturelle pour les mousses de spins, et implicitement, la mesure (15.17), à travers la structure du groupe SU(2).

Pour terminer, il est intéressant de traiter les contraintes diagonales dans la formulation (13.15) directement, $(\star B_f)_{IJ} N_f^J = 0$. Dans la perpsective de traiter les contraintes de simplicité croisée, on pourra comparer l'effet de cette formule avec le secteur topologique, $(B_f)_{IJ} N_f^J = 0$ (même si bien sûr cela ne change rien dans le résultat final tant que l'on ne regarde que la simplicité diagonale). Cette contrainte étant un 4-vecteur, on peut prendre sa norme et l'insérer dans l'action avec un multiplicateur de Lagrange λ_f. On écrit pour une face l'action BF, $\mathrm{Tr}(B_f G_f) = B_f^{IJ} P_{fIJ}$, et il vient

$$Z_f = \int_{S^3} dN_f \int dB_f \int d\lambda_f\ e^{iB_f^{IJ} P_{fIJ} + i\lambda_f\ (\star B_f)^{IJ} N_{fJ} (\star B_f)_{IK} N_f^K} \tag{15.25}$$

Grâce à la covariance Spin(4), il nous suffit de comprendre cette intégrale pour $N_f = (1, 0, 0, 0)$. Alors, nous avons $B_f^{ij} = 0$ pour $i, j = 1, 2, 3$, de sorte que seules les composantes B_f^{0i} sont libres. Les intégrales sur ces variables donnent donc la contrainte $P_f^{0i} = 0$, ou de manière covariante : $N_{fJ} P_f^{IJ} = 0$, soit :

$$Z_f = \int dN_f\ \delta\Big(N_{fJ}\, P_f^{IJ}\Big) \tag{15.26}$$

qui est bien équivalent à (15.23). Par dualité, imposer à la place la variante « topologique », $N_{fJ} B_f^{IJ} = 0$, amène à la restriction duale : $\epsilon_{IJKL}\, N_f^J P_f^{KL} = 0$.

Chapitre 16

Le modèle de Barrett-Crane

Le modèle de Barrett-Crane (BC), présenté dans [37], fut le premier candidat comme modèle de mousses pour la gravité quantique, en réduisant les degrés de liberté des réseaux de spins pour Spin(4) par des contraintes de simplicité. Ces contraintes sont celles qui permettent de reconstruire un 4-simplexe à partir de bivecteurs sur les triangles, et sont imposées au niveau quantique sur les liens et les noeuds du réseau de spins au bord d'un 4-simplexe. Une présentation dans le cadre de la quantification géométrique de l'espace des phases de cinq tétraèdres de bord fut donnée dans [23]. Le modèle ne définit en fait que l'amplitude assignée aux 4-simplexes, qui se trouve être un symbole appelé 10j, dépendant de dix spins qui représentent les aires des 10 triangles. Celui-ci s'obtient à partir du symbole 15j de Spin(4) en deux étapes. D'abord par restriction aux représentations irréductibles *simples*, i.e. $j_f^+ = j_f^- = j_f$, implémentant ainsi les contraintes de simplicité diagonale, puis par restriction à un unique entrelaceur pour chacun des cinq tétraèdres, noté ι_{BC}. Il s'agit du seul entrelaceur 4-valent dont la décomposition en vertexes 3-valents ne fasse intervenir que des représentations simples, indépendamment du choix de base (pour l'appariement entre les représentations incidentes). C'est ainsi que les contraintes de simplicité croisée sont imposées au niveau de chaque tétraèdre. Le symbole 10j admet la représentation suivante en termes d'intégrales sur SU(2) :

$$\{10j(j_f)\} = \int \prod_{t=1}^{5} dg_t \prod_{f=1}^{10} \chi_{j_f}(g_{u(f)}\, g_{d(f)}^{-1}). \tag{16.1}$$

Autrement dit, un élément de groupe g_t est associé à chacun des cinq tétraèdres. Un triangle f apparaît dans le bord d'exactement deux tétraèdres, notés $u(f), d(f)$. Puis on évalue le caractère $\chi_{j_f}(g_{u(f)}\, g_{d(f)}^{-1})$ entre les deux éléments de groupe correspondants, dans la représentation de spin j_f. Les amplitudes associées aux tétraèdres et triangles ne sont pas clairement définies (on pourra consulter [25] pour une comparaison explicite de différents poids en rapport avec la convergence du modèle).

Aujourd'hui, le modèle BC apparaît comme la quantification EPR pour $\gamma \to \infty$, i.e. sans le paramètre d'Immirzi, ou sans le terme topologique de l'action de Holst (dont on sait l'importance en LQG). Plus précisément, il émerge de la décomposition de $\mathcal{H}_{j_f^+} \otimes \mathcal{H}_{j_f^-}$ sur les représentations irréductibles du sous-groupe SU(2) diagonal (qui stabilise la normale au tétraèdre) par le choix de la représentation triviale. L'entrelaceur ι_{BC} est donc le seul entrelaceur invariant sous $\mathrm{SU}(2)^4_{\mathrm{diag}}$, et peut être vu comme un entrelaceur sur l'espace homogène $S^3 \simeq \mathrm{Spin}(4)/\,\mathrm{SU}(2)$.

On sait [5] qu'il ne reproduit pas la limite semi-classique attendue dans le cadre du calcul du propagateur à un 4-simplexe selon les idées développées au chapitre 8. Il possède néanmoins des propriétés intéressantes au niveau de la géométrie semi-classique. On a notamment pu isoler dans la limite des grands spins du 10j l'action de Regge du 4-simplexe, vue comme fonction des dix aires [42, 43, 96, 24] (mais aussi d'autres termes qui dominent en fait l'asymptotique, provenant notamment

des configurations dégénérées du 4-simplexe).

Dans ce chapitre, nous donnons en suivant les idées présentées au chapitre précédent une présentation du modèle BC comme la fonction de partition d'un système de bivecteurs, B_{ft}, d'holonomies G_{vt} et de normales aux tétraèdres N_t, sur une triangulation. L'action classique de ce système est construite à partir de l'action pour la théorie BF Spin(4), et des contraintes de simplicité sous leur forme linéarisée faisant intervenir les normales N_t. Le calcul exact de la fonction de partition sous forme de sommes sur les mousses de spins est alors possible.

Ayant trouvé une formulation du modèle quantique comme intégrale de chemins pour un système classique, la question est de connaître le comportement classique de celui-ci. Etant donné les variables utilisées, on peut se demander s'il s'agit de géométries de Regge ou non, et quelle en est la dynamique. Ainsi, nous allons montrer que le modèle traite correctement les contraintes de simplicité croisée, bien qu'étant plus simple que les nouveaux modèles EPR/FK, ce qui contribue à le rendre intéressant. Mais nous verrons explicitement qu'il ne parvient pas à intégrer les corrélations entre simplexes adjacents (pour un point de vue différent techniquement, mais équivalent dans cette conclusion, voir [89]). Cela tient au fait que les relations de transport parallèle entre bivecteurs ne sont pas satisfaites aux points stationnaires ! Or nous connaissons depuis 13.4 l'importance de ces relations pour reconstruire des géométries de Regge à partir des bivecteurs et holonomies. De plus nous discutons les équations de la dynamique, qui sont loin d'une version discrète des équations de la relativité générale.

La section 16.1 présente l'action utilisée pour reproduire le modèle, et le calcul correspondant explicite. Un point important de la construction est de considérer comme variables indépendantes des bivecteurs distincts sur chaque 4-simplexe partageant une même face. Il faut alors introduire un processus de collage permettant d'identifier aux points stationnaires les bivecteurs d'une même face. Pour cela nous utilisons des holonomies de bord comme dans [88], mais nous verrons à la section 16.3 sur l'analyse des configurations classiques que ce processus échoue en présence des contraintes de simplicité.

La section 16.2 présente des généralisations du modèle qui mettent en avant le rôle des amplitudes de tétraèdres et de triangles dans les mousses de spins. Dans le secteur topologique, l'équivalent du modèle BC se trouve donné par un modèle restreint aux représentations simples sur les faces, avec des entrelaceurs libres, comme au chapitre précédent, mais avec des poids pour les sous-simplexes différents. Nous verrons également comment une mesure non-triviale dans l'intégrale de chemins conduit à l'apparition des coefficients de fusion. Cela montre que ce sont des objets naturels en présence des contraintes, et que le point clé se trouve encore être les amplitudes des tétraèdres et triangles.

La section 16.4 reprend le programme des relations de récurrence pour les mousses de spins. Nous dérivons une relation de récurrence pour le symbole 10j, que nous interprétons comme codant la propriété géométrique de fermeture d'un 4-simplexe. Cette récurrence est satisfaite dans l'asymptotique pour l'action de Regge fonction des aires du 4-simplexe. Et nous discutons la possibilité de voir cette relation comme une combinaison des mouvements géométriques mis en évidence dans les relations de récurrence sur le symbole 15j à la section 10.

16.1 Une action discrète pour le modèle BC

Nous nous concentrons ici sur la construction d'une action au niveau discret correspondant à la situation simplifiée décrite équation (13.38). C'est-à-dire que nous souhaitons imposer dans un principe d'action de type BF les contraintes de simplicité croisée sur des bivecteurs B_{ft} tous indépendants les uns des autres (ne satisfaisant aucune relation par transport parallèle imposée a priori). Il s'agit de la situation la plus rencontrée dans la littérature (voir notamment [70]). Notre but est bien sûr d'aboutir à un lien clair et propre entre un principe d'action et le modèle de mousses de spins qui en découle. Il a été dit qu'imposer fortement les contraintes de simplicité conduit au modèle BC, alors que le modèle EPR les implémente faiblement (puisqu'elles sont de seconde classe) [85]. On peut aussi lire que le

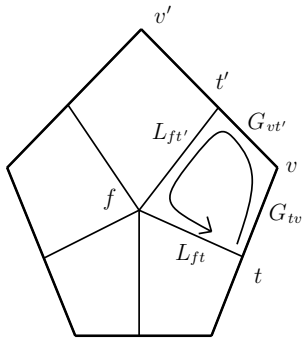

FIGURE 16.1 – Un wedge (f, v) est la portion d'une face duale f contenue dans un 4-simplexe donné v. Du point de vue de la triangulation, cela correspond à éclater la celle-ci en 4-simplexes disjoints. Pour recoller les différentes copies d'un même triangle, on utilise des holonomies L_{ft} le long des bords des wedges, chacune étant associée au tétraèdre commun à chaque paire de 4-simplexes.

modèle BC n'admet pas d'équivalent dans le secteur topologique [89] (du point de vue Freidel-Krasnov, car du point de vue EPR, c'est le modèle EPR !). Notre étude confirme que ces affirmations doivent être tempérées, en insistant sur le fait qu'elles dépendent du processus de quantification envisagé. En effet, le principal résultat de cette section est que le modèle le plus naturel dans ce cadre est le modèle BC. Il est obtenu en imposant les contraintes d'une manière qu'on pourrait qualifiée de faible, i.e. selon la mesure (15.17), ou la loi de composition non-commutative $\oplus$ introduite au chapitre précédent, qui autorise des fluctuations très particulières autour des contraintes. De plus, nous observons bien que le modèle BC correspond à une quantification du secteur géométrique, tandis qu'un équivalent dans le secteur non-géométrique est donné par un modèle du type d'Ooguri simplement restreint par l'utilisation des seules représentations simples de Spin(4), avec des poids particuliers pour les tétraèdres et triangles.

Dans [70], Conrady et Freidel ont fourni un formalisme d'intégrales de chemins pour reproduire les amplitudes du modèle FK. Leur construction présente les mêmes variables que nous (avec la même interprétation physique), et utilise le même processus de collage des simplexes que celui que nous allons présenter. Néanmoins, l'action qu'ils construisent est destinée à offrir une intégrale de chemins reproduisant exactement le modèle FK, et n'est pas une action du type BF. Notre perspective est ici différente puisque nous voulons considérer des intégrales de chemins génériques, fondées sur des actions de type BF discret et sur les contraintes de simplicité, et explorer quels modèles émergent naturellement. Il résulte de notre étude que le modèle le plus naturel dans ce cadre est le modèle BC.

Pour prendre en compte les contraintes sur chaque tétraèdre indépendamment, nous considérons des bivecteurs B_{ft} et des normales N_t telles que, $\epsilon_{IJKL} B^{IJ}_{ft} N^K_t = 0$. Comme nous ne désirons pas explicitement traiter les relations de transport parallèle des bivecteurs, nous allons utiliser le processus de collage développé dans [88]. Celui-ci est en fait souvent utiisé même pour traiter le modèle topologique. Il repose sur un découpage des faces duales aux triangles en « wedges », introduit par Reisenberger []. Un wedge, caratérisé par la donnée d'un triangle et d'un 4-simplexe, (f, v), est la portion de la face duale contenue dans le 4-simplexe v, comme l'illustre la figure 16.1. Du point de vue de la triangulation, cela correspond à un éclatement de cette dernière en 4-simplexes disjoints, et à considérer indépendamment les unes des autres toutes les copies d'un même triangle.

Nous avons alors besoin de rajouter des variables de bord sur les 4-simplexes isolés, qui doivent permettre d'identifier les copies d'un triangle donné. En plus des holonomies G_{vt}, nous considérons donc des holonomies de bord $L_{ft} \in \mathrm{Spin}(4)$, longeant les bords des wedges. Autrement dit, les variables L_{ft} discrétisent la connexion sur les liens qui joignent le « centre » d'une face duale aux liens formant le

bord de la face (voir figure 16.1). L'orientation de chaque face duale induit une orientation sur chaque wedge qui donne un sens de parcours entre les liens duaux aux tétraèdres t et t'. Nous noterons donc un wedge plutôt par la paire (f,t) correspondante (car nos bivecteurs et normales sont plutôt définis sur les référentiels des tétraèdres). Avec les holonomies entre simplexes de dimension 3 et 4, G_{vt}, et les holonomies de bord, L_{ft}, nous pouvons former une holonomie de wedge G_{ft}, se transformant par conjugaison en t,

$$G_{ft} = L_{ft}\, L_{ft'}^{-1}\, G_{vt'}^{-1}\, G_{vt}. \tag{16.2}$$

Ces holonomies permettent de construire une action pour le modèle topologique, en les couplant aux bivecteurs,

$$\sum_{(f,\tau)} \mathrm{Tr}\,\big(B_{f\tau}\, G_{f\tau}\big). \tag{16.3}$$

Naturellement, cette action est différente de l'action $\mathrm{Tr}(B_f(t)G_f(t))$, (13.4), puisqu'elle n'utilise même pas les mêmes variables. Mais la fonction de partition obtenue en intégrant les B_{ft}, G_{vt} et L_{ft} est bien celle du modèle topologique. Les équations du mouvement sont intéressantes à regarder. Les variations des bivecteurs, des holonomies G_{vt} et L_{ft} conduisent respectivement à :

$$G_{ft} = \mathbb{1}, \tag{16.4}$$

$$\sum_{f\in\partial t} \epsilon_{ft}\, B_{ft} = 0, \tag{16.5}$$

$$B_{ft} = \mathrm{Ad}\big(G_{tt'}\big)\; B_{ft'}, \tag{16.6}$$

où dans la deuxième équation $\epsilon_{ft} = \pm$ code l'orientation relative de la face duale et du lien dual, et dans la troisième équation t et t' sont deux tétraèdres voisins (d'un même 4-simplexe), et $G_{tt'} = G_{vt}^{-1} G_{vt'}$. On reconstruit la courbure concentrée autour des triangles par le produit des holonomies de wedge d'une face donnée (conjuguées par L_{ft}^{-1}). Ainsi, la première équation reproduit bien : $G_f = \mathbb{1}$. La deuxième équation est la relation de fermeture du tétraèdre t, ce qui confirme son interprétation comme la contrainte de Gauß (elle est obtenue par variation des holonomies G_{vt}), engendrant les transformations de jauge au niveau canonique. Quant à la troisième équation, c'est en quelque sorte la raison d'être des holonomies de bord : elles permettent classiquement d'obtenir les relations de transport parallèle des bivecteurs !

Il est important de souligner que les deux équations de fermeture et transport parallèle des bivecteurs sont obtenues *après simplification* par l'équation de courbure nulle $G_{ft} = \mathbb{1}$! Il n'est pas évident qu'elles puissent toujours tenir en présence de « sources » pour les holonomies...

Nous pourrions alors comme au début du chapitre précédent, introduire les contraintes de simplicité (13.14), à l'aide de multiplicateurs de Lagrange $q_{ft} \in \mathrm{SU}(2)$ en ajoutant à l'action (16.3) le terme :

$$\sum_{(f,t)} \mathrm{tr}\Big[q_{ft}\big(b_{-ft} + N_t^{-1}\, b_{+ft}\, N_t\big)\Big]. \tag{16.7}$$

Le modèle de mousses de spins qui en résulte est présenté dans [59]. En utilisant la mesure de largeur finie (15.17) autour des contraintes, il s'agit du modèle BC. Le choix « naturel » de cette mesure tient au fait que l'action totale implique des sommes déléments de groupe du type : $\mathrm{tr}[b_{-f\tau}(g_{-f\tau} + q_{f\tau})]$. Comme nous l'avons expliqué au chapitre précédent, il est possible d'oublier ces subtilités, qui sont alors codées de manière naturelle dans la structure du groupe SU(2), en utilisant la loi de composition (15.19), bien adaptée à cette structure. L'action correspondante s'écrit :

$$S_{\mathrm{BC}}(B_{ft}, G_{vt}, L_{ft}, N_t, q_{ft}) = \sum_{(f,t)} \mathrm{tr}\big(b_{-ft}\, g_{-ft}\, q_{ft}\big) + \mathrm{tr}\big(b_{+ft}\, g_{+ft}\, N_t q_{ft} N_t^{-1}\big). \tag{16.8}$$

Les configurations classiques et la proximité de cette action avec les idées de la quantification EPR seront étudiées à la section suivante 16.3. Nous montrons ici comment cette action reproduit bien le modèle BC. Nous intégrons d'abord sur les bivecteurs B_{ft}, qui sont rappelons-le tous *indépendants*, selon la formule usuelle :

$$\int_{\mathbb{R}^3} d^3 b_{+ft}\; e^{i\,\mathrm{tr}(b_{+ft}\, g_{+ft}\, N_t q_{ft} N_t^{-1})} = \delta\big(g_{+ft}\, N_t\, q_{ft}\, N_t^{-1}\big), \tag{16.9}$$

et de même pour le secteur anti-self-dual. Les intégrales sur les multiplicateurs q_{ft} s'effectuent comme pour la contrainte diagonale du chapitre précédent,

$$\int_{\mathrm{SU}(2)} dq_{ft}\; \delta\big(g_{+ft}\, N_t\, q_{ft}\, N_t^{-1}\big)\, \delta\big(g_{-ft}\, q_{ft}\big) = \delta\big(g_{+ft}\, N_t\, g_{-ft}^{-1}\, N_t^{-1}\big). \tag{16.10}$$

Tout comme le modèle topologique est construit sur la contrainte de courbure nulle, $\delta(G_f)$, la fonction delta apparaissant ici peut être vue comme la caractérisation ou la définition du mod'ele BC : les holonomies du wedge, $g_{\pm ft}$, sont reliées par conjugaison par la normale N_t, ou de manière équivalente, le transport parallèle autour du wedge doit laisser la normal invariante, $g_{+ft} N_t g_{-ft}^{-1} = N_t$.

L'étape clé consiste ensuite à intégrer les holonomies de bord L_{ft}, de manière à recoller les wedges de chaque face (de manière consistente ou non, cela sera détaillé à la section suivante). Pour cela, on développe les fonctions delta de la formule ci-dessus sur les caractères des représentations irréductibles de SU(2), puis chaque caractère en somme de produits d'éléments de matrices des variables concernées. Puisque chaque élément L_{ft} n'apparaît que deux fois pour chaque face, sur deux wedges voisins, il suffit d'invoquer la relation d'orthogonalité des éléments de matrices des représentations. On voit facilement que ces intégrales identifient tous les spins associés aux wedges d'une face à un seul spin noté j_f. L'intégrale sur une variable L_{ft} va alors recombiner les deux caractères des wedges voisins en deux caractères différents, et cela se fait successivement tout autour de la face. En prenant en compte les facteurs de dimension des représentations, on aboutit pour une face f à :

$$\int \prod_t dL_{ft} \prod_{\text{wedges de } f} \delta\big(g_{+ft}\, N_t\, g_{-ft}^{-1}\, N_t^{-1}\big) = \sum_{j_f} d_{j_f}^2 \prod_v \frac{1}{d_{j_f}}\, \chi_{j_f}\big(g_{+tt'}\, N_{t'}\, g_{-tt'}^{-1}\, N_t^{-1}\big). \tag{16.11}$$

Le produit sur les vertexes duaux à tous les 4-simplexes v partageant f correspond à un produit sur les wedges de la face duale à f. Par ailleurs, $g_{\pm tt'} = g_{\pm vt}^{-1} g_{\pm vt'}$, où t, t' sont les deux tétraèdres partageant le triangle f dans le 4-simplexe v.

On sait (on suspectait) que le modèle BC manque de corrélations entre 4-simplexes voisins. Pourtant il semble ici qu'en prenant une normale par tétraèdre nous soyons bien parti (c'est ce que nous demande de faire les contraintes de simplicité), étant donné que cette normale est partagée par les deux 4-simplexes v, v' collés le long de t. Mais en fait, ceci n'est vrai qu'à du transport parallèle près ; il ne faut pas oublier les degrés de liberté des variables G_{vt}. Ainsi une normale N_t doit être transportée différemment vers les 4-simplexes v et v', et prend alors les formes :

$$N_{tv} = g_{+vt}\, N_t\, g_{-vt}^{-1}, \quad \text{et} \qquad N_{tv'} = g_{+v't}\, N_t\, g_{-v't}^{-1}. \tag{16.12}$$

Les 4-vecteurs correspondants s'interprètent bien sûr comme la normale à t vu dans le référentiel de v. Les caractères qui interviennent dans (16.11) se lisent alors : $\chi_{j_f}(N_{t'v}\, N_{tv}^{-1})$, i.e. qu'ils comparent les normales de tétraèdres adjacents dans leur référentiel commun, celui de v. En fait, la définition (16.12) se comprend aussi comme un changement de variables sur disons g_{+vt}, qui absorbe sur sa droite $N_t g_{-vt}$. Ce qui en fait un changement de variables efficace, c'est que l'holonomie g_{+vt} n'apparaît que sous cette forme, i.e. uniquement pour transporter la normale N_t dans le référentiel du 4-simplexe v ! Ainsi, les intégrales sur N_t et g_{-vt} sont triviales (avec des mesures de Haar normalisées).

Notons comme rappelé dans [121] que les caractères apparaissant dans (16.11) peuvent aussi s'écrire, dans la jauge temps $N_t = \mathbb{1}$, comme l'élément de matrices $\langle J_f 0 | G_{vt}\, G_{vt'}^{-1} | J_f 0\rangle$, où $|J_f 0\rangle$

est le seul état dans la représentation $J_f = (j_f, j_f)$ de Spin(4) qui soit invariant sous le sous-groupe SU(2) diagonal (sans la jauge temps, sous le sous-groupe SU(2) qui laisse la normale invariante), C'est bien ce qui caractérise le modèle BC.

En rassemblant ces résultats pour chaque triangle, on obtient la fonction de partition dans le langage des mousses de spins, pour lesquelles l'amplitude des 4-simplexes est donnée par le symbole 10j de Barrett-Crane, que l'on retrouve sous forme d'intégrales (16.1) :

$$Z_{\mathrm{BC}} = \sum_{\{j_f\}} \prod_f d_{j_f}^2 \prod_t \frac{1}{\prod_{f\subset\partial t} d_{j_f}} \prod_v \left[\int \prod_{t\subset\partial v} dN_{vt} \prod_{f\subset\partial v} \chi_{j_f}\left(N_{vt}\, N_{vt'}^{-1}\right) \right]. \tag{16.13}$$

L'amplitude sur les faces est celle souvent utilisée par convention, i.e. comme provenant du modèle topologique. Mais nous l'obtenons ici différemment, par un calcul complet, sans trous. L'amplitude des tétraèdres est celle utilisée dans [121], et proposée dans [137] comme alternative à celles de [141] et [74].

16.2 Quelques généralisations : de l'importance des amplitudes des tétraèdres et triangles

Nous gardons le même cadre d'étude, à savoir l'utilisation de bivecteurs B_{ft} tous indépendants et de wedges pour imposer les contraintes sur chaque simplexe. Nous présentons brièvement deux généralisations du modèle BC, détaillées dans [59], obtenues respectivement en passant dans le secteur non-géométrique et en utilisant une mesure quelconque pour les multiplicateurs de Lagrange q_{ft}.

En ce qui concerne le secteur topologique, ou plutôt non-géométrique puisqu'aucun des modèles proposé n'est topologique (!), les différentes quantifications conduisant aux mousses de spins entraînent différentes conclusions ! Pour la quantification à la EPR, l'équivalent du modèle BC pour $\gamma \to 0$ n'est autre que le modèle EPR [86]. Pour la quantification à la FK, son équivalent n'existe tout simplement pas [89]. Ici, nous obtenons encore un résultat différent : l'équivalent non-géométrique du modèle BC est un modèle de type Ooguri Spin(4) dont les représentations sur les triangles sont simples, comme dans le chapitre 15, et avec des amplitudes bien particulières sur les tétraèdres et triangles. Ce résultat est obtenu en insérant les contraintes de simplicité dans l'intégrale de chemins sur réseau *avant* l'intégration des bivecteurs. Il nous permet donc en comparaison avec le modèle du chapitre 15 d'insister sur l'importance des amplitudes des tétraèdres et triangles dans les modèles, qui peuvent traduire des situations physiques totalement différentes touten ayant la même amplitude de 4-simplexe.

Puis nous regardons l'influence de la mesure des multiplicateurs de Lagrange, ce qui révèle l'apparition des coefficients de fusion, ingrédients clé des nouveaux modèles ! Cela montre en fait que ces coefficients, qui entrelacent les spins self-duaux et anti-self-duaux sont des objets très naturels dès lors que l'on s'intéresse au contraintes de simplicité croisée. Ce calcul nous permet de plus d'insiter à nouveau sur l'importance des amplitudes des tétraèdres et triangles ! En effet, notre construction reproduit précisément les amplitudes des modèles EPR/FK pour un 4-simplexe, mais les amplitudes des plus petits simplexes de ces modèles sont ici hors de portée !

16.2.1 Le secteur non-géométrique et les représentations simples de Spin(4)

Les contraintes à insérer sont obtenues par changement du signe dans la relation entre les parties self-duale et anti-self-duale des bivecteurs :

$$b_{-ft} - \mathrm{Ad}\big(N_t^{-1}\big)\; b_{+ft} = 0. \tag{16.14}$$

Pour les prendre en compte dans l'action, l'approche naïve est d'ajouter au terme de type BF avec wedge (16.3) le terme :

$$\sum_{(f,t)} \mathrm{tr}\Big[q_{ft}\big(b_{-ft} - N_t^{-1}\, b_{+ft}\, N_t\big)\Big], \tag{16.15}$$

pour des multiplicateurs de Lagrange $q_{ft} \in \mathrm{SU}(2)$. La question est ensuite de savoir comment le changement de signe se traduit dans l'utilisation de la loi de composition non-commutative $\oplus$, qui permet de combiner les contraintes avec (16.3) d'une manière naturelle sur le groupe et l'algèbre de Lie. Cela est très simple, il suffit de remarquer que : $\mathrm{tr}(bq^{-1}) = -\,\mathrm{tr}(bq)$. Ainsi, nous n'avons qu'à changer q_{ft} en q_{ft}^{-1} dans la *partie sef-duale* de l'action conduisant au modèle BC,

$$S_{\mathrm{non-geo}}(B_{ft}, G_{vt}, L_{ft}, N_t, q_{ft}) = \sum_{(f,t)} \mathrm{tr}\big(b_{-ft}\, g_{-ft}\, q_{ft}\big) + \mathrm{tr}\big(b_{+ft}\, g_{+ft}\, N_t q_{ft}^{-1} N_t^{-1}\big). \tag{16.16}$$

Les intégrales sur les bivecteurs et les multiplicateurs dans la fonction de partition se font comme à la section précédente, et conduisent à :

$$\prod_{(f,t)} \delta\big(g_{+ft}\, N_t\, g_{-ft}\, N_t^{-1}\big). \tag{16.17}$$

Par rapport au modèle BC, g_{-ft}^{-1} a été changé en g_{-ft}. Étant donné les règles de transport parallèle des normales N_t, la condition imposée par ces fonctions delta est que la normale est laissée invariante par transport autour du wedge, non plus sous l'action de l'holonomie G_{ft} comme dans le modèle BC, mais sous l'action de :

$$G_{\mathrm{non-geo}ft} \;\cdot\; N_t = g_{+\mathrm{non-geo}ft}\, N_t\, g_{-\mathrm{non-geo}ft}^{-1} = N_t, \quad \text{pour} \qquad G_{\mathrm{non-geo}ft} = (g_{+ft}, g_{-ft}^{-1}). \tag{16.18}$$

Malheureusement, le modèle obtenu après intégration des holonomies de bord L_{ft} n'est pas bien défini au sens où il dépend de la parité du nombre de liens duaux autour de chaque face duale. La solution fournie dans [59] est de découper chaque wedge en demi-wedge, et d'imposer les contraintes à artir de ces demi-wedges. Du point de vue de la triangulation, ce redécoupage signifie que l'on éclate le bord de chacun des 4-simplexes isolés en tétraèdres disjoints. Les différentes copies d'un même triangle portent alors des bivecteurs indépendants, B_{ftv}. Le recollement de tous ces demi-wedges autour d'une face se fait dans la fonction de partition grâce à l'introduction d'holonomies de bord supplémentaires L_{fv} sur les tétraèdres disjoints de chaque 4-simplexe. On aboutit par cette procédure au calcul suivant :

$$Z_{\mathrm{non-geo}} = \int \prod_t dG_t \sum_{\{j_f\}} \prod_t \frac{1}{\prod_{f\subset\partial t} d_{j_f}^2} \prod_f d_{j_f}^2\; \chi_{j_f}\big(g_{+f}\big)\; \chi_{j_f}\big(g_{-f}\big), \tag{16.19}$$

$$= \sum_{\{j_f\}} \sum_{\{(i_{+t}, i_{-t})\}} \prod_f d_{j_f}^2 \prod_t \frac{1}{\prod_{f\subset\partial t} d_{j_f}^2} \prod_v 15j_{\mathrm{Spin}(4)}\big((j_f, j_f); (i_{+t}, i_{-t})\big). \tag{16.20}$$

Le modèle s'interprète donc immédiatement comme un modèle restreint aux représentations simples de Spin(4) sur les triangles, mais libre sur les intrelaceurs. Si l'amplitude du 4-simplexe est bien la même que dans le modèle du chapitre 15, ces modèles diffèrent quant aux amplitudes des tétraèdres et triangles. Ainsi, le fait que les modèles soient construits sur des contenus physiques très différents, à savoir la simplicité des bivecteurs isolément ou la simplicité croisée dans le secteur non-géométrique, ne se traduit *pas* par des amplitudes de 4-simplexes différentes, mais uniquement dans les amplitudes des plus petits simplexes ! Il me semble que c'est un phénomène peu considéré dans la littérature qui insiste plutôt sur les informations physiques codées dans l'amplitude d'un 4-simplexe, et pour lequel nous avons ici un exemple non-trivial.

16.2.2 Apparition des coefficients de fusion

Jusqu'à maintenant, nos constructions d'intégrales de chemins sur réseau n'ont pas fait apparaître les coefficients de fusion, une des caractéristiques principales des nouveaux modèles EPR/FK, si ce n'est des coefficients de fusion trivialisés par la projection sur le sous-espace invariant sous le sous-groupe SU(2) diagonal. Pour en obtenir de non-triviaux, il faut entrelacer les représentations self-duale et anti-self-duale de chaque triangle sous l'effet du sous-groupe SU(2) diagonal. Pour cela nous insérons un poids non-trivial sur les multiplicateurs $q_{ft} \in \mathrm{SU}(2)$. Nous choisissons donc une représentation k_{ft} fixée pour chaque paire triangle-tétraèdre et regardons de près la quantité :

$$Z_{\{k_{ft}\}} = \int \prod_{(f,t)} dq_{ft}\, dL_{ft}\ \chi_{k_{ft}}\big(q_{ft}\big)\ \delta\big(g_{-ft} q_{ft}\big)\ \delta\big(N_t^{-1}\, g_{+ft}\, N_t\, q_{ft}\big). \tag{16.21}$$

Bien sûr la condition d'invariance de la normale N_t sous le transport autour du wedge par G_{ft} tient toujours, comme on le voit :

$$Z_{\{k_{ft}\}} = \int \prod_{(f,t)} dL_{ft}\ \chi_{k_{ft}}\big(g_{+ft}\big)\ \delta\big(N_t^{-1}\, g_{+ft}\, N_t\, g_{-ft}^{-1}\big). \tag{16.22}$$

Néanmoins, pour garder la symétrie explicite entre les secteurs self-duaux et anti-self-duaux, il est préférable d'ntégrer sur q_{ft} en développant les caractères et fonctions delta de (16.21) sur les éléments de matrices des représentations de SU(2). On voit alors en utilisant la formule (A.14) pour q_{ft} que les représentations self-duale et anti-self-duale pour chaque wedge sont entrelacées via la représentation de spin k_{ft}. Les intégrales de collage des wedges, sur L_{ft} se font toujours grâce à l'orthogonalité des matrices de représentations. On aboutit à :

$$Z_{\{k_{ft}\}} = \sum_{\{j_f^+, j_f^-\}} \prod_f d_{j_f^+} d_{j_f^-} \prod_{(f,v)} \begin{pmatrix} j_f^+ & j_f^- & k_{ft'} \\ a_{ft'}^+ & a_{ft'}^- & m_{ft'} \end{pmatrix} \begin{pmatrix} j_f^+ & j_f^- & k_{ft} \\ b_{ft}^+ & b_{ft}^- & m_{ft} \end{pmatrix}$$
$$\langle j_f^+, a_{ft'}^+|\ N_{t'}^{-1}\, g_{+vt'}^{-1}\, g_{+vt}\, N_t\ |j_f^+, b_{ft}^+\rangle\ \langle j_f^-, a_{ft'}^-|\ g_{-vt'}^{-1}\, g_{-vt}\ |j_f^-, b_{ft}^-\rangle. \tag{16.23}$$

Les notations $a_{ft}^{\pm}, b_{ft}^{\pm}$ et m_{ft} représentent des nombres magnétiques des représentations $j_f^{\pm}$ et k_{ft}, et sont implicitement sommés. Les symboles $3mj$ de Wigner, entre parenthèses, réalisent l'entrelacement recherché : $\mathcal{H}_{j_f^+} \otimes \mathcal{H}_{j_f^-} \to \mathcal{H}_{k_{ft}}$ (à une dualisation de k_{ft} près).

Pour extraire la représentation en mousses de spins, nous n'avons plus qu'à intégrer sur les holonomies (les normales N_t pouvant être réabsorbées à droite dans les variables g_{+vt}, grâce à l'invariance de la mesure de Haar). Les intégrales sur $g_{\pm vt}$ produisent l'identité sur l'espace invariant $\mathrm{Inv}(\oplus_{f=1}^4 \mathcal{H}_{j_f^{\pm}})$ du produit tensoriel des quatre spins $j_f^{\pm}$ se rencontrant au tétraèdre t. Cette identité se développe sur les entrelaceurs 4-valents caractérisés par les spins intermédiaires $i_{vt}^{\pm}$. Ces entrelaceurs se contractent entre les cinq tétraèdres de chaque 4-simplexe, formant des symboles 15j, et se contractent de l'autre côté avec les entrelaceurs $\mathcal{H}_{j_f^+} \otimes \mathcal{H}_{j_f^-} \to \mathcal{H}_{k_{ft}}$. Il devient évident alors que l'on peut faire apparaître les coefficients de fusion. Cela se fait en insérant l'identité sur l'espace invariant $\mathrm{Inv}(\oplus_{f=1}^4 \mathcal{H}_{k_{ft}}$ à chaque t'etraèdre, identité qui se développe aussi sur une base orthogonale d'entrelaceurs 4-valents caractérisés par un spin l_t (voir illustration figure 16.2). Il vient :

$$Z_{\{k_{ft}\}} = \sum_{\{j_f^+, j_f^-\}, \{l_t\}} \prod_f d_{j_f^+} d_{j_f^-}\ \prod_t d_{l_t}\ \prod_v W_v(j_f^+, j_f^-, k_{ft}, l_t), \tag{16.24}$$

où W_v n'est autre que l'amplitude des nouveaux modèles EPR/FK donnée en (14.34).

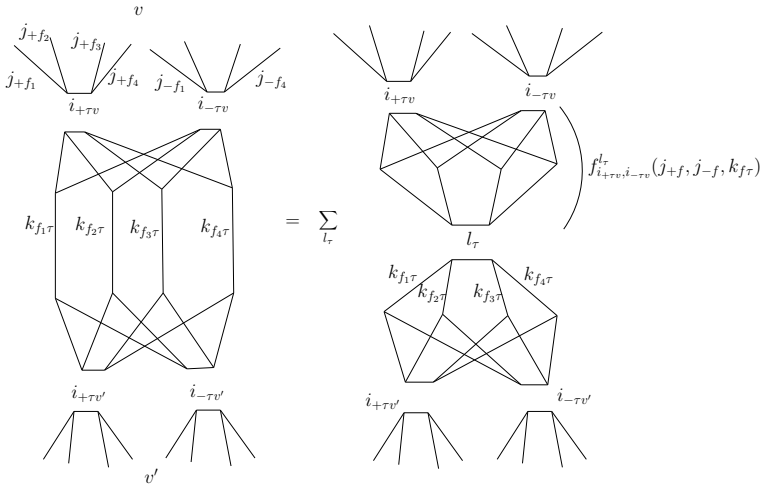

FIGURE 16.2 – C'est ce qui résulte des intégrales sur les éléments de groupe de la fonction de partition. Le graphe du milieu à gauche peut être vu comme une amplitude de tétraèdre, mais il est préférable de faire le développement du membre de droite, de sorte que l'on forme les coefficients de fusion et la même amplitude, structurellement, que dans les nouveaux modèles. Les triangles apparaissent ici comme liens des graphes et portent des représentations irréductibles (j_{+f}, j_{-f}), qui sont entrelacées au niveau des tétraèdres avec les représentations k_{ft}.

Puisque l'amplitude des 4-simplexes est la même que dans les nouveaux modèles, quelques commentaires sont de rigueur. Quelles sont les différences ? Tout d'abord, les représentations des triangles ne sont simples, $j_f^+ \neq j_f^-$. Par ailleurs, il faut se demander comment sommer ces amplitudes W_v ! En effet, les représentations k_{ft} sont ici fixées au préalable, i.e. *avant* le développement sur les spins $j_f^\pm, l_t$. Ainsi, il n'est possible de sommer $Z_{\{k_{ft}\}}$ qu'avec des coefficients ne dépendant que des spins k_{ft}. En revanche, dans les modèles EPR/FK, les amplitudes des tétraèdres portent des couplages entre k_{ft} et les autres spins sommés, tels que (14.38) : $\begin{pmatrix} j_f^+ & j_f^- & k_{ft} \\ j_f^+ & -j_f^- & j_f^- - j_f^+ \end{pmatrix}$, impossibles à obtenir ici.

16.3 Le modèle BC au niveau classique : problème de collage

Il est intéressant de réécrire cette proposition en introduisant une source de courbure Spin(4) sur chaque wedge, notée Q_{ft}, telle que

$$S_{\mathrm{BC}} = \sum_{(f,t)} \mathrm{Tr}\big(B_{ft}\, G_{ft}\, Q_{ft}\big), \tag{16.25}$$

et que l'on contraint à être de la forme :

$$Q_{ft} = (N_t\, q_{ft}\, N_t^{-1}, q_{ft}). \tag{16.26}$$

Cela signifie que Q_{ft} est contraint à être dans le sous-groupe SU(2) qui préserve la normale au tétraèdre t :

$$Q_{ft} \;\cdot\; N_t \;=\; q_{+ft}\, N_t\, q_{-ft}^{-1} \;=\; N_t, \tag{16.27}$$

ou de manière équivalente :

$$(Q_{ft})^I{}_J\, N_t^J = \big((N_t, \mathbb{1})\,(q_{ft}, q_{ft})\big)^I{}_J\,(1,0,0,0)^J = N_t^I. \tag{16.28}$$

Nous avons utilisé la représentation matricielle standard sur $\mathbb{R}^4$, dans laquelle (q_{ft}, q_{ft}) est une rotation de l'espace 3d orthogonal au vecteur $(1,0,0,0)$. Dans la jauge temps, $N_t = \mathbb{1}$, on voit immédiatement que lorsque q_{ft} parcourt SU(2), alors Q_{ft} parcourt le sous-groupe SU(2) diagonal. On comprend ainsi que c'est l'intégrale sur q_{ft} dans la fonction de partition qui génère l'invariance SU(2) diagonal spécifique au modèle BC. C'est la manière dont l'intégrale du chemins réalise la projection de $\mathcal{H}_{(j,j)} = \oplus_{k=0}^{2j}\mathcal{H}_k$ sur le sous-espace invariant $k=0$, du point de vue de la quantification EPR pour $\gamma \to \infty$.

On peut aussi voir de la sorte pourquoi notre construction dans le secteur non-géométrique ne conduit pas au modèle EPR. Celui-ci s'obtient par projection de $\mathcal{H}_{(j,j)} = \oplus_{k=0}^{2j}\mathcal{H}_k$ sur le sous-espace (non-invariant) $k = 2j$. Or, dans la jauge temps, notre construction appliquée au secteur non-géométrique demande à la source Q_{ft} d'être non plus une rotation 3d mais un « boost »,

$$Q_{\text{non-geo}ft} = (q_{ft}^{-1}, q_{ft}). \tag{16.29}$$

La moyenne sur ces boosts dans la fonction de partition ne réalise pas du tout de projection sur le sous-espace $k = 2j$.

On s'attend bien sûr à ce que les configurations classiques de l'action S_{BC} jouent un rôle important dans l'évaluation des amplitudes (limite semi-classique, calcul des divergences par exemple), bien que la façon dont cela se fait ne soit pas forcément encore très claire – et dépende du modèle. Nous nous contentons d'étudier ici les équations des points stationnaires de l'action S_{BC}. L'équation la plus simple est celle obtenue par les variations des bivecteurs, équation que l'on connaît déjà car l'action étant linéaire en les bivecteurs, l'amplitude du modèle est piquée par des fonctions delta sur ces configurations (16.9),

$$Q_{ft} = G_{ft}^{-1} \qquad \Rightarrow \qquad G_{ft} \cdot N_t = g_{+ft}\, N_t\, g_{-ft}^{-1} = N_t. \tag{16.30}$$

La première équation exprime les multiplicateurs de Lagrange en fonction des holonomies de wedge, et la deuxième nous dit que la normale N_t est préservée par le transport parallèle autour du wedge. Comme nous l'avons déjà pointé, cette deuxième équation peut être pensée comme la définition du modèle BC, à l'instar de $\delta(G_f)$ pour le modèle topologique – auquel cas la discussion sur les bivecteurs et les contraintes permet de justifier la définition et d'extraire l'interprétation physique. Une formulation équivalente est de dire que l'holonomie de wedge est restreinte à la forme :

$$G_{ft} = (N_t\, g_{-ft}\, N_t^{-1}, g_{-ft}) \in \mathrm{SU}(2)_{N_t}, \tag{16.31}$$

similaire à celle de Q_{ft}. Dans le secteur non-géométrique l'holonomie de wedge n'est plus une rotation du sous-groupe SU(2) stabilisant N_t, mais en revanche l'élément (g_{+ft}, g_{-ft}^{-1}) l'est ! Ce qui signifie que G_{ft} est plutôt un « boost », la direction « temps » étant celle de la normale N_t^I,

$$\text{(secteur non-géométrique)} \qquad G_{ft} = (N_t\, g_{-ft}^{-1}\, N_t^{-1}, g_{-ft}). \tag{16.32}$$

Ainsi, nous pouvons apprécier le fait que comme dans le continu les deux secteurs solutions des contraintes de simplicité sont bien reliés par la dulaité de Hodge sur Spin(4) (qui envoie les générateurs des rotations sur les boosts et réciproquement) !

Nous discuterons en conclusion du chapitre le fait que l'holonomie de wedge soit dans le sous-groupe $\mathrm{SU}(2)_{N_t}$, et l'utilisons pour le moment pour simplifier les autres équations du mouvement. La variation de q_{ft} reproduit bien la contrainte de simplicité croisée (13.14). Les variations des holonomies G_{vt} et des normales N_t donnent les relations de fermeture suivantes :

$$\sum_{f\subset\partial t} B_{ft} = 0 \quad \text{et} \qquad \sum_{f\subset\partial t} G_{ft}\, B_{ft}\, G_{ft}^{-1} = 0 \tag{16.33}$$

La première relation est bien sûr la relation de fermeture des tétraèdres, (13.8), fortement attendue puisqu'elle est nécessaire à la reconstruction de le géométrie simplicielle, en tant que contrainte de

simplicité (voir section 13.1). Dans la théorie BF discrète, la deuxième relation est équivalente à la fermeture du fait qu'alors $G_{ft} = \mathbb{1}$. Mais ce n'est plus le cas ici à cause de la présence des variables Q_{ft} apparaissant comme sources pour les holonomies de wedge (16.30). Nous avons donc une équation non-triviale qui demande que la fermeture soit toujours valable après transport parallèle des bivecteurs autour de leurs wedges respectifs.

Grâce à la relation de fermeture et aux contraintes de simplicité croisée, nous sommes assurés de la metricité des bivecteurs pour chaque tétraèdre indépendamment les uns des autres. En fait, puisque nous avons utilisé un bivecteur B_{ft} par wedge, i.e. pour un triangle dans un 4-simplexe, nous pouvons considéré que la métricité est garantie dans les 4-simplexes indépendamment les uns des autres. Il nous faut donc étudier la façon dont les holonomies de bord L_{ft} prennent en charge le recollage des 4-simplexes que nous avons isolés les uns des autres par le découpage des faces en wedges. Un tel collage est une opération non-triviale, et le fait qu'il fonctionne dans l'action (16.3) de type BF est fortement lié à la particularité du modèle topologique d'avoir une courbure triviale. En fait, puisque l'action S_{BC} a la même structure : $\mathrm{Tr}(B_{ft}\widetilde{G}_{ft})$, pour $\widetilde{G} = GQ$, menant en particulier aussi à une équation de trivialité sur $G_{ft}Q_{ft}$, les variations de L_{ft} conduisent aussi à une équation impliquant le transport parallèle des bivecteurs. Mais celle-ci est déformée par la présence de la « sources » Q_{ft}. Si t_1 et t_2 sont deux tétraèdres adjacents, associés à des wedges voisins pour le triangle f, nous obtenons en effet :

$$G_{t_1t_2}\, B_{ft_2}\, G^{-1}_{t_1t_2} = Q_{ft_1}\, B_{ft_1}\, Q^{-1}_{ft_1} \neq B_{ft_1}. \tag{16.34}$$

Ce qui signifie que le collage des simplexes de se fait pas de manière consistente, et donc de même pour la reconstruction de la géométrie à partir des bivecteurs ! Ainsi les raisonnements des sections 13.2 et 13.4 ne peuvent plus s'appliquer. En particulier, la relation (13.19) entre les normales N_{t_1}, N_{t_2} des tétraèdres adjacents ne tient plus, car la différence entre les normales, $N_{t_1}(v)N^{-1}_{t_2}(v)$, n'est plus dans le sous-groupe U(1) stabilisant $b_{+ft_2}(v)$. Géométriquement, cela qui signifie que N_{t_1} n'est pas contenu dans le plan orthogonal au bivecteur $\star B_{ft_2}$. Ainsi, on voit que les corrélations entre simplexes adjacents ne sont pas correctement prises en compte dans le modèle BC.

16.4 Une relation de récurrence sur l'amplitude du 4-simplexe

Dans la lignée des idées développées à la partie IV, nous dérivons et étudions une relation de récurrence sur le symbole 10j du modèle BC. S'il est loin d'être évident, voire peu vraisemblable, que cette relation traduise une symétrie associée à la contrainte hamiltonienne, il n'en reste pas moins qu'elle code une propriété géométrique du 4-simplexe que nous identifions comme sa relation de fermeture, en s'assurant qu'elle est vérifiée dans l'asymptotique par l'action de Regge fonction des aires du 4-simplexe. Nous proposons également une interprétation de l'équation obtenue comme combinaison des mouvements élémentaires sur le 4-simplexe à l'origine des relations de récurrence sur le symbole 15j, vus à la section 10.

16.4.1 De la matrice de Gram à la relation de récurrence

Nous débutons avec l'expression du symbole 10j pour le 4-simplexe euclidien comme une intégrale sur cinq copies de SU(2),

$$\{10j\} = \int_{\mathrm{SU}(2)^5} \prod_{a=1}^{5} dN_a \prod_{a<b} \chi_{j_{ab}}(N_a^{-1}\, N_b).$$

C'est une fonction de dix spins $j_{ab} \in \mathbb{N}/2$, un sur chacun des 10 triangles du 4-simplexe. Le caractère $\chi_j(g)$ dans la représentation de spin j est la trace qui s'évalue pour $g = \exp(i\theta\, \hat{n} \cdot \vec{\sigma})$ à :

$$\chi_j(g) = \frac{\sin(d_j\theta)}{\sin\theta},$$

θ étant l'angle de classe (i.e. la moitié de l'angle de rotation). Une expression très utilisée du 10j, à la fois numériquement et analytiquement, s'obtient en écrivant l'intégrant comme une fonction des dix angles de classe θ_{ab} des produits $N_a^{-1}N_b$. Naturellement, ces angles ne sont pas tous indépendants, de sort que le changement de variables implique une mesure non-triviale sur les nouvelles variables angulaires, donnée par une contrainte [96],

$$\{10j\} \;=\; \frac{4}{\pi^6}\int_{[0,\pi[^{10}} \prod_{a<b} d\theta_{ab}\;\delta\big(\det G[\theta]\big)\;\prod_{a<b}\sin\,(2j_{ab}+1)\theta_{ab}. \tag{16.35}$$

La matrice de Gram $G[\theta]$ est une matrice symétrique 5×5, définie par : $G_{ab}=\cos\theta_{ab}$ (et $\cos\theta_{aa}=1$). L'idée, en accord avec notre dérivation du modèle BC, est que les variables $N_a\in \mathrm{SU}(2)$ dans l'intégrant du 10j représentent via l'isomorphisme $\mathrm{SU}(2)\simeq S^3$ les vecteurs unitaires orthogonaux à chacun des cinq tétraèdres. Comme nous l'avons vu, l'angle de classe de $N_a^{-1}N_b$ est alors l'angle entre les deux normales, de sorte que $G[\theta]$ est bien la matrice de Gram de ce système de normales, $G_{ab}=N_a\cdot N_b$. Puisque nous avons cinq normales dans $\mathbb{R}^4$, celles-ci sont linéairement dépendantes, ce qui équivaut à l'annulation du déterminant de $G[\theta]$. Ainsi, dix angles θ_{ab} satisfaisant cette contrainte sont bien les angles d'un 4-simplexe euclidien. Cest ce qui permet d'extraire du 10j l'information géométrique nécessaire pour le relier à l'action de Regge du 4-simplexe dans l'asymptotique [96, 24, 43, 42, 121].

Pour construire une relation de récurrence, il suffit de considérer l'identitié trigonométrique suivante :

$$\sin\,(2j+2)\theta \;+\; \sin\,(2j)\theta \;=\; 2\cos\theta\;\sin\,(2j+1)\theta. \tag{16.36}$$

L'idée est d'appliquer cette identité dans l'intégrant du 10j (16.35) pour plusieurs spins j_{ab} en même temps, de sorte que les facteurs $\cos\theta_{ab}$ provenant du membre de droite de (16.36) se combinent pour former le déterminant de Gram,

$$\det G[\theta]=\sum_{\sigma}\epsilon(\sigma)\prod_{a=1}^{5}\cos\theta_{a\sigma(a)}. \tag{16.37}$$

Il s'agit d'une somme sur les permutations σ entre cinq éléments, $\epsilon(\sigma)$ étant la signature de la permutation. De manière équivalente, nous insérons le déterminant de Gram dans l'intégrale (16.35) :

$$\int_{[0,\pi[^{10}} \prod_{a<b} d\theta_{ab}\;\delta\big(\det G[\theta]\big)\;\det(G)\;\prod_{a<b}\sin\,(2j_{ab}+1)\theta_{ab}=0. \tag{16.38}$$

Le déterminant inséré est alors développé sur les permutations, et la formule trigonométrique (16.36) est utilisée sur chaque facteur en la lisant de droite à gauche. Cela reproduit pour chaque facteur $\cos\theta$ du déterminant une combinaison linéaire d'intégrants du 10j, mais avec des spins diminués et augmentés selon (16.36).

La permutation triviale n'introduit aucun facteur $\cos\theta$, de sorte qu'elle reproduit le symbole 10j initial sans affecter les représentations. Il n'y a aucune permutations fixant exactement quatre éléments. L'étape suivante est donc les permutations fixant exactement trois éléments, disons $a=1,2,3$. Cette permutation des éléments $a=4,5$ produit un facteur $-\cos^2\theta_{45}$ qui se transforme par :

$$-\cos^2\theta\;\sin\,(2j+1)\theta \;=\; -\frac{1}{2}\,\sin\,(2j+1)\theta \;-\; \frac{1}{4}\big(\sin\,(2j+3)\theta \;+\; \sin\,(2j-1)\theta\big). \tag{16.39}$$

Cela produit une combinaison linéaire du symbole 10j initial accompagné de deux autres 10j pour lesquels la représentation j_{45} est modifiée de ± 1. Viennent ensuite les permutations fixant exactement deux éléments, disons $a=1,2$. L'action sur les éléments $a=3,4,5$ est l'une des deux permutations cycliques de ces trois éléments. Elles donnent toutes deux le même facteur $+\cos\theta_{34}\cos\theta_{45}\cos\theta_{35}$, conduisant à une combinaison linéaire où les spins j_{34}, j_{45} et j_{35} sont affectés de $\pm\frac{1}{2}$. Quant aux

permutations fixant exactement un élément, $a = 1$, elles sont constituées des permutations cycliques des quatre éléments restants (6 possibilités), et des permutations sur deux paires (3 possibilités). Les 4-cycles donnent des facteurs du type : $+\cos\theta_{23}\cos\theta_{34}\cos\theta_{45}\cos\theta_{25}$, qui produisent des variations des spins correspondants de $\pm\frac{1}{2}$. Les permutations sur des paires donnent des facteurs du type : $\cos^2\theta_{23}\cos^2\theta_{45}$ qui induisent au final des différences de ± 1 sur les spins correspondants. Finalement, il nous reste les permutations ne fixant aucun élément : soit un 5-cycle (4! possibilités), soit une combinaison d'un 3-cycle et d'un 2-cycle (10×2 possibilités). On vérifie alors que : $1 + 10 + (2 \times 10) + 5 \times (6 + 3) + (4! + 20) = 5!$.

Cette procédure conduit à une relation de récurrence sur le symbole 10j, impliquant l'amplitude initiale, pour les spins j_{ab}, des amplitudes ayant jusqu'à cinq spins affectés de $\pm\frac{1}{2}$, et/ou des amplitudes ayant aux plus deux spins déplacés de ± 1 (du fait des 2-cycles). La relation complète comporte $5! = 120$ termes, de sorte que nous ne l'écrirons pas explicitement ! D'une part, nous sommes conscients qu'une telle formule n'est pas directement utile pour évaluer efficacement le symbole 10j (elle requiert notamment une infinité de conditions initiales). Mais elle pourrait par ailleurs être utile dans l'étude du comportement asymptotique et des propriétés géométriques du modèle, et plus généralement pour le comportement des corrélations, de type graviton, aire-aire, dans des modèles proches de celui-ci, comme c'est le cas en 3d [81].

La relation de récurrence que nous obtenons est une équation aux différences d'ordre 4, chose que nous commenterons plus bas.

16.4.2 La relation de récurrence comme contrainte de fermeture

La récurrence décrite plus haut est assez complexe, puisqu'elle résulte du développement du déterminant de Gram 5×5. Il est donc souhaitable de pouvoir identifier une quantité simple et naturelle qui satisfait aussi cette relation, au moins asymptotiquement. Il y a bien sûr les solutions triviales, qui sont des constantes, car : $\sum_\sigma \epsilon(\sigma) = 0$. Nous cherchons maintenant des solutions pus géométriques.

Dans ce but, insistons sur le fait que la récurrence fut obtenue en insérant dans une intégrale la quantité $\det(\cos\theta_{ab})$. L'annulation de ce déterminant est la condition nécessaire et suffisante pour que les angles θ_{ab} soient les angles dihédraux d'un authentique 4-simplexe plat, i.e. *fermé*. De plus, à partir des dix spins j_{ab}, interprétés comme les aires des dix triangles d'un 4-simplexe plat par la formule : $A_{ab} = (2j_{ab}+1)$, il est possible de calculer les angles dihédraux $\bar{\theta}_{ab}(j)$ de ce 4-simplexe, qui satisfont la condition : $\det(\cos\bar{\theta}_{ab}) = 0$. Dans le régime asymptotique [96, 24, 43, 42, 121], la partie oscillante du 10j est alors donnée par l'action de Regge de ce 4-simplexe, évaluée sur les variables d'aires $(2j_{ab}+1)$. Un candidat naturel pour tester notre relation de récurrence est donc cette action de Regge,

$$S_{\mathrm{R}} = \sum_{a<b} (2j_{ab} + 1)\bar{\theta}_{ab}(j), \tag{16.40}$$

Plus précisément, nous allons montrer que son cosinus, $\cos\big(S_{\mathrm{R}}(j_{ab}) + \alpha\big)$, pour un phase α quelconque satisfait bien la relation de récurrence dans l'asymptotique. De plus, l'identité clé pour obtenir ce résultat est la fermeture du 4-simplexe, soit algébriquement :

$$\det\left(\cos\bar{\theta}_{ab}\right) = 0. \tag{16.41}$$

La relation de récurrence touche plusieurs spins à la fois, en leur faisant subir des translations de $\pm\frac{1}{2}$. Imaginons d'abord une situation où seul un spin est affecté, disons j_{12}. Selon l'identité trigonométrique (16.36), chaque déplacement de $+\frac{1}{2}$ s'accompagne d'un terme équivalent avec un déplacement de $-\frac{1}{2}$. Par ailleurs, en suivant l'analyse asymptotique de Schulten et Gordon [158] sur le symbole 6j, nous considérons la limite homogène des grands spins et développons S_{R} au premier ordre, en

négligeant les dérivées secondes. Il vient alors :

$$\frac{1}{2}\cos\Big(S_{\mathrm{R}}\big(j_{12}+\frac{1}{2}\big)+\alpha\Big)+\frac{1}{2}\cos\Big(S_{\mathrm{R}}\big(j_{12}-\frac{1}{2}\big)+\alpha\Big)=\frac{1}{2}\sum_{\eta=\pm1}\cos\Big(S_{\mathrm{R}}(j_{12})+\alpha+\eta\,\bar{\theta}_{12}(j_{12})\Big), \tag{16.42}$$

$$=\cos\Big(S_{\mathrm{R}}(j_{12})+\alpha\Big)\,\cos\bar{\theta}_{12}(j_{ab}). \tag{16.43}$$

Pour obtenir ce résultat, il faut utiliser l'identité de Schlăfli, $\sum_{a<b}(2j_{ab}+1)\delta\bar{\theta}_{ab}=0$, de sorte que la variation de S_{R} par rapport à j_{12} est simplement $2\bar{\theta}_{12}$.

Cette relation s'étend facilement au cas d'un nombre quelconque de spins translatés. Notons j_{ij}, pour $i<j$, les spins touchés par des translations dans un terme donné de la relation de récurrence. Alors nous obtenons le produit du cosinus de l'action de Regge par le produit des cosinus des angles $\bar{\theta}_{ij}$:

$$\frac{1}{2}\sum_{\eta_{ij}=\pm1}\cos\Big(S_{\mathrm{R}}\big(j_{ij}+\eta_{ij}\frac{1}{2}\big)+\alpha\Big)=\frac{1}{2}\sum_{\eta_{ij}=\pm1}\cos\Big(S_{\mathrm{R}}(j_{ab})+\alpha+\sum\eta_{ij}\bar{\theta}_{ij}(j_{ab})\Big), \tag{16.44}$$

$$=\cos\Big(S_{\mathrm{R}}(j_{ab})+\alpha\Big)\prod_{i<j}\cos\bar{\theta}_{ij}(j_{ab}). \tag{16.45}$$

Nous ne regardons par ailleurs pas des variations arbitraires des spins, mais suivant les permutations de cinq éléments comme décrit plus haut, le signe de chaque terme étant déterminé par la signature de la permutation correspondante. Cela fait aboutir à :

$$\sum_{\sigma}\epsilon(\sigma)\,\cos\big(S_{\mathrm{R}}+\alpha\big)\,\prod_{a=1}^{5}\cos\bar{\theta}_{a\sigma(a)}=\cos\big(S_{\mathrm{R}}+\alpha\big)\,\det G[\bar{\theta}]=0, \tag{16.46}$$

du fait que les angles $\bar{\theta}_{ab}$ sont les angles dihédraux déterminés par les aires.

Ce résultat montre que la rcurrence trouvée sur le 10j est associée à une propriété géométrique simple d'un 4-simplexe seul, à savoir le fait qu'il est bien fermé, ce qui contraste avec les relations de récurrence établies sur les modèles topologiques à partir des mouvements de Pachner. En effet, le symbole 10j ne définit pas de modèle invariant sous ces mouvements et n'est donc pas topologique. Il ne correspond pas non plus à une quantification de la relativité générale [5]. Il est pourtant en mesure de décrire quelques propriétés simples, en se restreignant à un seul 4-simplexe isolé, et en ne regardant que les observables d'aires [121, 160, 68]. Par conséquent, la relation de récurrence implémente au niveau quantique les propriétés de ce modèle « jouet ».

Néanmoins, cette jolie interprétation géométrique est obtenue en se concentrant sur la partie à la Regge de l'asymptotique du 10j, et en négligeant tous les autres termes non-géométriques [24, 42, 96]. Ces derniers dominent pourtant le comportement asymptotique : lorsque tous les spins sont multipliés par un large paramètre λ, la partie oscillante à la Regge décroît en $\lambda^{-\frac{9}{2}}$, tandis que la contribution dominante est en λ^{-2} et correspond à des configurations dégénérées. D'autres comportements intermédiaires non-géométriques ont été mis en évidence depuis, [67]. La situation est donc beaucoup plus riche qu'avec le 6j, pour lequel les points col « géométrique » et « dégénéré » contribuant à l'asymptotique produisent les mêmes comportements. Une équation de récurrence du second ordre, (9.8), suffit alors à restituer le comportement de ces points col. Ici les différents comportements asymptotiques du 10j font qu'une relation de récurrence pour celui-ci sera généralement d'ordre supérieur. Considérons à ce propos un exemple simple. Nous prenons le comportement assymptotique suivant,

$$\{10j\}\sim\frac{a}{\lambda^{\alpha}}+\frac{1}{\lambda^{\alpha+\beta}}(b\cos\lambda S+b'\sin\lambda S)+\ldots, \tag{16.47}$$

où S est l'action de Regge indépendante de l'échelle λ, définissant la fréquence d'oscillations du 10j, et a, b, b' sont des paramètres numériques fixés. Cette forme est motivée par le véritable asymptotique du 10j, duquel les termes intermédiaires sont négligés. On peut alors montrer que (16.47) est solution d'une équation différentielle linéaire du troisème ordre :

$$\lambda(\beta(\beta-1)-aS^2\lambda^2)(\partial_\lambda^3(\lambda^{\alpha+\beta}f)+S^2\partial_\lambda(\lambda^{\alpha+\beta}f))-\beta((\beta-1)(\beta-2)-aS^2\lambda^2)(\partial_\lambda^2(\lambda^{\alpha+\beta}f)+S^2(\lambda^{\alpha+\beta}f))=0. \tag{16.48}$$

Des termes supplémentaires dans (16.47) entre le terme dominant en $\lambda^{-\alpha}$ et le régime d'oscillations requiereraient une équation d'ordre plus élevé. Cet exemple justifie partiellement le fait que nous obtenons pour le 10j complet une équation aux différences d'ordre 4. Mais nous n'avons pas été capables d'étudier l'asymptotique de cette équation et d'établir un lien explicite avec les points col contribuant au 10j dans ce même régime.

Cela suggère également la question suivante : en se restreignant aux points col d'origine géométrique, ne serait-il pas possible de sélectionner des relations de récurrence plus simples, du second ordre ? Il existe une stratégie qui pourrait permettre cela et qui s'est révélée efficace dans les calculs de corrélations en mousses de spins [5, 121] pour supprimer les contributions des points col non-géométriques dans l'intérieur de la triangulation (avec un unique simplexe jusque là !). Elle consiste, comme nous l'avons fait dans le modèle en 3d pour les corrélations des fluctuations de longueurs, section 8.2, à introduire un état de bord qui sélectionne naturellement les configurations géométriques de l'intérieur de la triangulation en accord avec la géométrie du bord, comme le montre [48].

16.4.3 Invariance sous des mouvements géométriques

Nous proposons ici une interprétation des différents termes de la relation de récurrence. Puisque le symbole 10j ne donne pas lieu à un modèle topologique, une interprétation directe en termes d'invariance sous des mouvements de Pachner, comme c'est le cas avec le 6j et le 15j, est impossible. Mais nous aimerions profiter de l'interprétation des spins du 10j comme valeurs propres des aires (quantifiées) des triangles d'un 4-simplexe pour identifier des séries de mouvements géométriques engendrant les variations des spins observées dans les termes de la relation de récurrence. Dans cette optique l'interprétation des relations de récurrence sur le 15j obtenues par l'étude du mouvement de Pachner 2-4 semble bien appropriée, car nous avions alors mis en évidence un mouvement élémentaire consistant à ajouter à un 4-simplexe un 4-simplexe aplati. Vu comme le léger déplacement d'un sommet du 4-simplexe initial, cela engendre bien des variations des aires des triangles. Rappelons qu'un tel mouvement géométrique est simplement issu de l'invariance du modèle topologique sous les mouvements de Pachner, ceux-ci représentant bien les symétries/la dynamique de la théorie au niveau quantique.

Nous voulons faire remarquer dans cette section que la manière, ou la structure selon laquelle les spins sont affectés dans la relation sur le 10j est similaire à celle qu'offrirait une série de mouvements élémentaires sur des symboles 15j de SU(2) ! Cela nous fournit une vision qualitative de la récurrence comme l'affirmation d'une *invariance sous une combinaison* des mouvements élémentaires présentés à a section 10.2.3. Pour cela, il nous faut passer outre le fait que les entrelaceurs des 15j sont touchés par ces mouvements (puisque le modèle BC a un unique entrelaceur) et nous concentrer sur les spins des triangles.

Nos arguments restent donc ici largement qualitatifs. Mais nous avons vu au chapitre 12 qu'il existe une situation similaire en 3d avec le symbole 6j restreint aux configurations isocèles. Si celles-ci ne définissent pas un modèle topologique, une relation de récurrence peut être dérivée à partir d'une expression du 6j isocèle sous forme d'intégrales, exactement comme ici. Elle s'interprète de plus comme une équation d'invariance sous une *combinaison* de mouvements géométriques simples provenant des mouvements de Pachner ; y compris au niveau algébrique, puisque nous avions pu la dériver également à partir de l'identité de Biedenharn-Elliott. Cet exemple est donc l'exemple à suivre pour aller plus loin que la discussion qui suit.

Nous avons décrit aux sections 10.2.3, 10.2.4 deux types de mouvements élémentaires sur les 4-simplexes, tous deux consistant à ajouter un 4-simplexe aplati à un premier, dont le résultat est un léger déplacement d'un sommet, mais avec des manifestations algébriques différentes. D'abord, en bougeant un sommet d'un 4-simplexe, les spins de trois triangles qui se rencontrent sur une arête sont décalés de $\pm\frac{1}{2}$. C'est le mouvement 1, obtenu en prenant $\lambda = 1/2$ dans les formules de la section 10.2.4. Deuxièmement, si ce sommet est déplacé un peu plus, i.e. en prenant $\lambda = 1$, alors il n'est possible de ne toucher au spin que d'un seul triangle, par une translation de ± 1 : c'est le mouvement dit 2. Rappelons-nous par ailleurs que dans le graphe du symbole 10j, les liens représentent les triangles et les noeuds les tétraèdres.

Regardons d'abord les termes les plus simples, où un seul spin est changé de $0, \pm 1$, chose qui survient dès lors qu'on prend en compte une permutation de deux éléments dans (16.38). Dans ce cas, aucun triangle partageant une arête avec le triangle concerné ne voit son spin modifié. On peut donc considérer que de tels termes s'obtiennent par le mouvement 2. Pour être plus précis, nous prenons la situation de la section 10.2, avec les mêmes notations, et en particulier les figures 10.3 et 10.4. Le 4-simplexe initial est $(abcde)$, et nous procédons à un petit déplacement de a en a' (pour les symboles 15j, nous prenons les spins des triangles $(aa'c)$ et $(aa'e)$ à zéro, et celui de $(aa'd)$ à 1). ALors, nous avons vu que cela affecte l'aire du triangle (abd) (encore une fois, nous ne cherchons à écrire des formules algébriques, et nous oublions ce qui se passe aux entrelaceurs). Ce mouvement élémentaire peut bien sûr être pratiqué indépendamment sur tous les triangles qui ne partagent pas une arête.

Une interprétation simmilaire peut être formulée pour les permutations cycliques de trois éléments. Elles génèrent des variations de spins de $\pm\frac{1}{2}$ sur trois liens formant une boucle sur le graphe du réseau de spins correspondant, soit sur trois triangles partageant une arête. C'est donc précisément le mouvement 1. Par exemple, en prenant le spin du triangle $(aa'd)$ à $\frac{1}{2}$ dans le 4-simplexe aplati $(aa'cde)$, nous avions vu pour le 15j que les trois triangles se rencontrant le long de l'arête (ad) étaient touchés.

Regardons l'effet d'une permutation cyclique des cinq éléments dans (16.38). La stratégie est maintenant d'appliquer trois fois le mouvement 1, sur trois boucles différentes du point de vue du graphe du réseau de spins associé au 10j. Sur ce graphe, la permutation concerne 5 liens formant une boucle. Nous formons alors trois boucles de trois liens chacune, qui à toutes les trois passent sur les cinq liens qui nous intéressent. Pour cela, on considère en plus deux liens du graphe, choisis de manière à ce que deux de ces boucles se rencontrent en un noeud et soient chacune formées de deux des liens portant les spins affectés par la permutation (tous différents) et d'un des liens considérés en plus. La troisième boucle est constituée du dernier des liens formant la boucle de cinq liens initiale et des deux liens considérés en plus. Nous appliquons ensuite le mouvement 1 deux fois indépendamment, sur les deux boucles se rencontrant en un noeud, ce qui affecte six spins. On utilise une troisième fois le mouvement pour compenser les variations induites sur les deux liens considérés en plus, tout en affectant le dernier des cinq liens impliqués par la permutation.

Les autres termes de la relation de récurrence sont analysés sous cet angle dans [61]. Cela donne bien une image de la relation de récurrence comme une équation d'invariance sous une *combinaison* des mouvements élémentaires sous lesquels le modèle topologique est invariant.

16.5 Conclusion sur le modèle BC

Nous avons donc fournit une action discrète et un calcul de type intégrales de chemins sur la triangulation pour le modèle BC. Une telle formulation éclaire le contenu du modèle en termes de géométrie simplicielle. En particulier les bivecteurs qui sont toujours habituellement traités comme des opérateurs sur l'espace des états du bord des 4-simplexes sont ici des variables classiques que l'on contraint de manière à ce qu'ils décrivent des tétraèdres et 4-simplexes dans $\mathbb{R}^4$. Le modèle en version mousses de spins est alors obtenu par intégrations sur ces bivecteurs classiques et contraints, et sur

les holonomies.

Le modèle BC [37] fut construit par quantification géométrique sur un 4-simplexe isolé, en imposant les contraintes de simplicité sur chaque tétraèdre au niveau quantique. Étant donné que le modèle n'est pas une quantificaton de la gravité, on faut essayer de comprendre où les problèmes se créent. Du point de vue mousses de spins, le problème réside dans le manque de liberté sur les entrelaceurs, autrement dit, le manque de possibilité de corrélations entre simplexes adjacents. Cette interprétation est renforcée par la dérivation du modèle selon les méthodes FK, et par notre travail, bien que sous des angles assez différents. Dans [89], Freidel et Krasnov propose une approche de ce modèle avec des bivecteurs complètement indépendants sur chaque triangle de chaque tétraèdre de chaque 4-simplexe, soit B_{ftv}. Ainsi c'est la quantification sur des 4-simplexes *isolés* qui est mise en accusation. Le modèle FK émerge alors dans cette approche en imposant les contraintes de la même manière mais à l'échelle de la triangulation, i.e en identifiant les bivecteurs de deux simplexes adjacents : $B_{ftv} = B_{ftv'}$ si v, v' sont collés le long de v. Dans notre approche, les 4-simplexes sont bien disjoints, mais nos bivecteurs satisfont bien la relation $B_{ft} = B_{ftv} = B_{ftv'}$; le problème se situe alors dans le collage des simplexes.

On pourrait penser que les corrélations entre tétraèdres sont amoindries par le fait que le noyau du 10j fasse intervenir les normales aux tétraèdres sous la forme (16.13) :

$$\chi_{j_f}\left(N_{vt}^{-1} N_{vt'}\right), \tag{16.49}$$

i.e. avec des normales N_{vt} indépendantes pour les deux simplexes v, v' collés par t. Mais un tel phénomène se retrouve dans les nouveaux modèles, et s'explique très clairement ici. Contrairement à ce que le résultat, i.e. le 10j, suggère, nous avons démarré l'analyse et effectué les calculs avec une même normale N_t, quelque soit le 4-simplexe envisagé, mais à du transport parallèle près. En effet, il ne faut pas oublier que nous sommes dans une théorie de jauge (sur réseau), et donc avec des référentiels *locaux*. Ainsi, la fonction de partition fait intervenir, avant toute intégration sur les holonomies, les normales *transportées*, $N_t(v), N_t(v')$. On voit bien, par exemple en utilisant la jauge temps, que les holonomies ont alors un rôle majeur dans l'amplitude. Et ce n'est qu'en intégrant sur les holonomies G_{vt} que l'on peut absorber les normales dans de nouvelles variables $N_{vt} = N_t(v)$, voir équation (16.12), créant l'illusion de normales décorrélés entre 4-simplexes adjacents.

En revanche, la difficulté avec ce modèle se situe bien dans le manque de corrélations entre les normales de *tétraèdres* adjacents ! En effet, lorsque nous résolvons les contraintes de simplicité dans chaque tétraèdre, nous introduisons des vecteurs normaux à chacun déterminant leur direction orthogonale dans $\mathbb{R}^4$. Deux tétraèdres t_1, t_2 collés le long du triangle f doivent alors avoir pour normales deux vecteurs tous deux contenus dans le *plan* orthogonal au triangle, i.e à $\star B_f$. Mais pour dire cela, nous devons encore comparer des quantités définies dans des référentiels différents, et donc les transporter du référentiel de t_1 à celui de t_2 disons. Mais nous avons vu qu'aux points stationnaires de l'action, les bivecteurs B_{ft_1} et B_{ft_2} ne satisfont pas la condition de transport parallèle, équation (16.34) !

Nous voyons de la sorte que les corrélations induites entre tétraèdres voisins et la consistence des changements de référentiels sont intimement liées. En particulier, il devient impossible de calculer avec consistence, aux points stationnaires, des angles dihédraux ou des angles de déficit si le processus de collage échoue. Pour remédier à ce problème du modèle BC, nous prendrons grand soin aux sections suivantes du collage ds simplexes. En particulier, nous abandonnerons les wedges et les holonomies de bord qui n'ont pas donné les résultats escomptés, alors même que nous avons traité les contraintes de manière conventionnelles ! Pour cela, il nous faudra prêter une attention particulière aux conditions de transport parallèle des bivecteurs, en exploitant notamment le formalisme des sections (13.2) et 13.4.

Par ailleurs, souvenons-nous que les mousses de spins visent à implémenter la dynamique de la théorie ! Cela apparaît clairement dans les modèles de Ponzano-Regge et d'Ooguri, construits en intégrant sur les connexions discrètes de courbure nulle. Peut-on essayer de saisir la dynamique proposée dans le modèle BC ? Faisons la remarque suivante qui nous éclairera sur ce que l'on attend (ou pas) de la dynamique en termes des variables d'holonomies et des normales. Le modèle impose sur chaque

wedge une condition d'invariance de transport pour les normales,

$$G_{ft} \cdot N_t = g_{+ft} N_t g_{-ft}^{-1} = N_t, \tag{16.50}$$

et une condition duale sur le secteur non-géométrique. L'interprétation n'est pas évidente du fait des wedges et holonomies de bord. Supposons que les points stationnaires de l'action rendent correctement compte du transport parallèle et que l'on puisse constuire à partir des conditions ci-dessus une équation similaire pour l'holonomie autour d'un triangle f, soit :

$$G_f(t) \cdot N_t = g_{+f}(t) N_t g_{-f}^{-1}(t) = N_t. \tag{16.51}$$

Alors cette équation nous dit une chose simple : l'angle de déficit autour de f est nul ! Comme nous l'avons vu à l'équation (13.30) et dans la discussion qui la suit, nous nous attendons plutôt, dans une discrétisation consistente, à ce que $G_f(t)$ transforme la normale au tétraèdre N_t en un autre vecteur également contenu dans le plan orthogonal à $\star B_{ft}$, l'angle entre ces deux vecteurs étant précisément l'angle de déficit.

Chapitre 17

Intégrales sur les géométries du réseau : le modèle EPR/FK

Après avoir aux chapitres précédents trouvé des systèmes classiques de géométries sur réseau dont les fonctions de partition reproduisent le modèle BC et celui contraignant les représentations sur les triangles, nous aimerions :

- trouver une présentation similaire pour le modèle EPR/FK, prenant en compte le paramètre d'Immirzi,
- analyser le comportement classique correspondant, pour s'assurer que les problèmes de corrélations mis en évidence dans le modèle BC sont corrigés.
- par variations des spins ou aires de l'action trouvée, obtenir une idée de la dynamique engendrée par le modèle, ou plus modestement des configurations qui ont un rôle particulier, soit en dominant la fonction de partition, soit en nécessitant une régularisation. En particulier, nous aimerions comprendre le sens physique des configurations provoquant des divergences dans la formulation (14.48) en termes d'intégrales.
- dans une optique différente, utiliser le formalisme des sections 13.2, 13.4 pour construire des fonctions de partition associées à des systèmes de géométries discrètes et les écrire sous forme de mousses de spins.

Si les trois premiers points fixent des objectifs, le quatrième est plutôt une méthode dont on ne connaît pas le résultat a priori. De manière remarquable, c'est une méthode qui va nous permettre d'atteindre les objectifs fixés, i.e. de construire le modèle FK pour la gravité quantique, pour un paramètre d'Immirzi fini, de constater que les défauts de corrélations du modèle BC sont bien corrigés, et de voir que les singularités de la formulation (14.48) sont associées aux géométries plates !

Dans [70], Conrady et Freidel ont également fourni un formalisme d'intégrales de chemins pour reproduire les amplitudes du modèle FK. Leur construction fait précisément appel aux variables que nous avons utilisé pour le modèle BC au chapitre précédent 16.1 (avec la même interprétation physique), et utilise le même processus de collage des simplexes. Néanmoins, l'action qu'ils construisent est destinée à offrir une intégrale de chemins reproduisant exactement le modèle FK, et n'est pas une action du type BF. Notre perspective est ici différente puisque nous voulons considérer des intégrales de chemins génériques, fondées sur des actions de type BF discret et sur les contraintes de simplicité, et explorer quels modèles émergent naturellement. Nous avons vu qu'en appliquant telles quelles ces idées, c'est le modèle BC qui se construisait.

Afin d'aller au-delà du modèle BC, il nous faut en effet prendre au sérieux les problèmes de collage de simplexes, et développer une approche plus adaptée. Dans cette persective, le formalisme présenté aux sections 13.2, 13.4 est prometteur : il permet de détailler la géométrie, montrant que les contraintes de simplicité autorisent la construction de géométries de Regge, et assure, typiquement, que l'on peut

calculer de manière consistente les angles dihédraux 4d en fonction des angles 3d. Cela établit le lien avec le calcul de Regge. De plus, ce formalisme traite de la même manière les conditions de transport parallèle que les contraintes de simplicité : en les formulant uniquement en termes d'éléments du groupe SU(2) (et sans avoir recours à des holonomies de bord), ce qui est tout indiqué pour en développement en mousses de spins.

Nous verrons ainsi qu'il est possible de représenter le modèle FK sous la forme d'une intégrale sur des géométries d'une triangulation. Par ailleurs, cela nous renseignera sur la différence entre la fonction de partition pour le calcul de Regge et le modèle de mousses de spins sur une triangulation fixée, à savoir que seules les configurations stationnaires de l'action que nous allons construire sont des géométries de Regge, les fluctuations quantiques étant déterminées par le choix de fonctions spécifiques au modèle. Notons à ce propos les travaux de Freidel et ses collaborateurs, [71, 90], qui réécrivent l'intégrale de chemins discrets avec des fonctions delta permettant d'avoir une géométrie de Regge sur chaque simplexe (mais sur la triangulation seulement on-shell), en utilisant des propriétés remarquables des états cohérents. Le prix à payer est alors une nouvelle mesure particulière, faisant intervenir des fonctions de corrélations d'une théorie des champs conforme.

De plus, en regardant l'ensemble des variations de l'action, en particulier par rapport aux aires, nous pouvons obtenir une équation sur la dynamique de ces géométries. Ici, nous verrons que les géométries stationnaires sont plates. Néanmoins, cela ne signifie pas que ces configurations dominent la fonction de partition, mais c'est plutôt le signe qu'elles nécessitent une régularisation supplémentaire avant de pouvoir discuter la dynamique plus précisément.

Mais avant de lancer ce formalisme original tel quel au niveau quantique, il faut nous assurer qu'en l'absence des contraintes de simplicité, nous pouvons effectivement restituer le modèle topologique, avec la bonne mesure. Cela nécessite de construire une action adaptée aux variables de la section 13.4, qui mélangent les variables usuelles de la théorie BF sur réseau (holonomies), des variables de SU(2) (codant les bivecteurs), et des variables angulaires, interprétées comme des éléments d'un sous-groupe U(1) de SU(2). Et afin que les amplitudes résultantes soient bien topologiques, il faut déterminer avec précision les mesures pour ces variables. Nous faisons tout cela à la section 17.1, en calculant explicitement la fonction de partition. De plus, nous nous intéressons à l'insertion d'observables locales, fonctions des bivecteurs, et montrons que l'on peut facilement les traduire en tant qu'insertions dans les mousses de spins. L'insertion de la norme au carré d'un bivecteur conduit comme on s'y attend à l'insertion d'un casimir, et celle du cosinus de l'angle entre deux bivecteurs reproduit à une normalisation près le résultat de la quantification canonique sur les réseaux de spins de Major, présentée en section 5.2.2 !

Puis à la section 17.2, nous construisons une action pour des géométries à la Regge sur une triangulation, pour laquelle on montre à la section 17.3 que la fonction de partition reproduit bien le modèle FK ! L'action s'exprime en termes des variables présentées à la section 13.4 et contient principalement deux parties : une partie prenant la forme de l'action de Regge compactifiée mais avec le paramètre d'Immirzi, et une partie qui assure que les relations de transport parallèle sont bien satisfaites on-shell. On trouve que les géométries stationnaires (non-dégénérées) sont des géométries de Regge, satisfaisant les contraintes du calcul de Regge aires-angles 3d, et que le paramètre d'Immirzi disparaît au niveau classique (suite à un résultat de [69]). De plus, en faisant varier les aires (ou les spins), on constate que les géométries stationnaires sont plates (résultat que je discute en conclusion de la thèse).

Le modèle FK est ainsi dérivé à partir d'une intégrale sur des configurations géométriques, en utilisant une fonction spécifique pour traiter les relations de transport parallèle. Cela suggère de généraliser l'action utilisée. Nous montrons dans ce cas qu'il est toujours possible de construire des géométries de Regge. Mais, génériquement, les variables qui apparaissaient classiquement comme les aires dans la dérivation du modèle FK ne peuvent plus être interprétées comme les aires physiques. Ce sont à la place des multiplicateurs imposant une condition d'angles de déficit nuls, qui donnent des géométries on-shell plates. Les modèles de mousses de spins obtenues par cette approche, section

17.3, ont la même structure que celles des nouveaux modèles EPR/FK, mais les données de bord du 4-simplexe sont différentes, de même que la façon dont elles sont sommées dans les modèles.

17.1 Retour sur les modèles topologiques

17.1.1 L'action en variables « aires - angles dihédraux »

Pour les besoins du modèle topologique de type BF, sans contrainte géométrique, il nous suffit de considérer le groupe SU(2). Donc, nous avons des holonomies $g_{vt} \in \mathrm{SU}(2)$ pour transporter des objets entre les référentiels locaux des tétraèdres et 4-simplexes. Nous avons aussi des variables de l'algèbre sur les triangles $b_{ft} \in \mathfrak{su}(2)$, définis indépendamment dans les référentiels de chaque tétraèdre [1] dont le bord contient le triangle f. En dimension 4, on parle du modèle d'Ooguri, mais il suffit de changer les notations pour se mettre en dimension quelconque [2], et le formalisme que nous développons fonctionne toujours ! La consistence de la géométrie, au sens des théories de jauge, demande les conditions

$$b_{ft} - \mathrm{Ad}\big(g_{tt'}\big)\, b_{ft'} \;=\; 0, \tag{17.1}$$

pour $g_{tt'} = g_{vt}^{-1} g_{vt'}$. Dans la dérivation usuelle du modèle topologique BF, [88], utilisant wedges et holonomies de bord des 4-simplexes, cette équation n'a de sens qu'aux points stationnaires de l'action. Mais nous avons vu qu'en présence des contraintes de simplicité, la situation n'est plus totalement sous contrôle quant au collage des tétraèdres, et nous trouvons prudent de chercher à imposer ces conditions directement dans la fonction de partition. On peut donc penser à utiliser une mesure telle que :

$$\prod_{(t,v)} dg_{vt} \prod_{(f,t)} d^3 b_{ft} \prod_{(f,v)} \delta^{(3)}\big(b_{ft} - \mathrm{Ad}\big(g_{tt'}\big)\, b_{ft'}\big), \tag{17.2}$$

qui restreint les configurations à intégrer à celles satisfaisant les conditions de transport parallèle de manière exacte. dg est la mesure de Haar sur SU(2), et d^3b sera précisé par la suite. Notons que la donnée (f, v), représentant un wedge, spécifie complètement la paire de tétraèdres de v collés le long de f. Avec une telle mesure, le recours aux holonomies de bord des wedges, comme utilisées précédemment, dont les variations dans l'action visent à reproduire (17.1) aux points stationnaires, est inutile : le collage est désormais explicitement pris en compte et garanti dans la définition du modèle.

Le groupe de structure étant SU(2), la norme et la direction de b_{ft} jouent des rôles différents. Et comme on le sait les contraintes de simplicité leur assignent aussi des rôles différents. La norme de b_{ft} est invariante de jauge et s'écrit disons A_f. On utilise alors la paramétrisation suivante, similaire à (13.39),

$$b_{ft} = \frac{i}{2}\, A_f\; \hat{b}_{ft} \cdot \vec{\sigma}, \qquad\qquad \hat{b}_{ft} \cdot \vec{\sigma} = \mathrm{Ad}\big(n_{ft}\big)\, \sigma_z, \tag{17.3}$$

où $n_{ft} \in \mathrm{SU}(2)$ est une rotation qui envoie la direction de référence $\hat{z}$ de $\mathbb{R}^3$ sur la direction $\hat{b}_{ft}$. On sait que seul deux des trois paramètres de n_{ft} sont pertinents du fait du sous-groupe U(1) qui laisse $\hat{z}$ invariant (ou le sous-groupe qui laisse $\hat{b}_{ft}$ invariant, de manière équivalente), voir section 13.4. Pour réécrire la mesure en fonction des rotations n_{ft}, l'idée principale est qu'en fonction de ces variables, l'équation de transport parallèle (17.1) nous dit que n_{ft} et $g_{tt'} n_{ft'}$ ne coincident qu'à un élément de U(1) selon $\hat{z}$ près. Ainsi, nous commençons par remplacer dans (17.2) les intégrales et mesures sur

1. On pourrait de la même façon introduire des variables b_{fv} dans les repères des 4-simplexes, mais cela ne nous servira pas.

2. En dimension n, les holonomies effectuent du transport parallèle entre n-simplexes et $(n-1)$-simplexes, la courbure étant concentrée autour des $(n-2)$-simplexes. Ce sont ces derniers qui portent les variables de l'algèbre, discrétisant la $(n-2)$-forme B. Le point de vue du 2-squelette dual est unificateur : les holonomies discrétisent toujours la connexion sur les liens duaux, et les variables b_f sont associées aux faaces duales.

b_{ft} par une seule intégrale par triangle sur la norme, $d\mu(A_f)$ à préciser, et pour chaque triangle dans chaque tétraèdre la mesure usuelle $d^2\hat{b}_{ft}$ sur S^2 invariante par rotation,

$$\prod_f d\mu(A_f) \prod_{(f,t)} d^2\hat{b}_{ft} \prod_{(f,v)} \delta^{(2)}\big(\hat{b}_{ft} - \mathrm{Ad}(g_{tt'})\,\hat{b}_{ft'}\big). \tag{17.4}$$

La mesure $d^2\hat{b}_{ft}$ se réexprime comme une mesure sur SU(2) pour les rotations n_{ft}, les ambiguités U(1) dans leur définition étant prises en compte via les contraintes de collage. Il nous faut en effet intégrer sur les solutions des contraintes (17.1) caractérisées par un élément de U(1) :

$$\prod_f d\mu(A_f) \prod_{(f,t)} dn_{ft} \prod_{(f,v)} \int_0^{4\pi} d\theta_{fv}\ \delta_{\mathrm{SU}(2)}\Big(n_{ft}^{-1}\ g_{tt'}\, n_{ft'}\ e^{\frac{i}{2}\theta_{fv}\sigma_z}\Big). \tag{17.5}$$

En fait les intégrales sur les fibres U(1) qui préservent $\hat{z}$ pour chaque n_{ft} peuvent être réabsorbées par invariance de la mesure de Haar dans les intégrales sur les variables angulaires θ_{fv}. Nous ne sommes pas intéressés par la correspondance précise, incluant les jacobiens, entre les deux expressions ci-dessus, car nous voulons la mesure la plus simple et la plus naturelle au regard des théories de jauge sur réseau, i.e. en utilisant des éléments de groupe et les mesures de Haar correspondantes le plus possible. L'inconnue restante est la mesure $d\mu(A)$, qui sera fixée à la mesure de Lebesgue sur $\mathbb{R}$ par l'exigence de reproduire le modèle topologique attendu.

Au départ, nous avons considéré que les variables de configuration sont les holonomies g_{vt}, les normes A_f et les directions $\hat{b}_{ft}$. En particulier, ce sont les variables dans lesquelles doit s'écrire l'action. L'idée importante, déjà exposée à la seciton 13.4 est de maintenant remplacer les directions $\hat{b}_{ft}$ par les rotations n_{ft}, et d'ajouter comme variables de base les angles θ_{fv} qui sont intégrés dans la mesure (17.5). Désormais l'espace des configurations est formé des holonomies g_{vt}, des normes A_f, des rotations n_{ft} et des angles θ_{fv}. Ces variables sont reliées, au moins au niveau classique si l'on utilise une autre mesure que (17.5), par la condition de transport parallèle qui est devenue :

$$n_{ft}^{-1}\, g_{tt'}\, n_{ft'}\, e^{\frac{i}{2}\theta_{fv}\sigma_z} \;=\; \mathbb{1}. \tag{17.6}$$

Notre approche a l'avantage de nous permettre de considérer désormais des fonctions de n_{ft} et θ_{fv} même lorsque les contraintes ci-dessus ne tiennent pas, ce qui sera utile pour construire les nouveaux modèles EPR/FK. En particulier, on est en droit d'écrire l'action comme une fonction des variables $g_{vt}, A_f, n_{ft}, \theta_{fv}$.

Il faut bien comprendre que ce sont les angles θ_{fv} qui assurent l'indépendance vis-à-vis du choix de phase local à droite des rotations n_{ft}. En effet, en réécrivant cette équation pour extraire les holonomies : $g_{tt'} = n_{ft}\, e^{-\frac{i}{2}\theta_{fv}\sigma_z}\, n_{ft'}^{-1}$, on voit que l'invariance de celles-ci sous les changements de référence U(1) locale des rotations n_{ft} conduit à une transformation des angles θ_{fv}. Ainsi, l'élargissement de l'espace des configurations s'accompagne d'une sort de symétrie de jauge additionnelle, tout comme en section 13.4, agissant sur chaque paaire (f,t) : Chacune d'elles est équipée d'un référentiel local U(1) qui peut être changé par multiplication à droite de n_{ft} et une transformation adéquate des angles θ_{fv}. Ces derniers forment ainsi une sorte de connexion pour cette symétrie. Les transformations de jauge SU(2) et ces nouvelles transformations agissent par des famille déléments $k = (k_t, k_v \in \mathrm{SU}(2))$ et $\lambda = (\lambda_{ft} \in \mathfrak{u}(1))$ par :

$$(k,\lambda)\ \cdot\ g_{vt} = k_v\, g_{vt}\, k_t^{-1}, \tag{17.7}$$

$$(k,\lambda)\ \cdot\ n_{ft} = k_t\, n_{ft}\, e^{\frac{i}{2}\lambda_{ft}\sigma_z}, \tag{17.8}$$

$$(k,\lambda)\ \cdot\ \theta_{fv} = \theta_{fv} + \epsilon^f_{tt'}\,(\lambda_{ft} - \lambda_{ft'})\,. \tag{17.9}$$

Puisque t, t' sont voisins, leurs liens duaux se rencontrent au vertex v, le long du bord de la face duale f. Alors, $\epsilon^f_{tt'} = 1$ si le chemin de t à t' par v est orienté comme la face f, et $\epsilon^f_{tt'} = -1$ dans l'autre cas.

Si les variables similaires de la section 13.4, $\theta^{\pm}_{fv}$, se trouvent être directement reliés aux angles dihédraux physiques, les angles θ_{fv} contiennent ici l'information pour extraire les angles de déficit de la courbure SU(2) :

$$g_f(t) = \exp\Big(-\theta_f \, \frac{b_{ft}}{A_f}\Big), \quad \text{pour} \qquad \theta_f = \sum_{v \in \partial f} \theta_{fv}. \tag{17.10}$$

C'est-à-dire que θ_f est l'angle de classe de l'holonomie autour du triangle f, holonomie qui, exprimée dans le référentiel de t, est naturellement restreinte au sous-groupe qui stabilise b_{ft} (c'est un équivalent discret de l'équation continue : $d_A^2 B = [F(A), B] = 0$). Nous pouvons maintenant reconsidérer l'action discrète de type BF, (13.4), sans utiliser de découpage des face en wedges, mais plutôt en couplant un b_{ft} par face à l'holonomie $g_f(t)$, le tout étant indépendant du référentiel choisi pour chaque face, grâce aux contraintes de transport parallèle que nous allons imposer,

$$S_{\mathrm{BF}}(g_{vt}, A_f, n_{ft}, \theta_{fv}) \; = \sum_f \mathrm{tr}\big(b_{ft}\, g_f(t)\big). \tag{17.11}$$

L'action on-shell, i.e. lorsque (17.6) tient, se met sous la forme évocatrice suivante :

$$S_{\mathrm{BF}}(g_{vt}, A_f, n_{ft}, \theta_{fv}) \; = \sum_f A_f \, \sin\left(\frac{\theta_f}{2}\right). \tag{17.12}$$

Cette action est invariante sous les transformations définies plus haut. Si l'on était capable d'interpréter A_f et les angles θ_{fv} comme les aires des triangles et les angles dihédraux, i.e. si ces quantités pouvaient être fonctions d'une métrique discrète, alors l'action serait l'action de Regge dite compactifiée, proposée en [66, 114] ! Nous verrons comment obtenir ce résultat, à l'aide des contraintes de simplicité, et même comment y introduire le paramètre d'Immirzi !

17.1.2 Calcul de l'amplitude

Munis de l'action (17.12) et de la mesure (17.5), nous veillons à faire en sorte que notre nouveau formalisme reproduise bien le modèle topologique. Dans la théorie continue, le champ B est un multiplicateur de Lagrange pour la courbure. Au niveau discret on sait que la théorie consiste à intégrer sur toutes les connexions discrètes telles que les holonomies autour des faces duales soient $\pm\mathbb{1} \in \mathrm{SU}(2)$, i.e. que leurs projections sur SO(3) soient l'identité :

$$Z_{\mathrm{BF}} = \int \prod_{(t,v)} dg_{vt} \, \prod_f \delta_{\mathrm{SO}(3)}\big(g_f\big), \tag{17.13}$$

$$= \sum_{\{j_f \in \mathbb{N}\}} \int \prod_{(t,v)} dg_{vt} \, \prod_f d_{j_f} \, \chi\big(g_f\big). \tag{17.14}$$

Les facteurs de dimension sont $d_j = (2j+1)$, et les caractères des représentations : $\chi_j(g) = \sum_m \langle j, m | g | j, m \rangle = \frac{\sin d_j \phi}{\sin \phi}$, pour $g = e^{i\phi \hat{n} \cdot \vec{\sigma}}$.

En utilisant les variables introduites précédemment, nous nous intéressons à :

$$Z_{\mathrm{BF}} = \int \prod_{(t,v)} dg_{vt} \, \prod_{(f,t)} dn_{ft} \, \prod_{(f,v)} \Big[d\theta_{fv} \, \delta\big(n_{ft}^{-1} \, g_{tt'} \, n_{ft'} \, e^{\frac{i}{2}\theta_{fv}\sigma_z}\big)\Big] \prod_f d\mu\big(A_f\big) e^{iA_f \sin\frac{\theta_f}{2}}, \tag{17.15}$$

où dn est la mesure de Haar sur SU(2), $d\theta$ la mesure de Haar sur U(1), et $d\mu(A)$ sera choisie pour reproduire (17.13) (comme étant la mesure de Lebesgue sur $\mathbb{R}$). Il est clair que sur chaque face, les

fonctions delta permettent d'éliminer tous les n_{ft} sauf un, choisi dans un tétraèdre de référence, disons n_{ft^*}. La fonction delta restante sur chaque face impose l'équation (17.10) : $\delta(n_{ft^*}\, g_f(t^*)\, n_{ft^*}^{-1}\, e^{\frac{i}{2}\theta_f \sigma_z})$. Par invariance de la mesure $d\theta$ par translation, tous les angles autour d'une face peuvent absorbés en un seul angle θ_f indépendant.

Le formalisme des mousses de spins consiste à écrire Z_{BF} comme une fonction de partition, i.e. une somme sur tous les états du système au niveau quantique, caractérisés par des données provenant de la théorie des représentations des groupes concernés. Nous devons donc développer les ingrédients de Z_{BF} sur leurs modes de Fourier pour U(1) et SU(2). Tout d'abord, pour chaque face, les conditions de collage conduisent à une fonction delta sur la classe de conjugaison θ_f pour l'holonomie g_f,

$$\int_{\mathrm{SU}(2)} dn\ \delta\big(n\, g\, n^{-1}\, e^{\frac{i}{2}\theta\sigma_z}\big) = \sum_{j\in\frac{\mathbb{N}}{2}} \chi_j\big(g\big)\, \chi_j\big(e^{\frac{i}{2}\theta\sigma_z}\big) \tag{17.16}$$

En particulier, $\chi_j(e^{\frac{i}{2}\theta\sigma_z}) = \sum_{p=-j}^{j} e^{-ip\theta}$.

Nous pouvons aussi bien prendre les aires A_f sur $\mathbb{R}_+$ ou sur $\mathbb{R}$ (en renversant la direction de $\hat{b}_{ft}$). Si A_f est intégré sur $\mathbb{R}$ avec la mesure de Lebesgue, alors θ_f est clairement contraint à être 0 ou 2π. Il s'ensuit alors que $g_f = \pm\mathbb{1}$, et donc (17.13) suit immédiatement. Mais il est plus instructif, et plus dans l'esprit « mousses de spins », d'utiliser des développements dont les données s'interprètent bien et peuvent être considérées comme physiquement pertinentes – en tant que valeur propre de tel ou tel opérateur d'aire, de volume, etc [152]. De plus, nous devons nous préparer à affronter l'ajout des contraintes de simplicité. Pour ces raisons, nous prenons $A_f \in \mathbb{R}_+$, et développons l'exponentielle de i fois l'action sur les modes U(1) :

$$e^{iA\sin\frac{\theta}{2}} = \sum_{m\in\mathbb{Z}} J_m(A)\, e^{im\frac{\theta}{2}}. \tag{17.17}$$

Il s'agit du développement de Jacobi-Anger, qui définit en fait les fonctions de Bessel de première espèce J_m comme : $J_m(A) = \int_0^\pi \frac{d\theta}{\pi\, i^m} \cos(m\theta)\, e^{iA\cos\theta}$. Ces fonctions satisfont quelques propriétés intéressantes [1]. Leur intégrale sur $\mathbb{R}_+$ vaut 1 pour $m \in \mathbb{N}$, et parmi les symétries : $J_{-m}(A) = J_m(-A) = (-1)^m J_m(A)$. En combinant tout cela, il vient :

$$\int_{\mathbb{R}_+} dA\ e^{iA\sin\frac{\theta}{2}} = 1 + \sum_{m>0} \big(e^{im\frac{\theta}{2}} + (-1)^m\, e^{-im\frac{\theta}{2}}\big). \tag{17.18}$$

Les intégrales sur les angles θ_f se font selon :

$$\sum_{m>0}\sum_{p=-j}^{j} \int_0^{4\pi} \frac{d\theta}{4\pi}\ e^{-ip\theta}\big(e^{im\frac{\theta}{2}} + (-1)^m\, e^{-im\frac{\theta}{2}}\big) = \sum_{m>0}\sum_{p=-j}^{j} \delta_{m,2p}\big(1 + (-1)^m\big), \tag{17.19}$$

pour $j \in \mathbb{N}/2$. Cette expression s'annule sauf si m est pair, ce qui imlique que j est entier. Ces conditions satisfaites, nous obtenons pour $m = 2m'$: $2\sum_{m'=1}^{j} 1 = 2j$. En ce qui concerne le terme $m = 0$ dans (17.17), l'intégrale sur θ est alors triviale, et restreint j à être entier. Rassemblons ces résultats :

$$Z_{\mathrm{BF}} = \int \prod_{(t,v)} dg_{vt} \prod_f \sum_{j\in\mathbb{N}} \big(2j+1\big)\, \chi_j\big(g_f\big), \tag{17.20}$$

qui est bien le résultat désiré, avec : $\sum_{j\in\mathbb{N}}(2j+1)\, \chi_j(g) = \delta_{\mathrm{SO}(3)}(g)$.

17.1.3 Insertions d'observables géométriques locales

Nous pouvons ici profiter de notre formalisme qui décrit précis'ement et de manière indépendante les normes et directions des b_{ft}. Les données qui apparaissent dans la somme sur les mousses de

spins sont généralement interprétées à la vue de la quantification canonique [153, 22]. En particulier, les spins j_f sur les faces duales représentent en 3d la longueur des arêtes (c'est l'ansatz de Ponzano et Regge, justifié par la quantification en boucles [152]), et en 4d les aires des triangles quantifiées. Ces résultats doivent pouvoir s'obtenir également par l'approche covariante, en calculant la valeur moyenne des observables voulues, par insertion dans une intégrale fonctionnelle, et en particulier dans l'approche des mousses de spins, en insérant des états dans le modèle pour « exciter » les faces duales. C'est ce qui a été fait proprement, et assez récemment dans [120], en dimension 3. Nous ne proposons pas un tel traitement ici, notamment du fait que la symétrie de jauge de translation de la théorie topologique est plus subtile en dimensions supérieures (c'est une symétrie réductible [53]), et donc de même pour la fixation de jauge nécessaire.

Nous sommes plutôt intéressés par la manière dont l'insertion d'observables locales dans l'intégrale sur les géométries de la triangulation se traduit dans le langage des mousses de spins. C'est la même idée que celle développée dans [108] pour le modèle de Ponzano-Regge, mais avec une méthode assez différente (celle établie dans [88]), nos calculs étant plus directs. Les auteurs de [108] établissent des règles dites de grasping pour traduire l'insertion d'observables du champ B dans le modèle de Ponzano-Regge (ce ne sont pas à proprement parler des calculs de valeurs moyennes). La structure du modèle d'Ooguri étant assez similaire (même groupe de symétrie SU(2)), nous trouverons des formules analogues.

Considérons d'abord un triangle donné f^* et définissons $\mathcal{I}(A_{f^*})$ comme Z_{BF}, (17.15), dans laquelle on a inséré la norme au carré $A_{f^*}^2$,

$$\mathcal{I}(A_{f^*}) = \int \prod_{(t,v)} dg_{vt} \prod_{(f,t)} dn_{ft} \prod_{(f,v)} \Big[d\theta_{fv}\, \delta\big(n_{ft}^{-1}\, g_{tt'}\, n_{ft'}\, e^{-\frac{i}{2}\theta_{fv}\sigma_z}\big)\Big] \\ \times \prod_{f\neq f^*} d\mu\big(A_f\big) e^{iA_f \sin\frac{\theta_f}{2}} \Big[d\mu\big(A_{f^*}\big)\, A_{f^*}^2\, e^{iA_{f^*}\sin\frac{\theta_{f^*}}{2}}\Big]. \quad (17.21)$$

Le résultat (17.13) n'est naturellement pas modifié pour les triangles $f \neq f^*$. Seul l'intégrale (17.18) est affectée pour f^* et produit désormais des facteurs :

$$\int_{\mathbb{R}_+} dA\, A^2\, J_m\big(A\big) = m^2 - 1, \qquad \text{for } m \in 2\mathbb{N} \quad (17.22)$$

Le point important, comme dans notre cacul précédent, est qu'il est possible d'effectuer la somme sur les moments magnétiques m_{f^*}. En plus du poids standard sur les triangles, d_{j_f}, cela revient à insérer dans (17.13) l'aire quantique suivante :

$$\hat{A}_j = \frac{4}{3}\Big[j\big(j+1\big) - \frac{3}{4}\Big] = \frac{1}{3}\big(d_j^2 - 4\big) \quad (17.23)$$

Ce spectre donne une valeur négative pour $j = 0$, s'annulerait sur $j = 1/2$ (le calcul nous restreint à j entier), puis croît comme $\frac{4}{3}j(j+1)$. Ce comportement doit être comparé à la quantification canonique des flux de B de la théorie BF SU(2) dans le formalisme des réseaux de spins [22] : ils coincident à un facteur numérique près. On s'attend d'ailleurs à ce que ce comportement soit reproduit dans les modèles de mousses de spins pour la gravité quantique, puisque la quantification (à boucles, par les réseaux de spins) canonique des aires est identique, au paramètre d'Immirzi près [153]. Par ailleurs, le spectre des flux de B dans la quantification canonique est le même que celui des longueurs en gravité 3d, ce qui suggère de comparer notre résultat à celui de [120]. A un coefficient 1/3 près, il correspond bien au résultat obtenu dans [120] en 3d en prenant soin des fixations de jauge. Comme l'explique les auteurs, le résultat dépend crucialement des facteurs de mesure et de la manière dont la courbure est discrétisée sur le réseau. Nous avons donc un résultat intéressant et prometteur, étant donné notre cadre de travail impliquant des variables, des mesures et des calculs différents.

On s'intéresse maintenant à l'insertion de l'angle 3d, $\cos\phi^t_{ff'}$, entre les directions des deux triangles $\hat{b}_{ft}$ et $\hat{b}_{f't}$ dans le tétraèdre t – il s'agit bien sûr d'un analogue SU(2) du véritable angle dihédral entre les triangles, donné à la section 13.2. Soit deux triangles f_1, f_2 dans un tétraèdre t^*. Notre angle est, suivant (13.13) et (13.49),

$$\cos\phi^{t^*}_{f_1 f_2} \;=\; -\epsilon_{f_1 f_2}\;\langle 1,0|n^{-1}_{f_1 t^*}\, n_{f_2 t^*}|1,0\rangle. \tag{17.24}$$

Nous prendrons dans la suite la même orientation pour les faces, $\epsilon_{f_1 f_2} = 1$. Nous nous attendons naturellement à ce que la traduction de cette quantité en mousses de spins fasse intervenir le spin entrelaceur i_{t^*} qui couple j_1 et j_2 (en choisissant l'appariement entre les quatre spins se rencontrant en t^* de façon adéquate), et nous espérons pouvoir comparer notre résultat (avec succès) avec la quantification des angles dihédraux 3d en gravité canonique à boucles donnée par Major [129]. On regarde donc :

$$\mathcal{I}(\cos\phi^{t^*}_{f_1 f_2}) = \int \prod_{(t,v)} dg_{vt} \prod_{(f,t)} dn_{ft} \prod_{(f,v)} \Big[d\theta_{fv}\,\delta\big(n^{-1}_{ft}\, g_{tt'}\, n_{ft'}\, e^{-\frac{i}{2}\theta_{fv}\sigma_z}\big)\Big] \prod_f d\mu(A_f) e^{iA_f \sin\frac{\theta_f}{2}} \times \Big[D^{(1)}_{00}\big(n^{-1}_{f_1 t^*}\, n_{f_2 t^*}\big)\Big] \tag{17.25}$$

Nous écrivons ensuite : $D^{(1)}_{00}(n_1^{-1}\, n_2) = \sum_{A=-1}^{1} D^{(1)}_{0A}(n_1^{-1})\, D^{(1)}_{A0}(n_2)$, en notant les éléments de matrices des représentations $D^{(j)}_{mn}(g) = \langle j,m|g|j,n\rangle$. Après intégration sur les normes A_f et les angles θ_{fv}, l'intégrant sur f_1 est :

$$\left\{\sum_{j_1\in\mathbb{N}} d_{j_1} D^{(j_1)}_{00}(n_1^{-1}g_1n_1) + \sum_{m_1>0}\sum_{j_1\in\frac{\mathbb{N}}{2}} d_{j_1}\Big(D^{(j_1)}_{\frac{m_1}{2}\frac{m_1}{2}}(n_1^{-1}g_1n_1) + (-1)^{m_1} D^{(j_1)}_{-\frac{m_1}{2}-\frac{m_1}{2}}(n_1^{-1}g_1n_1)\Big)\right\} D^{(1)}_{0A}(n_1^{-1}) \tag{17.26}$$

L'intégrale sur les rotations n_1, n_2 n'est donc plus trivial comme en (17.16), et se calcule explicitement :

$$\int_{\mathrm{SU}(2)} dn\, D^{(j)}_{ll}\big(n^{-1}gn\big)\, D^{(1)}_{0A}(n^{-1}) = -(-1)^{j-l}\begin{pmatrix} j & j & 1\\ -l & l & 0\end{pmatrix}\sum_{a,b}(-1)^{j-a}(-1)^{1-A}\begin{pmatrix} j & j & 1\\ -a & b & -A\end{pmatrix} D^{(j)}_{ab}(g) \tag{17.27}$$

Les détails du calcul sont fournis dans [56]. A nouveau, le point important est qu'il est possible de faire les sommes sur les moments magnétiques m_1, m_2 pour ne laisser subsister que les spins j_1, j_2 ! Par ailleurs, ces spins sont ici contraints à être dans $\mathbb{N} + \frac{1}{2}$.

Les intégrales sur les holonomies produisent toujours une somme sur les entrelaceurs entre les quatre représentations se rencontrant en t^*. On choisit la base telle que j_1 et j_2 s'apparient via i_{t^*}. Il est clair dans l'équation ci-dessus que l'insertion provoque une série d'entrelacement de j_1 avec j_2 via le spin 1 selon : $\mathcal{H}_{j_1}\otimes\mathcal{H}_{j_1} \to \mathcal{H}_{j=1} \to \mathcal{H}_{j_2}\otimes\mathcal{H}_{j_2}$. Au final, nous obtenons en t^* un symbole 6j de recouplage entre la série d'entrelacements précédente et : $\mathcal{H}_{j_1}\otimes\mathcal{H}_{j_2} \to \mathcal{H}_{i_{t^*}} \to \mathcal{H}_{j_1}\otimes\mathcal{H}_{j_2}$,

$$\big(\widehat{\cos\phi^t_{f_1 f_2}}\big)_{j_1,j_2,i_t} = -\frac{(-1)^{j_1+j_2+i_t}}{4}\sqrt{\frac{d^3_{j_1}\, d^3_{j_2}}{j_1(j_1+1)j_2(j_2+1)}}\begin{Bmatrix} j_1 & j_1 & 1\\ j_2 & j_2 & i_t\end{Bmatrix}, \qquad j_1, j_2 \in \mathbb{N}+\frac{1}{2}. \tag{17.28}$$

Ce symbole 6j correspond précisément à la règle du double grasping de [108] pour calculer les angles, et est explicitement connu, ce qui conduit à :

$$\big(\widehat{\cos\phi^t_{f_1 f_2}}\big)_{j_1,j_2,i_t} \;=\; N_{j_1 j_2}\;\frac{j_1(j_1+1)+j_2(j_2+1)-i_t(i_t+1)}{2\sqrt{j_1(j_1+1)\,j_2(j_2+1)}}, \tag{17.29}$$

où $N_{j_1 j_2}$ est un coefficient borné, indépendant de i_t, et équivalent à 1 dans l'asymptotique :

$$N_{j_1 j_2} = \frac{(2j_1+1)\,(2j_2+1)}{4\sqrt{j_1(j_1+1)\,j_2(j_2+1)}}. \tag{17.30}$$

En fait, $N_{j_1 j_2}$ est le rapport de deux des spectres les plus utilisés pour les observables d'aires [2], $(j+\frac{1}{2})$ et $\sqrt{j(j+1)}$, qui sont bien sûr équivalents dans la limite semi-classique. A la normalisation $N_{j_1 j_2}$ près, c'est exactement la quantification du cosinus des angles donnée par Major dans [129] dans le formalisme de la LQG (voir discussion à la section 5.2), et déjà proposée par Penrose (voir les références dans [129]) dans son programme d'espace-temps combinatoire ! Etre capable de retrouver de telles expressions en partant des grandeurs purement classiques, quantifiées par l'intégrale sur les géométries du système, nous permet d'avoir confiance dans le formalisme développé et confirme son potentiel en tant que point de départ pour la construction de modèles de gravité quantique.

17.2 Action discrète pour les nouveaux modèles

Nous utilisons maintenant l'ensemble des variables introduites à la section 13.4, dans le but de regarder quels modèles de mousses de spins émergent de l'intégrale sur les géométries exprimées dans ces variables. Pour se donner une référence, nous allons surtout présenter une action qui conduit au modèle FK (et EPR, $\gamma < 1$), et présenterons par la suite brièvement la classe de modèles naturelle qui le contient.

Nos variables sont les suivantes : des holonomies $G_{vt} \in \mathrm{Spin}(4)$, les aires des triangles A_f, des rotations $n_{\pm ft} \in \mathrm{SU}(2)$, des variables angulaires sur chaque paire de tétraèdres voisins $\theta^{\pm}_{fv}$ qui contiennent les angles dihédraux physiques correspondants. Pour implémenter les contraintes de simplicité, nous avons aussi les normales aux tétraèdres $N_t \in \mathrm{SU}(2) \simeq S^3$, et des angles ψ_{ft}, qui peuvent par ailleurs être fixés respectivement à l'identité et 0, ramenant l'invariance de jauge de Spin(4) au sous-groupe SU(2) diagonal.

Par rapport au jeu de variables standard pour décrire les géométries simplicielles à partir de la théorie topologique, voir [89], nous avons ajouter les variables angulaires $\theta^{\pm}_{fv}$ et ψ_{ft}. Les relations à imposer *classiquement* entre toutes ces variables et leur sens géométrique, exposés en section 13.4, seront repris plus bas. En particulier, toutes nos variables supplémentaires sont, au niveau classique, reliées aux holonomies et aux rotations $n_{\pm ft}$. L'avantage de notre approche sur les autres est donc de pouvoir considérer des fonctions de ces variables supplémentaires même *off-shell* ! C'est ce qui sera déterminant pour dériver les nouveaux modèles, car les relations classiques ne sont pas toutes imposées fortement dans l'intégrale fonctionnelle sur la triangulation, au niveau quantique.

L'action que nous proposons contient deux parties jouant des rôles physiquement distincts :

$$S_\gamma = S_{\mathrm{R}\gamma}(A_f, \theta^+_{fv}, \theta^-_{fv}) + S^{\mathrm{CS}}_{s_+}\big(n_{+ft}, g_{+vt}, \theta^+_{fv}\big) + S^{\mathrm{CS}}_{s_-}\big(n_{-ft}, g_{-vt}, \theta^-_{fv}\big). \tag{17.31}$$

L'action $S_{\mathrm{R}\gamma}$ est une action à la Regge, compactifiée, et qui, pour la premi'ere fois à notre connaissance, incorpore le paramètre d'Immirzi γ :

$$S_{\mathrm{R}\gamma} = -\sum_f A_f \,\sin\left(\sum_{v\supset f} \frac{\gamma_+}{2}\,\theta^+_{fv} + \frac{\gamma_-}{2}\,\theta^-_{fv}\right). \tag{17.32}$$

Notons tout de suite que c'est la seule partie de l'action qui dépend des aires des triangles, et de plus de manière linéaire (A_f est bien une variable indépendante) !

Les quantités $\gamma_\pm$ sont définies à partir de γ, et plusieurs choix sont possibles en s'inspirant de la littérature, pour reproduire les différentes prescriptions (14.9) ou (14.28). Nous considérerons souvent

le choix le plus naïf, obtenu par identification des coefficients avec la décomposition self-duale/anti-self-duale de l'action de Holst, dans la limite continue naïve de $S_{\mathrm{R}\gamma}$,

$$\text{prescription naïve :} \qquad \gamma_\pm = \frac{1 \pm \gamma}{\gamma}. \tag{17.33}$$

Par comparaison, la prescription de Freidel-Krasnov (14.28) permet de définir sans souci le cas $\gamma = 0$. Bien entendu, nos calculs s'appliquent à des choix quelconques de $\gamma_\pm$.

La deuxième partie de l'action est une action de collage des simplexes, qui vise à concentrer les amplitudes autour des configurations qui satisfont les relations de transport parallèle, (13.9) ou (13.42). Le choix spécifique S_s^{CS} permet de reproduire le modèle FK, mais d'autres choix sont envisageables. La notation « CS » réfère à « coherent states », soit états cohérents, car sa forme très spéciale est la clé pour reproduire la formulation du modèle FK en termes d'états cohérents. S_s^{CS} ne dépend pas explicitement du paramètre d'Immirzi, mais des signes $s_\pm = \mathrm{sign}(\gamma_\pm)$, indépendamment pour les parties anti/self-duales. Elle se construit en fait à l'aide de variables supplémentaires, interprétées comme des multiplicateurs de Lagrange à valeurs discrètes, $j_{fv}^\pm \in \frac{\mathbb{N}}{2}$,

$$S_s^{\mathrm{CS}}\big(n_{ft}, g_{vt}, \theta_{fv}\big) = -2i \sum_{(f,v)} j_{fv} \ \ln \ \mathrm{tr}\left(\frac{1}{2}\big(\mathbb{1} + s\,\sigma_z\big)\, n_{ft}^{-1}\, g_{tt'}\, n_{ft'}\, e^{\frac{i}{2}\theta_{fv}\sigma_z}\right). \tag{17.34}$$

Nous verrons que les secteurs géométriques et non-géométriques sont reliés par $\gamma_- \to -\gamma_-$. Il faut aussi garder à l'esprit que le choix de l'action de collage influe sur les points stationnaires, et S_s^{CS} est très spécifique de ce point de vue – c'est notamment une quantité complexe.

L'action proposée S_γ est invariante sous les transformations de jauge Spin(4) provenant du modèle topologique, et les transformations $\mathrm{U}(1) \times \mathrm{U}(1)$ associées aux variables supplémentaires. Ces dernières viennent du fait que l'angle d'Euler γ dans la décomposition $n = e^{-\frac{i}{2}\alpha\sigma_z}\, e^{-\frac{i}{2}\beta\sigma_y}\, e^{-\frac{i}{2}\gamma\sigma_z}$ des rotations $n_{\pm ft}$ n'est pas physique ; le rôle physique de ces rotations est de déterminer les directions de 3-vecteurs définis par l'action adjointe (i.e. la représentation vectorielle) des rotations sur l'axe de référence $\hat{z}$:

$$\hat{b}_{\pm ft} \cdot \vec{\sigma} \ \equiv \ \pm\, \mathrm{Ad}\big(n_{\pm ft}\big)\, \sigma_z. \tag{17.35}$$

Ces transformations agissent par des familles $K = (K_t, K_v \in \mathrm{Spin}(4))$ et $\Lambda = ((\lambda_{ft}^+, \lambda_{ft}^-) \in \mathfrak{u}(1) \oplus \mathfrak{u}(1))$ selon :

$$(K,\Lambda) \ \cdot \ G_{vt} \ = K_v\, G_{vt}\, K_t^{-1}, \tag{17.36}$$

$$(K,\Lambda) \ \cdot \ N_t \ = k_{+t}\, N_t\, k_{-t}^{-1}, \tag{17.37}$$

$$(K,\Lambda) \ \cdot \ n_{\pm ft} = k_{\pm t}\, n_{\pm ft}\, e^{\frac{i}{2}\lambda_{ft}^\pm \sigma_z}, \tag{17.38}$$

$$(K,\Lambda) \ \cdot \ \theta_{fv}^\pm \ = \theta_{fv}^\pm + \epsilon_{tt'}^f \big(\lambda_{ft}^\pm - \lambda_{ft'}^\pm\big), \tag{17.39}$$

$$(K,\Lambda) \ \cdot \ \psi_{ft} \ = \psi_{ft} - \big(\lambda_{ft}^+ - \lambda_{ft}^-\big). \tag{17.40}$$

17.2.1 Action de transport parallèle pour le collage des simplexes

La forme de l'action de collage S_s^{CS} permet donc de reproduire spécifiquement le modèle FK et a des conséquences non-triviales sur les équations des points stationnaires de l'action complète. Avant de voir cela, nous regardons dans cette section en quoi elle permet de vraiment coller les simplexes.

Remarquons d'abord que S_s^{CS} a la même forme fonctionnelle que l'action proposée dans [70] par Conrady et Freidel, mais avec des variables différentes et surtout ici un véritable sens géométrique ! Pour le voir, nous traitons momentanément les variables $j_{fv}^\pm$ comme d'authentiques multiplicateurs de

Lagrange, à savoir des variables réelles. La stationnarité de l'action par rapport à ces variables impose au logarithme complexe de (17.34) de s'annuler pour chaque paire (f, v),

$$\ln \operatorname{tr}\left(\frac{1}{2}\big(\mathbb{1} + s\,\sigma_z\big)\, n_{ft}^{-1}\, g_{tt'}\, n_{ft'}\, e^{\frac{i}{2}\theta_{fv}\sigma_z}\right) = 0. \tag{17.41}$$

On paramètre : $g = \cos\phi + i\sin\phi\,\hat{u}\cdot\vec{\sigma} \in \mathrm{SU}(2)$. Alors, la fonction qui nous intéresse est :

$$\ln \operatorname{tr}\left(\frac{1}{2}\big(\mathbb{1} + s\,\sigma_z\big)\, g\right) = \ln\Big(\cos\phi + is\sin\phi\, u_z\Big), \tag{17.42}$$

où u_z est la projection de $\hat{u} \in S^2$ sur la direction $\hat{z} = (0, 0, 1)$. Elle s'annule uniquement pour $\phi = 0$, soit $g = \mathbb{1}$. Les équations du mouvement associées sont donc précisément (13.43),

$$g_{+tt'} = n_{+ft}\, e^{-\frac{i}{2}\theta^+_{fv}\sigma_z}\, n^{-1}_{+ft'}, \qquad \text{et} \qquad g_{-tt'} = n_{-ft}\, e^{-\frac{i}{2}\theta^-_{fv}\sigma_z}\, n^{-1}_{-ft'}, \tag{17.43}$$

pour des tétraèdres adjacents collés le long de f. Nous avons vu à la section 13.4 qu'il s'agit des relations de transport parallèle écrites dans les nouvelles variables. En effet, il faut voir $n_{\pm ft}$ comme des rotations définissant les directions d'un bivecteur $\hat{b}_{+ft} \oplus \hat{b}_{-ft} \in \mathfrak{spin}(4)$ en envoyant la direction $\hat{z}$ sur $\mathrm{Ad}(n_{\pm ft})\hat{z} = \pm\hat{b}_{\pm ft}$. Les équations ci-dessus donnent alors :

$$\hat{b}_{+ft} \;=\; \mathrm{Ad}\big(g_{+tt'}\big)\,\hat{b}_{+ft'}, \qquad \text{et} \qquad \hat{b}_{-ft} \;=\; \mathrm{Ad}\big(g_{-tt'}\big)\,\hat{b}_{-ft'}. \tag{17.44}$$

Une caractéristique de ce choix de l'action de collage est donc d'imposer une contrainte sur trois variables réelles (car (17.43) est une équation sur SU(2)) à partir d'une équation sur une seule variable réelle (17.41). Néanmoins, les variables $j^{\pm}_{fv}$ ne sont pas réelles mais seulement demi-entières. Il faut donc penser à l'action de collage comme une mesure de l'intégrale fonctionnelle qui concentre, avec une largeur finie, l'amplitude autour des configurations satisfaisant les règles correctes de transport parallèle. En effet, dans l'intégrales de chemins, nous avons à faire à une somme sur chaque spin $j^{\pm}_{fv}$, qui se calcule exactement :

$$\widetilde{\delta}^{\mathrm{cs}}_s(g) \equiv \sum_{j\in\frac{\mathbb{N}}{2}} e^{2j\,\ln\left(\operatorname{tr}\,\frac{1}{2}(\mathbb{1}+s\sigma_z)g\right)}, \tag{17.45}$$

$$= \sum_{j\in\frac{\mathbb{N}}{2}} \langle j, sj|\, g\, |j, sj\rangle, \tag{17.46}$$

$$= \frac{1}{1 - \cos\phi - is\,\sin\phi\, u_z}, \tag{17.47}$$

pour $g = \cos\phi + i\sin\phi\,\hat{u}\cdot\vec{\sigma}$. Nous avons utilisé le fait que : $\langle j, \pm j|\, g\, |j, \pm j\rangle = [\operatorname{tr}\,\frac{1}{2}(\mathbb{1} \pm \sigma_z)g]^{2j} = (\cos\phi \pm i\sin\phi\, u_z)^{2j}$. Cette fonction est bien sûr piquée autour de l'idenité car elle diverge pour $\phi = 0$. Cette action de collage revient donc à considérer l'intégrale de chemins pour les variables $G_{vt}, n_{\pm ft}, \theta^{\pm}_{fv}$ avec un poids $\widetilde{\delta}^{\mathrm{cs}}_s$ sur triangle de chaque 4-simplexe :

$$\sum_{\{j^+_{fv}, j^-_{fv}\}} e^{iS^{\mathrm{CS}}_{s_+}}\, e^{iS^{\mathrm{CS}}_{s_-}} = \prod_{(f,v)} \widetilde{\delta}^{\mathrm{cs}}_{s_+}\left(n^{-1}_{+ft}\, g_{+tt'}\, n_{+ft'}\, e^{\frac{i}{2}\theta^+_{fv}\sigma_z}\right) \widetilde{\delta}^{\mathrm{cs}}_{s_-}\left(n^{-1}_{-ft}\, g_{-tt'}\, n_{-ft'}\, e^{\frac{i}{2}\theta^-_{fv}\sigma_z}\right). \tag{17.48}$$

La normalisation de l'amplitude finale des tétraèdres peut être modifiée à cette étape, en introduisant des puissances des dimensions $d_{j^{\pm}_{fv}}$ dans la somme (17.45), ce qui pour des puissances positives revient à prendre des dérivées de $\widetilde{\delta}^{\mathrm{cs}}_s$.

Les contraintes de simplicité croisée (13.40) s'incorporent facilement à l'action car elles expriment directement disons n_{-ft} en fonction des autres variables, (13.44),

$$n_{-ft} = N_t^{-1}\, n_{+ft}\, e^{\frac{i}{2}\psi_{ft}\sigma_z}. \tag{17.49}$$

Nous n'aurons donc qu'à remplacer n_{-ft} par cette expression partout. Nous savons (voir par exemple [23, 77]) que cette contrainte avec la relation de fermeture (13.8) permet de reconstruire la géométrie de chaque tétraèdre indépendamment. De plus, nous avons vu à la section 13.4 que cette contrainte avec la relation de transport parallèle (17.43) permet d'extraire les angles dihédraux 4d comme étant

$$\cos\vartheta_{tt'} = -\frac{1}{2}\,\mathrm{tr}\left(g_{+t_1t_2}\, N_{t_2}\, g^{-1}_{-t_1t_2}\, N_{t_1}^{-1}\right), \qquad = -\cos\frac{1}{2}\Big(\theta^+_{fv} - \theta^-_{fv} + \epsilon^f_{tt'}\big(\psi_{ft} - \psi_{ft'}\big)\Big), \tag{17.50}$$

fournissant l'interprétation des angles $\theta^\pm_{fv}, \psi_{ft}$, mais aussi de montrer que ces angles sont déterminés par la géométrie des tétraèdres,

$$\cos\vartheta_{tt''} = \frac{\cos\phi^{t'}_{f_1f_2} - \cos\phi^{t}_{f_1f}\,\cos\phi^{t''}_{ff_2}}{\sin\phi^{t}_{f_1f}\,\sin\phi^{t''}_{ff_2}}, \tag{17.51}$$

pour $\cos\phi^t_{ff'} = \langle 1,0|n^{-1}_{+ft}\, n_{+f't}|1,0\rangle$. De ce fait, nous avons également pu prouver que les géométries des tétraèdres voisins sont bien consistentes !

17.2.2 Action de Regge avec paramètre d'Immirzi

Munie de cette description géométrique, nous formons la quantité suivante, qui est on-shell la somme des angles dihédraux :

$$\vartheta_f = \sum \vartheta_{tt'} = \frac{1}{2}(\theta^+_f - \theta^-_f), \qquad \text{pour} \qquad \theta^\pm_f = \sum_{v\supset f}\theta^\pm_{fv}, \tag{17.52}$$

et l'action de Regge compactifiée correspondante :

$$S_{\mathrm{R}\gamma} = -\sum_f A_f\,\sin\frac{1}{4}\Big(\big(\gamma_+ - \gamma_-\big)\,2\vartheta_f + \big(\gamma_+ + \gamma_-\big)\big(\theta^+_f + \theta^-_f\big)\Big). \tag{17.53}$$

Avec la prescription naïve (17.33) pour les coefficients $\gamma_\pm$, cela se réduit à :

$$S_{\mathrm{R}\gamma} = -\sum_f A_f\,\sin\left(\vartheta_f + \frac{1}{2\gamma}\big(\theta^+_f + \theta^-_f\big)\right). \tag{17.54}$$

Cette forme est particulièrement évocatrice. Tout d'abord, commentons la proposition pour $\gamma = \infty$. Nous pouvons alors introduire l'angle de déficit, $\varepsilon_f = 2\pi - \vartheta_f$, et pour des petits angles de déficit, cette action prend excatement la forme de l'action de Regge, $\sum_f A_f\,\varepsilon_f$. Insistons néanmoins sur le fait qu'ici les aires et les angles sont des variables *indépendantes*, et qu'on ne s'attend à ce qu'elles soient fonctions d'une métrique discrète, i.e. des longueurs, uniquement on-shell !

Pour γ fini, on avons à côté de l'angle de déficit, formé par la différence de θ^+_f et θ^-_f, un autre angle qui lui vient de la somme de ϑ^+_f et θ^-_f, avec un facteur le paramètre d'Immirzi. Une situation similaire a été observée dans les études asymptotiques, [69, 38]. Quand les scontraintes sont pleinement satisfaites, il se trouve que [69] : $\theta^+_f + \theta^-_f = 2\pi n$ pour un entier n. Ainsi, l'action on-shell esst indépendante de $(\gamma_+ + \gamma_-$ dès lors que ce dernier est un entier pair. C'est également une condition suffisante pour que l'asymptotique calculé dans [69] ne soit pas nul. Cela rejoint ainsi le fait que les équations du mouvement sont indépendantes de γ dans la théorie continue !

Lorsque les contraintes de recollement (17.43) tiennent, et en utilisant la simplicité croisée, on montre que l'action à la Regge compactifiée prend la forme d'une action à la BF,

$$S_{\mathrm{R}\gamma} = -\sum_f \mathrm{tr}\Big(b_{+ft}\, g_{+f}^{\gamma_+}(t)\, N_t\, g_{-f}^{\gamma_-}(t)\, N_t^{-1}\Big), \qquad \text{on-shell.} \tag{17.55}$$

Pour une rotation $g = e^{\frac{i}{2}\phi\hat{u}\cdot\vec{\sigma}} \in \mathrm{SU}(2)$ d'angle ϕ et de direction $\hat{u}$, l'élément de groupe g^α est défini comme ayant la même direction et un angle $\alpha\phi$. Pour chaque triangle, il faut un tétraèdre de référence, mais la trace ne dépend pas de ce choix grâce au transport parallèle. L'action (17.55) est bien une discrétisation de la théorie BF Spin(4) avec les contraintes de simplicité. Prenons en effet un système de coordonnées dans lequel la longueur typique d'une arête est d'ordre ϵ. Quand ϵ tend vers zero, nous pouvons utiliser le développement : $g_{\pm f} \approx 1 + \epsilon^2 F_{\pm|f}$, où $F_{\pm|f}$ est la composante de la courbure dans les directions de la face duale au triangle f. Ainsi : $g_{\pm f}^{\gamma_\pm} \approx 1 + \epsilon^2 \gamma_\pm F_{\pm|f}$. Pour chaque triangle, l'action (17.55) se réduit à :

$$\epsilon^2\, \gamma_+\, \mathrm{tr}\,\big(b_{+ft}\, F_{+|f}\big) - \epsilon^2\, \gamma_-\, \mathrm{tr}\,\big(b_{-ft}\, F_{-|f}\big), \tag{17.56}$$

où nous avons utilisé : $b_{-ft} = -\,\mathrm{Ad}(N_t^{-1})\, b_{+ft}$. C'est bien la limite continue attendue.

Dans la théorie continue, il est possible de considérer comme référence aussi bien le secteur topologique que le secteur géométrique, les deux étant reliés par la transformation $\gamma \to \gamma^{-1}$. Regardons comment cela se fait aussi dans le formalisme discret. Nous démarrons avec la prescription naïve (17.33) pour $\gamma_\pm$ dans le secteur géométrique. Cela ne concerne que la partie à la Regge de notre action,

$$S_{\mathrm{R}\gamma} = -\sum_f A_f\, \sin\left(\sum_{v\supset f} \frac{\gamma_+}{2}\, \theta_{fv}^+ + \frac{\gamma_-}{2}\, \theta_{fv}^-\right), \qquad \text{pour} \quad \gamma_\pm = \gamma^{-1} \pm 1. \tag{17.57}$$

L'ambiguité de signes entre les deux secteurs apparaît originellement dans la contrainte de simplicité croisée : $b_{-ft} = \mp\,\mathrm{Ad}(N_t^{-1})\, b_{+ft}$, et nous cherchons à la traduire dans cette action. En observant (17.55) et sa limite continue, on remarque que la transformation revient à changer le signe de γ_-, et donc pour nous l'exposant de l'holonomie anti-self-duale : $g_f^{\gamma_-} \to g_f^{-\gamma_-}$. Changeons dans le même temps le paramètre d'Immirzi en γ^{-1}. Cela donne l'action pour le secteur non-géométrique comme référence,

$$S_{\mathrm{R,non-g},\gamma^{-1}} = -\sum_f A_f\, \sin\left(\sum_{v\supset f} \frac{1+\gamma}{2}\, \theta_{fv}^+ + \frac{1-\gamma}{2}\, \theta_{fv}^-\right), \tag{17.58}$$

ce qui correspond précisément à la prescription EPR (14.9) pour $\gamma < 1$.

17.2.3 Les géométries stationnaires

Nous regardons maintenant les équations du mouvement restantes. Nous nous attendons à trouver : la relation de fermeture, pour compléter le jeu des contraintes de géométricité, une équation exprimant les multiplicateurs de Lagrange $j_{fv}^\pm$ en fonction des autres variables (notamment les aires), et une équation décrivant la *dynamique*. Avec l'interprétation géométrique simplicielle développée jusqu'à présent, on pourrait espérer trouver à une équation équivalentes aux équations de Regge, approchant les équations d'Einstein sur la triangulation. En fait, nous obtenons plutôt une équation caractérisant des géométries simplicielles plates ! Bien sûr la question de savoir si ces géométries, singularisées par l'étude des points stationnaires, sont prépondérantes au niveau quantique reste une question ouverte ...

Les aires A_f n'interviennent dans S_γ que dans la partie à la Regge, et de manière linéaire, ce qui donne l'équation de stationnarité suivante,

$$\sin\frac{1}{4}\Big(\big(\gamma_+ - \gamma_-\big)\, 2\theta_f + \big(\gamma_+ + \gamma_-\big)\big(\theta_f^+ + \theta_f^-\big)\Big) = 0, \tag{17.59}$$

qui est pour la dynamique l'analogue de l'équation de courbure (discrète) nulle dans le modèle topologique. De plus, cette équation est revient à extrémiser la version on-shell (17.55) par rapport aux variables b_{+ft} :

$$g_{+f}^{\gamma_+}(t)\, N_t\, g_{-f}^{\gamma_-}(t) \;=\; \pm N_t. \tag{17.60}$$

Comme nous le savons, dans le cas $\gamma = \infty$ (donc $\gamma_+ = -\gamma_- = 1$) et lorsque toutes les contraintes sont satisfaites (simplicité croisée, fermeture vérifiée ci-dessous, transport parallèle), cela siginifie que la courbure physique, i.e. les angles de déficit, est nulle (voir (13.31)). Reste à ce niveau à déterminer l'influence du paramètre d'Immirzi.

Ensuite nous faisons varier les angles $\theta_{fv}^{\pm}$ qui couplent la partie à la Regge $S_{\mathrm{R}\gamma}$ et la partie collage S^{CS} :

$$\gamma_\pm\, A_f\;\cos\frac{1}{4}\Big(\big(\gamma_+ - \gamma_-\big)\,2\theta_f + \big(\gamma_+ + \gamma_-\big)\big(\theta_f^+ + \theta_f^-\big)\Big) = 2s_\pm\, j_{fv}^{\pm}, \tag{17.61}$$

pour chaque vertex dual v sur le bord de la face duale f. Du fait de l'équatio (17.59), le cosinus se réduit à ± 1. Cela nous amène au rôle des signes $s_\pm = \mathrm{sign}(\gamma_\pm)$. En effet, quand γ devient plus grand que 1, γ_- devient négatif. Mais toutes les quantités de l'équation ci-dessus sont positives, exceptée s_- qui change également de signe. Finalement, le cosinus doit être $+1$, ce qui correspond au signe $+$ dans (17.60). Nous aboutissons à deux équations :

$$\cos\frac{1}{4}\Big(\big(\gamma_+ - \gamma_-\big)\,2\theta_f + \big(\gamma_+ + \gamma_-\big)\big(\theta_f^+ + \theta_f^-\big)\Big) = 1, \tag{17.62}$$

et

$$\frac{2}{|\gamma_+|}\, j_{fv}^{+} \;=\; \frac{2}{|\gamma_-|}\, j_{fv}^{-} \;=\; A_f. \tag{17.63}$$

Parmi les conséquences, les aires sont quantifiées et prennent des valeurs rationnelles quand $\gamma_\pm$ sont entiers. Les spins sont les mêmes sur tous les 4-simplexes dont le bord contient le triangle f, $j_{fv}^{\pm} = j_f^{\pm}$, et vérifient la contrainte de simplicité diagonale (14.32), avec j_f remplacé par $A_f/2$ (qui n'est pas forcément demi-entier).

La stationnarité par rapport aux variables $n_{\pm ft}$ ne génère pas de nouvelles équations.

Il nous faut vérifier que les variations de l'action par rapport aux holonomies conduisent bien à la relation de fermeture (13.8),

$$\sum_{f\subset t} \epsilon_{ft}\, b_{\pm ft} \;=\; 0, \qquad \text{pour} \qquad b_{\pm ft} \;=\; \pm A_f\;\mathrm{Ad}\big(n_{\pm ft}\big)\,\sigma_z, \tag{17.64}$$

pour les bivecteurs $B_{ft} = b_{+ft} \oplus b_{-ft}$ de chaque tétraèdre, ce qui n'est généralement pas assuré pour une fonction de collage quelconque comme nous allons le discuter. C'est bien sûr vrai pour l'action BF sur réseau (13.4), mais la situation est quelque peu différente ici. L'action à la Regge $S_{\mathrm{R}\gamma}$ n'est du type BF que on-shell, et les holonomies interviennent en fait dans l'action de collage par transport parallèle. Remarquons que c'est grâce à cette équation que les variables A_f s'interprètent bien comme les aires des triangles.

Pour vérifier que la relation de fermeture est effectivement produite lorsqu'on choisit le collage spécifique S^{CS}, nous regardons l'effet de variations δg_{+vt}, qui sont telles que par la forme de Maurer-Cartan, $\xi_{+vt} = g_{+vt}^{-1}\,\delta g_{+vt}$ est un élément de l'algèbre $\mathfrak{su}(2)$. En prenant la même orientation pour les quatre triangles du tétraèdre t, il vient :

$$\delta S_{s_+}^{\mathrm{CS}} = -2i\sum_{f\subset t} j_{fv}^{+}\,\frac{\mathrm{tr}\big(\frac{1}{2}\big(\mathbb{1} + s_+\sigma_z\big)\, n_{+ft'}^{-1}\, g_{+t't}\,\xi_{+vt}\, n_{+ft}\, e^{\frac{i}{2}\theta_{fv}^{+}\sigma_z}\big)}{\mathrm{tr}\big(\frac{1}{2}\big(\mathbb{1} + s_+\sigma_z\big)\, n_{+ft'}^{-1}\, g_{+t't}\, n_{+ft}\, e^{\frac{i}{2}\theta_{fv}^{+}\sigma_z}\big)}. \tag{17.65}$$

On peut alors vérifier [56] que les équations du mouvement dérivées précédemment simplifient cette équation en la relation de fermeture (17.64).

Nous voulons connaître l'influence du choix de l'action de collage sur les équations des points stationnaires, et comme nous l'avons annoncé sur la relation de fermeture des bivecteurs (17.64). C'est-à-dire qu'à la place d'utiliser la mesure $\widetilde{\delta}^{\mathrm{cs}}$, (17.48), nous voulons introduire une mesure différente $\widetilde{\delta}$ pour piquer l'intégrale sur les relations de transport parallèle. A titre d'illustration, et parce que c'est le choix le plus naturel, nous détaillons le cas où $\widetilde{\delta}(g) = \delta(g)$. Au niveau de l'action, cela signifie que nous imposons les relations de collage, (17.43), à l'aide de multiplicateurs de Lagrange $x_{\pm fv} \in \mathfrak{su}(2)$ pour chaque wedge,

$$S_\gamma^{\mathrm{strong}} = S_{\mathrm{R}\gamma} + \sum_{(f,v)} \mathrm{tr}\Big(x_{+fv}\, g_{+tt'}\, n_{+ft'}\, e^{\frac{i}{2}\theta^+_{fv}\sigma_z}\, n^{-1}_{+ft}\Big) + \mathrm{tr}\Big(x_{-fv}\, g_{-tt'}\, n_{-ft'}\, e^{\frac{i}{2}\theta^-_{fv}\sigma_z}\, n^{-1}_{-ft}\Big). \quad (17.66)$$

Remarquons alors que chaque contrainte, qui est une relation sur SU(2) donc sur trois variables réelles, est bien imposée via les trois paramètres réels de chaque $x_{\pm fv}$, contrastant avec le fait que l'action de collage associée aux nouveaux modèles, S^{CS}, n'utilise qu'une variable réelle, $j^{\pm}_{fv}$, par contrainte SU(2) !

Les variations de l'action ci-dessus par rapport aux holonomies $g_{\pm vt}$ conduisent naturellement à une relation de fermeture sur les tétraèdres, mais pour les multiplicateurs,

$$\sum_{f\subset t} \epsilon_{ft}\, x_{\pm fv} = 0. \quad (17.67)$$

Il faut donc regarder quel est le lien entre les multiplicateurs et les bivecteurs. Tout comme (17.63), cela se fait par stationnarité par rapport aux angles $\theta^{\pm}_{fv}$. Ces variations conduisent à projeter $x_{\pm fv}$ sur les directions $\hat{b}_{\pm ft}$:

$$A_f = \pm\frac{i}{2\gamma_+}\, \mathrm{tr}\big(x_{+fv}\, \mathrm{Ad}\big(n_{+ft}\big)\, \sigma_z\big) = \pm\frac{i}{2\gamma_-}\, \mathrm{tr}\big(x_{-fv}\, \mathrm{Ad}\big(n_{-ft}\big)\, \sigma_z\big), \quad (17.68)$$

de sorte que ces projections correspondent aux variables A_f. Mais les composantes de $x_{\pm fv}$ orthogonales à $\hat{b}_{\pm ft}$ restent libres, et il ne semble pas possible de les éliminer de (17.67). La différence cruciale avec S^{CS} se situe dans l'insertion du projecteur $\frac{1}{2}(\mathbb{1} + \sigma_z)$, qui permet d'aboutir à la relation de fermeture pour les bivecteurs (17.64) (voir [56]).

Ainsi, pour une action de collage générique, on s'attend à ne pas pouvoir interpréter les variables A_f comme les aires des triangles ! Mais cela ne signifie pas qu'on ne puisse pas reconstuire de géométrie simplicielle, à la Regge, avec les variables $\hat{b}_{\pm ft}$. Comme nous l'avons vu en commentaire de l'équation (13.41), les quatre 3-vecteurs $\hat{b}_{+ft}$ d'un tétraèdre satisfont toujours une relation de fermeture, pour laquelle les coefficients s'interprètent comme les véritables aires, à un scaling près.

Mais si les aires ne coincident généralement pas avec les variables A_f, quel est le sens de ces dernières ? Puisque l'action est linéaire en les A_f, on peut considérer qu'elles visent simplement à imposer l'équation du mouvement correspondante, (17.59). Et comme nous le décrivons maintenant cette équation nous dit que les points stationnaires sont d'authentiques géométries simplicielles plates. A ce titre, remarquons qu'imposer la relation de fermeture des bivecteurs à la main, i.e. explicitement, pourrait résoudre simultanément ces deux situations qui sont liées : d'abord, permettre d'interpréter les variables A_f comme les aires. Puis comme toutes les contraintes seraient imposer directement, autoriser le changement de variables vers les longueurs des arêtes, restituant ainsi une dynamique proche des équations de Regge.

Regardons maintenant les équations de la dynamique. La discussion suivante ne dépend pas du fait que les variables A_f s'interprètent on-shell comme les aires ou non. Nous avons déjà remarqué que pour $\gamma = \infty$ l'équation (17.60) décrit des angles de déficit nuls autour des triangles. Pour traiter le cas d'un paramètre d'Immirzi fini, nous utilisons un résultat de Conrady et Freidel [69] : lorsque toutes les contraintes de géométricité sont satisfaites, l'angle $(\theta^+_f + \theta^-_f)$ en facteur du paramètre d'Immirzi dans

l'action $S_{\mathrm{R}\gamma}$ est un multiple de 2π. Cela vient du fait que l'on peut assigner de manière consistente des 4-vecteurs aux arêtes de la triangulation, tels que leurs expressions dans différents référentiels sont reliées par transport parallèle, à des signes près. En conséquence, et pourvu que $(\gamma_+ + \gamma_-)$ soit un entier pair, la somme des angles dihédraux ϑ_f est :

$$(\theta_f^+ + \theta_f^-) = 0, 2\pi \quad \mathrm{mod}\ (4\pi) \quad \Rightarrow \quad \vartheta_f = \frac{4\pi p_f}{\gamma_+ - \gamma_-}, \tag{17.69}$$

pour $p_f \in \mathbb{N}$. De plus, avec la prescription naïve (17.33), $\gamma_+ - \gamma_- = 2$, cela se réduit à :

$$\cos \sum_{(t,t')} \vartheta_{tt'} = 1, \tag{17.70}$$

dont la signification est que la courbure concentrée autour des triangles est nulle. Notons néanmoins que cela ne tient pas dans le secteur non-géométrique $\gamma = 0$!

17.3 Calcul de l'intégrale de chemins sur la triangulation en mousses de spins

17.3.1 Pour les nouveaux modèles

Le résultat de cette section est que l'amplitude quantique associée à l'action discrète décrite à la sectoin précédente est précisément celle du modèle FK (et donc aussi EPR pour $\gamma < 1$). Soit Z_γ défini par :

$$\begin{aligned} Z_\gamma \equiv \int \prod_{(t,v)} dG_{vt} \prod_{(f,t)} dn_{+ft}\, dn_{-ft}\, d\psi_{ft} \prod_t dN_t \prod_{(f,t)} \delta\Big(n_{-ft}^{-1} N_t^{-1} n_{+ft}\, e^{\frac{i}{2}\psi_{ft}\sigma_z}\Big) \prod_f dA_f \quad e^{iS_{\mathrm{R}\gamma}(A_f, \theta_{fv}^+, \theta_{fv}^-)} \\ \times \prod_{(f,v)} \int d\theta_{fv}^+ d\theta_{fv}^- \prod_{(f,v)} \widetilde{\delta}_{s_+}^{\mathrm{cs}} \Big(n_{+ft}^{-1} g_{+tt'} n_{+ft'}\, e^{\frac{i}{2}\theta_{fv}^+\sigma_z}\Big) \widetilde{\delta}_{s_-}^{\mathrm{cs}} \Big(n_{-ft}^{-1} g_{-tt'} n_{-ft'}\, e^{\frac{i}{2}\theta_{fv}^-\sigma_z}\Big). \end{aligned} \tag{17.71}$$

Alors la réécriture de toutes ces intégrales en langage « mousses de spins » donne :

$$Z_\gamma = \sum_{\{j_f, k_{ft}, l_t \in \frac{\mathbb{N}}{2}\}} \prod_t W_t\big(|\gamma_+|j_f, |\gamma_-|j_f, k_{ft}, l_t\big) \quad \prod_v W_v\big(|\gamma_+|j_f, |\gamma_-|j_f, k_{ft}, l_t\big), \tag{17.72}$$

où l'amplitude des tétraèdres est donnée par (14.38) ou (14.40), et l'amplitude des 4-simplexes par (14.34). La série de fonctions delta dans (17.71) prend en compte la simplicité croisée, $S_{\mathrm{R}\gamma}$ est l'action à la Regge, compactifiée, incluant le paramètre d'Immirzi γ, et la mesure constituant la seconde ligne de (17.71) concentre l'amplitude sur les configurations satisfaisant les relations de transport parallèle, nécessaires à la consistence de la géométrie. Aussi, $s_\pm = \mathrm{sign}\gamma_\pm$. Nous donnons maintenant la preuve, exposée initialement dans [57], et renvoyons à cette publication pour des discussions intéressantes sur les propriétés de l'amplitude notamment sous les changements d'orientations.

L'idée clé des mousses de spins est d'écrire l'amplitude comme une fonction de partition, soit une somme sur les états du système caractérisé au niveau quantique par des données au sens géométrique bien défini. En pratique, de tels développements s'obtiennent par transformées de Fourier sur les groupes de Lie considérés. Nous développons donc d'abord l'exponentielle de i fois l'action de Regge sur ses modes U(1). Par le développement de Jacobi-Anger, (17.17), définissant les fonctions de Bessel de première espèce J_m, nous avons pour chaque face :

$$e^{-iA_f \sin\frac{1}{2}(\gamma_+\theta_f^+ + \gamma_-\theta_f^-)} = \sum_{m_f \in \frac{\mathbb{Z}}{2}} J_{2m_f}(A)\, e^{-im_f(\gamma_+\theta_f^+ + \gamma_-\theta_f^-)}. \tag{17.73}$$

Comme à la section 17.1.2, nous utilisons : $\int_{\mathbb{R}_+} dA\, J_m(A) = 1$, pour $m \in \mathbb{N}$ et : $J_{-m}(A) = J_m(-A) = (-1)^m J_m(A)$, ce qui conduit à :

$$\int_{\mathbb{R}_+} dA_f\; e^{-iA_f \sin\frac{1}{2}(\gamma_+\theta_f^+ + \gamma_-\theta_f^-)} = 1 + \sum_{m_f \in \frac{\mathbb{N}*}{2}} \Big(e^{-i\gamma_+ m_f \theta_f^+}\, e^{i\gamma_- m_f \theta_f^-} + (-1)^{2m_f}\, e^{i\gamma_+ m_f \theta_f^+}\, e^{-i\gamma_- m_f \theta_f^-} \Big). \tag{17.74}$$

Notons que les modes conjugués à θ^+ et θ^- sont :

$$m_f^\pm = \gamma_\pm m_f, \tag{17.75}$$

pour $m_f \in \mathbb{N}/2$. Ainsi, ils satisfont une relation de la forme de la contrainte de simplicité diagonale (14.32) qui dans la quantification usuelle relie les spins self-duaux et anti-self-duaux de chaque triangle. Mais ici cette relation tient plus naturellement pour des représentations de U(1) qui vues dans SU(2) s'interprètent comme des nombres magnétiques $m_f^\pm$. Cela est dû au développement de l'action de Regge compactifiée, et est indépendant du choix de l'action pour le transport parallèle.

Viennent ensuite les effets propres aux fonctions $\widetilde{\delta}^{\mathrm{CS}}$. Nous avons recours au développement suivant, sur les éléments de matrices des représentations de SU(2), de plus haut ou plus bas nombres magnétiques,

$$\sum_{\{j_{fv}^+\}} e^{iS^{\mathrm{CS}}(n_{+ft}, g_{+vt}, \theta_{fv}^+)} = \prod_{(f,v)} \sum_{j_{fv}^+} \langle j_{fv}^+, s_+ j_{fv}^+ | n_{+ft}^{-1}\, g_{+tt'}\, n_{+ft'} | j_{fv}^+, s_+ j_{fv}^+ \rangle\, e^{is_+ j_{fv}^+ \theta_{fv}^+}. \tag{17.76}$$

Pour un mode m_f donné, les intégrales sur les variables angulaires $\theta_{fv}^\pm$ s'effectuent selon :

$$\prod_{v \supset f} \int d\theta_{fv}^+ d\theta_{fv}^-\; e^{is_+ j_{fv}^+ \theta_{fv}^+ + is_- j_{fv}^- \theta_{fv}^-} \Big(e^{-i\gamma_+ m_f \theta_f^+ + i\gamma_- m_f \theta_f^-} + (-1)^{2m_f}\, e^{i\gamma_+ m_f \theta_f^+ - i\gamma_- m_f \theta_f^-} \Big)$$
$$= \prod_{v \supset f} \delta_{j_{fv}^+, |\gamma_+| m_f}\; \delta_{j_{fv}^-, |\gamma_-| m_f}. \tag{17.77}$$

Cela contraint les spins dans le membre de droite de (17.76) à la valeur : $j_{fv}^\pm = |\gamma_\pm| m_f$. C'est de cette façon que le choix spécifique $\widetilde{\delta}^{\mathrm{cs}}$ pour la fonction de recollement se manifeste : elle permet d'identifier les modes U(1) m_f à des spins de SU(2) (à $\gamma_\pm$ près) ! Ainsi, la simplicité diagonale sur les moments magnétiques (17.75) devient la relation usuelle sur les spins (14.32).

Nous prenons la notation $j_f \equiv m_f$, et définissons : $j_f^\pm = |\gamma_\pm| j_f$. A ce stade, nous sommes arrivés à :

$$Z_\gamma = \sum_{\{j_f \in \frac{\mathbb{N}}{2}\}} \int \prod_{(t,v)} dG_{vt} \prod_{(f,t)} dn_{+ft}\, dn_{-ft}\, d\psi_{ft} \prod_t dN_t \prod_{(f,t)} \delta\Big(n_{-ft}^{-1}\, N_t^{-1}\, n_{+ft}\, e^{\frac{i}{2}\psi_{ft}\sigma_z} \Big)$$
$$\times \prod_{(f,v)} \langle j_f^+, s_+ j_f^+ | n_{+ft}^{-1}\, g_{+tt'}\, n_{+ft'} | j_f^+, s_+ j_f^+ \rangle\, \langle j_f^-, s_- j_f^- | n_{-ft}^{-1}\, g_{-tt'}\, n_{-ft'} | j_f^-, s_- j_f^- \rangle, \tag{17.78}$$

La contrainte de simplicité croisée s'élimine directement en insérant partout où nécessaire : $n_{-ft} = N_t^{-1}\, n_{+ft}\, e^{\frac{i}{2}\psi_{ft}\sigma_z}$. Les rotations N_t peuvent être absorbées à droite des éléments g_{-vt} qui sont aussi intégrés, ou de manière équivalente, fixées à l'identité par invariance de jauge Spin(4). De même, les angles ψ_{ft} disparaissent trivialement. Tout cela simplifie l'écriture précédente en :

$$Z_\gamma = \sum_{\{j_f \in \frac{\mathbb{N}}{2}\}} \int \prod_{(t,v)} dG_{vt} \prod_{(f,t)} dn_{ft} \prod_{(f,v)} \langle j_f^+, s_+ j_f^+ | n_{ft}^{-1}\, g_{+tt'}\, n_{ft'} | j_f^+, s_+ j_f^+ \rangle$$
$$\times \langle j_f^-, s_- j_f^- | n_{ft}^{-1}\, g_{-tt'}\, n_{ft'} | j_f^-, s_- j_f^- \rangle. \tag{17.79}$$

Le plus simple est alors d'introduire les états cohérents de SU(2), pour aboutir directement aux expressions de la section 14.2 ! Dans chaque élément de matrices ci-dessus, une rotation n_{ft} agit sur un vecteur de moment magnétique bien défini selon l'axe de référence $\hat{z}$, $|j_f^\pm, s_\pm j_f^\pm\rangle$. Ainsi, on définit les états cohérents par la direction $\hat{n}_{ft} \in S^2$ sur laquelle l'axe $\hat{z}$ est envoyé par la rotation n_{ft} :

$$|j_f^\pm, \hat{n}_{ft}\rangle \equiv n_{ft}\, |j_f^\pm, j_f^\pm\rangle, \quad \text{à une phase près.} \tag{17.80}$$

L'ambiguité de phase est celle dont nous avons pris soin en introduisant les angles $\theta_{fv}^\pm$ auparavant, de sorte qu'elle n'intervient pas dès lors que le tétraèdre t n'est pas au bord de la triangulation (donc qu'il est bien partagé par deux 4-simplexes) ! Il nous faut maintenant distinguer différentes situations selon la valeur du paramètre d'Immirzi. Sans perte de généralité, prenons $\gamma \geq 0$, de sorte que $s_+ = 1$. Alors, pour $\gamma < 1$, nous avons $s_- = 1$ et :

$$Z_{\gamma<1} = \sum_{\{j_f \in \frac{\mathbb{N}}{2}\}} \int \prod_{(t,v)} dG_{vt} \prod_{(f,t)} dn_{ft} \prod_{(f,v)} \langle j_f^+, \hat{n}_{ft}|\, g_{+vt}^{-1}\, g_{+vt'}\, |j_f^+, \hat{n}_{f't}\rangle\ \langle j_f^-, \hat{n}_{ft}|\, g_{-vt}^{-1}\, g_{-vt'}\, |j_f^-, \hat{n}_{f't}\rangle, \tag{17.81}$$

ce qui n'est autre que l'expression du modèle EPR/FK pour $\gamma < 1$, (14.30) ! Le cas $\gamma > 1$ produit un signe $s_- = -1$. On se ramène aux états cohérents par : $\langle j, -j|g|j, -j\rangle = \overline{\langle j, j|g|j, j\rangle}$, de sorte que :

$$Z_{\gamma>1} = \sum_{\{j_f \in \frac{\mathbb{N}}{2}\}} \int \prod_{(t,v)} dG_{vt} \prod_{(f,t)} dn_{ft} \prod_{(f,v)} \langle j_f^+, \hat{n}_{ft}|\, g_{+vt}^{-1}\, g_{+vt'}\, |j_f^+, \hat{n}_{f't}\rangle\ \overline{\langle j_f^-, \hat{n}_{ft}|\, g_{-vt}^{-1}\, g_{-vt'}\, |j_f^-, \hat{n}_{f't}\rangle}. \tag{17.82}$$

C'est bien l'expression souhaitée, donnée en (14.29). Je renvoie à [70, 57] pour des discussions des propriétés de ces amplitudes.

17.3.2 Avec un collage générique

Le formalisme développé à la section 13.4 et tout au long de ce chapitre permet de contrôler géométriquement et analytiquement la façon dont les différents ingrédients – contraintes de simplicité, relations de transport parallèle – participent aux amplitudes de mousses de spins. En effet, *tous* les ingrédients clé de la géométrie de la triangulation sont pris en compte par des relations entre variables du groupe SU(2) ou U(1). Nous avons compris en particulier le rôle joué par le choix spécifique de la fonction de collage $\widetilde{\delta}^{\mathrm{cs}}$ dans les nouveaux modèles. Aux points stationnaires de l'intégrant, il permet d'interpréter les variables A_f comme les aires des triangles, et au niveau quantique, il semble que l'effet principal soit de pouvoir identifier les modes U(1) de l'action de Regge compactifiée à des spins de SU(2) sur les triangles. Nous avons à la section 17.2.3 discuter le rôle des variables A_f classiquement, et de la reconstruction de la géométrie aux points stationnaires. Il nous reste donc à étudier l'influence d'un changement de la fonction de collage dans l'intégrale sur les géométries Z_γ. Pour voir les effets sur les ampitudes de mousses de spins, nous considérons le développement d'une fonction de collage $\widetilde{\delta}$ sur SU(2),

$$\widetilde{\delta}(g) = \sum_{j \in \frac{\mathbb{N}}{2}} \sum_{m=-j}^{j} c_m^j\ \langle j, m|\, g\, |j, m\rangle. \tag{17.83}$$

Nous restreignons le développement sur les éléments de matrices diagonaux, pour assurer l'invariance sous les transformations (17.36). Donnons quelques exemples typiques :

$$\widetilde{\delta}(g) = \widetilde{\delta}^{\rm cs}_{s=\pm 1} \qquad c^j_m = \delta_{m,sj}, \tag{17.84}$$

$$\widetilde{\delta}(g) = \delta(g) \qquad c^j_m = (2j+1), \tag{17.85}$$

$$\widetilde{\delta}(g) = \frac{1}{N} e^{\frac{1}{2\epsilon}\,{\rm tr}^2(g\,\vec{\sigma})} \qquad c^j_m(\epsilon) = \frac{1}{N'}\left(I_j(\epsilon^{-1}) - I_{j+1}(\epsilon^{-1})\right), \tag{17.86}$$

$$\widetilde{\delta}(g) = K_\epsilon(g) \qquad c^j_m(\epsilon) = (2j+1)\, e^{-4j(j+1)\epsilon}. \tag{17.87}$$

A la troisième ligne, il s'agit d'une sorte de gaussienne sur le groupe, de largeur ϵ, celle utilisée dans les calculs semi-classiques de la section 8.2 (N, N' sont des normalisations, et I_j est une fonction de Bessel modifiée, définie par $I_j(z) = i^j J_j(-iz)$). A la quatrième ligne nous proposons le noyau de la chaleur sur SU(2), solution de l'équation : $(\partial_\epsilon - \Delta)K_\epsilon(g) = 0$, avec la condition initiale $\lim_{\epsilon\to 0} K_\epsilon(g) = \delta(g)$.

A chaque vertex dual de chaque face, nous pouvons alors remplacer dans la définition de Z_γ, (17.71), les fonctions de collage $\widetilde{\delta}^{\rm cs}$ par l'expression générique (17.83) :

$$\prod_{(f,v)} \widetilde{\delta}\big(n^{-1}_{ft}\, g_{+tt'}\, n_{ft'}\, e^{\frac{i}{2}\theta^+_{fv}\sigma_z}\big)\, \widetilde{\delta}\big(n^{-1}_{ft}\, g_{-tt'}\, n_{ft'}\, e^{\frac{i}{2}\theta^-_{fv}\sigma_z}\big) = \prod_{(f,v)} \sum_{j^+_{fv}, j^-_{fv}} \sum_{m^+_{fv}, m^-_{fv}} e^{im^+_{fv}\theta^+_{fv}}\, e^{im^-_{fv}\theta^-_{fv}}$$
$$c^{j^+_{fv}}_{m^+_{fv}}\, c^{j^+_{fv}}_{m^+_{fv}}\, \langle j^+_{fv}, m^+_{fv}|\, n^{-1}_{ft}\, g_{+tt'}\, n_{ft}\, |j^+_{fv}, m^+_{fv}\rangle\, \langle j^-_{fv}, m^-_{fv}|\, n^{-1}_{ft}\, g_{-tt'}\, n_{ft}\, |j^-_{fv}, m^-_{fv}\rangle, \tag{17.88}$$

l'action à la Regge, $S_{{\rm R}\gamma}$, étant bien sûr inchangée. L'exponentielle de cette dernière est toujours développée sur ses modes U(1), m_f. Puisque la fonction de collage ne sélectionne plus uniquement les éléments de matrices des représentations de plus hauts ou plus bas nombres magnétiques, l'équation pour les intégrales sur les angles (17.77) doitêtre écrite en remplaçant $s_\pm j^\pm_{fv}$ par un nombre magnétique $m^\pm_{fv}$. Celui-ci est ainsi contraint être : $m^\pm_{fv} = \gamma_\pm m_f$, ou l'opposé. Quant aux spins issus du développement (17.83), ils restent libres, et doivent être sommés de manière indépendante pour chaque wedge (f,v) ! Introduisons donc :

$$R_{\gamma_\pm m_f}\big(g_{\pm vt}, n_{ft}\big) = \prod_{v\supset f} \sum_{j^\pm_{fv} \geq |\gamma_\pm m_f|} c^{j^\pm_{fv}}_{\gamma_\pm m_f}\, \langle j^\pm_{fv}, \gamma_\pm j_f | n^{-1}_{ft}\, g_{\pm tt'}\, n_{ft'}\, |j^\pm_{fv}, \gamma_\pm m_f\rangle. \tag{17.89}$$

La fonction de partition devient :

$$Z_\gamma = \int \prod_{(t,v)} dG_{vt} \prod_{(f,t)} dn_{ft} \prod_f \Big[R_0\big(g_{+vt}, n_{ft}\big)\, R_0\big(g_{-vt}, n_{ft}\big)$$
$$+ \sum_{m_f \in \frac{{\rm N}^\star}{2}} \Big(R_{\gamma_+ m_f}\big(g_{+vt}, n_{ft}\big)\, R_{\gamma_- m_f}\big(g_{-vt}, n_{ft}\big) + (-1)^{2m_f} R_{-\gamma_+ m_f}\big(g_{+vt}, n_{ft}\big)\, R_{-\gamma_- m_f}\big(g_{-vt}, n_{ft}\big)\Big)\Big], \tag{17.90}$$

qui se réduit bien à (17.79) lorsque $c^j_m = \delta_{sj,m}$. Supposons maintenant la symétrie : $c^j_{-m} = c^j_m$ (comme c'est le cas pour : $\widetilde{\delta} = \widetilde{\delta}^{\rm cs}_{s=1} + \widetilde{\delta}^{\rm cs}_{s=-1}$). En observant l'effet de la transformation $n_{ft} \to n_{ft}\epsilon$, pour la matrice $\epsilon = i\sigma_y = \left(\begin{smallmatrix} 0 & -1 \\ 1 & 0 \end{smallmatrix}\right)$ déjà utilisée à la section 14.2, on peut voir que seuls les m_f entiers contribuent. Nous pouvons écrire de la sorte :

$$Z_\gamma = \sum_{\{m_f \in \mathbb{Z}\}} \int \prod_{(t,v)} dG_{vt} \prod_{(f,t)} dn_{ft} \prod_f R_{\gamma_+ m_f}\big(g_{+vt}, n_{ft}\big)\, R_{\gamma_- m_f}\big(g_{-vt}, n_{ft}\big). \tag{17.91}$$

La représentation de l'amplitude en mousses de spins provient du développement des dernières intégrales, sur les holonomies G_{vt} et les rotations n_{ft}, en sommes sur des entrelaceurs. Les données de bord d'un 4-simplexe sont les mêmes que dans les modèles EPR/FK, excepté le remplacement des spins j_f en nombres magnétiques $m_f \in \mathbb{Z}$. Nous définissons sur le modèle des contraintes de simplicité diagonale, et tout comme en (17.75) : $m_f^{\pm} = \gamma_{\pm} m_f$. L'amplitude du 4-simplexe est donnée par la somme sur les dix spins des triangles de l'amplitude du modèle FK, W_v, (14.34), pondérée par des coefficients dépendant de m_f :

$$\widetilde{W}_v\big(m_f, k_{ft}, l_t\big) = \sum_{J_f^{\pm} \geq |\gamma_{\pm} m_f|} W_v\big(J_f^+, J_f^-, k_{ft}, l_t\big) \prod_f \Bigg[c^{J_f^+}_{\gamma_+ m_f} c^{J_f^-}_{\gamma_- m_f} \times \prod_t \begin{pmatrix} J_f^+ & J_f^- & k_{ft} \\ \gamma_+ m_f & \gamma_- m_f & -(\gamma_+ + \gamma_-) m_f \end{pmatrix} \Bigg]. \quad (17.92)$$

Ce n'est certainement pas une surprise de retrouver l'amplitude W_v dans cette expression. En effet, sa principale caractéristique réside dans les coeffficients de fusion, 14.1, dont on sait qu'ils apparaissent naturellement en présence des contraintes de simplicité croisée, voir section 16.2.2.

On peut résumer ainsi la principale différence entre un modèle générique issu de la classe de modèles ici exposés et les modèles EPR/FK qui en sont des exemples particuliers : le collage entre les 4-simplexes impliquent des données de bord légèrement différentes. En effet, une fois l'amplitude d'un 4-simplexe déterminée dans les quantifications EPR/FK, il faut se donner une prescription pour coller ces amplitudes entre les 4-simplexes de toute la triangulation. L'idée physique derrière le collage est que l'aire d'un triangle est la même dans tous les 4-simplexes qui le partagent. Donc si les aires sont représentées/ont pour valeurs propres, au niveau quantique, des spins de SU(2) (en accord avec la LQG au niveau canonique), cela conduit aux modèles EPR/FK. Mais, dans notre approche, les intégrales de chemins, sur les géométries discrètes de la triangulation, il semble que les informations sur les aires sont plutôt contenues dans des nombres magnétiques, les valeurs propres de la projection du spin sur un axe. Le poids relatif du passage des spins aux nombres magnétiques est donné par les coefficients c^j_m du développement de la fonction de collage (17.83). Dans cette perspective, les modèles EPR/FK sont parmi les modèles les plus simples de notre famille de modèles, caractérisés par le choix $c^j_m = \delta_{j,|m|}$, qui sélectionne les plus bas spins $J_f^{\pm}$ de la somme sur $J_f^{\pm} \geq |\gamma_{\pm} m_f|$ dans l'expression de $\widetilde{W}_v$.

Conclusion

Loop quantum gravity (LQG) has been developped as a rigourous non-perturbative quantization of general relativity, yet to be completed. But it has also provided us with more than LQG : a fully background independent framework to study diffeomorphism invariant gauge theories ! At the canonical level, one has the following picture : fundamental excitations of the space of quantum connections are supported by graphs colored by some data coming from the representation theory of the structure group. They form a basis of kinematical quantum states, called spin network states, which are gauge invariant and can be made diffeomorphism invariant. A set of well-defined geometric operators acts on these states, which in the LQG context correspond to length, area, volume and angle operators with discrete spectra, thus giving a nice interpretation of spin networks as describing quantum 3-geometry.

The dynamics of spin network states has led to the spin foam formalism, which describes their evolution along a 2-complex joining spin network graphs. Thus, it is supposed to yield the analoguous 4-dimensional picture of quantum geometry, and to implement the full 4-dimensional diffeomorphism symmetry. The spin foam quantization is known to be a success for Schwarz-type BF theories which are typically closely related to 2d Yang-Mills theory and 3d gravity. In particular it gives the appropriate integration measure so that their partition functions are topological invariant. In four dimensions, the SO(4) Plebanski action gives geometricity constraints which can be added to the BF topological action to recover the local degrees of freedom of general relativity. This relation has been exploited to build spin foam models for quantum gravity from the spin foam quantization of the BF theory.

Both spin networks and spin foams are discrete structures emerging from the full, exact theory, and the former describe quantum 3-geometry. A natural question is : what kind of discrete 4-geometries do spin foams describe ? Can we describe them explicitly, taking inspiration from Regge calculus, a nice and well-known approximation of general relativity, and further exhibiting relations to the Regge geometries ? Then, how does the dynamics proposed by spin foam models to spin network states can be expressed in terms of those 4d discrete geometries ?

To answer such questions, I developed some *tools*, especially for BF and Plebanski theories, but which hopefully may be useful to generic spin foam quantization.

- A formalism, equivalent to the standard discretization of BF theory, and in which the geometricity constraints can be added, which enables to extract in a clear way the geometric information encoded into discrete BF and Plebanski theories, at the classical level.
- A quantum implementation of this formalism. It is designed to exactly rewrite spin foam models as path integrals for systems of discrete geometries on a triangulation of spacetime. This involves the choice of a classical action to reproduce a given spin foam model. This action can then be studied, and in particular its stationnary configurations are expected to be related to some classical formulation of BF-like or Plebanski-like theories.

These items focus on spin foam geometry and consist in a programme to see spin foam models as path integrals for some discrete geometries. A second programme aims at studying algebraic equations of

spin foam amplitudes, through :

- The use of recurrence relations for spin foam amplitudes as a way to encode the dynamics, or more generally the symmetries at the quantum level. Using the geometric interpretation of the spin foam colorings, a recurrence relation means invariance under some deformations of simplices. For the topological BF models, we propose to derive recurrence relations from the invariance under Pachner moves, or from the action of holonomy operators. In some cases, use can be made of integral representations of the amplitudes.
- The formalism of the first item above can be adapted to the canonical framework, to describe more geometrically spin network states on a given graph, as has been done by other authors, [100]. Then, one can hope to recast the Hamiltonian constraint in geometric terms, typically in a form relating extrinsic to intrinsic curvatures, and finally to fill the gap between the canonical and the covariant frameworks by identifying some recurrence relations on spin foams as a quantization of the Hamiltonian constraint on spin networks.

I have also presented some basic ideas about how to compute correlation functions via spin foams, and have mainly illustrated what can be actually done using a toy model in 3d gravity. The method I have used gives an original access to the semi-classical asymptotics, including in a natural way all corrections to the Ponzano-Regge asymptotics of the 6j symbol. This enables to discuss the choice of the boundary states, and it also gives an example where it is possible to compute to any desired order in the large spin limit.

I applied these methods to a number of situations, with the following results about specific theories and models. As for the last method, we have obtained the full asymptotics expansion for the correlations of the fluctuations between the lengths of two curves, in the 3d toy model, which is the first time that computations are made beyond the first order (but the interpretation is not straightforward). As a side-product of the analysis, we have got the full asymptotics expansion of an isoceles 6j symbol, thus showing that the Regge action is the only relevant frequency, and making explicit the pattern of oscillations for each order. Such computations are important to show how spin foams go beyond quantum Regge calculus.

Using the discrete path integral programme, I have shown that :

- The classical framework used to set up spin foams involves genuine Regge geometries, and is more closely related to its area-3d angles formulation. In doing so, a dictionary between variables coming from lattice BF theory and those of Regge calculus was derived.
- I have also found a discrete action of (compactified) Regge form which includes the Immirzi parameter.
- It has been used to reproduce the new spin foam models from path integrals over variables on a triangulation. It is important to notice that the Regge-like action has to be supplemented with an action for parallel transport, crucial so that the stationnary points are Regge geometries.
- Using the very same ideas with a generalisation of the action for parallel transport, one arrives at a set of spin foam models, containing the EPR/FK model as one of them, sharing the same geometric properties but with different quantum fluctuations. In the spin foam language, this shows up in terms of different gluings between the basic building amplitudes attached to simplices.

This work thus makes explicit the similarities and differences between spin foams on a single triangulation and Regge calculus in any regime (not only in the asymptotics) ! In an analogous way to the continuum, the Immirzi parameter disappears on-shell, which clarifies its role within the spin foam formalism. Applying the same ideas to a derivation of the old-fashioned Barrett-Crane model, it turns out that the parallel transport relations are not correctly reproduced : one can understand this way how the new model corrects this BC model.

It is important to see that the different ways so far proposed to derive spin foam models generically lead different models, which certainly means different views on quantum geometry. Typically, the EPR

quantization process gives to the BC model an equivalent in the topological, or non-geometric sector of the Holst action, that is for $\gamma \to 0$, which is the initial EPR model, while for the FK quantization, the BC model does not admit an equivalent in this sector. Using our path integral formalism for discrete geometries, we here concluded that a natural equivalent to the BC model is an Ooguri-like model restricted to simple representations of Spin(4) on the triangles, giving a third perspective. Similarly, the EPR and FK models, despite their agreement in the $|\gamma| < 1$ case, do differ for a larger Immirzi parameter, when $|\gamma| > 1$. At the end of the day, it is hard to tell which quantization is better, as for instance we do not know how to get a spin foam model for the purely topological sector $\gamma \to 0$ which would really be invariant under changes of the triangulation.

As a first step towards understanding the dynamics implemented by spin foams, the intimate relation found between the spin foam geometry and Regge calculus enables to identify the stationnary points as flat geometries. It is a preliminary result towards a better account for dynamics, which shows the direction to further proceed, and more precisely that flat configurations ask for a specific attention and may be in need for a regularisation. Indeed, we have seen in section 14.3 that the EPR/FK model can be written with integrals instead of sums. In this representation, the sum over each spin on the faces is performed using geometric series, to get (14.48),

$$A_f^{\gamma<1}(G_{vt}, \hat{n}_{ft}) = \sum_{j\in\frac{\mathbb{N}}{2}} \prod_{v\in\partial f} \langle j^+, \hat{n}_{ft}|\, g_{+vt}^{-1}\, g_{+vt'}\, |j^+, \hat{n}_{ft'}\rangle\ \langle j^-, \hat{n}_{ft}|\, g_{-vt}^{-1}\, g_{-vt'}\, |j^-, \hat{n}_{ft'}\rangle, \tag{17.1}$$

$$= \frac{1}{1 - \exp\big(\sum_{v\in\partial f} \gamma_+ h(\hat{n}_{ft}, \hat{n}_{ft}, g_{+vt}^{-1}\, g_{+vt'}) + \gamma_- h(\hat{n}_{ft}, \hat{n}_{ft}, g_{-vt}^{-1}\, g_{-vt'})\big)}. \tag{17.2}$$

Such an amplitude is well-defined as a function everywhere except when the argument of the exponential vanishes. This is in contrast to what happens in the BF model with similar holonomy variables : the amplitude for a face is a discrete version of the flatness constraint, $\delta(\prod_{v\in\partial f} g_{tt'})$. It is thus not defined as a function but as a distribution, which is fine, while that of the new model is not ! When the exponential is 1, it is not clear at all how to interpret the formula and avoid the divergence.

Interestingly, this happens on flat geometries, so that our classical analysis of the action gives the first fruits relative to this phenomenon ! This can be seen by observing first that the norm of the hermitian product of coherent states is always smaller than unity and, $|\langle j, \hat{n}|j, \hat{n}'\rangle| = 1$ if and only if $\hat{n} = \hat{n}'$. This shows that the parallel transport equations : $\hat{n}_{ft} = \mathrm{Ad}(g_{\pm tt'})\hat{n}_{ft'}$, hold in the divergent configurations. Then, one can introduce phases like in (17.43), so that :

$$\sum_{v\in\partial f} \gamma_+ h(\hat{n}_{ft}, \hat{n}_{ft}, g_{+vt}^{-1}\, g_{+vt'}) + \gamma_- h(\hat{n}_{ft}, \hat{n}_{ft}, g_{-vt}^{-1}\, g_{-vt'}) = \big(\gamma_+ - \gamma_-\big)\, 2\vartheta_f + \big(\gamma_+ + \gamma_-\big)\big(\theta_f^+ + \theta_f^-\big). \tag{17.3}$$

Here the quantity ϑ_f is the sum of the dihedral angles around f determined, in non-degenerate configurations, by the triangle directions $\hat{n}_{ft}$ and so functions of the 3d angles, while $(\theta_f^+ + \theta_f^-)$ is expected to disappear, all like in section 17.2. Thus, this briefly shows how flat geometries ask for further regularisation of the model after areas/spins have been integrated out.

As for my second programme, that consisting in describing quantum symmetries through recurrence relations, nice results emerged, especially in topological models.

- In the 3d case, I found that the flatness constraint geometrically expresses the extrinsic curvature, i.e 3d angles, in terms of the intrinsic geometry, i.e 2d angles.
- A naive quantization of this constraint on the boundary of a tetrahedron reproduces the asymptotics of a well-known recurrence relation for the corresponding Ponzano-Regge amplitude. As far as I know, this is the most direct link between the classical Hamiltonian constraint and the spin foam quantization.
- A detailed analysis of a Pachner move in 4d, leading to new recurrence relations, on the 15j-symbols which are the basic building blocks of the Ooguri model.

- These recurrence relations more generally apply to any evaluation of spin networks, depending on their cycles.
- In the 3d context, we have shown that the holonomy operator acting on spin network states generates tent moves, and associated recurrence relations for the Ponzano-Regge model. This also shows how non-trivial gauge-fixing can be involved in getting recurrence relations, and interpreted as fixing the tent pole length.

These last items are important since it is commonly believed that the evolution of spin network states, and hence diffeomorphisms at the discrete level, can be described in terms of elementary deformations, typically generated by Pachner moves or tent moves. Such deformations are also to be considered in the process of renormalisation of spin foams, that is evaluating different foams between given spin network states. In particular, upon using Pachner moves, we interpreted the recurrence relations as a statement of invariance under elementary displacements of vertices of simplices. In non-topological situations, some recurrence relations have been found, which capture some important classical features of simplices, and may be understood in the simplest case as invariance under a *combination* of the above elementary deformations. To go beyond, one should try to find new recurrence relations, in particular for the more realistic, new EPR/FK model, in combination with tent move processes for instance.

To conclude this manuscript, and my doctoral work, let me give some overview of possible future developments of loop quantum gravity and spin foams. If the new spin foam models have given a clear kinematical picture of the involved geometries, many aspects remain to be understood, in particular concerning the dynamics. As for that of the BF model, the key point is that we know how to perform the sums over spins. Thus, an interesting direction is to do the same with the new models, along the line of equation (14.48). Such efforts seem necessary to go beyond the semi-classical analysis of a single simplex. I think that the recent proposal of spin foam cosmology [51] gives a good starting point, with a well-posed physical context, to address the question with a larger scope : what are the relevant approximations, necessary to evaluate spin foam amplitudes, and what are the corresponding regimes ?

Since the new models have brought the spin foam formalism closer to LQG, it is certainly time to come back to working on the Hamiltonian constraint on spin network states, trying to fill the gap with spin foams like in [7] or using ansatz for some definite physical situations. The beautiful picture of quantum geometry so far obtained could also be improved by progress on the realization of symmetries in lattice gravity, along the lines of the work of Dittrich and collaborators, which could then be translated into the spin foam language via recurrence relations. The field has recently received attention to find new parametrisations, like that of projected spin networks [117], twisted geometries [100], a flux representation for LQG [30], and also holomorphic [71] or U(N) [94] intertwiners, and holomorphic coherent states [28, 47]. Certainly, each of them comes with new algebraic and analytical features and can bring advantages for some issues.

Finally, the direct challenge to come is to study the sum over spin foams, which is supposed to implement the Hamiltonian constraint, to be necessary to recover the degrees of freedom of the full theory, to make spacetime topology an emergent property, for examples. The framework of group field theory (GFT) enables to see spin foam amplitudes as Feynman graphs of a non-local field theory. Thus, the key question is that of its renormalizability, which implies to understand in a precise way the divergences. Notice that it gives to the elementary deformations, like Pachner moves, used to provide evolution schemes the flavour of a coarse-graining process, or a renormalisation group implementation. In this respect, I hope that some recurrence relations may be applied to the GFT context, and that coarse-graining can be translated into a renormalisation flow for the discrete actions we have exhibited in the lattice path integral programme. In agreement with the line of reasoning of my present work, I think taking the GFT scenario seriously implies that further tools should be developed, and typically tested on the topological models, like those presented in [63].

Annexe A

Appendice

Les éléments de $G = \mathrm{SU}(2)$ peuvent être paramétrés de la façon suivante :

$$g = \cos\psi\, \mathbb{1} + i \sin\psi\, \hat{n} \cdot \vec{\sigma}, \tag{A.1}$$

où $\vec{\sigma} = (\sigma_x, \sigma_y, \sigma_z)$ est le 3-vecteur formé par les matrices de Pauli,

$$\sigma_x = \begin{pmatrix} 0 & 1 \\ 1 & 0 \end{pmatrix}, \qquad \sigma_y = \begin{pmatrix} 0 & -i \\ i & 0 \end{pmatrix}, \qquad \sigma_z = \begin{pmatrix} 1 & 0 \\ 0 & -1 \end{pmatrix}. \tag{A.2}$$

Celles-ci forment une base de l'algèbre $\mathfrak{su}(2)$, et satisfont les relations de commutation fondamentales : $[\sigma_i, \sigma_j] = 2i\epsilon_{ij}{}^{k}\sigma_k$. L'angle de classe de g est $\psi \in [0, \pi]$, invariant par conjugaison sous le groupe, $g \mapsto hgh^{-1}$ pour tout $h \in \mathrm{SU}(2)$ (et définit donc les classes de conjugaison), et correspond à la moitié de l'angle de rotation. Le vecteur $\hat{n} \in S^2$ est l'axe de la rotation, et se transforme comme un vecteur sous les conjugaisons. La métrique G-invariante sur le groupe, obtenue via la forme de Killing-Cartan sur l'algèbre, est :

$$ds_g^2 = d\psi \otimes d\psi + \sin^2\psi \big(d\theta \otimes d\theta + \sin^2\theta\, d\phi \otimes d\phi\big), \tag{A.3}$$

si (θ, ϕ) sont les coordonnées polaires de $\hat{n}$. La mesure de Haar sur SU(2) (non-normalisée) s'en déduit :

$$dg = \sin^2\psi\, \sin\theta\; d\psi\, d\theta\, d\phi. \tag{A.4}$$

Il est possible de réécrire cette mesure en utilisant une autre paramétrisation : $\vec{p} = \sin\psi\; \hat{n}$, qui représente la projection de g sur les matrices de Pauli. Alors, $g = \pm\sqrt{1 - \vec{p}^2}\,\mathbb{1} + i\vec{p} \cdot \vec{\sigma}$, avec le signe $+$ pour la partie SO(3) correspondant à $\cos\psi \geq 0$. La mesure prend la forme :

$$dg = \frac{d^3p}{\sqrt{1 - \vec{p}^2}}. \tag{A.5}$$

C'est-à-dire que le facteur $(1 - \vec{p}^2)^{\frac{1}{2}}$ est la trace de la compacité et de la courbure du groupe par rapport à la mesure de Lebesgue d^3p. En utilisant des fonctions test, on peut montrer que : $\delta(gh^{-1}) = \sqrt{1 - \vec{p}_g^2}\, \delta^{(3)}(\vec{p}_g - \vec{p}_h)$. Si l'on utilise la transformée de Fourier du delta sur $\mathbb{R}^3$, et en assimilant cet espace à l'algèbre $\mathfrak{su}(2)$, on obtient :

$$\int d^3b\; e^{i\left[\,\mathrm{tr}(bg) - \mathrm{tr}(bh)\right]} = \frac{1}{\sqrt{1 - \vec{p}_g^2}} \Big(\delta_{\mathrm{SU}(2)}\big(gh^{-1}\big) + \delta_{\mathrm{SU}(2)}\big(-gh^{-1}\big)\Big) = \frac{1}{|\mathrm{tr}\;\; g|}\; \delta_{\mathrm{SO}(3)}\big(gh^{-1}\big), \tag{A.6}$$

avec $b = -\frac{i}{2}\vec{b}\cdot\vec{\sigma} \in \mathfrak{su}(2)$. Notons que cette formule ne se généralise pas à plus de 2 éléments de groupe, car une somme du type $\vec{p}_{h_1} + \vec{p}_{h_2}$ n'est généralement pas la projection d'un élément de SU(2) sur les matrices de Pauli.

Les représentations irréductibles sont indicées par des spins, demi-entiers, et agissent sur des espaces $\mathcal{H}_j$ de dimension $d_j = (2j+1)$ pour $j \in \frac{\mathbb{N}}{2}$. On note $(|j,m\rangle)_{m=-j,\dots,j}$ les vecteurs formant la base des nombres magnétiques, tels que : $\vec{\sigma}^2|j,m\rangle = 4j(j+1)|j,m\rangle$, et : $\sigma_z|j,m\rangle = 2m|j,m\rangle$. Soit $D^{(j)}_{mn}(g) = \langle j,m|g|j,n\rangle$ l'élément de matrice de g dans la représentation de spin j. Alors, l'espace des fonctions de carré sommable sur SU(2) admet comme base hilbertienne l'ensemble de ces éléments matriciels,

$$L^2(\mathrm{SU}(2), dg) = \Big\{ f : g \mapsto \sum_{j,m,n} f^j_{mn}\ \sqrt{d_j}\, D^{(j)}_{mn}(g),\ \sum_{j,m,n} |f^j_{mn}|^2 < \infty \Big\}, \tag{A.7}$$

et est muni du produit hermitien :

$$\int_{\mathrm{SU}(2)} dg\ f^*(g)\, h(g) = \sum_{j,m,n} f^{j*}_{mn}\, h^j_{mn}. \tag{A.8}$$

La relation d'orthogonalité des éléments matriciels s'écrit :

$$\int dg\ D^{(j_1)}_{ab}(g)\ D^{(j_2)*}_{cd}(g) = \frac{1}{d_{j_1}} \delta_{j_1 j_2}\ \delta_{ac}\delta_{bd}. \tag{A.9}$$

Nous avons aussi une décomposition de Fourier de la distribution de Dirac sur le groupe, qui n'est autre que la relation de complétude de la base choisie de $L^2(\mathrm{SU}(2), dg)$,

$$\delta(g) = \sum_{j\in\frac{\mathbb{N}}{2}} d_j\ \chi_j(g), \qquad \text{définie par :} \qquad \int_{SU(2)} dg\ f(g)\, \delta(g\, h^{-1}) = f(h). \tag{A.10}$$

Ici, $\chi_j(g) = \sum_{m=-j}^{j} D^{(j)}_{mm}(g)$ désigne le caractère de la représentation de spin j, qui se calcule explicitement comme :

$$\chi_j(g) = \frac{\sin d_j\psi}{\sin\psi}. \tag{A.11}$$

Ces caractères ne sont autres que les polynomes de Chebyshev de second espèce en la variable $\cos\psi$, soit $U_{2j}(\cos\psi)$.

La paramétrisation d'Euler est aussi intéressante,

$$g = e^{-\frac{i}{2}\alpha\sigma_z}\ e^{-\frac{i}{2}\beta\sigma_y}\ e^{-\frac{i}{2}\gamma\sigma_z}, \tag{A.12}$$

en isolant à gauche et à droite le sous-groupe U(1) généré par σ_z. La représentation de spin 1 est utile et s'écrit alors facilement :

$$D^{(1)}_{mn}(g) = e^{-i\alpha m}\ d^1_{mn}(\beta)\ e^{-i\gamma n}, \quad \text{avec} \quad d^1(\beta) = \begin{pmatrix} \frac{1+\cos\beta}{2} & -\frac{\sin\beta}{\sqrt{2}} & \frac{1-\cos\beta}{2} \\ \frac{\sin\beta}{\sqrt{2}} & \cos\beta & -\frac{\sin\beta}{\sqrt{2}} \\ \frac{1-\cos\beta}{2} & \frac{\sin\beta}{\sqrt{2}} & \frac{1+\cos\beta}{2} \end{pmatrix}. \tag{A.13}$$

La fonction de partition des modèles de mousses de spins fait intervenir des moyennes de produits d'éléments matriciels sur le groupe. Donnons quelques formules explicites. En 2d, la formule pertinente est simplement la relation d'orthogonalité (A.9). Dans le modèle de Ponzano-Regge, 7.2.2, nous avons à intégrer le roduit de trois éléments matriciels, ce qui se fait d'abord via le produit tensoriel de deux représentations,

$$D^{(j_1)}_{m_1n_1}(g)\ D^{(j_2)}_{m_2n_2}(g) = \sum_J \sum_{M,N=-J}^{J} d_J \begin{pmatrix} j_1 & j_2 & J \\ m_1 & m_2 & M \end{pmatrix} \begin{pmatrix} j_1 & j_2 & J \\ n_1 & n_2 & N \end{pmatrix}\ D^{(J)*}_{MN}(g), \tag{A.14}$$

puis en utilisant les relations d'orthogonalité, on aboutit à :

$$\int_{\mathrm{SU}(2)} dg\ D^{(j_1)}_{m_1 n_1}(g)\ D^{(j_2)}_{m_2 n_2}(g)\ D^{(j_3)}_{m_3 n_3}(g) = \begin{pmatrix} j_1 & j_2 & j_3 \\ m_1 & m_2 & m_3 \end{pmatrix} \begin{pmatrix} j_1 & j_2 & j_3 \\ n_1 & n_2 & n_3 \end{pmatrix}. \tag{A.15}$$

Plus formellement, nous pouvons écrire :

$$\int_{\mathrm{SU}(2)} dg\ D^{(j_1)}(g) \otimes D^{(j_2)}(g) \otimes D^{(j_3)}(g) = |\iota^{j_1 j_2 j_3}\rangle \langle \iota^{j_1 j_2 j_3}|, \tag{A.16}$$

où $|\iota^{j_1 j_2 j_3}\rangle$ est le seul vecteur invariant du produit tensoriel $\mathcal{H}_{j_1} \otimes \mathcal{H}_{j_2} \otimes \mathcal{H}_{j_3}$, à la normalisation près. Il s'agit donc d'un entrelaceur avec la représentation triviale : $\otimes_{a=1}^{3} \mathcal{H}_{j_a} \to \mathbb{C}$. Sa projection sur les états de base de l'espace produit tensoriel définit le symbole 3mj de Wigner utilisé plus haut (et qui est réel) :

$$\big(\langle j_1, m_1| \otimes \langle j_1, m_1| \otimes \langle j_1, m_1|\big)|\iota^{j_1 j_2 j_3}\rangle = \begin{pmatrix} j_1 & j_2 & j_3 \\ m_1 & m_2 & m_3 \end{pmatrix}. \tag{A.17}$$

Ce symbole est invariant sous les permutations cycliques. Une permutation impaire produit une phase $(-1)^{j_1+j_2+j_3}$, c'est ce qui se passe lorsque l'on change l'orientation d'un vertex trivalent dans le graphe d'une fonctionnelle de réseaux de spins, ou dans l'évaluation d'un symbole invariant obtenu par contractions des tels entrelaceurs. La dualisation de la représentation j_1 produit le symbole :

$$(-1)^{j_1-m_1} \begin{pmatrix} j_1 & j_2 & j_3 \\ -m_1 & m_2 & m_3 \end{pmatrix}. \tag{A.18}$$

Ainsi, la dualisation des trois représentations ne changent pas la valeur du symbole, car

$$\begin{pmatrix} j_1 & j_2 & j_3 \\ -m_1 & -m_2 & -m_3 \end{pmatrix} = (-1)^{j_1+j_2+j_3} \begin{pmatrix} j_1 & j_2 & j_3 \\ m_1 & m_2 & m_3 \end{pmatrix}, \tag{A.19}$$

et $m_1 + m_2 + m_3 = 0$ nécesairement. Ces symboles permettent ensuite de construire des entrelaceurs génériques, et de calculer les moyennes de produits de plus d'éléments matriciels. Dans les modèles de mousses de spins en 4d, 7.2.3, par exemple, nous avons besoin d'entrelaceurs 4-valents. Pour cela, il faut choisir un appariement parmi les quatre représentations incidentes, par exemple j_1 avec j_2, et choisir un spin virtuel i provenant à la fois de la décomposition de $\mathcal{H}_{j_1} \otimes \mathcal{H}_{j_2}$, et de $\mathcal{H}_{j_3} \otimes \mathcal{H}_{j_4}$ en représentations irréductibles. On forme ainsi les quantités :

$$\big(\otimes_{a=1}^{4} \langle j_a, m_a|\big)|\iota^{j_1 j_2, i, j_3 j_4}\rangle = \iota^{j_1 j_2, i, j_3 j_4}_{m_1 m_2 m_3 m_4}, \tag{A.20}$$

$$= \sum_{m=-i}^{i} \begin{pmatrix} j_1 & j_2 & i \\ m_1 & m_2 & m \end{pmatrix} (-1)^{i-m} \begin{pmatrix} i & j_3 & j_4 \\ -m & m_3 & m_4 \end{pmatrix}, \tag{A.21}$$

que l'on écrira simplement $\iota_{m_a}(j_a, i)$, bien que cela ne fasse pas apparaître explicitement le choix de l'appariement. En faisant varier le spin virtuel i, nous obtenons une base orthogonale des entrelaceurs entre $\otimes_{a=1}^{4} \mathcal{H}_{j_a}$ et $\mathbb{C}$, avec la relation d'orthogonalité suivante :

$$\sum_{\{m_a\}} \iota_{m_a}(j_a, i)\, \iota_{m_a}(j_a, i') = \frac{\delta_{i,i'}}{d_i}. \tag{A.22}$$

De plus, nous pouvons exprimer l'intégrale suivante :

$$\int_{\mathrm{SU}(2)} dg\ \prod_{a=1}^{4} D^{(j_a)}_{m_a n_a}(g) = \sum_i d_i\ \iota_{m_a}(j_a, i)\, \iota_{n_a}(j_a, i), \tag{A.23}$$

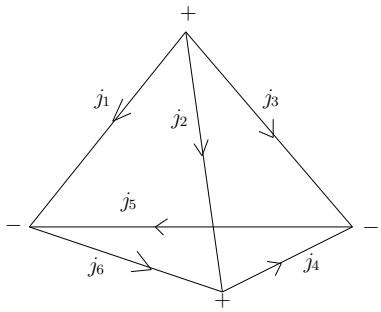

FIGURE A.1 –

comme une somme sur les entrelaceurs, ce qui complète l'écriture du modèle topologique en mousses de spins (7.45).

Ces symboles 3mj permettent par contractions de former toute une théorie des invariants pour le couplage de spins, voir notamment [167] dont nous utilisons les conventions graphiques. Le symbole 6j, qui représente l'amplitude d'un tétraèdre dans le modèle de Ponzano-Regge, est défini comme :

$$\begin{Bmatrix} j_1 & j_2 & j_3 \\ j_4 & j_5 & j_6 \end{Bmatrix} = \sum_{m_1,\dots,m_6} (-1)^{\sum_{i=1}^{6}(j_i - m_i)} \begin{pmatrix} j_1 & j_2 & j_3 \\ m_1 & m_2 & m_3 \end{pmatrix} \begin{pmatrix} j_3 & j_4 & j_5 \\ -m_3 & -m_4 & m_5 \end{pmatrix} \begin{pmatrix} j_1 & j_5 & j_6 \\ -m_1 & -m_5 & m_6 \end{pmatrix} \begin{pmatrix} j_2 & j_6 & j_4 \\ -m_2 & -m_6 & m_4 \end{pmatrix}. \quad \text{(A.24)}$$

Il se représente graphiquement sur le réseau tétraédrique dual à la triangulation du bord d'un tétraèdre, selon la figure A.1. Il est aussi bien défini par l'identité de Biedenharn-Elliott, (9.4), dont un cas particulier est une relation de récurrence d'ordre 2 sur un seul spin, (9.5), et qui détermine donc tous les coefficients et permet de les évaluer numériquement, [157, 158].

Bibliographie

[1] Milton Abramowitz and Irene A. Stegun, *Handbook of mathematical functions with formulas, graphs, and mathematical tables*, Dover, New York, 1964.

[2] A. Alekseev, A. P. Polychronakos, and M. Smedback, *On area and entropy of a black hole*, Phys. Lett. **B574** (2003), 296–300.

[3] E. Alesci, E. Bianchi, E. Magliaro, and C. Perini, *Asymptotics of LQG fusion coefficients*, Class. Quant. Grav. **27** (2010), 095016.

[4] E. Alesci, K. Noui, and F. Sardelli, *Spin-Foam Models and the Physical Scalar Product*, Phys. Rev. **D78** (2008), 104009.

[5] E. Alesci and C. Rovelli, *The complete LQG propagator : I. Difficulties with the Barrett-Crane vertex*, Phys. Rev. **D76** (2007), 104012.

[6] ———, *The complete LQG propagator : II. Asymptotic behavior of the vertex*, Phys. Rev. **D77** (2008), 044024.

[7] ———, *A regularization of the hamiltonian constraint compatible with the spinfoam dynamics*, (2010).

[8] S. Alexandrov, *SO(4,C)-covariant Ashtekar-Barbero gravity and the Immirzi parameter*, Class. Quant. Grav. **17** (2000), 4255–4268.

[9] ———, *Choice of connection in loop quantum gravity*, Phys. Rev. **D65** (2002), 024011.

[10] ———, *Hilbert space structure of covariant loop quantum gravity*, Phys. Rev. **D66** (2002), 024028.

[11] S. Alexandrov, E. Buffenoir, and Ph. Roche, *Plebanski theory and covariant canonical formulation*, Class. Quant. Grav. **24** (2007), 2809–2824.

[12] S. Alexandrov and K. Krasnov, *Hamiltonian Analysis of non-chiral Plebanski Theory and its Generalizations*, Class. Quant. Grav. **26** (2009), 055005.

[13] S. Alexandrov and E. R. Livine, *SU(2) loop quantum gravity seen from covariant theory*, Phys. Rev. **D67** (2003), 044009.

[14] A. Ashtekar, M. Bojowald, and J. Lewandowski, *Mathematical structure of loop quantum cosmology*, Adv. Theor. Math. Phys. **7** (2003), 233–268.

[15] A. Ashtekar, M. Campiglia, and A. Henderson, *Loop Quantum Cosmology and Spin Foams*, Phys. Lett. **B681** (2009), 347–352.

[16] A. Ashtekar, A. Corichi, and J. A. Zapata, *Quantum theory of geometry. III : Non-commutativity of Riemannian structures*, Class. Quant. Grav. **15** (1998), 2955–2972.

[17] A. Ashtekar and J. Lewandowski, *Background independent quantum gravity : A status report*, Class. Quant. Grav. **21** (2004), R53.

[18] A. Ashtekar, T. Pawlowski, and P. Singh, *Quantum nature of the big bang : An analytical and numerical investigation. I*, Phys. Rev. **D73** (2006), 124038.

[19] A. Ashtekar and R.S. Tate, *Lectures on non-perturbative canonical gravity*, World Scientific Pub Co Inc, 1991.

[20] J. C. Baez, *Knots and quantum gravity : Progress and prospects*, Proceedings of the seventh Marcel Grossman Meeting on general relativity (1994).

[21] ———, *Spin foam models*, Class. Quant. Grav. **15** (1998), 1827–1858.

[22] ———, *An introduction to spin foam models of BF theory and quantum gravity*, Lect. Notes Phys. **543** (2000), 25–94.

[23] J. C. Baez and J. W. Barrett, *The quantum tetrahedron in 3 and 4 dimensions*, Adv. Theor. Math. Phys. **3** (1999), 815–850.

[24] J. C. Baez, J. D. Christensen, and G. Egan, *Asymptotics of 10j symbols*, Class. Quant. Grav. **19** (2002), 6489.

[25] J. C. Baez, J. D. Christensen, T. R. Halford, and D. C. Tsang, *Spin foam models of Riemannian quantum gravity*, Class. Quant. Grav. **19** (2002), 4627–4648.

[26] J. C. Baez and J. P. Muniain, *Gauge fields, knots and gravity*, World Scientific, 1994.

[27] B. Bahr and B. Dittrich, *(Broken) Gauge Symmetries and Constraints in Regge Calculus*, Class. Quant. Grav. **26** (2009), 225011.

[28] B. Bahr and T. Thiemann, *Gauge-invariant coherent states for Loop Quantum Gravity II : Non-abelian gauge groups*, Class. Quant. Grav. **26** (2009), 045012.

[29] Benjamin Bahr and Bianca Dittrich, *Improved and Perfect Actions in Discrete Gravity*, Phys. Rev. **D80** (2009), 124030.

[30] A. Baratin, B. Dittrich, D. Oriti, and J. Tambornino, *Non-commutative flux representation for loop quantum gravity*, (2010).

[31] A. Baratin and D. Oriti, *Group field theory with non-commutative metric variables*, (2010).

[32] J. F. Barbero G., *Real Ashtekar variables for Lorentzian signature space times*, Phys. Rev. **D51** (1995), 5507–5510.

[33] ———, *Reality conditions and Ashtekar variables : A Different perspective*, Phys. Rev. **D51** (1995), 5498–5506.

[34] A. Barbieri, *Quantum tetrahedra and simplicial spin networks*, Nucl. Phys. **B518** (1998), 714–728.

[35] J. W. Barrett, *First order Regge calculus*, Class. Quant. Grav. **11** (1994), 2723–2730.

[36] J. W. Barrett and L. Crane, *An algebraic interpretation of the Wheeler-DeWitt equation*, Class. Quant. Grav. **14** (1997), 2113–2121.

[37] ———, *Relativistic spin networks and quantum gravity*, J. Math. Phys. **39** (1998), 3296–3302.

[38] J. W. Barrett, R. J. Dowdall, W. J. Fairbairn, H. Gomes, and F. Hellmann, *Asymptotic analysis of the EPRL four-simplex amplitude*, J. Math. Phys. **50** (2009), 112504.

[39] J. W. Barrett, R. J. Dowdall, W. J. Fairbairn, H. Gomes, F. Hellmann, and R. Pereira, *Asymptotics of 4d spin foam models*, (2010).

[40] J. W. Barrett, R. J. Dowdall, W. J. Fairbairn, F. Hellmann, and R. Pereira, *Lorentzian spin foam amplitudes : graphical calculus and asymptotics*, (2009).

[41] J. W. Barrett and I. Naish-Guzman, *The Ponzano-Regge model*, Class. Quant. Grav. **26** (2009), 155014.

[42] J. W Barrett and C. M. Steele, *Asymptotics of relativistic spin networks*, Class. Quant. Grav. **20** (2003), 1341–1362.

[43] J. W. Barrett and R. M. Williams, *The asymptotics of an amplitude for the 4-simplex*, Adv. Theor. Math. Phys. **3** (1999), 209–215.

[44] N. Barros e Sa, *Hamiltonian analysis of general relativity with the Immirzi parameter*, Int. J. Mod. Phys. **D10** (2001), 261–272.

[45] E. Bianchi, *The length operator in Loop Quantum Gravity*, Nucl. Phys. **B807** (2009), 591–624.

[46] E. Bianchi, E. Magliaro, and C. Perini, *LQG propagator from the new spin foams*, Nucl. Phys. **B822** (2009), 245–269.

[47] ———, *Spinfoams in the holomorphic representation*, (2010).

[48] E. Bianchi and L. Modesto, *The perturbative Regge-calculus regime of Loop Quantum Gravity*, Nucl. Phys. **B796** (2008), 581–621.

[49] E. Bianchi, L. Modesto, C. Rovelli, and S. Speziale, *Graviton propagator in loop quantum gravity*, Class. Quant. Grav. **23** (2006), 6989–7028.

[50] E. Bianchi, D. Regoli, and C. Rovelli, *Face amplitude of spinfoam quantum gravity*, (2010).

[51] E. Bianchi, C. Rovelli, and F. Vidotto, *Towards Spinfoam Cosmology*, (2010).

[52] M. Blau and G. Thompson, *A new class of topological field theories and the Ray-Singer torsion*, Phys. Lett. **B228** (1989), 64.

[53] ———, *Topological gauge theories of antisymmetric tensor fields*, Annals Phys. **205** (1991), 130–172.

[54] M. Bojowald, *Loop quantum cosmology*, Living Rev. Rel. **8** (2005), 11.

[55] M. Bojowald and A. Perez, *Spin foam quantization and anomalies*, Gen. Rel. Grav. **42** (2010), 877–907.

[56] V. Bonzom, *From lattice BF gauge theory to area-angle Regge calculus*, Class. Quant. Grav. **26** (2009), 155020.

[57] ———, *Spin foam models for quantum gravity from lattice path integrals*, Phys. Rev. **D80** (2009), 064028.

[58] V. Bonzom and E. R. Livine, *An Immirzi-like parameter for 3d quantum gravity*, Class. Quant. Grav. **25** (2008), 195024.

[59] ———, *A Lagrangian approach to the Barrett-Crane spin foam model*, Phys. Rev. **D79** (2009), 064034.

[60] V. Bonzom, E. R. Livine, M. Smerlak, and S. Speziale, *Towards the graviton from spinfoams : the complete perturbative expansion of the 3d toy model*, Nucl. Phys. **B804** (2008), 507–526.

[61] V. Bonzom, E. R. Livine, and S. Speziale, *Recurrence relations for spin foam vertices*, Class. Quant. Grav. **27** (2010), 125002.

[62] V. Bonzom and M. Smerlak, *Bubble divergences from cellular homology*, à paraître.

[63] ———, *Bubble divergences from cellular homology*, (2010).

[64] E. Buffenoir, M. Henneaux, K. Noui, and Ph. Roche, *Hamiltonian analysis of Plebanski theory*, Class. Quant. Grav. **21** (2004), 5203–5220.

[65] J. S. Carter, L. H. Kauffman, and M. Saito, *Structures and diagrammatics of four dimensional topological lattice field theories*, (1998).

[66] M. Caselle, A. D'Adda, and L. Magnea, *Regge calculus as a local theory of the Poincaré group*, Phys. Lett. **B232** (1989), 457.

[67] J. D. Christensen, I. Khavkine, E. R. Livine, and S. Speziale, *Sub-leading asymptotic behaviour of area correlations in the Barrett-Crane model*, Class. Quant. Grav. **27** (2010), 035012.

[68] J. D. Christensen, E. R. Livine, and S. Speziale, *Numerical evidence of regularized correlations in spin foam gravity*, Phys. Lett. **B670** (2009), 403–406.

[69] F. Conrady and L. Freidel, *On the semiclassical limit of 4d spin foam models*, Phys. Rev. **D78** (2008), 104023.

[70] ———, *Path integral representation of spin foam models of 4d gravity*, Class. Quant. Grav. **25** (2008), 245010.

[71] ———, *Quantum geometry from phase space reduction*, J. Math. Phys. **50** (2009), 123510.

[72] C. Constantinidis, F. Gieres, O. Piguet, and M. S. Sarandy, *On the symmetries of BF models and their relation with gravity*, JHEP **01** (2002), 017.

[73] R. De Pietri and L. Freidel, *so(4) Plebanski Action and Relativistic Spin Foam Model*, Class. Quant. Grav. **16** (1999), 2187–2196.

[74] R. De Pietri, L. Freidel, K. Krasnov, and C. Rovelli, *Barrett-Crane model from a Boulatov-Ooguri field theory over a homogeneous space*, Nucl. Phys. **B574** (2000), 785–806.

[75] Y. Ding and C. Rovelli, *The volume operator in covariant quantum gravity*, Class. Quant. Grav. **27** (2010), 165003.

[76] B. Dittrich and P. A. Hohn, *From covariant to canonical formulations of discrete gravity*, (2009).

[77] B. Dittrich and J. P. Ryan, *Phase space descriptions for simplicial 4d geometries*, (2008).

[78] B. Dittrich and S. Speziale, *Area-angle variables for general relativity*, New J. Phys. **10** (2008), 083006.

[79] R. J. Dowdall, H. Gomes, and F. Hellmann, *Asymptotic analysis of the Ponzano-Regge model for handlebodies*, J. Phys. **A43** (2010), 115203.

[80] M. Dupuis and E. R. Livine, *Pushing Further the Asymptotics of the 6j-symbol*, Phys. Rev. **D80** (2009), 024035.

[81] ———, *The 6j-symbol : Recursion, Correlations and Asymptotics*, Class. Quant. Grav. **27** (2010), 135003.

[82] J. Engle, M. Han, and T. Thiemann, *Canonical path integral measures for Holst and Plebanski gravity. I. Reduced Phase Space Derivation*, (2009).

[83] J. Engle, E. Livine, R. Pereira, and C. Rovelli, *LQG vertex with finite Immirzi parameter*, Nucl. Phys. **B799** (2008), 136–149.

[84] J. Engle and R. Pereira, *Coherent states, constraint classes, and area operators in the new spin-foam models*, Class. Quant. Grav. **25** (2008), 105010.

[85] J. Engle, R. Pereira, and C. Rovelli, *The loop-quantum-gravity vertex-amplitude*, Phys. Rev. Lett. **99** (2007), 161301.

[86] ———, *Flipped spinfoam vertex and loop gravity*, Nucl. Phys. **B798** (2008), 251–290.

[87] L. Freidel, *Group field theory : An overview*, Int. J. Theor. Phys. **44** (2005), 1769–1783.

[88] L. Freidel and K. Krasnov, *Spin foam models and the classical action principle*, Adv. Theor. Math. Phys. **2** (1999), 1183–1247.

[89] L. Freidel and K. Krasnov, *A New Spin Foam Model for 4d Gravity*, Class. Quant. Grav. **25** (2008), 125018.

[90] L. Freidel, K. Krasnov, and E. R. Livine, *Holomorphic Factorization for a Quantum Tetrahedron*, Commun. Math. Phys. **297** (2010), 45–93.

[91] L. Freidel, K. Krasnov, and R. Puzio, *BF description of higher-dimensional gravity theories*, Adv. Theor. Math. Phys. **3** (1999), 1289–1324.

[92] L. Freidel and E. R. Livine, *Effective 3d quantum gravity and non-commutative quantum field theory*, Phys. Rev. Lett. **96** (2006), 221301.

[93] ———, *Ponzano-Regge model revisited. III : Feynman diagrams and effective field theory*, Class. Quant. Grav. **23** (2006), 2021–2062.

[94] ———, *U(N) Coherent States for Loop Quantum Gravity*, (2010).

[95] L. Freidel, E. R. Livine, and C. Rovelli, *Spectra of length and area in (2+1) Lorentzian loop quantum gravity*, Class. Quant. Grav. **20** (2003), 1463–1478.

[96] L. Freidel and D. Louapre, *Asymptotics of 6j and 10j symbols*, Class.Quant.Grav. **20** (2003), 1267–1294, [arXiv :hep-th/0209134].

[97] ———, *Diffeomorphisms and spin foam models*, Nucl. Phys. B **662** (2003), no. 1-2, 279–298.

[98] ———, *Ponzano-Regge model revisited. I : Gauge fixing, observables and interacting spinning particles*, Class. Quant. Grav. **21** (2004), 5685–5726.

[99] L. Freidel, D. Minic, and T. Takeuchi, *Quantum Gravity, Torsion, Parity Violation and all that*, Phys. Rev. **D72** (2005), 104002.

[100] L. Freidel and S. Speziale, *Twisted geometries : A geometric parametrisation of SU(2) phase space*, (2010).

[101] J. Frőhlich, *Regge calculus and discretized gravitational functional integrals*, Advanced Series in Mathematical Physics **15** (1992), 523–545.

[102] J. Gegenberg and G. Kunstatter, *The Partition function for topological field theories*, Ann. Phys. **231** (1994), 270–289.

[103] A. P. Gentle and W. A. Miller, *A brief review of Regge calculus in classical numerical relativity*, (2000).

[104] F. Gieres, J. M. Grimstrup, H. Nieder, T. Pisar, and M. Schweda, *Symmetries of topological field theories in the BV-framework*, Phys. Rev. **D66** (2002), 025027.

[105] F. Girelli, R. Oeckl, and A. Perez, *Spin foam diagrammatics and topological invariance*, Class. Quant. Grav. **19** (2002), 1093–1108.

[106] W. Goldman, *The symplectic nature of fundamental groups*, Adv. Math. **54** (1984), 200.

[107] R. Gurau, *The Ponzano-Regge asymptotic of the 6j symbol : an elementary proof*, Annales Henri Poincare **9** (2008), 1413–1424.

[108] J. Hackett and S. Speziale, *Grasping rules and semiclassical limit of the geometry in the Ponzano-Regge model*, Class. Quant. Grav. **24** (2007), 1525–1546.

[109] H. W. Hamber and R. M. Williams, *Simplicial quantum gravity in three-dimensions : Analytical and numerical results*, Phys. Rev. **D47** (1993), 510–532.

[110] ———, *Non-perturbative gravity and the spin of the lattice graviton*, Phys. Rev. **D70** (2004), 124007.

[111] M. Henneaux and C. Teitelboim, *Quantization of gauge systems*, Princeton Univ Pr, 1994.

[112] G. Horowitz, *Exactly Soluble Diffeomorphism Invariant Theories*, Commun. Math. Phys. **125** (1989), 417.

[113] S. Jang, *Relationships among the Wigner 9j Symbols*, J. Math. Phys. **9** (1968), 397.

[114] N. Kawamoto and H. B. Nielsen, *Lattice gauge gravity with fermions*, Phys. Rev. **D43** (1991), 1150–1156.

[115] J. Lewandowski, A. Okolow, H. Sahlmann, and T. Thiemann, *Uniqueness of diffeomorphism invariant states on holonomy-flux algebras*, Commun. Math. Phys. **267** (2006), 703–733.

[116] L. Liu, M. Montesinos, and A. Perez, *A topological limit of gravity admitting an SU(2) connection formulation*, Phys. Rev. **D81** (2010), 064033.

[117] E. R Livine, *Projected spin networks for Lorentz connection : Linking spin foams and loop gravity*, Class. Quant. Grav. **19** (2002), 5525–5542.

[118] E. R. Livine, *Loop gravity and spin foam : Covariant methods for the non-perturbative quantization of general relativity. (In French)*, (2003).

[119] ———, *Towards a covariant loop quantum gravity*, (2006).

[120] E. R. Livine and J. P. Ryan, *A Note on B-observables in Ponzano-Regge 3d Quantum Gravity*, Class. Quant. Grav. **26** (2009), 035013.

[121] E. R. Livine and S. Speziale, *Group Integral Techniques for the Spinfoam Graviton Propagator*, JHEP **11** (2006), 092.

[122] ———, *A new spinfoam vertex for quantum gravity*, Phys. Rev. **D76** (2007), 084028.

[123] ———, *Consistently Solving the Simplicity Constraints for Spinfoam Quantum Gravity*, Europhys. Lett. **81** (2008), 50004.

[124] ———, *Physical boundary state for the quantum tetrahedron*, Class. Quant. Grav. **25** (2008), 085003.

[125] E. R. Livine, S. Speziale, and J. L. Willis, *Towards the graviton from spinfoams : higher order corrections in the 3d toy model*, Phys. Rev. **D75** (2007), 024038.

[126] R. Loll, *Discrete approaches to quantum gravity in four dimensions*, Living Rev. Rel. **1** (1998), 13.

[127] C. Lucchesi, O. Piguet, and S. P. Sorella, *Renormalization and finiteness of topological BF theories*, Nucl. Phys. **B395** (1993), 325–353.

[128] N. Maggiore and S. P. Sorella, *Perturbation theory for antisymmetric tensor fields in four-dimensions*, Int. J. Mod. Phys. **A8** (1993), 929–946.

[129] S. A. Major, *Operators for quantized directions*, Class. Quant. Grav. **16** (1999), 3859–3877.

[130] H.-J. Matschull, *Dirac's canonical quantization programme*, (1996).

[131] F. Mattei, C. Rovelli, S. Speziale, and M. Testa, *From 3-geometry transition amplitudes to graviton states*, Nucl. Phys. **B739** (2006), 234–253.

[132] C. Meusburger and B. J. Schroers, *Generalised Chern-Simons actions for 3d gravity and kappa-Poincare symmetry*, Nucl. Phys. **B806** (2009), 462–488.

[133] L. Modesto and C. Rovelli, *Particle scattering in loop quantum gravity*, Phys. Rev. Lett. **95** (2005), 191301.

[134] K. Noui and A. Perez, *Three dimensional loop quantum gravity : Physical scalar product and spin foam models*, Class. Quant. Grav. **22** (2005), 1739–1762.

[135] H. Ooguri, *Partition functions and topology changing amplitudes in the 3-D lattice gravity of Ponzano and Regge*, Nucl. Phys. **B382** (1992), 276–304.

[136] ———, *Topological lattice models in four-dimensions*, Mod. Phys. Lett. **A7** (1992), 2799–2810.

[137] D. Oriti, *Boundary terms in the Barrett-Crane spin foam model and consistent gluing*, Phys. Lett. **B532** (2002), 363–372.

[138] ———, *The group field theory approach to quantum gravity*, (2006).

[139] A. Perez, *Introduction to loop quantum gravity and spin foams*, (2004).

[140] ———, *The spin-foam-representation of loop quantum gravity*, (2006).

[141] A. Perez and C. Rovelli, *A spin foam model without bubble divergences*, Nucl. Phys. **B599** (2001), 255–282.

[142] ———, *Physical effects of the Immirzi parameter*, Phys. Rev. **D73** (2006), 044013.

[143] G. Ponzano and T. Regge, *Semi-classical limit of Racah coefficients*, Spectroscopic and group theoretical methods in physics (F. Bloch, ed.), North-Holland, Amsterdam (1968).

[144] T. Regge, *General relativity without coordinates*, Nuovo Cim. **19** (1961), 558–571.

[145] T. Regge and R. M. Williams, *Discrete structures in gravity*, J. Math. Phys. **41** (2000), 3964–3984.

[146] M. P. Reisenberger, *A lattice worldsheet sum for 4-d Euclidean general relativity*, (1997).

[147] ———, *Classical Euclidean general relativity from *left-handed area = right-handed area**, (1998).

[148] D. Rezende and A. Perez, *4d Lorentzian Holst action with topological terms*, Phys. Rev. **D79** (2009), 064026.

[149] J. Roberts, *Classical 6j-symbols and the tetrahedron*, Geometry and Topology **3** (1999), 21–66.

[150] M. Rocek and R. M. Williams, *Quantum Regge calculus*, Phys. Lett. **B104** (1981), 31.

[151] ———, *The quantization of Regge calculus*, Z. Phys. **C21** (1984), 371.

[152] C. Rovelli, *The Basis of the Ponzano-Regge-Turaev-Viro-Ooguri quantum gravity model in the loop representation basis*, Phys. Rev. **D48** (1993), 2702–2707.

[153] ———, *Quantum gravity*, Cambridge University Press, Cambridge, U.K. ; New York, U.S.A., 2004.

[154] ———, *Graviton propagator from background-independent quantum gravity*, Phys. Rev. Lett. **97** (2006), 151301.

[155] ———, *A new look at loop quantum gravity*, (2010).

[156] C. Rovelli and S. Speziale, *On the geometry of loop quantum gravity on a graph*, (2010).

[157] K. Schulten and R. G. Gordon, *Exact recursive evaluation of 3J and 6J coefficients for quantum mechanical coupling of angular momenta*, J. Math. Phys. **16** (1975), 1961–1970.

[158] ———, *Semiclassical approximations to 3J and 6J coefficients for quantum mechanical coupling of angular momenta*, J. Math. Phys. **16** (1975), 1971–1988.

[159] S. Speziale, *Towards the graviton from spinfoams : The 3d toy model*, JHEP **05** (2006), 039.

[160] ———, *Background-free propagation in loop quantum gravity*, Adv. Sci. Lett. **2** (2009), 280–290.

[161] T. Thiemann, *A length operator for canonical quantum gravity*, J. Math. Phys. **39** (1998), 3372–3392.

[162] ———, *QSD IV : 2+1 Euclidean quantum gravity as a model to test 3+1 Lorentzian quantum gravity*, Class. Quant. Grav. **15** (1998), 1249–1280.

[163] ———, *Quantum spin dynamics (QSD)*, Class. Quant. Grav. **15** (1998), 839–873.

[164] ———, *Lectures on loop quantum gravity*, Lect. Notes Phys. **631** (2003), 41–135.

[165] ———, *Quantum spin dynamics. VIII : The master constraint*, Class. Quant. Grav. **23** (2006), 2249–2266.

[166] ———, *Modern canonical quantum general relativity*, Cambridge University Press, 2007.

[167] D. A. Varshalovich, A. N. Moskalev, and V. K. Khersonskii, *Quantum theory of angular momentum : irreducible tensors, spherical harmonics, vector coupling coefficients, 3nj symbols*, World Scientific, Singapore, 1988.

[168] R. M. Williams, *Discrete quantum gravity : The Regge calculus approach*, Int. J. Mod. Phys. **B6** (1992), 2097–2108.

[169] R. M. Williams and P. A. Tuckey, *Regge calculus : A Bibliography and brief review*, Class. Quant. Grav. **9** (1992), 1409–1422.

[170] E. Witten, *(2+1)-Dimensional Gravity as an Exactly Soluble System*, Nucl. Phys. **B311** (1988), 46.

[171] ———, *Quantum field theory and the Jones polynomial*, Commun. Math. Phys. **121** (1989), 351.

[172] ———, *Topology Changing Amplitudes in (2+1)-Dimensional Gravity*, Nucl. Phys. **B323** (1989), 113.

[173] ———, *On quantum gauge theories in two dimensions*, Commun. Math. Phys. **141** (1991), no. 1, 153–209.

[174] A. P. Yutsis, I. B. Levinson, and V. V. Vanagas, *Mathematical apparatus of the theory of angular momentum*, Israel Program for Scientific Translations Jerusalem, 1962.